

Imię i nazwisko autora rozprawy: **Marek Z. Barański**

Dyscyplina naukowa: architektura i urbanistyka

ROZPRAWA DOKTORSKA

Tytuł rozprawy w języku polskim: **Późnoneolityczna architektura Çatalhöyük, Turcja – kontynuacja i zmiana u schyłku 7. tysiąclecia p.n.e.**

Tytuł rozprawy w języku angielskim: Late Neolithic architecture of Çatalhöyük, Turkey – continuation and change at the end of 7th millennium BCE.

Promotor	Drugi promotor
<i>podpis</i>	<i>podpis</i>
prof. PG, dr hab. inż. arch. Jakub Szczepański	prof. UG, dr hab. Lech Czerniak



Od autora

Gdy jako student architektury, uczestniczący w jednych z pierwszych zajęć z rozwoju myśli architektonicznej, rysowałem aksonometrię intrygującego budynku z otworem wejściowym usytuowanym w stropodachu, nie przypuszczałem, że moje przyszłe życie zawodowe będzie w znacznej mierze związane nie tylko z archeologią architektury, ale i stanowiskiem, którego opisany element nabierał wówczas kształtów na kartce papieru; gdy po kilku latach, już jako adept archeologii, z zainteresowaniem brałem udział w wykładach poświęconych prehistorii Bliskiego Wschodu, Çatalhöyük¹ wciąż stanowiło dla mnie bardzo odległy, choć fascynujący świat. Dziś w paszporcie znajduję potwierdzenie jedenastu sezonów spędzonych na badaniach relikwów architektury oraz stratygrafii tej osady, której początki sięgają ponad 9 000 lat wstecz. Czuję, że to także moja historia i widzę, jak ja i wiele rzeczy w tym czasie się zmieniło oraz jak wiele mnie ta praca kosztowała i jednocześnie jak dużo przyniosła satysfakcji.

Miałem szczęście, że w mojej naukowej i osobistej drodze do poznania Çatalhöyük, a w efekcie także otaczającego mnie świata oraz samego siebie, towarzyszyło mi wiele wartościowych osób. Serdecznie dziękuję dr hab. prof. UG Lechowi Czerniakowi, który nie tylko zaprosił mnie do współuczestnictwa w badaniach terenowych realizowanych na stanowisku, ale i wielokrotnie okazywał mi bezcenne wsparcie merytoryczne oraz wiele życzliwości. Jestem także bardzo wdzięczny dr hab. inż. arch. prof. PG Jakubowi Szczepańskiemu, bez którego pomocy praca nad niniejszą rozprawą byłaby zdecydowanie trudniejsza i mniej kompletna.

Serdeczne podziękowania kieruję w stronę prof. Arkadiusza Marciniaka, prof. Alex Bayliss, Shahiny Farid oraz kierownika projektu badawczego w Çatalhöyük – prof. Iana Hoddera. Możliwość efektywnej współpracy i prowadzenia stymulujących dyskusji z nimi, jak i wieloma moimi koleżankami i kolegami (przede wszystkim: Arkadiuszem Klimowiczem, dr inż. Moritzem Kinzlem, dr Sereną Love, dr Kamillą Pawłowską oraz Ingmarem Franzem, Aroą Garcíą-Suárez, Lisą Guerre, Cordellią Hall, Davidem Mackie, Duygu Tarkan, dr Christiną Tsoraki-Chan, dr Burcu Tung, dr Nicolò Dell’Unto i Justyną Gabriel), na i poza stanowiskiem, była dla mnie niezwykle cenna i kształcąca. Ważne, szczególnie w ostatnim etapie pracy nad niniejszą rozprawą, było dla mnie także wsparcie, które otrzymałem od przyjaciół oraz koleżanek i kolegów w Gdańsku.

Szczególne i najważniejsze podziękowania kieruję jednak w stronę mojej Rodziny i to Rodzicom: Zygmuncie i Zbigniewowi Barańskim, biorąc pod uwagę ich niesamowitą wyrozumiałość dla mnie oraz otrzymane od nich ogromne i wieloletnie wsparcie, dedykuję niniejszą pracę. Chciałbym wierzyć, że opis świata, który pobudził i pochłonął moją wyobraźnię, chociaż w części wynagrodzi mojej matce czas, który mógł zostać spędzony przez nas inaczej. Mam także nadzieję, że mój ojciec byłby dumny z tego, co robię i kim, dzięki tej pracy, jestem.

Marek Z. Barański

¹ W międzynarodowej literaturze funkcjonuje różna pisownia nazwy tego stanowiska. w ubiegłym wieku najbardziej popularną była *Çatal Hüyük*, ale stopniowo została ona zastąpiona przez powszechną dziś *Çatal Höyük*. w niniejszej pracy używam zaś pisowni *Çatalhöyük*, która jest stosowana nie tylko w oficjalnych dokumentach wydawanych przez turecką administrację, ale przede wszystkim w publikacjach naukowych poświęconych współczesnym badaniom na stanowisku.

P.S. Zakończenie prac nad niniejszą rozprawą doktorską było możliwe dzięki dofinansowaniu, które otrzymałem z Narodowego Centrum Nauki w Krakowie w ramach konkursu PRELUDIUM i umowy UMO-2013/11/N/HS3/04889, która dotyczy koordynowanego przeze mnie projektu badawczego „Çatalhöyük w późnym neolicie (6 500 – 5 900 p.n.e.): próba rekonstrukcji układu przestrzennego w oparciu o cechy architektoniczno-konstrukcyjne zabudowy”. Projekt ten realizowany jest na Wydziale Architektury Politechniki Gdańskiej przy wsparciu merytorycznym dr hab. prof. UG Lecha Czerniaka i dr hab. inż. arch. prof. PG Jakuba Szczepańskiego.

SPIS TREŚCI

Od autora iii

WSTĘP

Przedmiot pracy 1

Cel i teza pracy 3

Plan pracy 5

ROZDZIAŁ I. NEOLITYCZNE ÇATALHÖYÜK I JEGO BLISKOWSCHODNI KONTEKST

1. Neolit Bliskiego Wschodu 8

2. Neolityczne środowisko zbudowane 13

2.1 Organizacja przestrzenna osad 13

2.2 Forma i konstrukcja budynków 16

2.3 Zróżnicowanie funkcjonalne budynków 21

3. Çatalhöyük 26

3.1 Zarys fizyczno-geograficzny 26

3.2 Opis i chronologia stanowiska 28

3.3 Historia i metodyka badań 31

ROZDZIAŁ II. UKŁAD ZABUDOWY A ORGANIZACJA SPOŁECZNA ÇATALHÖYÜK

1. Studia nad gospodarstwem domowymi domem w neolicie 39

1.1 Archeologia gospodarstw domowych 39

1.2 Dom neolityczny jako symboliczna struktura fizyczna i jednostka społeczna 41

1.3 Organizacja społeczna o charakterze społeczności „domów” 46

2. „Społeczność domów” jako możliwy typ organizacji społecznej Çatalhöyük 50

2.1 Od świątyń poprzez domy rodowe do domów „historii” 50

2.2 Badania stratygraficzno-architektoniczne 55

ROZDZIAŁ III. KONCEPCJA I METODYKA BADAŃ ARCHITEKTURY PÓŹNONEOLITYCZNEJ**ÇATALHÖYÜK: WYKOP TP I JEGO KONTEKST**

1. Ograniczenia i trudności w rozpoznaniu sekwencji późnoneolitycznych 61

2. Metodyka badań 66

3. Zakres badań i charakter danych 68

ROZDZIAŁ IV. ARCHITEKTURA TP JAKO TECHNOLOGIA BUDOWY DOMU

1. Materiały i wyroby budowlane 72

1.1 Cegły mułowe 72

2.2 Zaprawy 77

2.3 Tynki i wyprawy 77

2.4 Podkłady.....	79
2.5 Elementy drewniane	80
2. Elementy architektoniczne i konstrukcyjne budynków.....	81
2.1 Fundamenty i ściany	81
3.2 Stropy i dachy.....	91
3.3 Wewnątrz elementy architektoniczne.....	96
ROZDZIAŁ V. PÓŹNONEOLITYCZNA ORGANIZACJA PRZESTRZENNA ZABUDOWY	
1. Reinterpretacja stratygrafii TP i Jamesa Mellaarta	102
1.1 Budynek B.81 i jego kontekst.....	104
1.2 B.140 i B.141	117
1.3 Budynki: B.61, B.62 i B.74 - fazy przebudowy czy odrębne domy?	121
1.4 Komora grobowa Sp.327 w sekwencji stratygraficznej TP	135
1.5 Komora grobowa Sp.248 a budynki B.95 i B.33/B.34	152
2. Układ przestrzenny zabudowy	160
2.1 Poziom III.....	160
2.1.1 TP.M	160
2.1.2TP.N.....	162
2.2 Poziom II.....	166
2.2.1 TP.O	166
2.2.2 TP.P.....	166
2.3 Poziom I.....	169
2.3.1 TP.Q.....	169
2.3.2 TP.R.....	169
ROZDZIAŁ VI. ARCHITEKTURA i SPOŁECZEŃSTWO W PÓŹNYM NEOLICIE	
1. Wzajemny układ budynków	173
2. Strategie i techniki budowlane.....	179
3. Organizacja społeczna	189
ZAKOŃCZENIE	194
SPIS ILUSTRACJI.....	196
SPIS TABEL	206
SPIS WYKRESÓW.....	207
BIBLIOGRAFIA	208

WSTĘP

„Architecture is life; or at least it is life itself taking form and therefore is the truest record of life as it was lived in the world yesterday, as it is being lived today or ever will be lived. So architecture I know to be a great spirit. No, it is not something that consists of the buildings which have been built by man on his Earth. Architecture is that great living creative spirit which from generation to generation, from age to age, proceeds, persists, creates, according to the nature of man, and his circumstances as they both change. That really is architecture.”

(Frank Lloyd Wright 1939)

Przedmiot pracy

Przedmiotem pracy jest późnoneolityczna architektura stanowiska archeologicznego Çatalhöyük (ok. 7 400 – 5 900 BCE²) (Cessford 2005a; Marciniak *et al.* 2015b) położonego niedaleko miasta Konya w granicach dzisiejszej Republiki Turcji (Ryc. 1). Miejsce to, na którym osadnictwo trwało nieprzerwanie blisko 1 500 lat, stanowi jedno z największych oraz najlepiej zachowanych bliskowschodnich osad związanych z okresem młodszej epoki kamienia. Neolityczne Çatalhöyük, zamieszkane przez kilkutysięczną społeczność rolniczo-zbieracko-łowiecką, charakteryzuje imponująca, bo kilkunastometrowa sekwencja stratygraficzna, na którą składają się relikty przylegających do siebie oraz następujących po sobie budynków z cegły mułowej. Wnętrza tych obiektów zawierają niezwykle sugestywne przykłady sztuki symbolicznej w postaci naściennych malowideł i zróżnicowanych reliefów w stopniu niespotykanym na innych stanowiskach z badanego okresu (Hodder 2006).

Stanowisko Çatalhöyük, wpisane w 2012 roku na listę Światowego Dziedzictwa UNESCO (Hodder 2012b: 1), od kilku dekad znajduje się w centrum dyskusji dotyczącej sposobów życia w prehistorii. Badania archeologiczne, prowadzone w jego obrębie początkowo w latach 60. (Mellaart 1967), a następnie od lat 90. XX wieku do chwili obecnej (Hodder 2006), są niezwykle cennym źródłem informacji na temat zmian kulturowych i społecznych, które stanowią podstawę współczesnego świata.

Efektom międzynarodowej dyskusji jest bogata literatura dotycząca historii Çatalhöyük (np. Hodder 1996b, 2000b, 2005a, 2005b, 2005c, 2006, 2007b, 2010, 2013a, 2013b, 2014; Mellaart 1967; Todd 1976; Tringham i Stevanović 2012). Prace te dotyczą jednak praktycznie wyłącznie klasycznego okresu funkcjonowania osady. Architektura późnoneolityczna znalazła się poza głównym nurtem zainteresowań badaczy. Wpływ na to ma zarówno problematyczne, jak i ograniczone rozpoznanie późnoneolitycznych sekwencji stratygraficznych (Düring 2001: 3-5; Hodder i Farid 2014: 14; Marciniak i Czerniak 2007a: 117; Mellaart 1967: 32, 54; także Barański 2013a: 220-221, 233).

² W niniejszej pracy przyjąłem międzynarodową konwencję podawania dat kalibrowanych (BCE) (patrz Gormley 2005; Taylor 2008).



Rycina 1. Zdjęcie satelitarne zachodniej i środkowejTurcji z lokalizacją stanowiska archeologicznego Çatalhöyük (archiwum Google Earth).



Rycina 2. Zdjęcie satelitarne stanowiska Çatalhöyük z widocznymi bliźniaczymi tellami – Çatalhöyük East po prawej i Çatalhöyük West po lewej stronie ilustracji. Wzgórza te w neolicie rozdzielata rzeka Çarşamba (źródło: Google Earth).

Cel i teza pracy

Celem głównym niniejszej rozprawy jest próba interpretacji układu przestrzennego późnoneolitycznej zabudowy tellu³ *Çatalhöyük East*⁴ (Ryc. 2) w okresie około pięciuset ostatnich lat funkcjonowania osady (ok. 6 400 – 5 900 BCE). Rozważania te skupione są na stratygrafii oraz architekturze rozumianej w odniesieniu nie tylko do trwałości, wykończenia i użyteczności poszczególnych budynków, ale i do organizacji ich bliższego i dalszego otoczenia. Architektoniki osady w takim ujęciu nie da się zrozumieć bez sięgnięcia do interpretacji sposobu funkcjonowania ówczesnego systemu społecznego w pełni jego złożoności; interpretacji, w ramach której centralne pojęcia stanowią: dom i gospodarstwo domowe. Stąd znaczące miejsce w pracy zajmuje analiza zagadnień dotyczących kontynuacji i zmian w organizacji przestrzenno-funkcjonalnej osady opieram na wynikach kompleksowych badań oraz przy zastosowaniu współczesnych i uzupełniających się metod analizy.

Architekturę późnoneolitycznego *Çatalhöyük* przedstawiam w pracy jako złożony proces, rozgrywający się w wielu wymiarach oraz będący nie tylko manifestacją, ale i inkubatorem grupowych i jednostkowych tożsamości (patrz Bourdieu 1977; Giddens 1984; także Rappoport 1969, 1982). Stanowi on zapis ciągu zdarzeń, w ramach których wiedza, doświadczenie i techniczne umiejętności mieszkańców osady współistniały i przenikały się z warunkami przyrodniczymi oraz rytuałami i regułami życia społecznego. Każde z tych zagadnień lub aspektów może być rozpatrywane osobno, ale to środowisko zbudowane łączyło je, w taki sposób, że oddziaływały one wzajemnie na siebie oraz nabierały specjalnego znaczenia. Stąd w pracy szczególną uwagę skupiam na zagadnieniach związanych z cyklami życia oraz wzajemnymi relacjami budynków. Kontekstem teoretycznym dla tych rozważań jest koncept dotyczący tzw. „społeczności domów” [fr. *sociétés à maison*; ang. *house societies*], będących formą organizacji społecznej (Lévi-Strauss 1985 [1975], 1987; patrz także Borić 2008; Carsten i Hugh-Jones 1995; Joyce i Gillespie 2000). Zgodnie z nim „dom” stanowi punkt odniesienia dla wspólnej identyfikacji jego mieszkańców, w ramach której związki krwi nabierają mniejszego znaczenia.

Podejście to jest zbieżne z tzw. spojrzeniem biograficznym (patrz Hoskins 2006), opisującym, w odniesieniu do architektury, etapy związane z konstrukcją, użytkowaniem, opuszczeniem i następstwem budynków (Bailey 1990; Gilchrist 2000; Matthews 2013). W ramach tego podejścia dom - z przypisanym często imieniem - postrzegany jest jako istota żywa, która rodzi się, żyje i umiera (Bachelard 1964 [1958]; patrz także Waterson 1990), co znajduje odzwierciedlenie w zróżnicowanych praktykach rytualnych. Warto zwrócić uwagę, że budynki mieszkalne, traktowane jako ucieleśnienie idei neolityzacji (Hodder 1990, 1998; Wilson 1988) i miejsce kreacji społecznej pamięci (Hendon 2000; Hodder i Cessford 2004; Hodder i Pels 2010; Kuijt 2001, 2008; Tringham 2000; Watkins 2006), są obecnie w archeologii centralnym problemem badawczym (np. Beck 2007; Kent 1990; Samson 1990). Prowadzi to często do uproszczeń polegających na identyfikacji domów z gospodarstwami domowymi. Tymczasem istnieje wiele przesłanek, które wskazują na bardziej

³ *tell* [heb.] lub *tall* [arab.] to wzgórze powstałe na skutek nawarstwiania się osadnictwa na danym obszarze przez dłuższy czas albo przez zasypanie ruin budowli przez piaski pustyni. Taka forma stanowiska archeologicznego spotykana jest przede wszystkim na terenie Bliskiego Wschodu (Nowa encyklopedia powszechna PWN).

⁴ Stanowisko *Çatalhöyük* składa się w rzeczywistości z dwóch sąsiadujących ze sobą telli: wschodniego [ang. *Çatalhöyük East* lub *East Mound*] i zachodniego [ang. *Çatalhöyük West* lub *West Mound*] (Hodder 2006: 14).

złożoną, bo „wielodomową” konstrukcją grupy wspólnie gospodarującej (patrz Allison 1999a; Kuijt *et al.* 2011; Souvatzi 2008).

Powyższy problem widoczny jest również podczas badań prowadzonych w obrębie stanowiska Çatalhöyük, gdzie od początku prac podjętych w latach 90. ubiegłego wieku założono, że ślad i ramę gospodarstwa domowego stanowią najmniejsze jednostki dające się wydzielić architektonicznie a nie bardziej złożony układ przestrzenny, który mógłby obejmować kilka sąsiadujących ze sobą budynków. Spowodowało to wdrożenie programu badań ograniczonego do rozpoznania ogólnej konstrukcji i zmian rozplanowania wewnątrz poszczególnych domów. Niniejsza praca jest próbą częściowego uzupełnienia tych braków, zwłaszcza w aspekcie analiz sposobów posadowienia budynków i przewiązania cegieł w murach, a także problemów stateczności, obciążenia i deformacji układów konstrukcyjnych. Są one przyczynkiem do rozważań o topografii tellu, całościowej formie i układzie funkcjonalnym poszczególnych domów oraz relacjach pomiędzy sąsiadującymi ze sobą budynkami i przestrzeniami otwartymi.

W pracy stawiam i weryfikuję następujące hipotezy badawcze:

a) główne przestrzenie aktywności podstawowych grup społecznych, za które uważa się gospodarstwa domowe, były zmienne w czasie i nie ograniczały się w późnym neolicie do wewnątrz pojedynczych domów. Ponadto zakładam, że granice zespołów budynków zamieszkałych przez wspólnoty domowe i sąsiedzkie mogły być wyznaczane przez sztuczne tarasy lub otwarte i wąskie przestrzenie śmietnikowe pomiędzy zespołami budynków,

b) zróżnicowany czas użytkowania domów w połączeniu ze złożoną topografią tellu uniemożliwiało istnienie układu zabudowy, w którym wszystkie współczesne sobie obiekty tworzyły horyzontalne poziomy osadnicze. Fakt ten nakazuje moim zdaniem spodziewać się bardziej złożonych niż wcześniej zakładano oraz różnopoziomowych układów zabudowy, co rodzi z kolei poważne utrudnienia w interpretacji układów stratyfikacji,

c) niektóre z budynków o rozbudowanym układzie wewnątrz mogły być obiektami wielokondygnacyjnymi, które częściowo zagłębiano w gruncie; w efekcie jednocześnie użytkowane podłogi w obrębie różnych pomieszczeń danego budynku, jak i dachy przekrywające wybrane pomieszczenia i budynki, nie musiały znajdować się na tym samym poziomie. Ponadto zakładam, że wysokość izb magazynowych generalnie była niższa niż pomieszczeń głównych, co – w przypadku zestawienia tego rodzaju przestrzeni w ramach jednoczasowych skupisk zabudowy - może stanowić przesłankę do identyfikacji wewnętrznego ciągu komunikacyjnego oraz w efekcie przyczynić się do lepszego zrozumienia podziałów wewnętrznych i organizacji osady,

d) obiekty o masywnych konstrukcjach murowanych (zarówno zewnętrznych, jak i wewnętrznych) oraz rozbudowanym układzie wewnątrz są charakterystyczne dla późnej i schyłkowej fazy osadnictwa neolitycznego w różnych miejscach wschodniego tellu. Wspomniane złożone konstrukcje stanowią moim zdaniem fundamenty i ściany fundamentowe budynków, które często sytuowano w obrębie wkopów fundamentowych,

e) wielokrotne i znaczne naprawy, przebudowy lub deformacje budynków związane były zarówno ze zmianami społecznymi, jak i środowiskowymi, w tym ze zmienną historią grupy tworzącej gospodarstwo domowe (wynikającej z małżeństw, narodzin, zgonów itp.), a także ze zużycia

budynków i narastającego problemu stateczności antropogenicznego nasypu tellu oraz posadowianych w jego obrębie struktur,

f) zaobserwowane strategie i techniki budowlane – w ujęciu historycznym - stanowią moim zdaniem efekt złożonego, choć stopniowego procesu przemian w sferze społecznej, kulturowej i technicznej. Zmiany te można zaobserwować w obrębie różnych wykopów na neolitycznym tellu.

Interpretację ujętą w ramy powyższych założeń oparłem przede wszystkim na wynikach badań terenowych prowadzonych w latach 2001-2008 w obrębie wykopu *Team Poznań (TP Area)* przez polską ekspedycję naukową kierowaną przez dr hab. prof. UG Lecha Czerniaka i dr hab. prof. UAM Arkadiusza Marciniaka (Czerniak i Marciniak 2003, 2004, 2005, 2006; Czerniak *et al.* 2001, 2002; Marciniak i Czerniak 2007b, 2008; patrz także Marciniak i Czerniak 2007a, 2012). w pracach tych aktywnie uczestniczyłem od 2007 roku, zajmując się eksploracją i inwentaryzacją zachowanych obiektów architektonicznych, dokonując próby opracowania złożonej stratygrafii zdefiniowanej w obrębie wykopu (Barański 2009) oraz biorąc udział w programie datowania radiowęglowego (Marciniak *et al.* 2015b). Stało się to przyczynkiem do mojego szerszego zainteresowania zagadnieniami związanymi z architekturą późnoneolityczną i rozpoczęcia, przy wsparciu merytorycznym dr hab. prof. UG Lecha Czerniaka i dr hab. inż. arch. prof. PG Jakuba Szczepańskiego, autorskiego projektu badawczego w obrębie wykopu *Gdańsk (GDN Area)*, który obejmuje fragment obszaru poddanego częściowym pracom eksploracyjnym w latach 60. XX wieku (Barański 2013a, 2014; Barański i Regulska 2016; Barański *et al.* 2015b). Projekt ten - o charakterze architektoniczno-stratygraficznym - będzie realizowany do 2018 roku włącznie, niemniej zasadnicze rezultaty prowadzonych badań terenowych i laboratoryjnych zostały już osiągnięte i stanowią ważny element niniejszej pracy.

Proponowane w dysertacji wyjaśnienia zarysowanych powyżej problemów badawczych pozwalają w moim przekonaniu na rzucenie nowego światła na zagadnienia dotyczące nie tylko technik i strategii budowlanych, ale i historii osady wyrażającej się w wieloaspektowych zmianach obrazu zabudowy. Niniejsza rozprawa jest tym samym propozycją - bardziej złożoną od proponowanych dotąd - interpretacji układu przestrzenno-funkcjonalnego budynków. Próba ta polega na zdefiniowaniu i umiejscowieniu pojedynczych domów w odniesieniu dosąsiadujących z nimi budynków i przestrzeni otwartych, a także zwróceniu uwagi na kontekst topografii tellu, co wiąże się z przełamaniem wciąż popularnego modelu chronologicznego, w ramach którego zabudowę przedstawia się w postaci horyzontalnych poziomów osadniczych (patrz Mellaart 1967).

Plan pracy

Rozprawa składa się z siedmiu głównych rozdziałów, które zdecydowałem się podzielić w sumie na piętnaście części. Rozdziały te poprzedza wprowadzenie. Pracę kończą: podsumowanie oraz spisy rycin, tabel, wykresów i literatury.

Pierwszy z rozdziałów „Neolityczne Çatalhöyük i jego bliskowschodni kontekst” poświęcam charakterystyce stanowiska Çatalhöyük wraz z ukazaniem jego neolitycznego kontekstu geograficznego, społecznego, kulturowego i architektonicznego. Na początku krótko omawiam epokę neolitu Bliskiego Wschodu. Zaczynam od przedstawienia charakterystycznych cech tego okresu,

a następnie uwagę poświęcam zagadnieniom związanym z chronologią wydarzeń, wskazując przy tym najważniejsze stanowiska archeologiczne znane z trzech - w znacznym stopniu niezależnych - obszarów neolityzacji: Anatolii, Lewantu i Mezopotamii. Następnie dokonuję krótkiego przeglądu poglądów na początki udomowienia człowieka, ze szczególnym uwzględnieniem roli, którą odegrało w tym procesie środowisko zbudowane. W dalszej kolejności skupiam się na ogólnym opisie bliskowschodniej architektury neolitycznej, przywołując stanowiska i budowle, które charakteryzują główne tradycje budowlane oraz kierunki zmian w neolitycznej organizacji przestrzenno-funkcjonalnej. Celem tych rozważań jest przedstawienie kontekstu dla regionu środkowej Anatolii, co w sposób naturalny prowadzi do następnej części rozdziału poświęconej w całości stanowisku Çatalhöyük. Na początku zarysowuję w niej warunki fizyczno-geograficzne i przyrodnicze charakteryzujące Równinę Konijską, w obrębie której usytuowana jest przedmiotowa osada. Po krótkim opisie i przedstawieniu chronologii Çatalhöyük skupiam się na opisanu historii i metodyki badań prowadzonych w obrębie tego stanowiska. Dużo uwagi poświęcam celom, które towarzyszą współcześnie realizowanym pracom terenowym, opisując je przez pryzmat kilku niezależnych wykopów archeologicznych. W tym opisie szczególnie miejsce zajmują obszary, w obrębie których natrafiono na relikty zabudowy późnoneolitycznej czyli przede wszystkim *TP Area* i *GDN Area*.

Kolejny drugi rozdział pracy „Układ zabudowy a organizacja społeczna Çatalhöyük” poświęcam zagadnieniom związanym z archeologią gospodarstw domowych, organizacją społeczną charakteryzującą „społeczności domów” oraz cyklami życiowymi budynków. Dociekania te uważam za potrzebne dla wprowadzenia kontekstu do interpretacji jednej z głównych hipotez rozprawy, dotyczącej kwestii społecznego ustytuowania domów w neolicie, w tym prób społecznej reinterpretacji relikwów architektury późnoneolitycznego Çatalhöyük. W pierwszej części tego rozdziału zawieram krótką charakterystykę głównych celów i przedmiotu badań związanych z archeologią gospodarstw domowych, stanowiącą prężnie rozwijającą się obecnie dyscypliną naukową. Tam też przedstawiam wielorakość możliwych konfiguracji w odniesieniu do kompozycji, funkcji oraz - co jest szczególnie istotne - przestrzennego wymiaru gospodarstw domowych, będących podstawowymi jednostkami organizacji społecznej. Dalsza część rozważań dotyczy dyskusji nad elastyczną relacją pomiędzy gospodarstwem domowym a domem. W celu wyjaśnienia tego problemu przedstawiam krótki przegląd poglądów na to zagadnienie, zwracając szczególną uwagę na prace utrwalające postrzeganie domu jako nie tylko centralnego konceptu neolitu, ale i jednostki autonomicznej w odniesieniu do organizacji społecznej. W tym kontekście zwracam uwagę na moim zdaniem często błędnie akcentowaną w archeologii równoważność pomiędzy pojęciami: gospodarstwa domowego i domu. Na tle tego problemu przedstawiam koncept „społeczności domów”, akcentując jego możliwe zastosowanie w procesie interpretacji organizacji społecznej stanowisk archeologicznych o dobrze zachowanych relikwach architektury. Na koniec, w zarysowaną potrójną strukturę teoretyczną, wpisuję i szczegółowo omawiam konkretne problemy interpretacji zabudowy Çatalhöyük, w tym problem badań architekoniczno-stratygraficznych.

W następnym trzecim rozdziale pracy „Koncepcja i metodyka badań architektury późnoneolitycznej Çatalhöyük” przedstawiam ograniczenia i metodykę przeprowadzonych przeze mnie badań terenowych i analiz gabinetowych. Następnie określam zakres prowadzonych rozważań, wyliczając i krótko charakteryzując budynki przypisane późnym fazom osadniczym na neolitycznym tellu. Stosuję i opisuję przy tym nazewnictwo, które stanowi element metodyki współcześnie realizowanych badań terenowych w Çatalhöyük. Na końcu odwołuję się do istniejącego modelu

chronologicznego sekwencji stratygraficznych w obrębie wykopu TP (Marciniak *et al.* 2015b) i zwracam uwagę na konieczność jego weryfikacji.

Czwarty rozdział pracy „Architektura TP jako technologia budowy domu” poświęcam na opis oraz interpretację relikwów architektury zdefiniowanych w obrębie wykopów TP oraz, chociaż tylko w części, GDN. Na początku charakteryzuję szczegółowo materiały budowlane oraz elementy konstrukcyjne i obiekty architektoniczne, które składają się na zabudowę późnoneolityczną. Opiszem tym obejmuję: cegły mułowe, zaprawy, tynki i wyprawy, podkłady oraz elementy z drewna. W odniesieniu do elementów konstrukcyjnych skupiam się z kolei przede wszystkim na: fundamentach, ścianach oraz stropodachach. W rozważaniach tych szczególną uwagę poświęcam charakterystyce układów murowanych z wyróżnieniem konstrukcji złożonych i prostych, co ma bezpośredni wpływ na podjęte w dalszej części pracy próby rekonstrukcji układów przestrzennych budynków. Na koniec uwagę krótko poświęcam podłogom i innym obiektom architektonicznym składającym się na wnętrza domów.

Na piąty rozdział pracy „Późnoneolityczna organizacja przestrzenna zabudowy” w pierwszej kolejności składają się analizy przestrzenne, które pozwalają na nowe spojrzenie na stratygrafię wykopu TP i bezpośrednio z nim sąsiadującego dawnego wykopu Jamesa Mellaarta. Rozważania te, podparte ilustracjami w postaci rysunków planów poziomych i pionowych, są moim zdaniem niezbędne dla uporządkowania argumentacji, którą rozwijam w dalszej części rozprawy, a która służy reinterpretacji organizacji przestrzennej zabudowy późnoneolitycznego Çatalhöyük. Jednocześnie w przedstawionych opisach relacji stratygraficznych odwołuję się do wcześniej przedstawionej przeze mnie klasyfikacji elementów konstrukcyjnych i obiektów architektonicznych. Na koniec podejmuję autorską próbę rekonstrukcji organizacji przestrzennej w skali osady z uwzględnieniem topografii tellu i zagadnień geotechnicznych. Ważnym elementem tych analiz jest weryfikacja podziałów środowiska zbudowanego na horyzontalne poziomy osadnicze, które zostały wyznaczone w latach 60. ubiegłego wieku i w pewnym sensie obowiązują do dzisiaj.

Ostatni szósty rozdział niniejszej pracy „Architektura i społeczeństwo w późnym neolicie” ma charakter dyskusji poświęconej zagadnieniom organizacji późnoneolitycznej osady przy wykorzystaniu wyników wcześniejszych badań i analiz. Zaobserwowane przeze mnie kontynuacje i zmiany dotychczasowych tradycji budowlanych przedstawiam w szerszym kontekście i zestawieniu ze wcześniejszymi rozwiązaniami przestrzennymi, konstrukcyjnymi i architektonicznymi zadokumentowanymi w obrębie osady Çatalhöyük. Efekty moich badań pokazują także na tle przemian charakteryzujących inne i porównywalne neolityczne stanowiska bliskowschodnie. W rozważaniach tych podejmuję próbę interpretacji organizacji społecznej osady Çatalhöyük u schyłku jej funkcjonowania.

W zakończeniu zawieram podsumowanie mojej pracy z krytyką osiągniętych rezultatów i rekomendacjami do ewentualnych dalszych badań. Całość rozprawy zamyka spis wykorzystanej literatury, który obejmuje ponad czterysta pozycji – monografii, artykułów w czasopiśmie naukowych lub w formie książki, a także raportów z prowadzonych badań terenowych.

ROZDZIAŁ I. NEOLITYCZNE ÇATALHÖYÜK I JEGO BLISKOWSCHODNI KONTEKST

Çatalhöyük stanowi jedno z bardziej rozpoznawalnych stanowisk archeologicznych na świecie. Stopień zachowania relikwów architektury oraz bogate świadectwa praktyk symbolicznych sprawiają, że od ponad 50 lat znajduje się ono w centrum dyskusji dotyczącej sposobów życia w neolicie. Çatalhöyük pozwala nie tylko na wgląd w regionalne środkowoanatolijskie trendy w odniesieniu do procesów społecznych, kulturowych i ekonomicznych, ale jest też przykładem szerszego fenomenu, który można odnieść do całego neolitycznego świata Bliskiego Wschodu (Hodder 2007a; Hodder i Farid 2014). W niniejszym rozdziale – w ramach wprowadzenia - zawieram krótki opis epoki neolitu, a następnie charakteryzuję podstawowe trendy w odniesieniu do przemian ówczesnego środowiska zbudowanego i architektury. Rozważania te stanowią kontekst dla bardziej szczegółowego opisu osady Çatalhöyük, w tym przedstawienia historii i metodyki prowadzonych w jej obrębie badań archeologicznych.

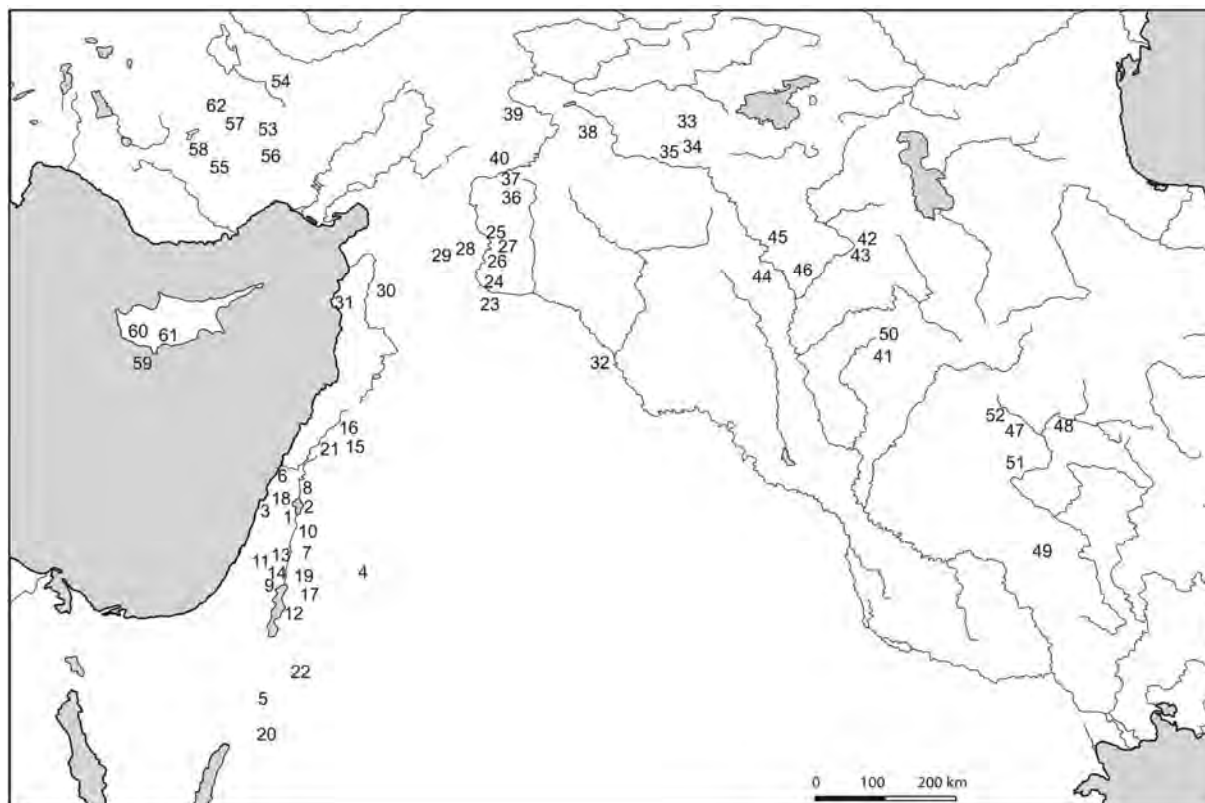
1. Neolit Bliskiego Wschodu

Neolit, czyli młodsza epoka kamienia⁵, to okres, który przyniósł niezwykle istotne zmiany w życiu ludzi. Człowiek zaczął prowadzić osiadły tryb życia i rozpoczął proces odchodzenia od wyłącznego wykorzystania zasobów środowiska. Podstawą tego nowego sposobu gospodarowania stało się udomowienie zwierząt i roślin. W neolicie opanowano technikę wytwarzania ceramiki oraz narzędzi z kamieni gładzonych, a także rozpoczęto praktykowanie dalekosiężnych wymian zróżnicowanych surowców i wytworów. Wzmoczona aktywność, w tym uprawa ziemi, karczowanie, spasanie łąk oraz kreacja pełnego znaczeń środowiska zbudowanego doprowadziły do przeobrażeń krajobrazu na niespotykaną wcześniej skalę. To przyspieszenie cywilizacyjne wiązało się jednak nie tylko z wprowadzeniem nieznanych dotąd strategii, wynalezienia innowacyjnych technologii i stworzenia nowych produktów, ale przede wszystkim z rozwojem poznawczo-kulturowym, w tym przede wszystkim ze złożonymi przemianami w życiu społecznym, którego kluczowy element stanowiły: osiadły tryb życia i tworzące mu zróżnicowane rytuały (więcej o charakterze neolityzacji m.in. Hayden 1990; Hodder 1990, 2010; Watkins 1990, 2005; Cauvin 2000 [1994]; Whittle 1996; Simmons 2007; Kuijt 2008, 2009; Hodder i Meskell 2011; Özdoğan *et al.* 2015).

Warto podkreślić, że elementy charakteryzujące proces neolityzacji lub inaczej udomowienia, zarówno roślin, zwierząt, jak i przede wszystkim ludzi (patrz Hodder 1990; Wilson 1988), były w tak znacznym stopniu ze sobą powiązane, że bardzo trudno uporządkować je nie tylko pod względem ważności, ale i chronologii. Niemniej dalszymi – patrząc przez pryzmat historii - skutkami

⁵ Termin „neolit” został wprowadzony w XIX wieku przez Johna Lubbocka (1865) na oznaczenie nowej pradziejowej techniki wytwarzania narzędzi kamiennych. Technika ta polegała na gładzeniu, w odróżnieniu od łupania, które było zabiegiem charakterystycznym dla paleolitu. Dziś nazwa ta ma znaczenie wyłącznie porządkowe. Za sprawą Gordona V. Childe’a (1925, 1936) zaczęto uważać, że podstawą neolitu stało się udomowienie zwierząt i roślin. Kilkadziesiąt lat później Lewis R. Binford (1968) zwrócił uwagę na czynniki demograficzne, które miały doprowadzić do rozwoju osiadłego trybu życia jeszcze przed wprowadzeniem gospodarki wytwórczej. Współcześnie, zgodnie z nurtem interpretatywnym w archeologii, akcentuje się jednak czynniki związane ze sferą ideologiczną i rolą systemów symbolicznych w kształtowaniu zachowań ludzkich. Jacques Cauvin (2000 [1994]) stwierdził mianowicie, że proces neolityzacji był zasadniczo ewolucją poznawczą, w której nowe struktury pojęciowe, w tym wierzenia dotyczące świata, zdeterminowały kierunki rozwoju społeczności prehistorycznych. z kolei dla Iana Hoddera (1990) udomowienie grup łowiecko-zbierackich było przede wszystkim efektem zamieszkania w budynkach, będących ucieleśnieniem ówczesnych systemów symbolicznych.

opisywanych przemian były chociażby: wzrost liczby ludności, stworzenie społecznej hierarchii, wytworzenie się instytucji władzy i organizacji państwowej, pojawienie się zawodów i specjalności oraz ukształtowanie się pierwszych miast (patrz np. Banning 2010; Düring 2010; Iamoni 2016). Niewątpliwa przelomowość młodszej epoki kamienia znajduje wyraz we wciąż popularnych określeniach: „rewolucja neolityczna” oraz „rewolucja symboliczna” wprowadzonych do literatury przez odpowiednio - V. Gordona Childe’a (1925; patrz także 1936) oraz Jacquesa Cauvina (2000 [1994]). Należy jednak pamiętać, że przebieg procesu udomowienia był zdecydowanie bardziej stopniowy i złożony aniżeli radykalny (patrz np. Barker 2006; Hole 1984; Rindos 1984; Zeder 2011).



Rycina 3. Lokalizacja głównych późnoepipaleolitycznych i neolitycznych stanowisk archeologicznych na obszarze Bliskiego Wschodu (Zeder 2011): 1. Ohalo II, 2. Ein Gev IV, 3. Neve David, 4. Kharahneh IV, 5. Beidha, 6. Hayonim, 7. Wadi al-Hammeh, 27, 8. 'Ain Mallaha, 9. Jerycho, 10. Iraq ed Dubb, 11. Hatoula, 12. Dhra', 13. Netiv Hagdud, 14. Giga I, 15. Aswad, 16. Ghoraife, 17. Wadi el-Jilat 7, 18. Yiftah'el, 19. 'Ain Ghazal, 20. Basta, 21. Ramad, 22. Khirbet Hammam, 23. Abu Hureyra, 24. Mureybit, 25. Dja'de, 26. Jerf el Ahmar, 27. Kosak Shamali, 28. Halula, 29. Tel Qaramel, 30. Tel el-Kerkh, 31. Ras Shamra, 32. Bouqras, 33. Hallan Çemi, 34. Demirköy, 35. Körtik, 36. Göbekli Tepe, 37. Nevalı Çori, 38. Çayönü, 39. Çafar Höyük, 40. Grittle, 41. Palegawra, 42. Shanidar, 43. Zawi Chemi Shanidar, 44. Qermez Dere, 45. Nemrik, 46. M'lefaat, 47. Asiab, 48. Ganj Dareh, 49. Ali Kosh, 50. Jarmo, 51. Guran, 52. Sarab, 53. Pınarbaşı A, 54. Aşıklı Höyük, 55. Suberde, 56. Can Hasan III, 57. Çatalhöyük, 58. Erbaba, 59. Aetokremnos, 60. Mylouthikia, 61. Shillourokambos, 62. Boncuklu Höyük.

Pierwsze materialne przejawy procesu neolityzacji pochodzą z terenu Lewantu (patrz Ryc. 3 i 4). To tam w wyniku badań archeologicznych, odsłonięto ślady osadnictwa kompleksu późnych kultur natufijskich, które wywodzą się z tradycji epipaleolitycznych. Aktywność tych zróżnicowanych grup przypadana koniec Młodszeo Dryasu⁶ i okres od około 10 500 do 9 900 BCE (Bar-Yosef 1998; Goring-Morris i Belfer-Cohen 1998; Valla 1998). Natufijczykom, w porównaniu ze wcześniejszymi

⁶ Młodszy Dryas stanowi końcowy, zimny epizod ostatniego zlodowacenia plejstoceniowego i trwa w okresie około 10 900 – 9 700 BCE. Okres ten oddzielał interstadiał Bölling/Allerød (późnoglacialne optimum) od preboreatu – pierwszej fazy holocenu (Carlson 2013).

i wysoce mobilnymi społecznościami kebaryjskim, przypisywane są: stosunkowo bogaty i zróżnicowany system społeczno-kulturowy oraz najwcześniejsze formy otwartego i trwałego osadnictwa⁷. Społeczności te stosowały ponadto gospodarkę przyswajalną, w której daje się zauważyć przejście od intensywnego do wyspecjalizowanego zbieractwa i łowiectwa, w tym przejawy wykorzystania po raz pierwszy dziko rosnących zbóż (Bar-Yosef i Valla 1991; Delage 2004).

Przejawy nowego modelu życia stosunkowo szybko, bo już w okresie od około 9 700 do 8 500 BCE (Kuijt i Goring-Morris 2002: 366), można zaobserwować w winnych regionach Bliskiego Wschodu. Obszar ten - nazywany „Żywnym Półksiężycem”⁸ - rozciągał się od wschodnich wybrzeży Morza Śródziemnego, wzdłuż podnóży Antytaurusu, Taurusu Armeńskiego i Zagrosu, poprzez Nizinę Mezopotamską w kierunku Zatoki Perskiej. W dalszej kolejności, pomiędzy około 8 100 a 7 200 BCE, z odpowiednimi różnicami regionalnymi, neolit rozwinął się na obszarze Anatolii (Thissen 2004), w obrębie Wyżyn: Armeńskiej i Irańskiej, a następnie na Cyprze i w pozostałych częściach Starego Świata (Simmons 2007; Whittle 1996). Co ciekawe w odniesieniu do niektórych z tych regionów, jak na przykład środkowej Anatolii⁹, w obrębie której znajduje się stanowisko Çatalhöyük, długo nie brano pod uwagę możliwości istnienia śladów osadnictwa neolitycznego. Dopiero odkrycia, które miały miejsce w latach 50. ubiegłego wieku, rzuciły nowe światło na historię tego regionu i zwróciły uwagę szerszego grona badaczy¹⁰. W efekcie tych, jak i kolejnych badań archeologicznych, neolit środkowej Anatolii przyjęto się zamykać w okresie od około 8 100 do 5 500 BCE (Thissen 2004).

Chronologię wydarzeń składających się na proces udomowienia społeczności zamieszkujących Bliski Wschód tradycyjnie określa się poprzez podział na podokresy: neolitu przedceramicznego (wraz z wydzielanymi fazami, na przykład: A, B i niekiedy C) oraz neolituceramicznego¹¹. Ta klasyfikacja – sformułowana w duchu ewolucjonizmu i szkoły kulturowo-historycznej – zbudowana została na

⁷ Społeczności natufijskie zapoczątkowały proces „wyjścia z jaskiń”, w którym schroniska skalne ustępowały stopniowo miejsca stanowiskom otwartym, różniącym się między sobą usytuowaniem, wielkością, trwałością zasiedlenia oraz charakterem znajdowanego w ich obrębie materiału archeologicznego. Obozowiska macierzyste – największe i najdłużej zasiedlone – uznawane są za pierwsze w dziejach ludzkości ślady stałego osadnictwa (Bar-Yosef 1998; Boyd 2006). Jest tak pomimo znanych kilku wcześniejszych, kebaryjsko-falickich stanowisk z zachowanymi relikami obiektów murowanych, jak na przykład Neve David w Izraelu (Kaufman 1989).

⁸ Określenie „Żywny Półksiężyc” [ang. *the Fertile Crescent*] zaproponował James Henry Breasted (1916), podkreślając panujące na tym obszarze korzystne warunki do uprawy roślin związane z długimi okresami wegetacyjnymi.

⁹ Środkowa (centralna) Anatolia to rozległy i zróżnicowany rejon geograficzny w Turcji, który otaczają od południa, wzdłuż wybrzeża śródziemnomorskiego, łańcuchy systemu górskiego Taurus, a od północy, równoległe do brzegu Morza Czarnego – Góry Pontyjskie. Jego wschodnią granicę stanowi z kolei potężny masyw Wyżyny Armeńskiej, a południowo-zachodnią – tzw. Region Jezior, który tworzą m.in. zbiorniki: Acıgöl, Akşehir, Beyşehir oraz Eğirdir (Kuzucuoğlu 2002: 34).

¹⁰ Fakt ten jest w znacznej mierze zasługą brytyjskiego archeologa Jamesa Mellaarta, który najpierw realizował badania powierzchniowe, a następnie regularne prace archeologiczne na stanowiskach: Hacilar (1957-1960) i Çatalhöyük (1961-1963 i 1965) (Mellaart 1975; 1978). Równoległe David French prowadził eksplorację stanowiska Can Hassan (1961-1967) (French 1998), a Ian Todd realizował prace badawcze w okolicach jezior: Tuz i Kayseri, w wyniku których zlokalizował m.in. osadę Aşıklı Höyük (Todd 1966). Dziś neolitycznych stanowisk z obszaru środkowej Anatolii znanych jest zdecydowanie więcej. Należą do nich m.in. Boncuklu Höyük, Kömürçü-Kaletepe, Köşk Höyük, Mersin-Yumuktepe, Musular, Pınarbaşı, Tepecik-Çiftlik (Özdoğan *et al.* 2012; patrz także Baird 2002, 2005).

¹¹ U podstaw tego podziału leży obserwacja poczyniona przez Kethleen Kenyon (1957) w trakcie prowadzonych przez nią badań w Jerychu w Anatolii Palestyńskiej, zgodnie z którą zbieractwo i uprawa zbóż rozpoczęły się jeszcze przed wynalezieniem garncarstwa. Fakt ten wzbudził wówczas dużo dyskusji, jako że umiejętność lepienia naczyń z gliny postrzegana była jako ważne kryterium rozpoznawania neolitu od drugiej połowy XIX wieku (patrz Lubbock 1865). Dziś tak sformułowany podział ma znaczenie jedynie techniczne i dotyczy praktycznie wyłącznie sekwencji osadniczej w Lewancie.

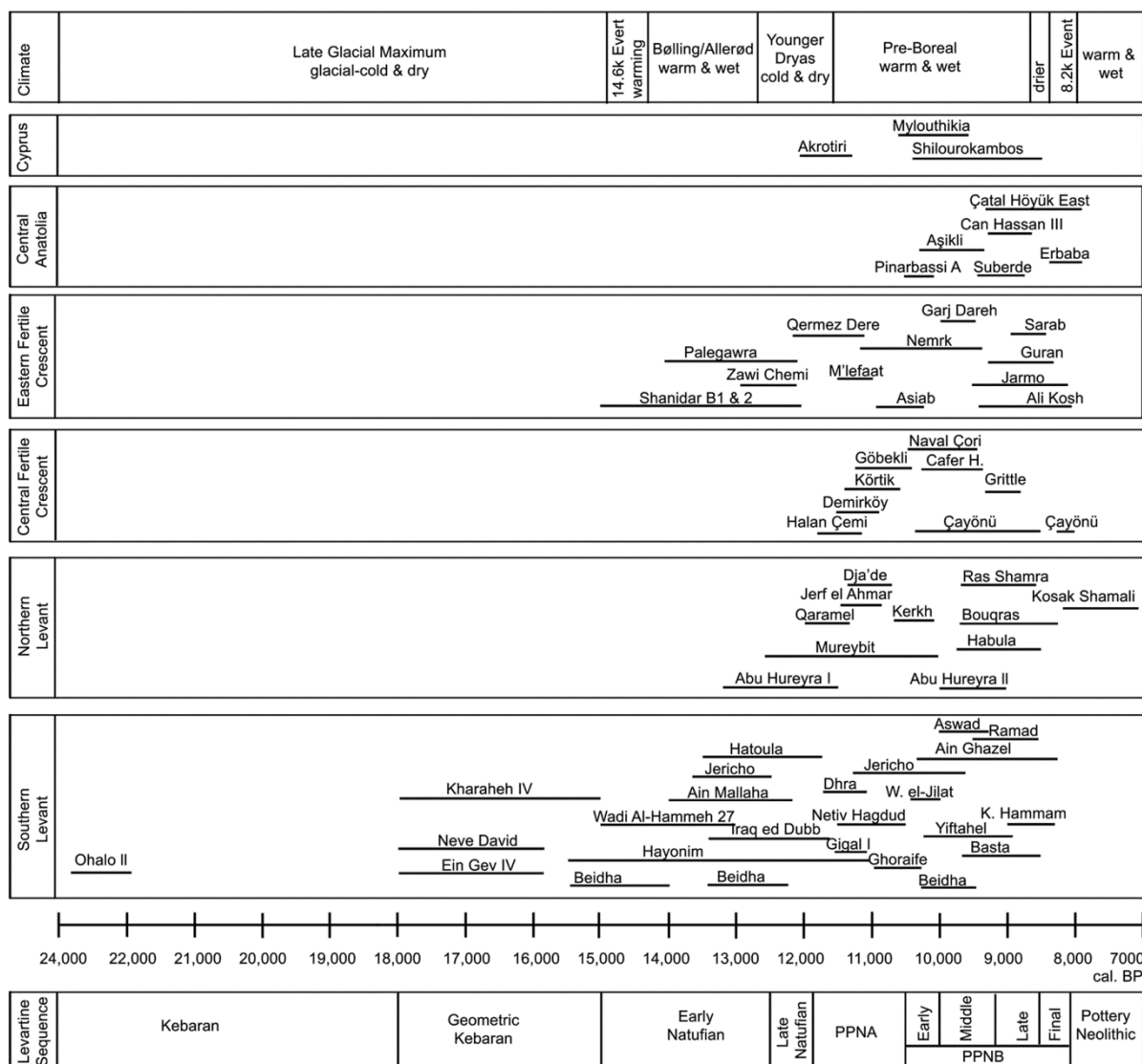
podstawie wyników badań prowadzonych w obrębie południowego Lewantu, który stosunkowo do niedawna postrzegany był jako główny obszar neolityzacji. Pomimo wczesnych śladów udomowienia niektórych gatunków roślin w innych częściach Żyznego Półksiężyca to właśnie z terenów dzisiejszej: Jordanii, Izraela i Autonomii Palestyńskiej nowe idee miały się, zdaniem wielu, stopniowo i w kilku niezależnych falach rozpowszechnić w pozostałych regionach Bliskiego Wschodu (patrz np. Bar-Yosef i Meadow 1995). Dyfuzjonizm jest jednak obecnie jedną z najmniej popularnych teorii antropologicznych (patrz Barnard 2006 [2000]). Stąd w ostatnich kilkunastu latach, w oparciu o nowe dane archeologiczne, mocno podkreśla się policentryczny i pluralistyczny charakter procesu neolityzacji (Gebel 2004), w ramach którego wspomniane inicjalne udomowienie roślin i zwierząt odbywało się często w sposób wielokrotny w odniesieniu do tych samych gatunków i w obrębie różnych obszarów. Stąd, jak zauważyła Melinda Zeder (2011: S230-S232), nie jest możliwe wydzielenie momentów przełomowych, wyznaczających granicę pomiędzy na przykład: dzikim a udomowionym, zbieractwem a uprawą czy też łowiectwem a hodowlą. Warto jednak zaznaczyć, że w przypadku wzięcia pod uwagę rewolucji symboli jako istoty przemian, sprawa początków neolitu wydaje się być bardziej jednoznaczna i prowadzi do Lewantu. To tam – w obrębie stanowisk takich jak: Wadi Faynan, Jerycho, Tell Qaramel a przede wszystkim Göbekli Tepe - odkryto pierwsze ślady architektury komunalnej ilustrującej bogate rytuały, które integrowały społeczności neolityczne.

Obszary Lewantu, Mezopotamii oraz Anatolii, charakteryzujące się regionalnym zróżnicowaniem kultury materialnej i duchowej, uznawane są za trzy główne i w zasadzie zamknięte prowincje kulturowe. Co prawda wciąż porównuje się je ze sobą, ale jednak analizuje i interpretuje się zachodzące w ich obrębie procesy w różny sposób (patrz Kuijt i Goring-Morris 2002; Özdoğan 1999a). Stąd też we współczesnej literaturze funkcjonuje wiele alternatywnych propozycji podziału (np. Kuijt i Goring-Morris 2002; Özbaşaran i Buitenhuis 2002) oraz w konsekwencji osobnych tabel chronologicznych opierających się na coraz bardziej zaawansowanych badaniach radiowęglowych¹². Przykładami na to mogą być: międzynarodowy projekt CANeW [ang. *Central Anatolian Neolithic e-Workshop*], w ramach którego podjęto próbę stworzenia bezwzględnej sekwencji chronologicznej dla stanowisk neolitycznych środkowej Anatolii (Gérard i Thissen 2002), a także niezwykle obiecujący program datowania radiowęglowego wykorzystujący statystykę w ujęciu bayesowskim (w celu poznania ogólnych założeń metodycznych patrz Bayliss 2009; Bayliss i Ramsey 2004; Buck 2004) realizowany chociażby od kilku lat na stanowisku Çatalhöyük (Bayliss *et al.* 2014).

Postęp technologiczny i metodyczny w badaniach prehistorii stanowi nie tylko rosnące wyzwanie, ale i ogromną szansę dla archeologii w jej próbach rekonstrukcji i interpretacji chronologii zmian w okresie neolitu. Tym bardziej, że w środowisku naukowym wciąż nie ma zgody, co do przyczyn pojawienia się osiadłego trybu życia oraz udomowienia roślin i zwierząt. Wczesne teorie dotyczące początków neolitu Bliskiego Wschodu, wpisując się w założenia archeologii marksistowskiej lub kulturowo-dyfuzyjnej, oparte były na wybranych aspektach związanych ze zmianami środowiskowymi i demograficznymi oraz uwarunkowaniami rozwoju rolnictwa (patrz np. Childe 1936; Braidwood 1948; Sauer 1952; Boserup 1965; Binford 1968; Flannery 1969; Cohen 1979). Coraz nowsze dane archeologiczne, sprzężone z rozwojem archeologii jako dyscypliny naukowej, wskazują jednak na ograniczenia i zbyt daleko idące uproszczenia powyższych rozważań (w celu

¹² Ważny punkt odniesienia w kontekście regionalizacji oraz chronologii wydarzeń w neolicie stanowi tzw. atlas stanowisk Bliskiego Wschodu [fr. *Atlas des Sites du Proche Orient*], który obejmuje osady z okresu około 12 000 – 3 700 BCE (Hours *et al.* 1999).

prześledzenia historii i oceny poglądów na początki osadnictwa patrz Rudebeck 2000). w efekcie hipotezy o zewnętrznych przyczynach zmian zostały zrównoważone w ostatnich dekadach przez teorie, które skupiają się na m.in.: wymianie prestiżowych towarów (Bender 1978), organizacji uczt komunalnych (Hayden 1990), magazynowaniu żywności (Kuijt 2009) oraz przede wszystkim praktykach rytualnych i systemach symbolicznych, kształtujących i determinujących zachowania ludzkie (Cauvin 2000 [1994]; Hodder 2010; Hodder i Meskell 2011; Kuijt 2008). Obecnie wydaje się zresztą, że to właśnie czynniki społeczne, w tym rozwój kognitywny i kulturowy człowieka, mogły być siłą napędową zmian epoki neolitu (patrz Watkins 2006: 20-22).



Rycina 4. Zestawienie linii czasu w odniesieniu do stanowisk Bliskiego Wschodu, chronologii Lewantu oraz warunków klimatycznych (źródło: Zeder 2011; patrz także: Aurenche *et al.* 2001; Bar-Yosef i Meadow 1995; Byrd 2005; Kuijt i Goring-Morris 2002; Nesbitt 2002; Willcox 2005).

W powyższym kontekście istotną rolę odgrywa środowisko zbudowane jako inkubator zmian oraz metaforyczna podstawa dla rozwoju złożoności ideologii i struktur społecznych. Peter J. Wilson (1988) upowszechnienie się osiadłego trybu życia nazwał „udomowieniem człowieka” i jednocześnie uznał za najważniejsze osiągnięcie epoki neolitu. Budynki mieszkalne miały zdaniem tego badacza pełnić rolę kulturowego symbolu reprezentującego ludzkie ciało, otaczający wszechświat i przyjęty

porządek świata. Również dla Iana Hoddera (1990) udomowienie grup łowiecko-zbierackich było efektem nie tyle nowego sposobu gospodarowania, ale przede wszystkim zmian w mentalności ludzkiej oraz zamieszkania w domach, będących ucieleśnieniem ówczesnych systemów symbolicznych. Próbę wyjaśnienia fenomenu neolityzacji podjął także Trevor Watkins (1990, 2005), definiując neolityczne środowiska zbudowane jako „teatry pamięci” [ang. *theatres of memory*]¹³, w których historie dotyczące danej społeczności - te bieżące, jak i przeszłe - były zapisywane, utrwalane i przekazywane kolejnym pokoleniom. Sformalizowany układ i wygląd budynków, ich wyposażenie oraz związki ze złożonymi zachowaniami społeczno-kulturowymi pozwalały jego zdaniem na to, aby abstrakcyjne koncepty, wierzenia i idee mogły zostać wyrażone w fizycznych i trwałych formach. Tę symbolikę i znaczeniowość architektury opisuję szerzej w Rozdziale 2. Wcześniej chciałbym jednak zaprezentować ogólną charakterystykę zmian w neolitycznym środowisku zbudowanym, która pozwala na usytuowanie osady Çatalhöyük w stosownym kontekście.

2. Neolityczne środowisko zbudowane

Bliskowschodnie neolityczne środowisko zbudowane, w tym wzory osadnicze oraz architektura poszczególnych budynków, podlegały na przestrzeni przedmiotowej epoki ciągłym i nierzadko znaczącym zmianom. Przemiany te miały zróżnicowany charakter w odniesieniu nie tylko do poszczególnych regionów, ale i pojedynczych stanowisk. Mimo to można zaobserwować pewne ogólne kierunki kształtowania się myśli architektonicznej, które - będąc silnie osadzone w praktykach rytualnych - pozwalają na zarysowanie najważniejszych etapów i cech procesu upowszechniania się osiadłego trybu życia (patrz Banning 1998, 2010; Kuijt i Goring-Morris 2002; Watkins 2005, 2006; także Lichter 2007).

Przełomem do poniższych rozważań stanowi chęć ukazania środkowej Anatolii i stanowiska Çatalhöyük - mimo ich dystynktywnego charakteru środowiskowego i kulturowego (Özbaşaran i Cutting 2007) – w szerszym bliskowschodnim kontekście. W tym podrozdziale świadomie unikam wyliczania i opisywania kolejnych stanowisk archeologicznych a przedstawiam, przez pryzmat współczesnych pytań badawczych, ogólną charakterystykę neolitycznego środowiska zbudowanego. Wydaje mi się to ważne ze względu na fakt, iż charakter oraz zmiany geografii społecznej osady Çatalhöyük stanowią lokalny przykład ówczesnego ponadregionalnego fenomenu (patrz Bischoff 2002; Hodder 2007; Hodder i Farid 2014: 5-9; Özdoğan 2002).

2.1 Organizacja przestrzenna osad

Na Bliskim Wschodzie w czasie trwania epoki neolitu funkcjonowały stanowiska różnego typu, zaczynając od schronisk jaskiniowych, poprzez sezonowe obozowiska i niewielkie wsie, a kończąc na rozbudowanych i złożonych osadach. Niemniej wielkość tych stanowisk, szczególnie w obrębie Lewantu, wydaje się stopniowo zwiększać, co idzie w parze z rosnącą gęstością zaludnienia (Banning

¹³ Określenie „teatry pamięci” użyte przez Trevora Watkina (2005) niewątpliwie zapożyczone jest od brytyjskiego historyka marksistowskiego Raphaëla Samuela. Naukowiec ten użył przedmiotowego pojęcia w odniesieniu do historii i dziedzictwa kulturowego, które postrzegał jako wiecznie żywą materię, stale poddawaną reinterpretacji i dopasowywaniu do realiów współczesnego świata (Samuel 1994).

1998; Kuijt 2000; Kuijt i Goring-Morris 2002; także - w odniesieniu do środkowej Anatolii - Baird 2002, 2005). Największe i najdłużej zasiedlone z późnonatufijskich obozowisk macierzystych (np. Nahal Oren, Hatoula, Abu Hureyra i 'Ain Mallaha) zajmowały powierzchnię około 0,2 ha, składając się najczęściej z kilkunastu wolnostojących półziemianek sytuowanych w linii wzdłuż stoków wzgórz lub tworzących skupiska.

Pierwsze osady neolitu preceramicznego a sprawiają ogólnie już wrażenie większych i zarazem mniej licznych. Jednocześnie te z nich, których powierzchnia sięgała około 1 ha lub nieznacznie więcej, jak na przykład Gilgal I, Jerycho i Netiv Hagdud, były wciąż stosunkowo rzadkie. Budynki składające się na stanowiska tego podokresu miały w większości charakter wolnostojący, choć często towarzyszyły im zróżnicowane obiekty – na przykład, tak jak w Hallan Çemi, Netiv Hagdud i Dhra', jamy zasobowe lub kamienne platformy, będące, jak uważają niektórzy, pozostałością silosów (Bar-Yosef i Gopher 1997; Kuijt i Finlayson 2009; Rossenberg i Redding 2000). Praktykowano także grupowanie budynków i związanych z nimi obiektów wokół centralnej i otwartej przestrzeni jak na przykład w Hallan Çemi i Jerf al-Ahmar (Rossenberg i Redding 2000; Stordeur 2000: 1-4). Warto także zwrócić uwagę, że w opisywanym okresie pojawiły się wyróżniające się kubaturą i funkcją budynki, które powszechnie interpretuje się jako obiekty komunalne [ang. *communal buildings*]. Znane są one m.in. ze stanowisk: Wadi Faynan, Jerycho i Göbekli Tepe (Finlayson *et al.* 2011; Kenyon 1957; Schmidt 2006), co szerzej opisuję w Podrozdziale 2.3.

Powierzchnia największych stanowisk wczesnej fazy neolitu przedceramicznego B, które charakteryzowały się już bardziej zwartą zabudową, nie przekraczała 4,5-5,0 ha. Już jednak od około 8 000 BCE pojawia się, w szczególności w obrębie południowego Lewantu oraz środkowej Anatolii, seria wyjątkowych stanowisk określanych w literaturze naukowej terminem „mega-osad” [ang. *mega-sites*]¹⁴ (Bienert *et al.* 2004; Simmons 2007: 175-197). Stanowiska te wyróżniały się rozbudowanymi i zwartymi układami zabudowy oraz złożoną charakterystyką społeczną, kulturową i ekonomiczną. Mega-osady zajmowały bowiem z reguły powierzchnię od 9 do 16 ha oraz zamieszkałe były przez kilku- lub kilkunastotysięczną społeczność. Do stanowisk tego typu należą między innymi: 'Ain al-Jammam (Waheeb i Fino 1997), Basta (Nissen *et al.* 2004; Gebel *et al.* 2006), 'Ain Ghazal (Banning i Byrd 1987; Simmons 1995; Rollefson 1997), Es-Sifiya (Mahasneh 1995), Tell Sabi-Abyad (Akkermans 1996; Akkermans *et al.* 2006), Tell Abu-Hureyra (Moore *et al.* 2000), Wadi Shu'eib (Simmons *et al.* 2001) oraz - w przypadku środkowej Anatolii - Aşıklı Höyük (Esin i Harmankaya 2007; Özbaşaran 2011) i Çatalhöyük (Hodder 2006)¹⁵. Wszystkie one tworzą telle, czyli sztuczne wzgórza uformowane w wyniku długotrwałego osadnictwa w jednym miejscu, którym z reguły były doliny lub rozlewiska rzeczne. Wymienione mega-osady środkowej Anatolii wydają się dodatkowo wyróżniać spośród innych osad tego typu ze względu na występowanie tzw. „skupionych sąsiedztw” [ang. *clustered neighbourhoods*] (Özbaşaran 2000: 135). Mianowicie ich zabudowę można

¹⁴ Niektórzy badacze, krytykując przywołane nazewnictwo, zwrócili uwagę, że wielkość stanowiska nie musi być tożsama z rzeczywistą wielkością osiedla (Hole 2000: 194; Akkermans 2013: 66). Stąd fenomen pojawienia się stanowisk zajmujących powierzchnię powyżej 10 ha próbowano opisać także przy użyciu innych pojęć takich jak: gigantyzm osadniczy [ang. *site gigantism*] (Rollefson 1997: 241), proto-urbanistyka [ang. *proto-urbanism*] (Gebel 1997; Bienert 2001), osady centralne [ang. *central settlements*] (Bienert *et al.* 2004; Rollefson 1987: 29-32), miasta / wsie [ang. *towns / villages*] (Simmons 1995; Rollefson 2001a: 97) lub osady agregacyjne [ang. *aggregate villages*] (Kuijt 2001, 2008).

¹⁵ Niewiele z wymienionych mega-osad objętych było lub jest szerokopłaszczyznowymi pracami wykopaliskowymi, a jeszcze mniej doczekało się całościowych publikacji, opisujących architekturę w pełnym jej kontekście. Stanowisko Çatalhöyük jest w tym względzie wyraźnym wyjątkiem.

opisać jako zespoły wielu ściśle przylegających do siebie budynków (Ryc. 5). Grupy te liczące około 30 – 40 domów były rozdzielone wąskimi przestrzeniami otwartymi (Düring 2005).



Rycina 5. Plan mega-osady Aşıklı Höyük ze wskazaniem lokalizacji wykopów archeologicznych (Özbaşaran 2011: Fig. 2).

Zdecydowana większość znanych mega-osad została opuszczona około 6 500 BCE, dając początek szeregowi niewielkich i rozproszonych wiosek okresu neolitu ceramicznego (Banning 1998, 2010; Banning *et al.* 1994; Gopher i Gophna 1993). Przyczyny opuszczenia, jak i zresztą powstania mega-osad, wciąż pozostają słabo rozpoznane (patrz Bienert *et al.* 2004; Simmons 2007: 181-191). Mimo to najczęściej nadaje się im charakter demograficzno-ekonomiczny lub społeczno-środowiskowy (np. Hole 2000: 194; Köhler-Rollefson i Rollefson 1990; Kuijt 2000; Rollefson 1992, 1996; Rollefson i Köhler-Rollefson 1989, 1992; Simmons 1995, 2000; Zielhofer *et al.* 2012). Uważa się bowiem, że zmiany w organizacji społecznej u schyłku neolitu, związane były z ukształtowaniem się zróżnicowanych systemów społeczno-ekonomicznych, stanowiących zapowiedź epoki chalkolitu i w dalszej perspektywie podstawę rozwoju złożonych społeczności miejskich (Banning 2010; Gopher i Gophna 1993: 298). W obrębie mega-osad, charakteryzujących się stosunkowo monotonnym wzorem architektonicznym (Simmons 1995: 178), nie natrafiono bowiem dotąd na przekonywujące ślady rozwarstwienia społecznego lub podziału hierarchicznego (patrz np. Bienert *et al.* 2004; Hodder 2010; Price i Bar-Yosef 2010; Verhoeven 2006).

Warto w tym miejscu zwrócić uwagę, że w środkowej Anatolii stanowiska Aşıklı Höyüki Çatalhöyük następują po sobie, co świadczy o bardziej złożonym procesie przemian przestrzennych i społecznych. Mianowicie Aşıklı Höyük, obok małych osad takich jak Boncuclu Höyük i Pınarbaşı (Baird 2012; Baird *et al.* 2012), stanowi najstarsze znane stanowisko neolityczne przedmiotowego regionu (Esin i Harmankaya 2007; Özbaşaran 2011). Badania regionalne (Baird 2002, 2005) wskazują, że opuszczenie tej mega-osady zbiega się w czasie nie tylko z rosnącym wzrostem gęstości

zaludnienia, ale późniejszą i stopniową koncentracją ludności w obrębie osady Çatalhöyük, po której - dopiero około 5 800 BCE – powstały rozproszone i mniejsze osady tellowe epoki neolitu ceramicznego i chalkolitu. Stanowiska te – również poza środkową Anatolią - charakteryzowały się już generalnie zdecydowanie bardziej luźną i zróżnicowaną zabudową oraz wydzielonymi dziedzińcami (Banning 2011: 73; Goring-Morris i Belfer-Cohen 2012).

2.2 Forma i konstrukcja budynków

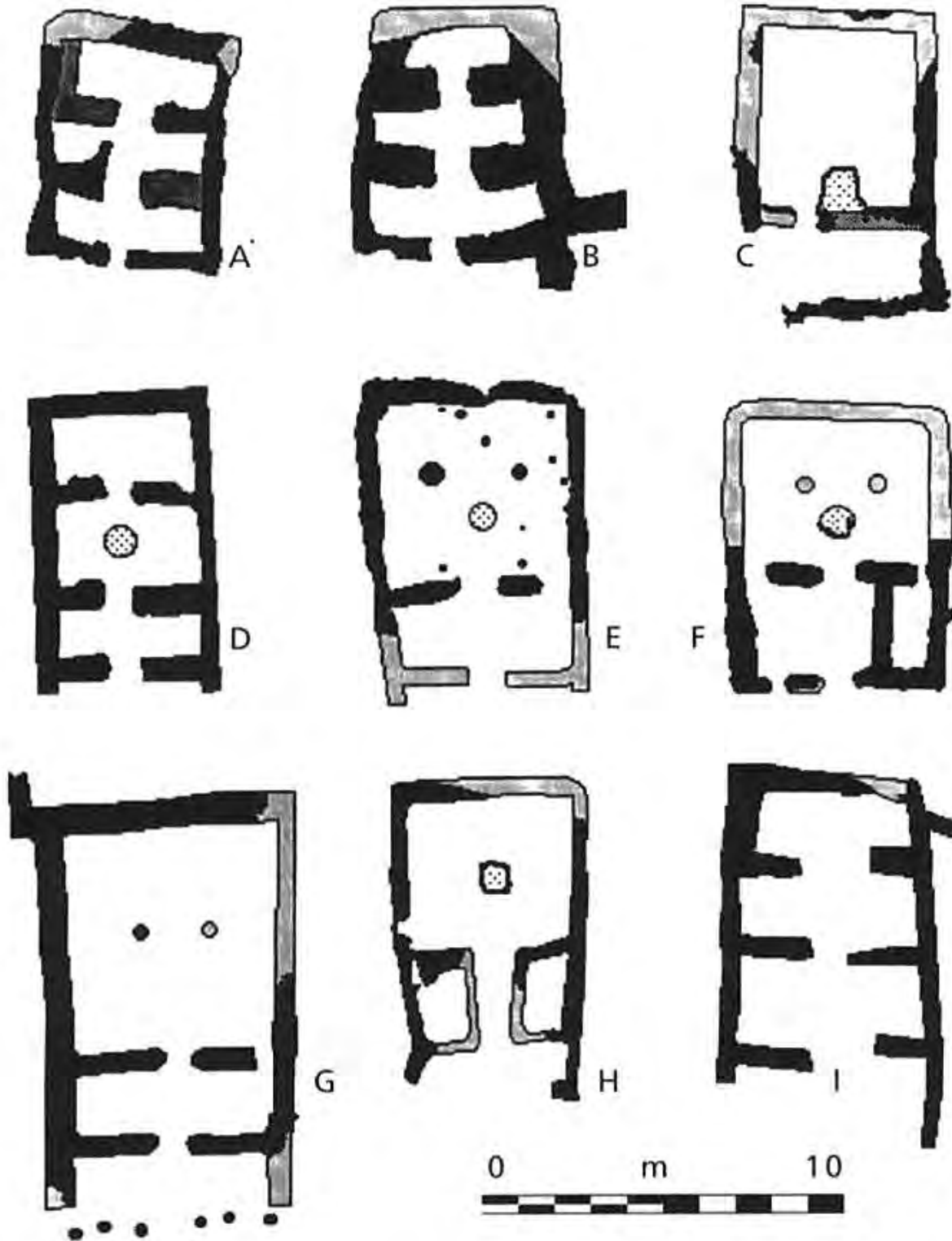
Podobnie jak wielkość bliskowschodnich stanowisk neolitycznych, tak i forma oraz konstrukcja poszczególnych budynków, były bardzo zróżnicowane w badanym okresie. Różnice te wynikają nie tylko z niejednakowego tempa rozwoju technik i strategii budowlanych, ale przede wszystkim regionalnych i odmiennych tradycji, w tym chociażby różnej dostępności surowców budowlanych. Na przykład fundamenty i ściany budynków powszechnie wykonywane były z kamienia w regionach, w których kamień był łatwo dostępny. Na innych obszarach, w tym szczególnie w środkowej Anatolii, zaczęto wykorzystywać niewypalaną cegłę mułową, która z czasem stała się najpopularniejszym materiałem budowlanym Bliskiego Wschodu (Biçakçı 2003; Schmandt-Besserat 1977; patrz także Lloyd i Müller 2004 [1972]: 9). Powszechnie i na różne sposoby jako materiał konstrukcyjny wykorzystywano drewno, choć ślady po nim zachowały się jedynie w postaci dołków postępowych, wnęk i gniazd w murach (patrz np. Kinzel 2014), a także materiału uwęglonego pochodzącego ze spalonych budynków (np. Asouti 2013: 143-146). Uwagę zwraca również intensywne użycie tynków i wypraw wapiennych do wykończenia i odnawiania powierzchni podłóg, ścian, stropów oraz innych obiektów takich jak: ławy i platformy (Anderson *et al.* 2014; Clarke 2012). Świadczą o tym wielokrotnie nałożone na siebie warstwy tychże materiałów wykończeniowych. Znane są także przypadki wykorzystania płyt wapiennych we wnętrzach budynków (np. Özdoğan 1999b).

Niezależnie od zróżnicowania wykorzystywanych materiałów ważną cechą neolitu było przejście z owalnych lub kolistych struktur do budynków wznoszonych na planie zbliżonym do prostokąta¹⁶, a także jednoczesne upowszechnienie się obiektów z płaskim stropodachem (Ryc. 6 i 7). Zmiany te wydają się bezpośrednio wiązać z rozwojem strategii i technik budowlanych, które umożliwiły tworzenie nowych układów konstrukcyjnych. Efektem wspomnianego przejścia jest chociażby pojawienie się w południowym Lewancie budynków określanych jako megarony lub „domy z gankiem” [ang. *pier houses*] (Ryc. 8) (patrz Aurench 1981; Banning 2003; Banning i Byrd 1989; Byrd 1994), a także upowszechnienie się - w środkowej Anatolii – charakterystycznej zabudowy aglutynacyjnej, w ramach której większość budynków ściśle przylegała do siebie i w konsekwencji dostępna była jedynie przez otwory w stropodachach (Duru 2002; Düring 2006; Cutting 2006; Özbaşaran 2000). W kontekście tej ostatniej najlepiej rozpoznane są stanowiska Aşıklı Höyük i Çatalhöyük. Mimo że nie były one sobie współczesne to uważa się je za osady referencyjne odpowiednio dla Kapadocji i Likaonii – dwóch różniących się między sobą krain historycznych w obrębie środkowej Anatolii (Özbaşaran i Cutting 2007).

¹⁶ Warto także zwrócić uwagę, że - mimo upowszechnienia się budynków wznoszonych na planie prostokątnym lub trapezowym - niektóre społeczności neolityczne wciąż kultywowały dawne tradycje budowlane. Na przykład obiekty na planie kolistym lub owalnym stosunkowo długo stanowiły o architekturze takich stanowisk jak na przykład: Shaqarat Mazyad i 'Ain Abū Nuklayla (Kuijt i Goring Morris 2002: 390-393).



Rycina 6. Relikty zabudowy neolitycznej na stanowiskach: a) Shubayqa (EP/EPPNA) (Tobias Richter / archiwum Shubayga Archaeological Project), b) Shkārat Msaied (MPPNB) (Moritz Kinzel / archiwum Shkārat Msaied Neolithic Project), c) Jerf el Ahmar (PPNA/PPNB) (Stordeur 1999), d) Çayönü Tepesi ([www.http://arkeolojihaber.net](http://arkeolojihaber.net)), e) Cafer Höyük (Aurenche 2007), f) 'Ain Ghazal (Banning 1998), g) Basta (Hans-Georg K. Gebel / archiwum Basta Joint Archaeological Project), h) Aşıklı Höyük (Mihriban Özbaşaran / archiwum Aşıklı Höyük).



Rycina 8. Megarony lub „budynki z gankiem” ze stanowisk neolitu preceramicznego B. Plany tego typu domów wydają się być jednolite w wyrazie architektonicznym. Mianowicie składają się na nie ganki, które prowadzą do rozległych przestrzeni domowych z paleniskiem, chociaż w przypadku relikwów budynków na stanowisku Beidha (a i b) mamy do czynienia najprawdopodobniej z kondygnacjami piwnicznymi: a-b) Beidha, c) Beisamoun, d-e) 'Ain Ghazal, f-h) Jerycho, i) Yiftahel (Banning 1998; patrz także Kirkbride 1968; Lechevalier 1978; Banning i Byrd 1987; Garstang i Garstang 1948; Kenyon i Holland 1981).

Wspomniany proces zmiany planów budynków – jakkolwiek zróżnicowany regionalnie i chronologicznie - najlepiej charakteryzują relikty architektury związane ze stanowiskami: Beidha w Jordanii oraz Çayönü Tepesi w Turcji. W obrębie pierwszego z nich zaobserwowano przejście od natufijskich szałasów wznoszonych na owalnym planie oraz przekrytych stromym dachem, poprzez częściowo zagłębione w gruncie budowle o nieregularnym obrysie oraz kamiennieo-drewnianej konstrukcji ze skośnym dachem podtrzymywanym przez centralny słup, aż po najprawdopodobniej dwukondygnacyjne i nadziemne domy wznoszone z kamienia na planie prostokąta oraz przekryte płaskim stropodachem (Byrd 2005; Kirkbride 1966). Stanowisko Çayönü Tepesi dostarcza z kolei przykładów wczesnych i częściowo zagłębionych w ziemi obiektów wniesionych po owalnym obrysie w konstrukcji szachulcowej, aż po serię budynków o prostokątnym, choć bardzo zróżnicowanym i wielodzielnym planie, kamiennieo-ceglanym układzie konstrukcyjnym oraz płaskim stropodachem. Wśród tych ostatnich za starsze uważa się domy o układzie fundamentów przypominającym ruszt [ang. *buildings with grill-plan*] lub kanały [ang. *channeled buildings*], a młodsze – budynki z podłogami wykonanymi z otoczków rzecznych lub polerowanych płyt wapiennych [ang. *cobble-paved buildings*] oraz prawdopodobnie dwukondygnacyjne obiekty z licznymi i niewielkimi pomieszczeniami w obrębie pierwszej kondygnacji [ang. *cell buildings*] (Özdoğan 1999b: 41; Schirmer 1990).

Zmiany w odniesieniu do planów budynków można także zaobserwować w przypadku mega-osady Aşıklı Höyük. Mianowicie w obrębie najstarszych faz osadniczych na tym stanowisku odślonięto ślady budynków z cegły mułowej, które posiadały owalny plan. Choć nie jest to wciąż do końca jasne czy obiekty te pełniły funkcję mieszkalną to z każdej późniejszej fazy osadniczej znane są tylko przylegające do siebie budynki wzniesione na planie prostokątnym (Esin i Harmankaya 2007; Özbaşaran 2011). Co ciekawe współczesne Aşıklı Höyük osadnictwo w Boncuklu Höyük charakteryzuje się wyłącznie domami posiadającymi owalny plan (Barid *et al.* 2012).

Analizując kubaturę i plany bliskowschodnich budynków epoki neolitu należy zwrócić także uwagę na inny ogólny kierunek zmian. Mianowicie budynki z czasem zajmują generalnie coraz większą powierzchnię oraz poddawane są coraz częściej wewnętrznym i zróżnicowanym podziałom. Wydaje się, że zewnętrznie usytuowane obiekty magazynowe – znane chociażby ze stanowisk neolitu preceramicznego A takich jak: Dhra' i Jerycho (Kuijt i Finlayson 2009; Kenyon 1981) – były stopniowo włączane w obręb domów. W efekcie od około 7 000 BCE pojawiały się na Bliskim Wschodzie intencjonalnie wydzielone pomieszczenia magazynowe (Banning 1998; Kuijt *et al.* 2011). W przypadku niektórych stanowisk takich jak: Beidha i przede wszystkim 'Ain Ghazal, 'Ain al-Jammam, Basta i Es-Sifiya, tworzyły one układy licznych i niewielkich kamer, co skłania ku przypuszczeniom, że właściwa przestrzeń domowa mogła znajdować się na wyższej kondygnacji (Banning i Byrd 1987, 1989; Kuijt 2000: 87-94). Mimo że pozostałości dachów i stropodachów są bardzo trudno uchwytnie archeologicznie to jeszcze w środkowym podokresie neolitu preceramicznego B w obrębie niektórych mega-osad mamy przekonywujące dowody na obiekty przynajmniej dwukondygnacyjne (Byrd 1994; Byrd i Banning 1988; Kinzel 2014). Warto także zaznaczyć, że od około 6 100 BCE można zaobserwować proces zwiększania się powierzchni rzutu poziomego budynków oraz włączania otwartych przestrzeni wokół budynków w celu wspomnienia domowych czynności produkcyjnych. Na przykład w okresie neolitu ceramicznego w obrębie stanowiska Sha'ar Hagolan zdefiniowane zostały zespoły, składające się z budynków i podwórza wydzielonego murami, w obrębie którego usytuowane były różnego rodzaju obiekty gospodarskie

(Goring-Morris i Belfer-Cohen 2012). Taki typ zabudowy upowszechnia się w epoce chalkolitu (Banning 2010).

2.3 Zróżnicowanie funkcjonalne budynków

Charakterystyczną cechą architektury neolitu jest zauważalne zróżnicowanie przestrzenno-funkcjonalne budynków w obrębie niektórych stanowisk, co stanowi przesłankę do wyróżniania tzw. budynków specjalnych¹⁷ (Ryc. 9). Pojawienie się i rozwój tego typu architektury były efektem znaczącego i stałego wzrostu aktywności w sferze symbolizmu (Cauvin 2000 [1994]; Mithen 2004; Kuijt 2008; Özdoğan 2001, 2002; Verhoeven 2002; Hodder i Meskell 2011). Budynki specjalne, których budowa i utrzymanie wiązały się niewątpliwie z koniecznością odpowiedniego planowania oraz pracy kolektywnej, znane są już z okresu neolitu przedceramicznego A. Na przykład na stanowiskach Jerycho i Tell Qaramel odsłonięto relikty nietypowych budowli, mających generalnie formę kilkumetrowych, masywnych wież wzniesionych z nieobrobionego kamienia i posiadających starannie wykonane klatki schodowe (Kenyon i Holland 1981; Mazurowski i Kanjou 2012). Początkowo opisywane konstrukcje interpretowano jako obiekty obronne, mające zapewnić bezpieczeństwo mieszkańcom osady (Kenyon 1956: 184-196). z czasem jednak pojawiły się sugestie, że pełniły one przede wszystkim funkcję rytualną (Bar-Yosef 1986; Mazurowski 2014; Naveh 2003; Ronen i Adler 2001). Co ciekawe, tego typu budowle nie są znane dotąd z innych neolitycznych stanowisk Bliskiego Wschodu (Düring 2011).

Intrygujący przykład budowli komunalnej datowanej na około 9 600 BCE pochodzi ze stanowiska Wadi Faynan (Mithen *et al.* 2011; Finlayson *et al.* 2011), gdzie odkryto relikty dużego i częściowo zagłębionego w gruncie obiektu o owalnym i symetrycznym planie oraz ścianach fundamentowym oraz łączyło regularną nieckę w osi symetrii budynku oraz dookólną ławę usytuowaną wzdłuż ściany fundamentowej. Inne wyraźne przykłady budowli komunalnych z tego okresu pochodzą ze stanowiska Jerf-al-Ahmar, choć budynki te, w porównaniu z obiektem z Wadi Faynan, różnią się prawdopodobną wspólną przestrzenią magazynową i zdecydowanie mniejszą powierzchnią zabudowy (Stordeur 2000). To, co jednak łączy te dwa stanowiska i budynki to intencjonalne depozyty czaszek zwierzęcych, motywy dekoracyjne na ławach oraz ślady wielokrotnych prac odnawiających prowadzonych we wnętrzach tych budynków.

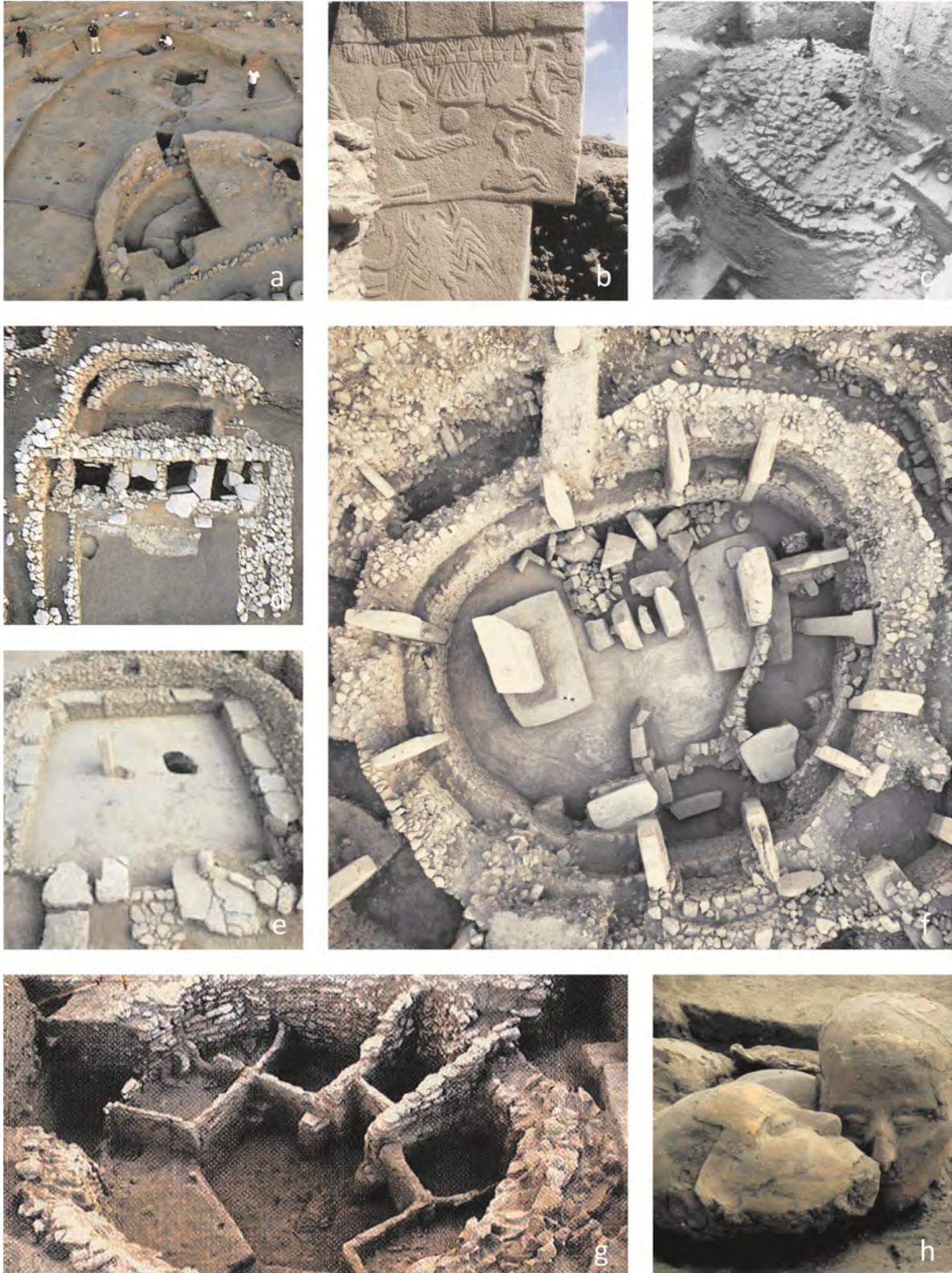
Kolejnym i niezwykle ważnym miejscem w kontekście budowli komunalnych jest stanowisko Göbekli Tepe datowane na około 9 200 do 8 400 BCE. Odkryto tam liczne i duże budynki wzniesione na kolistym planie z użyciem kamienia, które wyposażone były w monolityczne i bogato rzeźbione układy kilkumetrowych słupów kamiennych w kształcie litery T (Schmidt 2006). Konstrukcje te, znane również z późniejszych stanowisk takich jak: Çayönü Tepesi (Özdoğan 1999b; Schirmer 1990) i Nevali Çori (Hauptman 1993, 1999), wydają się wyznaczać początki sztuki monolitycznej. Stanowią one nie tylko przykład wyraźnej i starannie wykonanej formy architektonicznej, ale także zdumiewający efekt wspólnego wysiłku społecznego i oznakę wysokiego poziomu wyobraźni wczesnoneolitycznej społeczności. Klaus Schmidt (2010, 2012) uważał stanowisko Göbekli Tepe, w obrębie którego nie

¹⁷ Neolityczne budynki mieszkalne, definiowane są przede wszystkim w oparciu o wyodrębniane w ich obrębie paleniska i obiekty zasobowe, a także zabytki ruchome charakterystyczne dla czynności domowych (Nadel 2003: 420). Z kolei obiekty specjalne wydziela się na podstawie zróżnicowanego i bardziej starannego sposobu wykonania i aranżacji wnętrz oraz znajdujących w ich obrębie unikatowych, bo pochodzących z importu artefaktów (Stordeur 2000).

stwierdził istnienia obiektów mieszkalnych, za regionalne sanktuarium. Odwoływał się tym samym do teorii Lewisa Mumforda (1961), zgodnie z którą pierwsze miasta rozwinęły się ze stałych osad usytuowanych wokół istotnych obiektów kultu. Edward B. Banning (2011) zasugerował jednak, że imponujące obiekty odsłaniające w Göbekli Tepe mogły w rzeczywistości nie być świątyniami, ale symbolicznie złożonymi domami komunalnymi. Badacz ten, przywołując dane etnograficzne i archeologiczne, skrytykował przede wszystkim wyznaczanie ostrych granic pomiędzy *sacrum* a *profanum* w neolicie, zwracając uwagę, że zróżnicowane praktyki i obiekty rytualne z pewnością nie były ograniczone tylko i wyłącznie do budynków specjalnych. Zauważył także, że obiekty w Göbekli Tepe mogły być w rzeczywistości zadane a dominujące w każdym z nich przedstawienia zoomorficzne mogły odzwierciedlać klany lub inny rodzaj jednostek społecznych zaangażowanych we wznoszenie i użytkowanie tych struktur.

Stanowisko Göbekli Tepe ma swoją kontynuację w początkowej fazie okresie neolitu preceramicznego B, w której budynki komunalne charakteryzują się pod wieloma względami jeszcze większą ogólną złożonością architektoniczną. Niektóre obiekty odkryte na stanowiskach Tell 'Abr 3 lub Nevali Çori zdecydowanie wyróżniają się wystrojem wnętrz i znajdującym w ich obrębie inwentarzem (Yartah 2004; Hauptmann 1999). W przypadku tego ostatniego mamy do czynienia m.in. z budynkiem, który został wbudowany w sekwencję innych, wcześniejszych struktur. Obiekt ten posiada kamienne filary (podobne jak te w Göbekli Tepe), starannie wykonaną i trwałą podłogę z wypalanego wapna i gliny [ang. *terazzo floor*] oraz liczne dekoracje ryte. Także na wspomnianym już kilkakrotnie stanowisku Çayönü Tepesi udokumentowano kilka podobnych budynków, zawierających liczne przykłady nietypowych elementów wyposażenia i aranżacji wnętrz (regularnych i dekorowanych filarów, horyzontalnie usytuowanych bloków kamiennych oraz nisz, ław, podłogowych płyt kamiennych i zróżnicowanych instalacji ściennych), a także depozytów specjalnych w postaci chociażby licznych czaszek ludzkich (Özdoğan 1999b; Schirmer 1990; patrz także Matheson i Loy 2001). Mehmet Özdoğan (2002) argumentował, że w jednej z późnych faz osadniczych na tym stanowisku – współczesowej z zasiedleniem Çatalhöyük - istniała część osady, na którą składały się budynki specjalne powiązane z obiektami mieszkalnymi większymi i lepiej zbudowanymi w porównaniu z obiektami usytuowanymi w drugiej części (patrz także Davis 1998). Może to świadczyć o rzeczywistym zróżnicowaniu społecznym lub, co bardziej prawdopodobne, istnieniu zespołu budynków, które użytkowane były przez całą lub większą część społeczności aniżeli elity. Takie wnioski sugerują zresztą wyniki badań w mega-osadach takich jak: Basta lub 'Ain Ghazal, w obrębie których zidentyfikowano grupy budynków służących najprawdopodobniej celom wspólnym (Banning i Byrd 1987; Byrd 1994; Gebel *et al.* 2006).

Wydaje się, że budynki komunalne właściwe są starszym okresom młodszej epoki kamienia, podczas gdy w późnym neolicie preceramicznym B oraz neolicie ceramicznym mamy do czynienia z obiektami, które użytkowane były co prawda również wspólnie, ale przez mniejsze grupy. Dobrym przykładem tego procesu zmian społecznych i architektonicznych są „domy historii” [ang. *history houses*], które wyróżniono na stanowisku Çatalhöyük (Hodder i Pels 2010). Ian Hodder zasugerował, że te specjalne budynki były bardziej złożone aniżeli inne domy, posiadały więcej pochówków usytuowanych poniżej podłóg, a także funkcjonowały przez dłuższy czas oraz były wielokrotnie przebudowywane. Domy te jego zdaniem w oczywisty sposób łączyły funkcje mieszkalne i rytualne, służąc prawdopodobnie gospodarstwu rozszerzonym, chociaż jednocześnie nie pełniły dodatkowej roli w kontroli produkcji, wymianie oraz magazynowaniu żywności. Tym samym „domy historii”



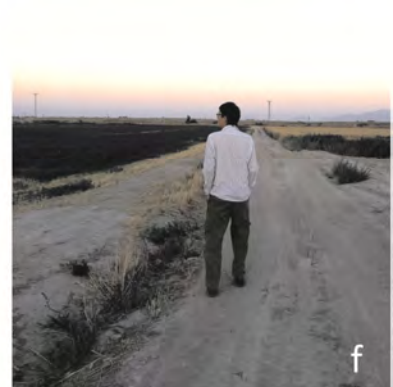
Rycina 9. Relikty neolitycznych budowli komunalnych i ślady praktyk rytualnych na stanowiskach: a) Wadi Faynan (PPNA) (Steven Mithen i Bill Finlayson / archiwum Wadi Faynan), b) Göbekli Tepe (PPNB) (Klaus Schmidt / archiwum Göbekli Tepe), c) Jerycho (PPNA) (Kenyon 1957), d) Çayönü Tepesi (PPNB) (Mehmet Özdoğan / archiwum Çayönü Tepesi), e) Nevalı Çori (PPNA) (Harald Hauptmann / archiwum Nevalı Çori), f) Göbekli Tepe (PPNB) (Klaus Schmidt / archiwum Göbekli Tepe), g) Jerf al Ahmar (PPNA/PPNB) (Stordeur 2000), h) Tell Aswad (PPNB) (Stordeur 2003).

w Çatalhöyük, które szerzej opisuję w Rozdziale III, spełniają kryteria budynków specjalnych, choć jednocześnie nie były obiektami komunalnymi.

W powyższym kontekście neolityczne osady środkowej Anatolii wydają się wpisywać w czasowe i regionalne trendy oraz jednocześnie wykazywać podobieństwa z Lewantem i Mezopotamią z jednej oraz z rejonem Marmara i Bałkanami z drugiej strony. Mehmet Özdoğan (2010, 2011) argumentował, że na wschodzie mamy generalnie do czynienia z funkcjonowaniem budynków komunalnych oraz naciskiem położonym na pamięć o przodkach, co odzwierciedlają praktyki sepulkralne realizowane wewnątrz domów (patrz Kuijt 2000; Koutsadelis 2007; także Bondgofsky 2006; Kuijt 2008, 2009). Z kolei na zachodzie budynki specjalne, służące większym grupom społecznym, wydają się zdaniem tego badacza nie dominować lub w ogóle nie występować, a pochówki ludzkie – być organizowane poza przestrzeniami domowymi. Poza wspomnianymi „domami historii” w Çatalhöyük warto jednak w tym miejscu zwrócić także uwagę na nietypowy zespół budynków w południowo-zachodniej części osady Aşıklı Höyük oddzielony od reszty zabudowy szeroką i wybrukowaną przestrzenią otwartą. Z budynków tych zachowały się głównie masywne fundamenty z kamienia i cegły, a także podłogi wapienne, malowane ławy usytuowane wzdłuż ścian oraz koncentracje artefaktów sugerujące czynności związane z komunalnym oprawianiem i dzieleniem mięsa. Na uwagę zwraca także pochówek kobiety z dzieckiem, której czaszka nosi ślady przeprowadzonego zabiegu trepanacji. Wszystkie te elementy zdecydowanie odróżniają opisywaną część osady od reszty budynków, będących w znacznym stopniu obiektami zestandardyzowanymi i pozbawionymi cech specjalnych¹⁸, w tym śladów sztuki symbolicznej (Esin i Harmankaya 2007; Özbaşaran 2012). Co ciekawe, we współczesnym Boncuklu Höyük – stanowisku usytuowanym w bliskim sąsiedztwie Çatalhöyük – natrafiono na pozostałości malowanych podłóg i bukranionów, ślady podpodłogowych pochówków oraz odłączania czaszek od reszty układu kostnego, a także świadectwa podziału na tzw. „czyste” i „brudne” strefy w obrębie domostw (Baird *et al.* 2012).

Powyższe spostrzeżenia pozwalają dostrzec wewnątrzregionalną różnorodność praktyk rytualnych i zachowań ludzkich. Stanowisko Çatalhöyük, pomimo indywidualnego rysu związanego przede wszystkim ze złożonością symboliczną, jest częścią unikalnej lokalnej tradycji neolitycznej środkowej Anatolii, która przejawia się w określonych praktykach budowlanych i rytualnych. Osada ta wpisuje się jednocześnie w szersze bliskowschodnie trendy społeczne, demograficzne, ekonomiczne i architektoniczne (Hodder 2007a; Hodder i Farid 2014). Dotyczy to także przemian przełomu neolitu i chalkolitu kiedy to stopniowo następuje rozpad dużych społeczności, rośnie autonomia konkurujących ze sobą rozszerzonych gospodarstw domowych (np. Düring i Marciniak 2006), a także – w wyniku kolejnych zmian w organizacji społecznej - pojawiają się nowe formy zabudowy, w tym budynki pełniące funkcji świątyni i warsztatów (Banning 2010).

¹⁸ Nie znaczy to, że budynki te nie mogły być wyposażone w elementy o religijnym lub symbolicznym znaczeniu, które były jednak wykonane z nietrwałych organicznych materiałów i w efekcie nie zachowały się (Esin i Harmankaya 1999).

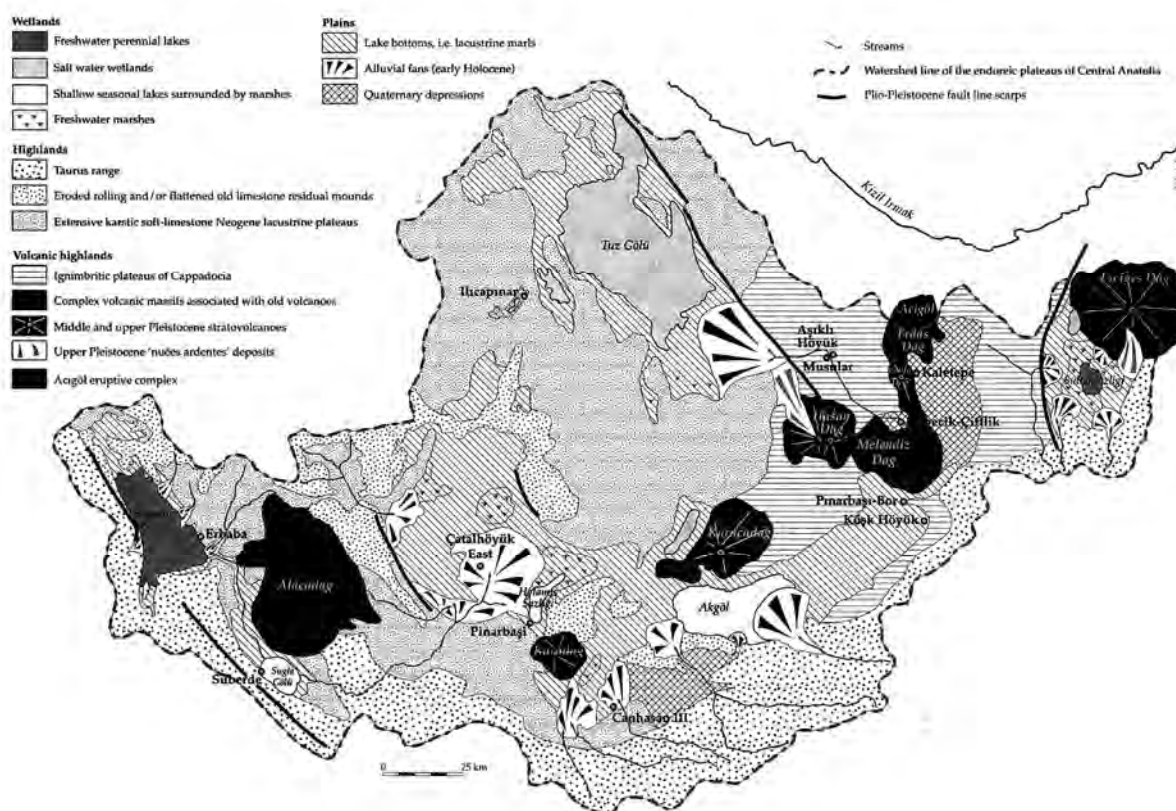


Rycina 10. Zestawienie panoram i impresji krajobrazowych, charakteryzujących bezpośrednio otoczenie stanowiska Çatalhöyük: a) widok na masyw wulkaniczny Hasan Dağ (fot. M.Z. Barański), b-c) szata roślinna w bezpośrednim sąsiedztwie tellu (fot. M.Z. Barański), d) widok od południa na współczesne zadaszanie nad wykopem North (fot. J. Quinlan), e) widok na pola uprawne w sąsiedztwie stanowiska (fot. J. Quinlan), f) ścieżka wokół tellu (fot.: A. Badtke).

3. Çatalhöyük

3.1 Zarys fizyczno-geograficzny

Stanowisko Çatalhöyük położone jest na Równinie Konijskiej, która stanowi południową część aluwialnej Wyżyny Anatolijskiej, rozciągającej się na cały obszar regionu środkowej Anatolii (Ryc. 10). Równina ta otoczona jest od zachodu, południa i wschodu łańcuchami systemu górskiego Taurus. Północną granicę tego obszaru wyznaczają z kolei rozległe i słone jezioro Tuz oraz płaskowyże: Obruk i Cihanbeyli wchodzące w skład historycznych krain – odpowiednio Kapadocji i Frygii (Nowa encyklopedia powszechna PWN).



Rycina 11. Geomorfologiczna mapa środkowej Anatolii z zaznaczonymi najważniejszymi neolitycznymi stanowiskami archeologicznymi (Hodder 2005: Fig. 1.1; patrz także Kuzucuoğlu 2002).

W krajobrazie Równiny Konijskiej, będącej pozostałością po rozległym plejstocenijskim jeziorze, dominuje płaski teren (o średniej wysokości około 1 000 m n.p.m.) z pojedynczymi masywami wulkanicznymi oraz licznymi bezodpornymi kotlinami z jeziorami reliktoowymi i tektonicznymi (Ryc. 11). Ponadto obszar ten przecięty był w prehistorii przez szeroko rozlane, a w znacznym stopniu skanalizowane obecnie, wody rzeki Çarşamba (Roberts *et al.* 1996, 2001). Neolityczna osada Çatalhöyük prawdopodobnie zajmowała jedną z niewielkich wysp rzecznych utrwalonych przez roślinność szuwarową (Boyer *et al.* 2006) (Ryc. 12) lub, jak sugerują niektóre nowsze badania, położona była w obrębie obszaru depresyjnego odgradzonego od rzeki przez niskie wały marglowe (Doherty 2013). Horyzont wokół stanowiska, zamykają: skaliste pasmo środkowego Taurusu oraz wspomniane masywy wulkaniczne, z których najbliższe oddalone są o około 40 km. Na południowym wschodzie zwraca uwagę wulkaniczny masyw Karadağ (2 271 m n.p.m.), a na północnym wschodzie

wyraźnie dominuje w krajobrazie bliźniaczy stożek aktywnego niegdyś wulkanu Hasan Dağ¹⁹ (3 268 m n.p.m.). Za nim, w odległości 200 km od stanowiska, usytuwane są masywy Göllü Dağ i Nenezi Dağ – podstawowe źródła obsydianu wykorzystywane przez neolityczne społeczności (Carter *et al.* 2008: 904-906; patrz także Balkan-Atlı *et al.* 1999; Erdoğu *et al.* 2003).



Rycina 12. Artystyczna rekonstrukcja osady Çatalhöyük i jej najbliższego otoczenia (rys.: J.G. Swogger).

Łagodny i wilgotny klimat kontynentalny²⁰ środkowej Anatolii oraz wynikające z niego bogactwo środowiska przyrodniczego stwarzały korzystne warunki dla życia i rozwoju osady Çatalhöyük. W ówczesnym krajobrazie, podobnie jak dziś, dominowała roślinność stepowa, ustępująca zagajnikom dębowym ze skupiskami jałowców, drzew pistacjowych i brzoź na pogórzach oraz dębowo-sosnowo-cedrowymi lasami na wyżej położonych i lepiej nawodnionych terenach górzystych (Asouti 2005: 243-253; 2013: 146-148). Rozlewisko rzeki, jak i sąsiadujące z nią obszary zalewowe, stanowiły środowisko życia wielu gatunków mięczaków, ryb, ptaków wodnych, płazów i gadów, a także miejsce wodopouju dzikich zwierząt takich jak m.in.: tury, jelenie, dziki, lisy oraz zwierzęta z rodziny kotowatych (Russel i Martin 2005; Russel i McGowan 2005; Jenkins 2005).

¹⁹ Niektórzy badacze uważają, że to właśnie zarys tego wulkanu utrwalony został na jednym z naściennych malowideł w Çatalhöyük, które jednocześnie miałyby być najwcześniejszym znanym planem osady ludzkiej (np. Schmitt *et al.* 2014).

²⁰ Obecnie na Wyżynie Anatolijskiej panuje generalnie łagodny klimat kontynentalny ze średnią rocznych opadów i temperatur nieprzekraczających odpowiednio 350 mm i 12°C. Widoczna jest wyraźna różnica pomiędzy wilgotnymi, chłodnymi zimami (średnio 330 mm i 2,7°C) oraz suchymi, gorącymi okresami letnimi (średnio 90 mm i 22°C), z ekstremalnymi temperaturami sięgającymi odpowiednio -25°C oraz 35°C. Ponadto można zaobserwować sezonowe zróżnicowanie kierunku wiatru, z przewagą wiatrów północnych zimą oraz południowych w okresie wiosennym i letnim (De Meester 1970: 23, 28; Roberts *et al.* 1996: 19).

Obszary te jednocześnie wykorzystywane były częściowo do wypasania kóz i owiec, które stanowiły podstawę diety mięsnej (Richards i Pearson 2005). Opisane warunki klimatyczne i środowiskowe nie były jednak stałe w czasie opisywanej epoki. Poziom wilgotności powietrza w obrębie chociażby Równiny Konijskiej wzrastał bowiem od wczesnego holocenu do około 7 000 BCE, kiedy to nastąpiło stopniowe osuszanie się klimatu, pociągające za sobą zmiany w krajobrazie i środowisku przyrodniczym (Assouti 2005: 248; Eastwood *et al.* 2007). Niektórzy naukowcy (np. Mellaart 1967) widzieli lub widzą w tych zmianach główny powód opuszczenia neolitycznej osady. Przemawiać za tym miała zbieżność momentu mocnego oziębienia i osuszenia klimatu, co nastąpiło około 6 200 BCE, z datami radiowęglowymi dla końca neolitycznego Çatalhöyük. Wyniki polskich badań (patrz Marciniak *et al.* 2015b), pozwalające na wydłużenie osadnictwa na wschodnim tellu i jednocześnie dowodzące jego równoczesowości z pierwszymi fazami zasiedlenia zachodniego wzgórza zwróciły uwagę na istotne i krytyczne zmiany w organizacji społecznej u schyłku funkcjonowania osady, o czym piszę w dalszej części pracy.

3.2 Opis i chronologia stanowiska

Stanowisko Çatalhöyük obejmuje dwa wzgórza: *Çatalhöyük East* i *Çatalhöyük West*, które zajmują obecnie powierzchnię łącznie około 37 ha²¹. Fakt ten czyni Çatalhöyük jednym z największych stanowisk neolitycznych na terenie Bliskiego Wschodu (Hodder 2006).

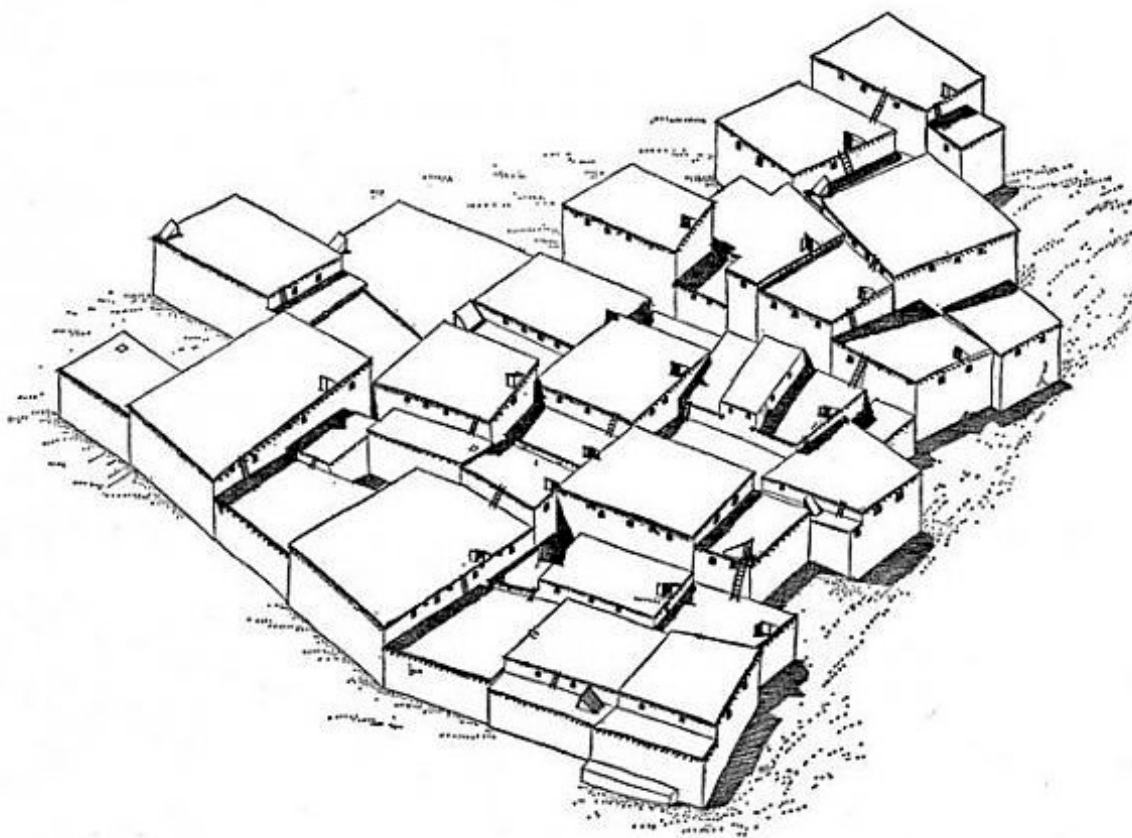
Geneza wschodniego tellu, będącego tematem niniejszej pracy, jest wcześniejsza, bo sięga około 7 4000 BCE (Cessford 2005a). Osadnictwo neolityczne w tym miejscu trwało nieprzerwanie do około 5 900 BCE (Marciniak *et al.* 2015b). Okres ten, zgodnie z ogólnie przyjętą tabelą chronologiczną środkowej Anatolii, należy wiązać z neolitem preceramicznym i neolitem ceramicznym (Özbaşaran i Buitenhuis 2002). Świadczy o tym również efektowny, co skomplikowany układ stratyfikacji, tworzący tell, który wznosi się około 20 m nad poziom otaczającego terenu²² a jego owalny plan zamyka się w prostokącie o wymiarach 500 x 300 m (Pollaard *et al.* 1996). Jednym z podstawowych i najbardziej charakterystycznych elementów tego układu są rozbudowane sekwencje ściśle przylegających do siebie budynków z cegły mułowej. Ze względu na tak wysoką gęstość zabudowy uważa się, że główną przestrzeń publiczną i komunikacyjną osady stanowiła powierzchnia płaskich stropodachów, w których wykonane były otwory prowadzące do wnętrza poszczególnych budynków (Ryc. 13) (Hodder 2006). Tym samym Çatalhöyük wpisuje się w tradycję zabudowy aglutynacyjnej stanowisk środkowej Anatolii.

Przypuszcza się, że w obrębie opisywanej neolitycznej osady mogło mieszkać od 3 do 8 tysięcy ludzi (m.in. Cessford 2005b; Düring 2003; Matthews 1996: 86). Była to najprawdopodobniej egalitarna społeczność, która zajmowała się zbieractwem, myślistwem oraz, choć w mniejszym stopniu, uprawą roślin i hodowlą zwierząt. Reprezentowała przy tym jednorodny i niezwykle trwały model kulturowy, którego ważną częścią były obrządek pogrzebowy i pamięć o przodkach. Tak jak pochówki, sytuowane wewnątrz domów, tak i konstrukcja, utrzymanie, przebudowa i rozbiórka

²¹ Sam wschodni tell zajmuje powierzchnię około 13 ha (Hodder 2006).

²² Rzędne wysokościowe wokół stanowiska oscylują wokół 1 000 m n.p.m.

budynków oraz następujące po sobie zmiany aranżacji wewnątrz były istotną częścią procesu integracji i tożsamości lokalnej (Hodder 2006; Hodder i Cessford 2004).



Rycina 13. Rekonstrukcja zespołu budynków z poziomu VI według Jamesa Mellaarta (Mellaart 1967: Fig. 13).

Modelowe, klasyczne domy w Çatalhöyük, wznoszone na planie prostokąta i usytuowane wzdłuż linii wschód-zachód lub północ-południe, miały przeważnie powierzchnię około 25 m². Składały się one z większego pomieszczenia mieszkalnego i przynajmniej jednego aneksu, w obrębie którego magazynowano żywność. Większość domów, w obrębie głównego pomieszczenia, posiadała strefę centralną, nieznacznie obniżoną w stosunku do otaczających ją obiektów architektonicznych. Mianowicie od wschodu i północy granicę tej strefy wyznaczały otynkowane i usytuowane wzdłuż ścian platformy, które często rozdzielone były ławami. Uważa się, że miejsca te służyły do siedzenia i pracowania w ciągu dnia oraz spania w ciągu nocy. Pod platformami sytuowano przeważnie pochówki męskie i kobiece, przy czym zmarłych chowano w skurczonej pozycji, obwijając ich w maty oraz rzadko wyposażając w dary grobowe. Z pochówkami związane były prawdopodobnie malowidła, reliefy i inne dekoracje naścienne, zdobiące lica północnych, wschodnich i zachodnich ścian. Niekiedy monotonię na gładko otynkowanych murów przełamowały dodatkowo filary przyścienne. Obiekty te wykonane z drewna i pokryte tynkiem pełniły w różnych przypadkach funkcję dekoracyjną lub konstrukcyjną, podtrzymując belki stropowe (Hodder i Farid 2014: 19-21). Filary, podobnie jak platformy i ławy, były niekiedy malowane lub zdobione innymi elementami, takimi jak na przykład bukraniony czyli czaszki byków z porożem.

W części południowej domów znajdowała się tak zwana strefa brudna [ang. *dirty floor*] w przeciwieństwie do części północnej – czystej [ang. *clean floor*] (Hodder i Cessford 2004). To

właśnie wzdłuż południowej ściany usytuowane były instalacje takie jak: kopulaste piece, podwyższone paleniska oraz obiekty na ciecze i inne produkty spożywcze. Nad piecem, najprawdopodobniej pozbawionym pionu kominowego, znajdował się otwór w stropodachu i drabina, która przylegała do południowej ściany, o czym świadczą niekiedy zachowane ślady w tynku. W pomieszczeniu magazynowym usytuowane były najczęściej zróżnicowane pojemniki lub schowki, służące przechowywaniu żywności (Hodder 2006) (Ryc. 14).



Rycina 14. Plan wnętrza modelowego budynku w Çatalhöyük (fot.: J. Quinlan; opracowanie własne).

Stratygrafia Çatalhöyük naznaczona jest przez generalną kontynuację planów budynków, w ramach której relikty murów wcześniejszych domów wykorzystywane były jako fundamenty tych nowowznoszonych w danym miejscu. Ciągłość tradycji widoczna jest także w powtarzalnej aranżacji oraz wielokrotnym odnawianiu wnętrz poszczególnych obiektów, czego świadectwem są sekwencje warstw tynków na ścianach, podłogach, platformach i ławach (Matthews 2005a; patrz także Hodder 2007).

Uważa się, że neolityczne Çatalhöyük - w trakcie blisko 1 500 lat swojej historii - przechodziło przez stopniowy rozwój niezakończony przez żadne nagłe i dramatyczne wydarzenia (Hodder 2006). Co prawda zarówno wczesne, jak i późne fazy osadnicze na wschodnim tellu pozostają z różnych względów słabo rozpoznane, niemniej w organizacji przestrzennej i społecznej osady można zaobserwować pewne zmiany. Mianowicie, od około 6 500 BC, zauważalny jest stopniowy spadek wielkości populacji zamieszkującej wschodni tell (Cessford 2005b; Düring 2003; Hillson *et al.* 2013: 372-373; Matthews 1996: 86). Jednocześnie osada charakteryzowała się coraz mniejszą gęstością zabudowy i wzrostem powierzchni niezabudowanych, wydzielających skupiska budynków. Poszczególne domy zajmowały przy tym generalnie coraz większą powierzchnię i charakteryzowały się większą złożonością w odniesieniu do konstrukcji oraz planów (Düring 2001; Hodder i Farid 2014: 31-

34). Jest także bardzo prawdopodobne, że niektóre z nich były przynajmniej dwupoziomowe (Cutting 2005: 165-167; Hodder 2009; Stevanović 2012a; także Barański *et al.* 2015: 116-120). Te i wiele innych zmian powiązanych było z transformacjami społecznymi okresu neolitu ceramicznego. Uważa się bowiem, że poszczególne gospodarstwa domowe z czasem stawały się coraz bardziej złożone i niezależne oraz w coraz mniejszym stopniu skupione na kultywowaniu dotychczasowych tradycji (Düring i Marciniak 2006: 181; Hodder 2006: 249-256; Hodder i Farid 2014: 33-34; Marciniak *et al.* 2015a).

Na przełomie 7. i 6. Tysiąclecia p.n.e. (patrz Marciniak *et al.* 2015b) osiedle na wschodnim tellu, z niewyjaśnionych do końca dotąd powodów, przestało funkcjonować, a w jego pobliżu rozwinęła się nowa chalkolityczna osada, *Çatalhöyük West* (Mellaart 1965; Biehl i Rosenstock 2009; patrz także Hodder 2006: 13-14). Nigdy nie osiągnęła ona jednak takich rozmiarów²³ i znaczenia jak wschodni tell oraz została opuszczona około 5 200 BCE (Cessford 2005a).

Zarówno wschodnie, jak i zachodnie wzgórze było epizodycznie wykorzystane we wczesnej epoce brązu i wczesnej epoce żelaza, a w okresie hellenistycznym i rzymskim funkcjonowały na nich niewielkie i wciąż niewystarczająco rozpoznane osady (Czerniak *et al.* 2001; 2002; Czerniak i Marciniak 2004; 2005; Marciniak *et al.* 2012, 2013; Filipowicz *et al.* 2014). Z kolei w okresie bizantyjskim i przede wszystkim w średniowieczu oba telle stanowiły miejsce chowania zmarłych (Kwiatkowska 2009; Gibson i Last 2000; Moore i Jackson 2014). Na podstawie polskich badań wiadomo, że mużułmańska nekropolia czynna była najprawdopodobniej od około drugiej połowy XIII wieku do połowy XVII wieku (Kwiatkowska 2009: 133). W Anatolii czas ten przypada na okres od późnych rządów Seldżukidów aż do imperium otomańskiego.

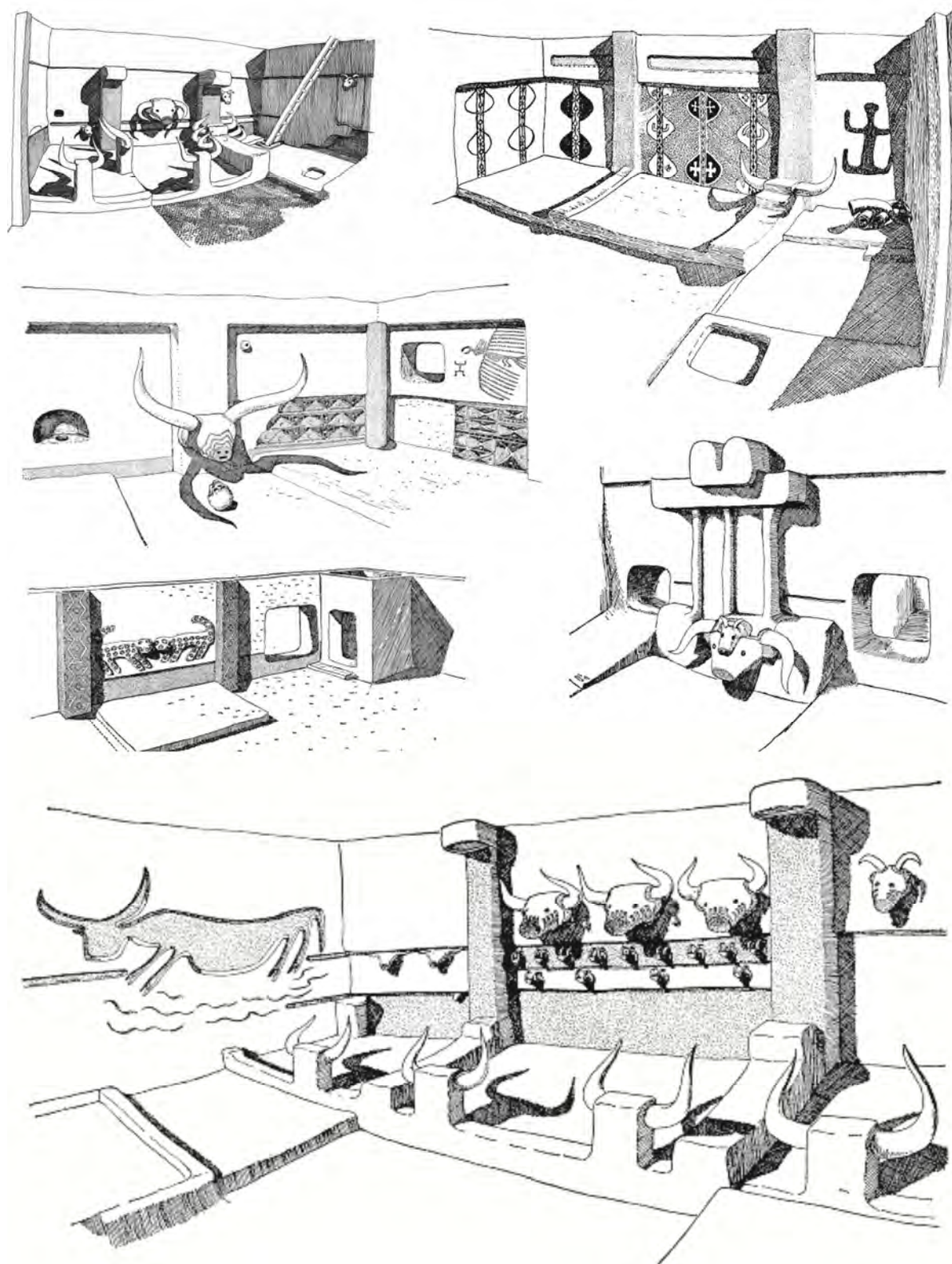
3.3 Historia i metodyka badań

Çatalhöyük odkrył dla współczesnego świata angielski archeolog James Mellaart (University of London, Wielka Brytania) w 1958 roku w trakcie badań powierzchniowych Wyżyny Anatolijskiej (Mellaart 1954: 33) i to on, w latach 60. XX wieku prowadził na stanowisku pierwsze prace wykopaliskowe (Mellaart 1967). Badania te, w sezonach: 1961, 1962 i 1963 (Mellaart 1962; 1963; 1964), ograniczyły się praktycznie do obszaru wschodniego, większego tellu, chociaż w ich ramach otwarto również niewielkie wykopy na chalkolitycznym wzgórzu. Opisywane prace zakończyły się niewyjaśnionym dotąd skandalem, w wyniku którego James Mellaart oskarżony został o kradzież cennych artefaktów archeologicznych oraz otrzymał dożywotni zakaz wjazdu do Turcji (Balter 2005). Jego badania w 1965 roku kontynuowane były przez Iana Todda (Mellaart 1966; Todd 1976), a następnie stanowisko zostało na długi czas zamknięte.

Główny obszar zainteresowania Jamesa Mellaarta, przedstawiciela szkoły kulturowo-historycznej w archeologii, stanowiły zagadnienia związane z budownictwem i materialnymi korelatami symbolizmu religijnego neolitu anatolijskiego (Mellaart 1967). Prowadzone przez niego badania miały charakter krótkotrwały, ale jednocześnie cechowała je bardzo duża intensywność. Mianowicie podczas czterech kilkumiesięcznych sezonów badań odkrył on rękoma grupy kilkudziesięciu wykwalifikowanych pracowników fizycznych relikty około 300 budynków. James

²³ Zachodni tell *Çatalhöyük West* ma obecnie około 7 metrów wysokości i owalny kształt o promieniu 400 m (Pollard *et al.* 1996).

Mellaart obiekty te przyporządkował kilkunastu różnym poziomom osadniczym, począwszy od I i najmłodszego do XII - najstarszego (poziom VI podzielony został z czasem na fazy: a i B) (Mellaart 1967: 49).



Rycina 15. Rekonstrukcje tzw. świątyń z poziomówVI-VII według Jamesa Mellaarta (Mellaart 1967).

W analizie i interpretacji pozyskanego materiału pomagał Jamesowi Mellaartowi zespół kilkunastu archeologów i antropologów (Mellaart 1967: 11-14). Warto podkreślić fakt, że członkiem ekipy badawczej był także londyński architekt Peter Winchester. To najprawdopodobniej jemu zawdzięczamy niezwykle efektowne rysunki aksonometryczne i perspektywiczne budynków (Ryc. 15), które James Mellaart, ze względu na ich wyróżniający się poziom wystroju i wyposażenia wnętrz, nazwał subiektywnie świątyniami (Mellaart 1967: 77-130).

Efektowne wyniki prac wykopaliskowych z lat 60. XX wieku zachwyciły świat i pozwoliły na zweryfikowanie ówczesnych poglądów dotyczących wczesnego rolnictwa i rozwoju pierwszych cywilizacji Bliskiego Wschodu. Jednocześnie pozostawiły one wiele wątpliwości i ważnych pytań bez odpowiedzi (patrz Hodder 1996a: 2-4; Last 1998: 356; Todd 1976: 3). Ostatecznie w 1993 roku, po blisko trzydziestoletniej przerwie, doszło do wznowienia prac archeologicznych na tellu, otwierając tym samym nowy rozdział w historii badań Çatalhöyük. Prace te prowadzone są do dziś pod kierownictwem prof. Iana Hoddera (Stanford University, USA) (Hodder 1996a), który uważany jest za jednego z głównych twórców archeologii postprocesualnej²⁴.

Warto w tym miejscu zwrócić uwagę na motywację, którą kierował się Ian Hodder, rozpoczynając prace na opisywanym stanowisku. Dobrze ilustrują to zainteresowania tego badacza skupiające się na rozpoznawaniu relacji pomiędzy ludźmi a kulturą materialną. Podczas swoich wczesnych studiów etnograficznych w Afryce, archeolog ten postrzegał kulturę materialną jako behawioralne odzwierciedlenie społeczeństwa (Hodder 1982). Pozostając pod silnym wpływem socjologów i antropologów kultury takich jak: Pierre Bourdieu i Anthony Giddens, zauważył on, iż ogół dóbr materialnych oraz środków i umiejętności technicznych był w znaczącym stopniu tworzony i przetwarzany jako ważna część strategii społecznych. Ian Hodder już wówczas był przekonany, że archeologia musi rozwinąć własne teorie dotyczące analizy i wnioskowania w odniesieniu do zależności pomiędzy daną kulturą materialną a specyficznymi kontekstami historycznymi. Co istotne, zwrócił on jednocześnie uwagę na dom neolityczny, który postrzegał jako złożony społecznie i symbolicznie świat oraz narzędzie tworzenia reguł społecznych, zapewniających trwanie określonych relacji między ludźmi oraz organizacji podziału pracy we wczesnych społecznościach agrarnych. Wykorzystując – co znamienne - przykład osady Çatalhöyük, sformułował hipotezę początku neolitu jako zmian w światopoglądzie i symbolice, które odegrały wiodącą rolę w udomowieniu człowieka (Hodder 1990).

W efekcie powyższych przemyśleń Ian Hodder coraz mocniej postulował zmianę dotychczasowej metodyki archeologicznej w celu uruchomienia kompleksowego i dobrze udokumentowanego procesu interpretacyjnego, którego podstawą miała być praca w terenie, co nazwał zresztą „wnioskowaniem na końcu szpachelki” [ang. *interpetation at the trowel's edge*] (Hodder 1999; 2000a). Stanowisko Çatalhöyük, z dobrze zachowanymi relikami architektury oraz bogatą symboliką, dawało temu badaczowi niepowtarzalną szansę na udowodnienie, że proponowana przez niego refleksyjna metodyka pracy oparta na połączeniu archeologii i współczesnych teorii społecznych, jest nie tylko realna, ale i efektywna (patrz Hodder 2000b). Nie pomylił się w tym zakresie, o czym świadczy fakt, że organizacja i sposób prowadzenia prac na stanowisku jest naśladowany przez wielu innych archeologów na świecie. Te multidyscyplinarne

²⁴ Archeologia postprocesualna jest nurtem w nauce włączającym wcześniej marginalizowane koncepty teoretyczne takie jak: strukturalizm, post-strukturalizm, marksizm, feminizm i teorie praktyki (patrz Hodder 1986).

badania - realizowane w ramach *Çatalhöyük Research Project* - trwają zresztą do dziś. W przeciwieństwie do prac prowadzonych w latach 60. XX wieku, skupiają się one na ochronie stanowiska oraz próbie umiejscowienia neolitycznej sztuki symbolicznej oraz rytuałów w ich pełnym środowiskowym, ekonomicznym i społecznym kontekście (Hodder 2006: 42). Osiągnięciu tego celu służą zróżnicowane działania, zaczynające się od skupienia się na pojedynczych domach i szczegółowej analizie materiału kulturowego, aż po próby rekonstrukcji geografii społecznej i określenia możliwych zmian w całościowej organizacji osady w czasie jej trwania (Hodder i Farid 2014: 3-5).



Rycina 16. Plan stanowiska Çatalhöyük z zaznaczoną lokalizacją większości otwartych w jego obrębie wykopów archeologicznych (rys. C. Mazzucato; archiwum Çatalhöyük Research Project).

W badaniach koordynowanych przez Iana Hoddera od początku bierze udział międzynarodowy zespół badaczy, złożony z archeologów oraz specjalistów wielu nauk humanistycznych i przyrodniczych (Hodder 2000a: 3-14; Farid 2000a: 19-35). W efekcie ich zaangażowania otworzono do tej pory na stanowisku ponad 20 niezależnych wykopów, obejmując jednocześnie badaniami zaledwie około 5% powierzchni wschodniego tellu (Farid i Hodder 2014: 40-45; Farid 2014a) (Ryc. 16). W pierwszej fazie badań na stanowisku (1993-1995) prace eksploracyjne miały jednak minimalny zakres. Większość uwagi skoncentrowana była na: ewaluacji zbiorów muzealnych pochodzących z wykopalisk z lat 60. ubiegłego wieku, badaniach regionalnych i paleośrodowiskowych (Baird 2002; Roberts *et al.* 1996), odwzorowaniu ukształtowania powierzchni obu wzgórz, przeprowadzeniu badań powierzchniowych i prospekcji geofizycznej oraz częściowej dokumentacji zerodowanych profili wcześniejszych wykopów (patrz Hodder 1996b). W kolejnych fazach badań skupiono się już na pracach wykopaliskowych i laboratoryjnych, których wyniki systematycznie publikowane są w postaci

serii tematycznych monografii (Hodder 2000a, 2005a, 2005b, 2005c, 2006, 2007b, 2010, 2013a, 2013b, 2014; Tringham i Stevanović 2012)²⁵.

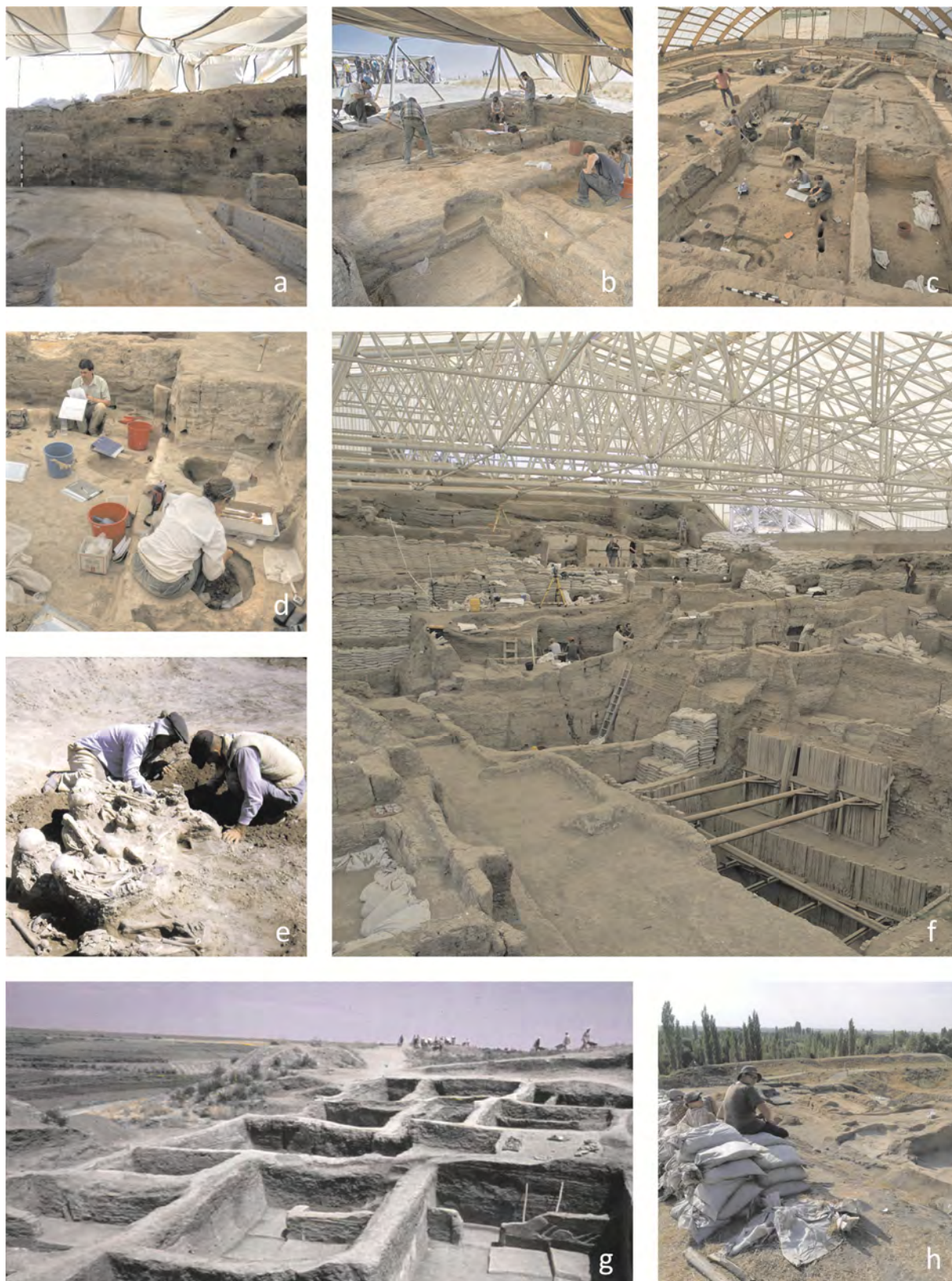
Najważniejszymi przestrzeniami badawczymi, w okresie ponad 20 lat trwania prac wykopaliskowych, są tak zwane: wykop północny (*North Area* lub *4040 Area*) i wykop południowy (*South Area*) (Ryc. 17) (Hodder i Farid 2014). Pierwszy z nich obejmuje szerokopłaszczyznową odkrywkę archeologiczną, w ramach której dąży się do rozpoznania relacji stratygraficznych oraz podobieństw i różnic pomiędzy zespołem w miarę współczesnych sobie budynków i otwartych przestrzeni śmietniskowych (Hodder i Farid 2014: 3-5). Tu też zlokalizowany był początkowo niewielki wykop Berkeley Archaeologists at Çatalhöyük (*BACH Area*) (Tringham i Stevanović 2012). Odślonięte w jego obrębie budynki, w tym składające się na te struktury warstwy i obiekty, eksplorowano z wielką szczegółowością i poddawano kompleksowym analizom mikromorfologicznym (Matthews 2012). Prace te bowiem miały na celu możliwie wyczerpujące rozpoznanie dziennych praktyk realizowanych w różnych fazach życia poszczególnych domów.

South Area usytuowane jest w obrębie dawnego głównego wykopu z lat 60. ubiegłego wieku z myślą o kontynuacji i ewaluacji wyników badań prowadzonych przez Jamesa Mellaarta. Odślonięta w tym miejscu kilkunastometrowa sekwencja stratygraficzna stwarza możliwości prześledzenia zmian w charakterze i architekturze następujących po sobie budynków. Daje także szansę rozpoznania najwcześniejszych śladów osadnictwa na tellu, co do tej pory udało się tylko na niewielkiej przestrzeni w obrębie wykopu sondażowego. Dotarcie do calca, a więc pierwotnych warstw geologicznych nie zawierających materiału kulturowego, umożliwiło niemniej rozbudowanie sekwencji archeologicznej o sześć wczesnych poziomów osadniczych (Cessford 2001). Obecnie kontynuowane są zresztą prace wykopaliskowe nad pełniejszym rozpoznanem tego okresu w historii osady (Hodder 2016b).

Niezależnie od prac prowadzonych w obrębie dwóch głównych wykopów warto także zwrócić uwagę na niektóre badania w innych częściach *Çatalhöyük East*. Na przykład zespół z Uniwersytetu Stambulskiego w Turcji otworzył niewielki wykop tzw. *Istanbul (IST) Area* na południowo-wschodnim stoku tuż u podnóża tellu (Özbaşaran i Duru 2014). Celem tych działań miało być rozpoznanie wczesnych faz osadnictwa neolitycznego i porównanie wyników z tymi uzyskanymi w trakcie prac prowadzonych wcześniej na stanowiskach: Aşıklı Höyük i Musular. Ku zaskoczeniu wielu pozyskany ruchomy materiał kulturowy reprezentatywny był jednak dla klasycznego okresu funkcjonowania osady, mianowicie poziomów: IV i V.

W badaniach na wschodnim tellu uczestniczył również polski zespół badawczy, o czym wspomniano już we wstępie do niniejszej pracy. Głównym zadaniem postawionym przed TP było uchwycenie i zbadanie końcowych faz funkcjonowania neolitycznej osady, a także określenie charakteru stanowiska w chalkolicie oraz późniejszych okresach (Czerniak *et al.* 2001). W tym celu otworzono niewielki wykop, który usytuowany był blisko najwyższego punktu wzgórza i jednocześnie częściowo w obrębie dawnego wykopu Jamesa Mellaarta. Jednym z ważnych efektów prowadzonych w jego obrębie badań było wydłużenie chronologii neolitycznego Çatalhöyük o około 250 lat

²⁵ Niezależnie od wymienionych monografii - na stronie internetowej projektu www.catalhoyuk.com - ukazują się ogólnodostępne raporty roczne z prowadzonych badań. Należy podkreślić, że stanowi to wciąż rzadką praktykę w odniesieniu do prac prowadzonych na innych bliskowschodnich stanowiskach neolitycznych, a także pewną kontynuację tradycji corocznych sprawozdań z prac terenowych autorstwa Jamesa Mellaarta.



Rycina 17. Widoki na różne wykopki na tellu Çatalhöyük East: a) TP Area (fot. A. Leszczewicz), b) TPC Area (fot.: J. Quinlan), c) NORTH Area (fot. J. Quinlan), d) NORTH Area (fot. J. Quinlan), e) wykop z lat 60. XX wieku (fot. D. Kirkbride; archiwum Københavns Universitet), f) SOUTH Area (fot. J. Quinlan), g) wykop z lat 60. XX wieku (archiwum Çatalhöyük Research Project), h) GDN Area (fot. M.Z. Barański).

(Marciniak *et al.* 2015b), a także dostrzeżenie zmian w życiu społecznym, w tym zmian w praktykach sepulkralnych (Marciniak i Czerniak 2007a, 2012). Wyniki tych prac w odniesieniu do architektury stanowią istotną część niniejszej rozprawy.

W ostatnim czasie prowadzone są także badania pod kierownictwem prof. Arkadiusza Marciniaka (Uniwersytet im. Adama Mickiewicza w Poznaniu) w obrębie wykopu *Team Poznań Connection (TPC Area)* usytuowanego pomiędzy *South Area* a *TP Area* (Marciniak *et al.* 2012). Stanowią one kontynuację polskich prac poświęconych rozpoznaniu późnych poziomów osadniczych, przy czym tym razem główny nacisk położony jest na pozyskanie i analizę materiału ruchomego, pozwalającego na uzupełnienie i ewaluację istniejącego modelu chronologicznego, który opracowywany jest dla całego stanowiska (patrz Bayliss *et al.* 2014).

Kolejnym polskim akcentem jest trwający od 2013 roku i koordynowany przeze mnie projekt badawczy w obrębie *GDN Area*, w którym dotychczas uczestniczyli przede wszystkim studenci z trójmiejskich uczelni: Akademii Sztuk Pięknych w Gdańsku, Politechniki Gdańskiej, Sopotkiej Szkoły Wyższej oraz Uniwersytetu Gdańskiego²⁶ (Barański 2013a, 2014; Barański i Regulska 2016; Barański *et al.* 2015b). Celem tych badań jest próba reekspozycji, weryfikacji oraz rekonstrukcji późnoneolitycznego układu przestrzennego w oparciu o cechy architektoniczno-konstrukcyjne zabudowy, która została odsłonięta oraz poddana bardzo uproszczonej dokumentacji w latach 60. XX wieku. Spodziewanymi efektami wspomnianych prac jest skorygowanie i włączenie archiwalnej dokumentacji w multidyscyplinarny proces interpretacji organizacji przestrzenno-społecznej osady, a także dostarczenie wiarygodnych danych do kompleksowego programu datowania radiowęglowego. Wstępne rezultaty powyższych badań terenowych, w szczególności w odniesieniu do programu przestrzenno-funkcjonalnego wybranych budynków, wykorzystane są w budowie argumentacji w niniejszej rozprawie.

Na koniec należy wspomnieć o pracach w obrębie zachodniego tellu *Çatalhöyük West*, które prowadzone były początkowo przez Jamesa Mellaarta (1965) a następnie kolejne i zróżnicowane zespoły badawcze (patrz np. Gibson *et al.* 2000; Gibson i Last 2001; Biehl i Rosenstock 2009; Erdoğan 2009; Biehl *et al.* 2012; także Hodder i Farid 2014: 3). Ich cel stanowiło zrozumienie przemian w 6 millenium BCE, a jednym ze wstępnych wyników jest hipoteza zgodnie, z którą osadnictwo na wschodnim i zachodnim tellu mogło być przez pewien czas współczesowe (Biehl *et al.* 2012; patrz także Marciniak *et al.* 2015b). W tym kontekście możliwe porównania architektury późnoneolitycznego *Çatalhöyük East* i wczesnochalkolitycznego *Çatalhöyük East* wydają się niezwykle ciekawe. Przeprowadzenie tego typu wartościowych analiz nie jest jednak możliwe do momentu publikacji całościowych wyników wspomnianych badań.

Wszystkie wymienione prace wykopaliskowe, niezależnie od czasu ich trwania i celów badawczych, skupiają się na stosunkowo niewielkiej liczbie budynków. Opierają się przy tym na szczegółowych technikach dokumentacyjnych i metodach charakterystycznych dla współczesnej

²⁶ Skład głównego zespołu badawczego pracującego w obrębie wykopu GDN w latach 2013-2016 wyglądał następująco: a) 2013 - Marek Z. Barański, b) 2014 - Marek Z. Barański, Patrycja Bielska i Anna Marchlewska (obie Uniwersytet Gdański, Instytut Archeologii), Katarzyna Bzduch (Akademia Sztuk Pięknych w Gdańsku, Wydział Architektury i Wzornictwa) i Martyna Szymczak (Politechnika Gdańska, Wydział Architektury i Urbanistyki / Sopotka Szkoła Wyższa, Wydział Architektury i Wnętrz), c) 2015 - Marek Z. Barański, Antoni Nowak, Katarzyna Regulska (dwoje ostatnich - absolwenci Uniwersytetu im. Adama Mickiewicza w Poznaniu / Instytut Prahistorii) i Marta Saj (Sopotka Szkoła Wyższa, Wydział Architektury i Urbanistyki / absolwentka Uniwersytetu im. Mikołaja Kopernika w Toruniu, Instytut Zabytkoznawstwa i Konserwatorstwa), d) 2016 - Marek Z. Barański.

archeologii (Farid i Hodder 2014; Hodder 2006). Eksploracja i dokumentacja kolejnych warstw naturalnych²⁷, poza zbiorem zabytków ruchomych oraz informacjami pozwalającymi zrozumieć proces stratyfikacji tellu, dostarcza materiału do zróżnicowanych analiz laboratoryjnych, w tym analiz chemicznych, izotopowych i radiowęglowych. Część z tych prac gabinetowych wykonywana jest na miejscu w kompleksie laboratoriów, zbudowanych specjalnie w tym celu u podnóża tellu (Hodder 2000b: 3-14; Farid 2000a: 19-35). Taka organizacja wykopalisk stwarza nie tylko komfortowe warunki pracy, ale i wyjątkową możliwość bezpośredniej wymiany poglądów i doświadczeń, co stanowi podstawę promowanej przez Iana Hoddera idei refleksyjności w archeologii (Hodder 2000b).

Z powyższego opisu jasno wynika, że tak, jak różne są szkoły: kulturowo-historyczna (opisująca) i postprocesualna (interpretacyjna), tak różne są obrazy neolitycznej osady – ten stworzony w latach 60. ubiegłego wieku przez Jamesa Mellaarta oraz ten budowany od lat 90. do chwili obecnej przez międzynarodowy zespół kierowany przez Iana Hoddera (Hodder 1996a: 2-4)²⁸. Warto w tym miejscu wspomnieć, że Çatalhöyük, w trakcie pierwszych badań prowadzonych na tym stanowisku, postrzegane było jako największa osada neolityczna oraz jednocześnie jedyne i najstarsze stanowisko usytuowane poza pierwotnym obszarem neolityzacji (Mellaart 1967). Dziś nasza wiedza o neolicie Bliskiego Wschodu jest o wiele większa; w pewnym sensie Çatalhöyük nie jest już stanowiskiem tak wyjątkowym. Po pierwsze, wiadomo o istnieniu wielu innych i wcześniejszych osadach w Anatolii (Lichter 2007). Po drugie, niektóre ze stanowisk bliskowschodnich są tak duże lub nawet większe niż neolityczne Çatalhöyük. Wiemy także, że udomowienie roślin i zwierząt rozpoczęło się dużo wcześniej w innych miejscach w obrębie Żyznego Półksiężyca. Mimo to istnieją czynniki, które sprawiają, że Çatalhöyük jest wciąż unikatowe. Na przykład obecność zróżnicowanych malowideł i reliefów naściennych o narracyjnym charakterze jest wciąż bardzo rzadko spotykana w okresie neolitu zarówno w Anatolii, jak i na Bliskim Wschodzie w ogóle. Poziom artystyczny, stopień zachowania i obecność tych elementów w tak wielu budynkach pozostaje szczególnym świadectwem symboliki świata ówczesnej społeczności (Hodder 2006: 15-16). W ten sposób Çatalhöyük - ze stosunkowo dobrze zachowanymi relikami zabudowy oraz obiektami i elementami codziennego użytku - dostarcza wglądu w ważne regionalne i ponadregionalne trendy, stanowiące podstawę współczesnego świata.

Osobną wartością jest sposób badań w Çatalhöyük i uzyskane wyniki. Mam tu na myśli ogromny i zróżnicowany zespół ekspedycji, które prowadzą prace wykopaliskowe i kilkudziesięciosobowy zespół specjalistów analizujących pozyskany materiał. Taka organizacja badań pozwala bowiem weryfikować wiele hipotez dotyczących gospodarki, stanu biologicznego i organizacji społecznej populacji zamieszkującej tę osadę.

²⁷ Metoda ta wiąże się z koniecznością wydzielenia i opisywania wyróżniającej się i zdefiniowanej w czasie prac wykopaliskowych niepodzielnej jednostki eksploracji oraz usunięcia nawarstwień zgodnie z ich możliwie rzeczywistym zasięgiem i jednocześnie w odwrotnej kolejności niż one powstawały (w celu zapoznania się z historią archeologicznych metod terenowych patrz Ławecka 2003).

²⁸ Istotę zmian koncepcyjnych i metodycznych najlepiej obrazuje tempo eksploracji i liczba odsoniętych budynków w trakcie badań z lat 60. ubiegłego wieku i tych prowadzonych obecnie. Stosunek ten wynosi odpowiednio 150 do 162, przy czym w pierwszym przypadku prace eksploracyjne prowadzono przez 4 lata, a w drugim – 20.

ROZDZIAŁ II. UKŁAD ZABUDOWY A ORGANIZACJA SPOŁECZNA ÇATALHÖYÜK

Winston Churchill twierdził, że „najpierw my kształtujemy nasze budynki, a następnie one kształtują nas”. Powyższa wypowiedź wydaje się krótko i trafnie określać charakter relacji zachodzących pomiędzy człowiekiem, grupą ludzi a środowiskiem zbudowanym. W przypadku społeczności neolitycznych i stanowisk z dobrze zachowanymi relikami architektury tę koegzystencję należy postrzegać przede wszystkim przez pryzmat trzech w znacznym stopniu niezależnych zagadnień. Problemy te stanowią element generalnych kierunków badawczych we współczesnej archeologii.

Pierwsze z tych zagadnień – przedstawione w ramach archeologii gospodarstw [ang. *household archaeology*] - dotyczy gospodarstw domowych, w tym powodów ich pojawienia się jako kategorii w analizach społecznych, a także ich znaczenia, związków oraz istotnych, choć zróżnicowanych ograniczeń w dyskusji dotyczącej neolitycznego środowiska zbudowanego. Rozważania te wskazują na złożony i niejednoznaczny charakter tych podstawowych jednostek społecznych. Istnieje bowiem możliwość występowania wielu konfiguracji organizacji grup gospodarujących razem w odniesieniu zarówno do ich kompozycji i funkcji, ale przede wszystkim wymiaru przestrzennego.

Kolejne zagadnienie związane jest z konceptem domu w neolicie. Społecznością tradycyjnym przypisuje się postrzeganie tych budynków jako nie tylko symbolicznych struktur fizycznych, ale i jednostek społecznych, które – zgodnie z podejściem biograficznym w archeologii – przechodzą przez kolejne cykle życia. Domy, reprezentując trwałość i ciągłość, ucieleśniają tym samym w sensie metaforycznym nieśmiertelność identyfikującej się z nimi grupy ludzi oraz stanowią inkubatory grupowych pamięci.

Trzecie zagadnienie dotyczy organizacji społecznej o charakterze „społeczności domów”, która jest modelem wydającym się być użytecznym dla interpretacji Çatalhöyük. Efektem zastosowania tego konceptu jest wyróżnienie „domów historii” – budynków specjalnych, które poprzez swoje trwanie oraz symbolikę scalały i kształtowały większe grupy ludzkie. Wydzielenie tego typu struktur daje możliwość przejścia z poziomu badań indywidualnych gospodarstw domowych na poziom analiz zależności pomiędzy nimi a jednostkami wyższego rzędu.

1. Studia nad gospodarstwem domowymi domem w neolicie

1.1 Archeologia gospodarstw domowych

Archeologia gospodarstw obejmuje badania śladów i zasad aktywności podstawowych grup społeczno-ekonomicznych z przeszłości przy wykorzystaniu danych o charakterze archeologicznym. Ta dziedzina nauki rozwinęła się późno, bo dopiero na przełomie lat 70. i 80. XX wieku jako poddyscyplina archeologii społecznej, stanowiącej próbę przedstawienia możliwie pełnego obrazu przeszłych społeczeństw poprzez powiązanie artefaktów znajdujących w trakcie prac wykopaliskowych z ich zróżnicowanym kontekstem. Stąd archeologia gospodarstw koncentruje się na gospodarstwach domowych, które stanowią nie tylko ślad, ale i ramy codziennej aktywności

ludzkiej. Inspiracją dla tej dziedziny były wielowątkowe studia historyczne i etnograficzne poświęcone współczesnym społecznościom tradycyjnym z różnych części świata prowadzone m.in. przez Bronisława Malinowskiego, George'a Murdocka, Roberta Harry'ego Lowie i Meyera Fortesa (w celu przeglądu teorii i historii badań antropologicznych patrz Barnard 2006 [2000]). Archeologię gospodarstw należy tym samym postrzegać jako ważny głos krytyczny wobec praktyki tworzenia wielkoskalowych oraz zdehumanizowanych modeli zmian społecznych, które zachodziły w przeszłości (Souvatzi 2008; Tringham 2001).

Opisywana dziedzina nauki początkowo ukierunkowana była na szczegółowe analizy wzorów i aktywności osadniczych, które pozwalałyby na przedstawienie bardziej ogólnych stwierdzeń dotyczących m.in. trendów demograficznych, specjalizacji produkcji oraz struktury społecznej (Flannery 1972, 2002; Flannery i Winter 1976). W późniejszym okresie, poruszając się w metodycznych ramach neopozytywizmu i odwołując się bezpośrednio do empirycznych danych archeologicznych, uwagę poświęcono rozważaniom nad funkcją i materialnymi korelatami gospodarstw domowych oraz sposobami adaptacji grup społecznych do procesów ekonomicznych i ekologicznych (Wilk i Ashmore 1988; Wilk i Rathje 1982). Ówczesne podejmowane próby połączenia wyników badań w mikroskali z analizami prowadzonymi w kontekście regionów i kontynentów miały przede wszystkim na celu zrozumienie ewolucyjnych zmian społecznych i kulturowych.

Archeologia gospodarstw, dopiero na początku lat 90. ubiegłego wieku znalazła się w centrum dyskusji związanej z organizacją społeczną, chociaż stosunkowo rzadko przełamwała i wciąż rzadko przełamuje swoje oryginalne funkcjonalistyczne i procesualne ramy. Z biegiem czasu coraz większy wpływ na rozwój tej poddyscypliny mają jednak koncepcje rozwijane w ramach archeologii interpretatywnej, a w konsekwencji eksponujące - zgodnie z podejściem hermeneutycznym - unikatowy charakter każdej społeczności oraz podkreślające potrzebę przebadania pełnego i zróżnicowanego kontekstu każdej z nich (Souvatzi 2008; Tringham 2001). Obecny w dyskusji element neomarksistowski wiąże się z dużym naciskiem na świadomość społeczną, w tym symboliczne i poznawcze aspekty bytu ludzkiego (Renfrew i Zubrow 1993; Watkins 1992). Coraz większy wpływ w sensie teoretycznym na archeologię gospodarstw mają także teorie feministyczne (np. Moore 1988) oraz teorie praktyki społecznej (Bourdieu 1977 [1972]; patrz także Giddens 1984). Krytyka feministyczna przyczyniła się do rozwinięcia w archeologii pojęcia tożsamości i płci kulturowej jako konstrukcji symbolicznej i złożonego zbioru relacji społecznych (Tringham 1991; patrz także Alberti i Back Danielsson 2014; Dommasnes 2014). W przypadku badań opartych na teorii praktyki społecznej zainteresowanie badaczy skupiło się z kolei na próbach rozpoznania dyspozycji czyli skłonności lub wyborów jednostek ujawnianych albo dokonywanych w obrębie *habitusu*, będącego kulturowo zdefiniowanym systemem wiedzy i działania społecznego²⁹ (Hodder 1982; patrz także Cipolla 2014).

²⁹ *Habitus* [łac. „środo-wisko” albo „stan przyzwyczajenia” zwłaszcza ciała] zdaniem Pierre'a Bourdieu (1977 [1972], 1990 [1980]), jest czymś pomiędzy tym, co obiektywne, a tym, co subiektywne, jak i tym, co zbiorowe i jednostkowe. W efekcie kultura staje się częścią nas samych – żyjemy nią, urzeczywistniamy ją, ale nie uświadamiamy sobie tego. Specyficznie personalizowany świat staje się warunkiem naszej wewnętrznej integralności. Jego trwałość, zdaniem Pierre'a Bourdieu, nie wyklucza jednak pewnej dynamiki. Co więcej, ta ostatnia okazuje się niezbędną do podkreślenia elementów niezmiennych układu (w celu prześledzenia teorii Bourdieu z perspektywy architektonicznej patrz Webster 2011). Z kolei Anthony Giddens (1984), autor teorii strukturyzacji, argumentuje, że przestrzeń jest integralna w odniesieniu do materializacji zachowań społecznych ponieważ dostarcza pola interakcji pomiędzy jednostkowymi zachowaniami i systemami społecznymi.

Elementy powyższych teorii obecne są prawie we wszystkich współczesnych studiach poświęconych organizacji społecznej w kontekście archeologicznym. Zainspirowały postawienie nowych pytań badawczych, które skłaniają do odejścia od postrzegania gospodarstw domowych jako form modelowych - niezmiennych w czasie i przestrzeni - na rzecz coraz mocniej akcentowanej złożoności i nietrwałości tychże jednostek społecznych (patrz np. Allison 1999b; Hendon i Joyce 2004; Joyce i Gillespie 2000; Souvatzi 2008; Parker i Foster 2012). O ile bowiem do głównych czynników wpływających na charakter gospodarstw domowych można zaliczyć: a) idee i zasady dotyczące tego, kto tworzy gospodarstwo, b) charakter organizacji produkcji, podziału pracy oraz dzielenia się i wymiany dobrami, a także c) wzory pokrewieństwa, powinowactwa, małżeństwa, dziedziczenia i płciowości, to jednak na różnych etapach, w różnych środowiskach, w ramach różnych grup społecznych gospodarstwa domowe realizują zróżnicowane funkcje i w konsekwencji nie są podobne do siebie. Na to wszystko nakładają się rozbieżności pomiędzy kulturowymi ideałami a rzeczywistą praktyką, w efekcie czego normatywna forma gospodarstwa domowego może nie istnieć w ogóle, pojawiać się bardzo rzadko lub mieć charakter tymczasowy (np. Burton *et al.* 2002).

Opisane kierunki w ramach archeologii postprocesualnej niewątpliwie sprzyjają studiom nad społecznym i symbolicznym wymiarem środowiska zbudowanego i architektury (Düring 2006; Hendon 1996, 2000; Hodder i Cessford 2004; Kuijt 2000; Kuijt *et al.* 2011; Tringham 1991). W tych badaniach mocno widoczna jest zresztą najbardziej charakterystyczna cecha współczesnej archeologii gospodarstw domowych, która wynika ze ścierania się dwóch postaw teoretycznych – tradycji amerykańskiej i brytyjskiej - z charakterystyczną dla siebie semantyką nauk społecznych i humanistycznych³⁰. Cecha ta dotyczy przede wszystkim sposobu opisywania relacji, jakie zachodzą pomiędzy gospodarstwem domowym [ang. *household*] a domem [ang. *house*], co ma bezpośredni wpływ na próby i wyniki rekonstrukcji systemów organizacji społecznej. O ile powszechnie uznaje się, że neolityczny dom był ważnym miejscem aktywności gospodarstwa domowego, o tyle nie ma zgody, co do jego traktowania jako jednostki tożsamej z gospodarstwem domowym (patrz Allison 1999a; Kuijt *et al.* 2011; Souvatzi 2008). Przełożenie organizacji społecznej na architektoniczne formy zamieszkania, co przedstawiam w kolejnej części pracy, nie jest bowiem ani bezpośrednio ani proste. Należy także pamiętać, że dane o charakterze archeologicznym i architektonicznym nie stanowią bezpośredniego odzwierciedlenia zróżnicowanych, wielokrotnych i przeszłych procesów społeczno-kulturowych (Souvatzi 2008; Tringham 2001).

1.2 Dom neolityczny jako symboliczna struktura fizyczna i jednostka społeczna

Dom stanowi od dłuższego czasu popularny koncept w badaniach neolitu, zarówno w odniesieniu do Bliskiego Wschodu, jak i Europy (Borić 2008: 11; Gillespie 2007; Souvatzi 2008:11-12;25-28; patrz także Bickle *et al.* 2016: 410-412). Studia dotyczące tego tematu rozwijają się równolegle z opisaną w skrócie archeologią gospodarstw domowych. Mianowicie dom – uważany długo za byt oczywisty – zaczął być od przełomu lat 70. i 80. ubiegłego wieku postrzegany jako ważne

³⁰ Tradycja amerykańska, bardziej procesualna, kojarzona jest z zainteresowaniem aspektami społeczno-ekonomicznymi, w tym przestrzeniami ludzkiej aktywności oraz środowiskiem zbudowanym jako materialnym korelatem grup gospodarujących razem. z kolei tradycja europejska, związana w znacznym stopniu ze zróżnicowanymi trendami archeologii postprocesualnej, niemalże całkowicie skupiona jest na bardziej kulturowym i emocjonalnym pojęciu miejsca (patrz Souvatzi 2008: 22-23).

miejsce społecznych transformacji oraz element spajający różne poziomy analizy (Wilk i Rathje 1982). Stopniowo, pod wpływem nie tylko antropologii i zróżnicowanych podejść charakterystycznych dla archeologii postprocesualnej, ale także pytań dotyczących początków i rozprzestrzeniania się neolitu, zwrócono uwagę na symboliczny potencjał domu (Hodder 1990; Souvatzi 2008). W efekcie w ramach współczesnych badań wyróżnia się kilka podstawowych wątków interpretacyjnych oscylujących wokół tematów związanych z kosmologią, tożsamością i pamięcią. Zgodnie z niektórymi z nich domy stanowią manifestację poglądów na świat powiązaną z mitami i rytuałami (Carsten i Hugh-Jones 1995; Waterson 1990). Uważa się także, że kształtują i organizują one społeczności, stwarzając reguły, poprzez które ludzie sytuują siebie zarówno w ramach, jak i pomiędzy gospodarstwami domowymi (Jones 2005; Parker Pearson i Richards 1994). Ponadto dom postrzegany jest jako centralne miejsce utrzymania, budowy i transmisji pamięci społecznej (Borić 2007; Hodder 1990; Joyce i Gillespie 2000; Kent 1990).

W powyższym kontekście niezwykle istotne okazało się być zdefiniowanie przez Iana Hoddera (1990, 1998) domu jako miejsca przeciwstawiania sobie dwóch sił strukturalnych – natury i kultury, reprezentujących odpowiednio to, co dzikie i to, co udomowione. Badacz ten, będąc pod wpływem prac Pierre'a Bourdieua, zasugerował, że stopniowe włączanie elementów świata przyrodniczego (*agrios*) w zamkniętą przestrzeń środowiska zbudowanego (*domus*) miało służyć oswojeniu się ludzi z nimi. Tym samym dom jako symbol bezpieczeństwa oraz inkubator procesu udomowienia człowieka i naturalizacji realacji społecznych, stał się dla niego, jak i wielu innych archeologów, centralnym pojęciem ideologii neolitycznej. Co więcej, dom - wobec trudności w rekonstrukcji kompozycji gospodarstw domowych, a także skupienia się na uchwyceniu zmian we współzamieszkiwaniu oraz organizacji i pracy (patrz Tringham 1991; Wilk i Rathje 1982) – miał być niezależną i homologiczną jednostką, której przypisany był pełen zestaw struktur i zachowań symbolicznych (Hodder 1990). Tym samym dom neolityczny zaczął być postrzegany jako główna przestrzeń aktywności podstawowych grup gospodarujących razem.

Powyższe podejście w sposób znaczący, choć na wpół zamierzony, przyczyniło się do wprowadzenia pewnego skrótu myślowego oraz postawienia znaku równości pomiędzy gospodarstwem domowym a domem. Tymczasem, ze względu na możliwość występowania wielu konfiguracji organizacji podstawowych grup społecznych (nawet w obrębie tej samej społeczności), należy podkreślić, że nie są to koncepty tożsame (patrz Allison 1999a; Banning i Byrd 1987: 322; Gillespie 2007; Kuijt *et al.* 2011; Souvatzi 2008). Na przykład sam fakt współzamieszkiwania, wspólnego spożywania posiłków lub wspólnej pracy – ważnych elementów spajających gospodarstwa domowe - może nie stanowić warunku wystarczającego przynależności do grupy. Funkcjonuje wiele społeczności tradycyjnych, które mieszkają pod tym samym dachem, ale tworzą oddzielne gospodarstwa ponieważ ich członkowie nigdy nie współpracują w ramach żadnych czynności produkcyjno-dystrybucyjnych. Znane są także odmienne przypadki, w ramach których osoby tworzące gospodarstwo domowe zajmują kilka sąsiadujących ze sobą budynków. Współzamieszkujące grupy mogą bowiem egzystować na różnych poziomach w obrębie tej samej społeczności, mogą obejmować więcej niż jedno gospodarstwo i mogą stanowić część większych jednostek, które wykonują razem złożone lub sezonowe czynności domowe. Tym samym dzielenie przestrzeni fizycznej jest jedną z wielu możliwych, ale nie nieodzownych funkcji realizowanych przez gospodarstwo domowe. W efekcie granice przestrzenne gospodarstw domowych mogą być płynne

i nie powinny być zakładane *a priori* (w celu przeglądu możliwych konfiguracji organizacji gospodarstw domowych patrz Gillespie 2007; Souvatzi 2008).

Gospodarstwa domowe, jak wynika z powyższej krótkiej charakterystyki, stanowią niezwykle złożone i wysoce zróżnicowane jednostki społeczno-ekonomiczne. Ich forma i funkcja są w większości przypadków płynne i niejednoznaczne w odniesieniu zarówno do różnych społeczności, jak i tych samych grup gospodarujących razem. Gospodarstwa domowe stanowią bowiem poziom, na którym ludzie w bezpośredni oraz ciągły sposób definiują swoją tożsamość i przestrzeń życia. Wydaje się, że postrzegając społeczności neolityczne jako bardzo zachowawcze zapominamy często o tym, iż człowiek funkcjonuje w szeregu odniesień do innych ludzi, rzeczy i podmiotów (patrz np. Hodder 2012a). Relacje te przenikają się nawzajem oraz są zmienne i doraźne w zależności od kontekstu. Warto także zwrócić uwagę na to, że gospodarstwa domowe mogą zostać wchłonięte przez inne większe jednostki lub przeistoczyć się w inne byty.

Chciałbym podkreślić jeszcze raz, że gospodarstwa domowe nie muszą być i rzadko są tożsame z domem. Nie ma bezpośredniego i prostego przełożenia porządku społecznego na architekturę. Studia nad rozplanowaniem wnętrza budynków, występowaniem w ich obrębie zróżnicowanych obiektów, takich jak: pochówki, obiekty o wartości symbolicznej, piece i paleniska itp. mogą niewątpliwie służyć interpretacji organizacji społecznej, niemniej środowisko zbudowane należy postrzegać jako ciągły proces, w ramach którego granice są wyznaczane tylko po to, aby po jakimś czasie zostać zlikwidowane lub przeniesione w inne miejsce (Carsten 1997: 27). Co więcej, o ile fizyczne struktury przestrzenne stanowią istotny element składający się na stan posiadania poszczególnych gospodarstw domowych, o tyle stan ten nie musi być ograniczony ani do pojedynczych obiektów ani tym bardziej budynków mieszkalnych. Gospodarstwa domowe mogą zajmować przestrzeń określoną przez zespół zróżnicowanych funkcjonalnie obiektów i przestrzeni otwartych, które dodatkowo poddawane są mniej lub bardziej istotnym przemianom. Istniejące budynki często bowiem są przebudowywane i adaptowane w związku ze zmieniającą się strukturą i potrzebami danej grupy. Ponadto mogą być powiększane lub pomniejszane o kolejne obiekty, które nie zawsze połączone są jednoznacznymi ciągami komunikacyjnymi.

Domy jako struktury fizyczne reprezentują trwałość i ciągłość. Badania etnograficzne sugerują, że życie techniczne budynku z cegły mułowej - analogicznego do tego z Çatalhöyük - mogło trwać od 70 do 100 lub nawet 120 lat (Hodder 2007a: 108; Mellaart 1967: 51), co równa się życiu kilku ówczesnych pokoleń. Dlatego też zdaniem wielu domy w neolicie ucieleśniają metaforyczną nieśmiertelność jednostki społecznej, która nie tylko identyfikuje się z nimi i dba o ich trwanie, odnawiając i przebudowując te obiekty, ale także – w sytuacjach kiedy konkretne budynki zostają opuszczone – oddając cześć miejscom, w których one stały lub wznosząc kolejne obiekty w tych samych miejscach. Społeczności tradycyjne, jak zauważyła Roxana Waterson (1990, 2000), przypisują domom „siłę życia”, co w bezpośredni sposób wiąże się z tezą, iż struktury te budują i utrwalają pamięć o przeszłości oraz kształtują więzi pomiędzy budynkami a krajobrazem, wpływając na poczucie tożsamości i przywiązanie do miejsca. Jednocześnie obiekty te postrzegane są jako „istoty żywe” [ang. *living house*] i czynni członkowie gospodarstwa domowego. Warto zwrócić uwagę, co podkreśliły m.in. Suzan P. Blier (1987) i Rosemary A. Joyce (2000), że domy posiadają cechy animistyczne, które odzwierciedlone są w rozplanowaniu pomieszczeń i sposobie aranżacji kolejnych obiektów. Na przykład przez niektóre społeczności tradycyjne Ameryki Północnej lub Oceanii wejścia

do budynków postrzegane są jako usta, belki i słupy jako osiem kości długich człowieka a centralnie usytuowane obiekty, takie jak chociażby paleniska, identyfikowane są z sercem.

Powyższe spostrzeżenia wpisują się w generalne podejście biograficzne w archeologii, zgodnie z którym zabytek - ruchomy lub nieruchomy – ma swoją historię, tak jak za każdą osobą stoi jego biografia (Hoskins 2006; patrz także Gosden i Marshall 1999; Hodder 2012a). W efekcie obiekty rozpatruje się w kategoriach wytworzenia, użytkowania i porzucenia, a charakter tych etapów można przyrównać do narodzin, życia i śmierci (Bachelard 1964 [1958], Waterson 1990). W przypadku budynków kolejne ich cykle życiowe, przenikające się z historią życia ludzi, stanowiły odzwierciedlenie społecznej struktury i były jednocześnie pochodną systemu konceptualnego neolitu. Tym samym długość trwania cyklu życia domu zależała przede wszystkim od jego funkcji w porządku społecznym a w mniejszym stopniu od trwałości użytych materiałów i zastosowanych rozwiązań budowlanych.

Konstrukcja, użytkowanie i opuszczenie budynków naznaczone były przez zróżnicowane praktyki rytualne, które miały na celu zacieśnienie więzi międzypoczątkowych, jak i relacji pomiędzy ludźmi a domem (Hodder 2006; Watkins 2005, 2006). Ilość śladów tego rodzaju obrzędów dowodzi nie tylko ich istotnego znaczenia, ale i ich powszechności zarówno w odniesieniu do budynków specjalnych, jak i innych obiektów. Szczególną uwagę zwraca sytuowanie domów w tych samych miejscach, co poprzedzające je budynki, w tym bezpośrednie wykorzystanie relikwów wcześniejszych obiektów jako fundamentów tych nowobudowanych (Esin i Harmankaya 1999; Hodder 2007a; Moore *et al.* 2000; Özdoğan i Özdoğan 1990). Takie działanie – szczególnie w obrębie osad charakteryzujących się zwartą zabudową – miało niewątpliwie w pewnym stopniu wymiar praktyczny i wymuszone było przez istniejący układ budynków. Wydaje się jednak, że główną przesłanką w sytuacji „powtórzenia” domu w danym miejscu było dążenie do kontynuacji tradycji i historii uosobionej poprzez daną strukturę fizyczną i zamieszkującą ją grupę społeczną. Działanie to uważa się za formatywny proces, który odgrywał zasadniczą rolę w kształtowaniu się osiadłego trybu życia. Również powtarzalność rozplanowania obiektów w ramach wnętrza budynków skłania ku hipotezie, że życie społeczne zorganizowane było przynajmniej częściowo poprzez codzienne rytuały. Powtarzalne praktyki w połączeniu ze złożonym światem symbolicznym pozwalały na utrwalanie i przetwarzanie neolitycznego świata (Hodder 2007a; Watkins 2005, 2006).

Jednym z najważniejszych elementów budowy biografii domu – od początku neolitu preceramicznego - było grzebanie zmarłych pod podłogami lub platformami wewnątrz budynków (Koutsadelis 2007; Kuijt 2000). Praktyce tej towarzyszyło często oddzielanie czaszek ludzkich od reszty układu kostnego i deponowanie ich w innych miejscach (Bondgofsky 2006; Kuijt 2008, 2009). Przykłady tego typu zachowań w postaci pojedynczych lub zgrupowanych czaszek oblepionych tynkiem znane są chociażby ze stanowisk: Jerycho (Strouhal 1973) i Tell Aswad (Stordeur 2003), ale też osad środkowej Anatolii, w tym stanowiska Çatalhöyük (Bondgofsky 2005; Talalay 2004). W niektórych przypadkach miejsca po pozyskanej czaszce zaznaczano znacznikiem w postaci cegły mułowej (Esin i Harmankaya 1999). Co ciekawe, szkielety głowy często znajdowane są w obrębie dolnych partii budynków jako depozyty fundacyjne, co świadczy o ich specjalnym znaczeniu w budowaniu historii domów, chociaż z drugiej strony ich obecność w takim kontekście mogła mieć po prostu charakter magiczny lub ochronny. Niemniej znaczenie budowy więzi łączących przeszłość i teraźniejszość wyraźnie nabiera coraz większej wagi w miarę rozwoju neolitycznego modelu życia (Bar-Yosef 2001; Kuijt 2008, 2009; Stordeur 2000).

Praktykę oddzielania czaszek od reszty szkieletu i sytuowania ich w obrębie domów można porównać z pozyskiwaniem z opuszczanych budynków takich elementów jak m.in.: czaszki byków, pazury i kły zwierząt dzikich, słupy i belki drewniane, a także żarna kamienne (Hodder 2007a). Świadectwa tego rodzaju zabiegów sugerują, że destrukcja danego budynku była często pierwszym etapem budowy nowego obiektu, podczas którego wykorzystawano pozyskane wtórnie obiekty. Tym samym praktyki te były dla gospodarstw lub „domów” ważne, gdyż pozwalały w obrębie wewnętrznej przestrzeni budynków na konstrukcję długotrwałej pamięci. Wspomnienia, skojarzenia lub wizje budowano niewątpliwie także w oparciu o sztukę naścienną w postaci zróżnicowanych instalacji, malowideł i rytów, których tematyka w znacznej części przypadków dotyczyła śmierci, przemocy, dzikości i seksualności (Verhoeven 2002; Schmidt 2000; Hodder i Meskell 2011). Sztuka ta może być interpretowana na wiele sposobów, niemniej powszechność chociażby przedstawień dzikich zwierząt sugeruje, że utożsamiane one były z mocą, siłą i ochroną, w konsekwencji czego tworzyły podstawę budowę długotrwałych struktur społecznych.

Materialne ślady obrzędów i zwyczajów rytualnych, służących budowie historii, obejmują także przebudowywanie lub odświeżanie wewnątrz domów potwierdzone istnieniem wielokrotnych sekwencji warstw tynków podłogowych i naściennych (Banning 2003; Düring 2006; Hodder i Cessford 2004; Özdoğan i Özdoğan 1990). Jednocześnie zróżnicowanie w zastosowaniu warstw wykończeniowych wydaje się sugerować związek pomiędzy użytym materiałem a statusem danego domu, który mógł rosnąć lub maleć w miarę upływu czasu (Düring 2006, 2007).

Z cyklami życia budynków bezpośrednio wiążą się także rozmaite depozyty specjalne o charakterze fundacyjnym, upamiętniającym i opuszczeniowym (np. Chapman 2000; Last 2005: 205-207). W przypadku Çatalhöyük mogą to być: depozyty domowe, instalacje, śmieci rytualne, dary grobowe, depozyty opuszczeniowe oraz depozyty związane z jamami po odzyskanych słupach (Russel *et al.* 2009). W odniesieniu do konstrukcji budynków i ich elementów powszechne wydaje się być chowanie niemowląt, fragmentów szkieletów zwierzęcych lub narzędzi i półproduktów obsydianowych w relacji do partii fundamentowych lub instalacji ogniowych (Hodder 2006; Kuijt 2001; patrz także Carter *et al.* 2015; Russel *et al.* 2013). Zróżnicowane artefakty, w tym narzędzia kościane i kamienne, znajdujące się często na podłogach domów i łączone są z rytuałami opuszczeniowymi. Depozyty te składają się często z licznych i celowo pofragmentowanych artefaktów, które przy próbach złożenia nie tworzą całych obiektów, co może służyć próbom interpretacji organizacji społecznej, w tym rozważaniom o współpracy pomiędzy gospodarstwami domowymi (Chapman 2000: 105-106; 224-225; Chapman i Gaydarska 2007: 189). Należy wspomnieć również o praktyce blokowania przejść pomiędzy pomieszczeniami przy użyciu zróżnicowanych depozytów specjalnych (Özdoğan i Özdoğan 1990). Oznaką rytualnego zamknięcia domów są także pogorzelaśka wynikające z zamierzonego podpalenia i destrukcji budynków (LaMotta i Schiffer 1999: 23-24; Stevanović 1997; Tringham 2005; Verhoeven 1999, 2000, 2002). Zabieg ten szczególnie powszechny był na Bałkanach, chociaż świadectwa palenia domów pochodzą również z Çatalhöyük (Cessford i Near 2005; Harrison *et al.* 2013; Twiss *et al.* 2009). Niemniej w tym ostatnim przypadku nie jest w pełni potwierdzona intencjonalność tych praktyk.

Wszystkie powyższe przykłady ilustrują wagę jaką neolityczne społeczności przykładały nie tylko do poszczególnych domów, ale i kontynuacji pewnych tradycji. Trudno wytłumaczyć tę pielęgnowaną „żywą pamięć” jako rezultat zamieszkania w trwałych osadach. Raczej, jak sugeruje Ian Hodder (2007a: 114), pojawia się ona jako niezbędny warunek osadnictwa w jednym miejscu oraz

konsolidacji i budowy tożsamości danej grupy gospodarującej razem. Co istotne, ślady opisanych zachowań mogą służyć próbom nie tylko wyznaczenia ważnych momentów w historii konkretnych budynków, ale i interpretacji organizacji społecznej.

1.3 „Społeczności domów” jako potencjalny model organizacji społecznej

Archeologia potrzebuje inspiracji antropologicznych do badań środowiska zbudowanego, umożliwiających wykorzystanie relikwów architektury do interpretacji organizacji społecznej. Takie ramy – w odniesieniu chociażby do neolitycznych mega-osad Bliskiego Wschodu – stwarza na nowo odkryty i popularny ostatnio model „społeczności domów”, który został pierwotnie zaprezentowany przez Claude’a Lévi-Straussa (1985 [1975]) – francuskiego antropologa i twórcę strukturalizmu w antropologii kulturowej (patrz Hodder 1990; Carsten i Hugh-Jones 1995; Joyce i Gillespie 2000; Beck 2007; Gillespie 2007; Borić 2008). Model ten był efektem prób rozpoznania przez tego badacza wzorów organizacji społecznych, które nie były definiowane przez płęć i pokrewieństwo³¹. „Dom”, w rozumieniu Claude’a Lévi-Straussa, tworzył „osobę prawną” [*fr. personne morale; ang. moral person*] – jedyny podmiot praw i obowiązków grupy społecznej. Dla tego badacza był on mianowicie „władającą domeną, na którą składają się jednocześnie dobra materialne i niematerialne, trwającą przez przekazywanie imienia, majątku, tytułów w rodzie realnym bądź fikcyjnym, a uznaną za uprawnioną pod jednym warunkiem - że ciągłość ta może się wyrazić w języku pokrewieństwa lub powinowactwa lub najczęściej w obydwu jednocześnie” (Lévi-Strauss 1985: 111). „Dom” jako „osoba prawna” stanowił więc metaforę zastępującą więzy krwi w definiowaniu społecznej tożsamości grupy. Domena ta, jako symbol wspólnoty, trwała przez pokolenia i była swego rodzaju łącznikiem danej grupy z jej mitycznymi założycielami. Claude Lévi-Strauss (1985: 120) przedstawił to tak: „potomstwo patrylinearne i potomstwo matrylinearne, pokrewieństwo i miejsce zamieszkania, hypergamia i hypogamia, bliskie i odległe związki małżeńskie, urodzenie i elekcja, wszystkie te pojęcia, które etnologom służą do rozróżniania rozmaitych typów organizacji znanych społeczeństw, skupiają się w domu, jak gdyby duch (w sensie osiemnastowiecznym) tej instytucji tłumaczył, w ostatecznej analizie, wysiłek wychodzenia we wszystkich dziedzinach życia kolektywnego poza zasady teoretycznie sprzeczne”.

To istotne znaczenie domu jako przede wszystkim instytucji społecznej zostało potwierdzone poprzez wiele przykładów etnograficznych, z których te klasyczne dotyczą społeczności tradycyjnych zamieszkujących Borneo, północno-zachodnie wybrzeże Ameryki Północnej, ale także takich związanych ze średniowiecznymi europejskimi i japońskimi domami wyższych warstw społecznych. Warto w tym przywołać również przykłady historycznych i wciąż funkcjonujących osad Ghadamis [berb. *eadēmās*] w Libii oraz Taos w Stanach Zjednoczonych Ameryki, charakteryzujących się aglutynacyjnym układem zabudowy podobnym do neolitycznych osad środkowej Anatolii.

³¹ To krytyka wcześniejszego, normatywnego i ahistorycznego podejścia badawczego dla którego centralny koncept stanowiła jednostka rodzinna (patrz także Wilk i Rathje 1982; Yanagisako 1979). Członkowie rodziny nie muszą bowiem mieszkać razem i współpracować, podczas gdy osoby tworzące gospodarstwo domowe mogą nie być spokrewnione lub mogą reprezentować więcej niż jedną rodzinę nuklearną. Więzy pomiędzy osobami niespokrewnionymi oraz członkami pochodzącymi od tego samego przodka mogą być ważne, ale i w równym stopniu podatne na rekonceptualizację (Carsten 2000; Stone 2004).

Pierwsze z nich usytuowane jest w oazie na Saharze i zamieszkałe przez około siedmiotysięczną społeczność Berberów, którzy stanowią rdzenną ludność północnej Afryki. Na charakterystyczny element układu urbanistycznego tego miasteczka składają się zespoły ściśle przylegających do siebie budynków użytkowanych przez członków jednego klanu. Każde z tych skupisk posiada osobny i rozległy plac, w obrębie którego odbywają się zgromadzenia i obchodzone są muzułmańskie święta religijne, jako że Barberowie w większości wyznają islam. Pomimo obecności placów, ulic i zaułków główną przestrzeń komunikacyjną osady stanowią jednak stropodachy, których przestrzeń wydzielają zróżnicowane mury osłonowe oraz mniej lub bardziej tymczasowe konstrukcje zadaszające (Ryc. 18). W efekcie lokalna architektura nie tylko daje dobre schronienie przed upałem, ale i ma za zadanie chronić spotykające się i pracujące na górnych kondygnacjach kobiety przed niepożądanym wzrokiem mężczyzn (National Geographic, luty 2013).



Rycina 18. Widok z lotu ptaka na przedzmyskie miasto-oazę Ghadamis (fot.: George Steinmetz; archiwum National Geographic).

Drugi przykład dotyczy indiańskiego puebla, które uważa się za jedną z najstarszych nieprzerwanie zasiedlonych osad w Stanach Zjednoczonych Ameryki. Najbardziej charakterystyczną cechą architektury tego miejsca stanowią ściśle przylegające do siebie i wielopiętrowe budynki z cegły mułowej, które dostępne są przez otwory w stropodachach, co miało w przeszłości stanowić skuteczne zabezpieczenie przed atakami. Większość domów – pomiędzy którymi nie ma połączeń – składa się z dwóch pomieszczeń, z których jedno służy jako główna przestrzeń domowa, a drugie jako przestrzeń spożywania i magazynowania żywności (Ryc. 19 i 20). Co ciekawe, struktura społeczna puebla ma charakter niehierarchiczny, w ramach której nie wykształciła się klasa sprawująca władzę a wódz pełni funkcję raczej mediatora i konsultanta aniżeli lidera (www.taospueblo.com).

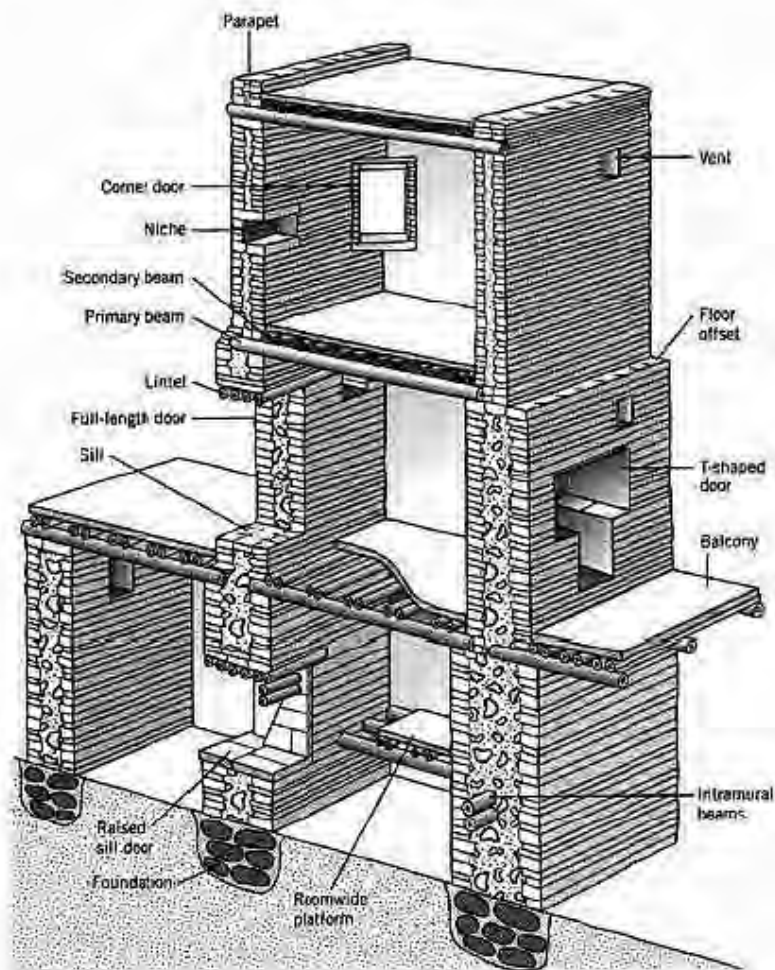
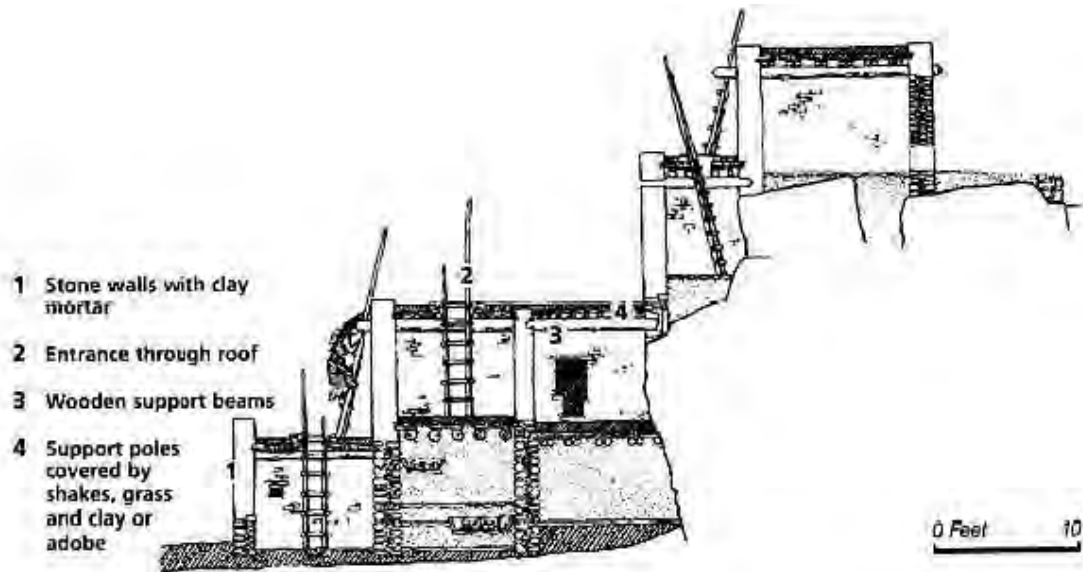


Rycina 19. Widok na charakterystyczną zabudowę pueblo w Taos w Nowym Meksyku w Stanach Zjednoczonych Ameryki (archiwum taospueblo.com).

Powyższe przykłady, jakże zbliżone i jednocześnie odmienne od neolitycznego Çatalhöyük, dowodzą, że współczesne, jak i przeszłe środowisko zbudowane stanowi niewerbalny i unikatowy komunikat dotyczący konkretnych norm kulturowych i zasad społecznych. Stąd język architektury możliwy jest w pełni do odczytania i analizowania tylko w odniesieniu do swojego własnego, słownictwa, gramatyki i składni (patrz Rapoport 1982). Na te trudności nakłada się ponadto problematyczna kwestia odczytywania zasad organizacji społeczności neolitycznych, charakteryzujących się pojmowaniem świata jako uniwersum symbolicznego, w którym wszystkie wytwory kulturowe powiązane są z dziedzinami dla nas - społeczeństw typu zachodniego - całkowicie odrębnymi (patrz Szyjewski 2001). Dlatego też na przykład Ian Kuijt *et al.* (2011) zwrócili uwagę, że w kontekście archeologicznym nie jest jasne to, w jaki sposób należy rozwijać lub adoptować objaśniające modele etnograficzne tak, aby były one spójne z danymi pozyskanymi w trakcie prac wykopaliskowych. Archeolodzy, w przeciwieństwie do etnologów³², mają bowiem w zwyczaju skupiać się na aspektach materialnych, co niesie ze sobą ograniczenia związane z zaledwie częściowym zachowaniem elementów środowiska zbudowanego oraz ograniczonym charakterze prac wykopaliskowych³³. Bezkrytyczne wykorzystanie etnograficznego modelu „społeczności domów”

³² Etnolodzy zazwyczaj przedstawiają gospodarstwa domowe w ramach niematerialnych aspektów ludzkiego życia, takich jak organizacja rodzinna i rytualna. Stąd badania etnograficzne skupiają się najczęściej na systemach pokrewieństwa i powinowactwa, wzorach dziedziczenia, zwyczajach ślubnych i regułach zamieszkiwania oraz na mitach i rytuałach przejścia (patrz Barnard 2006 [2000]).

³³ Przestrzenne granice wykopu archeologicznego pociągają za sobą rozpoznanie odizolowanego i niepełnego obrazu grup ludzkich, który w większości przypadków nie pozwala na ekstrapolację wyników badań.



Rycina 20. Architektura pueblo: a) przekrój przez pueblo Wupakti (brouszura Parku Narodowego), b) schemat przestrzenny z charakterystycznymi elementami architektury Anasazi (Crouch i Johnson 2001: Fig. 9.10).

Claude'a Lévi-Straussa wydaje się także w pewnym sensie problematyczne wobec faktu, iż koncept ten oparty został na obserwacjach plemion, w których dziesiątki lub nawet setki ludzi mieszkało w pojedynczych i bardzo dużych domach. Niektórzy badacze, jak na przykład Janet Carsten i Stephen Hugh-Jones (1995:19) zwrócili także uwagę, że pojęcie „domu” jest niejednoznaczne, gdyż stosowane jest w odniesieniu do różnych poziomów organizacji społecznej – od gospodarstw domowych poprzez klany aż do wspólnot politycznych. Ponadto w niektórych społecznościach „domy” podzielone są na rody, podczas gdy w innych to właśnie rody lub klany składają się z „domów” (patrz Gillespie 2007: 28). Biorąc pod uwagę, że każda ze społeczności ma swoją własną charakterystykę – co potwierdzają chociażby przywołane przykłady osad: Ghademis i Taos - należy zastanowić się czy sposoby zachowań różnych tradycyjnych wspólnot, mogą mieć pożyteczne zastosowanie do rozwiązania problemów archeologicznych oraz interpretacji danych pochodzących na przykład z neolitycznych mega-osad o odmiennym kontekście czasowym, społecznym, ekonomicznym i przestrzennym (patrz Kuijt *et al.* 2011).

Archeologia kontekstualna i interpretatywna jest niewątpliwie próbą rozwiązania powyższych wątpliwości i pojawiających się problemów. Stąd też we współczesnej dyskusji funkcjonuje wiele przykładów badań porównawczych (np. Adams 2005; Garfinkel i Miller 2002), które otwierają nowe perspektywy i pozwalają na uporządkowanie danych. Jednocześnie usprawiedliwiają one niejako, jak zauważył Dušan Borić (2008), użycie terminu „dom” jako kategorii najlepiej opisującej złożone więzi i sojusze grupowe oraz oddającej znaczeniowość organizacji społecznej i jej częstej reifikacji w fizycznej formie. Co prawda może to być pojęcie w pewnym stopniu problematyczne ze względu na jego nakładanie się na kulturowo ukształtowany zbiór wyobrażeń osadzonych we współczesnym kontekście społecznym³⁴, niemniej pozwala na prowadzenie rozważań dotyczących aspektów rytualnych powiązanych z domami oraz podjęcie prób wyjaśnienia diachronicznych przemian i zróżnicowanego statusu budynków (Düring 2007: 131). Generalne zastosowanie konceptu „domów” daje także możliwość przejścia z poziomu badań indywidualnych gospodarstw domowych na poziom nie tylko więzi pomiędzy nimi, ale i relacji do jednostek wyższego rzędu. W efekcie model „społeczności domów”, przy jednoczesnym poszerzeniu i dużym uogólnieniu tego obszaru teoretycznego, znalazł szerokie i zróżnicowane zastosowanie w przypadku badań stanowisk ze stosunkowo dobrze zachowanymi relikdami architektury (np. Joyce i Gillespie 2000; Kuijt 2000). Model ten w takich kontekstach przy jednoczesnym zastosowaniu rozwiniętej metodyki terenowej stał się bez wątpienia istotnym narzędziem interpretacji organizacji społecznej, co znajduje odzwierciedlenie również w odniesieniu do badań stanowiska Çatalhöyük (Hodder 2006).

2. „Społeczność domów” jako możliwy typ organizacji społecznej Çatalhöyük

2.1 Od świątyń poprzez domy rodowe do domów „historii”

Badania prowadzone w odniesieniu do osady Çatalhöyük skupiają się na próbach opisu środowiska zbudowanego jako całości w celu zrozumienia organizacji społecznej, w tym rekonstrukcji

³⁴ Na przykład Ian Kuijt *et al.* (2011) zrezygnowali w odniesieniu do badań mega-osad neolitycznych Bliskiego Wschodu z używania pojęcia „dom” na rzecz terminu „rozszerzone gospodarstwo domowe”.

ogólnych wzorów i kierunków zaobserwowanych zmian. Studium tym towarzyszą pytania o zasady, które łączyły całą neolityczną społeczność, jak i poszczególne grupy sąsiedzkie lub gospodarstwa domowe. W ich ramach rozważa się znaczenie braku wyróżnialnej architektonicznie scentralizowanej władzy. Zadaje się także pytania o funkcję wyróżniających się budynków w kolejnych fazach osadniczych, o ile takie obiekty rzeczywiście istniały i są możliwe do zidentyfikowania. Wszystkie te studia formalne opierają się nie tylko na lokalizacji, wielkości, dostępności i następstwie poszczególnych budynków, ale i zróżnicowaniu w oparciu o ich program funkcjonalno-użytkowy oraz charakterystykę ich cykli życiowych (Hodder i Farid 2014). Zasadnicze znaczenie dla tych rozważań ma od pewnego czasu wspomniany model „społeczności domów”.

Przegląd najważniejszych podejść do interpretacji organizacji społecznej Çatalhöyük należy rozpocząć od Jamesa Mellaarta (1967), który około jedną trzecią z poddanych eksploracji budynków – wyróżniających się jego zdaniem bogatym wystrojem i wyposażeniem wnętrza – nazwał subiektywnie świątyniami. Z uwagi na duże nagromadzenie tych obiektów na stosunkowo małej powierzchni postawił jednocześnie hipotezę, że odkrył on dzielnicę świątyni. Obszar ten miał być jego zdaniem zarządzany przez kapłanów odpowiedzialnych za wszystkie czynności o charakterze religijnym, które spajały neolityczną społeczność i jednocześnie realizowane były tylko w obrębie niemieszkalnych budynków (Mellaart 1967: 71). W ten sposób badacz ten starał się wytłumaczyć fakt długotrwałego funkcjonowania tak złożonego organizmu, jakim niewątpliwie była osada Çatalhöyük³⁵.

Podział na domy i świątynie nie był do końca jasny i właściwie od początku budził kontrowersje ze względu na zbyt duże podobieństwa pomiędzy wymienionymi typami budynków³⁶ (np. Heinrich i Seidl 1969: 116). Takiej klasyfikacji przeciwstawił się m.in. Ian Hodder, który – odwołując się do zaakcentowanej przez siebie dychotomii pomiędzy *agrios* a *domus* (Hodder 1990) – argumentował, że wszystkie budynki były użytkowane jako przestrzenie domowe i jednocześnie każdy z domów pełnił rolę niezależnego ośrodka transmisji i reprodukcji zachowań symbolicznych, co miało stanowić podstawę egalitarnej społeczności zamieszkującej osadę Çatalhöyük (Hodder 2006; Hodder i Cessford 2004). Dla potwierdzenia tej hipotezy istotne znaczenie miały badania mikrostratygraficzne (patrz Goldberg i Macphail 2006: 354-361), które umożliwiły szczegółowe rozpoznanie czynności codziennych, miesięcznych i sezonowych realizowanych w obrębie budynków w oparciu m.in. o nawarstwienie tynków naściennych i pokładów tworzących podłogi³⁷ (Matthews 2005a, 2005b).

³⁵ James Mellaart, będąc pod wrażeniem rozmiaru stanowiska oraz bogactwa kultury materialnej, określał zresztą Çatalhöyük mianem miasta, co bardziej było swego rodzaju chwytem marketingowym aniżeli rzeczywistością hipo-tezą. Niemniej pogląd ten, podchwyczony przez wielu badaczy, miały potwierdzać: istnienie wyspecjalizowanych grup, kontrolowanie przez lokalną społeczność handlu obsydianem, a także aglutynacyjny wzór osadniczy - zdaniem Jamesa Mellaarta - pełniący funkcję ochronną przed nieprzyjacielem (Mellaart 1967: 68-69, 71). Wyniki współcześnie prowadzonych badań nie potwierdzają jednak żadnej z powyższych hipotez (Hodder 2006).

³⁶ Sam James Mellaart, zauważając ten problem, określił z czasem niektóre z budynków mianem „pomniejszych świątyni” [ang. *lesser shrines*]. Obiekty te miały jego zdaniem być użytkowane przez cały czas w przeciwieństwie do „wyższych świątyni” [ang. *upper shrines*], które wykorzystywano tylko podczas zróżnicowanych rytuałów (Mellaart 1967: 80-82).

³⁷ W przypadku Çatalhöyük mikromorfologia, oprócz dostarczenia dowodów podważających hipotezę o istnieniu świątyni, pomaga zdefiniować funkcję przestrzeni otwartych, określając chociażby miejsca przeznaczone na pobyt zwierząt, a także pozwala, na podstawie analizy rumowisk wewnątrz budynków, na określenie charakteru stropodachów (Matthews 2005a; Schilito i Matthews 2013). We wszystkich tych przypadkach opisywane badania nierzadko połączone są z badaniami fitolitów (patrz Schilito i Ryan 2013), stanowiąc istotny element w generalnej interpretacji społecznej stratygrafii stanowiska.

Wyróżniane przez Jamesa Mellaarta świątynie okazały się być nie tylko intensywnie użytkowane, ale i zawierać charakterystyczne odpady towarzyszące czynnościom domowym. Hipoteza Iana Hoddera została także potwierdzona przez wyniki analiz osadów ciężkich, wskazujące na fakt, że wszystkie odsłonięte w trakcie prac terenowych budynki były zamieszkałe i w konsekwencji wykorzystywane jako przestrzeń do przechowywania i przygotowywania jedzenia, spożywania posiłków oraz najprawdopodobniej spania (Cessford 2005b). W efekcie powyższych analiz odrzucono możliwość istnienia budynków, będących przestrzeniami symbolicznymi, które mogły być użytkowane przez kapłanów lub większe grupy aniżeli pojedyncze gospodarstwa domowe.

Powyzsza znacząca reinterpretacja organizacji społecznej Çatalhöyük szybko została jednak zakwestionowana czemu towarzyszyło wprowadzenie m.in. pojęć: „skupionego sąsiedztwa” [ang. *clustered neighbourhood*] (Özbaşaran 2000: 135; patrz także Düring 2001) oraz „domów rodowych” [ang. *lineage houses*] (Düring 2007: 133), które użyto dla określenia w znacznym stopniu niezależnych i rozdzielonych przestrzeniami otwartymi skupisk kilkudziesięciu budynków. Mianowicie Bleda S. Düring (2001, 2003), wykorzystując - w przeciwieństwie do wcześniejszych analiz Tima Ritchey'ego (1996) - dane ilościowe dotyczące nie tylko elementów dekoracyjnych i wyposażenia wnętrz, ale przede wszystkim pochówków, zasugerował istnienie domów o stosunkowo wysokim statusie. Jednocześnie, powołując się na zasady społecznej logiki przestrzeni oraz wykorzystując metody analizy składniowej (patrz Hillier i Hanson 1984)³⁸, argumentował, że budynki te usytuowane były w mniej dostępnych, bo otoczonych przez inne domy miejscach. Zdaniem tego badacza owe „domy rodowe” (Düring 2007) pełniły rolę ważnych miejsc dla grupy większej aniżeli tylko ich mieszkańcy, czym tłumaczył koncentrację w ich obrębie materialnych świadectw praktyk rytualnych.

Wyniki analiz Bledy S. Düringa, mimo że poddane zostały krytyce w odniesieniu do subiektywnego wyboru danych wyjściowych³⁹ (patrz np. Cutting 2005; Tung 2008: 127) oraz - moim zdaniem - zbyt dosłownego i wyłącznego oparcia się na planach archiwalnych z lat 60. ubiegłego wieku⁴⁰ (patrz także Farid 2007a; Hodder 2016a), otworzyły nowe perspektywy w badaniach organizacji społecznej osady. Mianowicie dopuszczenie przez tego badacza możliwości istnienia zróżnicowania pomiędzy budynkami pozwoliło na wytłumaczenie tego, w jaki sposób grupy sąsiedzkie mogły być ze sobą powiązane na poziomie wyższym niż gospodarstwa domowe. Zwrócenie uwagi, że niektóre domy mogły z czasem osiągać wyższy status nie tylko w stale zmieniającej się

³⁸ Bill Hillier i Julienne Hanson (1984) w swoich badaniach nad społeczną logiką przestrzeni wzięli pod uwagę ruch ludzi: do, poprzez i z danego obszaru. Badania te znalazły szerokie zastosowanie w archeologii w odniesieniu do stanowisk z dobrze zachowanymi relikami architektury (patrz np. Brusasco 2004; Chapman 1989, 1990; Düring 2001; Gnivecki 1987). Problemem tego typu analiz jest jednak fakt skupiania się jedynie na planach budynków i brania bardzo często pod uwagę jedynie ruchu w płaszczyźnie poziomej.

³⁹ Marion Cutting (2005) nie zgodziła się z tym, że istnieje związek pomiędzy wielkością budynków a złożonością aranżacji i wystroju ich wnętrz. Nie stwierdziła także znaczących różnic pomiędzy grupami budynków wyróżnionych ze względu na elementy dekoracyjne i pochówki. Z kolei Burcu Tung (2008) argumentowała, że oparcie się przez Bledę S. Düringa (jak i resztą Tima Ritchey oraz Marion Cutting) zaledwie na kilku fizycznych elementach programu wnętrz w określeniu ich rytualnej złożoności nadmiernie upraszcza bogate i zróżnicowane praktyki obserwowane w obrębie osady Çatalhöyük.

⁴⁰ Shahina Farid (2007a) zwróciła uwagę, że Bleda S. Düring, podobnie jak wcześniej Tim Ritchey (1995), dokonujący pierwszego zestawienia dokumentacji archiwalnej, nie był w stanie poddać analizie różnych faz użytkowania poszczególnych domów. Jak potwierdzają wyniki badań terenowych i laboratoryjnych uwzględnienie tego aspektu może pozwolić na uchwycenie znaczących różnic w rozmieszczeniu oraz charakterze wewnętrznych instalacji oraz związanych z nimi artefaktów. z kolei Ian Hodder (2016a), opierając się m.in. o wyniki wznawionych prac w obrębie dawnego wykopu Jamesa Mellaarta (patrz Barański 2013a; 2014), zwrócił uwagę na problematyczność dokumentacji archiwalnej.

konfiguracji współczesowych budynków, ale i w odniesieniu do domów bezpośrednio ich poprzedzających (patrz Düring 2005, 2006, 2007), zainspirowało zresztą Iana Hoddera i Petera Pelsa (2010) do wprowadzenia wspomnianego już pojęcia „domów historii”. Co prawda dotychczasowe wyniki badań zdają się potwierdzać, że nie ma korelacji pomiędzy wielkością budynków a ilością usytuowanych w ich obrębie pochówków oraz aranżacją i wystrojem ich wnętrz, niemniej - analizując sekwencję następujących po sobie domów wraz z rozróżnieniem faz ich użytkowania – wydaje się, że można wyróżnić budynki, które trwają przez generacje i poddawane są wielokrotnym przebudowom. Domy te zdaniem Iana Hoddera charakteryzują się znacznym poziomem złożoności oraz są miejscem wielokrotnych pochówków⁴¹, co miało podkreślać ich szczególne znaczenie dla pewnej grupy społecznej pielęgnującej pamięć o przodkach. Warto jednak zaznaczyć, że w trakcie współcześnie prowadzonych prac eksploracyjnych stwierdzono istnienie licznych grobów usytuowanych w obrębie budynków nietworzących ciągłych sekwencji. Znane są także domy uznawane za złożone a charakteryzujące się zaledwie kilkoma pochówkami i nieznaczącymi fazami przebudowy. Stąd Ian Hodder i Shahina Farid (2014: Tabela 1.2), zauważając te nieprawidłowości, podjęli próbę wyróżnienia, oprócz „domów historii”, kilku innych typów budynków mieszkalnych w Çatalhöyük. Są to mianowicie: 1) domy wielopochówkowe [ang. *multiple burial houses*], 2) domy duże i złożone [ang. *large and elaborate houses*] oraz 3) pozostałe domy [ang. *other houses*]⁴².

Powyższa klasyfikacja pozwala zdaniem Iana Hoddera na badanie zróżnicowania społecznego w relacji pomiędzy ludźmi a symbolicznymi elementami wyposażenia i dekoracji zamieszkiwanych przez nich budynków, a także pomiędzy człowiekiem a zróżnicowanymi artefaktami domowymi⁴³. Podział ten wydaje się jednak w pewnym sensie subiektywny wobec zróżnicowania „domów historii” oraz częściowego pokrywania się wyróżnionych kategorii, co wiąże się moim zdaniem z brakiem jasności nie tylko relacji pomiędzy sąsiadującymi ze sobą budynkami, ale i czynności realizowanych w niewielkiej odległości wokół nich. Powodem takiego stanu rzeczy jest skupienie się na eksploracji i szczegółowej dokumentacji wnętrz pojedynczych budynków oraz wspomniana już tendencja do postrzegania domu – miejsca kształtowania się życia i konstrukcji pamięci - jako centralnej i niezależnej jednostki społecznej (patrz Hodder i Cessford 2004).

W poprzednim rozdziale przedstawiłem złożoność i nierównoznaczność relacji pomiędzy domem a gospodarstwem domowym, co każe poddawać w wątpliwość próby interpretacji organizacji społecznej w oparciu o archeologię indywidualnych budynków. Oczywiście nie oznacza to konieczności zanegowania podstawy wyróżniania „domów historii”, które mogły być fizycznie ograniczone do jednego obiektu i jednocześnie wyznaczać centralny, wręcz założycielski punkt gospodarstwa użytkującego przestrzeń kilku budynków. Nie zmienia to jednak faktu, że niektóre

⁴¹ Warto w tym miejscu zwrócić uwagę, że pochówki w obrębie neolitycznych domów są generalnie interpretowane jako sposób budowania rodowodu. Wielu badaczy wiąże z tą praktyką pojawienie się i rozwój pojęcia własności i statusu społecznego (patrz np. Bar-Yosef 2002; Byrd 2005).

⁴² Klasyfikacja ta, jak podkreślają Ian Hodder i Shahina Farid (2014: 5), możliwa jest jednak tylko w odniesieniu do domów, które w całości objęte zostały programem badań – wykopaliskowych i laboratoryjnych.

⁴³ Ian Hodder (2012a) zwrócił ostatnio uwagę, że rozważania podejmowane w ramach archeologii skupione są na sprawczości i znaczeniowości, co odbywa się kosztem rzeczywistego obrazu świata. w przedstawionej przez siebie teorii „powiązań” [ang. *entanglement theory*] podkreśla on dialektyczną zależność pomiędzy ludźmi a rzeczami. Odwołując się zarówno do neolitycznego Çatalhöyük, jak i świata współczesnego, pokazuje jak rzeczy mogą „uwięzić” ludzi i całe społeczeństwa w sieci utrzymywania świata materialnego.

z domów wydają się być zwyczajnie za małe lub w niewystarczający sposób wyposażone, aby stanowić przestrzeń życia gospodarstwa domowego, którego liczbę członków – w odniesieniu do neolitycznych mega-osad - szacuje się w dużym przybliżeniu na 4-9 osób (Cessford 2005b: 325; Düring 2001: 5; Düring i Marciniak 2006: 172-173; Matthews 1996: 86; Mellaart 1967: 60). Bleda S. Düring i Arkadiusz Marciniak (2006) za przykład podają osadę Aşıklı Höyük, w obrębie której średnia powierzchnia użytkowa budynków wydaje się wynosić 9 m² i 12 m² w przypadku odpowiednio domów z jednym i wieloma pomieszczeniami. Jednocześnie zauważyli oni, że w zaledwie około 30% z poddanych badaniom budynków odnaleziono relikty palenisk⁴⁴. Tym samym zasugerowali, iż system organizacyjny tej osady oparty był na grupach sąsiedzkich, będących swoistym ekwiwalentem indywidualnych gospodarstw domowych. Takí model organizacji społecznej miał jednak nie obowiązywać zdaniem tych badaczy w Çatalhöyük, w obrębie którego średnią powierzchnię domów określili jako większą i wynoszącą 21 m², a w każdym z budynków wyróżnili palenisko⁴⁵. Mianowicie według Bledy S. Düringa i Arkadiusza Marciniaka gospodarstwa domowe charakteryzujące przedmiotową osadę stanowiły generalnie homogeniczne jednostki, które rezydowały w odrębnych oraz zawierających ślady zarówno domowych, jak i produkcyjnych czynności budynkach. Co prawda, przywołując przykłady wczesnych „domów bliźniaczych” [ang. *twin buildings*] z odrębnymi pomieszczeniami głównymi i wspólną przestrzenią magazynową zauważyli oni, że w rzeczywistości gospodarstwa domowe nie we wszystkich przypadkach mogły stanowić osobne jednostki⁴⁶, to jednak ich hipoteza wydaje się wpisywać w tradycyjną wizję domu jako gospodarstwa domowego. Równolegle badacze ci, opierając się na nagromadzeniu pochówków w obrębie niektórych domów, podkreślili początkowe duże znaczenie grup sąsiedzkich, które uległy stopniowemu rozpadowi, co szło w parze z rosnącą autonomią konkurujących ze sobą gospodarstw domowych (patrz Düring 2001, 2003; Marciniak *et al.* 2015a). Uważa się, że te ostatnie przemiany mogły być powiązane z bardziej intensywnym wykorzystaniem zwierząt oraz roślin, a także kształtowaniem się form przywództwa w obrębie danych grup (Hodder i Farid 2014: 9).

Zwrot od zachowań i działań kolektywnych do autonomicznych i konkurencyjnych sposobów gospodarowania w odniesieniu do grup tworzących daną społeczność wydaje się stanowić element ponadregionalnego trendu przemian społeczno-ekonomicznych w okresie późnego neolitu (patrz Flannery 2002; Kuijt 2008; Marciniak 2008; Rollefson *et al.* 2014). Na przykład Ian Kuijt (2001, 2008), skupiając się na Lewancie, argumentował, że jeszcze przed końcem okresu neolitu preceramicznego B niektóre mega-osady charakteryzowały się wielokondygnacyjnymi budynkami, wysokim i zindywidualizowanym poziomem kontroli nad przestrzeniami magazynowymi, a także zróżnicowanymi

⁴⁴ U wielu społeczności tradycyjnych wspólne przygotowywanie i konsumpcja jedzenia oraz używek wydają się być jednymi z najważniejszych elementów spajających gospodarstwa domowe, stanowiąc jednocześnie czynnik krytyczny dla ich społeczno-ekonomicznej sprawności. Znaczenie tych czynności podkreślone jest chociażby właśnie poprzez obecność w obrębie domów pojedynczych i centralnie usytuowanych palenisk, przy których budowa więzi społecznych mogła się odbywać niezależnie od istniejących związków pokrewieństwa (Carsten 1997; Hutchinson 2000; Lambert 2000; Nuttall 2000).

⁴⁵ Uważam, że badacze Ci, opierając się przede wszystkim na archiwalnej i problematycznej – o czym piszę w kolejnym rozdziale - dokumentacji Jamesa Mellaarta, zasadniczo uprościli charakterystykę zabudowy Çatalhöyük, na którą składają się domy o różnej powierzchni i układzie wnętrza. Uwaga ta w szczególności dotyczy okresu późnego neolitu, ale i w przypadku wcześniejszych faz osadniczych trudno moim zdaniem mówić o referencyjnym modelu domu. Ponadto znane są budynki, w których nie ma żadnego paleniska, jak i takie, gdzie tych instalacji jest kilka w obrębie różnych pomieszczeń.

⁴⁶ Dziś znanych jest zdecydowanie więcej przykładów budynków przestrzennie i funkcjonalnie połączonych ze sobą, o czym piszę w Rozdziale VII. Fakt ten rzuca nowe światło na organizację społeczną Çatalhöyük, która wydaje się wymykać powyższemu schematom.

praktykami sepulkralnymi. Także Bleda S. Düring (2001, 2003), analizując dane z późnych faz osadniczych w Çatalhöyük, wskazał na zmiany w organizacji przestrzennej przejawiające się we wzroście przeciętnej wielkości domów przy jednoczesnym zmniejszeniu się gęstości zabudowy i pojawieniu się bardziej rozległych przestrzeni otwartych, które oddzielały mniejsze niż wcześniej skupiska budynków. Te zmiany, zdaniem wielu badaczy, odzwierciedlają długotrwały proces przejścia od gospodarstw domowych do rozszerzonych jednostek gospodarujących razem [ang. *extended households*], składających się na przykład z kilku rodzin nuklearnych lub kilku takich grup i osób z nimi w różny sposób powiązanych (patrz Banning 2003: 14; Bar-Yosef 2001; Flannery 2002: 431; Goring-Morris i Belfer-Cohen 2012; Kuijt *et al.* 2011; Rollefson 2001b; Watkins 2008). O ile jednak panuje generalna zgoda, co do tego, że system organizacji społecznej neolitycznych mega-osad był wielopoziomowy i zmienny, o tyle różne jest rozumienie składających się na niego komponentów: gospodarstw domowych, rozszerzonych gospodarstw domowych i grup sąsiedzkich. Rozbieżności te wynikają z trudności zdefiniowania wymiaru przestrzennego i architektonicznego poszczególnych kategorii jednostek społecznych. Osobiście skłaniam się ku hipotezie Iana Kuijta *et al.* (2011), w ramach której gospodarstwa rozszerzone zasiedlały generalnie wiele struktur mieszkalnych i realizowały funkcje, które nie tylko uzupełniały, ale i zastępowały lub nawet konkurowały z tymi, charakteryzującymi pojedyncze gospodarstwa domowe⁴⁷.

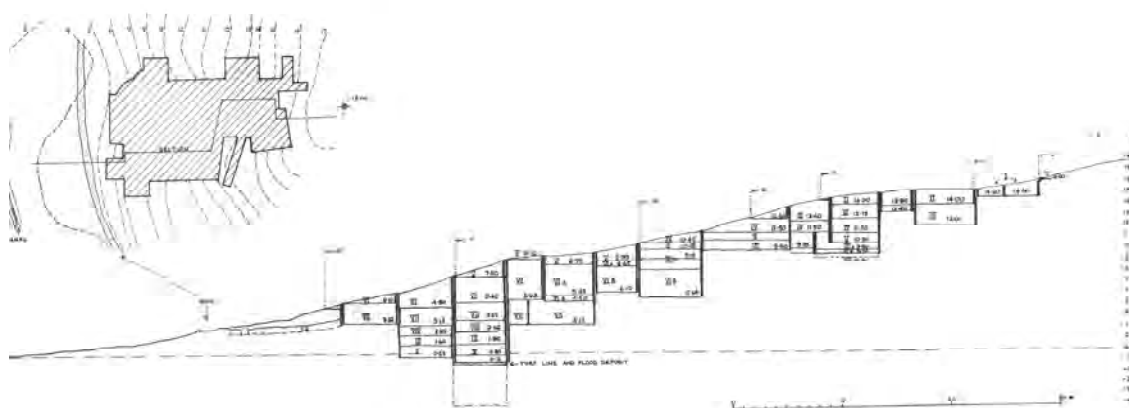
Powyższe interpretacje, kierując uwagę na możliwość funkcjonowania w okresie późnego neolitu niezależnych i rozszerzonych gospodarstw domowych, a także złożonych struktur mieszkalnych, uzasadniają tym samym niezbędność rozpoznania zespołów współczesowych budynków. Realizacja stosownego programu badań wymaga jednakże dyskusji nad zagadnieniami zależności organizacji społecznej i procesów depozycyjnych, w tym możliwości rozpoznania tych ostatnich poprzez badania stratygraficzno-architektoniczne. Nie chodzi tu o względność samego opisu w oparciu o diagram Harrisa, który nie zawiera informacji o skali czasu i znaczeniu (hierarchii) rejestrowanych epizodów, lecz o ograniczenia wynikające z przyjętych założeń metodycznych, jak i wyobrażeń o przebiegu procesów depozycyjnych na tellu. W efekcie w kolejnym podrozdziale zmierzam do przewartościowania dotychczasowego podejścia do stratygrafii.

2.2 Badania stratygraficzno-architektoniczne

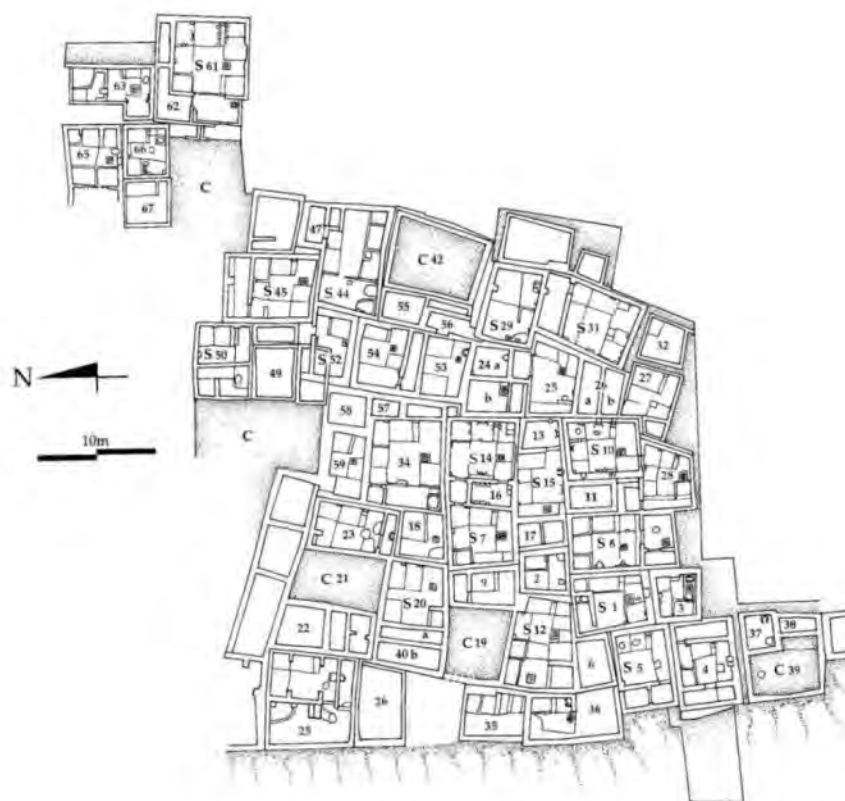
Do niedawna sposób podejścia do stratygrafii Çatalhöyük a w konsekwencji interpretacji układu zabudowy naznaczony był przez założenia wdrożone w badaniach Jamesa Mellaarta (1967). Archeolog ten, jak już wspominałem, wprowadził kilkunastostopniowy system chronologiczny, który oparty był na poglądzie, że zmiany w układzie zabudowy przebiegały generalnie w ramach względnie synchronicznie następujących po sobie faz opuszczania i budowania nowych budynków, co skutkowało powstaniem horyzontalnych poziomów stratygraficznych (osadniczych). Podstawowym założeniem tego uszeregowania było przekonanie, że stratygrafię tellu można arbitralnie opisać i przedstawić jako swego rodzaju „uwarstwiony tort”, w którym poziomy znajdujące się wyżej są młodsze od tych usytuowanych poniżej. Takie ogólnie obowiązujące w tamtych czasach podejście –

⁴⁷ W kontekście archeologicznym trudno jest jednak ustalić, kto wykonywał określone czynności. Według niektórych badaczy zróżnicowanie w sposobach organizacji pracy, w tym podziału na czynności domowe i pozadomowe oraz codzienne i okazjonalne, może być ściśle związane z rolą i statusem płci, co może być zresztą odzwierciedlone w zróżnicowaniu pochówków. Należy jednak zwrócić uwagę, że tożsamość płciowa w pracy jest raczej uwarunkowana społecznie, a nie biologicznie (patrz Souvatzi 2008).

zastosowane chociażby przez Kethleen Kenyon w Jerycho, gdzie James Mellaart zdobywał doświadczenie archeologiczne - można także rozumieć jako swoistą konieczność w przypadku badań stanowisk o skomplikowanej stratygrafii oraz wykorzystaniu siły roboczej w postaci wynajętych osób nie będących archeologami. W każdym razie w efekcie przyjętych założeń w skład każdego poziomu – rozumianego jako fazę zamknięcia starego i budowy w tym samym miejscu nowego budynku - wchodziły domy, których podłogi posiadały takie same lub zbliżone rzędne wysokościowe (Ryc. 21). Stąd archiwalne ilustracje kolejnych poziomów obejmują zestawienia budynków nie tylko znajdujących się na podobnej wysokości, ale również, jak arbitralnie zakładano, wybudowanych, funkcjonujących i opuszczonych mniej więcej w tym samym okresie.

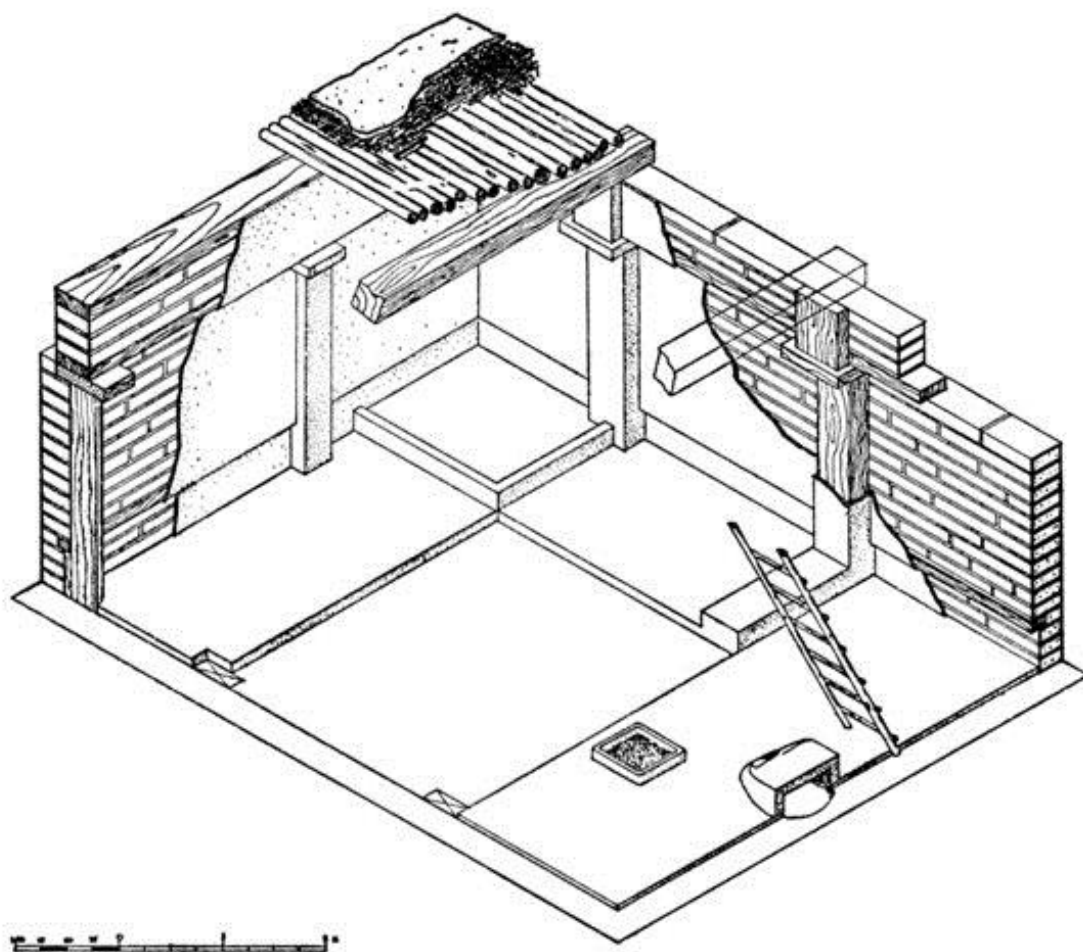


Rycina 21. Schematyczny przekrój na linii wschód-zachód przez wykop z lat 60. ubiegłego wieku (Mellaart 1963: Fig. 3). Co znamienne, jest to jeden z zaledwie kilku planów pionowych opublikowanych przez Jamesa Mellaarta.



Rycina 22. Przykładowy archiwalny plan poziomy stratygraficznego VIB (Mellaart 1963: 40; Fig. 2).

Powyższy problematyczny system, do którego wciąż powszechne są odwołania w literaturze, miał długo, bo do 2008 roku (czyli do momentu wdrożenia nowego programu badań) zastosowanie także we współcześnie prowadzonych pracach wykopaliskowych na tellu (Farid 2014b: 93-95; Hodder i Farid 2014: 14, 18; patrz także Bayliss *et al.* 2014). Kolejne wyniki badań, w tym prac kontynuowanych w obrębie wykopów Jamesa Mellaarta (Farid 2014b; patrz także Barański 2013a), jednoznacznie wskazują na to, że rozwój układu zabudowy osady przebiegał w sposób zdecydowanie bardziej organiczny i nie da się go opisać jednym prostym schematem. Środowisko zbudowane Çatalhöyük tworzyło bowiem mozaikę budynków i otwartych przestrzeni, które podlegały zróżnicowanym transformacjom w znacznym stopniu niezależnie od siebie. Domy posiadające podłogi posadowione na tej samej wysokości nie zawsze były współczesne. Co więcej, okazało się, że budynki usytuowane u podnóża tellu wcale nie muszą być wcześniejsze od niektórych odkrywanych wyżej w centralnej części stanowiska (patrz np. Özbaşaran i Duru 2014). Stąd też ilustracje archiwalne –efektowne i ważne, biorąc pod uwagę uwzględniony na nich szeroki kontekst przestrzenny (Ryc. 22) –okazały się mieć ograniczoną wartość naukową. W efekcie tych krytycznych spostrzeżeń powszechnie operuje się dziś pojęciem „kolumny budynków” jako jedyne pewnego układu następstwa, w którym o chronologii decyduje wzajemne położenie wysokościowe (Farid 2014b; Bayliss *et al.* 2014).



Rycina 23. Rekonstrukcja układu konstrukcyjnego typowego budynku w Çatalhöyük składającego się generalnie z murów z cegieł mułowych oraz słupów przyściennych (w obrębie głównego pomieszczenia) wspólnie podtrzymujących płaski stropodach z otworem wejściowym (Mellaart 1963: 52; Fig. 10).

Pierszym narzędziem weryfikacji i reinterpretacji modelu przedstawionego przez Jamesa Mellaarta stały się szczegółowe badania stratygraficzne, pozwalające na ustalenie i określenie względnej chronologii występujących nawarstwień kulturowych. O ile ustalenia z lat 60. ubiegłego wieku w odniesieniu do ogólnej formy i konstrukcji budynków (patrz Ryc. 23) zostały jedynie nieznacznie uzupełnione wynikami wznowionych prac na tellu⁴⁸ (patrz Asouti 2013: 143-146; Cutting 2005; Hodder i Farid 2014: 18-25; Stevanović 2013), o tyle nowe analizy – przeprowadzone w poziomie i w pionie, związane są z odkrywaniem cykli życiowych domów oraz składających się na nie złożonych historii codziennych. Specyfika współczesnych badań polega na łączeniu podejść: kulturowego i społecznego (patrz McAnany i Hodder 2009). Tym samym z jednej strony budynki analizowane są w sposób biograficzny, jako obiekty, które są konstruowane, używane i opuszczane, a następnie zastępowane przez inne; z drugiej zaś – postrzegane są, zgodnie z podejściem do domu w epoce neolitu, jako istoty żywe, które rodzą się, żyją i umierają czemu towarzyszą zróżnicowane rytuały zakładzinowe i upamiętniające, prace odnawiające oraz obrzędy zamknięcia. W efekcie budynki, które James Mellaart postrzegał i zadokumentował jako statyczne obiekty, są przedstawiane jako produkty uboczne procesów rozgrywających się w sposób ciągły w sferach: społecznej, kulturowej, ekonomicznej, przestrzennej i środowiskowej. Szczególną uwagę zwraca się obecnie na ślady wielokrotnego odnawiania podłóg, ścian i płaskorzeźb naściennych, które mogło odbywać się nawet do 450 razy w ciągu życia budynku (Hodder 2007a: 108). Podkreśla się także fakt, że domy były przebudowywane lub budowane dokładnie w tych samych miejscach, co wcześniejsze obiekty, a rozmieszczenie i wzajemne relacje obiektów architektonicznych w ich wnętrzach nie podlegało większym zmianom. W niektórych przypadkach w ramach powstałych w ten sposób kolumn budynków można doliczyć się do sześciu niezależnych epizodów budowlanych. Powtarzalność w planowaniu przestrzeni⁴⁹ – posiadanie ściśle określonego miejsca dla zróżnicowanych elementów wyposażenia i wykończenia wnętrz – wydaje się potwierdzać hipotezę, zgodnie z którą życie społeczne w Çatalhöyük organizowane było w znacznej części wokół codziennych praktyk i rytuałów domowych (Hodder i Cessford 2004).

W powyższym kontekście większość analiz dotyczących architektury realizowanych jest w ramach zasadniczego programu badań, który w Çatalhöyük zorientowany został na rozpoznanie biografii pojedynczych domów; tym samym skupiają się one na badaniu bardziej kontekstu czasowego („pionowego”) aniżeli funkcjonalnego („poziomego”) budynków. Na kolumnach domów - w znacznym stopniu niezależnie badanych - oparto zresztą nowy system budowy chronologii osady (Farid 2014b), którego weryfikacja możliwa będzie dopiero po zakończeniu programu datowania radiowęglowego przy wykorzystaniu statystyki w ujęciu bayesowskim (Bayliss *et al.* 2014). Te analizy laboratoryjne i gabinetowe wykorzystują dane stratygraficzne zawarte w tzw. macierzy Harrisa⁵⁰

⁴⁸ Znamienny jest tu fakt wykorzystania archiwalnej aksonometrii, prezentującej układ architektoniczno-konstrukcyjny typowego domu (Ryc. 23), w wielu współczesnych publikacjach.

⁴⁹ Lech Czerniak (2016: rozmowa prywatna) zasugerował określenie tej powtarzalności jako posiadanie i korzystanie ze swego rodzaju „mapy mentalnej”.

⁵⁰ Nazwa „macierz” nie ma w tym przypadku żadnych matematycznych konotacji, jako że dotyczy jedynie graficznego sposobu przedstawienia stratygrafii kulturowej (patrz McAnany i Hodder 2009), a więc względnej chronologii wielowarstwowego stanowiska. Metoda ta została opracowana i opublikowana w 1979 roku przez brytyjskiego archeologa

[ang. *Harris matrix* lub *Harris diagram*] (Harris 1989 [1979]), określającym wzajemne relacje, w tym następstwo nawarstwień kulturowych. Dzięki takiemu zabiegowi można zawęzić przedział wieku szeregu próbek organicznych, który w sposób przybliżony został określony poprzez datowanie metodą radiowęglową. W efekcie możliwe jest stosunkowo precyzyjne opisanie dynamiki zmian w obrębie arbitralnie wydzielonych faz archeologicznych (Buck 2004).

Specyfika układów stratyfikacji tworzących tell, w tym charakter układu zabudowy, utrudnia pełną dokumentację i interpretację relacji fizycznych i stratygraficznych pomiędzy sąsiadującymi ze sobą budynkami. Stąd w przypadku badań nad ogólną chronologią zabudowy tellu można w dużym stopniu abstrahować od zróżnicowanych ograniczeń analizy stratygraficznej oraz skupić się, tak jak to ma obecnie miejsce, na badaniu pojedynczych kolumn następujących po sobie domów. Niemniej wyjście poza układ jednodomowy jest problematyczne i w odniesieniu do prób rekonstrukcji organizacji przestrzennej osady pozostawia wiele pytań bez odpowiedzi. Na przykład wciąż nie jest jasne, gdzie mogliby mieszkać członkowie gospodarstwa domowego po opuszczeniu i symbolicznym zamknięciu danego domu, kto brał udział w budowie domu i jak długo ona trwała, a także jaki charakter miały czynności realizowane na stropodachach. Na te pytania nakładają się dodatkowo wątpliwości dotyczące rzeczywistej formy budynków, ciągów komunikacyjnych w obrębie osady oraz zależności pomiędzy domami a przestrzeniami otwartymi.

Wobec powyższych trudności wymagane jest moim zdaniem wyjście poza dotychczasowe schematy oraz zwrócenie uwagi na nowe przesłanki, które pozwalałyby na ukazanie kontekstu przestrzennego poszczególnych budynków oraz posłużyłyby zwiększeniu szans na rozpoznanie indywidualnych lub rozszerzonych gospodarstw domowych. Bezwzględnie konieczne jest prowadzenie obserwacji w odniesieniu nie tylko do planów poziomych, ale i pionowych ilustrujących stratyfografię zarówno wewnątrz, jak i na zewnątrz poszczególnych budynków. Skupienie się na rozpoznaniu historii domów przy zastosowaniu metodyki badań wykopaliskowych opartej na eksploracji warstwami naturalnymi zasadniczo ogranicza bowiem moim zdaniem możliwości obserwacji i interpretacji. Uważam także, że ważną rolę mogą i powinny pełnić uzupełniające i szczegółowe analizy stratygraficzno-architektoniczne, pozwalające na rozpoznanie możliwie wszystkich elementów pierwotnych, pochodzących z czasu powstania budynku oraz elementów wtórnych, będących efektem późniejszych ingerencji w formę i funkcję danego obiektu. Takie badania prowokują do zadania nowych pytań dotyczących technik i strategii budowlanych, które mogły podlegać zarówno stopniowym zmianom, jak i pojawić się jako odpowiedź na nowe i zróżnicowane potrzeby. Wydaje się to szczególnie istotne w odniesieniu do architektury późnoneolitycznej odbiegającej pod wieloma względami od reliktywów wcześniejszej klasycznej zabudowy tellu, w tym - jak się zakłada - modelowych autonomicznych domów dwuizbowych. Jest to także ważne w odniesieniu do topografii tellu, w tym stokowego lub tarasowego charakteru tworzących go układów i nawarstwień antropogenicznych, które, o czym często się zapomina, tworzyły integralny i ważny element neolitycznego środowiska zbudowanego.

Konsekwencją opisanego bardziej złożonego spojrzenia na czynniki kształtujące specyfikę rozwoju zabudowy tellu jest ograniczenie stratygraficznego znaczenia kryterium bezwzględnej wysokości nie tylko w odniesieniu do położenia podłóg sąsiadujących domów, a nawet podłóg

Edwarda C. Harrisa (Harris 1989: 34 [1979]) oraz uzupełniona o propozycję Martina Carvera, który zwiększył interpretacyjną moc diagramu wprowadzając jednostki wyższego rzędu (Carver 1999: 158-164).

pomieszczeń, składających się na ten sam dom, ale także poziomu posadowienia fundamentów budynków. Prowadzi to w istocie do konieczności rozszerzenia tradycyjnych obserwacji stratygraficznych, zmuszając do uzupełnienia ich i konfrontacji z wynikami dodatkowych analiz architektonicznych. Innymi słowy, w sytuacji, gdy fizycznie sąsiadujące ze sobą domy nie muszą być sobie współczesne lub też, jeśli współczesne sobie mogą być budynki, z których część posiada podłogi na przykład na poziomie dachów innych, to horyzontalna obserwacja stratygraficzna staje się niewystarczająca i musi zostać ograniczona do opisu układów pojedynczej kolumny domów lub pomieszczeń. w takiej sytuacji rolę wiodącą powinna moim zdaniem przejąć analiza architektoniczna, posługująca się takimi kryteriami, jak rozplanowanie i posadowienie budynków, rodzaje układów i elementów konstrukcyjnych, przewiązanie murów, sposoby ułożenia cegieł w murze, rozmiary i technologia wykonania cegieł, powiązania funkcjonalne pomieszczeń itp. Należy podkreślić, że niezwykle istotne znaczenie ma tu także zastosowanie cyfrowych narzędzi analizy stratygraficznej i architektonicznej (Eteljorg 2008; patrz także Barański 2013b; Forte *et al.* 2015).

Opisany program badań stanowi moim zdaniem konieczne uzupełnienie dotychczas realizowanych analiz geoarcheologicznych poświęconych m.in. próbom określenia pochodzenia, charakteru i symbolicznego znaczenia surowców budowlanych (Doherty 2013; Love 2013; Tung 2013), a także mikromorfologicznych dotyczących chociażby stropodachów i innych obiektów architektonicznych (Matthews 2012; Matthews *et al.* 2013). Zintegrowanie stosownych wyników pozwoli bowiem na rzucenie nowego światła na zagadnienia związane z korzystaniem ze wspólnych zasobów, podejmowaniem wyborów produkcyjnych oraz organizowaniem pracy. Umożliwi także podjęcie kompleksowych prób interpretacji organizacji społecznej, w tym identyfikacji współpracujących ze sobą gospodarstw domowych.

ROZDZIAŁ III. KONCEPCJA I METODYKA BADAŃ ARCHITEKTURY PÓŹNONEOLITYCZNEJ ÇATALHÖYÜK: WYKOP TP I JEGO KONTEKST

System organizacji późnoneolitycznego Çatalhöyük w powszechnym przekonaniu różnił się pod wieloma względami od tego charakterystycznego dla wcześniejszych faz osadnictwa na tellu (Hodder i Farid 2014). Różnice te, jak już wspominałem, wydają się być efektem złożonego procesu przemian w sferze społecznej, ekonomicznej i przestrzennej (patrz Düring 2002; Düring i Marciniak 2006; Marciniak i Czerniak 2012), który doprowadził w efekcie m.in. do spadku liczby ludności, rozproszenia zabudowy oraz ogólnego wzrostu powierzchni i kubatury poszczególnych budynków. Pomimo zróżnicowanych przemyśleń poświęconych tym zagadnieniom obraz architektury późnoneolitycznej pozostaje moim zdaniem wciąż wysoce rozmyty i niejasny. Wpływ na to ma kilka kwestii, które w większości przypadków dotyczą problematycznego i stosunkowo nieznacznego rozpoznania właściwych badanemu okresowi układów współczesnej sobie zabudowy.

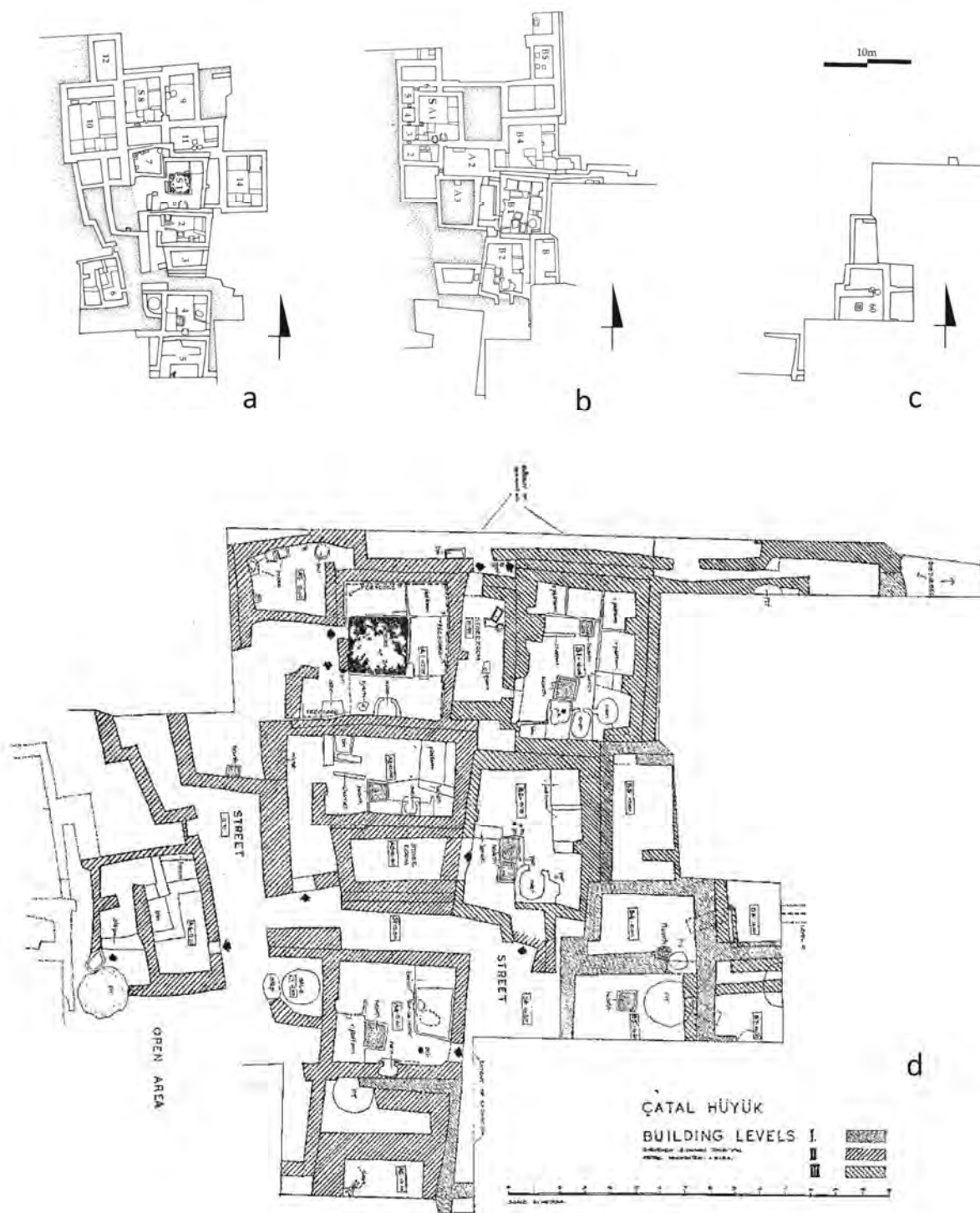
Niniejszy rozdział pracy poświęcam na scharakteryzowanie głównych ograniczeń związanych z archeologią architektury późnoneolitycznej Çatalhöyük oraz przedstawienie koncepcji i metodyki badań, którą te trudności zainspirowały. Na koniec przedstawiam zakres podjętych analiz oraz charakter wykorzystanych danych przestrzennych i liczbowych.

1. Ograniczenia i trudności w rozpoznaniu sekwencji późnoneolitycznych

Badania poświęcone archeologii architektury miały i mają w odniesieniu do okresu późnoneolitycznego znaczące ograniczenia. Utrudnienia te w sposób znaczący wpłynęły na strategię prac terenowych oraz docelową interpretację danych przestrzennych.

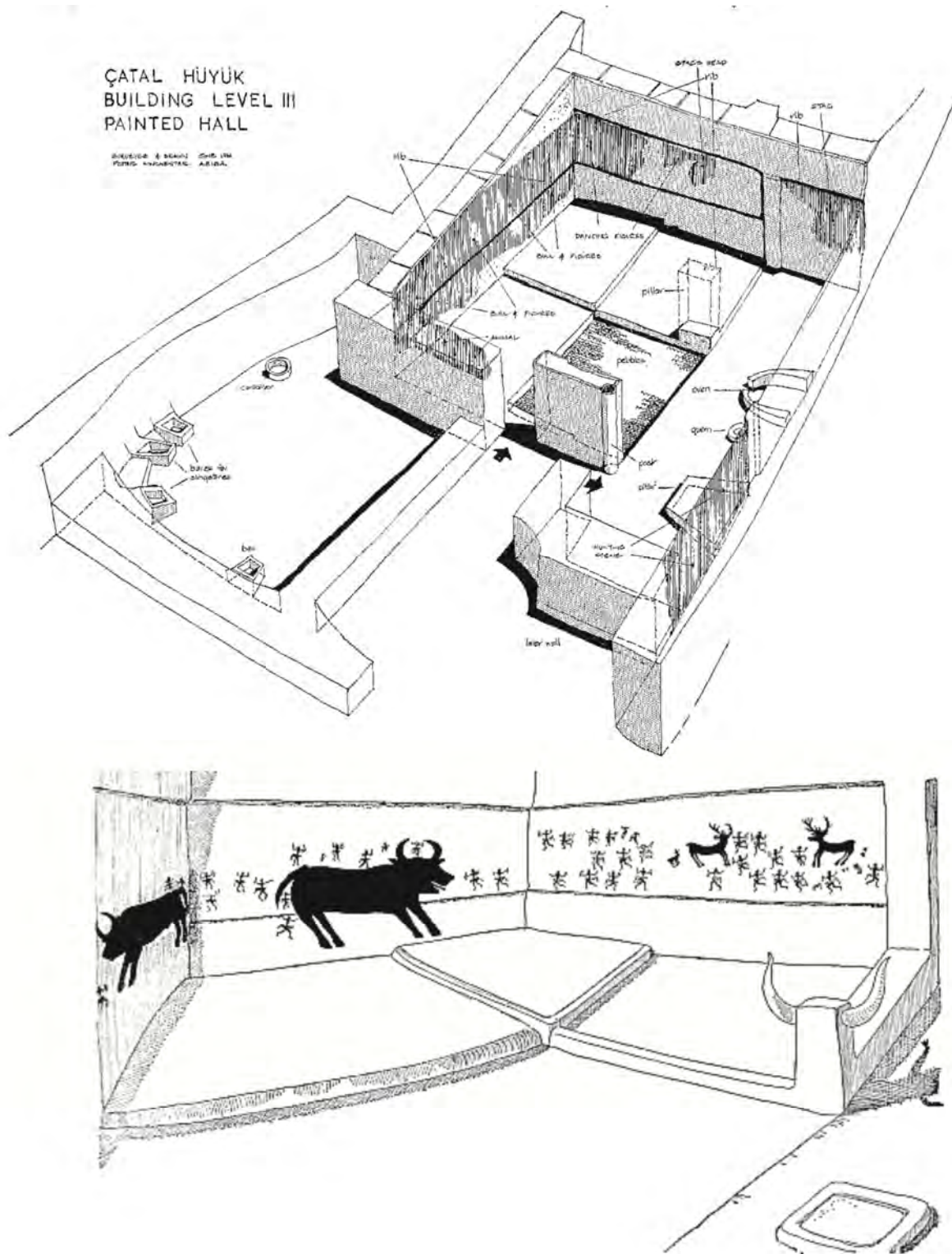
Po pierwsze, próby rekonstrukcji układu zabudowy okazały się być trudne ze względu na znaczny stopień zniszczenia nawarstwień i obiektów. Relikty architektury znajdowały się blisko powierzchni gruntu i poddane były niszczącym wpływom atmosferycznym oraz bioturbacji. Dodatkowo istnieją silne dowody stratygraficzne, że znacząca rozbiórka i erozja budynków nastąpiła w wielu przypadkach w stosunkowo krótkim czasie po ich opuszczeniu. Niektóre części domów nie zachowały się także w wyniku zasiedlenia tellu w okresach: frygijskim, hellenistycznym i bizantyjskim oraz wykorzystania wzgórze jako miejsca pochówku zmarłych w okresach: rzymskim i seldżuckim, czego wspólnym świadectwem są rozległe i głębokie jamy zasobowe i grobowe (Czerniak *et al.* 2001, 2002; Czerniak i Marciniak 2004, 2005). Podczas gdy mury wcześniejszych budynków odsłoniętych w obrębie innych wykopów na tellu zachowane były lub są niekiedy do wysokości ponad 2 m (Mellart 1967: 31; Hodder 2006: 106), to w przypadku domów z ostatnich faz osadniczych zdefiniowanych w obrębie *TP Area* mamy do czynienia z relikwami fundamentów i ścian zachowanymi zaledwie do wysokości kilku rzędów cegieł, a więc nieprzekraczającej 1 m. w niektórych sytuacjach dodatkowym utrudnieniem było niezachowanie się dystyngtywnych podłóg oraz charakterystycznych instalacji i urządzeń wewnętrznych, których wydzielenie ułatwiłoby odtworzenie obrysu i generalnego charakteru poszczególnych pomieszczeń. Wszystkie te trudności skutkują istotnymi problemami w określeniu relacji stratygraficznych i architektonicznych (Barański 2009), a także uniemożliwiają

zastosowanie popularnej w archeologii metody analizy składniowej (Hillier i Hanson 1984; patrz także Banning 2011: 50-53).



Rycina 24. Zestawienie archiwalnych planów zbiorczych ilustrujących układ zabudowy przypisany przez Jamesa Mellaarta: a) poziomowi III (Ritchey 1996: Fig. 1.8 na podstawie Mellaart 1967), b) poziomowi II (Ritchey 1996: Fig. 1.9 na podstawie Mellaart 1967), c) poziomowi I (Ritchey 1996: Fig. 1.10 na podstawie Mellaart 1967), d) poziomom 0-III (Mellaart 1962: Fig. 3).





Rycina 25. Rysunki perspektywicznezw. świątyni A.III.1 ze wskazaniem umiejscowienia narracyjnych malowideł ściennych (rys. Peter Winchester; Mellaart 1962: Fig. 11; Mellaart 1967: Fig 48).

Po drugie, porównanie danych przestrzennych i architektonicznych pozyskanych współcześnie oraz tych w latach 60. ubiegłego wieku okazało się być bardzo trudne lub wręcz - w niektórych przypadkach - niemożliwe. Problem ten wynika ze znaczących różnic pomiędzy metodycznym i teoretycznym podejściem do badań realizowanych w tych dwóch różnych okresach (patrz Barański

2013a: 220-221; Düring 2001: 3; Cutting 2005: 156-157; Farid 2014a: 93-95; Matthews i Farid 1996). Warto podkreślić, że relikty architektury późnoneolitycznej zostały zdefiniowane przede wszystkim w obrębie szerokopłaszczyznowych wykopów otworzonych w ramach pierwszych prac archeologicznych na tellu. Odsłonięto wówczas relikty blisko czterdziestu wydzielonych murami pomieszczeń, które James Mellaart (1967) przypisał poziomom 0-III. Większość z tych obiektów została jednak zadokumentowana w bardzo uproszczony sposób, nie pozwalający na wiarygodne określenie granic oraz relacji stratygraficznych i konstrukcyjnych pomiędzy poszczególnymi budynkami. Dostępne są właściwie tylko dwa archiwalne i zbiorcze plany ilustrujące układ późnej zabudowy neolitycznej na tellu (Ryc. 24). Zostały one opublikowane w dużej skali, bez informacji o współrzędnych oraz zawierają w części przeciwstawne informacje, co powoduje trudności w wykorzystaniu i interpretacji tej dokumentacji rysunkowej. Ponadto James Mellaart, w swoich licznych publikacjach poświęconych stanowisku, nie zawarł w zdecydowanej większości przypadków żadnego opisu domów przypisanych późnym poziomom osadniczym⁵¹. Pewnym wyjątkiem są tu budynki: A.III.1 (B.146) oraz A.III.2 (B.140), które zostały zinterpretowane odpowiednio jako tzw. „świątynia myśliwska” [ang. *Hunting Shrine*] oraz warsztat kamieniarski (Mellaart 1962: 55, 62-65). Również i ich opisy, poza tymi dotyczącymi malowideł naściennych, są jednak bardzo ogólne i rozproszone. To, co należy z pewnością docenić to staranny rysunek perspektywiczny (Mellaart 1962: Fig. 11) przedstawiający świątynię A.III.1 (B.146)(Ryc. 25). Niestety nie wiadomo jednak jak bardzo przedstawienie to odbiega od prawdziwego charakteru budynku, w tym jego rzeczywistego stopnia zachowania. Wydaje się bowiem, że znaczna część dokumentacji rysunkowej charakteryzuje się dużym uproszczeniem i jest w istocie subiektywną interpretacją. Dla przykładu podczas analiz prowadzonych w obrębie *TP Area* oraz przede wszystkim *GDN Area* stwierdziłem znaczące błędy w orientacji, planach, wielkości oraz konstrukcji niektórych budynków przedstawionych na planach archiwalnych (Barański 2013a, 2014). Próby całościowego włączenia tej dokumentacji w celu przedstawienia kontekstu dla zabudowy rejestrowanej chociażby w obrębie *TP Area* należy uznać za nie do końca udane. Fakt ten wynikał zarówno ze względu na dawne błędy i uogólnienia, jak i znaczącą erozję wykopu Jamesa Mellaarta, który nigdy nie został zabezpieczony, w efekcie czego uległ stopniowemu i naturalnemu wypełnieniu.

Po trzecie, problematyczna w kontekście definiowania i interpretacji reliktyw architektury, okazała się być stosunkowo niewielka, bo wynosząca 10 x 20 m, powierzchnia wykopu TP. Część z fundamentów i ścian budynków znalazła się bowiem poza granicami tego obszaru, nie została poddana pracom eksploracyjnym i dokumentacyjnym lub ich eksploracja została zatrzymana na arbitralnym poziomie bez rozpoznania wszystkich cech architektonicznych danego obiektu. W efekcie żaden z budynków nie został zdefiniowany w całości. Dużym wyzwaniem okazało się być przede wszystkim określenie formy i funkcji budynku B.74 i jego relacji do innych wydzielonych struktur. Czysto archeologiczne obserwacje stratygraficzne oparte głównie na planach poziomych stały się w tym szczególnym przypadku narzędziem zbyt ogólnym do zinterpretowania złożonych procesów przestrzenno-społecznych z jakimi mamy do czynienia w Çatalhöyük.

Powracające wątpliwości w odniesieniu do charakteru powiązań pomiędzy niektórymi domami zdefiniowanymi w obrębie *TP Area* oraz dawnego wykopu Jamesa Mellaarta spowodowały przeprowadzenie przeze mnie i moich współpracowników dalszych terenowych badań

⁵¹Dla przykładu relikty architektury przypisane poziomowi 0 zostały opisane przez Jamesa Mellaarta w sposób lakoniczny jako fundamenty budynków (Mellaart 1967: 31).

wyjaśniających (Barański 2013a, 2014; Barański i Regulska 2016; Barański *et al.* 2015b). W efekcie wznowionych prac powtórnie odsłoniliśmy pozostałości niektórych budynków objętych programem badań w latach 60. ubiegłego wieku oraz poddaliśmy ponownej i szczegółowej analizie północny profil wykopu TP. Prace te miały dosyć ograniczony charakter ze względu na znaczący stopień wypełnienia dawnych wykopów materiałem osuwiskowym oraz urobkiem pochodzącym z *TP Area*. Niemniej odegrały one niezwykle istotną rolę w weryfikacji niektórych wcześniejszych hipotez oraz pozwoliły i skłoniły do przeprowadzenia alternatywnych interpretacji stratygrafii, w stosunku do wcześniej opracowanego - z moim udziałem - modelu relacji chronologicznych (patrz Marciniak *et al.* 2015b).

W pierwszej kolejności w ramach badań GDN przeprowadziłem wstępne rozpoznanie zachowanych elementów i obiektów architektonicznych (Barański 2013a). Polegało ono na wykorzystaniu archiwalnej dokumentacji, poddanej uprzedniej digitalizacji oraz procesowi nadania wstępnej georeferencji w odniesieniu do współczesnej sieci geodezyjnej stanowiska. Na jej podstawie otworzyłem samodzielnie dwadzieścia niewielkich wykopów (o wymiarach z reguły 1 x 1 m) w miejscach, w których spodziewałem się odsłonić oraz poddać analizie narożniki interesujących mnie budynków. Posiadanie w dyspozycji tachimetru robotycznego, oferującego dokładność kątową 1" i dokładność pomiaru odległości 0,8 mm + 1 ppm, wydawało się być wystarczające do osiągnięcia w stosunkowo krótkim czasie pożądaných rezultatów. Szybko okazało się jednak, że wykorzystane przeze mnie archiwalne plany mają bardzo ograniczoną przydatność, wynikającą przede wszystkim z ówczesnych uproszczonych metod dokumentacji i analizy.

Po pierwsze, rzeczywiste obrysy i orientacja odsłoniętych części budynków nie tylko nie zgadzały się z archiwalną dokumentacją, ale i charakter konstrukcyjny niektórych budynków był odmienny. Dużo wysiłku włożyłem w cyfrowe przeskalowanie, obrócenie i dopasowanie planów do relikwów architektury zdefiniowanych na powierzchni, ale pomimo tych zabiegów nie osiągnąłem oczekiwanych rezultatów ze względu na niestałość dawnych błędów w lokalizacji, które zamykały się w przedziale od 0,5 do 2,5 m. Narożniki budynków okazały się być trudne do namierzenia i kilka z otwartych wykopów sondażowych musiałem albo powiększyć albo zamknąć nie natrafiwszy na jakiegokolwiek pozostałości obiektów architektonicznych. Ponadto, część odsłoniętych struktur nie udało mi się powiązać z archiwalnym rysunkiem żadnego z budynków, co wzbudziło moje wątpliwości dotyczące faktycznego zakresu prac eksploracyjnych i dokumentacyjnych prowadzonych przez zespół Jamesa Mellaarta. W powyższym kontekście należy także wziąć pod uwagę ograniczenia ówczesnych narzędzi pomiarowych.

Po drugie, wykorzystane plany okazały się być problematycznym materiałem analitycznym, gdyż przedstawiały nie tylko statyczny i zgeneralizowany obraz poszczególnych budynków (zawierając elementy z różnych faz użytkowych na jednym rysunku), ale także niewspółczesne sobie domy, które zostały źle rozpoznane w efekcie podporządkowania metodyki badań przekonaniu o horyzontalnym układzie poziomów osadniczych. Potwierdziło się to, że James Mellaart w pierwszych dwóch sezonach prac zbierał doświadczenie terenowe na stanowisku i przedstawiał na zbiorczych planach wszystkie konstrukcje murowane, które zaobserwował tuż pod powierzchnią (Farid 2013: rozmowa prywatna).

Po trzecie, początkowy zakres moich prac był ograniczony do badań powierzchniowych. Brak możliwości obserwacji zarówno w planie poziomym, jak i pionowym okazał się uniemożliwić rzetelne

rozpoznanie i interpretację układu zabudowy. Te utrudnienia i zebrane doświadczenie skłoniły mnie do rozszerzenia zakresu prac terenowych i odsłonięcia w całości reliktyw wybranych budynków. w ich ramach szczególne znaczenie dla prób odtworzenia organizacji przestrzennej późnoneolitycznej zabudowy okazało się mieć poddanie ponownej i szczegółowej analizie północnego profilu wykopu TP oraz styku tej przestrzeni badawczej z dawnym wykopem Jamesa Mellaarta (co szczegółowo opisuję w Rozdziale V). O ile badania terenowe w obrębie *GDN Area* zostały ze względów organizacyjnych i finansowych zakończone⁵², o tyle prace gabinetowe poświęcone szczegółowej analizie pozyskanego materiału ruchomego, w tym próbek z cegieł mułowych oraz materiałów organicznych, trwać będą do 2018 roku przy udziale zróżnicowanych specjalistów.

2. Metodyka badań

Złożoność układów stratyfikacji oraz stopień zniszczenia reliktyw architektury w obrębie wykopów TP i GDN skłoniły mnie do poszerzenia obowiązującego na tellu systemu dokumentacyjnego o szczególne metody i techniki architektoniczne zaczerpnięte z praktyk inwentaryzacyjnych budynków historycznych (patrz Frazik 1969; Massalski 1982a, 1982b; Spence 1994). Główną cechą zastosowanej metody – wprowadzanej przeze mnie stopniowo od 2007 roku – stało się połączenie procesu badawczego z wykonaniem graficzno-opisowej inwentaryzacji danego układu konstrukcyjnego i związanych z nim elementów. Szczególnej analizie poddałem sposób posadowienia budynków oraz wiązania cegieł w murze, w tym przede wszystkim przewiązania narożników murów. Badanie to uznałem za decydujące dla nie tylko określenia wzajemnych relacji poszczególnych i odsłoniętych w trakcie prac konstrukcji murowanych, ale też ustalenia ich chronologii względnej, polegającej na budowie diagramu Harrisa.

Integralną częścią powyższych prac było wykorzystanie nowoczesnych geodezyjnych instrumentów pomiarowych (Trimble VX Spatial Station i Leica TS06 R100 5”) oraz specjalistycznego oprogramowania komputerowego. Te cyfrowe narzędzia umożliwiły przeprowadzenie: a) trójwymiarowej dokumentacji odsłoniętych reliktyw architektury na podstawie fotografii cyfrowych (Agisoft PhotoScan Pro), b) zróżnicowanych analiz przestrzennych i stratygraficznych (Autodesk AutoCAD Map 3D) oraz c) docelowej prezentacji danych przestrzennych (Trimble SketchUP Pro, CorelDraw Graphic suite oraz LucidChart Pro). Wykorzystanie większości z powyższych narzędzi, podporządkowane było metodyce wypracowanej w trakcie moich prac nad stratygrafią wykopu TP (Barański 2013b). Warto jednak wspomnieć w tym miejscu o podstawowych rozwiązaniach, bez których uporządkowanie i integracja danych obiektowych w wymagającym procesie interpretacji archeologicznej i architektonicznej byłaby utrudniona lub wręcz niemożliwa. Mianowicie każdą z jednostek, wydzielonych w trakcie prac wykopaliskowych, umieściłem na osobnej warstwie w programie AutoCAD w zgodzie z ich rzeczywistym położeniem w stosunku do obowiązującej sieci geodezyjnej stanowiska. Obrysy kolejnych warstw i obiektów zdefiniowałem zamkniętymi poliniami, przypisując im indywidualne nazwy oraz parametry i dane, które dzięki zastosowaniu specjalnych wzorów filtrów, mogły podlegać zróżnicowanym zestawieniom i analizom (Barański 2013b: 43-47).

⁵² W 2017 roku kończy się licencja przyznana przez rząd turecki Ianowi Hodderowi na prowadzenie badań w Çatalhöyük i archeolog ten nie zamierza ubiegać się o jej odnowienie. Jednocześnie pracom archeologicznym nie sprzyja niepewna sytuacja polityczna w Turcji, która wymusiła w 2016 roku przedwczesne zakończenie sezonu badawczego na stanowisku. Niezależnie niezbędne dofinansowanie realizowanego przeze mnie projektu ze środków Narodowego Centrum Nauki przewidziane możliwe jest tylko do końca 2017 roku.

w taki sposób potraktowana została dokumentacja zarówno pochodząca z wykopu TP, jak i ta odnosząca się do reliktów architektury poddanych eksploracji w latach 60. ubiegłego wieku i przypisanych poziomom 0-III.

Niezależnie od ogólnych badań przestrzenno-architektonicznych przeprowadziłem analizę cegieł mułowych pod kątem ich wymiarów w oparciu o proste metody statystyki opisowej (Makać i Urbanek-Krzysztofiak 2004). Wartości miar centralnych, takich jak mediana (Q_2) i innych kwartyli (Q_1 i Q_3) zostały przeze mnie wykorzystane w pierwszej kolejności ze względu na znaczący rozrzut danych wyjściowych. Następnie określiłem i wyłączyłem ze zbioru wartości odstające w odniesieniu do długości, szerokości i wysokości badanych cegieł. W dalszej kolejności – w celu charakterystyki i porównania zbioru danych z dwóch następujących po sobie budynków B.74-B.62/B.61 i B.95 - wyliczyłem średnią arytmetyczną (\bar{x}), dominantę (M_0), a także odchylenie standardowe (σ). Dodatkowo wykorzystałem analizy składu kompozycyjnego cegieł przeprowadzone w latach 2006-2009 i 2014-2016 przez Serenę Love (w celu zapoznania się z wykorzystanymi w tym względzie metodami analizy patrz Love 2012). Intencją tych badań było określenie źródła i kompozycji materiału budowlanego użytego do wzniesienia głównych budynków zdefiniowanych w obrębie *TP Area* (Barański i Love w przygotowaniu). W efekcie przebadano do tej pory dziewiętnaście próbek cegieł mułowych, pochodzących głównie z fundamentów i ścian fundamentowych oraz reprezentujących cztery domy (B.74-B.62/B.61, B.81, B.95 i B.103) oraz dwie komory grobowe (Sp.248 i Sp.327).

Nawiązując do użytych oznaczeń należy zaznaczyć, że w niniejszej rozprawie odwołuję się do systemu metodycznego i nazewnictwa obowiązującego podczas prac wykopaliskowych w Çatalhöyük, które opierają się w znacznym stopniu na zasadach wypracowanych podczas archeologicznych miejskich badań ratowniczych w Wielkiej Brytanii (Farid i Hodder 2014; por. Westman 1980). Zgodnie z nimi wydzielone przez archeologów podstawowe jednostki eksploracji [ang. *units*] takie jak: warstwy, wkopy, szkielety oraz skupiska artefaktów grupowane są w jednostki coraz wyższego rzędu – kolejno: obiekty [ang. *features*], przestrzenie [ang. *spaces*], budynki [ang. *buildings*] i poziomy stratygraficzne (osadnicze) [ang. *levels*]. Pierwsza z wymienionych kategorii obejmuje zbiór elementów, które łączy wspólna i dystynktywna cecha. Obiektem może być na przykład: 1) mur złożony z: cegieł mułowych, łączącej je zaprawy, pokrywającego tynku oraz związanego z nimi depozytu specjalnego lub 2) grób składający się z: wkopu, wypełniska i szkieletu ludzkiego. Przestrzeniami określa się z kolei zarówno pomieszczenia czyli wydzielone przegrodami wewnętrzne części danej budowli, jak i - zewnętrznie usytuowane w stosunku do domów - podwórza i śmietniska. Tak zdefiniowane przestrzenie zamknięte i otwarte mogą następnie zostać uznane za część składową budynków czyli kategorii, obejmującej, w przypadku Çatalhöyük, poszczególne domy.

Każdej z wymienionych grup przypisany jest unikatowy numer, który poprzedzony jest symbolem, będącym pierwszą literą anglojęzycznej nazwy danej kategorii. Na przykład ciąg znaków: U.15889 F.2882 Sp.430 B.74 TP.N należy rozumieć jako opis jednostki o numerze 15889, która jest częścią obiektu 2882, przestrzeni 430 i budynku 74⁵³ przypisanego do poziomu osadniczego TP.N⁵⁴.

⁵³ Poszczególnych członów tejsze i innych nazw używam w niniejszej pracy w zasadzie wyłącznie osobno, charakteryzując pewne obiekty i zjawiska na różnym poziomie szczegółowości. Pełen spis jednostek eksploracji wraz z ich szczegółowym opisem udostępniony jest w sieci publicznej internet <http://www.catalhoyuk.com/research/database>.

⁵⁴ Dla jednostek eksplorowanych w obrębie innych wykopów oznaczeniem poziomu osadniczego może być na przykład nazwa: South.L lub 4040.G (patrz Hodder i Farid 2014).

Oznaczenie A.140 (A.III.2) dotyczy z kolei domu 140, który w archiwalnych opracowaniach Jamesa Mellaarta funkcjonuje jako budynek 2 z poziomu III z wykopu A.

Wszystkie z wyróżnionych podczas prac eksploracyjnych indywidualnych jednostek, obiektów, przestrzeni i budynków zostały dodatkowo i szczegółowo charakteryzowane przeze mnie przy pomocy sformalizowanych kart, do których dołącza się dokumentację rysunkową i fotograficzną. Te dane i informacje poddane zostały następnie integracji w ogólnodostępnej cyfrowej bazie danych. Warto w tym miejscu jednak zauważyć, że pomimo rozbudowanej metodyki prac dokumentacyjnych na tellu, obiekty murowane takie jak: fundamenty i ściany opisywane są przy użyciu tych samych szablonów, co na przykład paleniska, obiekty magazynowe i groby. Zdecydowałem się na potrzeby moich badań wprowadzić zmiany do istniejącego systemu opisu. Uważam bowiem, że obowiązujące podejście nie pozwala na wyczerpującą i jednoznaczną charakterystykę architektoniczną elementów i zespołów konstrukcyjnych składających się na konkretne budynki. Na przykład informacje dotyczące sposobu przewiązania cegieł w murze lub charakteru posadowienia fundamentów i ścian są bardzo często rozproszone lub pomijane. Dodatkowo swoboda w opisach i brak konsekwencji w nazewnictwie skutkuje zbyt ogólnymi i nieprecyzyjnymi stwierdzeniami. Problem ten dotyczy na przykład powierzchni budynków, co wynika z braku wyróżniania powierzchni zabudowy i powierzchni użytkowej. Brak dyscypliny można zaobserwować także w przypadku określania wymiarów, składu i kolorystyki cegieł mułowych oraz innych elementów i warstw budowlanych (obiektywne informacje pojawiają się dopiero na poziomie analiz specjalistycznych, które jednak nie obejmują całości materiału kulturowego). Przywołane problemy wydają się wynikać z zainteresowania domem jako autonomiczną jednostką społeczną (patrz Rozdział II niniejszej pracy) i w konsekwencji częstego traktowania układów konstrukcyjnych jako elementów oczywistych i sprowadzania wielowymiarowej historii budynków do dwuwymiarowych planów architektonicznych (patrz Allison 1999a; także Kinzel i Barański 2015). Niestety takie podejście skutkuje brakiem możliwości przeprowadzenia efektywnych kwerend archiwalnych w oparciu o wspomnianą bazę danych, co w sposób znaczący wpływa na próby interpretacji organizacji przestrzennej. Trudno polemizować bowiem z faktem, że nazwanie muru albo podwójnym albo przewiązaniem i szerokość na długość jednej cegły skutkuje odmiennymi wnioskami w odniesieniu do relacji stratygraficzno-architektonicznych (patrz Barański 2014: 197, Fig. 19.4). Jeśli więc nie możemy być pewni (lub nie wiemy) jakie elementy składają się na układ konstrukcyjny sąsiadujących ze sobą budynków to czy jesteśmy w takich sytuacjach w stanie podjąć wiarygodne próby rekonstrukcji systemu organizacji społecznej? Na to i inne pytania odpowiadam w dalszej części pracy rozważając na nowo relacje stratygraficzne pomiędzy budynkami i przestrzeniami w obrębie wykopu TP i jego najbliższego sąsiedztwa.

3. Zakres badań i charakter danych

Zakresem moich badań objęte zostały przede wszystkim relikty architektury zdefiniowane w obrębie *TP Area* i, choć w mniejszym stopniu, *GDN Area*. W pracy znajdują się także odwołania do budynków z późnych faz osadniczych udokumentowanych w obrębie wykopów, takich jak: *IST Area*, *South Area* i *TPC Area*. Biorąc pod uwagę, że nie uczestniczyłem w prowadzonych w tych miejscach badaniach, a także nie mam dostępu do szczegółowych danych architektonicznych dotyczących zdefiniowanych tam budynków, moje uwagi mają w odniesieniu do nich charakter bardzo ogólny.

W obrębie wykopu TP zidentyfikowano relikty 12 obiektów budowlanych: B.33, B.34, B.61, B.62, B.72, B.73, B.74, B.81, B.103 oraz Sp.248, Sp.327 i Sp.413. Zostały one, wraz z głównymi przestrzeniami otwartymi: Sp.321/Sp.400, Sp.412/Sp.415, Sp.413/Sp.439, Sp.414, Sp.416, Sp.420, Sp.544, wstępnie przypisane do 6 poziomów osadniczych, zaczynając od najstarszego TP.M i kończąc na najmłodszym TP.R. Jednostki te można próbować łączyć z poziomami 0-III według podziału Jamesa Mellaarta. Ta sekwencja stratygraficzna, o miąższości 1.5 m, reprezentuje około 350 lat historii późnoneolitycznego osadnictwa (Marciniak *et al.* 2015b). Rzeczywista ilość budynków zdefiniowana na podstawie fragmentarycznie zachowanych relikwów architektury wydaje się być jednakże niejednoznaczna i problematyczna. Z perspektyw: architektonicznej i geoarcheologicznej większość domów zarejestrowanych w obrębie wykopu TP została poddana wielokrotnym transformacjom i przebudowom, choć jednocześnie utrzymała swój zasadniczy układ konstrukcyjny (Barański i Love w przygotowaniu). W efekcie jest to moim zdaniem kwestią interpretacji, co było w rzeczywistości odrębną strukturą, a co stanowiło część danego budynku lub było śladem jego daleko idącej przebudowy. Będąc świadom tych trudności, w niniejszej pracy zdecydowałem o zgrupowaniu niektórych budynków. Ten zabieg przede wszystkim dotyczy domów: B.61, B.62 i B.74, które uznaję za jedną strukturę, choć charakteryzującą się wieloma fazami użytkowania oraz dwoma znaczącymi przebudowami układu wewnętrznego. Budynek ten w dalszej części rozprawy opisuję używając nazwy B.74-B.62/B.61 w odniesieniu do wspólnego układu fundamentów i murów oraz B.74 i B.62/B.61 w stosunku do dwóch głównych faz użytkowych tego obiektu. Ponadto często odwołuję się wspólnie także do domów: B.33 i B.34, gdyż niemożliwym jest moim zdaniem jednoznaczne określenie stratygraficznych i architektonicznych relacji pomiędzy tymi dwoma w niewielkim stopniu zachowanymi obiektami. Wszystkie powyższe decyzje zostały podjęte w zgodzie z istniejącymi i pewnymi relacjami stratygraficznymi, co szczegółowo uzasadniam w Rozdziale V w części poświęconej reinterpretacji stratygrafii TP. Uważam, że wprowadzone zmiany prowadzą do bardziej zrozumiałej i kompleksowej prezentacji rezultatów badań w odniesieniu do późnoneolitycznych technik i strategii budowlanych niż to miało miejsce dotychczas.

Wybrane dane architektoniczne pozyskane z wykopu GDN zostały zintegrowane z tymi pochodzącymi z TP *Area*. Obejmują one relikty czterech całych lub części budynków: B.81 (B.II.3), B.140 (A.III.2), B.141 (A.III.3) i B.142 (B.II.2). Podobnie jak w przypadku TP, tak i w obrębie wykopu GDN zidentyfikowano przestrzenie otwarte, które opisano jako: Sp.420 i Sp.544.

Kategoria	Podkategoria	Numeracja
Obiekty budowlane	Domy	B.33/B.34, B.74-B.62/B.61, B.81, B.95, B.103, B.140, B.142,
	Komory grobowe	Sp.248, Sp.327,
	Pozostałe obiekty budowlane	B.72?, B.141,
Przestrzenie otwarte	Podwórza	Sp.321/Sp.400, Sp.412/Sp.415, Sp.414,
	Korytarze / zaułki	Sp.434?, Sp.544,
	Opuszczone wnętrza budynków	Sp.413/Sp.439, Sp.416, Sp.420.

Tabela 1. Zestawienie głównych kategorii obiektów budowlanych i przestrzeni otwartych (opracowanie własne).

Poddana wspólnej analizie późnoneolityczna zabudowa została przeze mnie podzielona, biorąc pod uwagę formę i funkcję poszczególnych przestrzeni otwartych i zamkniętych, na następujące kategorie (Tab. 1):

a) Domy – zindywidualizowane obiekty budowlane o dominującej funkcji mieszkalnej z niezależnym układem konstrukcyjnym w postaci relikwów fundamentów i murów z cegły mułowej. Niektóre z tych budynków, jak na przykład B.81 (B.II.3) i B.103, nie są dobrze zidentyfikowane ze względu na fakt, że zostały one tylko częściowo wyeksponowane i nie poddane eksploracji. Niemniej dwa wymienione domy wraz z budynkami: B.140 (A.III.2) i B.142 (B.II.2) wydają się mieć najwięcej cech wspólnych ze wcześniejszymi obiektami znanymi z innych wykopów na stanowisku (patrz Hodder 2006: 105-131; Hodder i Farid 2014: 9-34; Mellaart 1967: 54-130). Pozostałe budynki, na przykład B.74-B.62/B.61, a w szczególności B.33/B.34 i B.95, charakteryzują się znacznym stopniem zniszczenia i wysoce problematycznymi relacjami stratygraficznymi i architektonicznymi. Wszystkie te domy nie tylko zajmują stosunkowo dużą powierzchnię, ale posiadają złożoną konstrukcję i rozbudowany plan. Jednocześnie w znacznym stopniu wydają się one być pozbawione elementów wyposażenia i wystroju wnętrza.

b) Komory grobowe – obiekty murowane, które przynajmniej częściowo były zagłębione w gruncie i wykorzystane jako miejsce wielokrotnej depozycji szczątków ludzkich. Należą one do najbardziej wyjątkowych obiektów nie tylko w obrębie *TP Area*, ale i całego stanowiska, jako że celowa konstrukcja murów ograniczających miejsce pochówku nie jest znana z innych wykopów na neolitycznym tellu (Maciniak i Czerniak 2012). Obie komory zostały wybudowane ze starannością i były dekorowane. Co istotne, nie jest do końca jasne to czy Sp.248 i Sp.327 były indywidualnymi obiektami czy stanowiły część integralną domów (problem ten rozwijam w Rozdziale V poświęconym reinterpretacji stratygrafii TP).

c) Pozostałe obiekty budowlane – to budynki lub budowle słabo zachowane albo w niewystarczający sposób rozpoznane, aby móc zdefiniować ich pierwotną formę i funkcję. Niemniej stanowią tak samo ważne struktury w odniesieniu do organizacji przestrzennej, jak i inne kategorie obiektów budowlanych. Na przykład budynek B.72 mógł być obiektem gospodarskim lub magazynowym z drewnianymi słupami po obrysie, które podtrzymywały najprawdopodobniej lekki dach. Jednocześnie mógł być on zagłębiony w opuszczonym wnętrzu wcześniejszego domu albo stanowił ostatnią fazę użytkową wcześniejszego budynku. Niestety charakter tego obiektu pozostaje wysoce problematyczny ze względu na zakres prac wykopaliskowych przeprowadzonych w latach 60. ubiegłego wieku.

d) Przestrzenie otwarte – obszary niezabudowane, które pełniły zróżnicowaną funkcję. Tego rodzaju przestrzenie obejmowały wnętrza opuszczonych budynków (np. Sp.413/Sp.439, Sp.416, Sp.420), a także podwórza (np. Sp.321/Sp.400, Sp.412/Sp.415 i Sp.414) oraz zaułki (Sp.544 i być może Sp.434), zawierające ślady aktywności ludzkiej związane z czynnościami produkcyjnymi, magazynowaniem i przygotowywaniem jedzenia. Otwarte przestrzenie, biorąc pod uwagę, że nie zostały dotąd opublikowane szczegółowe wyniki analiz charakteryzujących je depozytów, są w niniejszej pracy opisywane w sposób bardzo ogólny (w celu zapoznania się z ogólnym opisem nawarstwień w obrębie przestrzeni otwartych TP patrz Czerniak i Marciniak 2003, 2005, 2006: 114; 2008: 76, 78-79).

W Tablicy 2. prezentuję wartości obliczone w odniesieniu do powierzchni przestrzeni otwartych oraz powierzchni zabudowy i powierzchni użytkowej domów i komór grobowych. Kategoria innych obiektów budowlanych została wyłączona z tego zestawienia. Poniższe wyliczenia

należy traktować jako przybliżone wobec niepełnego rozpoznania większości budynków poddanych analizie. Jednocześnie chciałbym zwrócić uwagę, że wartości podane dla domu B.74-B.62/B.61 są przedstawione w dwóch osobnych rzędach ze względu na różnice w powierzchni użytkowej. Ta różnica wynika z faktu, iż podłogi B.74 dochodziły do ścian fundamentowych, a podłogi związane z B.62/B.61 generalnie usytuowane były na wysokości ścian nośnych, których wewnętrzne lica były cofnięte w stosunku do wewnętrznej linii odpowiadających im fundamentów.

Obiekty budowlane i przestrzenie otwarte	Całkowita powierzchnia / powierzchnia zabudowy (właściwa powierzchnia zdefiniowana w obrębie wykopu) [m²]	Całkowita powierzchnia użytkowa (właściwa powierzchnia zdefiniowana w obrębie wykopu) [m²]
B.33	>24,6 (24,6)	>13,3 (13,3)
B.34 (razem ze Sp.248)	>47,9 (47,9)	>30,5 (30,5)
B.61/B.62	75,5 (69,9)	>56,2 (52,1)
B.74	75,5 (69,9)	46,2 (43,6)
B.81 (B.II.3) (bez Sp.561/Sp.593)	>84,5 (51,3)	>66,5 (61,6)
B.95	>104,7 (>58,4)	>61,1 (41,2)
B.103	>21,5 (17,0)	>10,0 (10,0)
B.140 (A.III.2)	41,9	28,7
B.141 (A.III.3)	>15,5	5,5
B.142 (B.II.2)	>36,9	27,53
Sp.248	9,7 (9,7)	4,6 (4,6)
Sp.327	>5,0 (>5,0)	2,1 (2,1)
Sp.561	>10,8 (>10,8)	>7,6 (7,6)
Sp.593	5,0	1,7

Tabela 2. Przybliżone lub minimalne wartości w odniesieniu do powierzchni przestrzeni otwartych oraz powierzchni zabudowy i powierzchni użytkowej domów i komór grobowych.

ROZDZIAŁ IV. ARCHITEKTURA TP JAKO TECHNOLOGIA BUDOWY DOMU

1. Materiały i wyroby budowlane

Dla społeczności zamieszkującej Çatalhöyük niezwykle istotny zasób stanowiły lokalne bogate złoża gliny, iłów, piasków i margli. Materiały te wykorzystywano do wytwarzania zróżnicowanych elementów i obiektów – od cegieł oraz instalacji ogniowych i zasobowych, poprzez figurki zoo- i antropomorficzne, aż po ceramikę. Ponadto lica murów z cegieł mułowych pokryte tynkami marglowymi stanowiły szczególnego rodzaju „płótno”, na którym mieszkańcy osady tworzyli wieloznaczeniowe i ekspresyjne prace, które zdaniem Iana Hoddera (2006) miały spajać ze sobą całą społeczność Çatalhöyük.

Chris Doherty (2013) zwrócił uwagę, że wymienione materiały rzadko występowały w formie czystej a częściej jako zerodowane i redepozycjonowane sedymenty ze znaczącą zawartością inkluzji w postaci: kości zwierzęcych, fragmentów naczyń ceramicznych, przetworzonych tynków, okruchów cegieł i odpadów z produkcji narzędzi ze szkła wulkanicznego. Zmieszane z materiałem kutlurowym skały osadowe używano do formowania prostopadłościennych cegieł mułowych suszonych na słońcu, które zastępowały kamień budowlany, będący surowcem niewystępującym na Równinie Konijskiej. Drewniane słupy i belki, aczkolwiek nie zachowane *in situ* w obrębie *TP Area* i *GDN Area*, podtrzymywały najprawdopodobniej ciężkie dachy wykonane m.in. z mat organicznych, ubitej ziemi oraz gruzu budowlanego pokrytych tynkiem glinianym (Mellaart 1967; Stevanović 2012, 2013). Wewnętrzne ściany domów otynkowały na biało przy użyciu wapna i margli z czasowymi zmianami w doborze składu tego rodzaju materiałów i wypraw nie związanym jednak, jak sugeruje Chris Doherty (2013), z dostępnością wymienionych surowców. Wykorzystywano również w niektórych przypadkach drobnoziarniste kruszywo, tworząc z niego twarde podkłady pod podłogi, które stanowią jedną z najbardziej dystynktywnych cech późnoneolitycznych budynków.

1.1 Cegły mułowe

W trakcie prac wykopaliskowych cegły mułowe opisywane były poprzez kolor i teksturę, które często są indykatorami kompozycji sedymentowej. Paleta kolorystyczna dotycząca tych materiałów rozciągała się od cegieł szarych (10YR 6/1) i blado brązowych (10YR 6/3) w B.81, ciemno szarych (10YR 4/1) i blado brązowych (10YR 6/3) w B.103, jasno żółtawo brązowych (10YR 6/4), żółtawo brązowych (10YR 5/4) i blado brązowych (10YR 6/3) w B.74-B.62/B.61 oraz blado brązowych (10YR 6/3) w Sp.327; dalej - od ciemno do jasno żółtawo brązowych (10YR 4/4, 10YR 5/4 i 10YR 6/4), blado brązowych (10YR 6/3) i szarych (10YR 6/1) w B.95 oraz żółtawo brązowych (10YR 5/4) i szarych (10YR 6/1) w B.33/B34⁵⁵. Cegły składające się na budynki w obrębie *GDN Area* miały z kolei kolorystykę:

⁵⁵ W trakcie badań w obrębie *TP Area* w celu określenia kolorystyki cegieł nie stosowano skali Munsella a opierano się na indywidualnej i w znacznym stopniu subiektywnej ocenie wzrokowej. Na przykład cegły w dolnych partiach murów B.103 opisano jako „czarne o kolorystyce niespotykanej dotąd w obrębie wykopu TP”, a te w górnych jako „żółtawe” (Marciniak i Czerniak 2008: 79). Bloki tworzące Sp.248 „były wykonane z ciemno brązowych cegieł o dobrej jakości” (Czerniak i Marciniak 2005: 80), podczas gdy fundamenty B.95 (w raporcie archiwalnym przypisane B.61) zbudowane były „z brązowych i jasno brązowych cegieł” (Czerniak i Marciniak 2006: 106). Z kolei relikty murowane B.33 określono jako wykonane „z szarych cegieł”, co zresztą przełożyło się na określenie „szary budynek” używane w odniesieniu do tego domu

blado brązową (10YR 6/3) w B.142, brązowawo żółtą (10YR 6/6) w B.141 oraz jasno żółtawo brązową (10YR 6/4) w B.140. Te przykłady, poza właściwie jedynie budynkiem B.103, pokazują stosunkowo nieznaczne zróżnicowanie kolorystyczne cegieł. Także wstępne petrograficzne analizy przeprowadzone przez Chrisa Doherty (ograniczone do budynków TP) nie wykazują żadnych statystycznie ważnych różnic pomiędzy zastosowanymi materiałami. Większość cegieł była bowiem uformowana z glin ilastych ze znaczącą zawartością piasku (Barański i Love w przygotowaniu).

Serena Love (Barański i Love w przygotowaniu) zauważyła, że cegły pochodzące z budynków B.33/B.34 oraz B.95 są bardzo do siebie podobne z niewielkimi różnicami wynikającymi z naturalnego zróżnicowania materiału użytego do uformowania tych bloków. Podobieństwo to przejawia się w stałości frakcji piaskowych, zbieżności wartości podatności magnetycznej i poziomu zawartości węglanów wapnia. Co istotne, te zmienne są mniej podatne na procesy kulturowego przetwarzania sedimentów i stanowią dobre wyznaczniki czystych materiałów (w celu poznania szczegółów zastosowanych metod geoarcheologicznych patrz Love 2012). Pomimo ogólnego podobieństwa użytych składników w odniesieniu do budynków TP, uwagę zwraca dom B.74-B.62/B.61, którego cegły wyróżniają się znaczącą zawartością inkluzji kulturowych, co może się wiązać z pozyskiwaniem materiału m.in. z rozbiórki lub gruzowisk. Powyższe dane sugerują zdaniem Sereny Love, że w przypadku trzech wymienionych budynków materiał pozyskany był z tego samego lub podobnego źródła, choć dodano do niego inne objętości domieszek organicznych. Cegły domów: B.81, B.140, B.141, B.142 oraz przede wszystkim B.103 posiadają znacząco inną kompozycję (Serena Love 2015: rozmowa prywatna), co zdaniem Sereny Love (Love 2013) pozostaje w zgodzie ze wzorami czasowej dyskontynuacji w użyciu materiałów budowlanych w odniesieniu do wcześniejszych budynków na tellu, na przykład pomiędzy domami B.44 i B.56 (odpowiednio poziomy South.S i South.R) w *South Area*.

Znacząca erozja i zniszczenie relikwów architektury utrudniły lub w niektórych przypadkach wręcz uniemożliwiły zdjęcie pierwotnych wymiarów cegieł. Ze względu na ograniczoną ilość wiarygodnych danych analizę statystyczną przeprowadziłem tylko na blokach, które składały się na fundamenty i ściany fundamentowe budynków: B.74-B.62/B.61 oraz B.95. Również i w tych przypadkach cegły poddane badaniu znacznie się od siebie różnią, co moim zdaniem spowodowane jest - oprócz wspomnianego destrukcyjnego oddziaływania środowiska i człowieka - problematyczną naturą informacji zawartych na terenowych kartach jednostek. Mianowicie nie zawsze było to jasne, które z uwzględnionych w dokumentacji wartości pomiarów odnoszą się do długości, a które do szerokości cegieł, co było szczególnie problematyczne w przypadku podania tylko jednego z tych wymiarów. Ponadto, rzadko zawierano na kartach informację o tym, czy dany blok zachowany był w całości czy tylko w części. Stosowano także różne sposoby pomiarów i zapisów rejestrowanych wartości⁵⁶.

(Czerniak i Marciniak 2003: 44). Wyniki ponownych analiz, przy wykorzystaniu zestandaryzowanych form opisu, różnią się w niektórych przypadkach od powyższych spostrzeżeń.

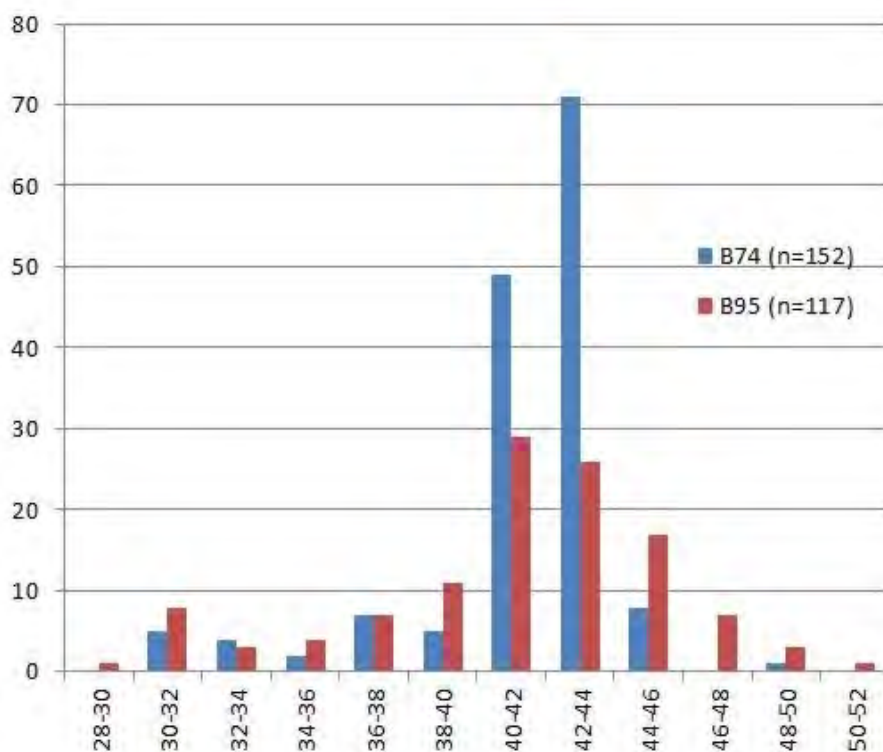
⁵⁶ Na przykład w znaczącej części przypadków zaokrąglano wartości pomiarów do pełnych liczb i wynik podawano w centymetrach. Wydaje się także, że w wielu sytuacjach mierzono długości cegieł wzdłuż ściętej płaszczyzny lic murów, co skutkowało zawyżeniem wartości pomiaru.

Wymiar	Parametry	Budynki	
		B.74-B.62/B.61	B.95
Długość	Kwartyl dolny (Q_1) [cm]	59,0	62,3
	Kwartyl górny (Q_3) [cm]	74,0	80,0
	Średnia (\bar{x}) [cm]	68,3	72,5
	Dominanta (D) [cm]	73,9	75,3
	Odchylenie standardowe (s) [cm]	12,3	12,8
	Współczynnik zmienności (V_s) [%]	18,0	17,7
Szerokość	Kwartyl dolny (Q_1) [cm]	37,0	37,0
	Kwartyl górny (Q_3) [cm]	42,0	43,0
	Średnia (\bar{x}) [cm]	41,3	41,1
	Dominanta (D) [cm]	42,5	40,9
	Odchylenie standardowe (s) [cm]	3,1	4,5
	Współczynnik zmienności (V_s) [%]	7,5	10,9
Wysokość	Kwartyl dolny (Q_1) [cm]	8,0	7,0
	Kwartyl górny (Q_3) [cm]	9,0	9,0
	Średnia (\bar{x}) [cm]	8,9	8,3
	Dominanta (D) [cm]	9,0	9
	Odchylenie standardowe (s) [cm]	0,9	1,3

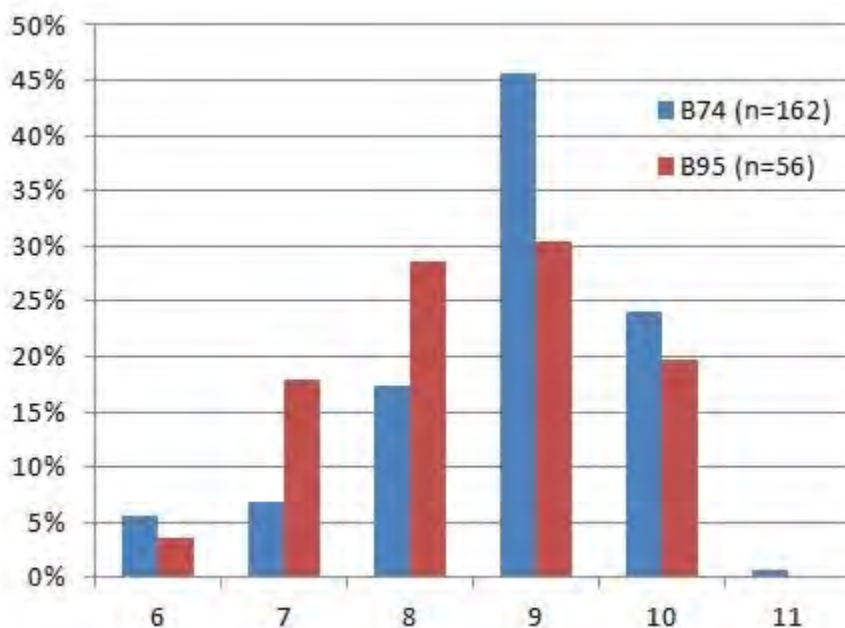
Tabela 3. Zestawienie parametrów dotyczących wymiarów cegieł budynków B.74-B.62/B.61 i B.95 (opracowanie własne).

Powyższe trudności skłoniły mnie do obliczenia dolnych i górnych kwartyli (Q_1 i Q_3) oraz odrzucenia z badanego zbioru wartości nietypowych (odstających), przy czym osobno analizowałem długość, szerokość i wysokość cegieł (Tab. 3). W przypadku budynku B.74-B.62/B.61 spośród 182 zmierzonych cegieł odrzucono wszystkie te, których długość była krótsza niż 36,5 cm i dłuższa niż 96,5 cm. W odniesieniu do domu B.95 stosowne wyliczenia pozwoliły na wykluczenie 7 ze 130 bloków, których długość nie mieściła się w przedziale od 35,9 do 106,6 cm. Analogiczne obliczenia wykonano dla pomiarów szerokości i wysokości cegieł. W ich wyniku ze zbioru 184 pomiarów w odniesieniu do szerokości cegieł budynku B.74-B.62/B.61 wykluczono te o wartości mniejszej niż 29,5 cm oraz większej niż 49,5 cm. Odrzucono także 13 ze 168 pomiarów wysokości, które nie mieściły się w przedziale od 6,5 do 10,5 cm. W przypadku domu B.95 za nietypowe uznano 9 ze 127 cegieł, których szerokość była mniejsza niż 28 i większa niż 52 cm. Wykluczono także 1 ze zbioru 59 pomiarów dotyczący wysokości niezawierającej się w przedziale od 4 do 12 cm.

Dla grup typowych wymiarów cegieł utworzono szeregi rozdzielcze i obliczono średnią arytmetyczną (\bar{x}), dominantę (D), odchylenie standardowe (s) oraz współczynnik zmienności (V_s) w celu porównania długości, szerokości i wysokości cegieł w ramach i pomiędzy budynkami (Tab. 3). Otrzymane wyniki pozwalają na stwierdzenie, że budynki: B.74-B.62/B.61 i B.95 zbudowane zostały przy wykorzystaniu bardzo zbliżonych gabarytowo bloków (Wyk. 1-3). Co ciekawe, uwaga ta dotyczy zarówno cegieł w fundamentach, jak i w ścianach nośnych, chociaż ilość próbek w przypadku tych drugich jest statystycznie niewystarczająca. Niemniej zaobserwowane podobieństwa mogą stanowić argument za trwającym procesem standardyzacji wyrobu cegieł mułowych, co zresztą najprawdopodobniej powiązane było z zastosowaniem złożonych przewiązań.



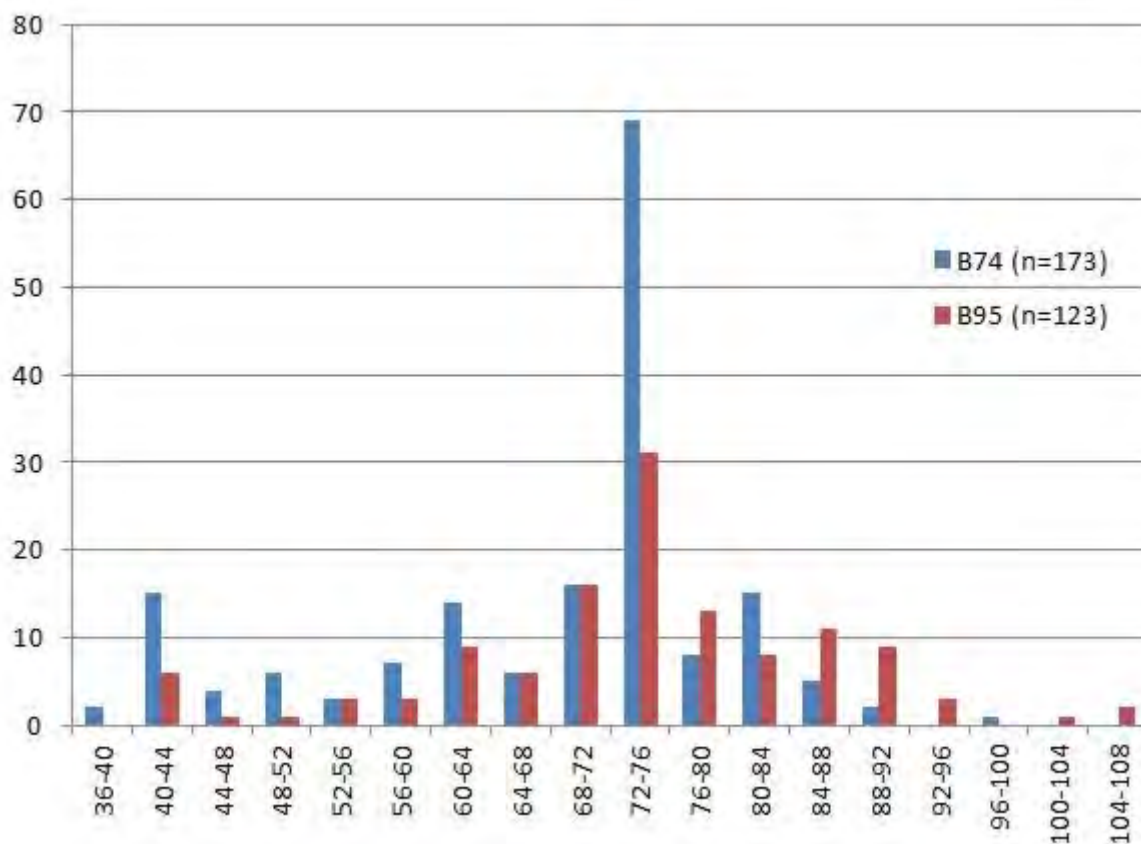
Wykres 1. Zestawienie szerokości cegieł pochodzących z budynków B.74-B.62/B.61 i B.95 (opracowanie własne).



Wykres 2. Zestawienie wysokości cegieł pochodzących z budynków B.74-B.62/B.61 i B.95 (opracowanie własne).

Najbardziej podobne są do siebie szerokości i wysokości cegieł w obu badanych domach, co potwierdza małe rozproszenie wyników. Na przykład w budynku B.74-B.62/B.61 bloki o szerokości zawierającej się w granicach od 40 do 44 cm obejmują 81,6% zbioru, przy czym więcej jest cegieł, których przedmiotowy wymiar był większy niż $\bar{x}=41,3$ cm. z kolei 92,7% cegieł w tym domu ma wysokość wynoszącą 8, 9 lub 10 cm przy wartości dominującej $D=9$. W przypadku budynku B.95 bloki o szerokości zawierającej się w przedziale od 40 do 46 cm stanowią 65,8% zbioru, choć większość

cegieł miała szerokość mniejszą niż $\bar{x}=41,1$ cm⁵⁷. Jednocześnie wysokość 75,9% cegieł w tym domu zawiera się w przedziale od 8 do 10 cm przy wartości dominującej D=9 cm (Tab. 3).



Wykres 3. Zestawienie szerokości cegieł pochodzących z budynków B.74-B.62/B.61 i B.95 (opracowanie własne).

Długości cegieł w obu badanych budynkach także są zbliżone, choć rozproszenie wyników jest zauważalnie większe. W obu przypadkach dominująca grupa bloków ma długość powyżej obliczonej średniej arytmetycznej, która dla domu B.74-B.62/B.61 wynosi $\bar{x}=68,3$ cm, a budynku B.95 $\bar{x}=72,5$ cm. Jednocześnie cegły o długości pomiędzy 68 a 92 cm stanowią odpowiednio 66,5% i 73,2% zbioru danych (Tab. 3). Co ciekawe, w tych przedziałach można zaobserwować dwie niezależne koncentracje wyników, co skłania do postawienia hipotezy, że prawdopodobnie dwa typowe rodzaje cegieł były używane w każdym z badanych domów. Jednocześnie część bloków na pewno celowo przycinano, aby wpasować je w narożnik budynku lub pomieszczenia. W każdym razie wydaje się, że typowy rozmiar cegieł w budynku B.74-B.62/B.61 – po wzięciu pod uwagę wszystkich trzech wymiarów zdjętych z konkretnej cegły - mógł wynosić 72 x 41 x 9 (± 2 cm) oraz 82 x 41 x 9 cm (± 2 cm), co daje odpowiednio około 37% i 8% badanego zbioru. W przypadku domu B.95 analogiczne wyliczenia pozwalają przypuszczać, że standardowy rozmiar cegieł mógł wynosić 73 x 43 x 9 cm (± 2 cm) oraz 89 x 43 x 9 cm (± 2 cm), co odpowiada odpowiednio około 23% i 6% zbioru.

Z powyższych analiz wynika, że cegły składające się na fundamenty i ściany fundamentowe budynków TP wydają się być jednolite pod względem szerokości i wysokości, a różnić się długością. Obserwacje te sugerują używanie podczas formowania cegieł techniki ograniczającej ich szerokość,

⁵⁷Co wydaje się wynikać z większego stopnia zniszczenia lic fundamentów i ścian fundamentowych młodszego domu B.95 w porównaniu z tymi przypisanymi wcześniejszemu budynkowi B.74-B.62/B.61.

ale nie długość. Dwa znane sposoby, które na to pozwalają to obudowa deskami lub stworzenie - z dwóch równolegle usytuowanych desek - kanałów, w które wlewa się mieszanę gliny ilastej, sietki słomianej, wody oraz ewentualnych innych domieszek. Dzięki takiej konstrukcji można kontrolować wymiar poprzeczny cegieł i jednocześnie docinać je w dowolnych interwałach (Houben i Guillaud 2005). Biorąc pod uwagę brak standaryzacji cegieł w Çatalhöyük (patrz Love 2013), wydaje się, że prawdopodobnie właśnie taka technika była używana, aniżeli prostopadłościenna forma drewniana, która pozwalałaby na uzyskanie regularnych kształtów.

2.2 Zaprawy

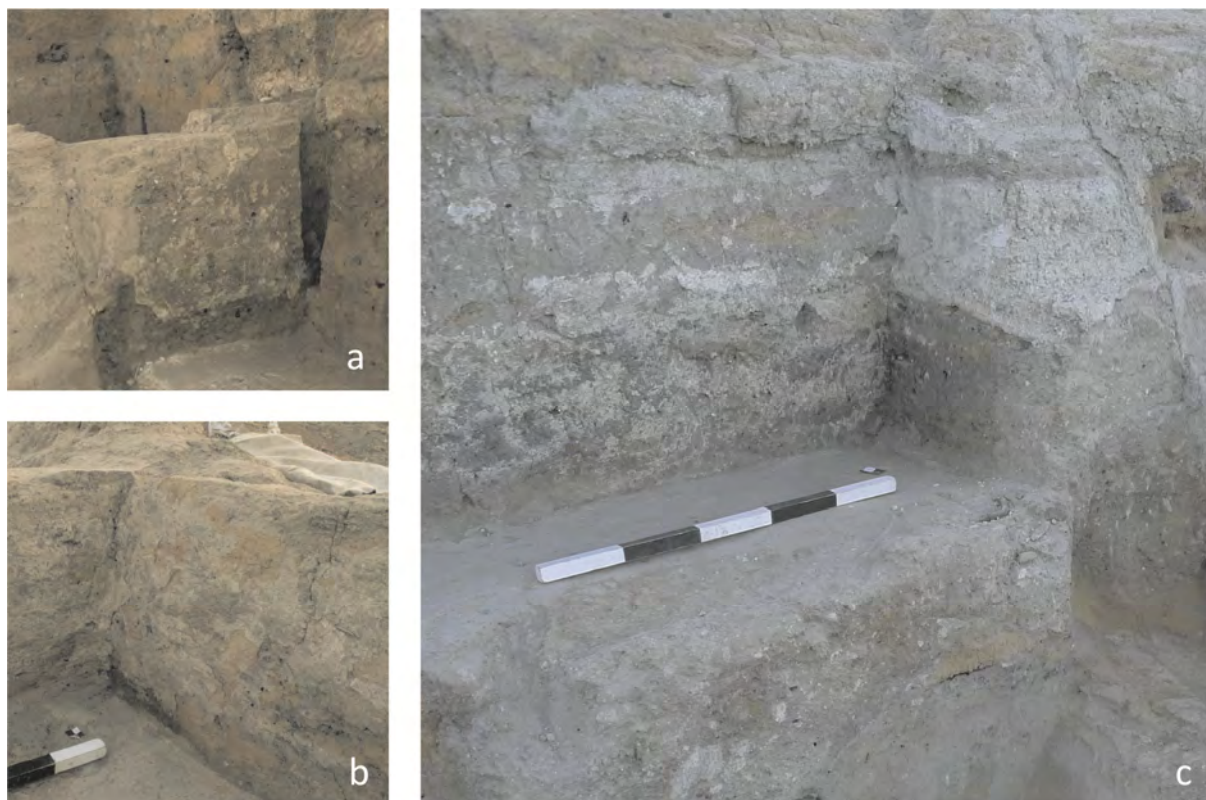
Zaprawy stanowią najbardziej zróżnicowany pod względem składu materiał budowlany nie tylko w obrębie *TP Area* i *GDN Area*, ale w Çatalhöyük w ogóle. W większości przypadków ich produkcja musiała obejmować użycie warstw śmietniskowych, jako że w skład zapraw wchodziły liczne i zróżnicowane inkluzje (patrz Cessford 2005b; Matthews *et al.* 1996: 306; Tung 2013: 76). Na przykład, zaprawy TP zawierają liczne małe fragmenty skorupki jajek, muszli mięczaków, odłamki krzemieni, obsydianu, kamieni i ceramiki, a także koraliki, fragmenty kul i figurek glinianych oraz wtórnie pozyskany i rozdrobniony materiał budowlany. Co istotne warstwy śmietniskowe używane do wyrobu zapraw zawierały również materiały organiczne, jak szczątki roślin i kości zwierzęce, które były bogate w tłuszcze. Dzięki tym składnikom nadawano zaprawom bardziej lepłą konsystencję, co było pożądaną właściwością podczas łączenia cegieł w murze (patrz Matthews *et al.* 1996: 306).

Tak jak w przypadku innych materiałów budowlanych, tak i zaprawy TP były opisywane poprzez kolor i teksturę. Zdecydowana większość cegieł w fundamentach i ścianach łączona była szarą (10YR 5/1) lub szarawo brązową (10YR 5/2) zaprawą, która zawierała znaczne ilości frakcji piaskowo-ilastych. W tym względzie nie ma właściwie różnic pomiędzy badanymi budynkami. Jedyne wyjątek dotyczy żółtawo brązowej (10YR 5/4) zaprawy użytej w zestawieniu z ciemno szarymi (10YR 4/1) cegłami w budynku B.103. W tym przypadku materiały te wydają się być w pewnym sensie zamienione w odniesieniu do części muru, co przypomina sytuację znaną ze znacznie wcześniejszego budynku B.22 (poziom South.K / E.IX.1) w *South Area* (Farid 2007c; patrz także Doherty 2013: 56).

W przeciwieństwie do niektórych wcześniejszych faz osadniczych na tellu (patrz np. Farid 2007b: 128; Mellaart 1967: 55), miąższość zapraw późnoneolitycznych z reguły zawierała się w zdecydowanej większości przypadków pomiędzy 2 a 3 cm. Jedyne przypadki mieszanin tego typu o znacząco wyższej miąższości pochodzą z partii fundamentowych lub podkładów konstrukcyjnych pod fundamenty budynku B.95, co wynikało z chęci wyrównania poziomu przed położeniem kolejnego rzędu cegieł.

2.3 Tynki i wyprawy

Tynki i wyprawy, biorąc pod uwagę ich zróżnicowanie kontekstualne, można pogrupować na takie, które związane były z: podłogami, platformami, ścianami i innymi obiektami architektonicznymi. Ten podział jest oparty na sposobie użytkowania przestrzeni (patrz Cessford 2005b; Farid 2007; Hodder i Cessford 2004; Matthews 2005a: 392), a także zróżnicowanych cyklach utrzymania i modyfikacji budynków lub wymienionych obiektów (patrz Matthews 2005b; Matthews *et al.* 2013).



Rycina 26. Widoki na fragmentarycznie zachowane tynki naścienne: a) północna ściana (F.2870) budynku B.81 (fot. M. Saj), b) zachodnia ściana (F.7692) aneksu Sp.555 domu B.81 (fot. M. Saj), c) wschodnia ściana (F.7691) budynku B.142 (fot. M.Z. Barański), d) panel dekoracyjny w komorze Sp.327 (fot. A. Leszczewicz), e) zachodnia ściana (F.3116) komory Sp.248 (fot. A. Golański).

Generalnie głównymi surowcami wykorzystywanymi do wyrobu tynków i wypraw były skały osadowe, w tym margle i wapień (Doherty 2007, 2013). Oba te surowce posiadały białą kolorystykę i były szeroko wykorzystywane do zabezpieczenia budynków i obiektów przed niszczącymi czynnikami atmosferycznymi oraz porażeniem przez grzyby i owady (Hodder i Farid 2014: 24). Miały także niewątpliwie istotne znaczenie symboliczne i wymagały starannie zaplanowanej strategii pozyskania (patrz Love 2013; Tung 2013). Arkadiusz Marciniak *et al.* (2015a: 156) zasugerowali, że w późnym neolicie tego typu surowce, chociaż wciąż dostępne i wykorzystywane (co potwierdza sekwencja białych tynków – F.7692/F.8071 i F.7691 - naściennych w budynkach B.81 i B.142) (Ryc. 26) to jednak stopniowo traciły na znaczeniu. Na przykład, naścienny panel F.2892 zdobiący wnętrze komory grobowej Sp.327 był wykonany ze zwykłej zanieczyszczonej i sproszkowanej skały marglowej, która w znacznym stopniu przypomina swym charakterem zbite wypełniska budynków ze wcześniejszych poziomów osadniczych (Marciniak *et al.* 2015a: 162). Taki sam rodzaj wykończenia powierzchni odkryto zresztą w odniesieniu do platform w budynku B.62/B.61, jak i struktur murowanych wydzielających z przestrzeni Sp.248. Innym ciekawym przypadkiem są tynki naścienne w obrębie pomieszczenia magazynowego Sp.555 budynku B.81. Lica murów zostały tam pokryte najpierw warstwą ilastego błado brązowego (10YR 7/4) podkładu, na który dopiero w dalszej kolejności nałożono ostateczną ciekłą warstwę tynku marglowego (Barański *et al.* 2015b: 250).

Masy tynkarskie i szpachlowe wykorzystywano także w odniesieniu do podłóg (Czerniak i Marciniak 2005, 2006, 2008; patrz także Tung 2013), choć powierzchnie te nie zachowały się we wszystkich budynkach poddanych analizie. Na przykład podłogi z mieszanek sproszkowanych skał marglowych i innych sedymentów zostały zdefiniowane w obrębie budynków: B.103 (F.3122), B.140

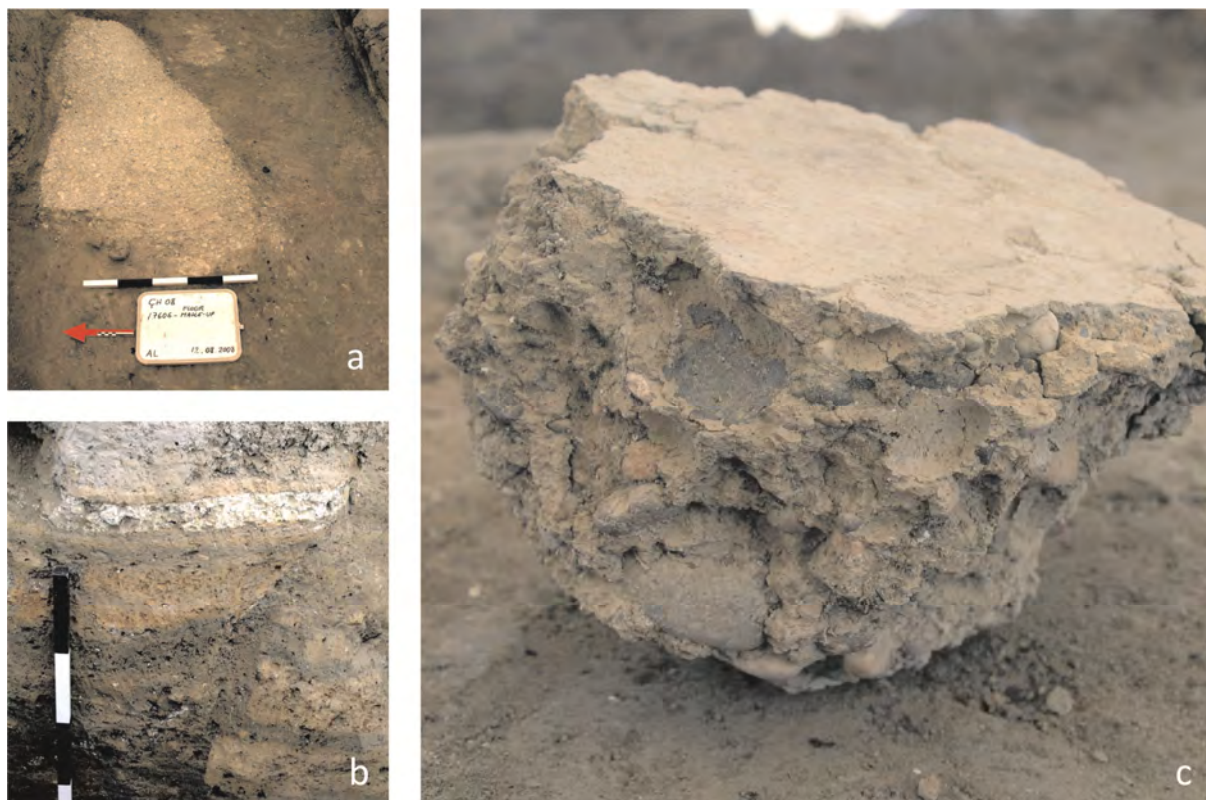
(F.7654), a także wczesnych faz użytkowych B.81 (F.3130, F.3131 i F.6005, co zostało zadokumentowane w obrębie niewielkiego sondażu). Dla odmiany poziome powierzchnie wykończeniowe z ubitej gliny /ziemi obmazanej najprawdopodobniej zaczynem wapiennym (F.3132, F.3139, F.3145 i F.3147) charakteryzują kilka wcześniejszych faz domu B.74-B.62/B.61.

Użycie zróżnicowanych tynków i wypraw może świadczyć o intencjonalnym użyciu określonych surowców w odniesieniu do konkretnych obiektów, pomieszczeń lub budynków (patrz Tung 2013). Jednocześnie powszechne w późnym neolicie użycie materiałów na bazie wtórnie pozyskanych surowców z dużą ilością zróżnicowanych inkluzji może częściowo tłumaczyć dlaczego warstwy tynków i wypraw zachowały się - chociażby w obrębie wykopu TP - w bardzo niewielkim stopniu.

2.4 Podkłady

Póznoneolityczne podkłady czyli warstwy wyrównawcze i konstrukcyjne pod fundamenty lub podłogi wykonane były ze zróżnicowanych materiałów (por. Matthews 2005a: 369). Większość z tych warstw zawierała wtórny i rozdrobniony materiał budowlany, jak i różne inkluzje, co sugeruje intensywne przetwarzanie, które miało miejsce podczas ich przygotowywania i formowania (patrz Tung 2013: 76-77). Tak jak w przypadku innych materiałów budowlanych, tak i podkłady były określane poprzez kolor i teksturę. Większość z tych warstw była blado brązowa (10YR 6/3), brązowo żółta (10YR 6/6) lub czerwono żółta (7.5YR 6/6) oraz zawierała znaczną frakcję ilastą (Czerniak i Marciniak 2006).

Bardziej dystynktywne, a zarazem rzadziej spotykane, były podkłady podłogowe składające się z drobnoziarnistego kruszywa mineralnego złączonego zaczynem marglowym i wodą (Czerniak i Marciniak 2006, 2008; Marciniak i Czerniak 2007). Arakadiusz Marciniak *et al.* (2015a) zauważyli, że ten zróżnicowany kolorystycznie materiał skalny w większości stanowił lokalnego pochodzenia wapień, które uległy fragmentacji oraz zostały wygładzone i zaokrąglone przez wodę. Opisywane podkłady konstrukcyjne sytuowano poniżej właściwych marglowych warstw podłóg i jednocześnie ponad specjalnie uformowanymi warstwami z rozdrobnionego i ubitego gruzu budowlanego. Ślady tego rodzaju podłóg jastrychowych (F.6020 i F.3133/F.3135) zadokumentowano w odniesieniu do ostatnich faz użytkowania głównych pomieszczeń (Sp.440 i Sp.438) następujących po sobie budynków B.81 i B.74-B.62/B.61. Podobne wykończenie powierzchni (F.3150 i F.3140) stwierdzono również w obrębie izb Sp.325 i Sp.326 przynależących do drugiego z wymienionych domów (Ryc. 27). Być może takim podkładem podłogowym (U.30427) charakteryzowało się także wnętrze pomieszczenia Sp.542 budynku B.141 (A.III.3), w obrębie którego w jednym z narożników natrafiono na warstwę zawierającą kruszywo z margli o wymiarach ziaren około 4 mm (Barański 2013a: 222). Stopień zniszczenia tego pomieszczenia nakazuje jednak interpretację tę traktować z ostrożnością.



Rycina 27. Fragmenty podkładów z kamieni rzecznych: a) platforma (F.3143) budynku B.81 (fot. A. Leszczewicz), b) podłoga (F.3133/F.3135) budynku B.62/B.61 widoczna w profilu (fot. A. Golański), c) fragment podłogi (F.2887) z pomieszczenia Sp.325 budynku B.74 (fot. A. Leszczewicz).

2.5 Elementy drewniane

Ze względu na znaczący stopień zniszczeń relikwów architektury, a także brak pozostałości drewna uwęglonych lub zmineralizowanych nie jest możliwe dokładne określenie rodzaju wyrobów z drewna budowlanego oraz sposobów ich wykorzystania w badanym okresie. Niemniej wydaje się, że do konstrukcji słupów i belek było najprawdopodobniej wykorzystywane drewno dębowe, jałowcowe lub wiązowe, chociaż, jak zauważyła Eleni Asouti (2005; patrz także Marciniak *et al.* 2015a: 159, 162), ilość uwęglonych szczątków tych trzech gatunków drzew spada w późnym neolicie, co może sugerować bardziej zróżnicowaną gospodarkę i strategię budowlane. Redukcja ta nie była raczej spowodowana zniknięciem tego zbioru drzew z krajobrazu wywołanym czynnikami klimatycznymi lub ludzkimi. Wydaje się natomiast, że możliwe rzadsze użycie drewna dębowego i jałowcowego w odniesieniu do budynków TP odzwierciedla raczej zwrot w sposobie pozyskiwania tego surowca (patrz Asouti i Hather 2001), a także zmiany w strategiach i technikach budowlanych, które – niezależnie od dostępności drewna - mogły być w mniejszym stopniu oparte na nim niż te charakterystyczne dla wcześniejszych fazach osadniczych na tellu (Asouti 2013). Niezależnie od powyższych wątpliwości elementy z drewna, jak i innych materiałów pochodzenia roślinnego, na przykład ze zróżnicowanych gatunków trzciny i traw, musiały wciąż odgrywać dużą rolę nie tylko przy konstrukcji płaskich stropów, ale i układów je podpierających, o czym piszę w kolejnej części niniejszego rozdziału.

2. Elementy architektoniczne i konstrukcyjne budynków

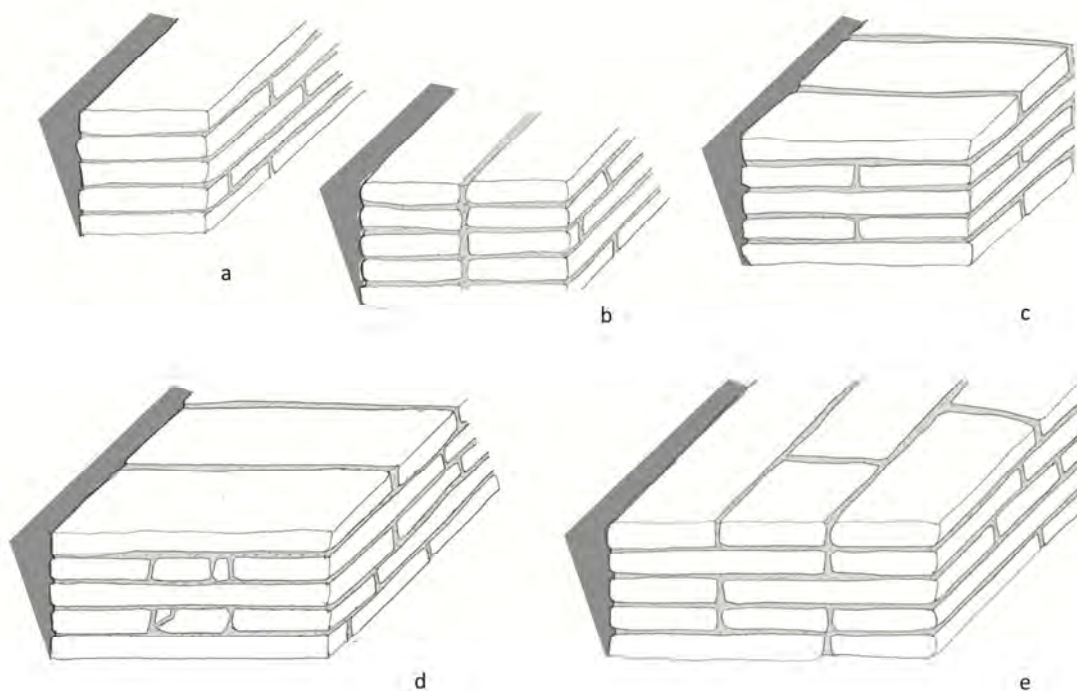
Próby rekonstrukcji ogólnej formy późnoneolitycznych budynków, jak i składających się na nieukładów konstrukcyjnych oraz zróżnicowanych obiektów architektonicznych, okazały się być trudnym wyzwaniem. Równie wymagające było określenie relacji fizycznych i stratygraficznych w ramach poszczególnych domów, jak i pomiędzy sąsiadującymi ze sobą budynkami. Zasadnicze dla tych rozważań stało się właściwe rozpoznanie typów i przewiązań konstrukcji murowanych, a następnie zdefiniowanie ich relacji do pozostałych i mocno zniszczonych obiektów architektonicznych.

2.1 Fundamenty i ściany

Zróżnicowanie sposobów wiązania cegieł jest charakterystycznym elementem późnoneolitycznych konstrukcji murowanych. W ramach przeprowadzonych przeze mnie badań wyróżniłem dwa główne typy struktur z cegieł mułowych (Ryc. 28):

a) Struktury złożone czyli fundamenty i ściany fundamentowe, w których cegły ułożone są naprzemiennie, co przypomina wiązanie wozówkowo-główkowe. Grupę tę można dodatkowo podzielić na konstrukcje o szerokości jednej cegły (typ A) oraz konstrukcje o szerokości półtorej cegły (typ B) z wypełnieniem w postaci nieregularnych fragmentów cegieł (B1) lub z wypełnieniem litym w postaci pełnych cegieł (B2) (Tab. 4),

b) Struktury proste, charakteryzujące się pospolitym wiązaniem i służące zróżnicowanym funkcjom (Tab. 5-6).



Rycina 28. Zestawienie sposobów przewiązań fundamentów i ścian: a) mur prosty, b) dwa nieprzewiązane mury proste, tzw. „mury podwójne”, c) mur złożony o szerokości jednej cegły, d) mur złożony o szerokości półtorej cegły z wypełnieniem gruzem budowlanym, e) mur złożony o szerokości półtorej cegły z wypełnieniem pełnym (opracowanie własne).

Forma	Funkcja	Numeracja	Ogólna charakterystyka		
			Cegły mułowe	Zaprawa	Tynk
Konstrukcje złożone Typ A (o grubości jednej cegły)	Konstrukcje nośne (fundamenty i ściany fundamentowe)	B.33? (F.3107?)	Żółtawo brązowe (10YR 5/4) Glina piaszczysta ?	Brązowawo szara (10YR 6/2) Glina ilasta	Brak śladów otynkowania
		B.74-B.62/B.61 (F.2881a, F.2882, F.2883, F.2884, F.2885 i F.3579),	Błado i żółtawo brązowe (10YR 6/3, 6/4 i 5/4), Glina piaszczysta 72 x 41 x 9 (± 2) 82 x 41 x 9 (± 2)	Szara (10YR 5/1 lub 6/1) Glina ilasta	Brak śladów otynkowania
		B.81? (F.2877? i F.2878?),	Błado brązowe (10YR 6/3), Glina piaszczysta ? x 44x 8 (± 2)	Szara (10YR 5/1 lub 6/1) Glina ilasta	Brak śladów otynkowania
		B.95 (F.2865, F.2872, F.2873/F.3161, F.2893, F.2899 i F.6025),	Błado i żółtawo brązowe, szare (10YR 6/3,6/4, 5/4, 4/4 i 6/1) Glina piaszczysta 73 x 43 x 9 (± 2) 89 x 43 x 9 (± 2)	Brązowawo szara (10YR 6/2) Glina ilasta	Brak śladów otynkowania
		B.141 (F.7454 i być może F.7453)	Brązowawo żółte (10YR 6/6) Glina piaszczysta ?	Szara (10YR 5/1 lub 6/1) Glina ilasta	Brak śladów otynkowania
		B.142 (F.7696a i F.8082a),	Błado brązowe (10YR 6/3) Glina piaszczysta ?	Szara (10YR 5/1 lub 6/1) Glina ilasta	Brak śladów otynkowania
Konstrukcje złożone Typ B1-2 (o grubości półtorej cegły)	Konstrukcje nośne (fundamenty i ściany fundamentowe)	B.34 (F.3106, F.3111/F.3158)	Żółtawo brązowe (10YR 5/4) Glina piaszczysta ?	Szara i brązowawo szara (10YR 5/1 lub 6/1) Glina ilasta	Brak śladów otynkowania
		B.74-B.62/B.61 (F.6010),	Błado i żółtawo brązowe (10YR 6/3, 6/4 i 5/4), Glina piaszczysta ?	Szara (10YR 5/1 lub 6/1) Glina ilasta	Brak śladów otynkowania
		B.141 (F.7458)	Brązowawo żółte (10YR 6/6) Glina piaszczysta ?	Szara (10YR 5/1 lub 6/1) Glina ilasta	Brak śladów otynkowania

Tablica 4. Zestawienie parametrów murowanych konstrukcji złożonych budynków zdefiniowanych w obrębie wykopów TP i GDN (opracowanie własne).



Forma	Funkcja	Numeracja	Ogólna charakterystyka		
			Cegły mułowe	Zaprawa	Tynk
Konstrukcje proste	Ściany nośne	B.74-B.62/B.61 (F.2860, F.2881b i F.3579),	Błado i żółtawo brązowe (10YR 6/3, 6/4 i 5/4), Gлина piaszczysta 72 x 41 x 9 (± 2)	Szara (10YR 5/1 lub 6/1) Gлина ilasta	Brak śladów otynkowania
		B.81 (F.2874, F.2876, F.2877, F.2878, F.7693, F.8058, F.8071 i F.8072),	Szare i błado brązowe (10YR 6/1 i 6/3), Gлина piaszczysta ? x 44x 8 (± 2)	Szara (10YR 7/1) Gлина ilasta	Biały (10YR 8/1) Margłowy
		B.103 (F.2891, F.3124, F.3126 i F.3127),	Ciemno szare i błado brązowe (10YR 4/1i i 6/3) Gлина piaszczysta ?	Żółtawo brązowa i szara (10YR 5/6, 5/1 i 6/1) Gлина ilasta	Szary (10YR 6/1) Margłowy
		B.140 (F.7451/F.7456 F.459, F.7461, F.7653, F.7655 i F.7676),	Żółtawo brązowe (10YR 6/4) Gлина piaszczysta ?	Szara (10YR 5/1 lub 6/1) Gлина ilasta	Biały (10YR 8/1) Margłowy
		B.141 (F.7452),	Brązowawo żółte (10YR 6/6) Gлина piaszczysta ?	Szara (10YR 5/1 lub 6/1) Gлина ilasta	Brak śladów otynkowania
		B.142 (F.7455, F.7457, F.7689 F.7691, F.7694, F.7696b, F.8082b, F.8083, F.8084),	Błado brązowe (10YR 6/3) Gлина piaszczysta ?	Szara (10YR 5/1 lub 6/1) Gлина ilasta	Biały (10YR 8/1) Margłowy
	Ściany oporowe	B.74 (F.2864, F.2886 oraz prawdopodobnie F.2862 i F.2863),	Zróżnicowane (częściowe wtórne wykorzystanie materiału) ? x 44 x 7 (± 2)	Zróżnicowana	Szary (10YR 6/1) Margłowy zanieczyszczony
		Sp.327 (F.2898)	Błado brązowe (10YR 6/3) Gлина piaszczysta 68 x 36 x 8 (± 2)	Szara (10YR 5/1 lub 6/1) Gлина ilasta	Szary (10YR 6/1) Margłowy zanieczyszczony

Tablica 5. Zestawienie parametrów murowanych konstrukcji prostych (ścian nośnych i oporowych) budynków zdefiniowanych w obrębie wykopów TP i GDN (opracowanie własne).

Forma	Funkcja	Numeracja	Ogólna charakterystyka		
			Cegły mułowe	Zaprawa	Tynk
Konstrukcje proste	Ściany działowe i osłonowe	B.33 (F.1152?)	Szare (10YR 6/1), Gлина piaszczysta ?	Brązowawo szara (10YR 6/2) Gлина ilasta	Brak śladów otynkowania
		B.34 (Sp.248) (F.3112, F.3116 i F.3118)	Szare i błado brązowe (10YR 6/1 i 6/3), Gлина piaszczysta ?	Brązowawo szara (10YR 6/2) Gлина ilasta	Szary (10YR 6/1) Margłowy
		B.74-B.62/B.61 (F.3104, F.3113, F.3114, F.3115i F.3129),	Szare i błado brązowe (10YR 6/1 i 6/3), Gлина piaszczysta 68/74 x 36x 9	Brązowawo szara (10YR 6/2) Gлина ilasta	Szary (10YR 6/1) Margłowy

Tablica 6. Zestawienie parametrów murowanych konstrukcji prostych (ścian działowych i osłonowych) budynków zdefiniowanych w obrębie wykopów TP i GDN (opracowanie własne).

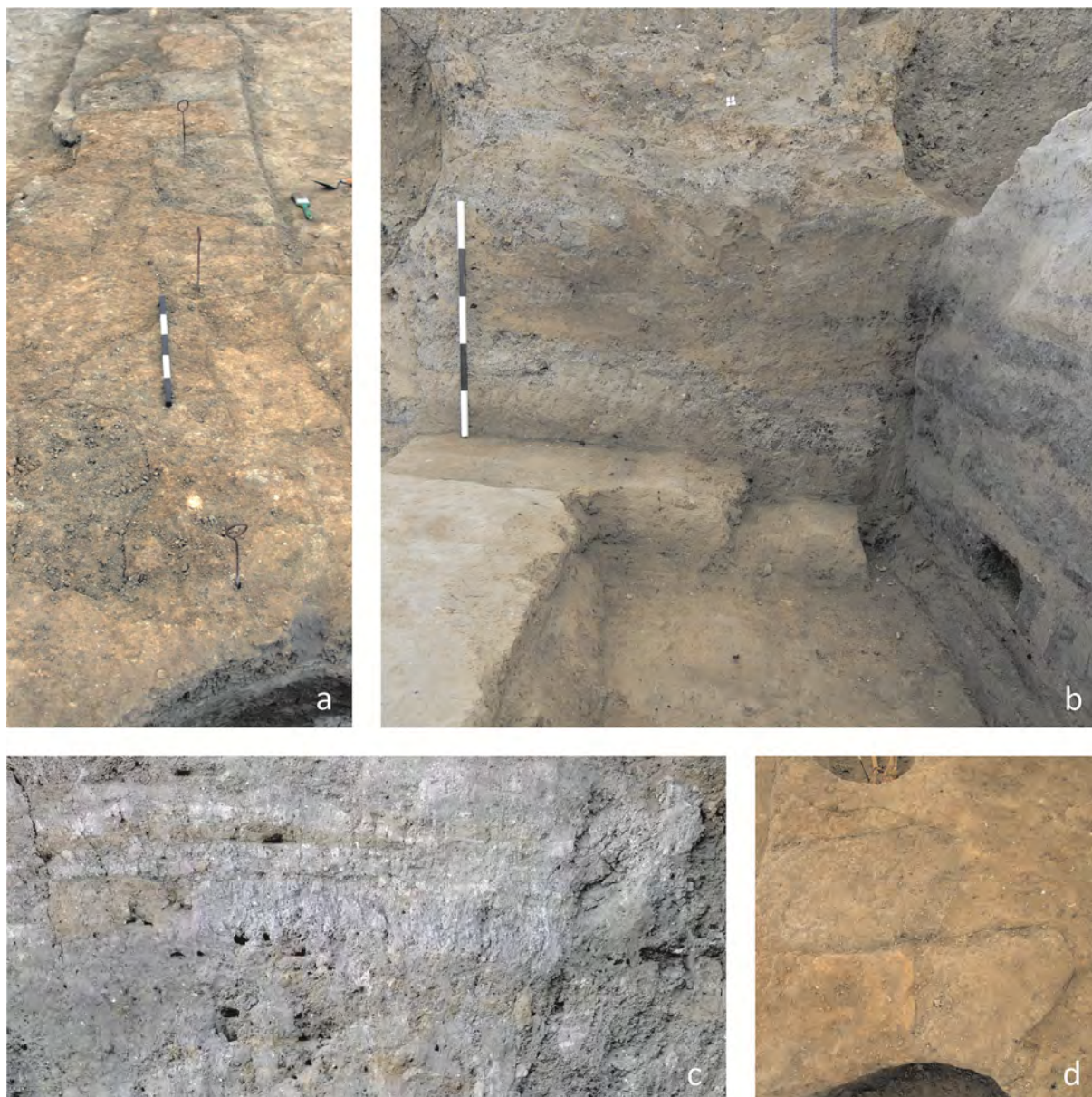
Złożone konstrukcje z cegły mułowej, popularnie i nieprawidłowo nazywane “murami podwójnymi lub potrójnymi” [ang. *double and triple walls*] (patrz np. Bogdan 2005: 26-27; Ganis 2011: 131; Marciniak *et al.* 2015c: 73), stanowiły w rzeczywistości obiekty przewiązane typu A i B (Ryc. 29). Pierwsze z nich miały szerokość około 0.89 m, a drugie około 1.30 m. Układ cegieł w tych obiektach przypomina wiązanie wozówkowo-główkowe, w którym jeden rząd cegieł ustawiony jest prostopadle do osi muru, a drugi równolegle do niej. Powszechnie uważa się, że konstrukcje tego typu charakteryzują się dużą wytrzymałością i są stosunkowo łatwe w budowaniu (patrz Middleton 1921).

Moim zdaniem większość - jeśli nie wszystkie - z tych częściowo zagłębionych w ziemi obiektów stanowiło fundamenty i ściany fundamentowe. Towarzyszące im wkopy fundamentowe miały zróżnicowaną głębokość wynoszącą od około 0,5 do 1,2 m, co zaobserwowano w przypadku m.in. domów: B.74-B.62/B.61 i B.95. Ich dno było najczęściej wykładane warstwą gruzu budowlanego, która, w przypadku wschodniego fundamentu (F.2873/F.3161) budynku B.95, miała miąższość przekraczającą 0,8 m (Ryc. 30).

Złożone fundamenty często miały formę schodkową, co wynikało z konieczności pokonywania różnic w wysokości terenu w sytuacji, gdy budynek usytuowany był na stoku uformowanym przez zróżnicowane warstwy rumowiskowe i śmietniskowe. Czytelne przykłady tego typu rozwiązania zaobserwowano w odniesieniu do domów: B.74-B.62/B.61 (F.2881 i F.2882) i B.95 (F.2899 i F.3161). Należy jednocześnie podkreślić, że wcześniejsze mury, kiedy tylko było to możliwe, wciąż wykorzystywano jako fundamenty tak, jak chociażby w przypadku posadowienia północnego muru B.74-B.62/B.61 (F.3577) i najprawdopodobniej zachodniej ściany B.103 (F.2891). Ponadto wydaje się, że niektóre ze struktur zostały wbudowane lub dobudowane do istniejących obiektów. Tak najprawdopodobniej było w przypadku pomieszczeń: Sp.325 i Sp.326 przypisanych domowi B.74-B.62/B.61 oraz być może izby Sp.433 związanej z budynkiem B.33.

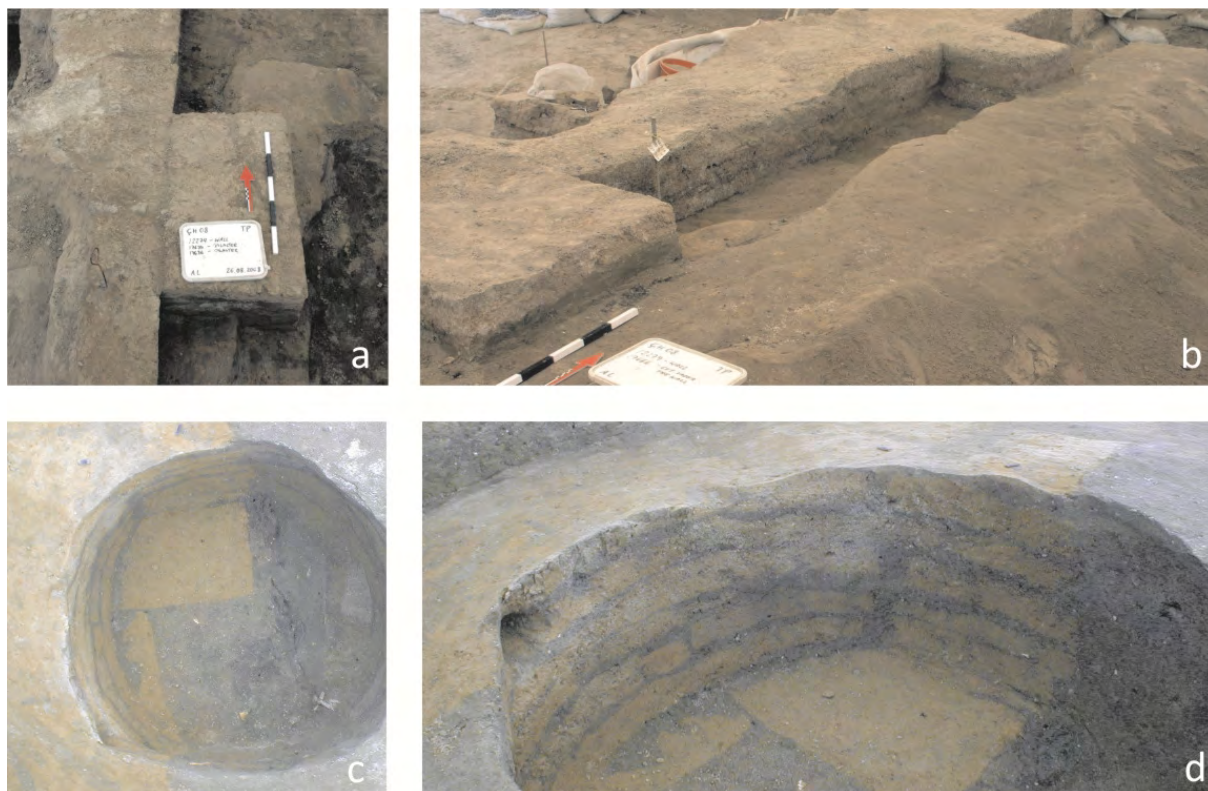


Rycina 29. Przykłady złożonych fundamentów: a-b) F.2882 w domu B.74-B.62/B.61 (fot. A. Leszczewicz), c) F.2281a/F.2284 w budynku B.74-B.62/B.61 (fot. A. Leszczewicz), d) F.2893 w domu B.95 (fot. A. Golański), e-f) F.7694a/F.8082a w budynku B.142 (fot. M.Z. Barański), g) F.2284/F.3579 w domu B.74-B.62/B.61 (fot. M.Z. Barański) oraz h) F2878 budynku B.81 (fot. A. Leszczewicz).



Rycina 30. Widoki na podkłady pod fundamenty składające się m.in. z fragmentów cegieł i platform: a) podkład (U.7650/U.7652) zachodniego fundamentu (F.3107) budynku B.33? (fot. A. Golański), b) podkład (U.17805) pod wschodni fundament (F.2873/F.F.3161) domu B.95 (fot. J. Quinlan), c) podkład (U.7645) pod wschodni fundament (F.3106/F.3111) budynku B.34 (fot. M.Z. Barański), d) podkład z gruzu pod fundament (F.2899) domu B.95 (fot. A. Golański).

W obrębie wykopu TP, szczególnie interesującym przypadkiem konstrukcji złożonej jest wschodni fundament lub ściana fundamentowa (F.2873/F.3161) budynku B.95 (Ryc. 31). Był to obiekt typu A z dwoma prostopadłymi występami (F.2872 i F.6025) od strony zachodniej, z których każdy miał szerokość jednej i długość połowy cegły. Elementy te, zachowane do wysokości trzech rzędów cegieł, interpretowano dotąd w różny sposób jako na przykład: pilastry, filary i przypory (patrz Czerniak i Marciniak 2008: 78). W efekcie słabego stopnia zachowania omawianych struktur nie jest jednak jasne zarówno to jaką pierwotnie wysokość one miały, ani jaką funkcję pełniły. Co ciekawe podobny element (F.2894/F.2895) zaobserwowano także w południowej części wykopu TP. Podobnie jak w przypadku fundamentu budynku B.95 usytuowany był od strony przestrzeni otwartej. Skłaniam się ku hipotezie, że struktury te zostały wybudowane, aby wzmocnić dolne partie budynków. Być może można je także traktować jako zapowiedź fundamentów złożonych typu B. W każdym razie



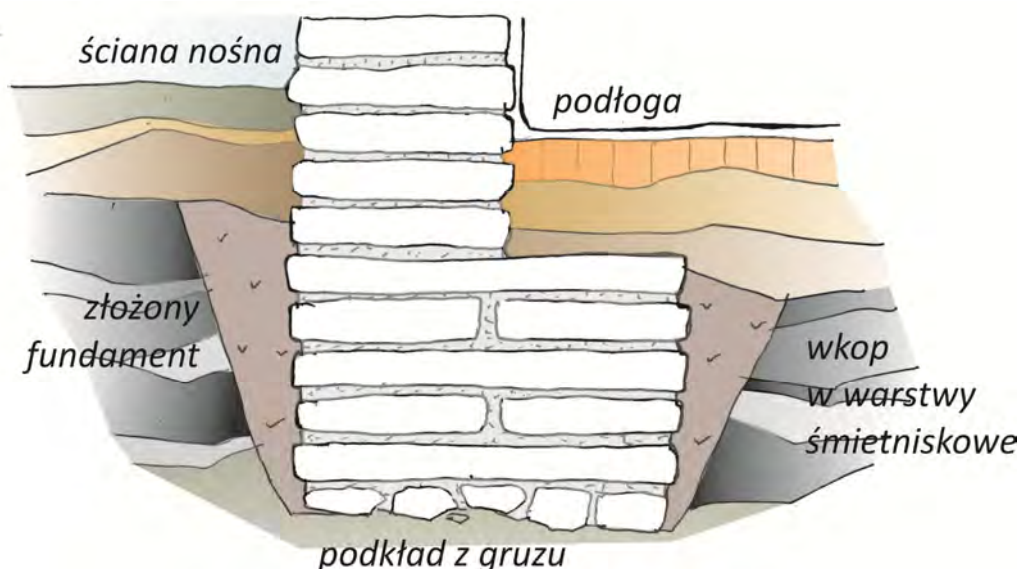
Rycina 31. Widok na: a – b dwa występy (F.2872 i F.6025) we wschodnim fundamencie budynku B.95 (fot. A. Leszczewicz), c – d występ (F.2895) w fundamencie budynku lub pomieszczenia znajdującego się poza południową granicą wykopu TP (fot. A. Golański).



Rycina 32. Pęknięcie podłużne wschodniego fundamentu (F.2873/F.3161) budynku B.95 (fot. A. Leszczewicz).

w przypadku domu B.95 występy usytuowane bezpośrednio na wcześniejszym murze i jednocześnie na krawędzi podwórza lub domniemanego stoku, mogły zapewniać także podparcie dla ściany i jednocześnie tworzyć ciekawy układ kompozycyjny. Działania te okazały się nieskuteczne, jako że wzdłuż osi podłużnej opisywanego fundamentu zauważono szerokie pęknięcie, skutkujące jego znacznym zniszczeniem (Ryc. 32). Ślady deformacji, zniszczeń i przemieszczeń elementów konstrukcyjnych i architektonicznych zaobserwowano także w przypadku elementów innych budynków, co sugeruje problemy związane ze statyką układów konstrukcyjnych oraz nośnością nasypu tellu (zagadnienie to szerzej omawiam w Rozdziale VI).

Złożone fundamenty i ściany fundamentowe stanowiły oparcie dla prostych ścian nośnych i przenosiły obciążenia na podłoże (Ryc. 33-34). Wydaje się, że tego typu rozwiązanie zostało zastosowane w przypadku zdecydowanej większości budynków zdefiniowanych w obrębie *TP Area* i *GDN Area*. Najbardziej przekonujące z nich dotyczą wschodniej i zewnętrznej ściany nośnej (F.2860) oraz wschodniego fundamentu typu A (F.2882) domu B.74-B.62/B.61 oraz południowej części (F.7694/F.8082) budynku B.142. W przypadku pierwszego z tych domów fundament wymurowany był do wysokości pięciu rzędów cegieł a ściana nośna składała się od trzech do siedmiu rzędów cegieł. Wysoce prawdopodobne jest, że również mury budynku B.81 - przynajmniej w części - posadowione były na złożonych fundamentach. W obrębie wykopu TP odsłonięto co prawda zaledwie korony konstrukcji murowanych definiujących główne pomieszczenie Sp.440, niemniej górny rząd cegieł południowego i zachodniego muru lub fundamentu charakteryzuje się układem główkowym. Co więcej, w ramach badań GDN (Barański *et al.* 2015) zdefiniowano w sposób niepodlegający wątpliwości fragment konstrukcji murowanej typu A związanej z pomieszczeniami Sp.561 i Sp.593, które przestrzennie i funkcjonalnie połączone były zarówno z domem B.81, jak i budynkiem B.142⁵⁸ (relację tę szczegółowo opisuję w Rozdziale VI niniejszej pracy w części poświęconej reinterpretacji stratygrafii TP i Jamesa Mellaarta).



Rycina 33. Schemat posadowienia znacznej części budynków TP w Çatalhöyük (opracowanie własne).

⁵⁸ Popularność rozwiązania polegającego na budowie złożonych fundamentów już na poziomie budynku B.81 (TP.M) nie powinna specjalnie dziwić w przypadku potwierdzenia się wstępnych wyników programu datowania radiowęglowego, zgodnie z którymi dom ten był współczesowy budynkowi B.10 (South.T), który charakteryzuje się właśnie tego typu konstrukcją (Alex Bayliss 2015: rozmowa prywatna).



Rycina 34. Widoki na proste mury posadowione na złożonych fundamentach: a) i c) zachodni mur (F.2882-F.2860) budynku B.74-B.62/B.61 (fot. A. Golański), b) południowy mur (F.7694/F.8082) domu B.142 (fot. M.Z. Barański).

W przeciwieństwie do fundamentów złożonych, proste struktury służyły różnym funkcjom i wymurowane były z cegieł o różnym charakterze i jakości. Na przykład, proste ściany nośne, zarówno zewnętrzne jak i wewnętrzne, były częściowo zachowane w przypadku wszystkich budynków poza: B.33/B.34, B.95 i B.141. Wydaje się, że mury te były wzniesione przy użyciu tego samego materiału budowlanego, co odpowiadające im fundamenty, o ile takie struktury zostały zarejestrowane i poddane badaniom. Ściany nośne w przeciwieństwie do dolnych murowanych partii budynków nosiły niekiedy ślady otynkowania. Najbardziej wyraźne i wielokrotne warstwy wykończeniowe tego typu zadokumentowano na wewnętrznej powierzchni ścian budynków: B.81, B.140 i B.142 (Ryc. 26).

W trakcie prac eksploracyjnych w obrębie *TP Area* zadokumentowano kilka przykładów murów, które najprawdopodobniej stanowiły ściany działowe. Wszystkie z tych obiektów były słabo zachowane a ich wysokość nie przekraczała z reguły paru rzędów cegieł. Pomimo to, dobre przykłady ścian działowych ze śladami niepełnego i nierównego otynkowania pochodzą z budynków: B.74-B.62-B.61 oraz B.95 (Czerniak i Marciniak 2005, 2006). Wydaje się, że niektóre z tych murów (np. F.2864) wybudowano używając wtórnie pozyskanego materiału budowlanego w postaci fragmentów cegieł, ław i platform (Czerniak i Marciniak 2007). Stąd też wymiary elementów składających się na te struktury różniły się znacząco. Nie zmienia to faktu, że szerokość przedmiotowych ścian działowych wydaje się być w znacznym stopniu zestandaryzowana i mieściła się w granicach 32 – 36 cm. Co ciekawe opisywany rodzaj ścian wewnętrznych pojawia się stopniowo w miarę użytkowania danego budynku. Wydaje się bowiem, że główne pomieszczenia zamieniały się z czasem w zespół połączonych ze sobą lub wydzielonych małych izb, których funkcja niestety pozostaje w znacznej mierze niejasna. Nie jest też wykluczone, że przedmiotowe ściany wymurowane

były tylko do wysokości kilkunastu lub kilkudziesięciu centymetrów i w efekcie nie sięgały stropu. Warto w tym miejscu wspomnieć, że obrysy zewnętrzne niektórych platform definiowane były poprzez rzędy dwóch lub trzech cegieł. Niewykluczone więc, że niektóre relikty interpretowane jako ściany działowe były w rzeczywistości platformami.



Rycina 35. Mur z niszą (F.2891), który prawdopodobnie związany jest z budynkiem B.103.

Innym typem prostego muru jest konstrukcja oporowa (F.2898), która definiuje przynajmniej częściowo podziemną komorę grobową Sp.327. Obiekt ten był starannie wymurowany od strony wewnętrznej przy generalnym wykorzystaniu cegieł o zestandardyzowanych wymiarach 68 x 36 x 8 cm, aczkolwiek kilka górnych rzędów cegieł (F.2866) wydaje się być zbudowana z cegieł węższych. Niewykluczone, że układ konstrukcyjny komory został wykonana na zasadzie analogicznej jak w przypadku domów i posiadał szerszą partię fundamentową i węższą nadziemną.

Interesującym przykładem, aczkolwiek nie do końca jasnym w odniesieniu do funkcji i pozycji stratygraficznej, jest także prosta konstrukcja murowana (F.2891) z szeroką i głęboką (około 1,15 x 0,65 m) niszą w swoim zachodnim licu (Ryc. 35). Strukturę tę wzniesiono bezpośrednio nad innym

i znacząco różniącym się pod względem koloru i tekstury murem (F.3124), który przypisano domowi B.103. Oba mury był znacząco przechylone w kierunku wschodnim.

Opisane wyżej fundamenty i mury z cegły mułowej pokazują zróżnicowanie i zaawansowanie strategii i technik budowlanych zarówno pomiędzy budynkami, jak i w ramach poszczególnych struktur. Ich właściwe odczytanie jest niezwykle istotne dla prób rekonstrukcji nie tylko rozplanowania zabudowy, ale i późnoneolitycznej organizacji społecznej. Pod tym względem równie ważna jest całościowa forma i konstrukcja budynków, w tym stropy i dachy, które omawiam poniżej.

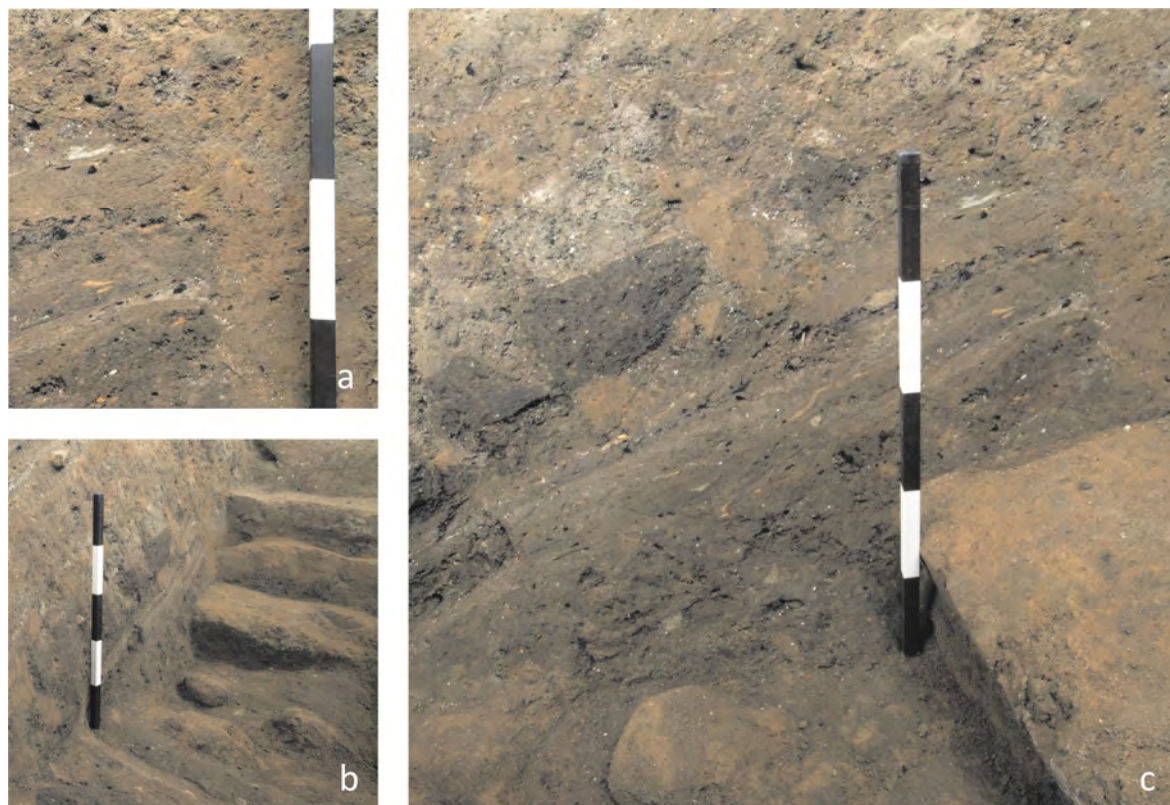
3.2 Stropy i dachy

Z obrębu wykopów TP i GDN nie są znane żadne pozostałości dachów lub stopodachów zachowane *in situ*. Z kolei za jedyny pośredni ślad tego typu konstrukcji można uznać zwalisko (U.17696 i U.17804) w obrębie wnętrza budynku B.103, które zawiera liczne fragmenty cegieł oraz pasy wyraźnie uwarstwionych sedymentów, będących najprawdopodobniej zapisem kolejnych poziomów wykończeniowych stropodachu (Ryc. 36). Warto zwrócić uwagę, że w przypadku wypełnisk niektórych budynków z innych wykopów na tellu zachowały się części zawalonego stropu nad ostatnią kondygnacją ze śladami wapiennych podłóg, ścian działowych i instalacji ogniowych sugerujących podejmowanie czynności domowych lub je uzupełniających (Stevanović 2013; Tringham i Stevanović 2012; patrz także Barański *et al.* 2015b: 119-120). Niestety w przypadku *TP Area* wobec braku dostępu do wyników badań mikrostratygraficznych trudno mi jednak przesądzać o charakterze tego rodzaju depozytów w obrębie wypełniska domu B.103 a w konsekwencji sugerować istnienie całkowicie lub częściowo zadaszonych przestrzeni usytuowanych nad właściwym pomieszczeniem tego, jak i któregośkolwiek innego budynku TP.

Niezależnie od powyższych ograniczeń wydaje się, że forma i konstrukcja stropodachów nie różniły się w sposób znaczący od tych charakteryzujących wcześniejsze domy na tellu. Można przypuszczać, że drewniane belki przekryte matami trzciniowymi i poprzeczne usytuowanymi żerdziami stanowiły swego rodzaju ruszt, na którym umieszczano pokład z gruzu budowlanego o znacznej miąższości, a następnie nieprzepuszczalne dla wody warstwy popiołu i ubitej gliny obmazanej ostatecznie z wierzchu zwykłym tynkiem (patrz Mellaart 1967; Stevanović 2013; por. Kinzel 2014; McHenry 1984; Nabokov 1981). Mary Ganis (2011) i Mirjana Stevanović (2012, 2013) zasugerowały, że cały ten układ mógł się opierać na belce oczepowej usytuowanej, tak jak w przypadku niektórych budynków Pueblo, na koronie muru nośnego z cegły mułowej (Ryc. 37). Dzięki takiemu rozwiązaniu punktowe obciążenia z belek stropowych przeniesione były w bezpieczny sposób na większą powierzchnię nie powodując jednocześnie zniszczeń górnych krawędzi ścian nośnych (patrz McHenry 1984). W tak zaprojektowanym układzie przyścienne konstrukcyjne słupy lub murowane przypory nie są niezbędne⁵⁹, co mogłoby tłumaczyć dlaczego ślady tego rodzaju

⁵⁹ Warto zwrócić uwagę, że James Mellaart (1967: 54-67) podpierając się badaniami etnograficznymi uważał, iż szkielet drewniany stanowił początkowo główny układ konstrukcyjny domów i był tylko osłonięty murem z nieregularnych bloków formowanych na miejscu⁵⁹. Zwrócił jednocześnie uwagę, że z czasem do wznoszenia ścian wykorzystywano coraz większe cegły, co mogło wynikać nie tylko z przejścia przez te mury funkcji konstrukcyjnej, ale także chęci zapewnienia odpowiedniego podparcia stropodachu lub nawet możliwych wyższych kondygnacji (Mellaart 1967: 64). Spostrzeżenia te w części wydają się potwierdzać analizy archeobotaniczne Eleni Asouti (2015: rozmowa prywatna), zdaniem której przynajmniej część przyściennych słupów w klasycznym okresie funkcjonowania osady pełniła najprawdopodobniej wyłącznie funkcję dekoracyjną (patrz także Hodder i Farid 2014: 19-21; Stevanović 2013: 108). w każdym razie konstrukcyjne słupy

elementów nie zostały zadokumentowane w *TP Area*. Co prawda podczas badań terenowych wydzielono w obrębie pomieszczeń Sp.325 i Sp.326 budynku B.74-B.62/B.61 dwa wertykalne obiekty (U.15807 i U.15809) z cegły mułowej jako „swego rodzaju konstrukcyjne elementy związane z dachem” (Czerniak i Marciniak 2008: 74), niemniej w mojej opinii zły stan zachowania tych obiektów pozostawia dużo wątpliwości, co do ich rzeczywistej funkcji. Ponadto, jeden z nich znajdował się w linii pierwotnego lica ściany fundamentowej (F.2881/F.2885).

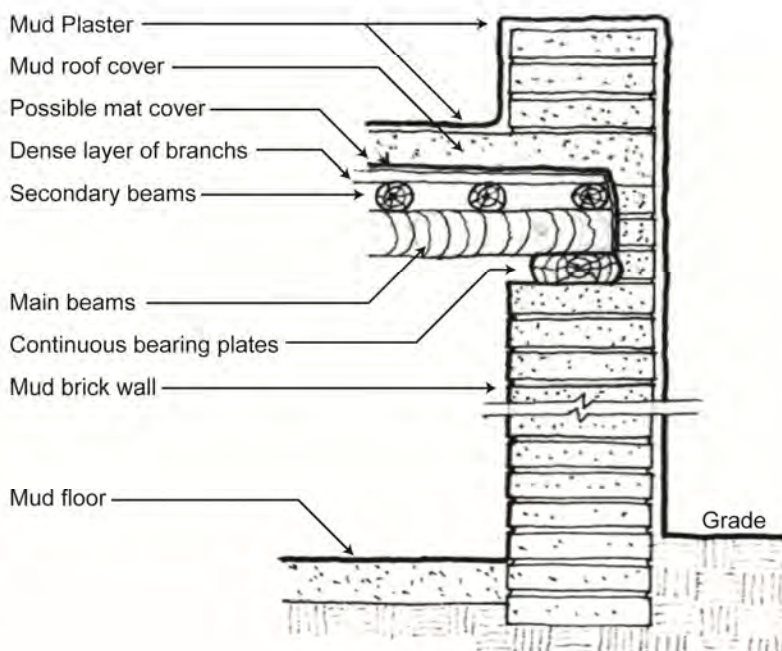
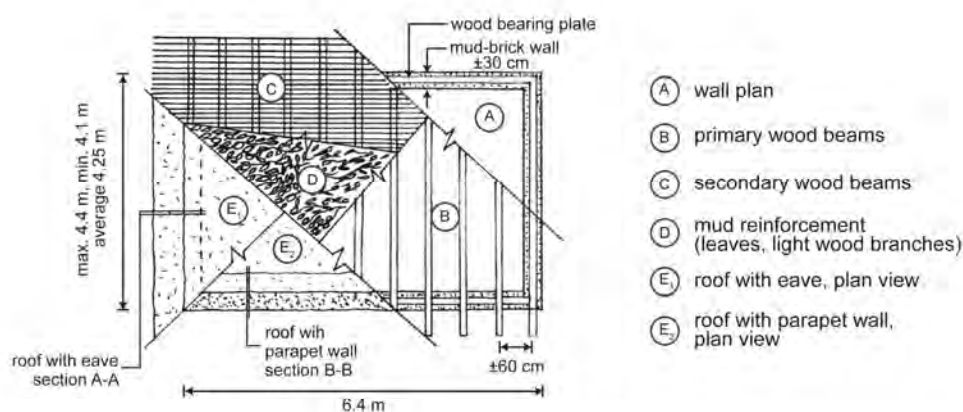


Rycina 36. Profil, na którym widoczne są elementy zawalonego stropodachu (U.17696, U.17887) w obrębie aneksu Sp.346 budynku B.103. Warstwy te są przecięte przez wkop (F.1941) pod fundament (F.2873/F.3161) domu B.95 (fot. A. Golański).

Rozważając o możliwych rozwiązaniach konstrukcyjnych w odniesieniu do podparcia stropów i stropodachów, należy moim zdaniem zwrócić uwagę na fakt, że odległość pomiędzy ścianami nośnymi głównego pomieszczenia Sp.440 budynku B.81 wynosiła od 6,2 do 6,8 m pomiędzy północną i południową ścianą oraz od 7,3 do 7,4 m pomiędzy ścianami: wschodnią i zachodnią. Z kolei w przypadku głównego pomieszczenia Sp.436 domu B.74-B.62/B.61 te wartości były jeszcze większe i zawierały się odpowiednio od 6,6 do 7,3 m lub od 7,1 do 7,3 m. Niezależnie od tego, czy belki stropowe pozyskiwano z opuszczonych domów czy też w wyniku ścięcia dębów lub drzew jałowcowych (patrz Asouti 2013: 143-146) to maksymalna rozpiętość belek nie mogła przekraczać 6 m. Warunek ten wynika z mechanicznych właściwości drewna i jest podparty wieloma przykładami architektury tradycyjnej z różnych okresów historycznych (patrz Tajchman 1989). Dlatego też moim zdaniem elementy nośne stropu lub stropodachu bezwzględnie musiały być podparte na swojej długości przez przynajmniej jedną – poza dwoma ścianami – dodatkową podpore. O ile znanych jest wiele przykładów konstrukcyjnych słupów przyściennych oraz, szczególnie w późniejszym okresie, możliwych murowanych przypór usytuowanych wzdłuż ścian (Hodder i Farid 2014: 21) to elementy

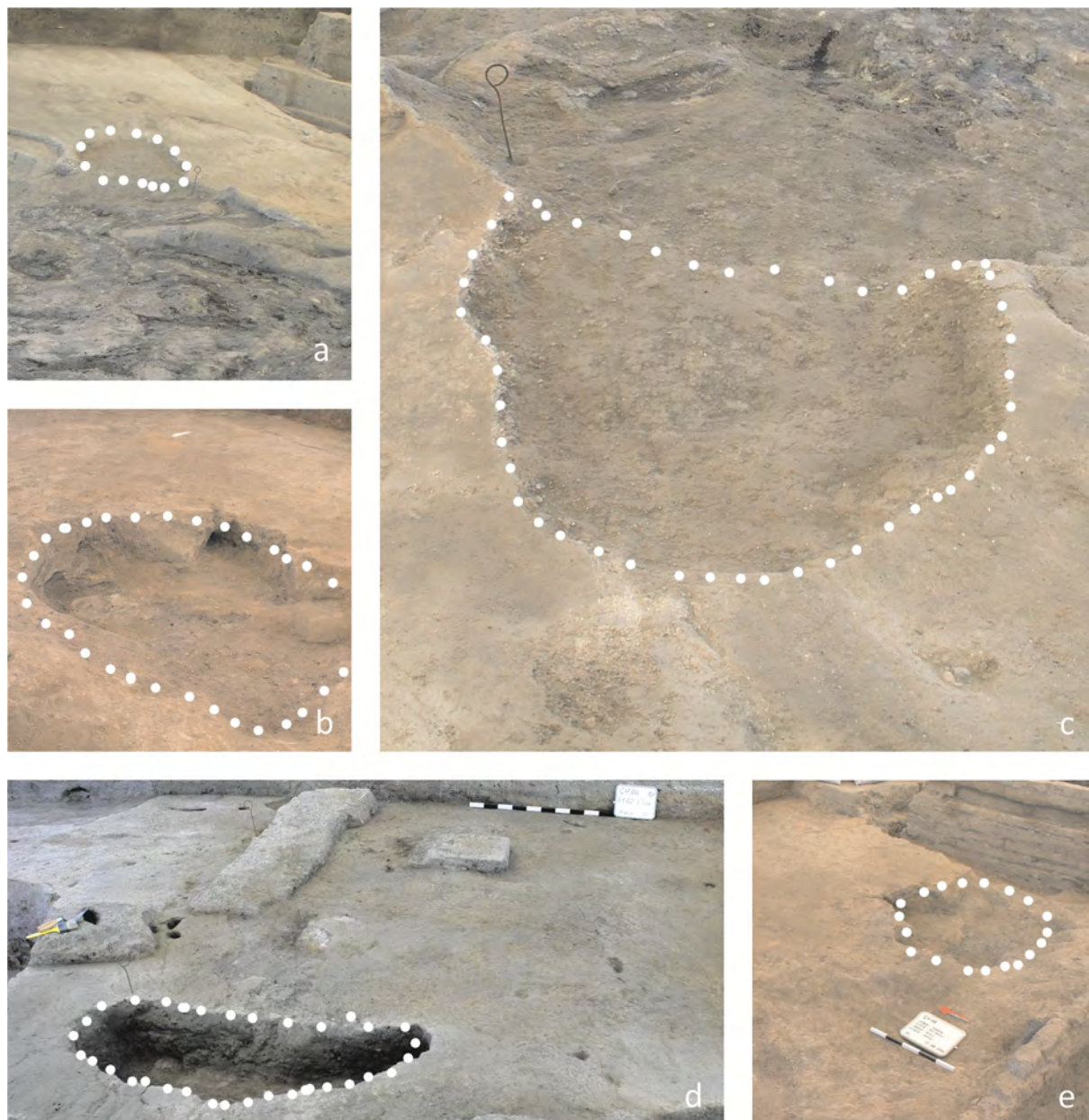
przyścienne spotykane są przede wszystkim w obrębie głównych pomieszczeń, podczas gdy w obrębie aneksów nie występują wcale lub występują bardzo rzadko (Farid 2007a: 53).

te, jak już wspomniałem, nie zostały zadokumentowane w obrębie zarówno wykopu TP, jak i GDN. Dlatego też wysoce prawdopodobne wydaje się mi istnienie centralnych słupów podpierających podciąg, na którym podparte były pozostałe elementy stropu lub stropodachu. Na potwierdzenie tej hipotezy chciałbym wskazać na wydzielenie problematycznych jam (F.3155, F.2888 i być może F.1938) w środkowej części głównych pomieszczeń budynków: B.81, B.74 i B.62/B.61 (Ryc. 38). Uważam, że jamy te mogły w rzeczywistości być śladem dołów po odzyskanych słupach konstrukcyjnych. Co ciekawe tego rodzaju strategii budowlane nie zostały dotąd udokumentowane w obrębie innych wykopów na tellu⁶⁰ i – w takim przypadku - niewątpliwie powinny zostać uznane za znaczące odstępstwo od stosowanych wcześniej praktyk.



Rycina 37. Próba rekonstrukcji stropodachu typowego budynków w Çatalhöyük (Stevanović 2013: Fig. 6.10 i F.6.12).

⁶⁰ Moim zdaniem rozwiązanie to pojawiło się jednak już wcześniej, na co dowodem wydaje się być jama w centralnej części dużego głównego pomieszczenia Sp.531 budynku B.132 (4040.G) w obrębie *North Area*.



Rycina 38. Widok na prawdopodobne jamy po odzyskaniu słupów, które podtrzymywały stropodachach: a) jama F.3155w podłodze domu B.81 (fot. A. Leszczewicz), b) jama F.2888 w podłodze budynku B.74 (fot. A. Leszczewicz), c) jama F.3155 w podłodze domu B.81 (fot. A. Leszczewicz), d) jama F.1938 w podłodze budynku B.62/B.61 (fot. A. Golański), e) jama F.2888 w podłodze domu B.74 (fot. A. Leszczewicz).

O ile kwestia podparcia stropodachu w przypadku większości budynków TP wydaje się być przesądzona, o tyle nie jest jasny sposób zagospodarowania i użytkowania przestrzeni stropodachów. Ian Hodder (2016: rozmowa prywatna) zasugerował, że głównymi ciągami komunikacyjnymi w Çatalhöyük mogły być przestrzenie nad aneksami magazynowymi, podczas gdy prawdopodobnie na wyżej usytuowanych stropodachach pomieszczeń głównych podejmowane były czynności uzupełniające w stosunku do tych wewnątrzdomowych. Uważam tę hipotezę za wysoce prawdopodobną, choć wymaga ona potwierdzenia poprzez wyniki badań współczesnych sobie zespołów budynków, co – jak już argumentowałem – jest trudnym do podjęcia wyzwaniem. Niezależnie jednak od powyższych rozważań wydaje się, że w okresie późnego neolitu przestrzeń płaskich stropodachów wciąż służyła przemieszczaniu się ludzi. Ponadto analizy murów budynków nie wykazały istnienia otworów drzwiowych od strony przestrzeni otwartych, co w pierwszym etapie swoich prac na tellu

sugerował James Mellaart (1962). W efekcie można przyjąć, że to właśnie z poziomu stropodachów wciąż wchodziło do poszczególnych domów, a stosowne otwory wejściowe przekryte były zróżnicowanymi ochronnymi konstrukcjami zadaszającymi (por. Cutting 2005; Düring 2001). Na przykład, istnienie takiego standardowego otwarcia nad piecem usytuowanym przy ścianie południowej jest bardziej niż prawdopodobna w przypadku budynku B.81. Potwierdzałyby to także podłużne zagłębienie lub jama (F.3103) w podłodze i sąsiadujący z nią depozyt specjalny w postaci naczynia ceramicznego (U.17869), co stanowi przesłankę do lokalizacji w tym miejscu drabiny (por. Hodder i Farid 2014: 23). Podobne rozwiązanie zastosowane było w przypadku budynków: B.140 i B.142. w obrębie drugiego z nich przy relikcie pieca kopulastego (F.7697) przy południowej ścianie (F.8082), również zanotowano prawdopodobną jamę (F.8070) po drabinie oraz ułożoną w jej pobliżu misę ceramiczną.



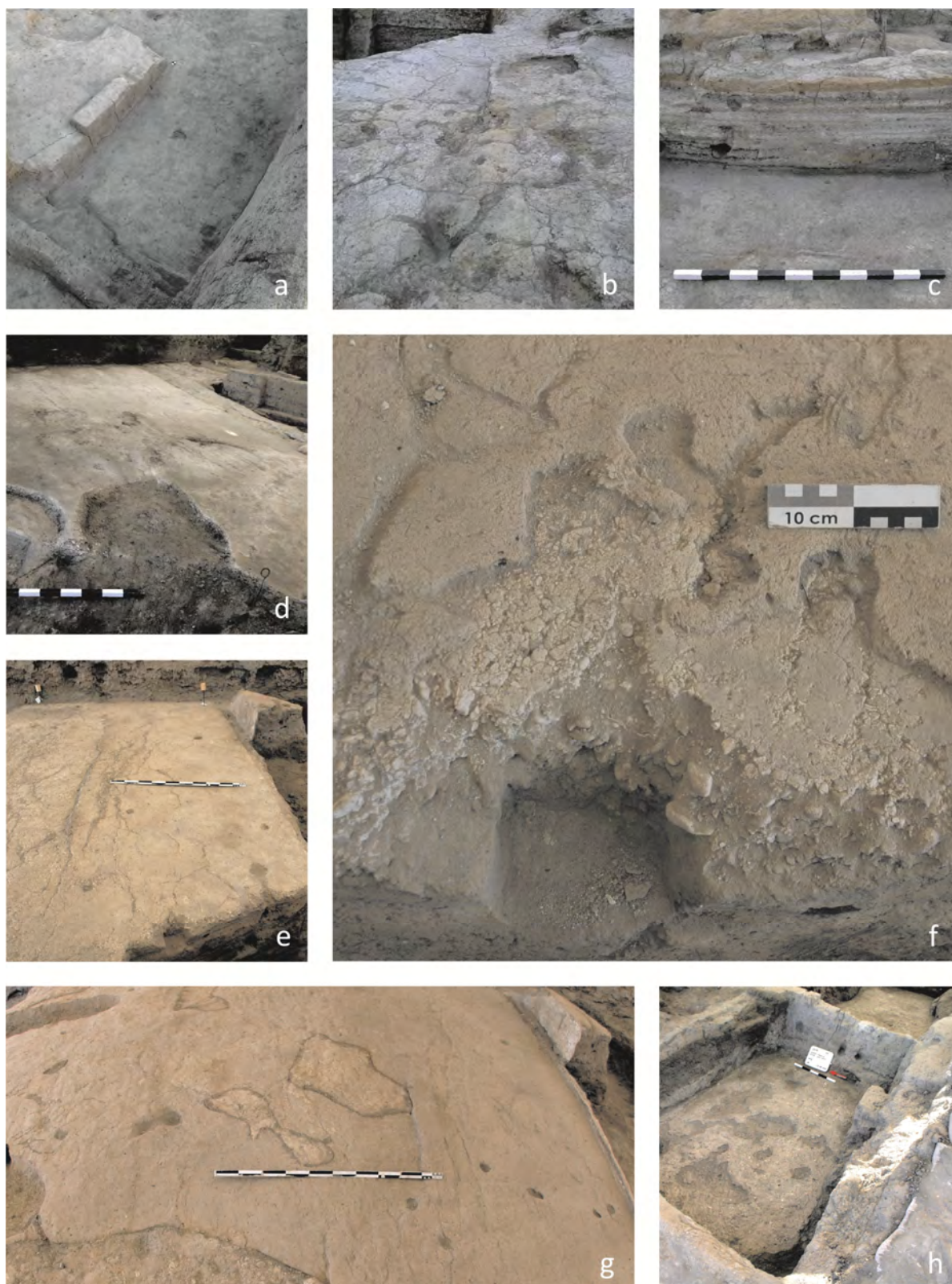
Rycina 39. Artystyczna rekonstrukcja typowego zespołu budynków w Çatalhöyük (rys.: J.G. Swogger / I. Kirkpatrick).

Na koniec warto zadać sobie pytanie czy budynki późnoneolityczne mogły być wielopoziomowe. Studia etnograficzne pozwalają twierdzić, że mury o szerokości 23-26 cm stanowią układ konstrukcyjny odpowiedni dla budynku jednokondygnacyjnego, podczas gdy te o szerokości 30-35 cm mogą przenieść obciążenia nie tylko ze stropodachu, ale i drugiej kondygnacji (Agarwal 1981). Biorąc pod uwagę, że w przypadku większości analizowanych budynków mamy do czynienia z murami o szerokości 40-45 cm, które dodatkowo posadowione były na masywnych fundamentach hipoteza o istnieniu budynków dwukondygnacyjnych z dodatkową użytkową przestrzenią stropodachu wydaje się być prawdopodobna (por Cutting 2005; Hodder 2009) (Ryc. 39). Rozwiązanie takie nie odbiegałoby zresztą od trendów obserwowanych w obrębie innych bliskowschodnich mega-osad, o czym wspominałem, charakteryzując przemiany neolitycznego środowiska zbudowanego.

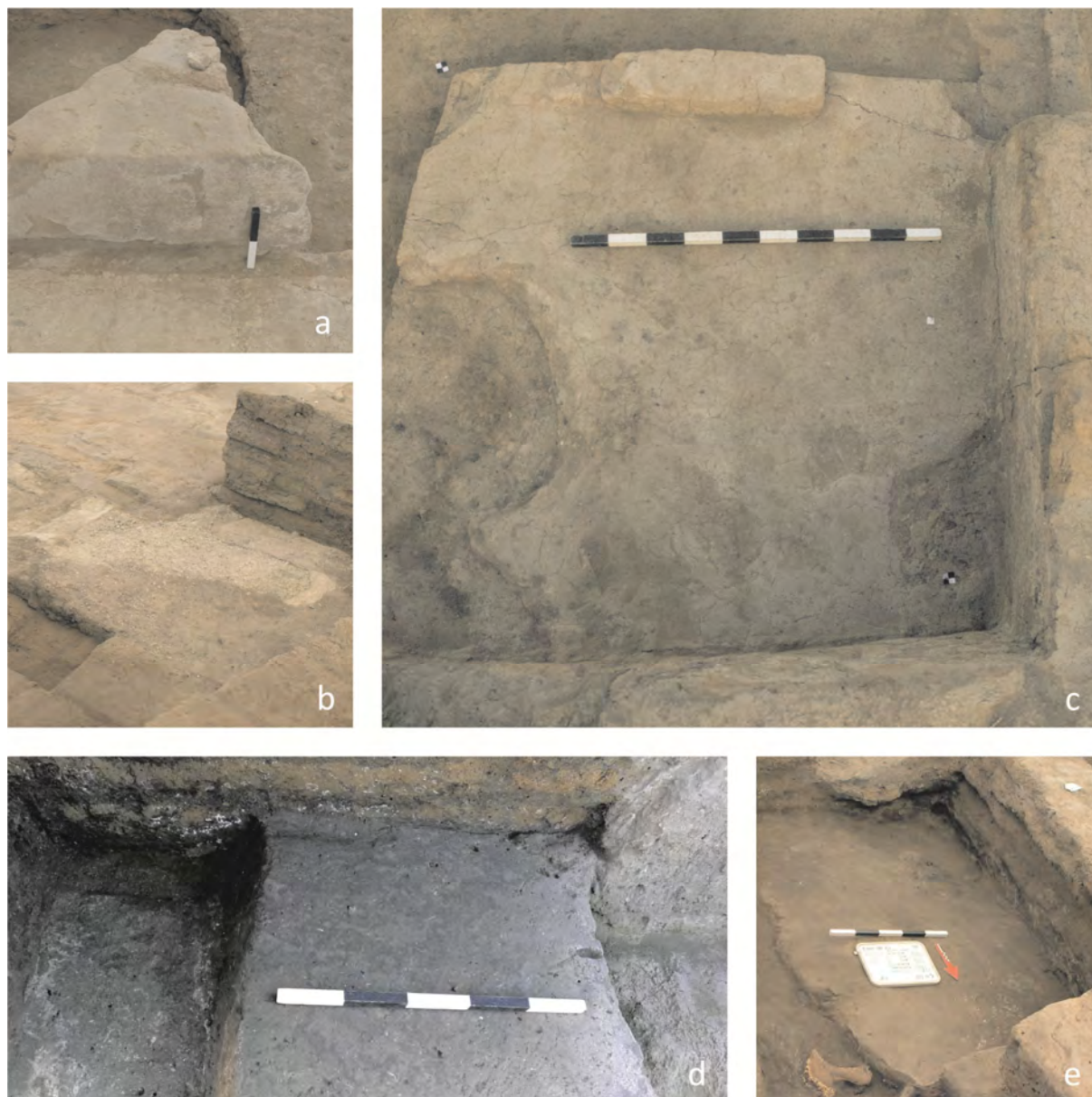
3.3 Wnętrze elementy architektoniczne

Większość budynków odsłoniętych w obrębie wykopu TP pozbawionych było tradycyjnych elementów wyposażenia i wystroju wnętrza charakterystycznych dla wcześniejszych faz osadniczych na tellu (por. Hodder 2006). Na przykład, obiekty architektoniczne takie jak ławy, platformy z powiązаными pochówkami, instalacje ogniowe, obiekty magazynowe, słupy przyścienne, dekoracyjne pilastry, malowidła i reliefy naścienne wydają się składać w bardzo ograniczonym zakresie na program wnętrz późnoneolitycznych budynków. Pewnym wyjątkiem są domy: B.81 i B.103 przypisane najstarszym fazom osadniczym w sekwencji TP, a także współczesne z nimi lub nieznacznie wcześniejsze domy: B.140 i B.142 usytuowane w obrębie wykopu GDN. Niemniej różnica pomiędzy tymi a innymi neolitycznymi budynkami na tellu jest także zauważalna.

W podrozdziale poświęconym materiałom i wyrobom budowlanym wspomniałem o dystyngtywnych podłogach na podkładzie z pełnym pokryciem ze żwiru (F.3133/F.3135, F.6020 i U.30427) w obrębie odpowiednio budynków: B.74-B.62/B.61, B.81 (Ryc. 40d-f) (patrz Czerniak i Marciniak 2006: 106-109; 2008: 80-82) i być może B.141 (A.III.3) (Barański 2013a: 222). Podobną charakterystykę posiadała także sekwencja platform (F.2864-F.3143-F.3146-F.6006) w południowo-wschodnim narożniku głównego pomieszczenia Sp.440 domu B.81 (Czerniak i Marciniak 2008: 82) (Ryc. 41b). Równie wyróżniającym się rozwiązaniem, w odniesieniu do wykopu TP, są podłogi (F.3145, F.3139 i F.3132) oraz platforma (F.2892) w obrębie wczesnej i środkowej fazy użytkowania głównego pomieszczenia (odpowiednio Sp.436, Sp.429 i Sp.438) budynku B.61/B.62-B.74, które wykonane były z ubitej gliny obmazanej cieżką warstwą zaczynu wapiennego (Czerniak i Marciniak 2006: 106-109; Marciniak i Czerniak 2007b) (Ryc. 40g; Ryc. 41d). z tą sekwencją związane były także otynkowane i całkowicie lub częściowo (po obrysie) murowane platformy (F.3102 i F.6016) (por. Hodder i Farid 2014), które jednak charakteryzowały się znacznym stopniem zniszczenia. Stosunkowo dobrze zachowane obiekty (F.8060, F.8063 oraz F.3119 i F.3122) w postaci płaskiej podwyższonej otynkowanej powierzchni zadokumentowano z kolei w obrębie pomieszczenia magazynowego Sp.555 budynku B.81 (platforma z charakterystycznym pionowym występem), połączonym z nim pomieszczeniem Sp.561 (Barański *et al.* 2015: 251) (Ryc. 40a; Ryc. 41c) oraz w północnej i południowej części aneksu Sp.346 domu B.103 (Czerniak i Marciniak 2008: 79-80) (Ryc. 41e). Platformy przedzielone charakterystycznymi ławami (np. F.8050, 8051, F.8052-F.8056-F.8086 i F.7698) - najbardziej klasyczne w odniesieniu do układu i formy, choć znacznie zniszczone w wyniku prac eksploracyjnych w latach 60. XX wieku - zdefiniowano wzdłuż wschodniej ściany głównego pomieszczenia Sp.537 budynku B.142. Pod tymi obiektami usytuowane były zresztą liczne szczątki ludzkie (F.7690, F.7699, F.8080 i U.22808), co stanowi jedyny potwierdzony przykład tego rodzaju pochówków w obrębie wykopów TP i GDN (Barański *et al.* 2015: 254-255).



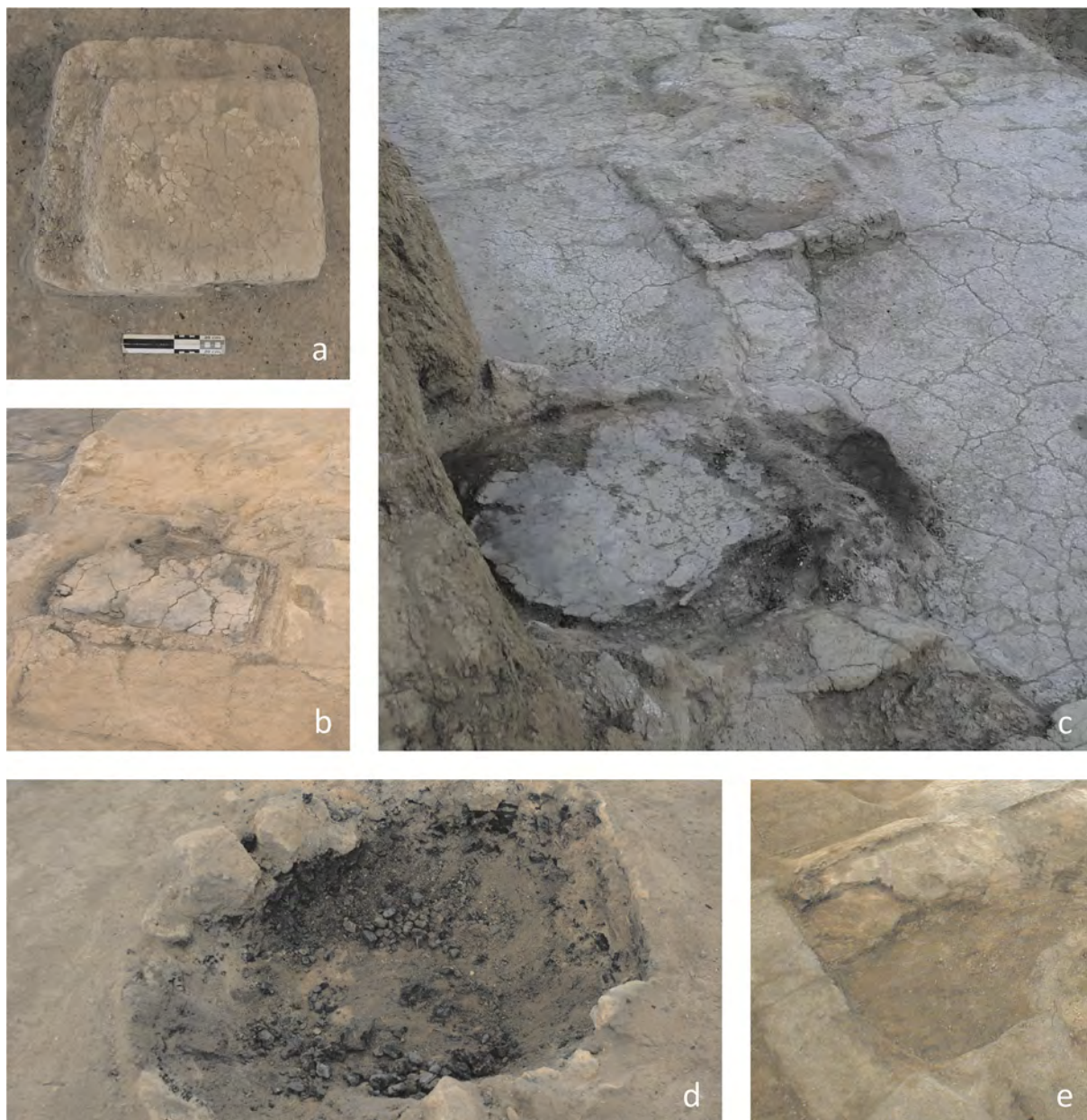
Rycina 40. Widok na różne rodzaje podłóg późnoneolitycznych: a) marglowa podłoga w pomieszczeniu Sp.555 budynku B.81 (fot. M.Z. Barański), b) wapienna podłoga w pomieszczeniu Sp.540 domu B.140 (fot. M.Z. Barański), sekwencja podłóg widoczna w profilu w południowo-wschodnim narożniku izby Sp.537 budynku B.142 (fot. M.Z. Barański), e-f) podłoga na podkładzie ze żwiru w pomieszczeniu Sp.438 domu B.62/B.61 (fot. J. Quinlan), g) podłoga gliniana w izbie Sp.438 budynku B.62/B.61 (fot. J. Quinlan), podłoga na żwirze w pomieszczeniu Sp.325 budynku B.74 (fot. A. Leszczewicz).



Rycina 41. Widok na relikty: a) murowanej platformy (F.3134) w północno-wschodniej części pomieszczenia Sp.438 budynku B.61/B.62 (fot. A. Golański), b) platformy na podkładzie z kamieni rzecznych (F.6006) w południowo-wschodniej części pomieszczenia Sp.440 budynku B.81 (fot. A. Leszczewicz), c) platformy z pionowym występem (F.8060) w południowej części pomieszczenia Sp.555 budynku B.81 (fot. M.Z. Barański), d) platformy uformowanej z ubitej ziemi (F.2892) w północno-wschodniej części pomieszczenia Sp.436 budynku B.74 (fot. M.Z. Barański), e) platformy (F.3119) w południowej części pomieszczenia Sp.346 budynku B.103 (fot. A. Leszczewicz).

Zdecydowanie w mniejszej ilości obecne lub zachowane były instalacje ogniowe (Ryc. 42). w obrębie głównych pomieszczeń budynków: B.140 i B.142 relikty zespołu kopulastych pieców (odpowiednio F.7651 i F.7697) oraz prostokątnych w planie podwyższonych palenisk (F.7652 i F.8054) i pojemników na ciecze (F.7650 i F.8053) znajdują się przy ścianach południowych (Barański *et al.* 2015: 254, 257). Prawdopodobnie podobny układ charakteryzował także wnętrze największej izby domu B.81, chociaż znaczny stopień zniszczenia południowo-zachodniej części tego pomieszczenia nie pozwala na ostateczny osąd w tej sprawie. Faktem natomiast jest usytuowanie przy ścianie południowej tego budynku pieca (F.3181) o nietypowym regularnym planie (Marciniak i Czerniak 2008: 82). Ponadto, w pomieszczeniu magazynowym Sp.555 domu B.81, obok platformy z pionowym występem, zadokumentowano niewielkie palenisko (F.8061) (Barański *et al.* 2015b: 251). Podobny

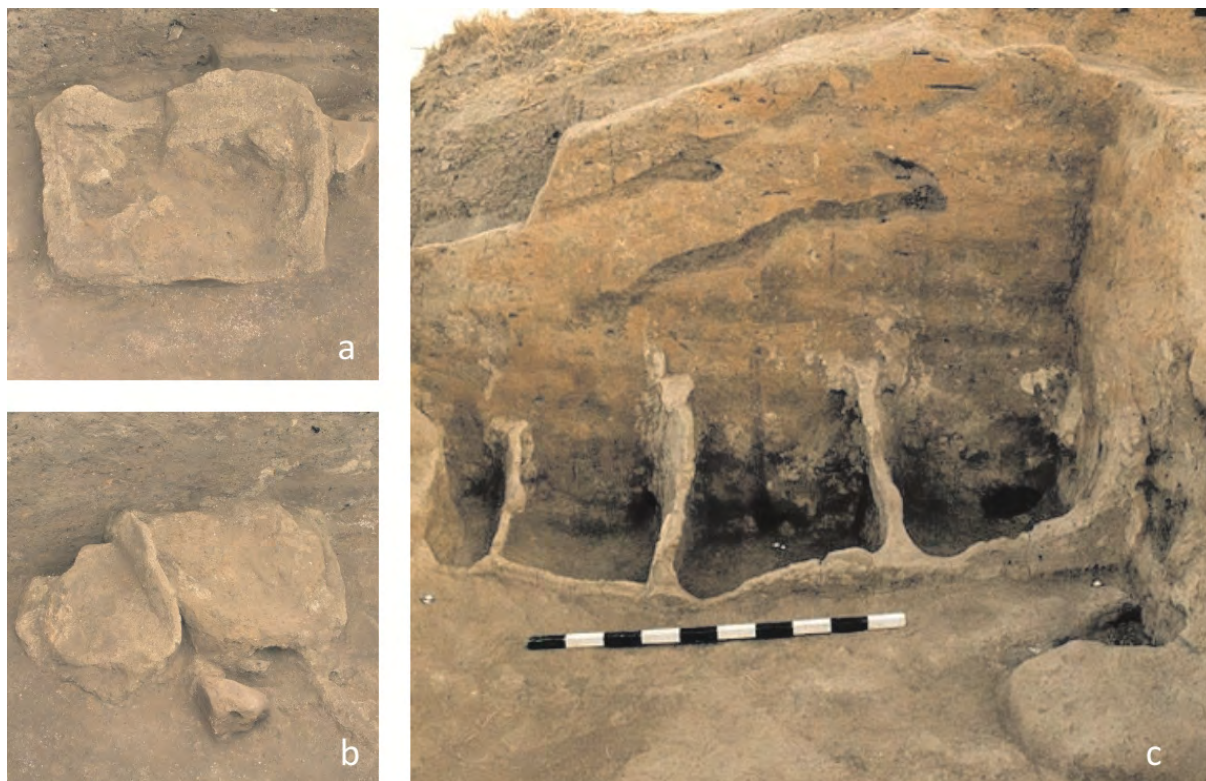
obiekt usytuowany był także w centralnej części głównej izby Sp.429 budynku B.74-B.62/B.61 (Czerniak i Marciniak 2006: 110). Relikty pieców kopulastych (F.3101 i F.993) znaleziono ponadto w południowo-wschodniej części pomieszczenia Sp.346 domu B.103 (Marciniak i Czerniak 2008: 80) oraz w południowo-zachodnim narożniku pomieszczenia Sp.433 domu B.33/B.34 (Czerniak i Marciniak 2003). Wspomnieć należy także o wolnostojącym piecu (F.1940) związanym najprawdopodobniej z budową pomieszczeń Sp.325 i Sp.326 oraz śladach ognisk w obrębie przestrzeni otwartych (Marciniak i Czerniak 2007b: 120-121).



Rycina 42. Widok na relikty instalacji ogniowych: a) paleniska (F.1933) w centralnej części pomieszczenia Sp.429 budynku B.62/B.61 (fot. A. Golański), b) pieca (F.3181) wbudowanego w basen (F3156) w południowej części pomieszczenia Sp.440 budynku B.81 (fot. A. Leszczewicz), c) zespołu pieca kopulastego (F.7651), basenu (F.7650) i paleniska (F.7652) w południowej części pomieszczenia Sp.540 budynku B.140 (fot. M.Z. Barański), d) pieca (F.1940) w centralnej części przestrzeni Sp.435 (fot. A. Leszczewicz), e) pieca (F.993) w południowo-zachodnim narożniku pomieszczenia Sp.433 budynku B.33 (fot. A. Golański).

Z innych obiektów architektonicznych na uwagę zasługuje zespół czterech pojemników na żywność (F.8081), które zadokumentowano w północnej części pomieszczenia Sp.555 budynku B.81

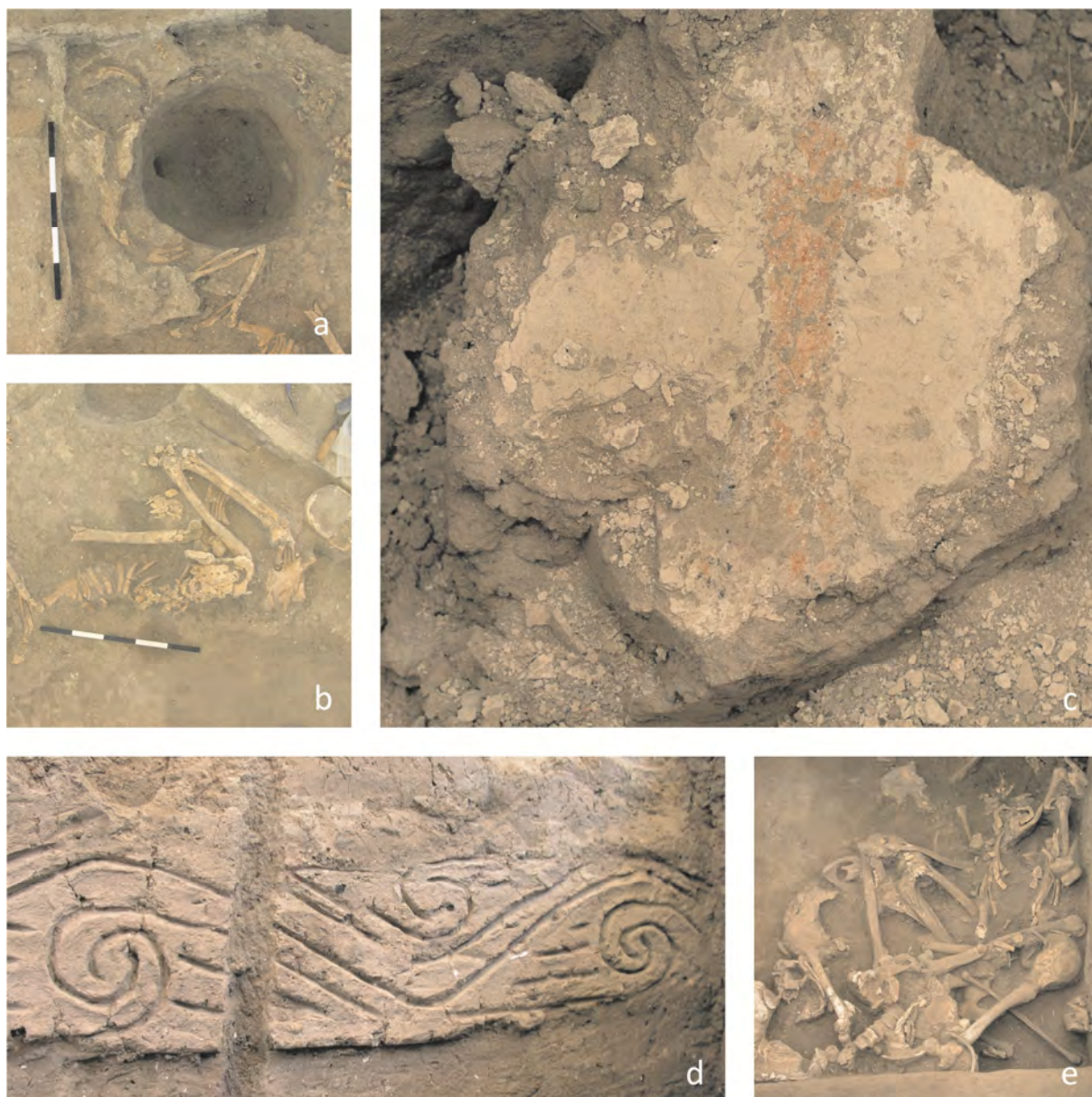
(Barański *et al.* 2015b: 250-251) (Ryc. 43). Wykonane one były w technice polegającej na formowaniu danego obiektu z gliny ilastej na mokro a następnie pokrywaniu go ochronną warstwą zaczynu wapiennego. Pojemniki na żywność (F.3100 i F.3108), choć nie tworzące tak zwartej całości, zadokumentowano także wzdłuż wschodniej ściany pomieszczenia Sp.346 budynku B.103 (Czerniak i Marciniak 2008: 78-80). Podobne obiekty usytuowane były najprawdopodobniej także w północno-zachodnim narożniku izby Sp.540 domu B.140.



Rycina 43. Widok na: a) pojemnik (F.3100) przy wschodnim murze w północnej części pomieszczenia Sp.346 budynku B.103 (fot. A. Leszczewicz), b) zespół prawdopodobnych pojemników (F.3108) przy wschodnim murze w środkowej części pomieszczenia Sp.346 budynku B.103 (fot. A. Leszczewicz), c) zespół pojemników (F.8081) przy północnym murze pomieszczenia Sp.555 budynku B.81 (fot. M. Saj).

Co ciekawe, w obrębie wykopów TP i GDN natrafiono na wyjątkowo nieliczne przykłady symbolicznej sztuki naściennej w postaci malowideł, rytów lub zróżnicowanych instalacji. W tym zakresie wyróżniają się komory grobowe Sp.248 i Sp.327 (Ryc. 44). Oba te obiekty były miejscem pochówku kilku osób i charakteryzowały się stosunkowo wysokim poziomem wykończenia (Czerniak i Marciniak 2005: 80-84; Marciniak i Czerniak 2008: 76-78). Na przykład, najbardziej charakterystycznym elementem Sp.327 był wewnętrzny prawdopodobnie dookólny relief naścienny (F.2898), który jednak zachowany był tylko na trzech ścianach. Ta dekoracja wykonana była z tynku marglowego w formie wertykalnego pasa ze spiralnym motywem rytym. Dodatkowo, w obrębie komory znaleziono najprawdopodobniej celowo zdeponowany fragment ściany pokryty tynkiem, który pochodził z nieznanego budynku. Na elemencie tym znajdowało się przedstawienie stojącej postaci, prawdopodobnie mężczyzny, z tułowiem przewiązanym skórą dzikiego kota i wzniesionymi rękoma. Obok pokrytych czerwonym barwnikiem krawędzi instalacji ogniowych oraz fragmentu zachodniej ściany pomieszczenia Sp.440 budynku B.81 (Marciniak i Czerniak 2008) są to jedyne przykłady malowideł naściennych. Niewykluczone jednak, że i komora Sp.248 charakteryzowała się szczególnym poziomem dekoracji. Niestety, jej wykończenie - poza śladami tynku na ścianach oraz

ławą z przytwierdzonym bukranionem - jest trudne w rekonstrukcji ze względu na skalę zniszczeń tego obiektu. Czaszki byków mogły zdobić także ścianę lub ściany w pomieszczeniu Sp.346 budynku B.103, o czym wydają się świadczyć fragmenty tych instalacji znalezione na podłodze (Marciniak i Czerniak 2008: 80).



Rycina 44. Widok na fragmenty komór grobowych, w tym: a) pochówek (F.3200) i bukranion przy ławie (F.3117) w komorze Sp.248 zniszczony przez późniejszą jamę (fot. A. Golański), b) pochówek (F.3200) w komorze Sp.248 zniszczony przez jamę grobową z okresu seldżuckiego (fot. A. Golański), c) fragment tynku z malowidłem (U.17645) znaleziony w obrębie komory Sp.327 (fot. A. Leszczewicz), d) fragment pasa dekoracyjnego (F.2898) w komorze Sp.327 (fot. A. Leszczewicz), e) przemieszane szczątki ludzkie (F.6000) w obrębie komory S.327 (fot. A. Leszczewicz).

Nie jest jasne to, do jakiego stopnia ogólny brak wyposażenia i dekoracji spowodowany jest zmianami w późnym neolicie, a jaki wpływ na to miały procesy podepozycyjne, włączając w to – szczególnie w obrębie *GDN Area* - prace wykopaliskowe w latach 60. ubiegłego wieku. Ta problematyczna kwestia pozostawia dużo miejsca na zróżnicowane interpretacje i w konsekwencji odmienne próby rekonstrukcji charakteru wnętrza poszczególnych budynków.

ROZDZIAŁ V. PÓŹNONEOLITYCZNA ORGANIZACJA PRZESTRZENNA ZABUDOWY

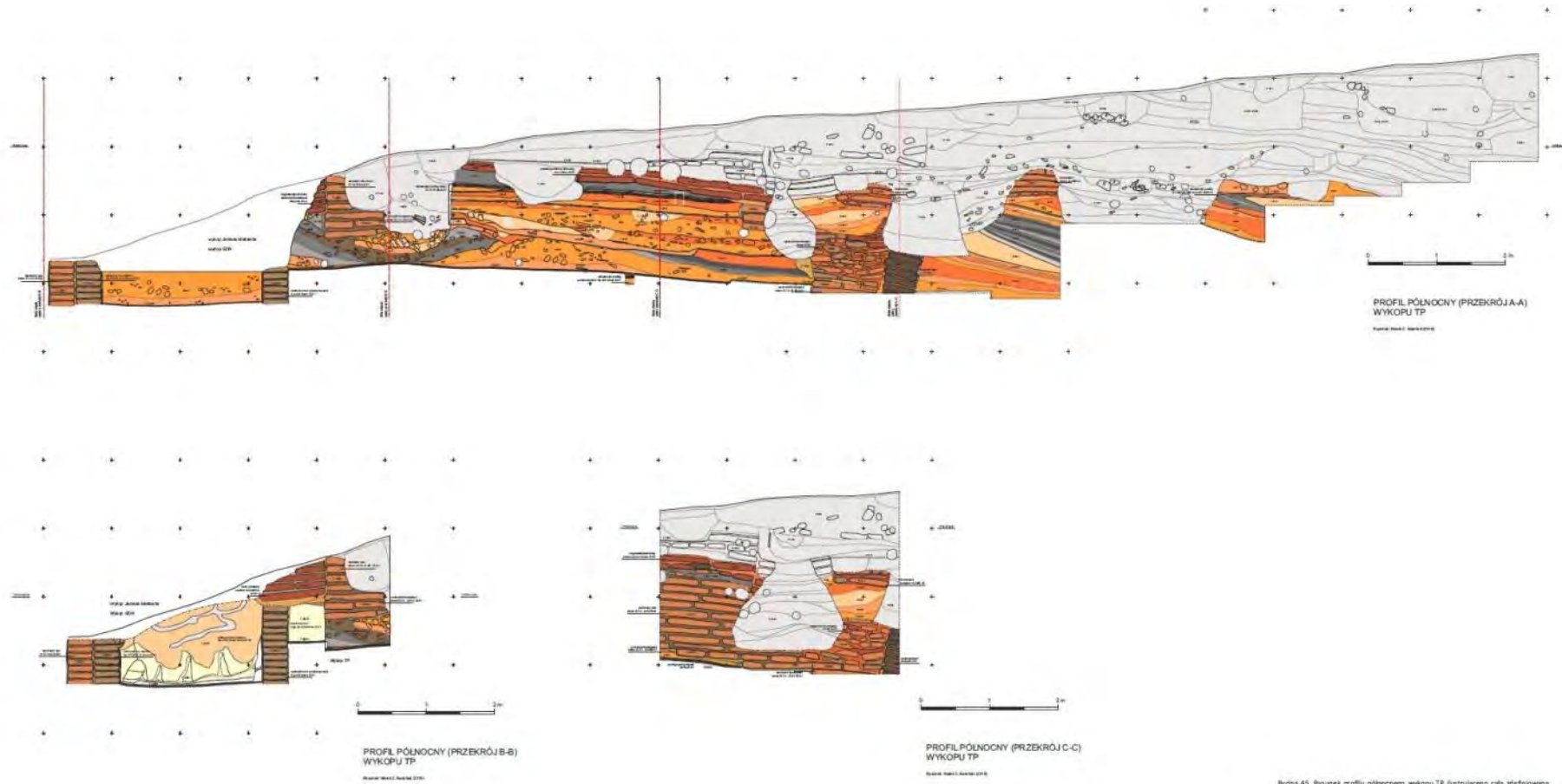
Interpretacji stratygrafii TP od początku towarzyszą różnicowane i obiektywne trudności. Są one moim zdaniem wciąż aktualne pomimo niedawnego sprzężenia macierzy Harrisa depozytów TP z wynikami badań radiowęglowych (Marciniak *et al.* 2015b). Wznowione badania w obrębie TP Area, jak i bezpośrednio z nim sąsiadującego dawnego wykopu Jamesa Mellaarta (Barański *et al.* 2015; Barański i Regulska 2016) pozwalają w moim przekonaniu na alternatywne spojrzenie na tę problematykę i rozstrzygnięcie niektórych istotnych wątpliwości. Przedstawione poniżej rozważania o możliwej późnoneolitycznej organizacji przestrzennej opierają się w znacznym stopniu na nowych obserwacjach stratygraficznych i architektonicznych, które zilustrowałem w postaci planów poziomych i – co szczególnie istotne – pionowych⁶¹. Ważnym elementem tych analiz jest reinterpretacja niektórych relacji pomiędzy budynkami, a także weryfikacja podziału środowiska zbudowanego, w tym wewnątrz wieloizbowych domów, na horyzontalne poziomy stratygraficzne.

1. Reinterpretacja stratygrafii TP i Jamesa Mellaarta

Specyfiką prac wykopaliskowych prowadzonych w obrębie TP Area - wynikającą z zakorzenienia w określonej tradycji wykopaliskowej - było skupienie się na badaniu wykopu i relacji pomiędzy wszystkimi odkrywanymi w jego obrębie strukturami na równi z rozpoznaniem rozplanowania poszczególnych wewnątrz danego budynku. Dzięki takiemu podejściu zachowany został profil północny wykopu, na którym widoczna jest praktycznie cała sekwencja stratygraficzna TP (Ryc. 45a). Powtórna analiza tego profilu, w tym wykonanie nowych odkrywek (Ryc. 45b-c) pod kątem sprawdzenia relacji architektonicznych pomiędzy problematycznymi strukturami umożliwia podjęcie reinterpretacji dotychczasowych ustaleń. Pomocne w tym względzie stały się także dodatkowe przekroje wygenerowane przeze mnie na podstawie archiwalnych planów i fotografii, a także pomiarów wysokościowych wykonanych w ramach prac dokumentacyjnych TP. Cięcia te zostały poprowadzone w miejscach uznanych za ważne, a więc w poprzek komory grobowej Sp.327 (Ryc. 79), a także na osi północ-południe wzdłuż budynku B.74-B.62/B.61 (Ryc. 69). Z oczywistych powodów ilustracje te są jednak mniej dokładne i kompletne niż rysunek profilu północnego, który stanowi odzworowanie sekwencji stratygraficznej w oparciu o dokumentację fotogrametryczną.

Zmiany w stosunku do obecnej interpretacji dotyczą przede wszystkim komory grobowej Sp.327 oraz domów B.74, B.62 i B.61, które traktuję jako jeden, choć kilkakrotnie przebudowany budynek. Jednocześnie - opierając się na przeprowadzonych badaniach - sugeruję wykreślenie z analiz takich struktur jak budynki: B.72 i B.73 oraz wprowadzenie do analiz nowego obiektu – domu B.95.

⁶¹ Ilustracje tego typu są rzadko sporządzane w ramach prac archeologicznych na tellu, co wynika z eksploracji całych wewnątrz domów metodą warstw naturalnych i zachowywania w formie świadków murów tychże obiektów.

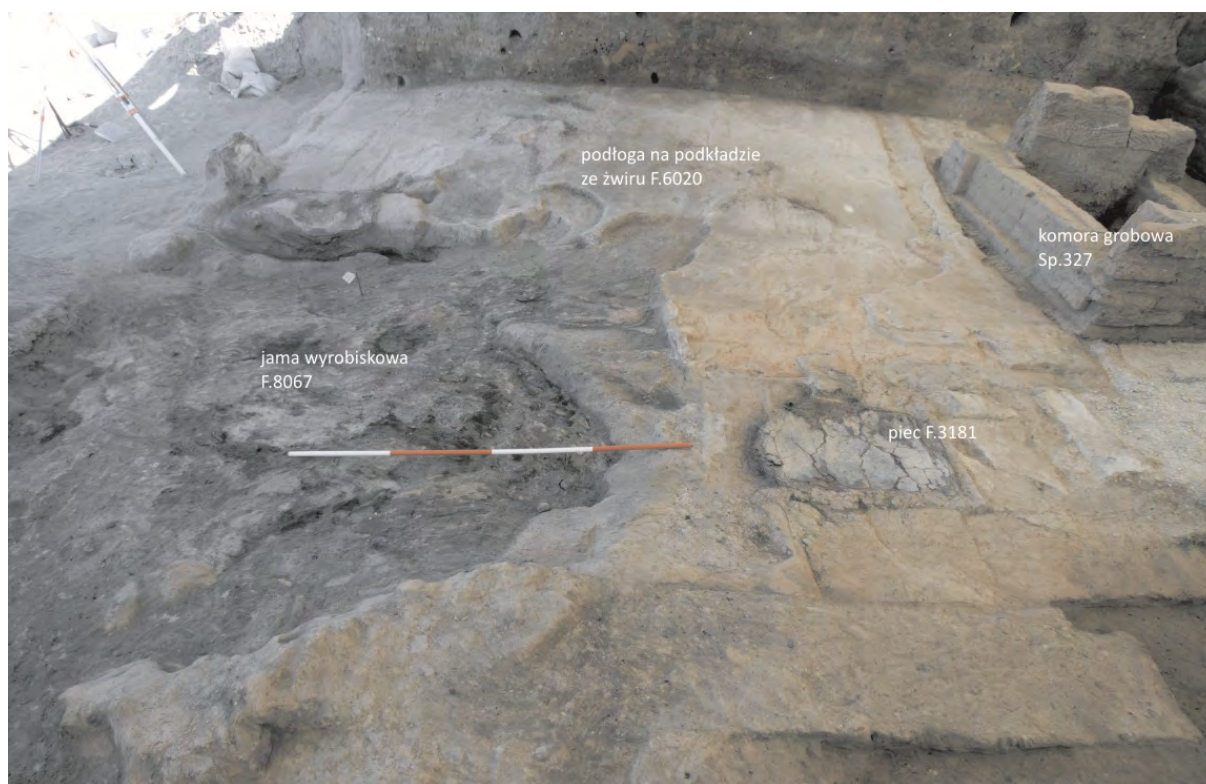


Rycina 45. Rysunek profilu północnego wykopu TP ilustrującego całą zdefiniowaną sekwencję stratygraficzną (opracowanie własne na podstawie fotografii J. Quinlana).

Rycina 45. Rysunek profilu północnego wykopu TP ilustrującego całą zdefiniowaną sekwencję stratygraficzną: a) przekrój A-A, b) przekrój B-B, c) przekrój C-C (opracowanie własne na podstawie fotografii J. Quinlana).

1.1 Budynek B.81 i jego kontekst.

W ramach badań przeprowadzonych w obrębie wykopu TP zdefiniowano jedynie zarys głównego pomieszczenia Sp.440 budynku B.81, które wydzielone było z przestrzeni za pomocą tylko częściowo zachowanych murów (F.2874, F.2870, F.2877 i F.2878⁶²) (Czerniak i Marciniak 2008) (Ryc. 46; patrz także Ryc. 47). Wnętrze to, o całkowitej powierzchni użytkowej około 47m², posiadało charakterystyczną rozległą podłogę na podkładzie z drobnych kamieni rzecznych (F.6020), która była lekko obniżona w stosunku do sąsiadujących obiektów, takich jak: wschodnie platformy (F.6003 i F.3143-F.3146-F.6006) oraz pewnego rodzaju ściana (F.2880) – pierwotnie najprawdopodobniej w konstrukcji szachulcowej – usytuowana wzdłuż platform i zachowana jedynie w postaci wgniecenia w podłodze. Wszystkie te objekty zostały przecięte przez niezwiązany z budynkiem B.81 rozległy wkop (F.3160) pod komorę grobową Sp.327. Dalej, przy południowej ścianie fundamentowej (F.2877) znajdował się basen (F.3156) z wbudowanym późniejszym piecem (F.3181) na planie prostokąta. Co ciekawe, zachowana krawędź pionowa pierwszego z tych obiektów nosiła ślady czerwonego barwnika. Wzdłuż wschodniego boku basenu zauważalne było kolejne podłużne wgłębienie lub jama (F.3103), która mogła stanowić miejsce posadowienia drabiny. Przy niej znaleziono bowiem charakterystyczny depozyt specjalny (U.17869) w postaci naczynia ceramicznego zagłębionego w podłodze.



Rycina 46. Widok od południa na relikty budynku B.81 (fot. J. Quinlan).

Jest wysoce prawdopodobne, że jedno lub dwa paleniska usytuowane były w południowo-zachodniej części głównego pomieszczenia Sp.430 tuż przy piecu (F.3181), ale niestety nie zachowały się one, będąc najprawdopodobniej zniszczone przez rozległą neolityczną jamę wyrobiskową

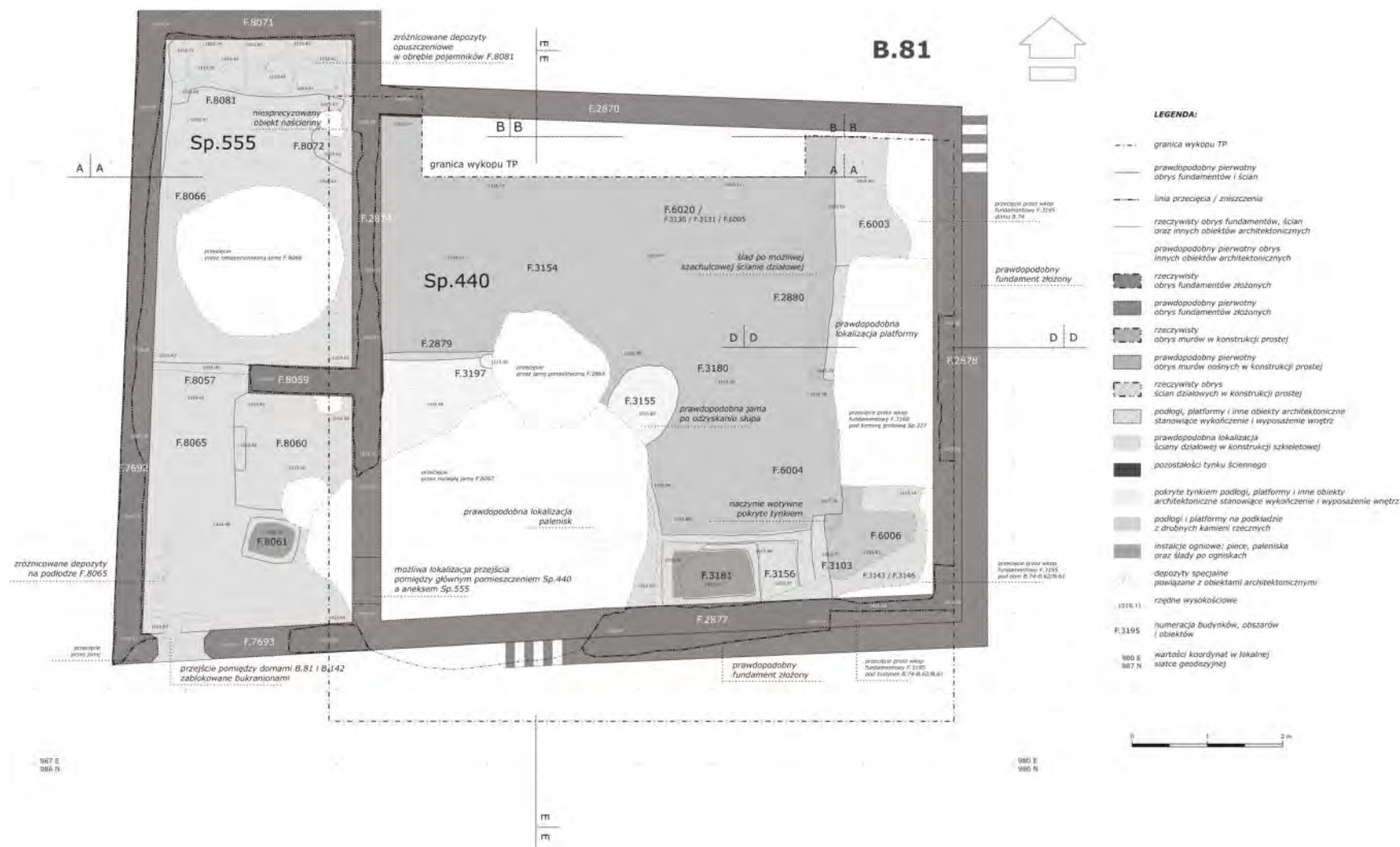
⁶² Mury F.2877 i F.2878 – co zasygnalizowałem w Rozdziale IV – były prawdopodobnie pozostałością fundamentów o konstrukcji złożonej typu A.

(F.8067). Druga jama (F.2868) - już związana z aktywnością poneolityczną - usytuowana była blisko centralnej części pomieszczenia. Przecięła ona podłogę (F.6020), w tym ślad po niesprecyzowanej lekkiej konstrukcji (F.2879/F.3197), prostopadłej do zachodniej ściany (F.2874). Kolejna jama o nieznanym przeznaczeniu (F.3155) usytuowana była w centralnej części pomieszczenia. Jak już wspominałem istnieją silne przesłanki przemawiające za tym, iż jest to dołek po odzyskanym słupie, który najprawdopodobniej podtrzymywał podciąg stropodachu, czego do tej pory nie brano pod uwagę. Zadokumentowane bezpośrednio przy tej jamie niesprecyzowane wgniecenie (F.3180) w podłodze jastrychowej może z kolei stanowić moim zdaniem ślad po dodatkowym słupie posadowionym na swego rodzaju bazie z drewna lub kamienia (na przykład w postaci nieużywanego żarna).

Na podstawie analiz planów archiwalnych (patrz Ryc. 24) przypuszczano, że po zachodniej części Sp.440 i jednocześnie poza granicą wykopu TP znajduje się pomieszczenie gospodarcze. Późniejsze badania (Barański *et al.* 2015b) pozwoliły na potwierdzenie tej hipotezy (Ryc. 47). Pomieszczenie Sp.440 i przylegająca do niego izba Sp.555 wydzielone zostały z przestrzeni poprzez wspólny mur (F.2874) usytuowany na linii północ-południe. z tym elementem konstrukcyjnym budynku B.81 przewiązane były pozostałe przegrody (F.2870, F.2877, F.7693 i F.8071) ograniczające oba wymienione pomieszczenia. Te relacje architektoniczno-stratygraficzne pozwalają sądzić, że opisywane przestrzenie wybudowano w ramach jednej akcji budowlanej. Stwierdzenia tego nie zmieniają zaobserwowane różnice w charakterystyce materiałowej i poziomie podłóg (F.6020 oraz F.8065 i F.8066). W przypadku wielokrotnie odnawianej marglowej podłogi (F.8065 i F.8066) w obrębie Sp.555 nie natrafiono bowiem na podkład z drobnych kamieni rzecznych. Dodatkowo, warstwa wykończenia tego wnętrza, w części północnej, znajdowała się około 0,5 m niżej aniżeli najmłodsza, jastrychowa podłoga (F.6020) w obrębie Sp.440. Taką sytuację można jednak próbować wytłumaczyć usytuowaniem budynku na stoku, opadającym w kierunku zachodnim, a także związaniem wymienionych podłóg z różnymi fazami użytkowymi domu, co mogłyby potwierdzać liczne depozyty zamknięcia (które opisuję w dalszej części pracy). Wydaje się bowiem, że główne wnętrza Sp.440, po prawdopodobnym opuszczeniu i zamknięciu aneksu, wciąż było użytkowane⁶³. Być może przebudowa ta związana była z nadaniem specjalnego statusu domu B.81, na co wydają się wskazywać: nietypowa podłoga jastrychowa oraz pokryte czerwonym i białym barwnikiem wyższe partie ścian oraz krawędzie instalacji ogniowych.

Niezależnie od powyższych możliwych scenariuszy aneks Sp.555 składał się z dwóch części o łącznej powierzchni około 20m², które wydzielone były z przestrzeni za pomocą murów nośnych w konstrukcji prostej (F.2874, F.7692, F.7693 i F.8071) oraz rozdzielone ścianą działową (F.8059) z regularnym otworem zaakcentowanym niskim progiem (F.8057) (Ryc. 48). Warto zwrócić w tym miejscu uwagę, że przewiązane ściany północne (F.8071 i F.2870) aneksu Sp.555 i pomieszczenia głównego Sp.440 zachowane były odpowiednio do wysokości około 1.45 m i 0.65 m ponad poziom najmłodszych ze zdefiniowanych i powiązanych z nimi podłóg (F.8066 i F.6020). Do tej pory uważano, że mury budynku B.81 zostały całkowicie i celowo rozebrane po wyłączeniu tego obiektu z użytkowania. Przemawiać za tym miał fakt zachowania się ścian (F.2874, F.2877 i F.2878) w obrębie wykopu TP ledwo powyżej poziomu jastrychowej podłogi (F.6020). W świetle danych dotyczących wysokości muru północnego tego budynku należy raczej przypuszczać, że zniszczenia budynku B.81

⁶³ Wcześniejsze zamknięcie aneksu sugerują wstępne wyniki datowania radiowęglowego (Alex Bayliss 2016: rozmowa prywatna).



Rycina 47. Plan budynku B.81 (przedstawione fazy użytkowe pomieszczeń Sp.440 i Sp.555 prawdopodobnie nie są sobie współczesne (opracowanie własne).

spowodowane były zróżnicowanymi czynnikami, takimi jak nie tylko celowa rozbiórka, ale przede wszystkim naturalne procesy destrukcji, prace budowlane związane z konstrukcją kolejnych budynków oraz prace wykopaliskowe w latach 60. XX wieku.

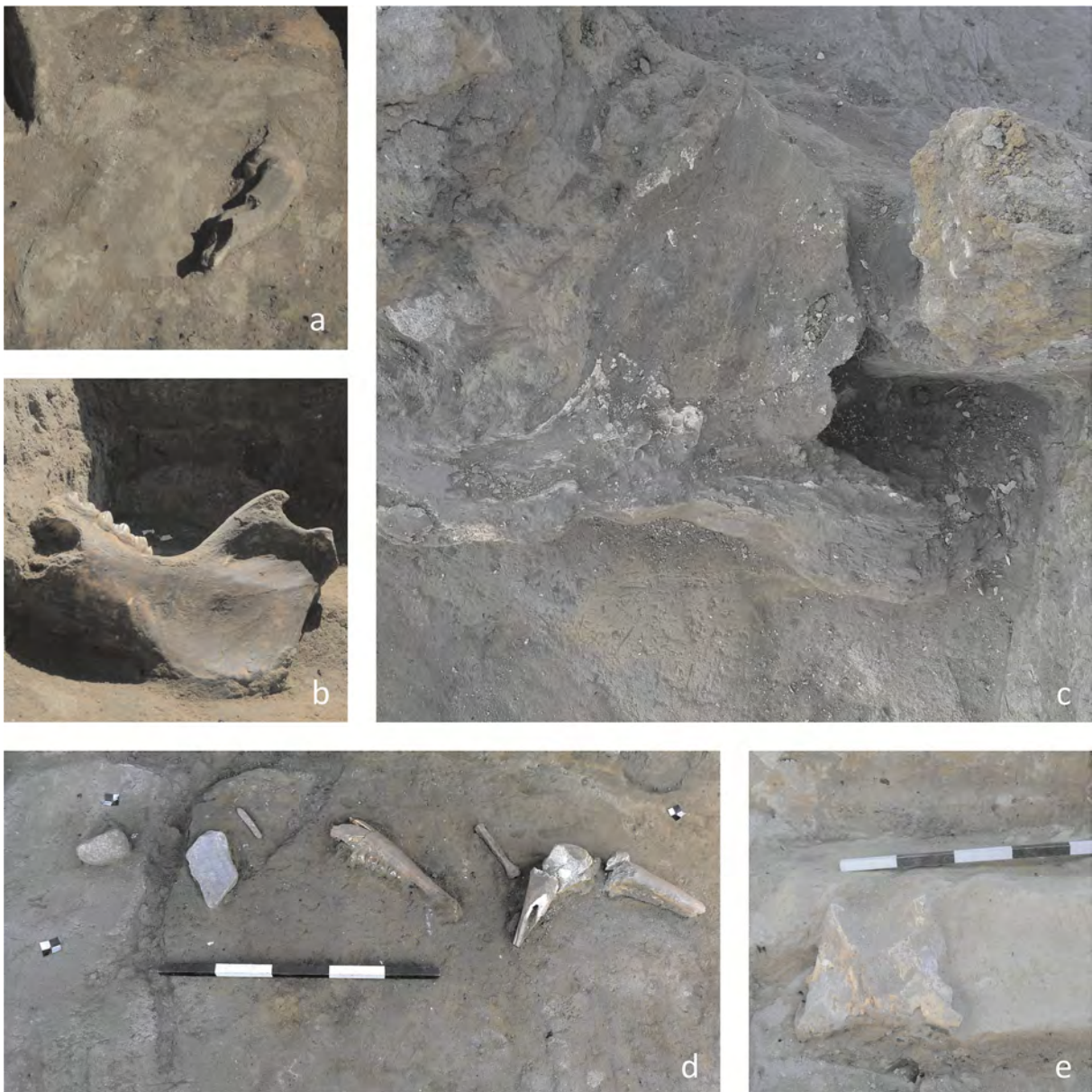


Rycina 48. Widok od strony południowej na pomieszczenie Sp.555 budynku B.81; na pierwszym planie znajduje się platforma z występem (F.8060), a w głębi pojemniki na żywność (F.8081) (fot. M.Z. Barański).

W części północnej pomieszczenia Sp.555 wzdłuż ściany (F.8071) znajdowały się cztery stosunkowo dobrze zachowane i zróżnicowane kubaturowo pojemniki na żywność (F.8081) (Ryc. 43c), w których znaleziono depozyty opuszczeniowe obejmujące m.in. żuchwy dzika i byka, fragment bydłowej kości udowej oraz bukranion (Ryc. 49a-b, e). Pojemniki te wydawały się być starannie opróżnione przed zasypaniem, aczkolwiek zaplanowane szczegółowe analizy ich wypełnienia mogą pozwolić na określenie rodzaju przechowywanych w pojemnikach ziaren lub innych materiałów. Południowa część aneksu charakteryzowała się z kolei podwyższoną platformą z charakterystycznym pionowym występem (F.8060), która usytuowana była w północno-wschodnim narożniku tuż przy ścianie działowej (F.8059). Następnie, bardziej na południe, znajdowało się niewielkie palenisko (F.8061). W jego sąsiedztwie usytuowane było najprawdopodobniej przejście w murze (F.2874) pomiędzy aneksem Sp.555 a głównym pomieszczeniem Sp.440. Niestety skala zniszczeń spowodowanych m.in. rozległą jamą (F.8067) nie pozwala na jednoznaczne rozstrzygnięcie w tej kwestii. W każdym razie program wnętrza i charakter depozytów opuszczeniowych pozwala przypuszczać, że pomieszczenie Sp.555 mogło pełnić szczególną funkcję.

Na podstawie powyższego opisu budynku B.81 wydawać się może, że dwuizbowy układ tego domu wpisuje się w klasyczne tradycje budowlane zaobserwowane na tellu (Hodder 2006; Hodder i Cessford 2004). Tymczasem jednak w południowej ścianie (F.7693) aneksu Sp.555 zaobserwowano

otwór, który prowadził do kolejnej izby Sp.561. Co więcej, ta ostatnia przestrzennie i funkcjonalnie połączona była poprzez analogiczne przejście w północnym murze (F.7694) z głównym pomieszczeniem Sp.537 budynku B.142. Oba opisywane otwory miały szerokość ok. 0.6 m, starannie otynkowane powierzchnie i zaokrąglone krawędzie narożne. Co ciekawe, każde z nich w pewnym momencie zostało w sposób symboliczny zablokowane m.in. bukranionami (Ryc. 49c). Ponadto w obrębie izby Sp.555, przed wspomnianym otworem w murze (F.7693) bezpośrednio na podłodze (F.8065) zadokumentowano depozyt opuszczeniowy, na który składały się narzędzia kamienne w postaci gładzika i palety, narzędzia kościane oraz zuchwa bydlęca oraz dwie bydlęce kości długie w porządku anatomicznym (Kamila Pawłowska 2015: rozmowa prywatna) (Ryc. 49d). Artefakty te w połączeniu z symbolicznym zamurowaniem przejścia przy pomocy bukranionu wyznaczają etap zamknięcia pomieszczenia Sp.555, podczas gdy główna izba Sp.440 była najprawdopodobniej dalej użytkowana.



Rycina 49. Zbliżenie na depozyty opuszczeniowe w obrębie pojemników na żywność (F.8081) oraz na podłodze (F.8065) pomieszczenia magazynowego Sp.555 budynku B.81: a) bydlęca kość długa (fot. M.Z. Barański), b) zuchwa dzika (fot. M.Saj), c) bukranion blokujący przejście (fot. M.Z. Barański), d) (fotografia: Marek Z. Barański).

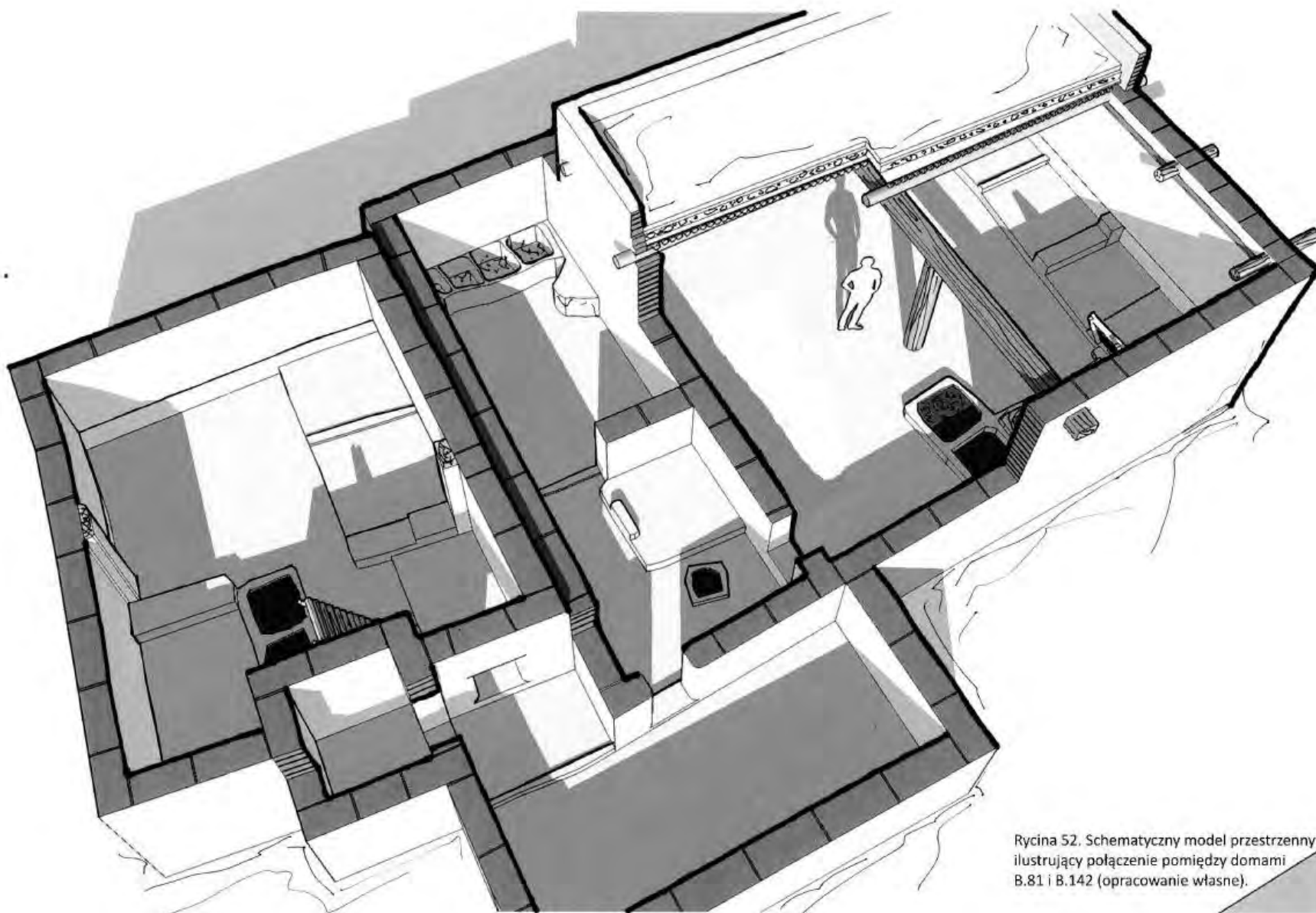
Powyższe obserwacje poczynione w ramach badań GDN (Barański *et al.* 2015) rzuciły nowe światło nie tylko na kontekst pomieszczenia Sp.440, ale i w efekcie złożoną relację z innymi izbami, co daje interesujące przesłanki do dyskusji nad sygnalizowanymi wcześniej kwestiami rozpoznania architektonicznych granic gospodarstwa domowego. Mamy bowiem do czynienia z sytuacją, w której budynek B.81, składający się z dwóch izb: dużego pomieszczenia głównego Sp.440 oraz dwudzielnego nietypowego aneksu Sp.555 połączony jest przestrzennie i funkcjonalnie w części południowo-zachodniej z domem B.142 o niezależnym układzie konstrukcyjnym.

Należy w tym miejscu podkreślić, że budynek B.142 (B.II.2) znany był dotąd wyłącznie z dokumentacji archiwalnej z lat 60. ubiegłego wieku a jego zarys ograniczał się do głównego pomieszczenia Sp.537, które, biorąc pod uwagę zarejestrowane w jego obrębie instalacje ogniowe (F.7697, F.8053 i F.8054) oraz platformy (F.8051 i F.8052) z ławami (F.8050 i F.7698) i usytuowanymi poniżej nich niesprecyzowanymi pochówkami, funkcjonuje w literaturze jako całkowicie samodzielna jednostka (np. Mellaart 1967; Düring 2001). Tymczasem, jak już wspomniałem, izba ta połączona jest z domem B.81 poprzez niezidentyfikowane przez Jamesa Mellaarta pomieszczenie Sp.561 oraz tworzy z nim integralny zespół budynków (Ryc. 51-52).

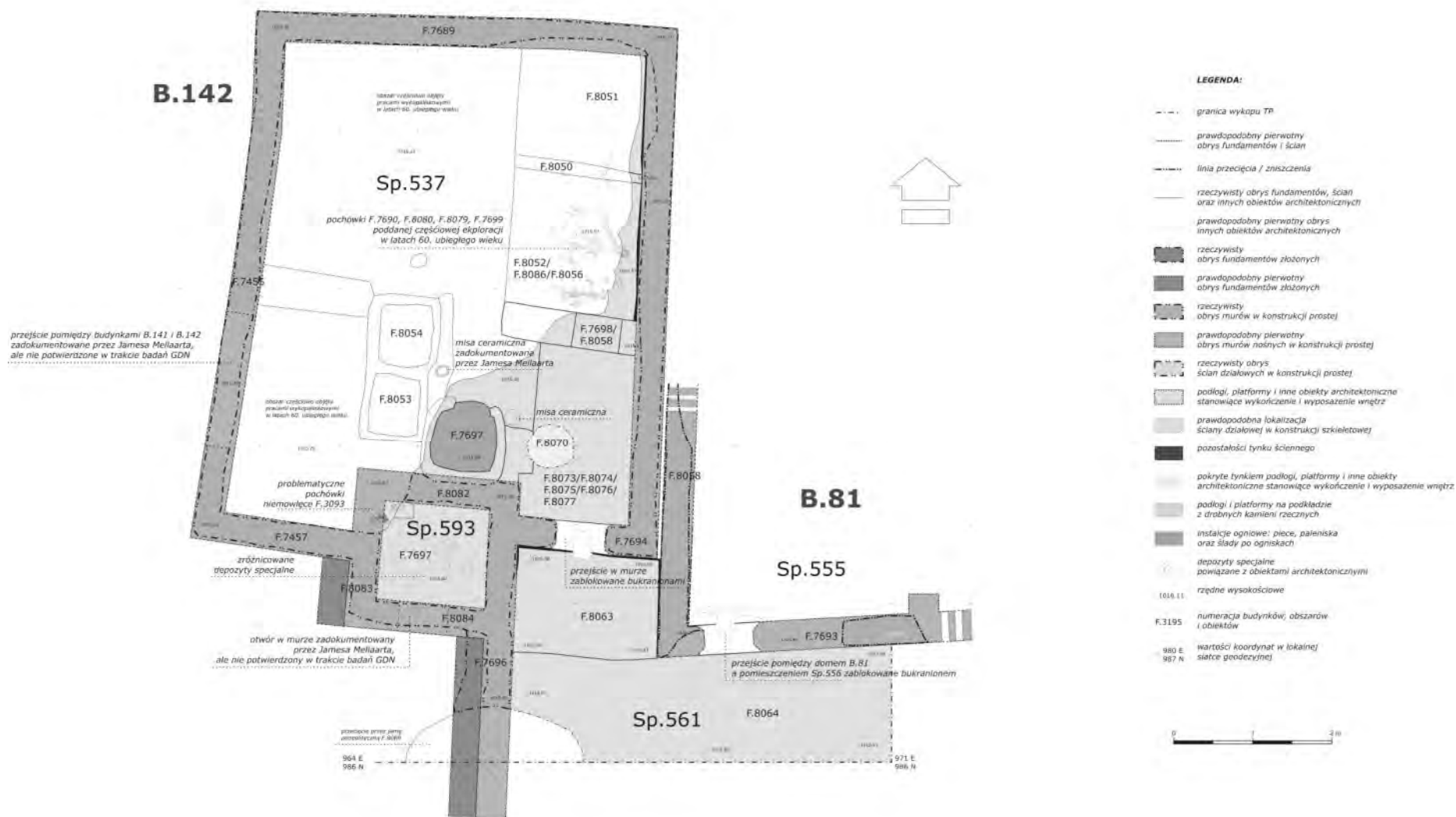
Aneks Sp.561, ze względu na ograniczony zakres badań GDN, nie został rozpoznany w całości, niemniej wydzielony był z przestrzeni od północnego-wschodu przez mury (F.7692 i F.7693) budynku B.81 a od północnego-zachodu przez ściany (F.7694 i F.7696) domu B.142. W jego obrębie zdefiniowano platformę (F.8063) oraz sekwencję podłóg marglowych (F.8064) (Ryc. 50). Co ciekawe poziom najmłodszej z tych warstw wykończeniowych był zbliżony do poziomu podłogi (F.6020) w południowej części Sp.440. Podwyższona platforma wypełniała południowo-zachodnią wnękę aneksu, która usytuowana była wzdłuż północnej ściany z otworem (F.7694) łączącym Sp.561 ze Sp.537.



Rycina 50. Widok od południa na pomieszczenie Sp.561 z widoczną platformą w obrębie wnęki ograniczonej ścianą z otworem (F.7694) łączącym aneks Sp.561 z pomieszczeniem głównym Sp.537 budynku B.142. W tym miejscu w pewnej odległości nad powierzchnią platformy znaleziono skupisko składające się m.in. z ponad 200 astragali – kości skokowych owiec i kóz (fot.: M. Saj).



Rycina 52. Schematyczny model przestrzenny ilustrujący połączenie pomiędzy domami B.81 i B.142 (opracowanie własne).



Rycina 51. Plan budynku B.142 wraz z komorą Sp.593 (opracowanie własne).

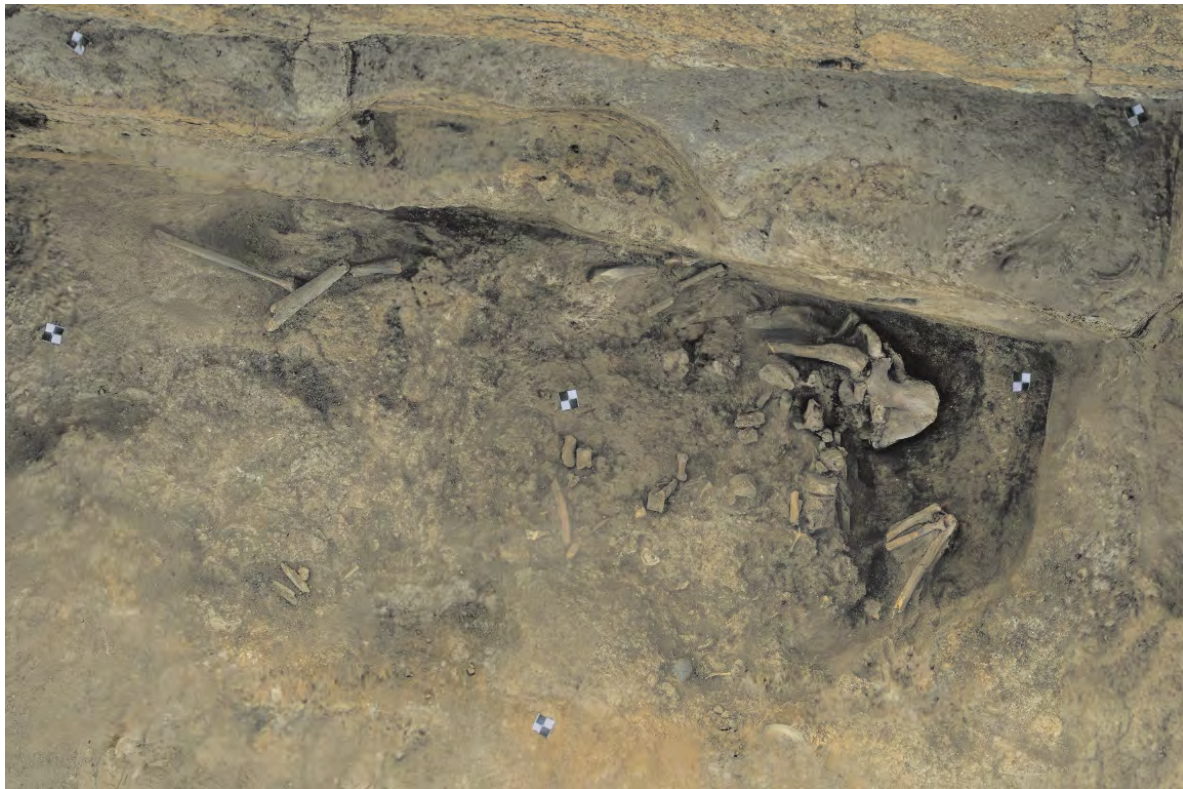
Dzięki wznowionym badaniom w obrębie dawnego wykopu Jamesa Mellaarta udało się także wzbogacić statyczny dotąd obraz głównego pomieszczenia Sp.537 domu B.142. Okazało się to możliwe pomimo jego znaczącej erozji od czasu pierwszych prac wykopaliskowych. Koordynowane przeze mnie prace wykopaliskowe skoncentrowane były na wschodniej i południowej części głównego pomieszczenia Sp.537 tego budynku ze względu na zachowane tam relikty niektórych obiektów zadokumentowanych w latach 60. ubiegłego wieku (patrz Mellaart 1962: Fig. 3, 1967: Fig. 4) (Ryc. 53). Szczególnie interesujący pod tym względem okazał się być południowo-wschodni narożnik przedmiotowej izby. Mianowicie zarejestrowano w jego obrębie stosunkowo dobrze zachowaną sekwencję powierzchni użytkowych wraz z powiązаныmi z nią obiektami i artefaktami, w tym ceramiczną misą *in situ*. Częściowa eksploracja podjęta w tym miejscu pozwoliła na zadokumentowanie rozbudowanej sekwencji platform lub podłóg (8077-F.8076-F.8075-F.8074-F.8073) przeciętych prawdopodobną jamą (F.8070) po zlokalizowanej w tym miejscu drabinie oraz przedzielonych warstwami popiołu, w tym warstwami pochodzącymi z oczyszczania sąsiedniego lecz słabo zachowanego pieca (F.7697) (Ryc. 54). Ta sekwencja powstała prawdopodobnie po przebudowie południowej ściany budynku B.142, w ramach której wykonano m.in. połączenie pomieszczenia Sp.537 z nowo wybudowaną izbą Sp.561 poprzez otwarcie w ścianie. Współczesność i długi czas użytkowania tych dwóch pomieszczeń jest ważnym argumentem na złożoność w przestrzennej i społecznej organizacji w późnym neolicie. Rzuca też światło na zrytualizowane symboliczne praktyki jako że otwarcie zostało w pewnym momencie zablokowane najprawdopodobniej podwójnym bukranionem (U.22849).



Rycina 53. Widok od północy na relikty pomieszczenia Sp.537 budynku B.142 (fot. M.Z. Barański).



Rycina 54. Profil wschodni ilustrujący sekwencję podłóg / platform (F.8077-F.8076-F.8075-F.8074-F.8073) w południowo-wschodnim narożniku pomieszczenia Sp.537 budynku B.142 tuż przy ścianie z otworem (F.7694) łączącym tę przestrzeń z izbą Sp.561 (fot. M.Z. Barański).



Rycina 55. Zbliżenie na skupisko kości ludzkich (F.7690, F.7699, f.8079 i F.8080), będące śladem pochówków powiązanych z częściowo zachowanymi platformami (F.8051, F.8052, F.8056 i F.8058) przy wschodniej ścianie (F.7691) głównego pomieszczenia Sp.537 budynku B.142 (fot. M.Z. Barański).

Inną sekwencję, choć tylko w niewielkim stopniu zachowanych platform (F.8051, F.8052, F.8056 i F.8058) z powiązanymi pochówkami (F.7690, F.7699, f.8079 i F.8080) odkryto wzdłuż wschodniej i wielorotnie otynkowanej ściany (F.7691) budynku. Fragmentarycznie zachowane szczątki ludzkie należące do przynajmniej czterech osobników (Michelle Gamble 2015: rozmowa prywatna) zostały poddane eksploracji i będą w najbliższym czasie analizowane. Kości te były w większości rozproszone (Ryc. 55) jako skutek prac przeprowadzonych w latach 60. ubiegłego wieku oraz późniejszej erozji zachowanego profilu.



Rycina 56. Widok od strony południowej na komorę Sp.593 i znajdujące się w jej obrębie depozyty (F.7695) (fot. A. Nowak).

Na zachód od domu B.81 i jednocześnie na południe od pomieszczenia Sp.537 budynku B.142 zarejestrowano niewielką komorę Sp.593 o wymiarach w planie 1.4 x 1.2 m (Ryc. 56). Pomieszczenie to było początkowo interpretowane przez Jamesa Mellaarta jako wejście do budynku B.142 (Mellaart 1962: 45; Fig. 3). Ten pogląd pozostawał w zgodzie z jego interpretacją sąsiadującej wąskiej przestrzeni Sp.544 jako ulicy (por. Barański 2014a: 200), co podważają wstępne wyniki współczesnych analiz mikromorfologicznych przeprowadzonych przez Aroę Garcíę-Suárez (2015). Zgodnie z tymi badaniami sedymenty w obrębie otwartej przestrzeni Sp.544 stanowiły w większości przypadków warstwy bez śladów udeptania, które dodatkowo podlegały stopniowej choć szybkiej akumulacji oraz zawierały znaczące ilości odpadów, w tym zróżnicowanych szczątków organicznych - jednak bez śladów zbitcia i zgniecenia. Tym samym obszar ten służył przede wszystkim depozycji śmieci, a wyróżnione w ramach tych pokładów następujące po sobie w pewnych odstępach homogeniczne warstwy gliny ilastej mogą sugerować czynności, mające na celu, jak zasugerowała Kamilla Pawłowska (2014), zmniejszenie uciążliwości odorowej. W każdym razie opisywana przestrzeń z pewnością wykorzystywana była także jako doraźny ciąg komunikacyjny.

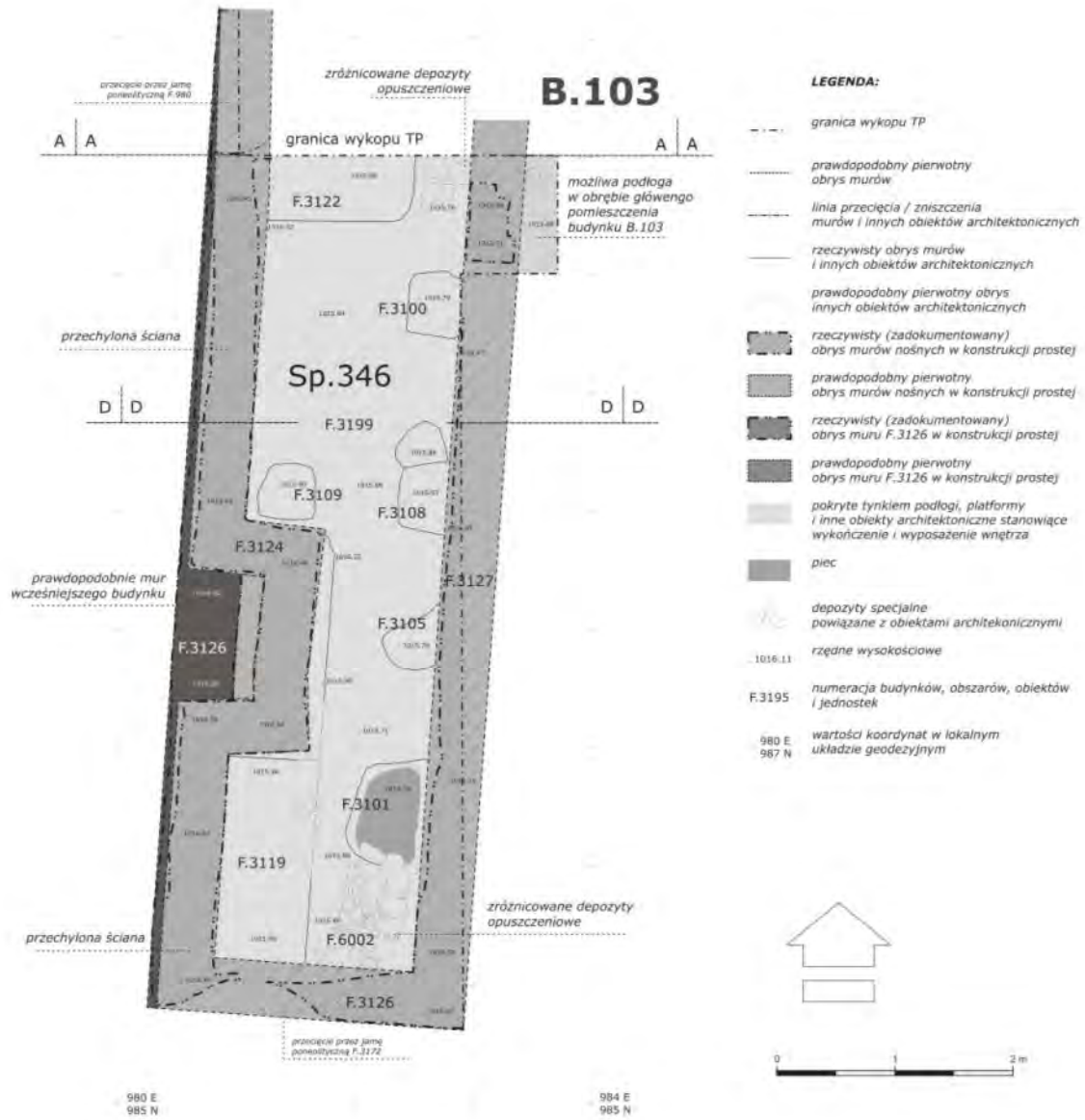
Lokalizacja, kształt i wymiary pomieszczenia Sp.593 przypominają zewnętrznie usytuowany piec (F.5000) zadokumentowany w obrębie otwartej przestrzeni Sp.333 (South.P) w obrębie *South Area* (Regan 2014: 133-136). Należy jednak zaznaczyć, że brakuje przekonujących dowodów, potwierdzających tę hipotezę ze względu na zniszczenia spowodowane procesami podepozycyjnymi, w tym pracami wykopaliskowymi w latach 60. XX wieku oraz późniejszą erozją niezabezpieczonej komory. Nie znaleziono także żadnych oczywistych śladów popiołu lub fragmentów spieczonej podłogi ewentualnego pieca. Przeciwnie, pozostałości wewnętrznych lic murów, jak i podstawa komory pokryte były cienką warstwą białego tynku. Co więcej, na tej wstwie znaleziono liczne artefakty (F.7695) – głównie narzędzia kamienne, kości zwierzęce, gliniane podstawki pod naczynia ceramiczne, a w jej sąsiedztwie dwa pochówki niemowlęce (F.8093). Mam nadzieję, że planowane analizy tego materiału przez specjalistów pomogą na rzucenie nowego światła na funkcję tego pomieszczenia.

W obrębie komory Sp.544 nie zarejestrowano żadnego elementu łączącego w formie otworu w murze pomiędzy pomieszczeniami Sp.593 i Sp.537. Ograniczony zakres badań, jak i skala zniszczeń nie pozwalają na ostateczny osąd relacji pomiędzy murami (F.7696, F.8082, F.8083 i F.8084) definiującymi komorę a zachodnim murem (F.7692) budynku B.81 oraz wschodnim (F.7691) i południowym (F.7547) murem budynku B.142. Najbardziej prawdopodobne wydaje się rozbudowanie domu B.81 o kolejne pomieszczenia lub przebudowa południowej części budynku B.142. Niezależnie jednak od rzeczywistego ciągu zdarzeń oba te obiekty, w tym komora Sp.593, stanowiły w pewnym momencie jeden powiązany przestrzennie i funkcjonalnie zespół budynków.



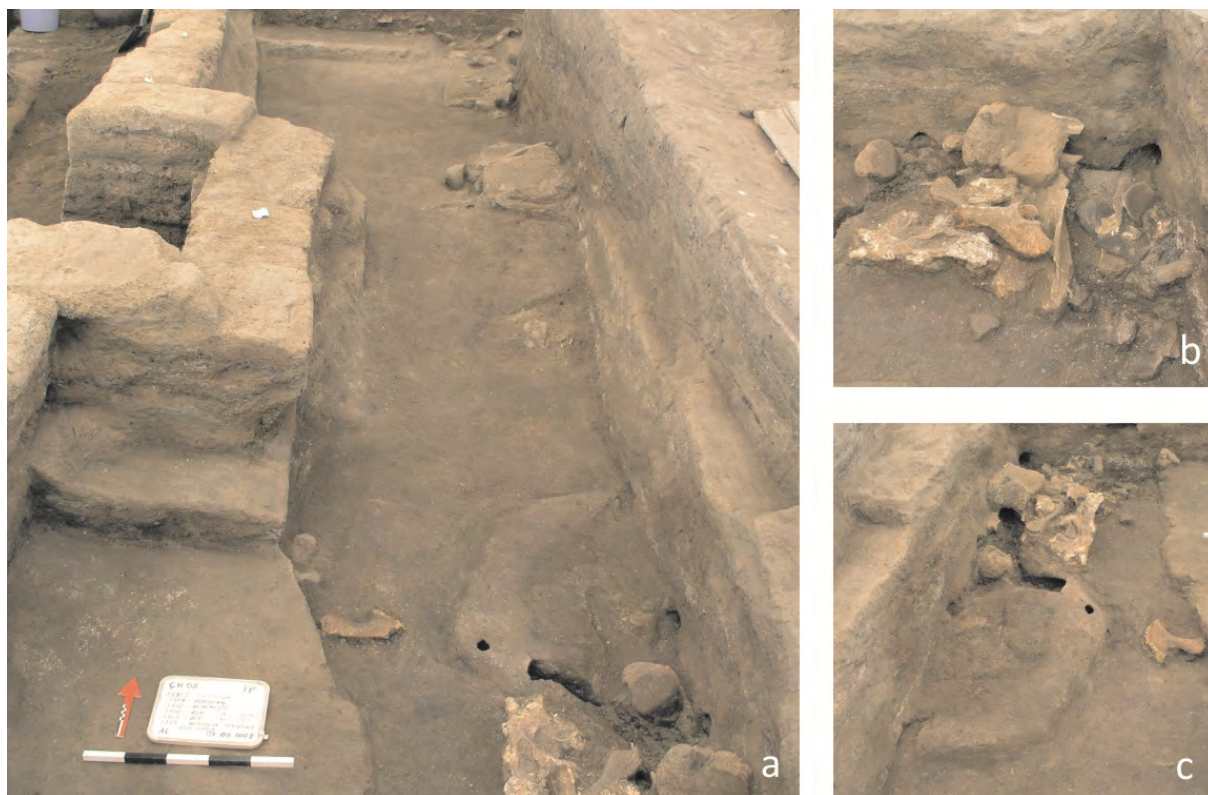
Rycina 57. Pieczęcie gliniane znalezione w śmietniku Sp.420 (fot. M.Z. Barański).

Pomieszczenie Sp.561 i aneks Sp.555 oraz prawdopodobnie w dalszej kolejności główne pomieszczenie Sp.440 budynku B.81 zostały najpierw wypełnione rumowiskiem pochodzącym z zawalonych częściowo murów i stropodachu, a następnie stopniowo przekryte przez zróżnicowane warstwy śmietniskowe o miąższości wynoszącej przynajmniej 0,7 m przy północnej ścianie domu B.81 i zmniejszającej się w kierunku południowym. Warstwy te przekryły w znacznym lub całkowitym stopniu mury tego obiektu. Powstała w ten sposób niezadaszona przestrzeń Sp.420 (Marciniak i Czerniak 2008: 76; patrz także Barański *et al.* 2015: 256). W jej obrębie zidentyfikowano kilka stosunkowo głębokich jam wyrobiskowych (F.8062, F.8067 i F.8069), które wypełnione były przede



Rycina 58. Plan pomieszczenia Sp.346 budynku B.103 (opracowanie własne).

wszystkim spopielonym materiałem oraz zawierały dużą ilość zróżnicowanych artefaktów. Większość z tych przedmiotów była typowa dla warstw śmietniskowych, niemniej zadokumentowano paciorki na różnym stopniu produkcji, narzędzia kościane, gliniane podstawki pod naczynia, a także dwie gliniane pieczęcie (Ryc. 57).

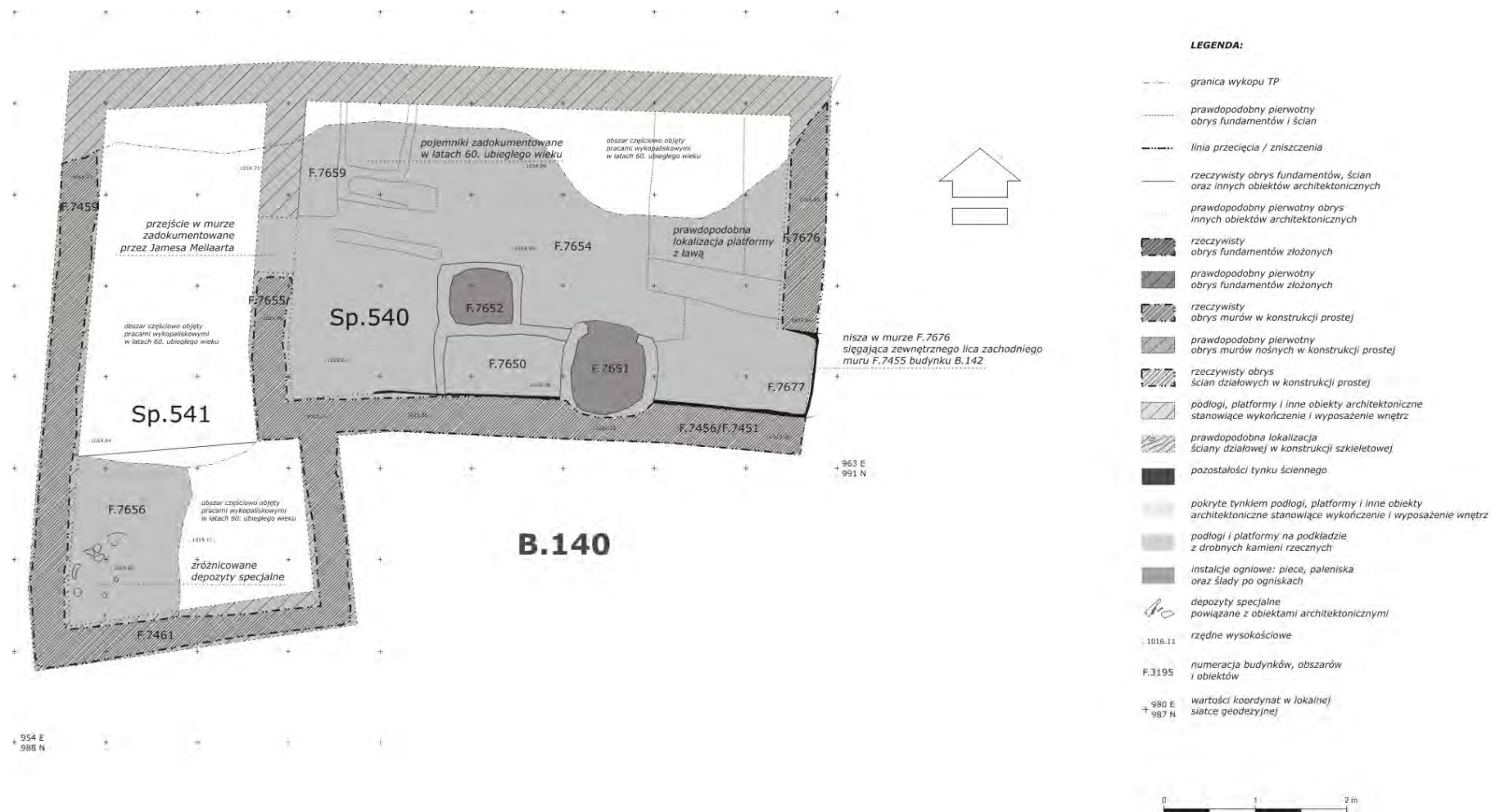


Rycina 59. Budynek B.103: a) widok od południa na pomieszczenie Sp.346 (fot. A. Leszczewicz), b-c) zbliżenie na depozyty opuszczeniowe znalezione w południowym narożniku aneksu Sp.346 (fot. A. Leszczewicz).

Wydaje się, że powyższa otwarta przestrzeń była współczesowa z budynkiem B.103 usytuowanym na wschód od domu B.81 (Ryc. 58). w ramach badań TP zdefiniowano – nie przeprowadzając eksploracji - jedynie wschodni aneks Sp.346 tego obiektu, co jednak pozwoliło na udokumentowanie serii wydarzeń związanych z opuszczeniem tego pomieszczenia lub budynku w ogóle. Opisywana wąska i długa izba o powierzchni około 11 m² stanowiła mianowicie miejsce depozycji nie tylko licznych kości zwierzęcych związanych niewątpliwie z ucztowaniem, ale także fragmentów ceramiki i figurek glinianych. Artefakty te usytuowane były bezpośrednio na platformach w północnej i południowej części aneksu Sp.346 (Ryc. 59) (Czerniak i Marciniak 2008: 80).

1.2 B.140 i B.141

Budynki B.140 (A.III.2) i B.141 (A.III.3) stanowią obiekty pierwotnie odsłonięte i poddane częściowej eksploracji w latach 60. ubiegłego wieku (patrz Mellaart 1962: 45, 1967: 57). Powtórne prace w ich obrębie, pomimo znacznego stopnia zniszczenia relikwów architektury, generalnie potwierdziły zadokumentowany przez Jamesa Mellaarta ogólny plan i rozmieszczenie większości elementów wyposażenia tych domów (Barański 2014; Barański *et al.* 2015b). Jednocześnie pozwoliły one na podważenie niektórych ustaleń dotyczących zarówno relacji architektoniczno-stratygrafi-



Rycina 60. Plan budynku B.140 (opracowanie własne).

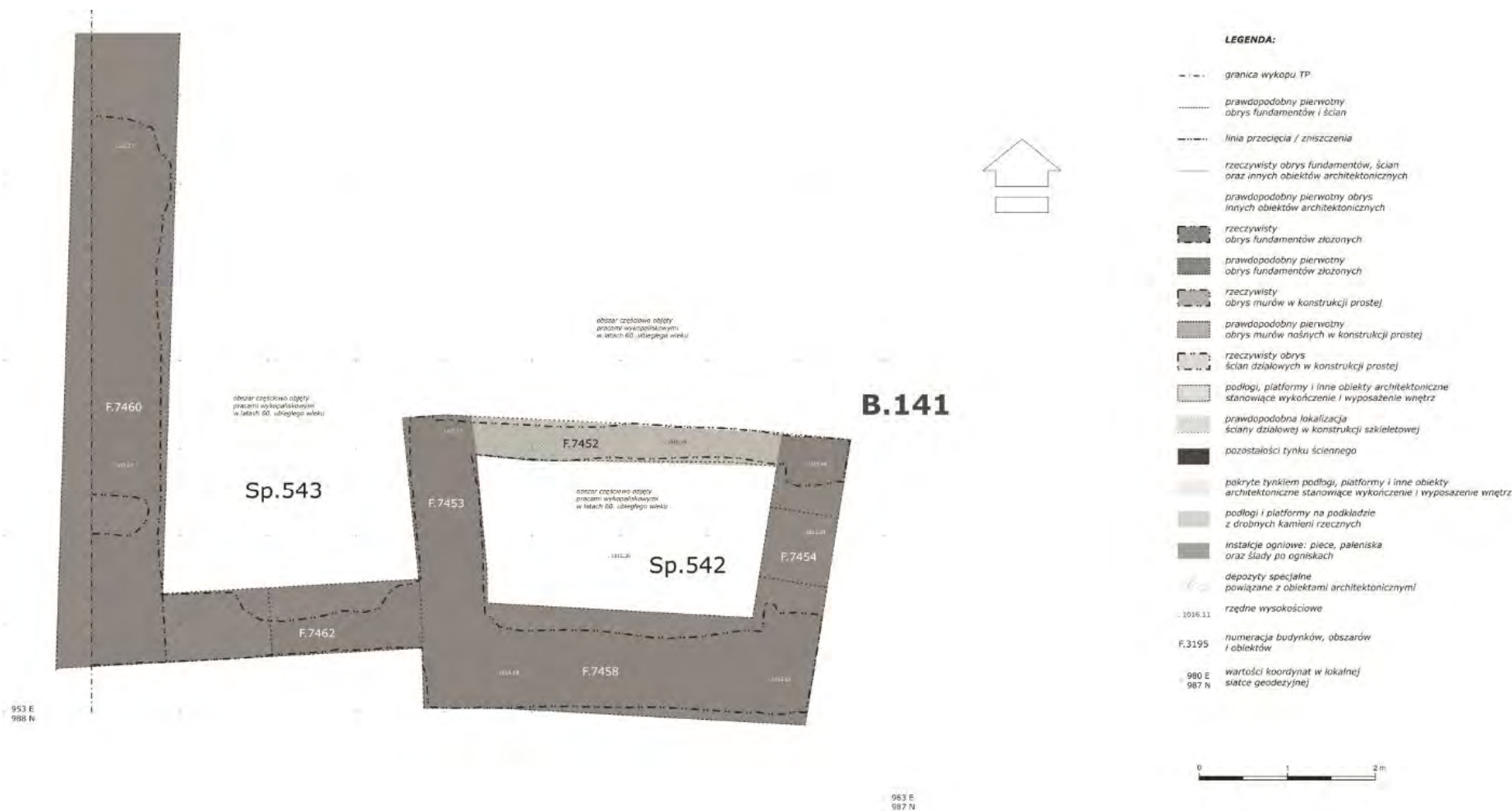


cznych pomiędzy opisywanymi budynkami, jak i ich wzajemnego układu przestrzennie-funkcjonalnego.



Rycina 61. Widok od wschodu na relikty pomieszczenia głównego Sp.540 budynku B.140: na pierwszym planie pozostałości pieca (F.7651) przy ścianie południowej (fot. M.Z. Barański).

W przypadku budynku B.140 te zmiany w interpretacji są stosunkowo nieznaczne. Obiekt ten zajmował powierzchnię około 41,9 m² i składał się z dwóch połączonych pomieszczeń: głównego Sp.540 zorientowanego na linii wschód zachód oraz poprzecznie usytuowanego aneksu Sp.541 (Ryc. 60). Obie izby zdefiniowane były poprzez wspólny układ w postaci przewiązanych murów w konstrukcji prostej (F.7451/F.7456, F.7653, F.7655, F.7459, F.7461 i F.7676) oraz połączone były poprzez otwór w jednej ze ścian (F.7655). Na wystrój pomieszczenia Sp.540 składało się szereg obiektów, z których najlepiej zachowany był zespół składający się z: kopulastego pieca (F.7651), paleniska (F.7652) oraz basenu (F.7650) przy południowym murze (F.7451/F.7456) budynku (Ryc. 61). W północno-zachodnim narożniku tej izby natrafiono na relikty obiektów, które najprawdopodobniej odpowiadają zadokumentowanym w tym miejscu przez Jamesa Mellaarta pojemnikom na żywność. z kolei w znacznie zniszczonej części północno-wschodniej uznano za prawdopodobne istnienie platformy z ławą, pod którą mogły znajdować się pierwotnie pochówki ludzkie. Taką interpretację wydają się potwierdzać znalezione kości stopy w układzie anatomicznym (U.21402), chociaż równie dobrze ten fragment szkieletu może być związany z pochówkiem peneolitycznym, który w części został poddany eksploracji lub zsunął się w dół wykopu z lat 60. XX wieku w wyniku erozji profilu. Ponadto, co ciekawe, w południowo-wschodnim narożniku pomieszczenia Sp.540 odkryto otynkowaną niszę (F.7677), której tylna ściana stanowiła jednocześnie zewnętrzne lico zachodniego muru (F.7455) budynku B.142. Obserwacja ta - nieuwzględniona na archiwalnych planach – świadczy o tym, że dom B.140 został później wybudowany niż budynek B.142, chociaż obie struktury mogły być



Rycina 62. Plan budynku B.141 (opracowanie własne).



użytkowane jednocześnie przynajmniej przez pewien czas. W każdym razie nisza wydaje się mimo wszystko zbyt wąska, aby mogła pełnić funkcję przejścia łączącego oba wymienione budynki.

James Mellaart opisał budynek B.140 (A.III.2) jako dom, w którym produkowano dużą ilość narzędzi kamiennych i w efekcie nazwał go warsztatem kamieniarskim (Mellaart 1962: 55). Rzeczywiście na podłogach (F.7654 i F.7656) zarówno pomieszczenia Sp.540, jak i aneksu Sp.541 znaleźliśmy wiele zróżnicowanych artefaktów. Szczególnie interesujący pod tym względem okazał się być depozyt usytuowany w południowo-zachodnim narożniku izby Sp.541, na który składały się m.in. liczne kryształki górskie, znaczny fragment kamiennego żarna oraz gładziki i palety ze śladami pigmentów (Christina Tsoraki-Chan 2015: rozmowa prywatna).

Do domu B.140 od południa przylegał budynek B.141 o powierzchni przynajmniej 15,5 m² (Rys. 62). Obiekt ten został przez Jamesa Mellaarta (1962: Fig. 3) zinterpretowany jako pomieszczenie magazynowe budynku B.142 (B.II.2). Świadczyć o tym miał najprawdopodobniej brak elementów wyposażenia wnętrza oraz szeroki otwór w murze, a dokładniej dwóch nieprzewiązanych ze sobą murach (F.7454 i F.7455) oddzielających te objekty. Niestety połączenia tego nie udało się potwierdzić, choć – wobec skali erozji - nie można go całkowicie wykluczyć (Barański 2014). Co ciekawe James Mellaart przypisał oba budynki różnym poziomom osadniczym. Mianowicie dom B.142 miał być późniejszy od budynku B.141, co obecnie budzi jednak pewne wątpliwości podyktowane relacją stratygraficzną tych obiektów do sąsiadującej z nimi od południa otwartej przestrzeni Sp.544.

Budynek B.141 (lub inaczej pomieszczenie Sp.542) pomimo swoich niewielkich rozmiarów posadowiony był na zróżnicowanych fundamentach. Na przykład północna dolna partia (F.7452) tego budynku wydaje się być konstrukcją prostą, podczas gdy wszystkie pozostałe – złożoną, przy czym fundament wschodni i zachodni należy zaliczyć do typu A a fundament południowy do typu B. To zróżnicowanie strukturalne wynika moim zdaniem z relacji budynku do warstw śmietniskowych (Sp.544), w które został zagłębiany. Innymi słowy bardziej masywna konstrukcja stanowiła lepsze zabezpieczenie przed parciem mas ziemi lub osunięciem się w zależności od kierunku pochylenia stoku. Tym samym budynek B.140 był późniejszy niż warstwy zdeponowane w obrębie otwartej przestrzeni Sp.544 i przylegające do ścian nie tylko domu B.142, ale i B.140. Warto także zwrócić uwagę, że możliwym wydaje się, iż pomieszczenie Sp.542 stanowiło zaledwie część większego budynku posadowionego na relikwach murów pomieszczenia Sp.541 domu B.140 (patrz Barański 2014).

1.3 Budynki: B.61, B.62 i B.74 - fazy przebudowy czy odrębne domy?

Podstawowym i powracającym problemem w odniesieniu do interpretacji sekwencji TP jest trudność w rekonstrukcji całościowej konstrukcji, formy i układu budynku B.74, a w konsekwencji problematycznego czasowego życia oraz hierarchii zaobserwowanych przebudów. Dom ten, zgodnie z aktualną interpretacją (Marciniak *et al.* 2015b), został wzniesiony w miejscu po opuszczonym budynku B.81 na pokładzie z warstw rumowiskowych i śmietniskowych Sp.420. Miał on się składać z czterech pomieszczeń, które pozbawione były charakterystycznych dla neolitycznego Çatalhöyük obiektów takich jak: platformy i usytuowane poniżej nich pochówki, instalacje ogniowe i zasobowe



Rycina 63. Widok od strony południowo-wschodniej na główne pomieszczenie Sp.436 budynku B.74 (fot. A. Leszczewicz).



Rycina 64. Widok od strony wschodniej na pomieszczenia Sp.325 i Sp.326 budynku B.74 (fot. A. Leszczewicz).

oraz detale architektoniczne i malowidła. Wyraźną sekwencję podłóg (F.6022-F.3150/F.3151 i F.3140-F.3148) – w niektórych przypadkach zbudowanych na podkładzie ze żwiru - zarejestrowano tylko w obrębie dwóch połączonych ze sobą funkcjonalnie aneksów Sp.325 i Sp.326, które usytuowane były w południowej części opisywanego budynku. W efekcie wnętrza domu B.74 zdefiniowano poprzez masywne i nieotynkowane konstrukcje murowane (F.2881, F.2882, F.2883, F.2884, F.2885) wzniesione w wątku blokowym typu A (Ryc. 63-64). Pomimo istnienia tak solidnego układu konstrukcyjnego przyjmuje się, że budynek ten był użytkowany zaledwie od 1 do 30 lat (Marciniak *et al.* 2015b), co należałoby uznać za znaczące odejście od lokalnych tradycji neolitycznych (por. Hodder 2007: 108). Identyczny czas życia podaje się zresztą dla kolejnego budynku w miejscowej sekwencji TP, mianowicie domu B.62, który również miał być pozbawiony instalacji wewnętrznych. Dopiero następny budynek, B.61, z bezpośrednim następstwem dystynktywnych podłóg (F.3132-F.3133/F.3135) - podobnym do tego zarejestrowanego w obrębie domu B.81 - choć jednocześnie brakiem jednoznacznie przypisanych murów, charakteryzuje się prawdopodobieństwem zdecydowanie dłuższego czasu życia. Budynek ten użytkowany był, zgodnie z wynikami programu datowania radiowęglowego, od 20 do 110 lat. W efekcie jest on często wykorzystywany jako przykład wiernej kontynuacji wcześniejszych tradycji zaobserwowanych na poziomie domu B.81 z jednoczesnym uznaniem struktur usytuowanych w sekwencji stratygraficznej pomiędzy nimi za nietypowe, bo tymczasowe.

Krótki czas życia części budynków TP, brak pochówków pod platformami oraz brak wewnętrznych instalacji i dekoracji próbowano do tej pory tłumaczyć znaczącymi zmianami społecznymi, w tym zmianami tradycji sepulkralnych polegającymi na chowaniu zmarłych w wydzielonych komorach poza budynkami (Marciniak *et al.* 2015a, 2015b; Marciniak i Czerniak 2010). Domy miałyby ponadto składać się z przestrzeni zamkniętych i otwartych (wydzielonych tymi samymi masywnymi murami) oraz być poddawane licznym transformacjom oraz prawie całkowitej rozbiórce po wyłączeniu ich z użytkowania. Jednocześnie podkreśla się świadomą i bezpośrednią kontynuację zarówno zabudowy jako takiej, jak i wspomnianych unikatowych obiektów, takich jak komory grobowe.

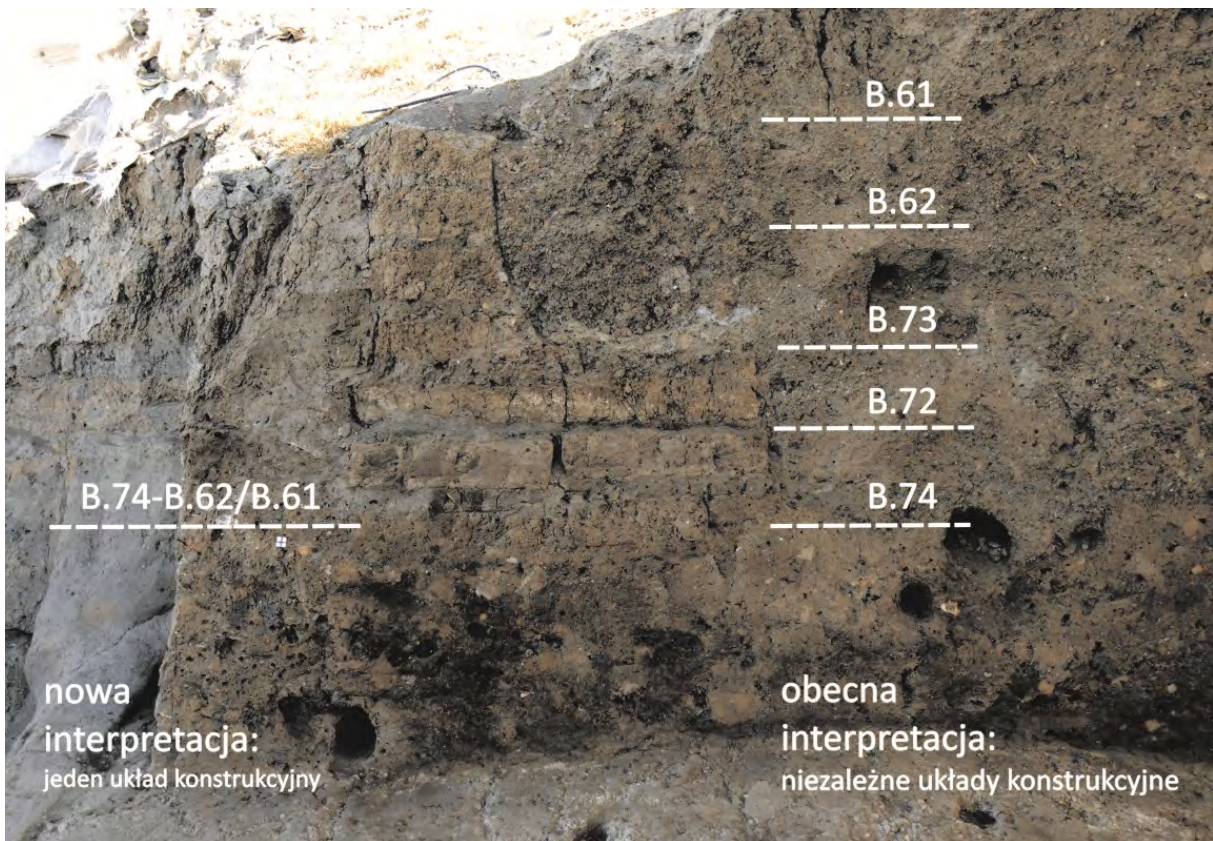
Z perspektywy architektonicznej powyższe wyjaśnienia nie wydają się być wystarczające i skłaniają do zadania wielu trudnych pytań. To właśnie powracające wątpliwości stanowiły główną przesłankę wznowienia przeze mnie badań północnego profilu wykopu TP i w efekcie zdefiniowania północnej granicy głównego pomieszczenia budynku B.74 (Ryc. 65) (Barański i Regulska 2016). Prace te umożliwiają w moim przekonaniu poprowadzenie odmiennej interpretacji, oferując tym samym bardziej kompleksowe spojrzenie na charakter i zmiany zabudowy późnoneolitycznego Çatalhöyük (Ryc. 66).

Po pierwsze, złożona konstrukcja murowana (F.2881, F.2882, F.2883, F.2884, F.2885 i F.3579) wydzielająca budynek B.74 od południa, zachodu, wschodu i częściowo północy to w świetle przedstawionych w niniejszej rozprawie badań fundament lub ściana fundamentowa w typie A, na której oparte są mury nośne o wątku wozówkowym. Co ciekawe funkcję północnego fundamentu opisywanego domu pełniła w znacznej części pozostałość ściany zewnętrznej (F.2870) budynku B.81⁶⁴ (Ryc. 67). Innymi słowy, zachodni fundament (F.2882), doprowadzony do lica północnego muru

⁶⁴ W części wschodniej mur nośny (F.3577) został posadowiony na złożonym fundamencie (F.3579) typu A, co każe przypuszczać, że północna ściana budynku B.81 nie była zachowana w tym miejscu.



Rycina 65. Widok od północy na mur (F.3577) wyznaczający północną granicę pomieszczenia głównego (Sp.436-Sp.429/Sp.438) budynku B.74-B.62/B.61, która została zdefiniowana w ramach badań GDN (fot.: M.Z. Barański).



Rycina 66. Porównanie obecnej i nowej interpretacji reliktyw architektury (patrz także Rys. 46) (opracowanie własne).

(F.2870) domu B.81, przechodził płynnie w północną ścianę nośną (F.3577) domu B.74, przenosząc obciążenia na relikty wcześniejszego układu konstrukcyjnego. Pewne zatem jest, że te dwa elementy konstrukcyjne, tzn. fundament i mur nośny, pomimo różnic w wiązaniu stanowią część tego samego budynku. Obserwację tę potwierdzają zresztą wyniki bardziej szczegółowych badań architektonicznych i geoarcheologicznych. Mianowicie nie tylko skład i kolorystyka cegieł mułowych (i zaprawy), wykorzystanych do budowy fundamentu i muru, ale i ich wymiary są takie same (Barański i Love w opracowaniu). Należy w tym miejscu zwrócić uwagę, że do tej pory oba opisywane elementy traktowane były jako części odrębnych budynków: B.74, B.73 i B.62 (patrz Marciniak *et al.* 2015b).



Rycina 67. Północno-zachodni narożnik budynku B.74-B.62/B.61: a) widok od strony zachodniej – widoczne posadowienie północnej ściany domu B.74-B.62/B.61 na relikwach północnego muru budynku B.81 (fot.: M.Z. Barański), b-c) widok od strony południowej ilustrujący posadowienie prostego muru na fundamencie złożonym (fot. J. Quinlan).

Po drugie, fundamenty domu B.74 usytuowane były w obrębie wąskiego wykopu fundamentowego (F.3195), który przecina warstwy śmietniskowe i rumowiskowe Sp.420, stanowiące wypełnisko głównego pomieszczenia Sp.440 budynku B.81. Zaobserwowano przy tym różnice w głębokości posadowienia tych elementów konstrukcyjnych. Były one wyraźne nie tylko w przypadku wschodniej (F.2882) i południowej (F.2883) podstawy domu B.74, ale i pomiędzy wschodnim (F.2882) i zachodnim (F.2884) fundamentem. Różnice te, pomiędzy narożnikami budynku wynosiły około 1 m, co widoczne jest na profilu północnym wykopu TP (Ryc. 47). Przejście z jednego poziomu posadowienia do drugiego przebiegało płynnie, za pośrednictwem elementów, które, używając współczesnej nomenklatury, można określić mianem ławy schodkowej. Co ciekawe, pod jednym z uskoków w ramach zachodniego fundamentu (F.2884) zadokumentowano specjalny depozyt składający się przede wszystkim ze skupiska kości bydłych, ale i m.in. kości lisa i owcy/kozy, żuchwy dzika, astragali, wisiorka oraz narzędzia kamiennego (Pawłowska 2015: rozmowa prywatna).

Moim zdaniem jest wysoce prawdopodobne, że był to depozyt fundacyjny a nie – jak dotąd się przypuszcza –skupisko artefaktów w obrębie śmietniska Sp.420.

Rozwiązanie techniczne w postaci fundamentu schodkowego sugeruje posadowienie budynku na skarpie lub istnienie częściowego podpiwniczenia. O ile oba rozwiązania są możliwe, o tyle w przypadku budynku B.74 możemy być pewni tylko pierwszego z nich. Dom ten niewątpliwie posadowiony został na lekkim stoku, który opadał w kierunku południowo-wschodnim. Przemawia za tym nie tylko niehoryzontalne ułożenie warstw śmietniskowych i rumowiskowych, ale także znacząca różnica w wysokości zachowania północnych i południowych murów budynku B.81. Posadowienie domu B.74 na stoku w połączeniu z istnieniem fundamentu schodkowego oraz większym stopniem zachowania murów (do wyższej wysokości niż dotąd zakładano) pozwala twierdzić, że podłogi, jak i w efekcie stropodachy definiujące wnętrza tego domu mogły znajdować się na różnych poziomach.



Rycina 68. Relacja podłogi na podkładzie ze żwiru rzecznych (F.3133/F.3135) do murów nośnych budynku B.74-B.62/B.61: a) widok od północy na mur zachodni (F.2860) (fot. A. Golański), b) widok od południa na mur zachodni (F.2860) (fot. A. Golański), c) widok od południa na ścianę północną (F.3577) (fot. M.Z. Barański).

Północno-zachodni narożnik domu B.74 został mocno zniszczony przez jamy (F.1195 i F.2851), które łączone są z aktywnością poneolityczną na tellu. Fakt ten w znacznym stopniu utrudnił obserwacje stratygraficzne. Niemniej przesunięcie - w ramach badań GDN - pierwotnej linii wykopu TP w kierunku północnym oraz ponowna analiza archiwalnych planów TP pozwoliły na stwierdzenie, że podłoga z drobnych kamyków rzecznych (F.3133/F.3135) przypisana na etapie eksploracji budynkowi B.61 (Czerniak i Marciniak 2006: 105-109) dochodzi do zachodniej (F.2860) i północnej (F.3577) ściany nośnej domu B.74 (Ryc. 68). Tę obserwację potwierdzają zresztą analizy zasięgu tej jednostki eksploracji zarejestrowane na planach terenowych w części zachodniej budynku. W świetle tych spostrzeżeń wydaje się zatem prawdopodobne, że obie wymienione podłogi mogły stanowić w rzeczywistości warstwy wykończenia wnętrza budynku B.74. Innymi słowy, podłogi i warstwy

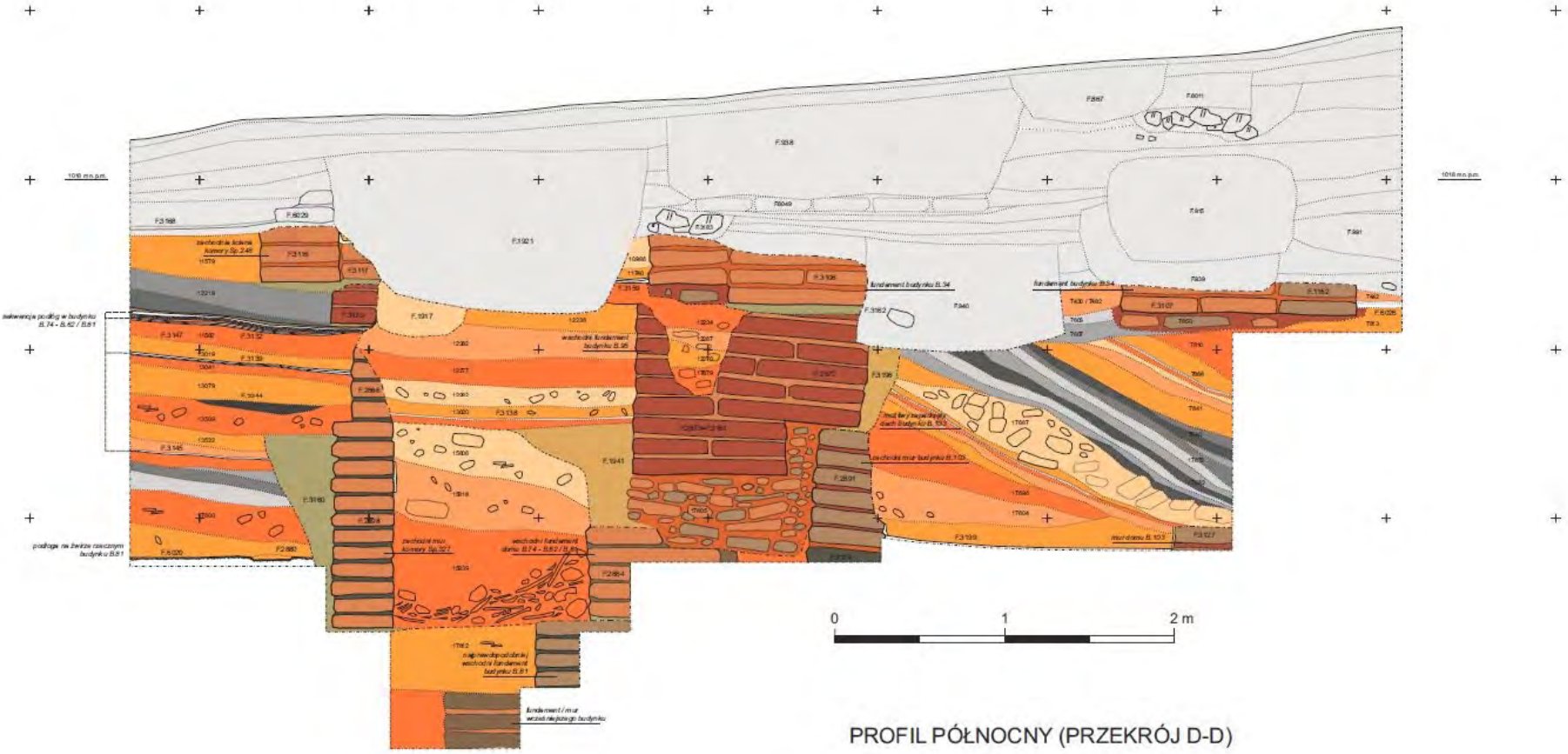
przypisane dotąd domom B.74, B.73, B.62 i B.61 ograniczone są przez te same mury, bo mają z nimi bezpośrednią fizyczną relację (Ryc. 69).



Rycina 69. Fragment profilu północnego TP (przekrój B-B) z ilustracją relacji wysokościowej sekwencji podłóg w obrębie budynku B.74-B.62/B.61 do północnego muru (F.3577) tego domu (opracowanie własne).

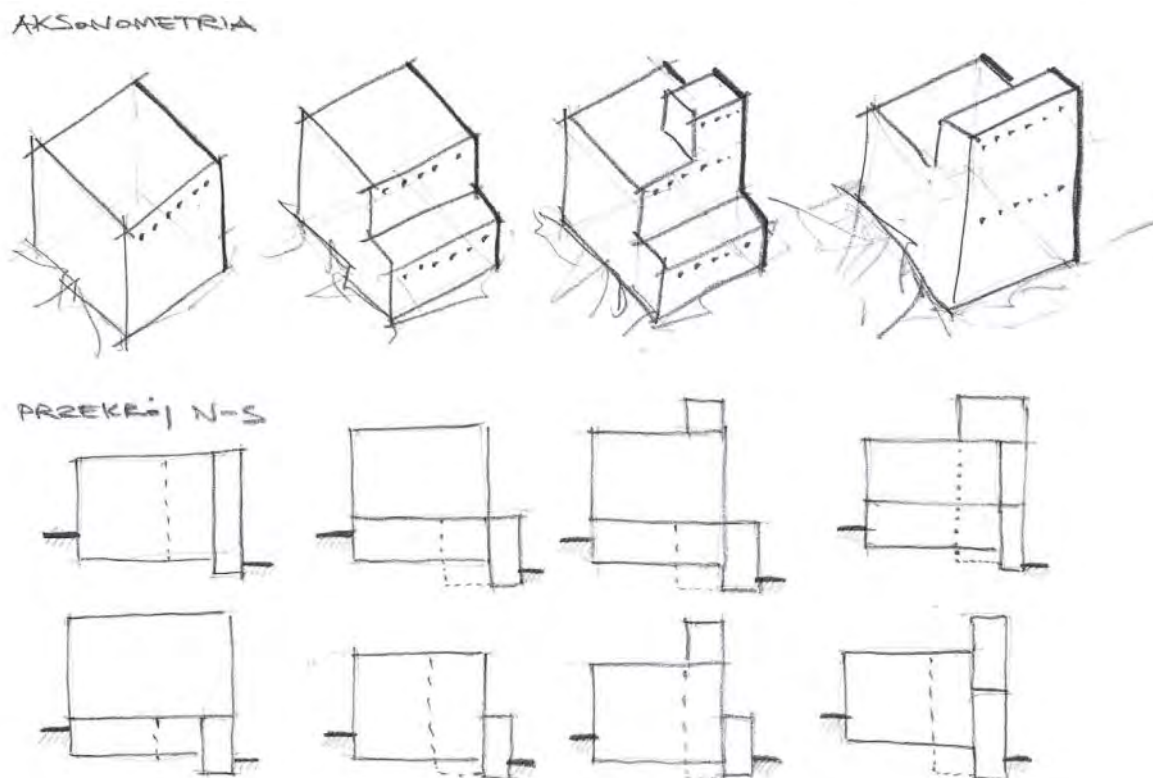
Zarysowaną hipotezę dotyczącą nowych relacji pomiędzy wyróżnianymi dotąd budynkami potwierdziły powtórne analizy północnego profilu TP w miejscu, gdzie widoczne są przekroje przez struktury stanowiące, zgodnie z obowiązującą interpretacją, wschodnią granicę domów B.74, B.73, B.62 i B.61 (Marciniak *et al.* 2015b). Należy jednak podkreślić, że liczne zarejestrowane wcięcia spowodowane budową nowych obiektów (B.95) oraz głębszymi jamami (F.980 i F.1929), a także zniszczenia konstrukcji murowanych wywołane najprawdopodobniej osunięciem się lub podmyciem mas ziemi w okresie neolitu niestety uniemożliwiają wyczerpującą i jednoznaczną obserwację relacji stratygraficznych. W tym miejscu znów z pomocą przychodzą analizy architektoniczne i geomorfologiczne, na podstawie których można twierdzić, że wschodnie mury (a w rzeczywistości fundament F.2873/F.3161) łączony dotąd z domami B.61, B.62 i B.73 były najprawdopodobniej elementem innego, późniejszego budynku domu B.95, który zachował się w bardzo niewielkim zakresie. Budowa tego budynku – opisywanego przeze mnie w dalszej części pracy – wiązała się ze znacznym zniszczeniem wschodniej i południowej części domu B.74-B.62/B.61.

Z powyższych rozważań wynika, że budynek B.74 miał najprawdopodobniej schodkowy układ konstrukcyjny, którego częścią były podłogi i obiekty architektoniczne usytuowane na różnych wysokościach oraz przypisane obecnie wnętrzą domów: B.61, B.62, B.73 i B.74 (Ryc. 70). Innymi słowy, aktualna i przywołana sekwencja budynków stanowiła moim zdaniem ślady przebudów tego samego domu. To stwierdzenie w sposób oczywisty wpływa na interpretację dotychczasowego



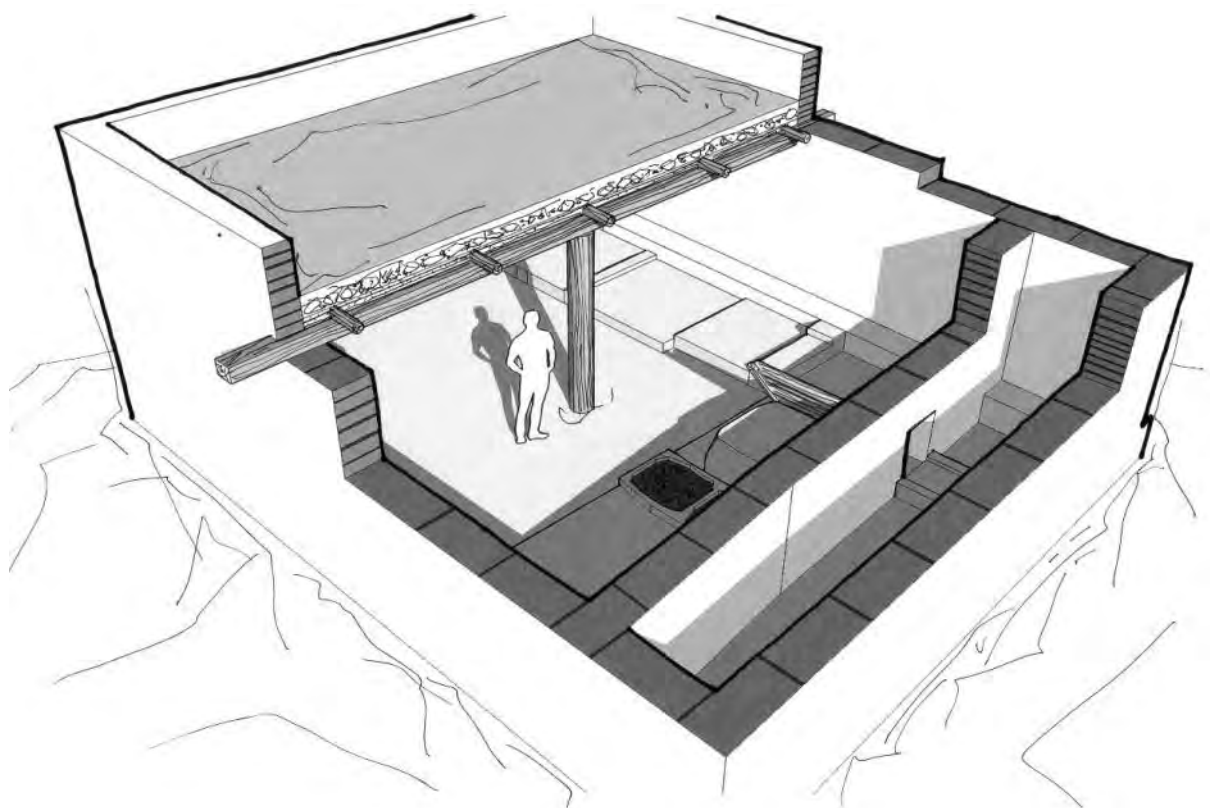
Rycina 70. Schematyczny przekrój E-E przez wykop TP na linii północ-południe wykonany na podstawie planów z rzędnymi wysokościowymi (opracowanie własne).

czasu życia domu B.74-B.62/B.61, który w efekcie znacznie się wydłuża. To, co pozostaje wciąż kwestią otwartą to pytanie o pierwotną formę w odniesieniu do wysokości poszczególnych pomieszczeń, jak i ilości kondygnacji opisywanego budynku. Biorąc pod uwagę charakter zabudowy z innych bliskowschodnich stanowisk neolitycznych wydaje się bardzo prawdopodobne, że dom ten mógł być obiektem dwukondygnacyjnym z dodatkową przestrzenią użytkową stropodachu. Nie można także wykluczyć funkcjonowania w pewnym okresie częściowego podpiwniczenia południowej części domu B.74-B.62/B.61, które dotyczyłoby pomieszczeń Sp.325 i Sp.326 lub Sp.318 (Ryc. 71). W takim przypadku jest możliwe, że przestrzeń ta mogła być użytkowana współcześnie z późnymi fazami tego budynku.



Rycina 71. Szkicowa rekonstrukcja teoretycznie możliwych powiązań przestrzenno-funkcjonalnych pomiędzy głównym pomieszczeniem B.74-B.62/B.61 a izbami: Sp.318 (ciągła linia) oraz Sp.325 i Sp.326 (przerywana linia) (opracowanie własne).

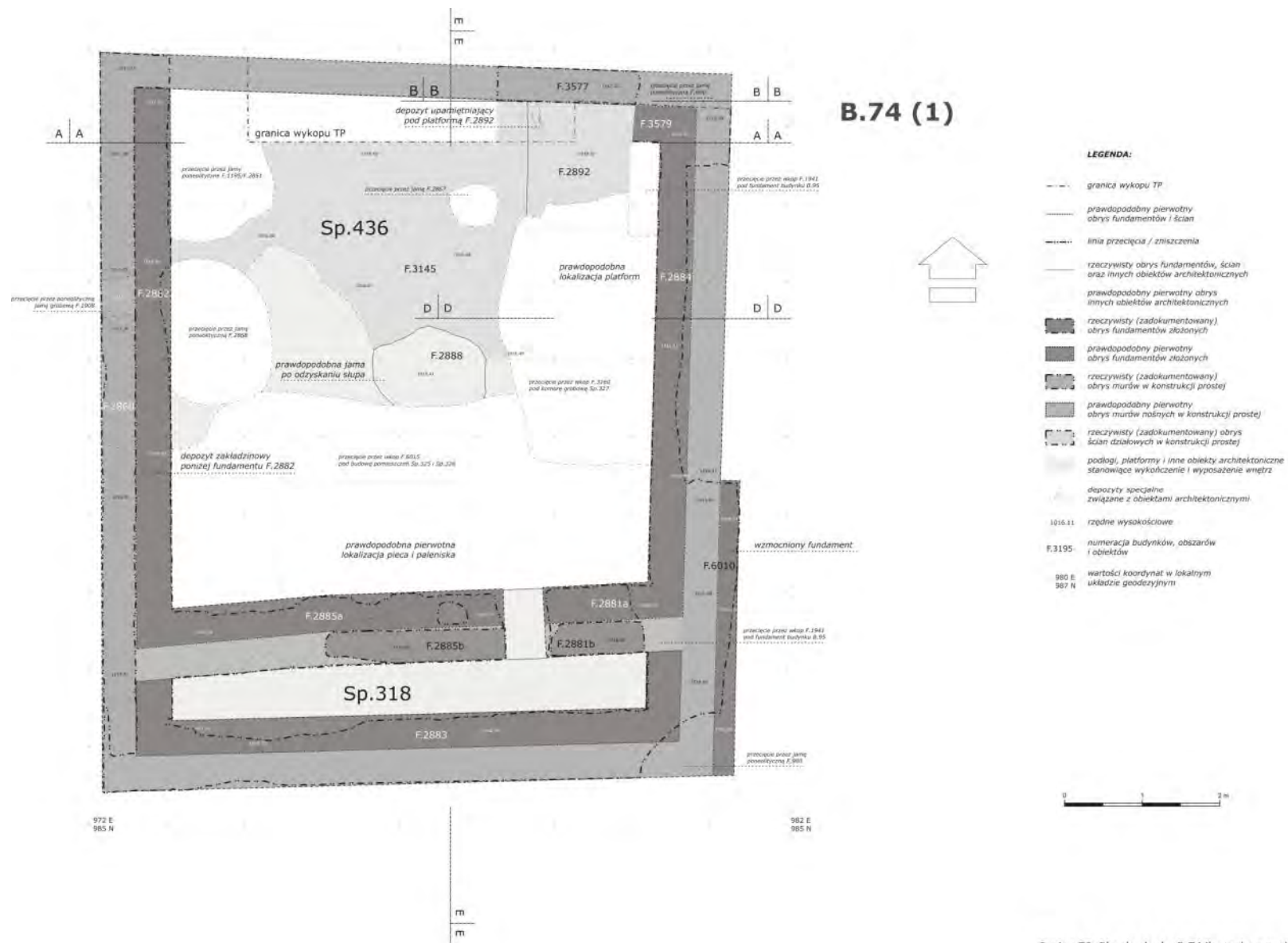
Pomieszczenia Sp.325 i Sp.326, które pozbawione były wewnętrznych obiektów architektonicznych, zostały zbudowane niezależnie od głównego układu konstrukcyjnego budynku (patrz F.2862/F.2866, F.2864 i F.2867), co potwierdza brak przewiązań przylegających do siebie elementów murowanych. Nie jest więc wykluczone, że wspomniane izby mogły zostać wybudowane w czasie użytkowania domu B.74. Taką kolejność wydarzeń sugeruje słabo czytelny wkop (F.6015), który przecina podłogę (F.3145) – pierwszą w udokumentowanej sekwencji w obrębie głównego pomieszczenia budynku B.74-B.62/B.61. Być może to ta akcja może posłużyć za wytłumaczenie dlaczego w tej części domu, we wczesnej fazie użytkowania, nie ma charakterystycznych instalacji ogniowych.



Rycina 72. Schematyczny model ilustrujący możliwy układ budynku B.74 w pierwszej fazie jego użytkowania (opracowanie własne).

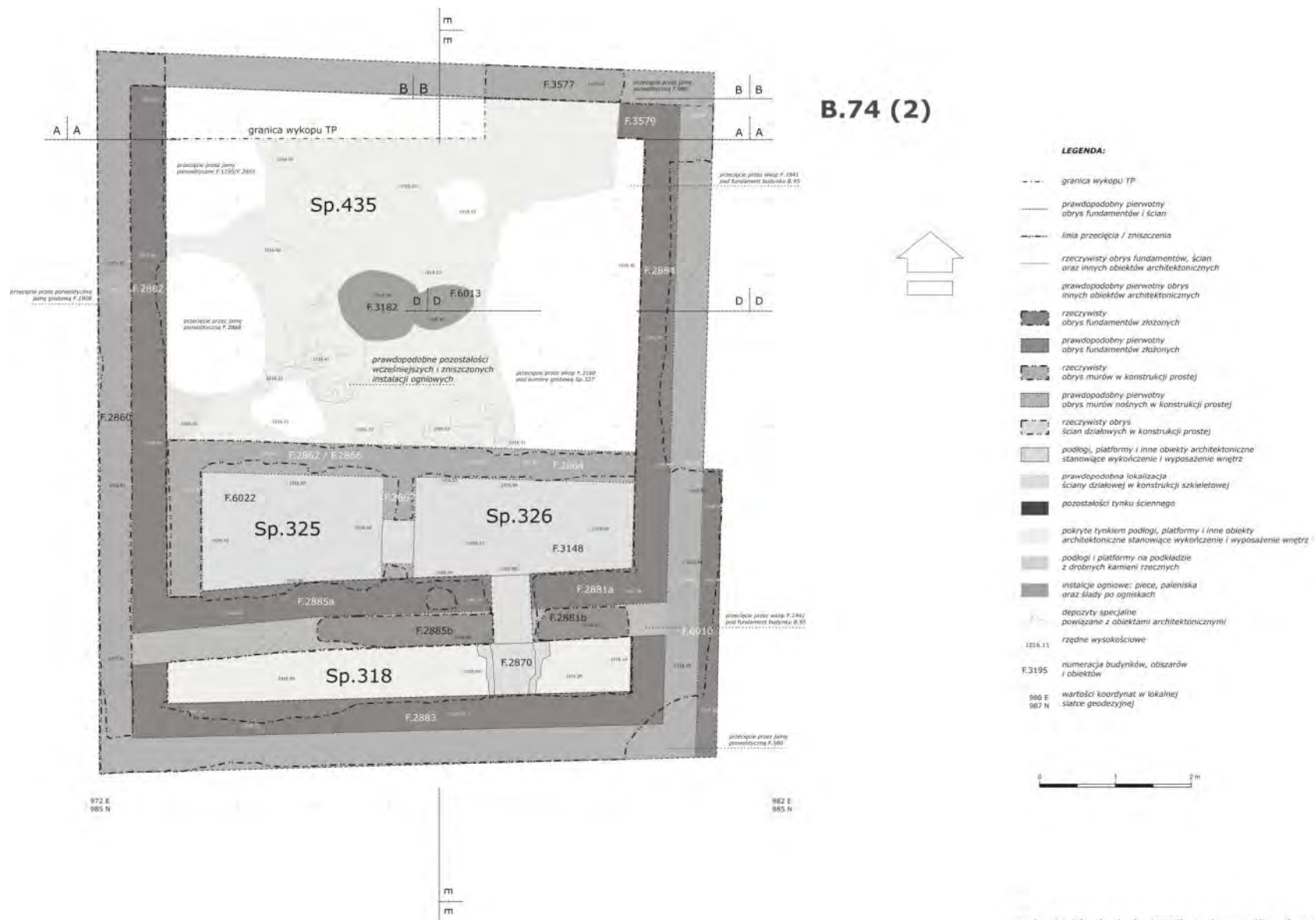
Sumując, omawiany budynek w pierwszej fazie użytkowania mógłby składać się z zaledwie dwóch pomieszczeń: dużego głównego Sp.436 (około 41 m²) oraz wąskiego i długiego aneksu Sp.318 (około 4 m²), który usytuowany był w południowej części domu (Ryc. 73). Taki dom był wydzielony z przestrzeni, jak już wspominałem, przez mury w konstrukcji prostej (F.2860 i F.3577) posadowione na złożonych fundamentach typu A (F.2881/F.2885, F.2882, F.2883, F.2884 i F.3579). Znaczną część powierzchni głównej izby wypełniała podłoga (F.3145) z ubitej gliny pokryta cienką warstwą zaczynu wapiennego. Wzdłuż wschodniej niezachowanej ściany prawdopodobnie usytuowane były platformy, co wydaje się potwierdzać fragmentarycznie zachowany obiekt tego typu (F.2892) w północno-wschodnim narożniku pomieszczenia, pod którą znajdował się depozyt upamiętniający w postaci żuchwy tura. Duża odległość pomiędzy ścianami nośnymi wskazuje na to, że część centralną izby zajmował słup podtrzymujący podciąg stropodachu. Śladem po nim w moim przekonaniu była jama (F.2888) (Ryc. 39b, e), która dotąd interpretowana jest jako palenisko (Marciniak *et al.* 2015b) ze względu na dużą zawartość spopielonego materiału, w którym wyróżniono kilka zabytków, m.in. fragmenty drewnianej łyżki [łac. *spatula*] i narzędzia kamiennego oraz niesprecyzowane obiekty z gliny⁶⁵. Niewykluczone, że w południowej części głównego pomieszczenia znajdowały się – o czym wspominałem – pierwotnie instalacje ogniowe, ale myśl ta jest czysto hipotetyczna ze względu na zniszczenia spowodowane najprawdopodobniej późniejszą budową izb: Sp.325 i Sp.326. Niejasna pozostaje także na tym etapie funkcja i wystrój aneksu Sp.318, który jednak najprawdopodobniej był połączony funkcjonalnie z resztą domu (Ryc. 72).

⁶⁵ Z jamy tej pochodzą dwie nieprzystające do siebie daty radiowęglowe (patrz Marciniak *et al.* 2015b), co może świadczyć o przemieszaniu wypełnika jamy, charakterystycznego dla dołków po odzyskaniu słupa.



Rycina 73. Plan budynku B.74 ilustrujący możliwą pierwszą fazę użytkowania tego domu (opracowanie własne).





Rycina 74. Plan budynku B.74 ilustrujący możliwą drugą fazę użytkowania tego domu (opracowanie własne).





Rycina 75. Widok od wschodu na pomieszczenie Sp.318 i próg poprzedzający wejście do izb Sp.325 i Sp.326 (fot. A. Leszczewicz).

Druga faza użytkowania budynku B.74 – w obecnej interpretacji - wiązałaby się ze znaczącą przebudową tego obiektu (Ryc. 74). Po prawdopodobnym usunięciu centralnego słupa podtrzymującego podciąg rozebrano konstrukcję stropodachu. Działanie to doprowadziło do akumulacji części materiału rozbiórkowego wewnątrz głównego pomieszczenia. Niewykluczone, że zmiana ta wymuszona była także katastrofą budowlaną. w każdym razie w części południowej dawnej izby Sp.436 posadowio częściowo zagłębione mury (F.2865/F.2866, F.2864 i F.2867) wydzielające pomieszczenia Sp.325 i Sp.326. Z tym wydarzeniem należy najprawdopodobniej wiązać nie tylko akumulację kolejnych warstw w obrębie głównego pomieszczenia Sp.439, ale i ślady ognisk (F.2867, F.3182 i F.6013). Być może także w tym czasie przebudowano otwór w południowej ścianie fundamentowej (F.2881/F.2885) oraz uformowano z gliny rozbudowany próg (F.2870), łączący pomieszczenia Sp.325 i Sp.326 z aneksem Sp.318. Prawdopodobnie to właśnie w tej ostatniej przestrzeni usytuowana była drabina umożliwiająca zejście do nowopowstałych przestrzeni, których podłogi wykonane były początkowo z materiału wapiennego (F.6022 i F.3148), a następnie – w kolejnej fazie użytkowania – na podkładzie ze żwiru (F.3150/F.3151 i F.3140/F.3149). Warto także zaznaczyć, że izby Sp.325 i Sp.326 połączone były ze sobą poprzez regularny otwór w murze (F.2867) z niskim progiem (Ryc. 75).

W kolejnej części pracy przedstawiam możliwą alternatywną historię przemian przestrzennych dotyczących głównego pomieszczenia B.74-B.62/B.62, która bezpośrednio jest związana z budową i problematyczną pozycją stratygraficzną komory grobowej Sp.327.



Rycina 76. Widok od wschodu na komorę grobową Sp.327 w trakcie eksploracji (fot. A. Leszczewicz).



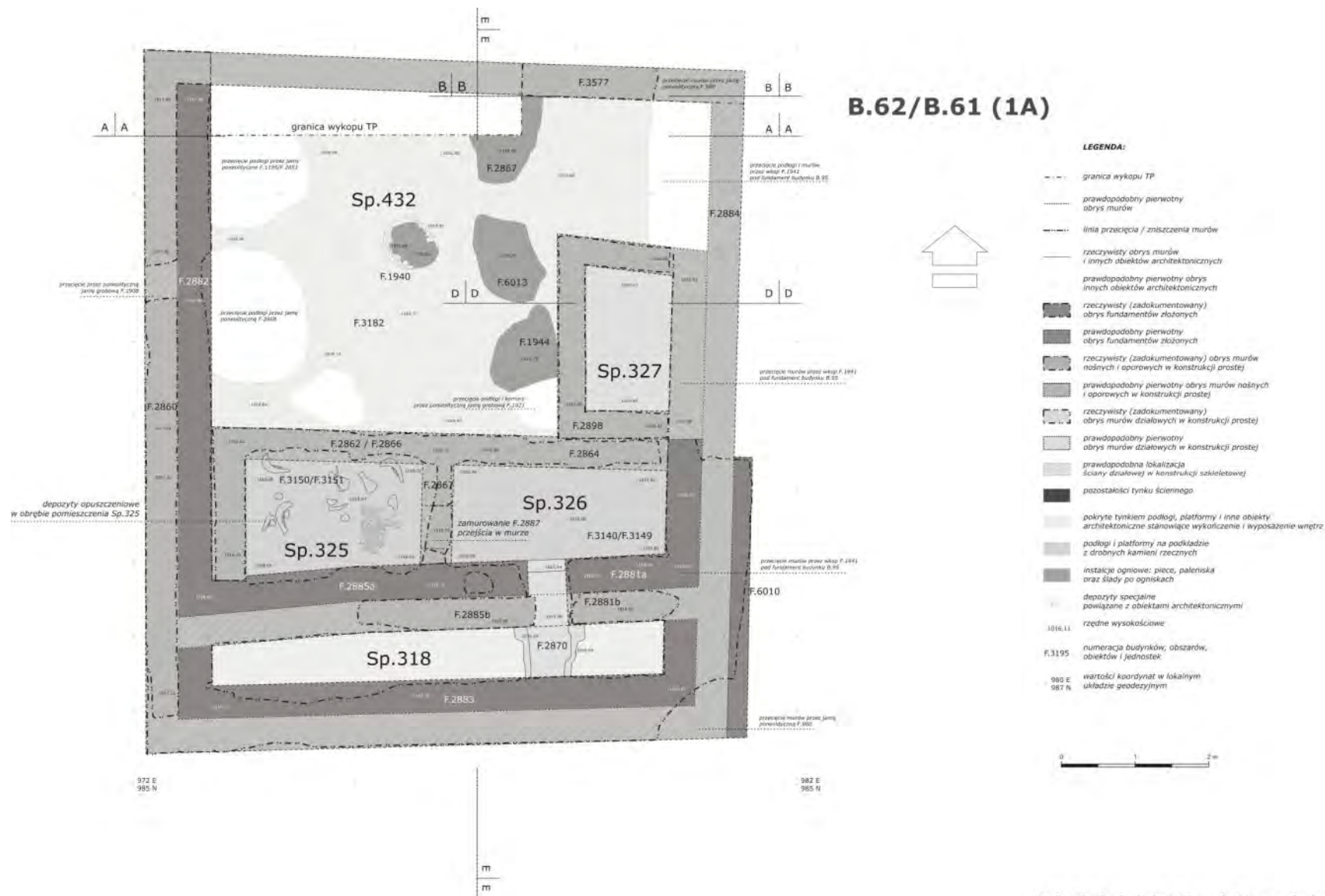
Rycina 77. Widok od wschodu na komorę Sp.327 i pochówek bez czaszki (U.17698) (fot. A. Leszczewicz).

1.4 Komora grobowa Sp.327 w sekwencji stratygraficznej TP

Komora grobowa Sp.327 stanowi niewątpliwie jedną z najbardziej charakterystycznych, intrygujących i efektownych budowli zdefiniowanych w obrębie wykopu TP (Czerniak i Marciniak 2008: 76-78) (Ryc. 76). Mimo to do dziś jej powiązania przestrzenno-funkcjonalne z innymi sąsiadującymi strukturami są niejasne. Na przykład, pewne wątpliwości budzi fakt lokalizacji komory w obrębie otwartej przestrzeni bez związku z żadnym z zarejestrowanych budynków, chociaż z drugiej strony obiekt ten mógł mieć relację z innym sąsiednim i należącym do klastra domem, tyle że niezbadanym. Nie podjęto jednak dotąd próby odpowiedzi na pytania czy komora ta znajdowała się całkowicie czy tylko częściowo pod ziemią, co stanowiło jej przekrycie, ani w jaki sposób była ona dostępna w celu depozycji kolejnych szczątków ludzkich. Zastanawiające jest również znaczące przemieszczenie tych szkieletów za wyjątkiem jednego (U.17698) i to w dodatku pozbawionego czaszki (Ryc. 76). Tu rodzi się pytanie czy wewnątrz komory było puste czy stopniowo zasypywane w ramach grzebania kolejnych zmarłych. Jaka była kolejność depozycji i czy dotyczyła ona ciał czy szkieletów pozbawionych już tkanek miękkich? Uważam, że wszystkie te kwestie są niezwykle ważne, bo wpływają na nie tylko interpretację stratygrafii TP, ale i próby rekonstrukcji organizacji przestrzenno-społecznej późnoneolitycznego Çatalhöyük.

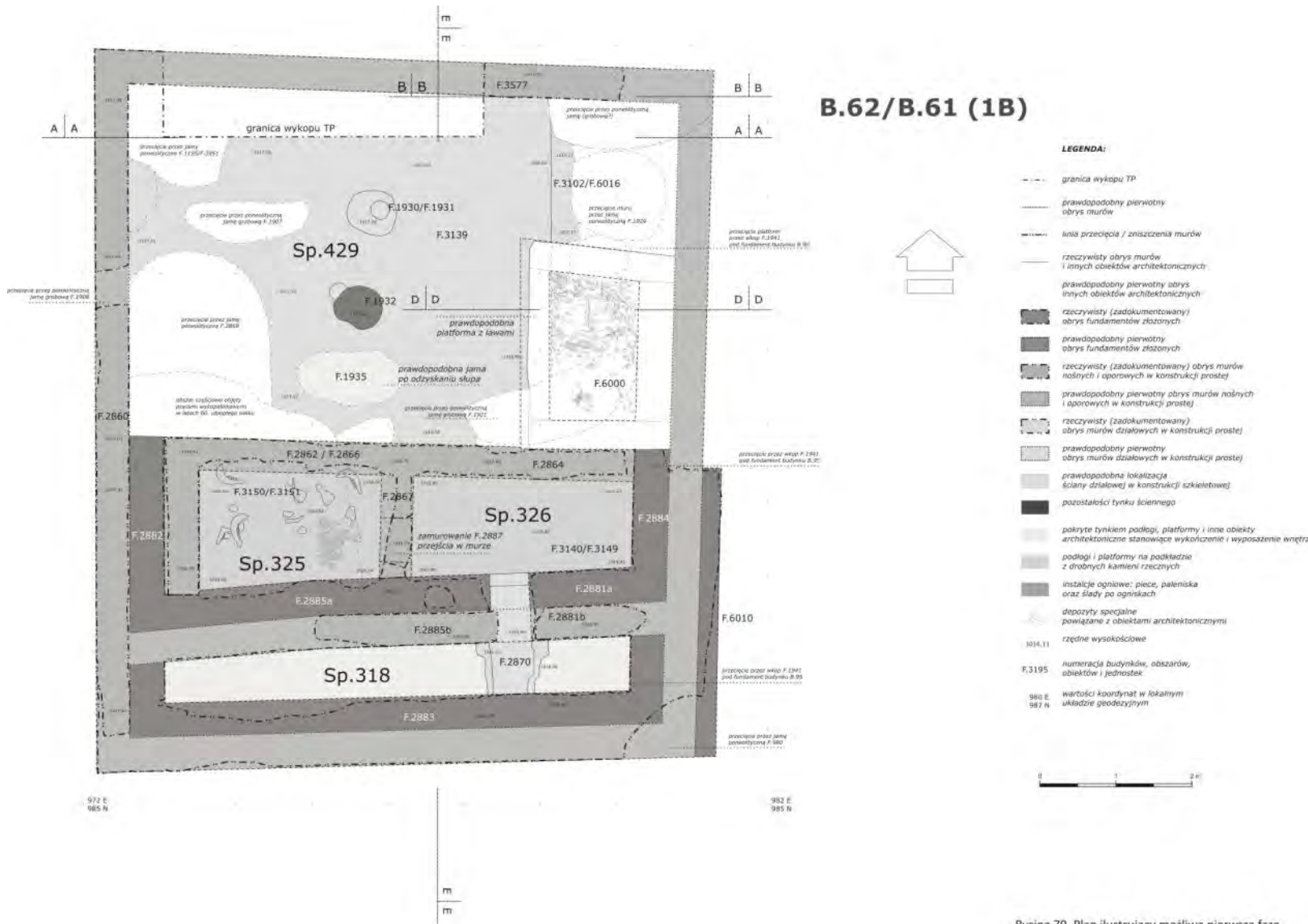
W niniejszej pracy ze względu na brak kompletnych danych antropologicznych nie jestem w stanie odpowiedzieć na wszystkie postawione powyżej pytania. Niemniej przeprowadzone przeze mnie analizy pozwalają na rzucenie nowego światła na formę i kontekst przestrzenny omawianej komory. Są jednocześnie tylko próbą innej interpretacji opartej na ustaleniach dotyczących opisanego wcześniej charakteru budynku B.74. Nie wszystkie relacje architektoniczno-stratygraficzne można odtworzyć, niemniej dokonałem dwóch podstawowych obserwacji, które różnią się od dotychczasowych ustaleń (por. Marciniak *et al.* 2015b). Pierwsza z nich dotyczy faktu, że komora grobowa zlokalizowana była w obrębie budynku B.62/B.61 (co wynika ze wcześniejszych ustaleń, polegających na reinterpretacji sekwencji domów: B.74-B.62/B.61) oraz została wybudowana w ramach znaczącej przebudowy budynku B.74. Druga sugeruje depozycję szczątków ludzkich w komorze przez stosunkowo długi czas równoległe z użytkowaniem domu B.62/B.61 (Ryc.78-81).

Komora Sp.327 usytuowana była w obrębie wyraźnego wkopu (F.3160), przecinającego sekwencję stratygraficzną przynajmniej od poziomu tuż przed wykonaniem podkładu pod podłogę (F.3139) głównego pomieszczenia Sp.429/Sp.438 budynku B.62/B.61 (w dotychczasowej interpretacji B.62 – patrz Czerniak i Marciniak 2006: 109-111) (Ryc. 81-82). Stwierdzenie to opiera się na obserwacji, że arbitralnie wyróżniane dotąd mury (F.2898 i F.2866) związane odpowiednio z tym obiektem oraz problematycznym pomieszczeniem Sp.320 - pozbawionym wiarygodnego kontekstu (patrz Marciniak i Czerniak 2007: 118-120) - w rzeczywistości stanowią najprawdopodobniej ten sam układ konstrukcyjny (Ryc. 82). Przemawia za tym charakterystyka cegieł mułowych i zaprawy użytych do budowy tych elementów, a także ich układ i bezpośrednia relacja fizyczna. W efekcie można zasugerować, że komora została wykonana w ramach przebudowy budynku B.74, a nie jak dotąd sądzono, w pewnym odstępie czasowym po całkowitym wyłączeniu jego z użytkowania (Ryc. 78). Jednocześnie wspomniany wkop pod ten obiekt przeciął glinianą podłogę (F.3146) i platformę (F.2892), umożliwiając dostawienie komory do wschodniej ściany fundamentowej (F.2884) domu B.74.



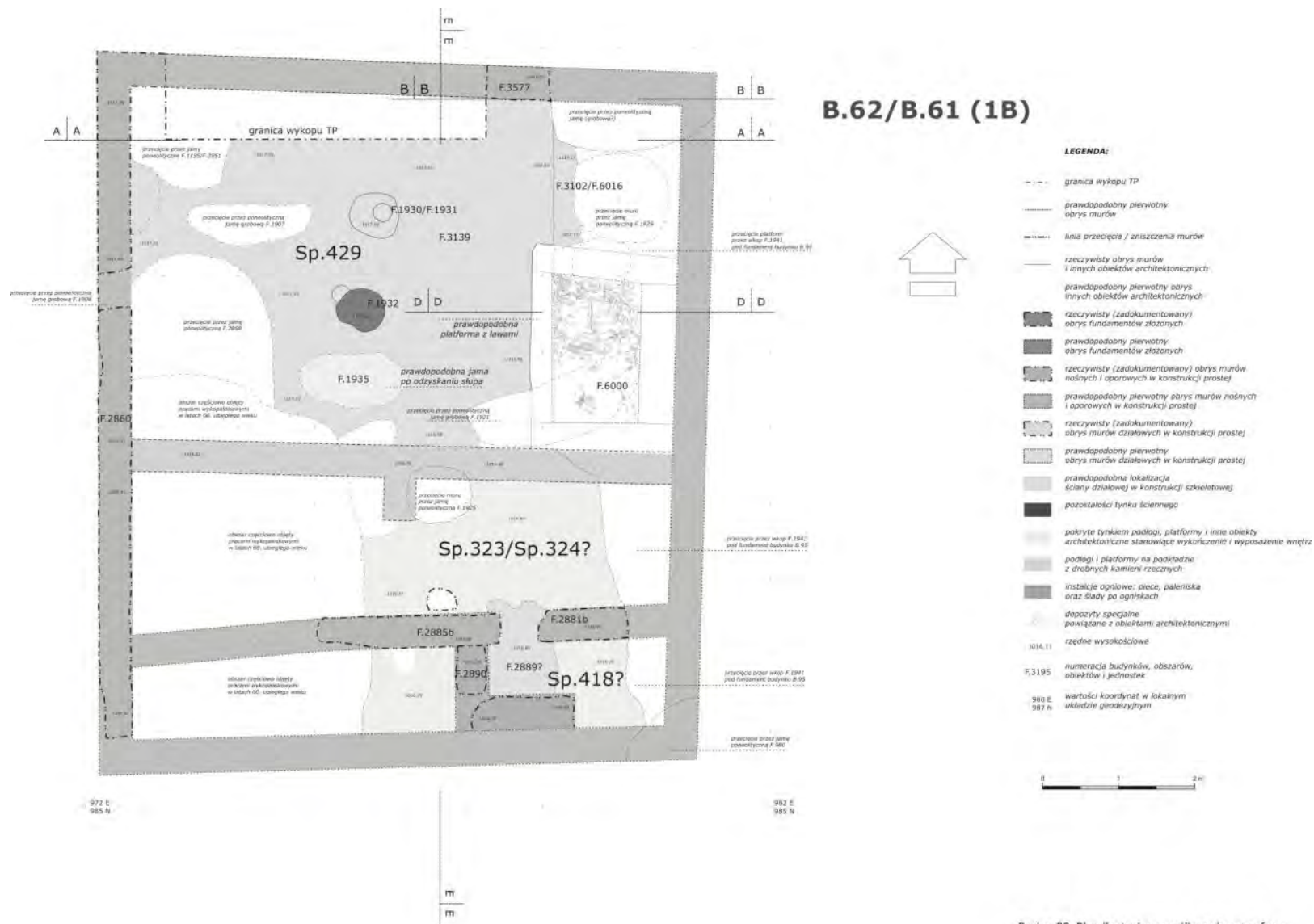
Rycina 78. Plan budynku B.74 w trakcie jego przebudowy związanej z konstrukcją komory grobowej Sp.327 (opracowanie własne).



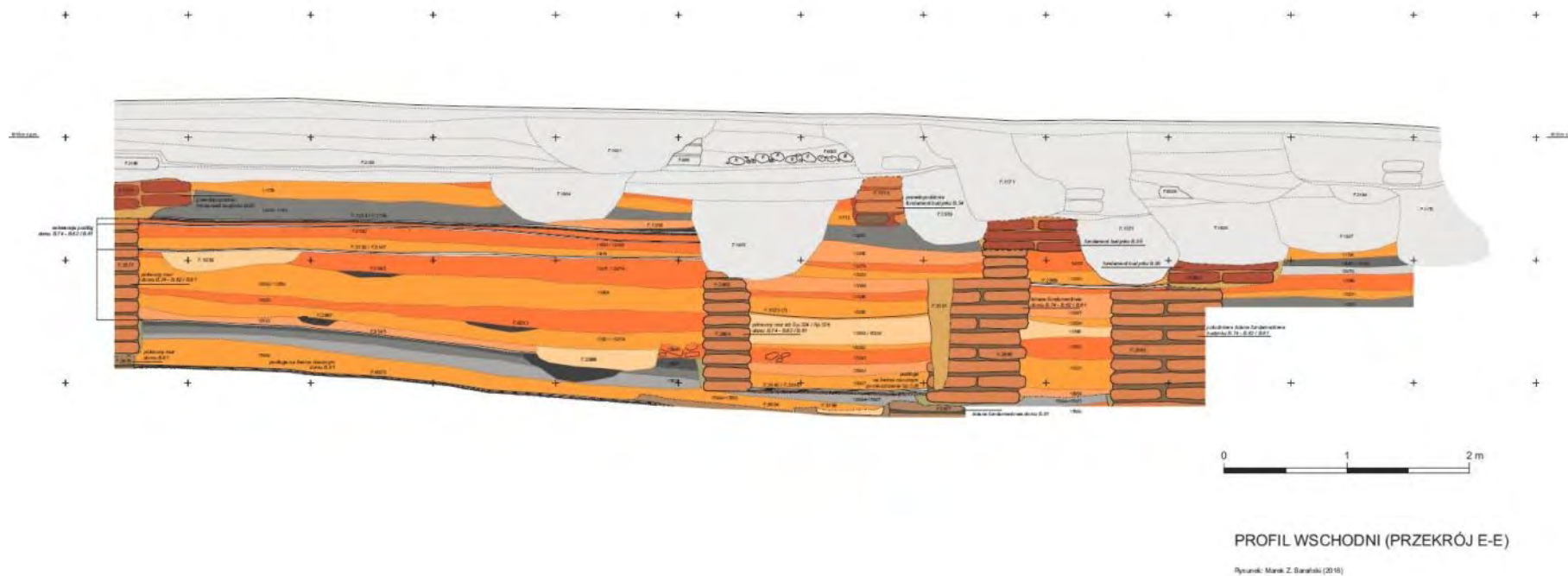


Rycina 79. Plan ilustrujący możliwą pierwszą fazę budynku B62/B.61 z uwzględnieniem komory grobowej Sp.327 oraz pomieszczeń Sp.325 i Sp.326 (opracowanie własne).





Rycina 80. Plan ilustrujący możliwą pierwszą fazę budynku B62/B.61 z uwzględnieniem komory grobowej Sp.327 oraz pomieszczeń Sp.323 i Sp.324 (opracowanie własne).



Rycina 81. Przekrój D-D przez sekwencję stratygraficzną wykopu TP wykonany na podstawie fotografii oraz planów z rzędnymi wysokościowymi (opracowanie własne).



Rycina 82. Widok od północnego-zachodu na komorę Sp.327 i związany z jej budową wkop fundamentowy. Przy okazji widać, że mury łączone dotąd z grobowcem (6 dolnych rzędów cegieł) oraz pomieszczeniem Sp.320 (3 górne rzędy cegieł) stanowiły najprawdopodobniej jedną integralną konstrukcję (fot. A. Leszczewicz).

Z budową komory związane są najprawdopodobniej ślady palenisk (F.1939, 1944 i F.1945) oraz relikwenty pieca kopulastego (F.1940) zarejestrowane w obrębie dawnego głównego pomieszczenia budynku B.74 przekrytego w tamtym czasie zróżnicowanymi warstwami rumowiskowymi. Ta otwarta przestrzeń, mająca być ograniczona w znacznym stopniu ścianami fundamentowymi wspomnianego domu, a także problematycznym fundamentem (F.2873/F.3161) przecinającym komorę grobową S.327, opisywana jest zgodnie z dotychczasową interpretacją jako część budynku B.73 (Marciniak *et al.* 2015b; patrz także Czerniak i Marciniak 2006: 111-114; Marciniak i Czerniak 2007: 120-121). W moim przekonaniu określenie „budynek” w stosunku do tak zdefiniowanej i tymczasowej przestrzeni jest jednak niewłaściwe. Problematyczne jest także samo wydzielenie tej kategorii.

Po pierwsze budynek, w rozumieniu powszechnym, to obiekt budowlany trwale związany z gruntem, wydzielony z przestrzeni za pomocą przegród budowlanych, posiadający fundamenty i - co ważne - dach. Taka, współczesna definicja, nie odbiega zresztą od tej przyjętej w systemie metodycznym obowiązującym podczas badań wykopaliskowych na tellu (patrz Farid i Hodder 2014: 46). Stosowany dotąd termin jest więc w sposób oczywisty niewłaściwy i mylący, co ma znaczące i daleko idące konsekwencje na poziomie zróżnicowanych analiz specjalistycznych. Pod innym kątem patrzy się bowiem na warstwy i artefakty składające się na dom, a inaczej na przestrzeń otwartą, nawet jeśli zlokalizowana była ona w opuszczonym wnętrzu dawnego domu.



górną partią muru (F.2866)
komory Sp.327

dolną partią muru (F.2898)
komory Sp.327

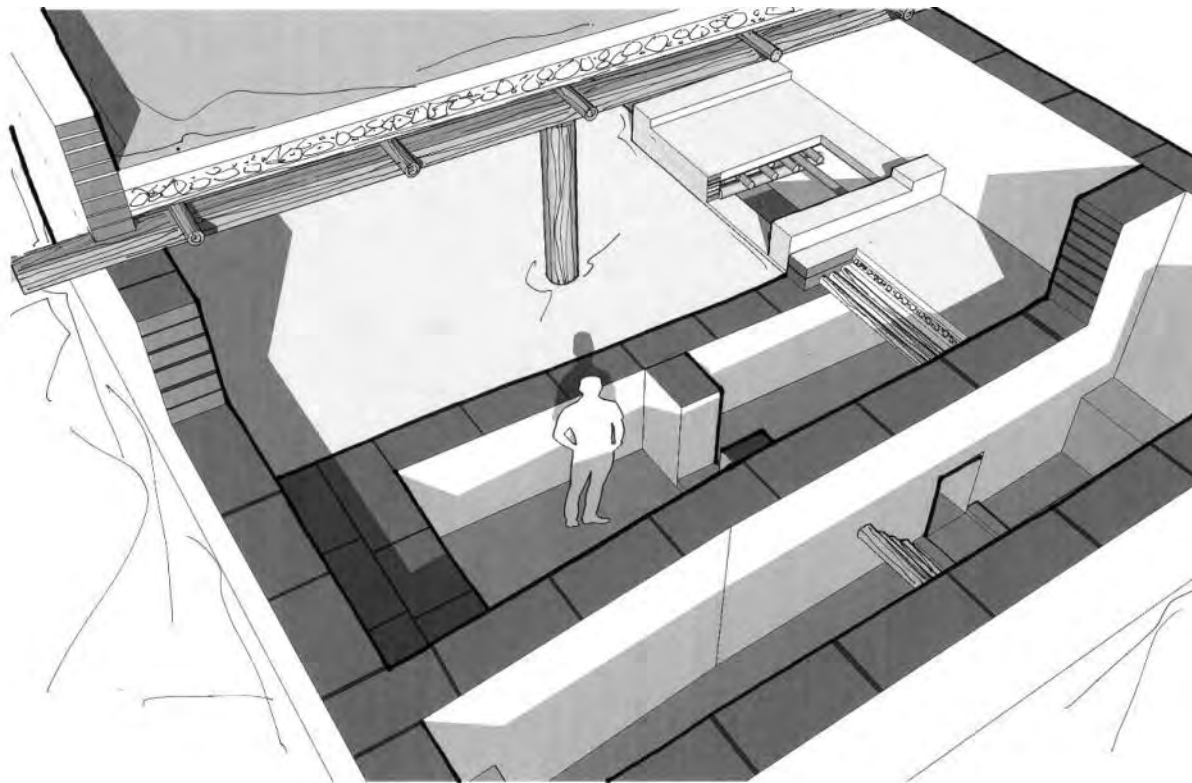
Rycina 83. Widok od strony południowej na profil, na którym widoczne są relikty murów związanych najprawdopodobniej z komorą Sp.327. Dolne szersze rzędy cegieł mogły służyć jako fundament dla górnych węższych rzędów cegieł (fot. A. Golański).

Po drugie, w żaden uzasadniony architektoniczny sposób nie można wyróżnić fundamentów (F.2873/F.3161) przypisanych budynkom: B.73 i B.62. Konstrukcje te zresztą związane są, jak już wspominałem, z innym i późniejszym domem B.95 oraz przecinają warstwy włączone do przedmiotowej przestrzeni otwartej Sp.432 (patrz kolejny podrozdział poświęcony komorze Sp.248). W efekcie zróżnicowane sedymenty przypisane obszarowi B.73 najprawdopodobniej wyznaczają fazę gruntownej przebudowy domu B.74 związaną z budową komory grobowej Sp.327 lub/i zabiegiem polegającym na podwyższeniu stropodachu. Jednocześnie nie ma przekonujących przesłanek architektonicznych do wydzielenia w ramach obszaru B.73 przestrzeni Sp.320, gdyż zachowane w jej obrębie prawdopodobne ślady podłogi (F.3138) oraz paleniska (F.2854) są późniejsze nie tylko od komory Sp.327, ale także wschodniego fundamentu i ściany fundamentowej (F.2873/F.3161) budynku B.95, do których przylegają (Ryc. 79-80).

W oparciu o powyższe obserwacje i uwagi sugeruję wykreślenie budynku B.73 z sekwencji stratygraficznej TP. W efekcie obszar Sp.432 traktuję jako otwartą przestrzeń w obrębie zachowanych murów zewnętrznych budynku B.74, która była krótkotrwale użytkowana w związku z budową i wykończeniem komory grobowej Sp.327, z czym związane są moim zdaniem ślady palenisk (F.1940, F.1944, F.2867 i F.6013). W przedstawianym tu nowym kontekście przestrzennym wspomniany obiekt stanowił integralną część budynku B.62/B.61, choć jednocześnie ewidentnie go poprzedza jako być może swego rodzaju obiekt zakładzinowy.

Wewnętrzne lica ścian (F.2866/F.2898) komory Sp.327 były starannie wykonane i ozdobione najprawdopodobniej dookólnym pasem dekoracyjnym, podczas gdy powierzchnia zewnętrzna murów była w wielu miejscach nieregularna. Jest to najprawdopodobniej konsekwencją budowy

ścian od środka, co tylko wzmacnia obserwację o istnieniu głębokiego wykopu fundamentowego (F.3160) oraz fundamentów i ścian fundamentowych (F.2884) budynku B.74-B.62/B.61, ograniczających lub wręcz uniemożliwiających dostęp do komory od zewnątrz. Jest to przesłanką do tezy, że komora w całości lub znacznej części zagłębiona była w gruncie.

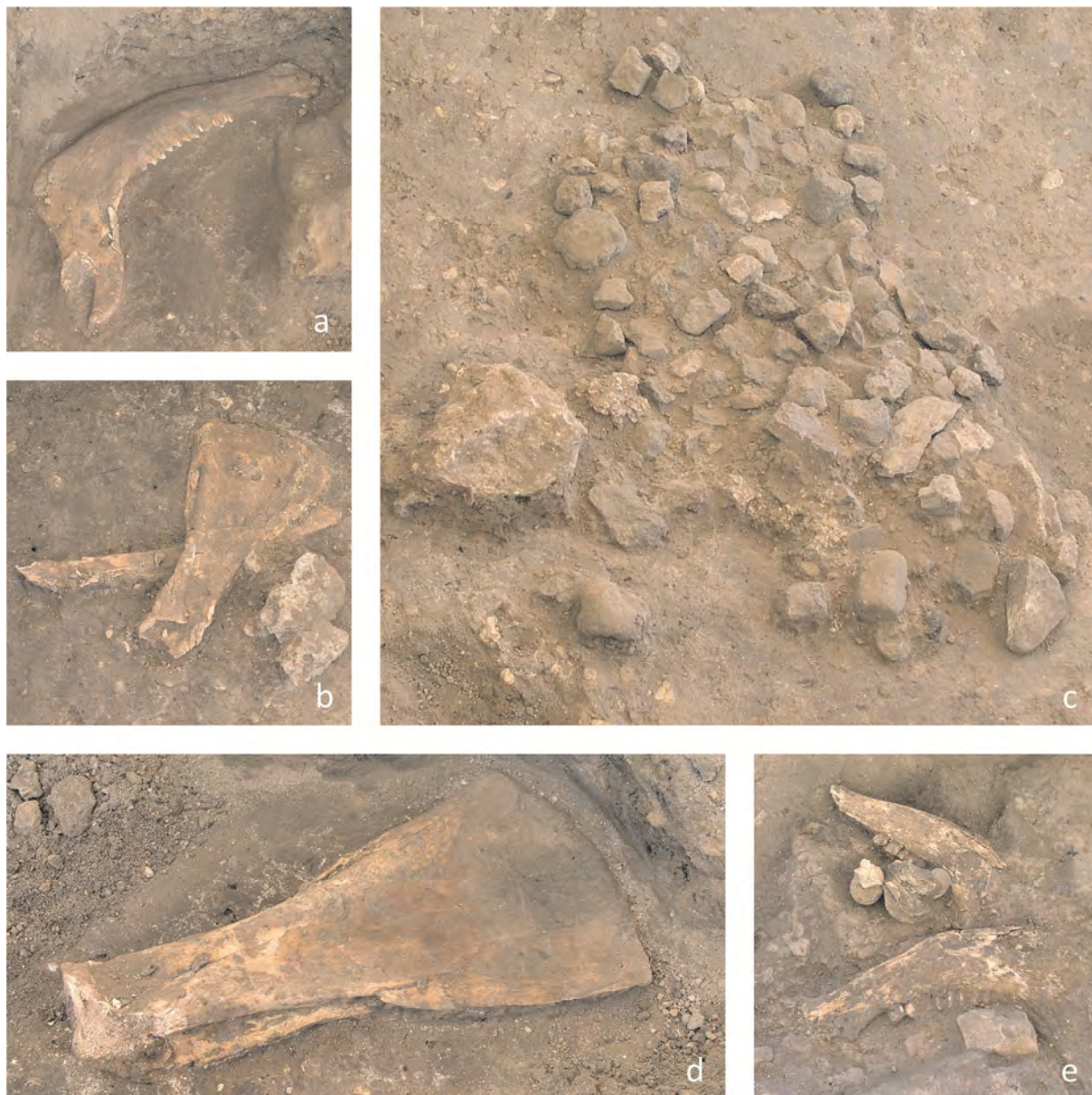


Rycina 84. Schematyczny model ilustrujący możliwy układ budynku B.62/B.61 z komorą grobową Sp.327 dostępną od góry (opracowanie własne).

Nie wydaje się mi możliwe - w oparciu o obecnie dostępne dane - ustalenie czy i w jakim stopniu komora Sp.327 widoczna była ponad poziomem podłogi (F.3139) głównego pomieszczenia Sp.429/Sp.438 budynku B.62/B.61 (Ryc. 84). Jeśli tak to moim zdaniem raczej nieznacznie, nawiązując swoją formą być może do charakterystycznych platform i wznosząc się do około 30 cm nad powierzchnię podłogi. Najprawdopodobniej komora była przekryta m.in. żerdziami, matą roślinną oraz rzędem cegieł i warstwą ubitej gliny pokrytych tynkiem. Jeśli przyjmiemy stropodach jako prawdopodobną formę przekrycia pomieszczenia Sp.327 to trudno wyobrazić sobie (choćby ze względu na zapach towarzyszący rozkładaniu się zwłok⁶⁶), że istniał w nim stały otwór umożliwiający dostęp do wnętrza tego obiektu. Wydaje się natomiast prawdopodobne, że wejście do komory było usytuowane w stropodachu, w którym - na potrzeby zdeponowania kolejnych szczątków - każdorazowo na nowo wykonywano i zasklepiano stosowny otwór. Być może do przedmiotowego pomieszczenia alternatywnie wchodziło się przez wycięcie we wschodniej lub południowej ścianie, ale jest to w moim przekonaniu mało prawdopodobne. W pierwszym przypadku komora musiałaby być dostępna od zewnątrz budynku, a w drugim albo z poziomu głównej izby Sp.429, wznosząc się

⁶⁶ Zdaniem niektórych badaczy szczątki ludzkie były zdeponowane w docelowych jamach grobowych dopiero po tym jak wcześniej oddzielone zostały od szkieletów części miękkie, co mogło mieć miejsce podczas ekspozycji zwłok poza stanowiskiem oraz przy udziale sępów (patrz Pilloud *et al.* 2016).

przynajmniej około 1 m nad podłogą, albo od strony pomieszczenia Sp.326 z przejściem usytuowanym wysoko nad dolnym poziomem depozycji pochówków. Niemniej wejście do komory z pewnością znajdowało się w części południowej tego pomieszczenia, o czym świadczy brak zadokumentowanych w tym miejscu szczątków ludzkich.



Rycina 85. Depozyty opuszczeniowe znalezione na podłogach (F.3140/F.3149 i F.3150/F.3151) pomieszczeń Sp.325 i Sp.326: a) żuchwa bydlęca (fot. A. Leszczewicz), b) łopatka i długa kość bydlęca (fot. A. Leszczewicz), c) skupisko fragmentów narzędzi i urządzeń kamiennych (fot. A. Leszczewicz), d) łopatka bydlęca (fot. A. Leszczewicz), e) żuchwy bydlęce (fot. A. Leszczewicz).

Nie tylko komora i główne pomieszczenie Sp.429/Sp.438 budynku B.62/B.61, ale i izby Sp.325 i Sp.326 mogły funkcjonować w tym samym czasie (patrz Ryc. 90). Należy jednak podkreślić, że ze względu na problemy w zdefiniowaniu miejscowych układów stratyfikacji, relacje przestrzenno-funkcjonalne pomiędzy wymienionymi przestrzeniami pozostawiają szerokie pole do interpretacji. w każdym razie niewątpliwą cezurą wyznaczającą kolejne etapy zamknięcia pomieszczeń Sp.325 i Sp.326 są: a) moment zdeponowania na podłodze pomieszczenia Sp.325 bogatego zestawu kości – głównie bydlęcych łopatek i żuchw – oraz pofragmentowanych glinianych i kamiennych artefaktów,

a także zamurowanie przejścia (F.2887) łączącego izby Sp.325 i Sp.326 oraz b) depozyty opuszczeniowe na podłodze pomieszczenia Sp.326 (Marciniak i Czerniak 2007: 116-117; patrz także Barański et al. 2015b: 121-122) (Ryc. 85).

Warto w tym miejscu wspomnieć, że w ramach dotychczasowej interpretacji TP wyróżnia się nietypowy budynek B.72 w postaci obiektu ograniczonego prostymi przegrodami (F.2862) i przekrytego najprawdopodobniej lekkim dachem, który podparty był na słupach, o czym świadczą mają zarejestrowane ślady po prawdopodobnych dołkach postłupowych (F.1946, F.1947, F.1948, F.2857, F.2858 i F.3191) (Marciniak i Czerniak 2007: 115-116). Podobnie jak w przypadku budynku B.73, tak i w tym określenie „budynek” budzi moje wątpliwości, gdyż struktura ta może być – biorąc pod uwagę interpretację architektury i system metodyczny w Çatalhöyük (patrz Farid i Hodder 2014) – postrzegana jako tożsama z domem. Stąd bardziej właściwe wydaje się mi w tym kontekście ograniczenie do nazw pomieszczeń, składających się na ten obiekt czyli Sp.323 i Sp.324.



Rycina 85. Widok od północno-zachodu na relikty architektury łączone z pomieszczeniami Sp.323 i Sp.324 oraz odkryte w obrębie wykopu Jamesa Mellaarta (fot. A. Golański).

Pomieszczenia Sp.323 i Sp.324 zostały wydzielone w południowej części budynku B.74 oraz w sposób wierny i bezpośredni nawiązywały do układu izb Sp.325 i Sp.326. Mianowicie górne partie murów (F.2864, F.2866 i F.2867) wydzielających z przestrzeni wcześniejsze pomieszczenia zostały arbitralnie przypisane do tych późniejszych. Struktury te wzniesione były z wtórnie pozyskanych fragmentów cegieł i innych obiektów architektonicznych, co – w połączeniu z ich słabym przewiązaniem oraz stosunkowo niewielką szerokością – wyklucza pełnienie przez nich funkcji nośnej. W obrębie pomieszczeń Sp.323/Sp.324, nie licząc arbitralnie zdefiniowanej powierzchni użytkowej (F.3141) oraz luźnych fragmentów podłogi na podkładzie ze żwiru (F.3144), nie natrafiono

na żadne obiekty architektoniczne (Marciniak i Czerniak 2007: 115-116). To wszystko sugeruje tymczasowość i prowizoryczność tego założenia, co jednak pozostaje w sprzeczności z wynikami programu datowania radiowęglowego (patrz Marciniak *et al.* 2015b). Mianowicie zgodnie z tymi badaniami czas użytkowania tej przestrzeni miałby się zamykać w okresie od 30 do 155 lat, co jest okresem zdecydowanie dłuższym niż okres funkcjonowania większych i bardziej złożonych budynków wydzielonych w obrębie TP. Kwestia ta budzi moje wątpliwości i chciałbym poddać ją dyskusji.

Po pierwsze, obszar a z nim obiekty architektoniczne definiujące omawiane pomieszczenia został objęty częściowymi pracami eksploracyjnymi w latach 60. XX wieku (Ryc. 85). Ówczesny wykop, jak już wspominałem, nie został zabezpieczony i został wypełniony w znacznej części w sposób naturalny materiałem pochodzącym z erozji profili. Nie wykluczałbym sytuacji, w której zdefiniowane luźne fragmenty podłogi (F.3144) w rzeczywistości były pierwotnie częścią powierzchni wykończeniowej pomieszczenia Sp.429/Sp.438 budynku B.62/B.61. Ponadto, arbitralnie wydzielona podłoga (F.3141) może być śladem udeptania dawnego dna wykopu lub zapisem procesu stopniowego deponowania się warstw w otwartym wykopie, czego świadectwa stwierdziłem w wielu innych miejscach podczas badań GDN. Z kolei ślady po problematycznych dołkach postępowych mogły być pozostałością powszechnie spotykanych na tellu jam wydrążonych przez gryzonie lub nawet lekkiej konstrukcji niezwiązanej z okresem neolitycznym. Przedstawione wątpliwości powinny moim zdaniem skłaniać do ostrożnych prób rekonstrukcji formy i charakteru pomieszczeń Sp.323/Sp.324.

Po drugie, zdecydowana większość próbek pobranych do wydatowania budynku B.72 pochodzi z otwartej przestrzeni na północ od pomieszczeń Sp.323 i Sp.324, która – zgodnie z interpretacją przedstawioną w niniejszej rozprawie – związana jest z przebudową domu B.74 i budową komory grobowej Sp.327. Jedyna próbka pochodząca z wnętrza wspomnianych, a mianowicie z problematycznej podłogi (F.3141), to niezidentyfikowany fragment węgla drzewnego o nieznanym wieku, który - jak zresztą zauważono - może wywoływać tzw. efekt „starego drewna”⁶⁷ (Marciniak *et al.* 2015b: 161). Biorąc pod uwagę powyższe rozważania i wątpliwości, skłaniam się ku interpretacji pomieszczeń Sp.323 i Sp.324 jako kolejnej, choć problematycznej (ze względu na opisane wcześniej depozyty opuszczeniowe) fazy użytkowania izb Sp.325 i Sp.326 lub, co bardziej prawdopodobne, jako części budynku B.95.

Problematyczna pozycja stratygraficzna i niejasna pierwotna forma architektoniczna opisywanych izb, jak i komory Sp.327 mają bezpośredni wpływ na próby rekonstrukcji charakteru głównego pomieszczenia Sp.429/Sp.438 budynku B.62/B.61. Niezależnie jednak od istniejących wątpliwoziz pierwszą i drugą fazą użytkowania tej przestrzeni związane są: sekwencja podłóg z ubitej gliny (F.3139 i F.3147) oraz murowanych po obrysie platform (F.6016), których relikty zachowane były w północno-zachodnim narożniku omawianego domu (Ryc. 87-88). Bardzo prawdopodobne, jak już wspomnałem, jest też usytuowanie bardziej na południe wzdłuż wschodniej

⁶⁷ Dariusz A. Sikorski (2011: 213-215) efekt „starego drewna” tłumaczy w następujący sposób: „określając wiek danej próbki, określamy w rzeczywistości wiek konkretnych stojów (w zależności od wielkości próbki, jednego bądź łącznie kilku sąsiadujących). Ustalona data radiowęglowa dla konkretnego słoju nie ma zatem nic wspólnego z ustaleniem daty (nawet orientacyjnej) ścięcia drzewa, która (...) wyznacza *terminus post quem* wykorzystania przez człowieka danego kawałka drewna. Jeśli nieznanne jest nam miejsce w drewnie, z którego datowana próbka pochodzi, to między rzeczywistym czasem ścięcia drzewa a uzyskanym przedziałem czasu po kalibracji wyników dla owej próbki, istnieje nieznaną nam różnica, która może być niewielka (jeśli badana próbka pochodzi ze stojów bliskich zewnątrz), ale też może być bardzo znaczna (jeśli pochodzi z okolic przyrdzeniowych). Zasadniczy problem polega na tym, że najczęściej nie jesteśmy w stanie tej wielkości nawet oszacować”.

ściany podobego w formie obiektu, zamykającego od góry komorę grobową Sp.327. To miejsce charakteryzuje się jednak znacznym ogólnym poziomem zniszczeń spowodowanym wkopem (F.1941) pod fundament (F.2873/F.3161) budynku B.95, a także wcięciami związanymi z głębokimi jamami poneolitycznymi, w tym przede wszystkim grobem z czasów seldżuckich (F.1921). W części północnej pomieszczenia Sp.429/Sp.439, w pewnym oddaleniu od północnego mur (F.3577), zadokumentowano palenisko (F.1933), a w północno-zachodniej pozostałości prawdopodobnej ściany działowej (F.3104) o planie w kształcie litery L. W niewielkiej odległości od tej ostatniej, w kierunku południowym, wydzielono problematyczną jamę (F.1938), która w moim przekonaniu może stanowić dołek po odzyskaniu słupa podtrzymującego podciąg stropodachu (Ryc. 40d). Części południowa i południowo-zachodnia pomieszczenia Sp.429/Sp.438 zostały całkowicie zniszczone w wyniku zróżnicowanych procesów podepozycyjnych, w tym kolejnych jam poneolitycznych (np. F.2868), jak i prac wykopaliskowych w latach 60. ubiegłego wieku, co uniemożliwia rekonstrukcję ich charakteru. Stąd też nie jest możliwe do określenia czy układ konstrukcyjny izb Sp.325 i Sp.326 zamykał przestrzeń głównego pomieszczenia i dochodził do stropodachu budynku czy też schowany był pod podłogą (F.3139 i F.3147) (patrz Ryc. 74).



Rycina 87. Widok od południa na główne pomieszczenie Sp.429 budynku B.62/B.61 (fot. A. Golański).

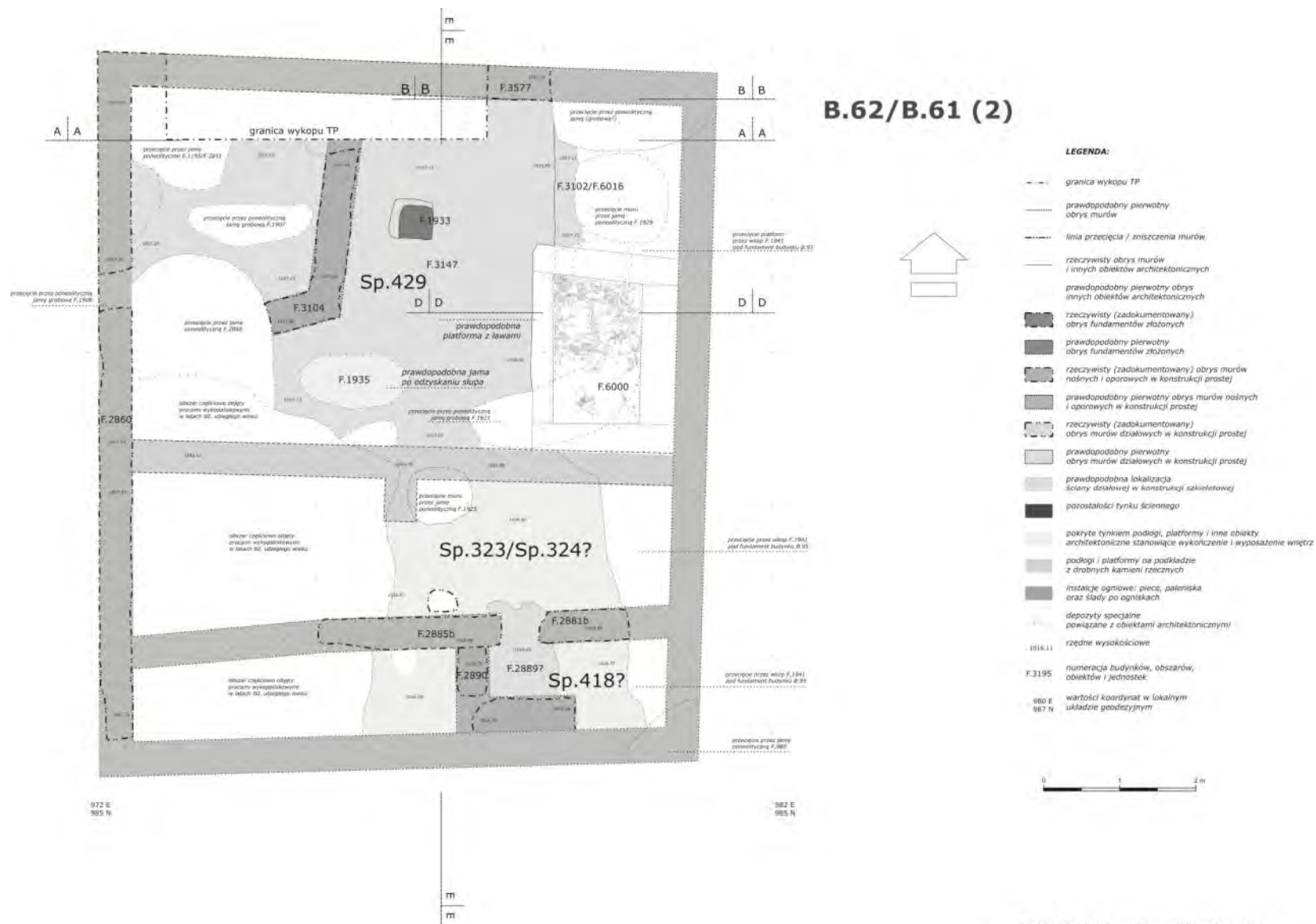
Niezwykle trudnym - wobec ograniczonej obecnie ilości danych, w tym prób radiowęglowych pochodzących ze szkieletów ludzkich - jest określenie długości czasu użytkowania komory grobowej Sp.327. Ostateczne zamknięcie tego obiektu wyznacza wyraźnie przecinający jej wschodnią część wykop (F.1941), w którym usytuowano fundament (F.2873/F.3161) budynku B.95. Najprawdopodobniej jednak komora została wyłączona z użytkowania przed lub podczas ostatniej fazy domu B.62/B.61 związanej z podłogą z drobnych kamyków rzecznych (F.3133/F.3135) (Ryc. 88). Powierzchnia ta zachowała się głównie w północnej i centralnej części głównego pomieszczenia Sp.429/Sp.438 oraz, podobnie jak wcześniejsza sekwencja, była przecięta przez liczne poneolityczne

jamy (np. F.1195, F.1929, F.2851, F.2868), w tym głębokie jamy grobowe (F.1907 i F.1921 – ta ostatnia w znacznym stopniu naruszyła także samą komorę grobową). Podłoga jastyrychowa (F.3133/F.3135) zniszczona została także – przede wszystkim w południowej części - w trakcie pierwszych prac archeologicznych prowadzonych na tellu.

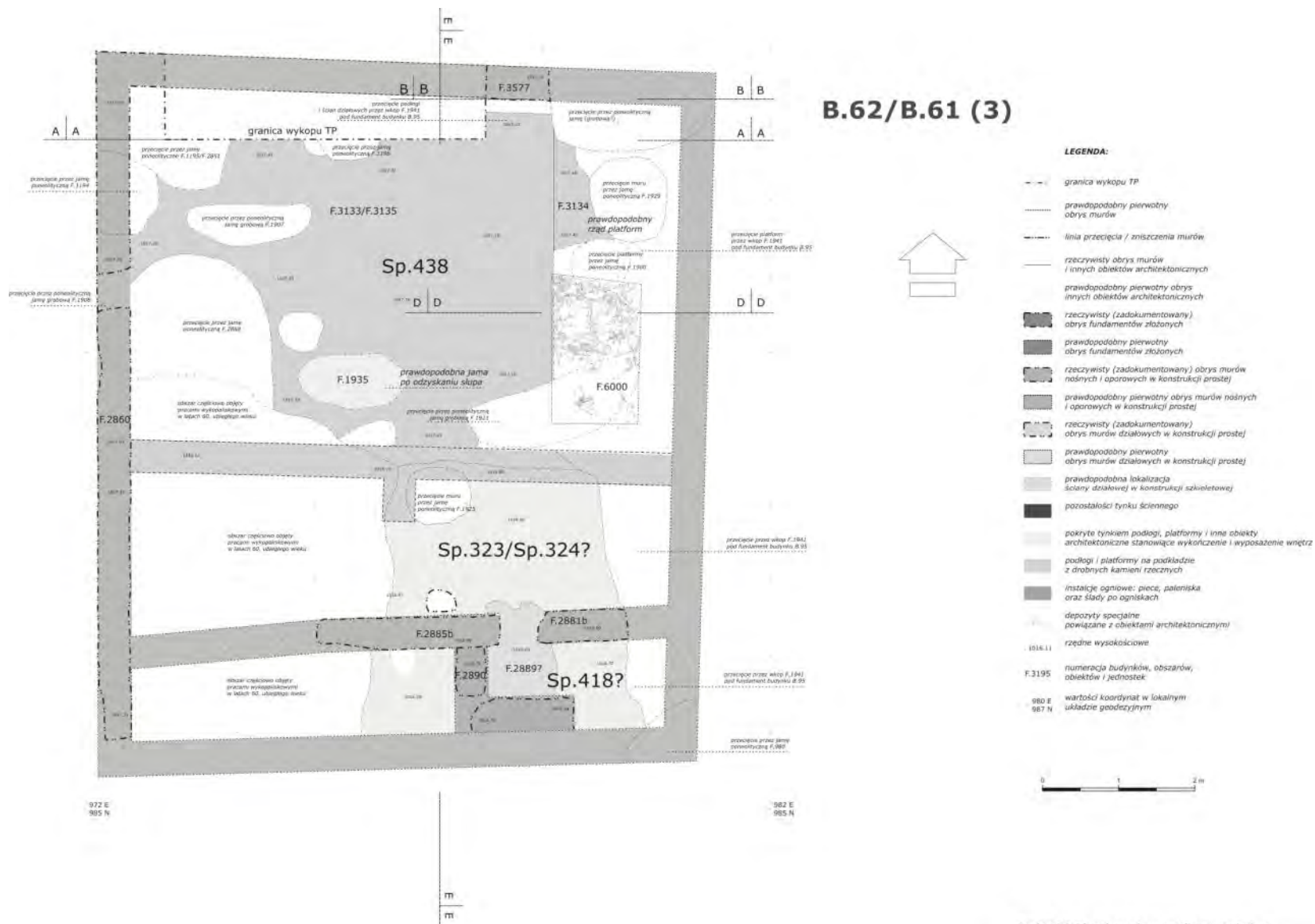


Rycina 88. Widok od strony południowej na fragment pomieszczenia Sp.436 budynku B.62/B.61 z podłogą (F.3133/F.3135) na podkładzie ze żwiru (fot. A. Golański).

Pomimo skali powyższych procesów podepozycyjnych wydaje się, że układ głównego pomieszczenia Sp.429/Sp.438 w ostatniej fazie użytkowej nie odbiegał od tych wcześniejszych (Ryc. 89-91). Wzdłuż ówczesnej wschodniej ściany usytuowane były najprawdopodobniej platformy, co zdają się potwierdzać relikty jednej z nich (F.3134) zachowane w niewielkim stopniu w północno-zachodnim narożniku pomieszczenia. W części południowej mogły się znajdować instalacje ogniowe, jako że w miejscu tym znaleziono fragmenty prawdopodobnego, choć silnie zniszczonego pieca (F.1918) (Czerniak i Marciniak 2006). Z kolei w strefie centralnej, podobnie jak we wcześniejszych przypadkach, zadokumentowano problematyczną jamę (F.1938), która w moim przekonaniu może stanowić kolejny dołek po odzyskaniu słupa podtrzymującego podciąg stropodachu. Integralnym elementem wnętrza Sp.429/Sp.438 wydają się także być relikty prawdopodobnych ścian działowych (F.3113, F.3114 i F.3129), dzielących to pomieszczenie na kilka małych przestrzeni o niejasnej funkcji. Z drugiej strony niewykluczone jest, że relikty te – jak już pisałem wcześniej – należy interpretować jako podwyższone platformy o murowanych ścianach.

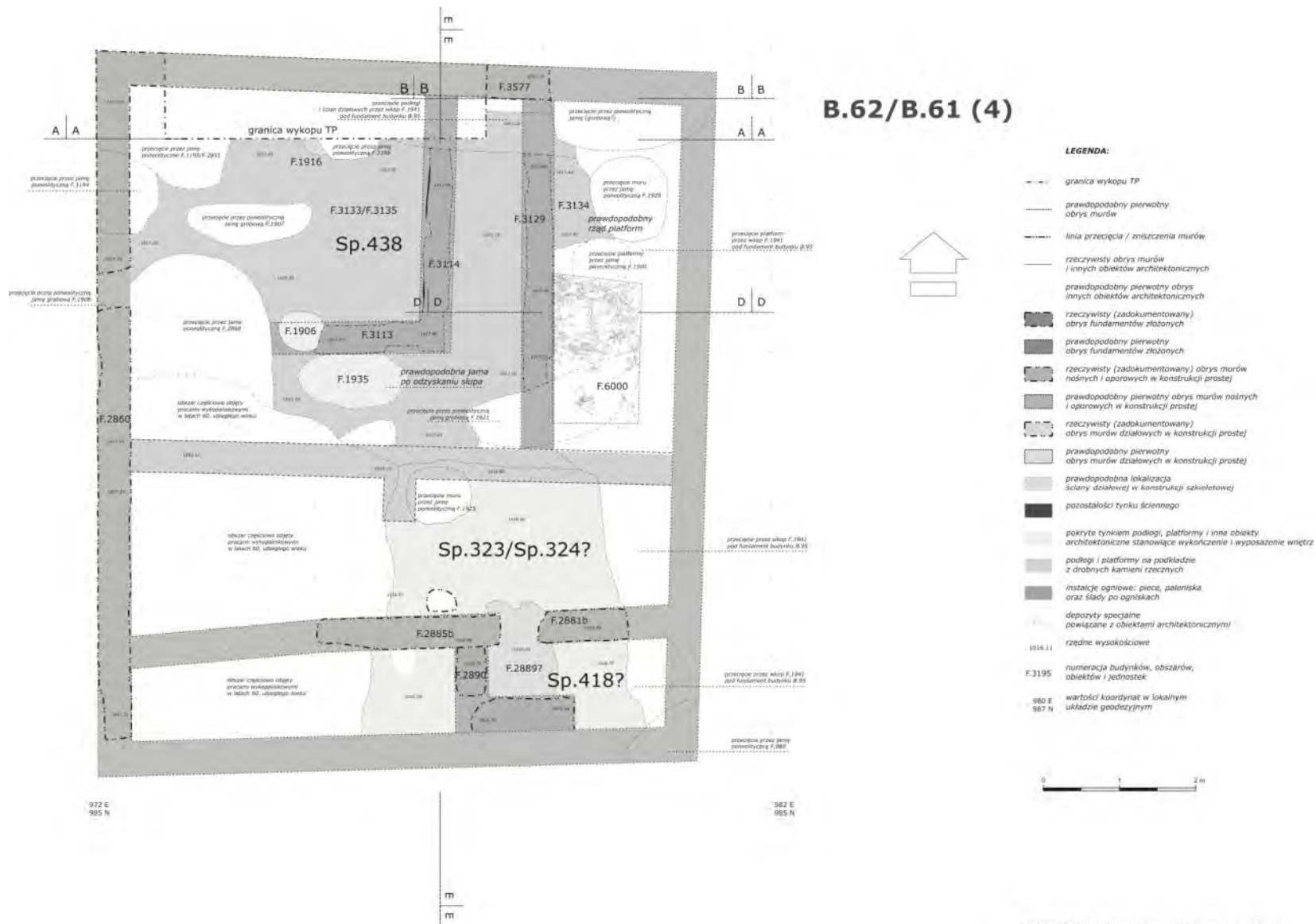


Rycina 89. Plan ilustrujący możliwą drugą fazę budynku B62/B.61 z uwzględnieniem komory grobowej Sp.327 (opracowanie własne).



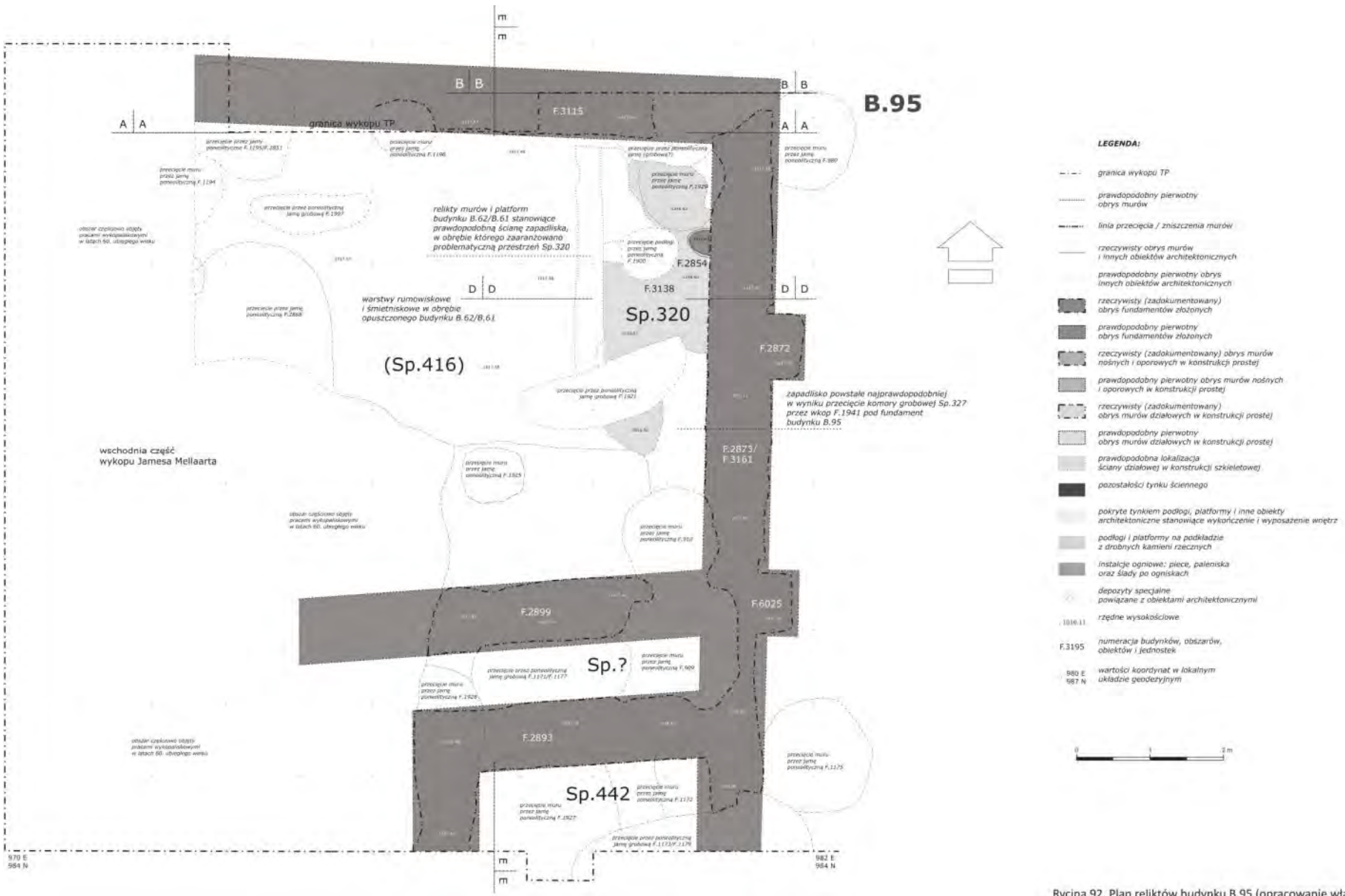
Rycina 90. Plan ilustrujący możliwą trzecią fazę budynku B62/B.61 z uwzględnieniem komory grobowej Sp.327 (opracowanie własne).





Rycina 91. Plan ilustrujący możliwą czwartą fazę budynku B62/B.61 z uwzględnieniem komory grobowej Sp.327 (opracowanie własne).





Rycina 92. Plan relikwów budynku B.95 (opracowanie własne).



1.5 Komora grobowa Sp.248 a budynki B.95 i B.33/B.34

Komora grobowa Sp.248 oraz budynki B.95 i B.33/34 stanowią jedne z ostatnich śladów osadnictwa neolitycznego na tellu (Marciniak *et al.* 2015b). Wszystkie te obiekty charakteryzują się znaczną skalą destrukcji spowodowaną procesami depozycyjnymi, w tym licznymi wkopami, będącymi m.in. efektem drążenia głębokich hellenistycznych jam zasobowych oraz sytuowania muzułmańskich pochówków (Czerniak *et al.* 2001, 2002; Czerniak i Marciniak 2004; Kwiatkowska 2009). Relacje architektoniczno-stratygraficzne pomiędzy tymi strukturami były dodatkowo trudne do odczytania i zinterpretowania ze względu na fakt, iż pierwonta zachodnia granica wykopu TP przebiegała w osi jednego z fundamentów przedmiotowych budynków. W efekcie takiego podziału elementy składające się na integralne zespoły konstrukcyjne były poddawane arbitralnej eksploracji w różnych sezonach badawczych.



Rycina 93. Widok na cięcie (F.1941) komory grobowej Sp.327 spowodowane budową wschodniego fundamentu (F.2873/F.3161) budynku B.95.

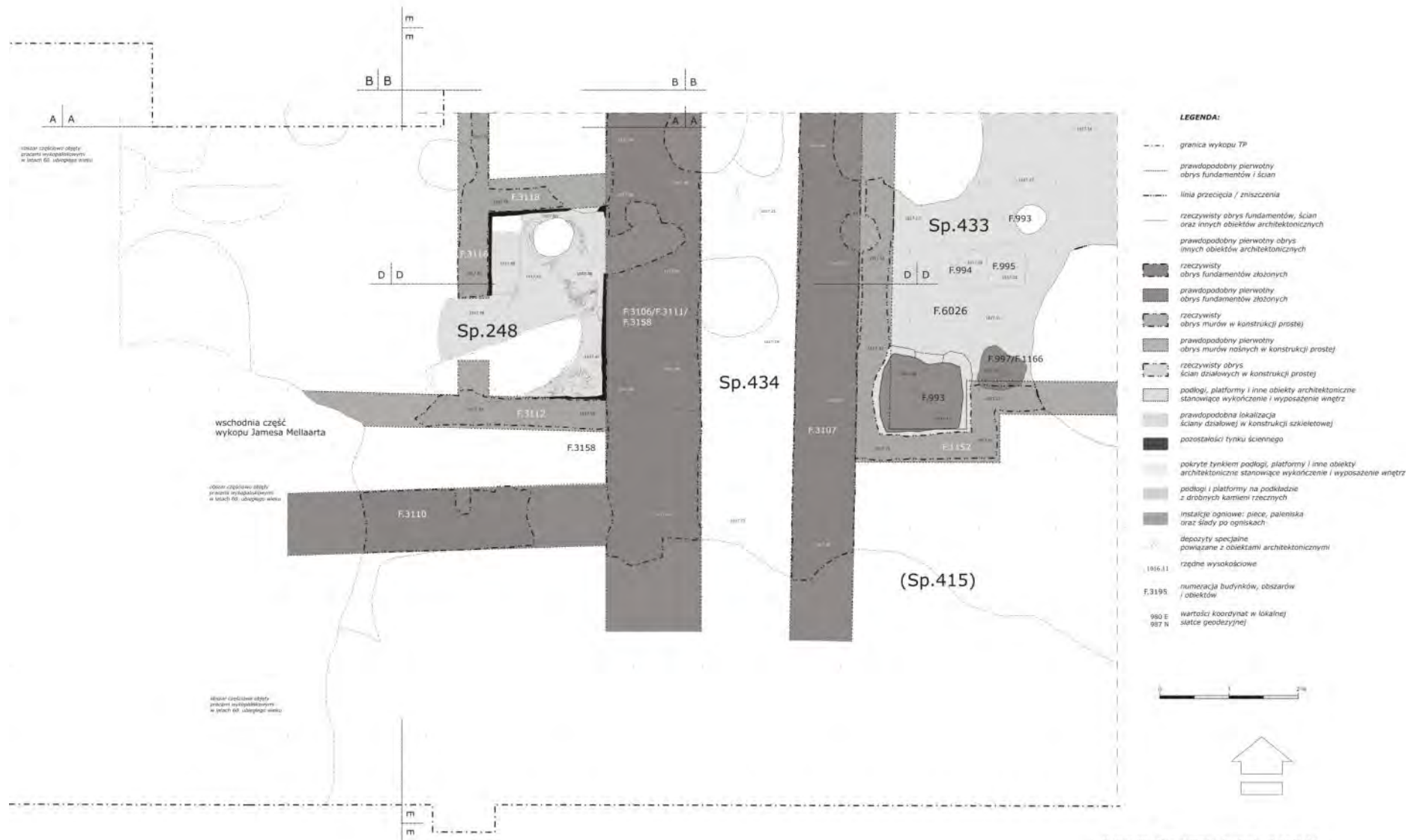
Relikty domu B.95, które do tej pory – jak wspomniałem - łączone były z budynkami B.73 i B.62, ograniczają się właściwie do częściowo zachowanych partii podziemnych (Ryc. 92). Masywny wschodni fundament (F.2873/F.3161) tego budynku usytuowany był w obrębie głębokiego wkopu (F.1941), który przeciął wschodnią ścianę fundamentową (F.2884) budynku B.74, komorę grobową Sp.327 (we wkopie znaleziony został fragment pasa dekoracyjnego tego obiektu – patrz Czerniak i Marciniak 2004) oraz najprawdopodobniej wschodnią część wnętrza przypisanych obecnie domom B.62 i B.61, o czym świadczyło widoczne cięcie podłóg i platform (Ryc. 81 i 93). w obrębie tego wkopu pod fundamentem znaleziono fragmenty poroża oraz moździenie (Marciniak i Czerniak 2007: 122), które prawdopodobnie stanowiły depozyty fundacyjne.

Skala powyższych zniszczeń była duża i moim zdaniem dodatkowo spotęgowana faktem, że cięcie przez prawdopodobnie wciąż niezasypaną wówczas komorę Sp.327 spowodowało pociągnięcie i w efekcie zawalenie się całej górnej partii tegoż obiektu. Taki scenariusz wydarzeń może tłumaczyć na przykład równe pęknięcie podłogi (F.3133/F.3135) wzdłuż zewnętrznej krawędzi platformy (F.3134) i przylegającej do niej ściany działowej (F.3129). Odstęp czasowy pomiędzy budową komór grobowych Sp.248 i Sp.327 wydaje się być duży, biorąc pod uwagę brak bezpośredniej fizycznej relacji pomiędzy tymi obiektami. Niemniej ich usytuowanie praktycznie w tym samym miejscu skłania ku założeniu istnienia planu „mentalnego”, do czego jeszcze wrócę.



Rycina 94. Widok od południa na pomieszczenie Sp.320 ze śladami problematycznej podłogi (F.3138) oraz paleniska (F.2854), ograniczone od zachodu relikwiami murów komory Sp.327 a od wschodu fundamentem lub ścianą fundamentową (F.2873/F.3161) budynku B.95 (fot. A. Leszczewicz).

W obrębie budynku B.95, którego całkowita powierzchnia nie jest możliwa do oszacowania, nie zachowały się ślady podłóg lub wewnętrznych obiektów architektonicznych. Jedyny wyjątek stanowi w tym względzie wspomniane problematyczne pomieszczenie Sp.320 usytuowane bezpośrednio nad komorą grobową Sp.327 (Marciniak i Czerniak 2007: 118; Marciniak *et al.* 2015b) (Ryc. 94). Struktura ta była ograniczona od wschodu przez fundament (F.2873/F.3161) budynku B.95 a od zachodu przez relikwty murów (F.2866/F.2898) komory Sp.327. W jej obrębie zadokumentowano ślady prawdopodobnej podłogi (F.3138) oraz paleniska (F.2854). Pozycja stratygraficzna, jak i funkcja tego pomieszczenia są niejasne oraz mogą być bardzo różnie interpretowane. Niemniej w niniejszej rozprawie skłaniam się ku przypuszczeniu, że przestrzeń Sp.320 mogła być związana z domem B.95 lub etapem jego budowy jako pozostałość tymczasowego zagospodarowania zapadliska w obrębie komory Sp.327 (patrz Ryc. 81).



Rycina 95. Plan reliktów budynku B.33/B.34 z uwzględnieniem komory grobowej Sp.248 (opracowanie własne).

Układ konstrukcyjny budynku B.95 pomimo swojej złożoności nie okazał się być stabilny. Świadczy o tym krytyczne pęknięcie (U.12270, U.12267 i U.12257) wzdłuż osi jego wschodniego fundamentu (F.2873/F.3161), prowadzące do rozcepienia i zniszczenia tej struktury (Ryc. 32). Skala tych zniszczeń była na tyle duża, że doprowadziła najprawdopodobniej do ogólnej katastrofy budowlanej. Na jakim etapie życia budynku to wydarzenie miało miejsce nie jest jednak jasne ze względu na ograniczoną prospekcję oraz skalę zniszczeń związanych z procesami podepozycyjnymi. W tym sensie możliwym jest, że budowa domu B.95 nigdy nie została w pełni zakończona, chociaż biorąc pod uwagę ogólną rozległość tego założenia wydaje się to bardzo mało prawdopodobne.

Na fundamentach domu B.95 powstał w części budynek B.33/B.34, będący złożoną strukturą składającą się - jak można przypuszczać - z wielu pomieszczeń (Ryc. 95). Ze względu na słabe zachowanie relikwów architektury przypisanych temu budynkowi, które ograniczały się w znacznej mierze do fundamentów, nie jest możliwe wiarygodne określenie ani tego, czy mamy w przedmiotowym przypadku do czynienia z jednym, choć przebudowanym, czy z dwoma domami ani w którym miejscu mogła przebiegać ewentualna granica pomiędzy tymi strukturami. Stąd w poniższym opisie pod pojęciem budynku B.33/B.34 rozumiem trzy pomieszczenia: Sp.248, Sp.433 i Sp.434, których relacje architektoniczno-stratygraficzne nie są do końca jasne. Należy podkreślić, że dotąd struktury te były traktowane jako niezależne obiekty z arbitralnie przypisanymi i ograniczającymi je konstrukcjami murowanymi. Poczynione przeze mnie powtórne analizy profilu północnego TP (Barański i Regulska 2016) pozwalają jednak sądzić, że większość z tych fundamentów było w rzeczywistości ze sobą przewiązane. To pozwala spojrzeć na omawiany układ późnej zabudowy z innej przestrzenno-architektonicznej perspektywy.

Budynek B.34, do którego zalicza się obecnie Sp.434, to wąska i wydłużona przestrzeń ograniczona od wschodu i zachodu znacznie zniszczonymi, choć z dużym prawdopodobieństwem złożonymi fundamentami odpowiednio typu A i B, co dotąd nie było brane pod uwagę (patrz Czerniak i Marciniak 2003). Granicę północną tego obszaru stanowi krawędź wykopu, a południową liczne jamy (np. F.961, F.1175 i F.1909) przypisane okresowi poneolitycznemu. W centralnej części przestrzeni Sp.434 zdefiniowano warstwę z ubitej gliny (F.6012) i licznymi artefaktami (m.in. fragmenem glinianej instalacji z wyobrażeniem byka lub sępa) oraz szczątkami makrobotanicznymi, którą zinterpretowano jako możliwy podkład pod niezachowaną podłogę. Na tej podstawie uznano przedmiotową przestrzeń za pomieszczenie Sp.434 zachowanego tylko fragmentarycznie budynku B.34 (Czerniak i Marciniak 2003). Interpretacja ta jest możliwa, niemniej wydaje mi się problematyczna ze względu na charakter przewiązań fundamentów oraz bezpośredniego otoczenia tego obiektu.

Po pierwsze, do budynku B.34 od wschodu przylegała przestrzeń mieszkalna Sp.433, która w dotychczasowej interpretacji funkcjonuje pod nazwą domu B.33 (Czerniak i Marciniak 2003) (Ryc. 96). Za podstawę takiego wyróżnienia posłużył zachowany rząd w większości szarych cegieł, składających się na mur z charakterystyczną niszą (F.1152) oraz definiujących przedmiotowe pomieszczenie od wschodu i południa. Możliwe jest, że konstrukcja ta stanowiła w rzeczywistości integralną część fundamentu, który definiował wschodnią granicę przestrzeni Sp.434. Za interpretacją tą mógłby przemawiać fakt wykorzystania zarówno szarych, jak i brązowych cegieł w dolnych partiach budynku B.95 oraz w fundamencie wydzielającym od zachodu domniemane

pomieszczenie Sp.434. Bardziej prawdopodobne wydaje się jednak mimo wszystko dobudowanie lub wbudowanie izby Sp.433 w istniejącą i w znacznym stopniu nierozpoznaną strukturę⁶⁸.



Rycina 96. Widok od strony południowo-wschodniej na pomieszczenie Sp.433 i przestrzeń Sp.434 (fot. A. Golański).

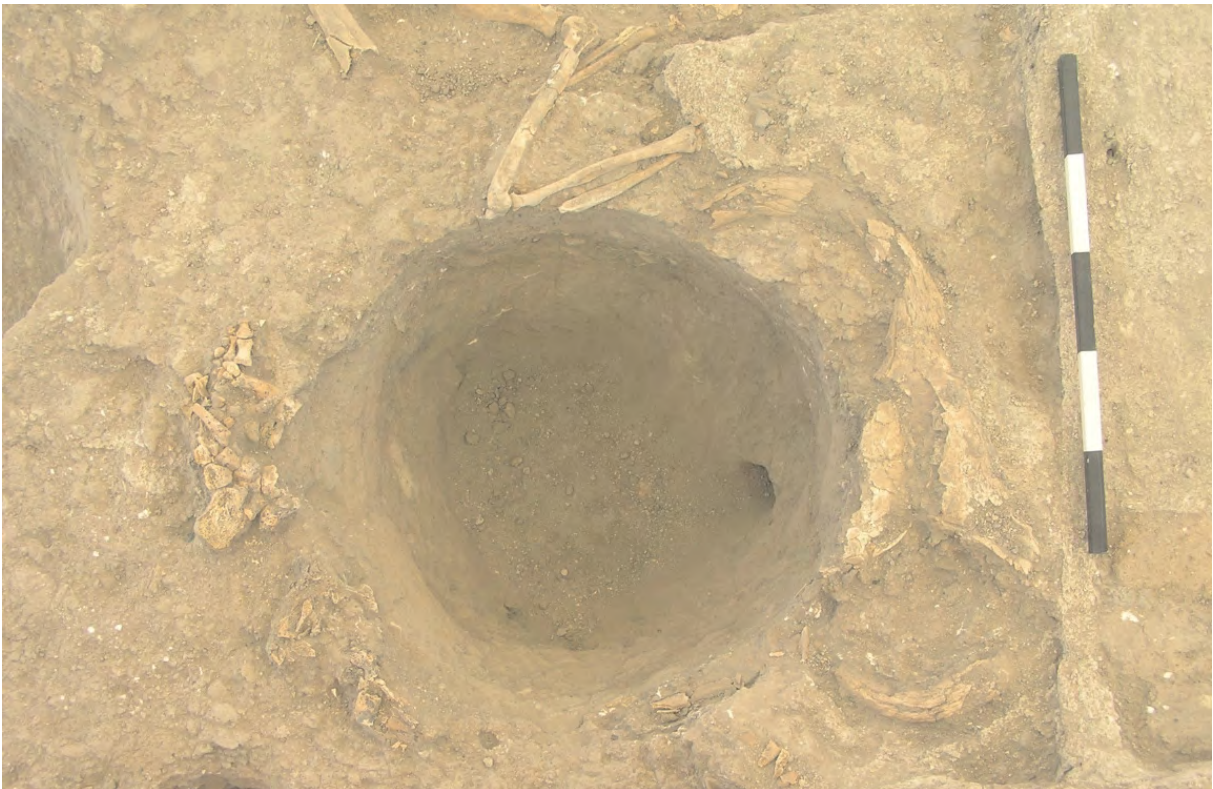
Niezależnie od powyższych istotnych wątpliwości pomieszczenie Sp.433 zdefiniowane zostało od zachodu i południa przez charakterystyczny mur niszą (F.1152) oraz – od strony wschodniej i północnej – głęboką jamę poneolityczną (F.1905) oraz granicę wykopu TP. W obrębie tej przestrzeni zdefiniowano fragmentarycznie zachowaną podłogę (F.6026) oraz relikty pieca (F.993) usytuowanego w południowo-zachodnim narożniku pomieszczenia. Zadokumentowano także ślady innych instalacji ogniowych (F.994, F.995 i F.997), z których te przy murze z niszą (F.1152) zawierało liczne pozostałości kości zwierzęcych i poprzedzone było najprawdopodobniej zakładzinowym pochówkiem niemowlęcym (F.1166). Na podstawie wydzielonych obiektów wydaje się, że pomieszczenie Sp.433 mogło stanowić główną przestrzeń niezidentyfikowanego w pełni budynku.

Po drugie, do budynku B.34 od zachodu przylegały przynajmniej dwa niewielkie pomieszczenia, z których jedno stanowiło komorę grobową Sp.248 (Czerniak i Marciniak 2005) (Ryc. 97). Wschodni mur (F.3111/F.3158) ograniczający te przestrzenie był integralną częścią fundamentu (F.3106), o czym świadczy potwierdzone przewiązanie tych dwóch struktur. Opisywana komora grobowa była usytuowana niemalże w tym samym miejscu, co wcześniejszy grobowiec Sp.327 oraz stanowiła miejsce pochówku przynajmniej 9 osobników. Oba te obiekty różniły się jednak w odniesieniu do definiującego je układu konstrukcyjnego oraz wystroju wnętrza. Grobowiec Sp.248 nie był bowiem niezależnym konstrukcyjnie obiektem. Co prawda jego posadowienie wiązało się również z wykonaniem głębokiego wkopu przecinającego wcześniejszą podłogę jastrychową (F.3133/F.3135)

⁶⁸ Niestety mur (F.1152), będąc przecięty przez jamę (F.1161), nie zachował się w północnym profilu TP. Fakt ten uniemożliwia potwierdzenie lub odrzucenie możliwego przewiązania z fundamentem (F.3107).



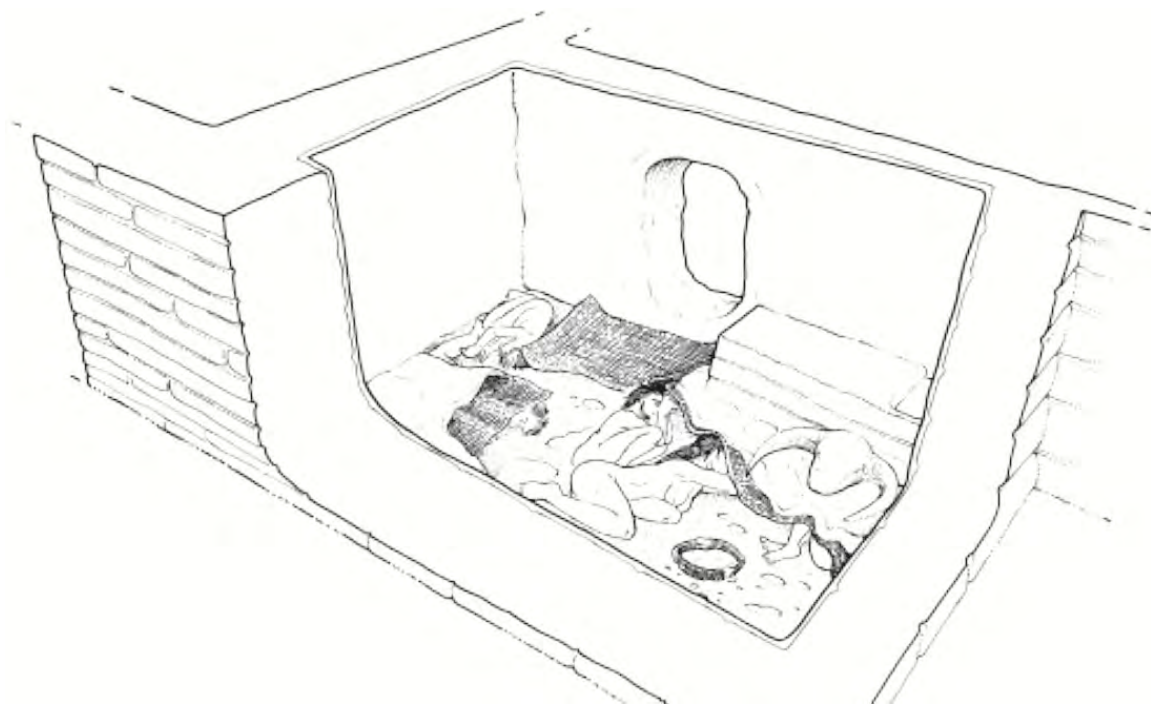
Rycina 97. Widok od strony północnej na komorę grobową Sp.248 (fot. A. Golański).



Rycina 98. Widok od strony północnej na bukranion (U.11562) przy ławie (F.3117) w komorze grobowej Sp.248 (fot. A. Golański).

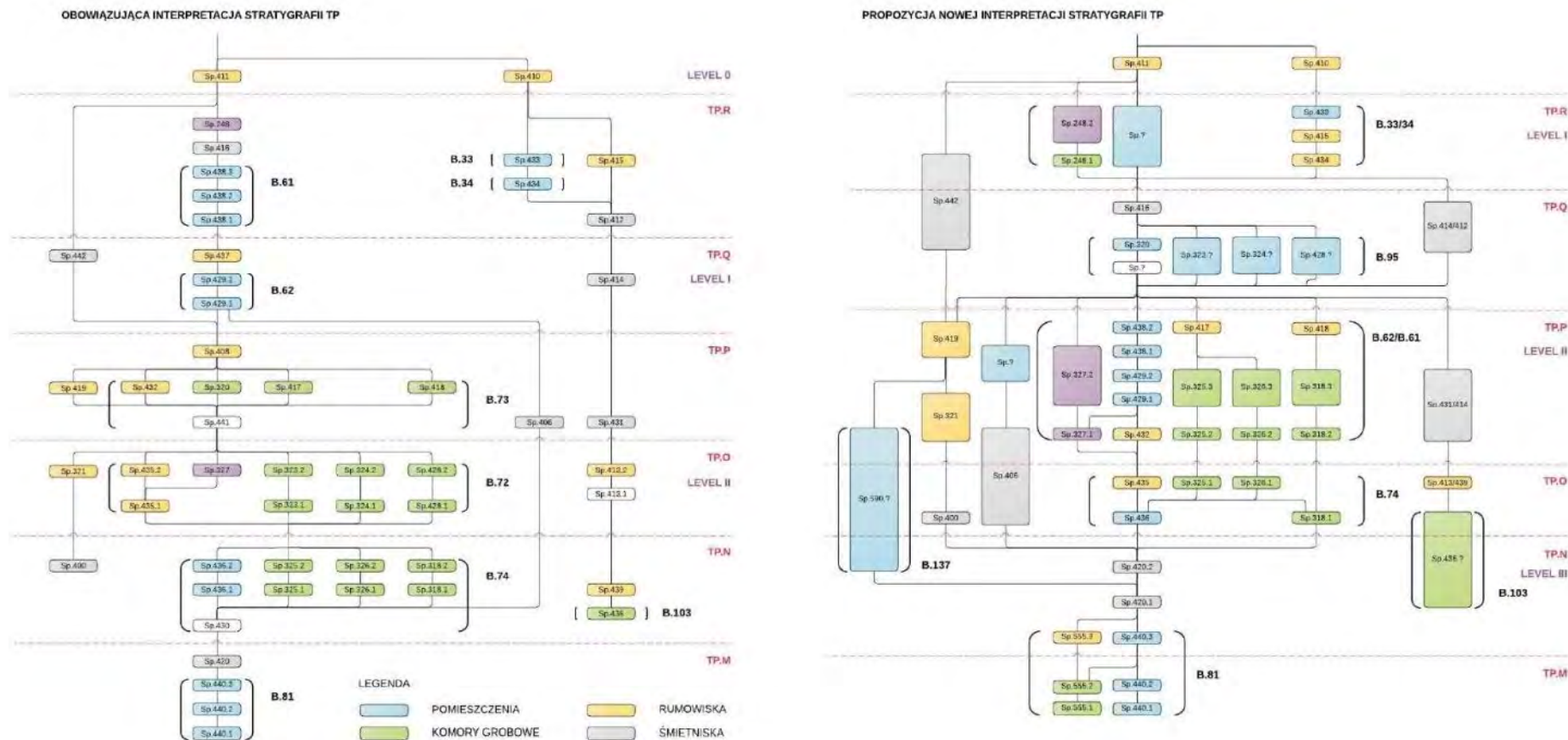
i platformę (F.3134) to jednak ograniczające ten obiekt przewiązane ze sobą mury w konstrukcji prostej (F.3112, F.3116 i F.3118) miały swoją kontynuację w kierunku północnym i prawdopodobnie wschodnim. Fakt ten stanowi argument do wydzielenia wspomnianych kolejnych współczesowych komorze Sp.248 pomieszczeń, których funkcja pozostaje jednak nieznana. Całość tego zespołu charakteryzowała znaczna skala zniszczeń, niemniej w obrębie grobowca zadokumentowano ślady pełnego otynkowania wewnętrznych lic murów oraz podłogę (F.3159) z usytowanymi na niej szczątkami ludzkimi⁶⁹. Dodatkowo w północno-zachodnim narożniku tego pomieszczenia znajdowała się murowana ława połączona z wykonanym w glinie pojemnikiem (F.3117) oraz bukranionami (U.11562 i F.1917), których fragmenty znaleziono na podłodze (Ryc. 98). Ta obserwacja posłużyła zresztą za przesłankę na rzecz hipotezy o wtórnej funkcji sepulkralnej izby Sp.248 (Czerniak i Marciniak 2005) (Ryc. 98).

Z powyższego opisu wynika, że po obu stronach budynku B.34 (w dotychczas rozumianach ramach przestrzennych) funkcjonowały przestrzenie mieszkalne, które najprawdopodobniej posiadały własny układ konstrukcyjny. w takiej sytuacji moim zdaniem możliwe są dwie interpretacje ówczesnego charakteru opisywanej zabudowy. Zgodnie z pierwszą z nich pomieszczenia Sp.248 i Sp.433 stanowiłyby części osobnych budynków, które rozdzielone były wąską i być może przekrytą lekkim zadaszeniem przestrzenią otwartą Sp.434. z kolei druga interpretacja polegałaby na postrzeganiu wszystkich opisywanych przestrzeni jako elementów jednego złożonego zespołu mieszkaniowego, którego jedno z pomieszczeń zaadaptowano z czasem na wyłączną funkcję sepulkralną. Bardzo niewielki stopień zachowania pomieszczenia Sp.248 i powiązanych z nią struktur nie pozwala moim zdaniem na rozstrzygnięcie pojawiających się w powyższym kontekście wątpliwości i pytań.



Rycina 99. Próba rekonstrukcji pomieszczenia Sp.248 po zaadaptowaniu go na funkcje sepulkralne (rys. J.P. Swogger).

⁶⁹ Znaczna rozbieżność wyników badań radiowęglowych próbek pobranych z fragmentów kości ludzkich znalezionych w obrębie komory Sp.248 dowodzi o wykorzystaniu tego obiektu w celach sepulkralnych również we wczesnej epoce brązu. To moim zdaniem sugeruje, że relikty tego pomieszczenia były widoczne na powierzchni w tamtym okresie.



Rycina 100. Diagramm Harris, der die bestehende und vorgeschlagene Interpretation der TP-Stratigraphie zeigt (eigene Bearbeitung).

2. Układ przestrzenny zabudowy

Każdy podział chronologiczny, opierający się na obserwacjach stratygraficznych, ma charakter względny, jako że pewnym wydarzeniom nadaje się ważniejsze, a innym mniej ważne znaczenie. Weryfikację tego rodzaju zestawień stanowią zarówno analizy przestrzenno-funkcjonalne, jak i radiowęglowe. Wyniki tych ostatnich pozwalają na określenie przybliżonego rzeczywistego czasu trwania wybranych struktur. Należy jednak zauważyć, że opierają się one na – niepozbawionych subiektywizmu - analizach i interpretacjach układów stratyfikacji, które w odniesieniu do TP należy uznać za nierozstrzygnięte. Podważenie niektórych dotychczasowych wyników badań zachęca bowiem moim zdaniem do włączenia do programu budowy chronologii bezwzględnej kolejnych istotnych danych architektonicznych. Czynność ta wiąże się z koniecznością zmian w obecnym diagramie Harrisa (Ryc. 100).

W powyższym kontekście przedstawione przeze mnie poniżej analizy przestrzenno-funkcjonalne stanowią próbę zarysowania możliwej względnej historii przemian w układzie zabudowy późnoneolitycznego Çatalhöyük. Badania te opieram na zaobserwowanych relacjach dotyczących zarówno cykli życiowych konkretnych budynków, jak i sąsiadujących ze sobą struktur. Jednocześnie świadomie wpisuję te relacje w istniejący system budowy chronologii opisywanego stanowiska, na który składają się kolejne arbitralne, choć jednocześnie na nowo rozumiane poziomy osadnicze⁷⁰. To, co wyróżnia bowiem prezentowane przeze mnie podejście od tego charakterystycznego chociażby dla Jamesa Mellaarta to silne przekonanie, że poszczególne budynki po pierwsze mogły i z pewnością były użytkowane przez okresy o różnej długości, a po drugie nie były konstruowane i opuszczane w tym samym czasie. ę hipotezę potwierdzają zresztą wstępne wyniki programu datowania radiowęglowego, który obejmuje wszystkie fazy osadnicze na tellu (Alex Bayliss 2016: rozmowa prywatna; patrz także Marciniak *et al.* 2015b).

Opierając się na kluczowych - z architektonicznego punktu widzenia - momentach w biografiach analizowanych domów, przedstawiam przemiany późnoneolitycznego środowiska zbudowanego jako ciąg zdarzeń, charakteryzujących się różną dynamiką. Innymi słowy, budynki i przestrzenie otwarte nie pojawiają się i nie znikają generalnie w ramach pojedynczych poziomów osadniczych a ich cykle życiowe rozłożone są nierzadko na kilka poziomów.

2.1 Poziom III

Poziom III obejmuje szereg budynków: B.81 (B.II.3), B.103, B.137, B.138 (B.II.1), B.140 (A.III.2), B.141 (A.III.3), B.142 (B.II.2) oraz B.146 (A.III.1). Część z tych domów tworzy współczesne sobie zespoły i jest połączona funkcjonalnie, co moim zdaniem może stanowić przesłankę do wydzielenia rozszerzonych gospodarstw domowych.

2.1.1 TP.M

⁷⁰ Współczesny system oparty w odniesieniu do wykopu TP na poziomach TP grupuję po reinterpretacji w poziomy wyższego rzędu. Taki zabieg jest próbą objęcia wspólną analizą danych pochodzących ze współcześnie realizowanych badań na tellu z tymi, z lat 60. XX wieku.

Poziom TP.M obejmuje w znacznej części relikty zabudowy, które zostały odsłonięte, ale w większości przypadków nie poddane pracom eksploracyjnym. Pewnym wyjątkiem są tu budynki: B.111 (A.III.4), B.111 (A.III.4), B.138 (B.II.1), B.140 (A.III.2), B.142 (B.II.2) oraz B.146 (A.III.1) objęte pracami archeologicznymi w latach 60. ubiegłego wieku. Część z tych domów, jak na przykład B.138 i B.146, zachowały się jednak w bardzo znikomym zakresie (Ryc. 101-102).

Pomimo powyższych ograniczeń z zestawienia wszystkich wymienionych i najprawdopodobniej współczesnych sobie budynków (Alex Bayliss 2016: rozmowa prywatna) wyłania się ciekawy obraz układu zabudowy określonego przez dwa skupiska domów, które były wydzielone wąską przestrzenią otwartą Sp.544. Badania TP i GDN dotyczyły fragmentu zespołu północnego, podczas gdy relikty budynków na południe od wspomnianego korytarza usytuowane są w części w obrębie TPC Area i nie są objęte analizami w ramach niniejszej rozprawy.

Zabudowa północna obejmuje większość rozpoznanych budynków, które wydają się skupiać wokół dwóch największych domów: B.146 (A.III.1) oraz B.81 (B.II.3). Pierwszy z nich, jak już wspomniałem, zawierał liczne przykłady narracyjnych malowideł naściennych i został zdefiniowany przez Jamesa Mellaarta (1962, 1967) jako świątynia, w której zdeponowano szczątki przynajmniej dziesięciu osób (patrz Düring 2001: Tab. 3.1). Oba budynki wyróżniają się nie tylko rozmiarem, ale i sposobem wykończenia wnętrza głównych pomieszczeń, których podłogi wykonane są na podkładzie ze żwiru rzeczno-geologicznego. Ponadto, wstępne wyniki badań radiowęglowych (Alex Bayliss 2016: rozmowa prywatna), sugerują, że były one użytkowane przez dłuższy czas, który w przypadku domu B.146 mógł wynosić nawet powyżej 100 lat. w ciągu swojego życia oba budynki były przebudowywane, o czym świadczy chociażby wyłączenie z użytkowania pomieszczeń magazynowych, podczas gdy kontynuowano użytkowanie głównych izb. Być może przebudowy te stanowią cezurę nadania specjalnego statusu opisywanym domom. w każdym razie te i inne przywołane przesłanki pozwalają przypisać budynki B.81 i B.146 do grupy „domów historii” (patrz Hodder i Pels 2010).

Warto w tym miejscu zwrócić jeszcze raz uwagę na fakt, że budynek B.81 połączony był funkcjonalnie przez pewien czas z domem B.142. Zespół tych obiektów może wyznaczać w znacznym stopniu granicę przestrzenną rozszerzonego gospodarstwa domowego, którego członkowie swobodnie przemieszczali się pomiędzy tymi domami korzystając ze wspólnej przestrzeni magazynowej Sp.555, a także współpracowali przy różnych czynnościach domowych i pozadomowych. Jednocześnie ta grupa ludzi mogła być częścią większej sąsiedzkiej wspólnoty, która zamieszkiwała cały kompleks północny oraz – jak pokazują wyniki badań geoarcheologicznych – korzystała ze wspólnych źródeł surowców budowlanych (Barański i Love w przygotowaniu).

Bezpośrednio na wschód od budynku B.81 rozpoznano jedno długie i wąskie pomieszczenie Sp.346, które prawdopodobnie stanowiło izbę boczną większego domu B.103. Uwagę zwraca unikatowy charakter tego pomieszczenia, wynikający z obecności zróżnicowanych obiektów architektonicznych i powiązanych z nimi depozytów specjalnych⁷¹. Jedyne bowiem przykłady izby o zbliżonej aranżacji wnętrza dotyczy wschodniego aneksu A.III.13 głównego pomieszczenia A.III.1 budynku B.146. Niestety jedyna informacja o tym pomieszczeniu ogranicza się do prostego rysunku,

⁷¹ W południowej i północnej części pomieszczenia Sp.346 odsłonięto dwie duże platformy (F.3119 i F.3122), z których ta pierwsza powiązana była z piecem kopulastym (F.3101). Dodatkowo, wzdłuż wschodniej i zachodniej ściany zadokumentowano pozostałości kilku starannie otynkowanych pojemników (F.3100 i F.3108) oraz niesprecyzowanych jam (F.3105 i F.3109) (Czeraniak i Marciniak 2008: 78-80).

pochodzącego z archiwalnego i nieopublikowanego dotąd zbioru Jamesa Mellaarta. Brak powiązań funkcjonalnych i różnice konstrukcyjno-architektoniczne pomiędzy budynkami B.81 i B.103, a także charakter późniejszych nawarstwień w miejscu usytuowania tego drugiego sugerują, że domy te mogły być użytkowane przez różne gospodarstwa rozszerzone.

2.1.2TP.N

Poziom TP.N charakteryzuje otwarta przestrzeń Sp.420 w obrębie opuszczonego wnętrza domu B.81. Obszar ten najprawdopodobniej ograniczony był początkowo: od wschodu przez budynek B.103, od zachodu dom B.142 a od północy przez praktycznie nierozpoznaną dotąd strukturę, jako że zdefiniowano zaledwie fragment jej południowo-zachodniego narożnika (Barański i Regulska 2016). Wydaje się, że przestrzeń Sp.420 służyła m.in. jako miejsce pozyskania lub przygotowania materiału budowlanego, o czym świadczą kilka jam wyrobiskowych⁷², a także ślady ognisk. Niektóre z tych obiektów mogły pełnić funkcję dołów wapiennych. Pełen charakter tego obszaru pozwolą jednak dopiero określić stosowne badania specjalistyczne (Marciniak i Czerniak w przygotowaniu) (Ryc. 103).

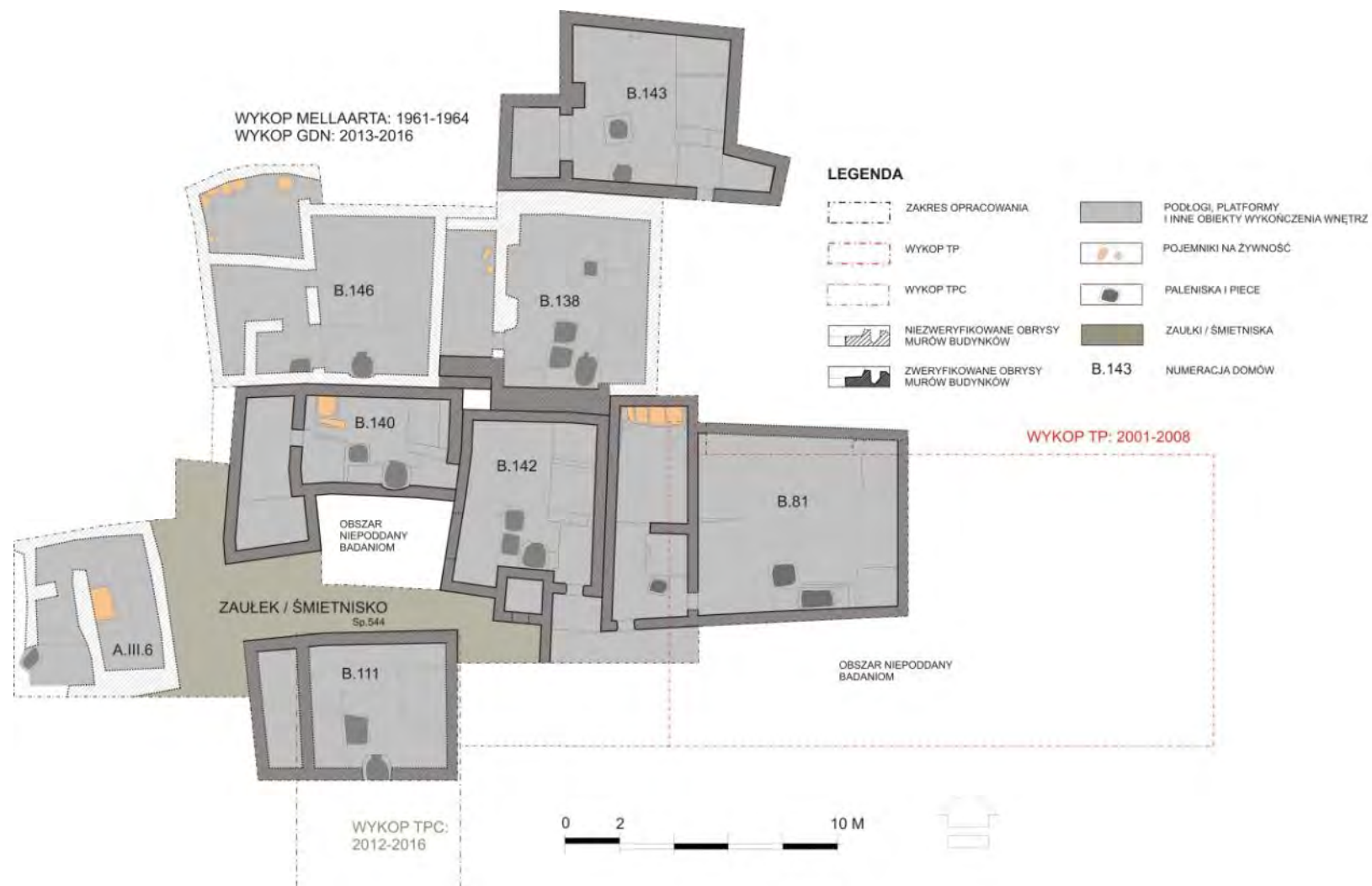
Przeźnię Sp.420 została częściowo zabudowana w momencie konstrukcji budynku B.137, chociaż obrys i układ tego domu nie jest możliwy do określenia w sposób satysfakcjonujący. Pewną przesłanką do jego rekonstrukcji może być usytuowanie murów innych budynków, a także historia miejscowych zmian w organizacji przestrzennej niemniej ilość dostępnych danych jest zdecydowanie za mała.

Po pierwsze, relikty domu B.137 zostały w niejasny i cząstkowy sposób określone na planie archiwalnym. Jedyna zawarta tam informacja odnosi się do fragmentu wschodniego fundamentu tego budynku, który co prawda został zarejestrowany także w obrębie *TP Area* i *GDN Area*, ale był w znacznym stopniu zniszczony przez rozległą i prawdopodobnie poneolityczną jamę. Co ciekawe, w sąsiedztwie tych obiektów znaleziono pochówek ludzki w pozycji skurczonej (F.6001/F.2859?). Szczątki te najprawdopodobniej zostały przecięte przez wkop pod zachodni fundament budynku B.74, co sytuuje je w neolitycznej sekwencji stratygraficznej. Przedmiotowy pochówek mógł być więc związany z domem B.137, chociaż niewykluczone jest także to, iż depozycji dokonano w ramach otwartej przestrzeni Sp.420.

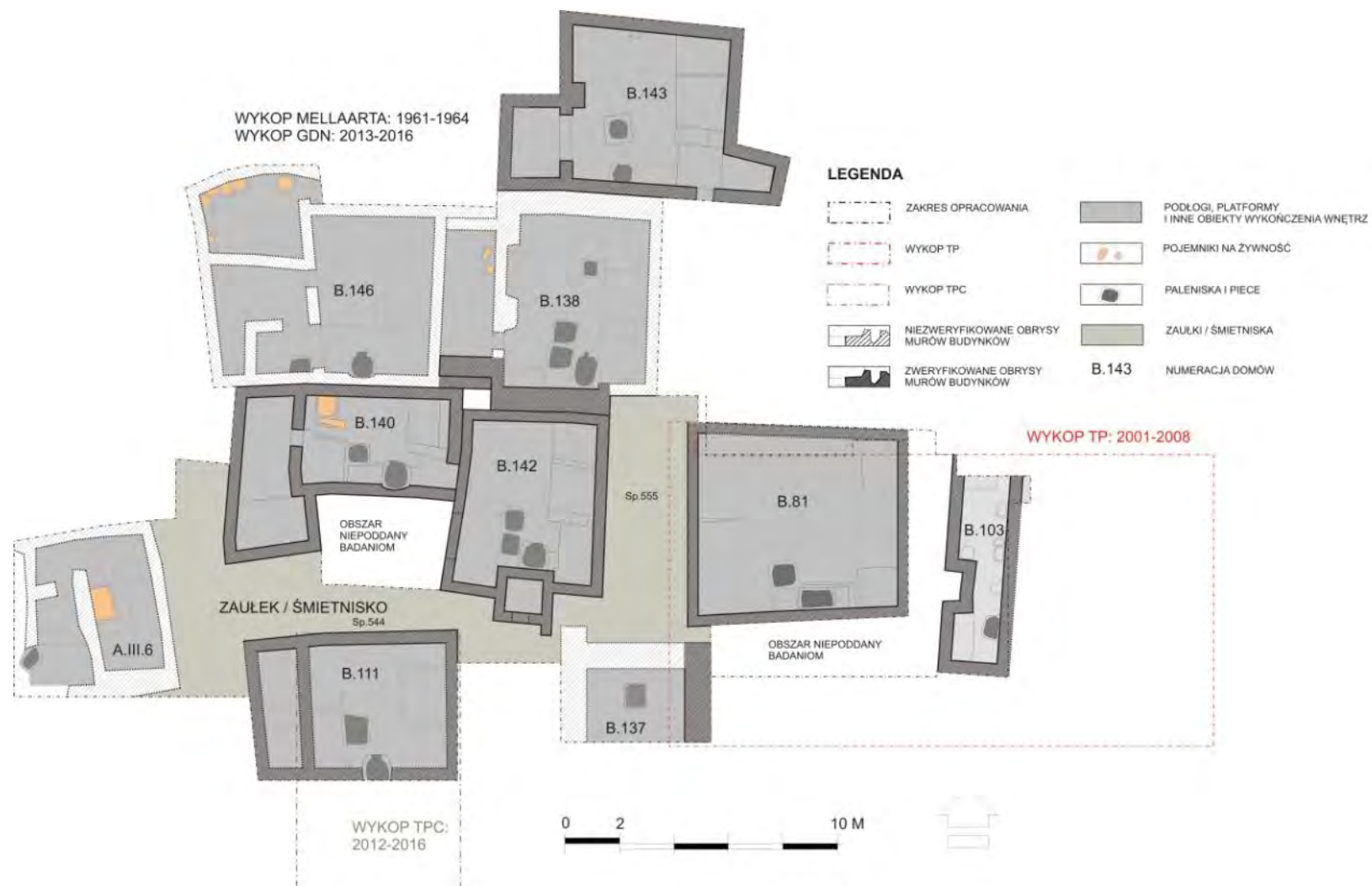
Po drugie, w trakcie badań GDN nie stwierdzono poza wspomnianym fundamentem i ewentualnym pochówkiem, żadnego śladu innych obiektów, które mogłyby zostać przypisane temu budynkowi. Wynika z tego, że układ konstrukcyjny domu B.137 albo został poddany eksploracji w latach 60. ubiegłego wieku lub uległ zniszczeniu jeszcze w okresie neolitu, na przykład podczas budowy – usytuowanego bezpośrednio nad nim - budynku B.95 (TP.Q).

Po trzecie, południowa część domu B.137 znajduje się poza granicami wszystkich wykopów założonych w tym miejscu, a więc zarówno przestrzeni badawczej Jamesa Mellaarta, jak i następnie *TP Area* i *GDN Area*.

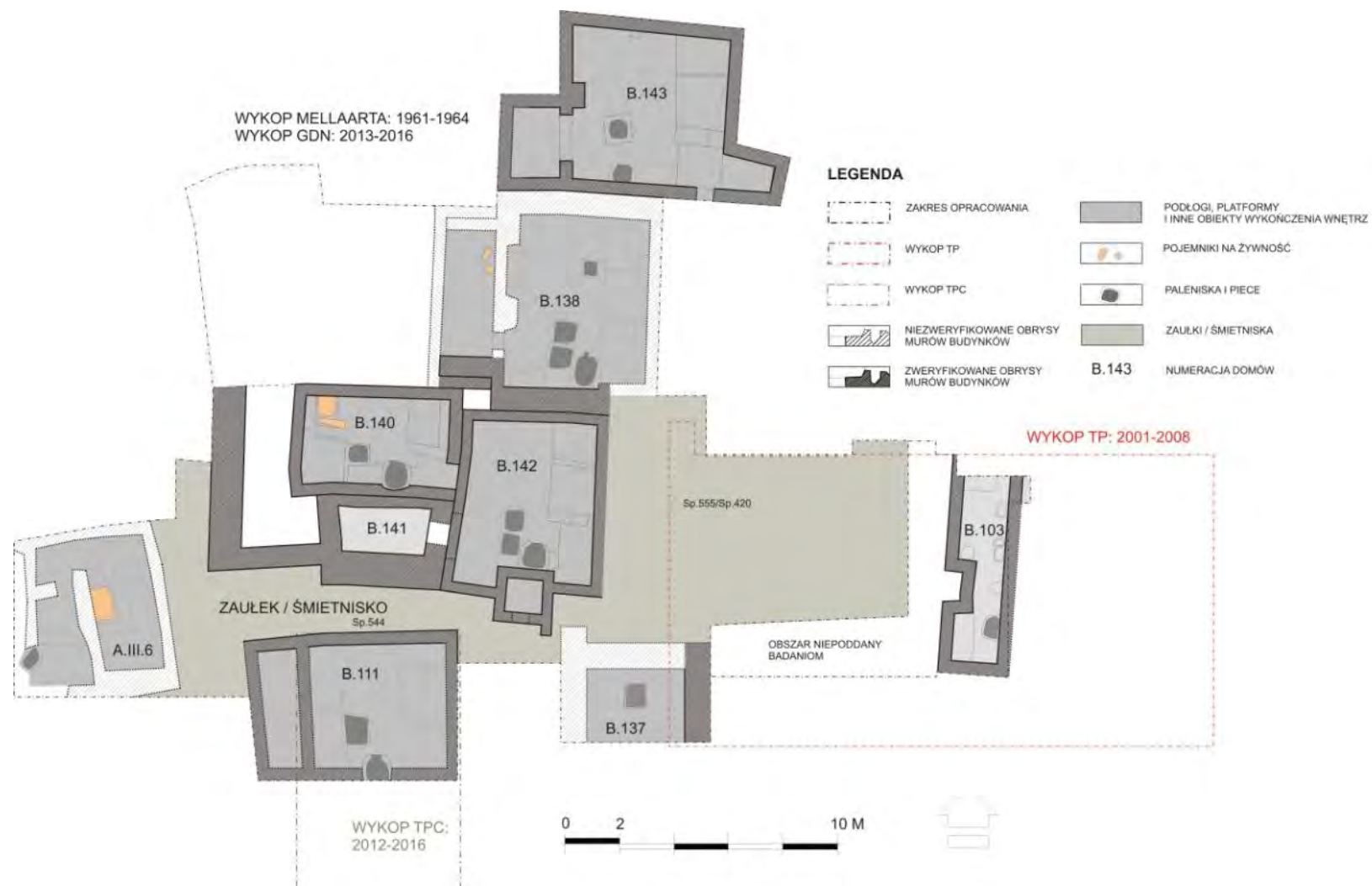
⁷²Niektóre z tych obiektów mogły pełnić funkcję dołów wapiennych, co sugerują na przykład wyniki badań przeprowadzonych na stanowisku 'Ain Ghazal (Banning i Byrd 1987: 313-314).



Rycina 101. Propozycja rekonstrukcji układu zabudowy na poziomie TP.M (B) (opracowanie własne).



Rycina 102. Propozycja rekonstrukcji układu zabudowy na poziomie TP.M (A) (opracowanie własne).



Rycina 103. Propozycja rekonstrukcji układu zabudowy na poziomie TP.N (opracowanie własne).

2.2 Poziom II

Poziom II obejmuje przede wszystkim dom B.74 (TP.O) i jego kolejne przebudowy – B.62/B.61 (TP.P), w tym komorę grobową Sp.327. Ze strukturą tą najprawdopodobniej współcześnie jest stosunkowo rozległe podwórze Sp.412/Sp.415 (Ryc. 104-105).

2.2.1 TP.O

Sekwencję związaną z poziomem TP.O rozpoczyna budowa domu B.74, którego relikty zarejestrowane zostały w zachodniej części wykopu TP. Budynek ten wydaje się późniejszy od przylegającego do niego od zachodu domu B.137 (TP.N/TP.O). Hipoteza ta opiera się na obserwacji, zgodnie z którą wschodni fundament tego ostatniego posadowiony był częściowo na murze budynku B.81 (TP.M), który wydzieliał główne pomieszczenie od aneksu. Z kolei zachodnia dolna partia domu B.74 usytuowana jest równolegle do tego muru, ale w pewnej odległości od niego. Wydaje się więc, że przy budowie domu B.137 istniała możliwość oparcia jego układu konstrukcyjnego na reliktach wcześniejszych murów z czego skorzystano, podczas gdy w momencie posadowiania budynku B.74 możliwe było jedynie dostawienie jego zachodniej ściany do domu B.137 i w konsekwencji niezbędne okazało się wcięcie w pokłady śmietniskowe wypełniające wnętrze domu B.81.

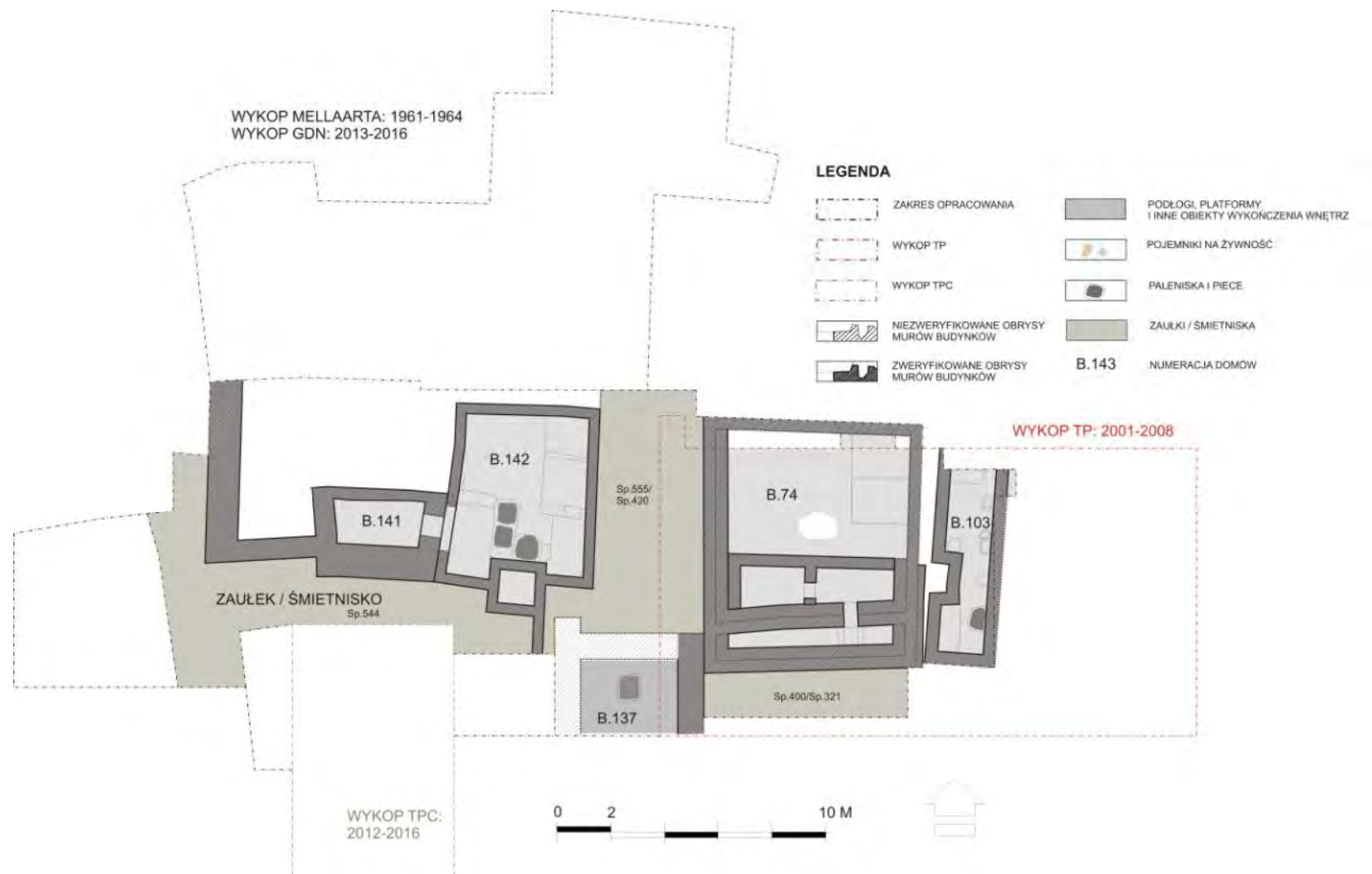
Najprawdopodobniej na południe od budynku B.74 i jednocześnie na wschód od domu B.137 funkcjonowała otwarta przestrzeń Sp.321/Sp.400. Obszar ten został w niewielkiej części zdefiniowany w obrębie wykopu TP. Z kolei od wschodu budynek B.74 mógł przylegać do domu B.103 (TP.N/TP.O), którego opuszczenie nastąpiło w czasie użytkowania tego pierwszego lub krótko po jego zamknięciu. Jest także prawdopodobne, że dom B.74 był ograniczony od północy przez inną nieokreśloną strukturę (Barański i Regulska 2016: 270-271).

2.2.2 TP.P

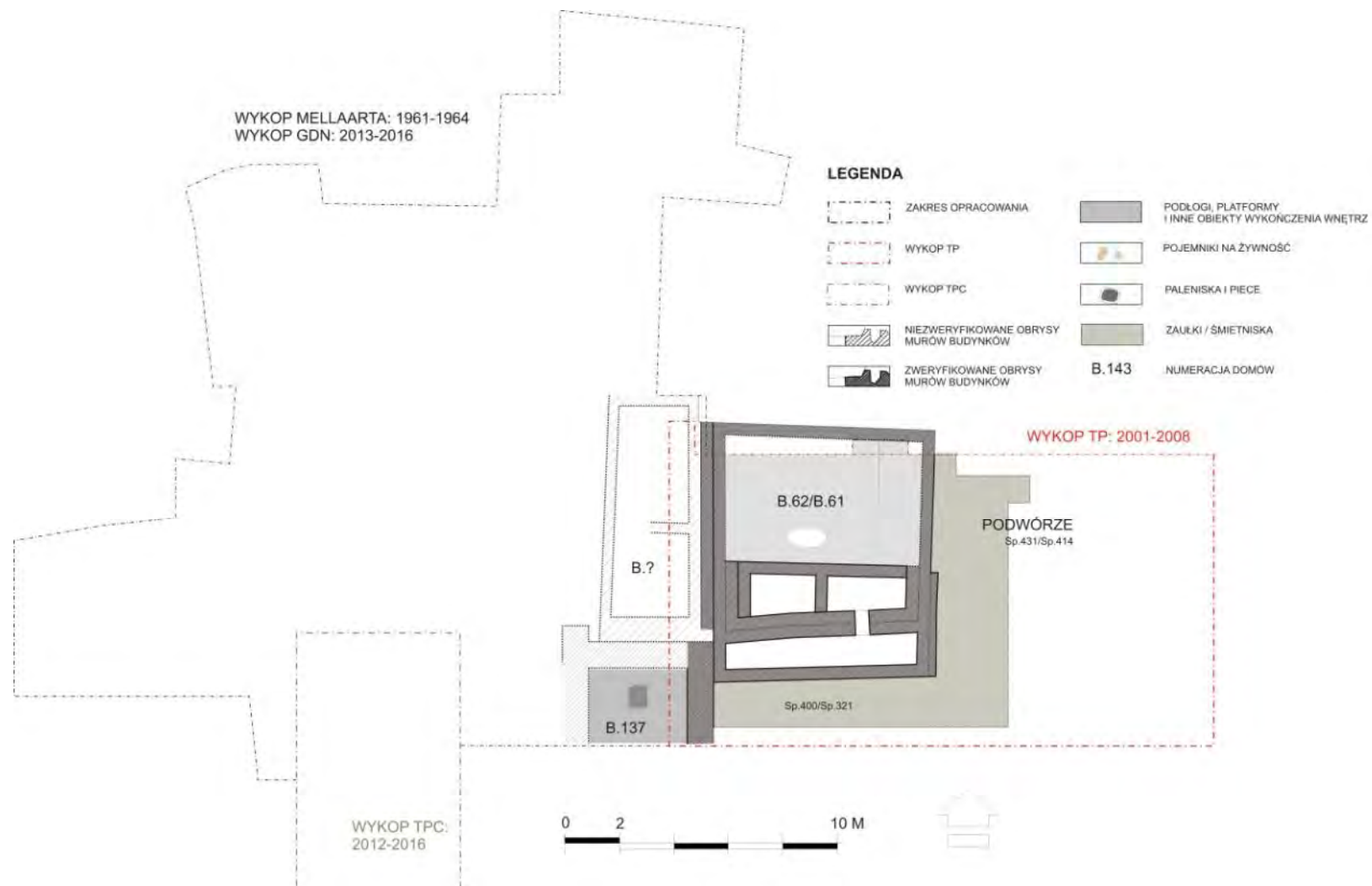
Budynek B.62/B.61, jak już wspominałem, stanowi dwie kolejne fazy przebudowy domu B.74 (TP.O), którego zamknięcie następuje wraz z budową komory grobowej Sp.327. Warto po raz kolejny podkreślić, że w ramach tej przebudowy zmianie nie ulega pierwotny układ konstrukcyjny budynku B.74 w odniesieniu do fundamentów i ścian nośnych. W tym sensie sekwencję B.74-B.62/B.61 można postrzegać jako jeden z „domów historii” (patrz Hodder i Pels 2010). Przemawiałyby za tym nie tylko bezośrednia kontynuacja planu oraz kolejne przebudowy, ale i budowa komory grobowej oraz wykonanie – w ostatniej fazie użytkowej - podłogi na podkładzie z drobnych kamieni rzecznych, co sugeruje ówczesny wyższy status tego budynku. Być może, podobnie jak w przypadku domów B.81 i B.146, ta ostatnia faza być może związana jest z użytkowaniem tylko przestrzeni głównego pomieszczenia.

W cyklu życia budynku B.62/B.61 można wydzielić kilka faz związanych z konstrukcją kolejnych podłóg i obiektów architektonicznych, niemniej właściwe wydaje się mi ich przypisanie do jednego poziomu stratygraficznego. W tym konkretnym przypadku wyróżnienie każdego z takich epizodów w ramach osobnego poziomu nie jest moim zdaniem potrzebne, chociaż można niewątpliwie byłoby to rozważyć po zapoznaniu się z nowymi wynikami programu radiowęglowego w sytuacji, gdyby kolejne fazy miały znacząco różną długość.

Na wschód od budynku B.62/B.61 funkcjonowała otwarta przestrzeń Sp.412/Sp.415, która została ukształtowana częściowo w miejscu opuszczonego wnętrza domu B.103. Częścią tego podwó-



Rycina 104. Propozycja rekonstrukcji układu zabudowy na poziomie T.P.O (opracowanie własne).



Rycina 105. Propozycja rekonstrukcji układu zabudowy na poziomie TP,P (opracowanie własne).

rza ze znacznym pochyleniem nawarstwień w kierunku wschodnim oraz śladami rumowisk oraz ognisk być może był także wcześniej opisany i usytuowany w południowo-wschodniej części wykopu TP obszar Sp.321/Sp.400. Ponadto, w trakcie życia budynku B.62/B.61 najprawdopodobniej częściowo lub całkowicie wyłączony został z użytkowania dom B.137 (TP.N/TP.O).

2.3 Poziom I

Poziom I obejmuje: dom B.95, podwórze Sp.412/Sp.415 i Sp.414 (TP.Q) oraz budynek lub budynki B.33/B.34 (TP.R). Relikty te zamykają neolityczną sekwencję zaobserwowaną w obrębie wykopu TP (Ryc. 106-107).

2.3.1 TP.Q

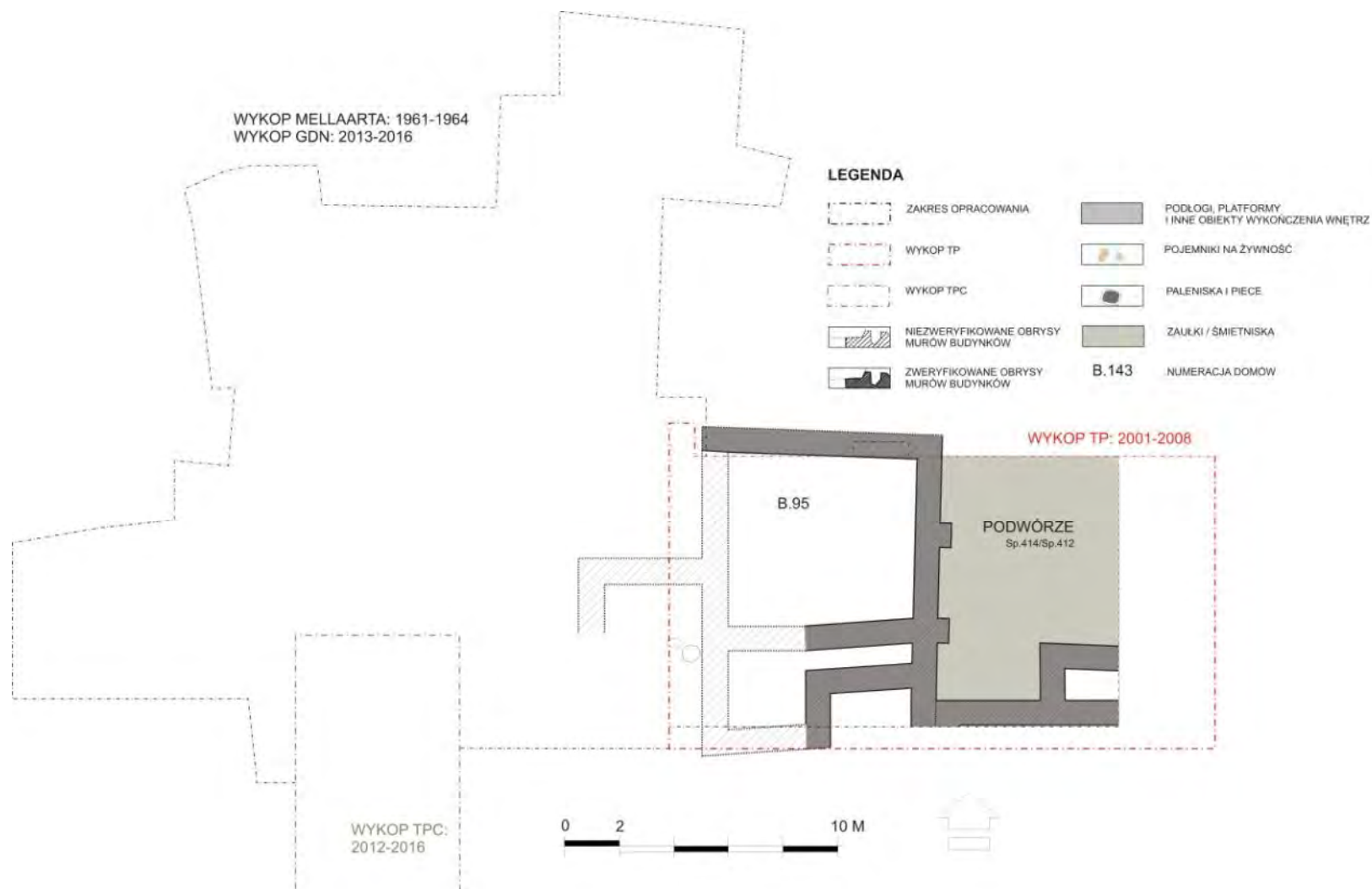
Sekwencję związaną z poziomem TP.Q rozpoczyna budowa budynku B.95, którego pozostałości w postaci złożonych fundamentów zostały zarejestrowane w zachodniej części wykopu TP. Wydaje się, że niektóre z odsłoniętych konstrukcji murowanych można powiązać z relikdami któregoś lub wszystkich z budynków B.I.4, B.I.5, B.I.6 i B.I.7 uwzględnionych na archiwalnych planach z lat 60. ubiegłego wieku. Za takim zestawieniem przemawia względna chronologia tych domów oraz odpowiadające sobie usytuowanie i parametry ich partii fundamentowych. Jednocześnie nie jest jasne czy instalacje ogniowe zarejestrowane w obrębie budynków B.I.4 i B.I.5 są związane z tymi obiektami czy domem lub domami (B.137?) usytuowanym/usytuowanymi pod nimi.

Wydaje się, że na wschód i zachód od domu B.95 funkcjonowały współczesowe z nim przestrzenie otwarte. Pierwsza z nich Sp.412/Sp.415 prawdopodobnie miała charakter podwórza otoczonego w znacznej części przez inne budynki, których ślady – w postaci masywnego fundamentu (F.2894) – odsłonięto, i to tylko częściowo, w południowej części wykopu TP. W obrębie tej wolnej przestrzeni zdefiniowano liczne rumowiska ceglane i znaczne pochylenie nawarstwień w kierunku wschodnim, co prawdopodobnie wpłynęło na w ostatecznym rachunku na częściowe zapadnięcie się i pęknięcie wschodniej ściany fundamentowej domu B.95. Obszar opisywanego podwórza zniwelowano częściowo w ramach Sp.414.

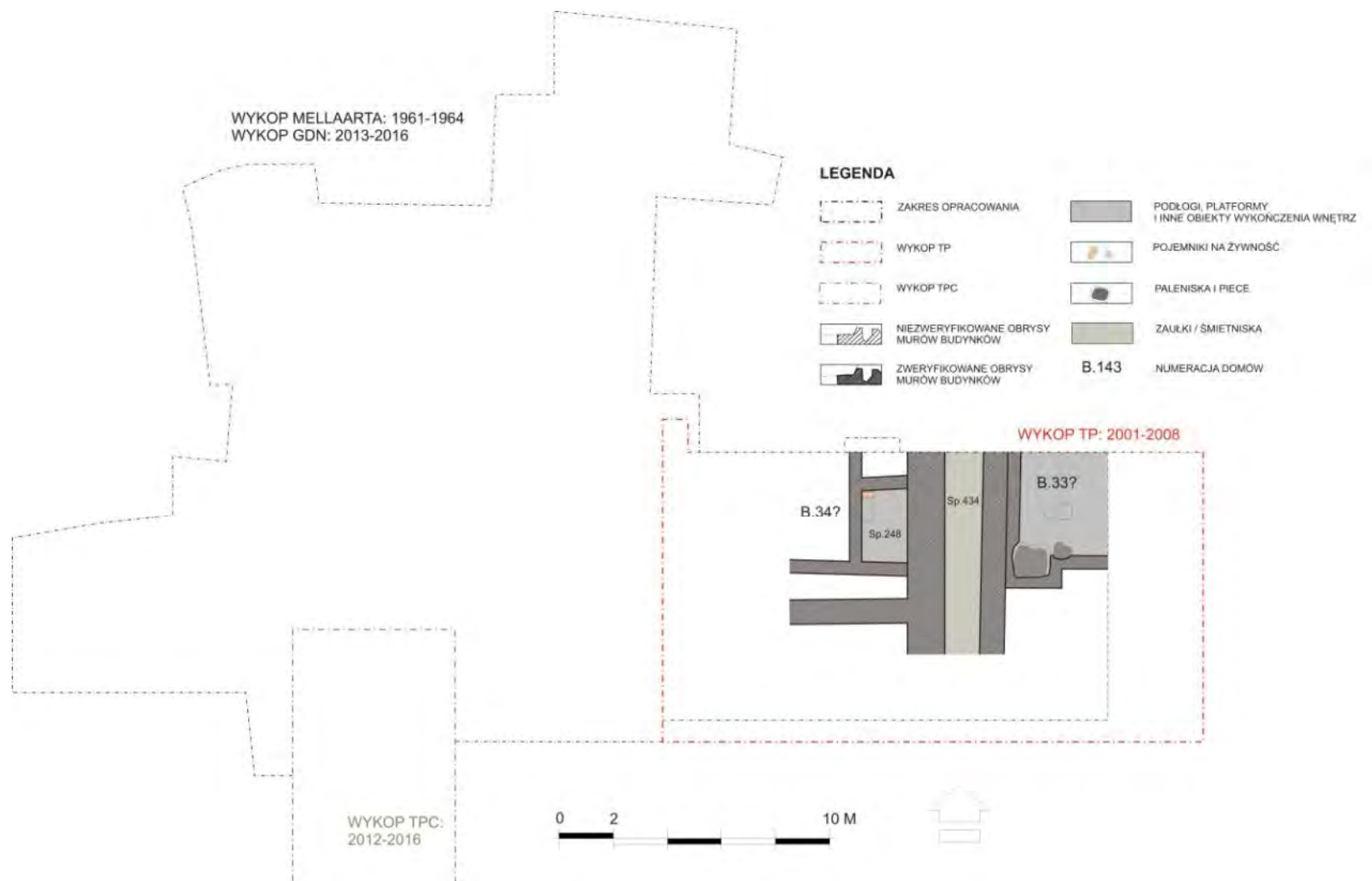
Charakter prawdopodobnej zachodniej przestrzeni otwartej pozostaje na obecnym etapie analiz nieznany. Nie jest jednocześnie wykluczone, że budynek B.95 był w ówczesnym czasie jednym z wyżej położonych i większych kubaturowo obiektów na tellu i mógł być usytuowany na krawędzi zachodniego tarasu.

2.3.2 TP.R

Sekwencja przypisana poziomowi TP.R stanowi ostatni ślad osadnictwa neolitycznego na tellu zadokumentowany w obrębie wykopu TP. Jest ona związana z użytkowaniem budynku/budynków B.33/B.34, w tym komory grobowej Sp.248. Jak już pisałem wcześniej nie jest możliwe obiektywne rozdzielenie reliktdów wymienionych struktur. Biorąc jednak pod uwagę wcześniejszą organizację przestrzenną w tym miejscu, skłaniam się ku hipotezie, że problematyczne pomieszczenie Sp.434 stanowiło w rzeczywistości wąską i otwartą przestrzeń nie tylko rozgraniczającą domy B.33 i B.34, ale i prawdopodobnie strefy aktywności dwóch lub więcej rozszerzonych gospodarstw domowych. W takiej sytuacji pierwszy z wymienionych budynków znajdowałby się we wschodniej, a drugi - wraz



Rycina 106. Propozycja rekonstrukcji układu zabudowy na poziomie TP.Q (opracowanie własne).



Rycina 107. Propozycja rekonstrukcji układu zabudowy na poziomie TP.R (opracowanie własne).

ze składającą się na niego komorą grobową Sp.248 - zachodniej części wykopu. Przedmiotowy korytarz mógłby wyznaczać granicę pomiędzy dwoma skupiskami budynków i jednocześnie dwoma rozszerzonymi gospodarstwami domowymi funkcjonującymi w ramach jednej grupy sąsiedzkiej. Taki podział odzwierciedlałby wcześniejszy układ zabudowy w tym miejscu i tłumaczyłby istnienie wspólnie użytkowanego podwórza, które na poziomie TP.R – po uprzednim zniwelowaniu tego obszaru – zostało zabudowane.

Jedynymi relikami uwzględnionymi na archiwalnych planach, które można by było połączyć z budynkiem B.33/B.34 lub - zgodnie z powyższą hipotezą – domem B.34 jest fragment prawdopodobnego fundamentu przypisanego poziomowi 0. Ta problematyczna konstrukcja wydaje się znajdować na przedłużeniu południowego muru (F. 3110) przywołanego budynku. z drugiej strony mur ten - zadokumentowany na archiwalnych planach z lat 60. ubiegłego wieku (Mellaart 1962: Fig. 3) - można także starać się przypisać zabudowie z okresu hellenistycznego, która została zdefiniowana w obrębie wykopu TP (Czerniak i Marciniak 2002, 2003, 2005).

ROZDZIAŁ VI. ARCHITEKTURA I SPOŁECZEŃSTWO W PÓŻNYM NEOLICIE

Niniejszy rozdział ma charakter dyskusji poświęconej zagadnieniom organizacji społecznej Çatalhöyük schyłku funkcjonowania tejże osady. Poniższe rozważania prowadzę przy odwołaniu się do wyników wcześniejszych badań i analiz. Zaobserwowane przeze mnie kontynuacje i zmiany w tradycjach i strategiach budowlanych przedstawiam w zestawieniu z rozwiązaniami przestrzennymi i architektoniczno-konstrukcyjnymi zadokumentowanymi w pierwszej kolejności w obrębie wcześniejszych faz osadniczych na stanowisku, ale również innych mega-osad neolitycznego Bliskiego Wschodu, chociaż w przypadku tych ostatnich sekwencje stratygraficzne nie są tak rozbudowane (Verhoeven 2006), a publikacje wyników badań poświęconych architekturze są niepełne lub rozproszone.

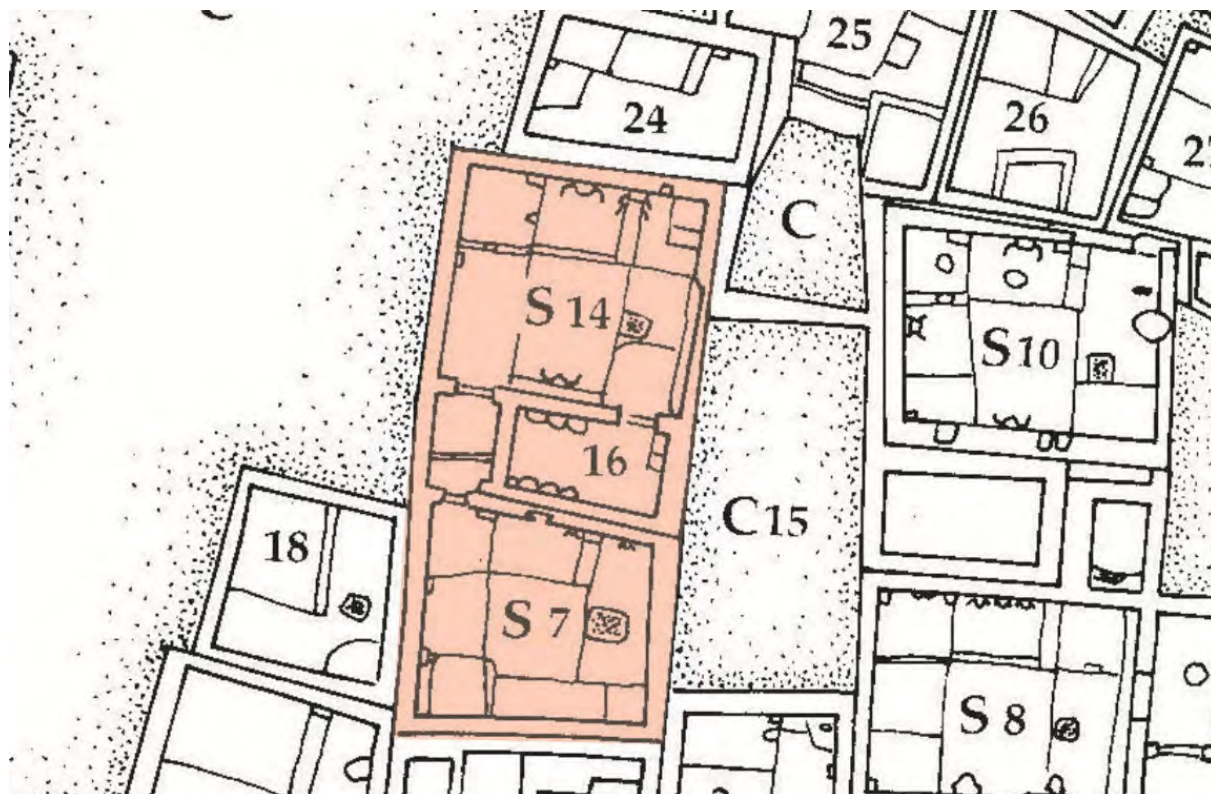
Powyższe porównania potwierdzają jedną z głównych hipotez mojej pracy, że architektura późnoneolitycznego Çatalhöyük była w znacznym stopniu wynikiem złożonego procesu zmian rozgrywających się w sferze społecznej pod wpływem zróżnicowanych zmiennych. W tym procesie poszczególne domy stanowiły integralną część „żywego organizmu”, na który składały się poddawane ciągłym zmianom zespoły budynków i powiązane z nim przestrzenie otwarte. Z jednej strony jest to efektem konso-lidacji gospodarstw domowych w kierunku gospodarstw rozszerzonych zamieszkujących kilka domów, wspólnie korzystających z pomieszczeń magazynowych oraz przestrzeni otwartych, a także realizujących nowe praktyki sepulkralne; z drugiej – elementem procesu stopniowej depopulacji tellu, w efekcie czego gęstość zabudowy ulegała zmniejszeniu.

1. Wzajemny układ budynków

Późnoneolityczne domy charakteryzują się generalnie stosunkowo dużą powierzchnią zabudowy oraz znaczną złożonością w odniesieniu do formy i funkcji zarówno samych budynków, jak i ich poszczególnych pomieszczeń. Przykładem na to są nie tylko obiekty zdefiniowane w obrębie TP Area: B.33/B.34, B.74-B.62/B.61, B.81 i B.95, ale także prawdopodobnie współczesne im domy poddane eksploracji w latach 60. ubiegłego wieku, takie jak: A.II.1, A.III.1, A.III.5 czy nawet A.IV.15 (Mellaart 1967: 57). W tym kontekście uwagę zwracają również relikty architektury odsłaniane obecnie w obrębie *TPC Area* (Filipowicz *et al.* 2014; Marciniak *et al.* 2012, 2013), które łączone są wstępnie z poziomami II-IV według podziału Jamesa Mellaarta.

Wymienione budynki tworzą złożone obiekty składające się z dużego pomieszczenia głównego i kilku mniejszych pomieszczeń bocznych. Przykłady domów: B.74 (TP.O) oraz B.81 (TP.M) sugerują, że izby te w ramach poszczególnych budynków były połączone poprzez regularne otwory w murach. Niektóre z domów, jak B.81 i B.142 (TP.M) - posiadających niezależne układy konstrukcyjne oraz zespoły charakterystycznych elementów wyposażenia wnętrza, były także w podobny sposób ze sobą zespolone funkcjonalnie. Połączone mogły być także budynki B.141 i B.142 (TP.M), co zasugerował James Mellaart (Mellaart 1962: Fig. 3). Obserwacje te dowodzą złożoności systemu organizacji społecznej wykraczającej poza jeden dom. Kompleksowość ta wydaje się szczególnie mocno zaakcentowana w okresie późnego neolitu, chociaż dowody architektoniczno-stratygraficzne na powiązania pomiędzy domami pochodzą również z innych wykopów na tellu. Dotyczą one chociażby budynków B.160 (South.L) (Barański 2016: 61-65) i B.77 (4040.G) (House 2014), aczkolwiek w tych

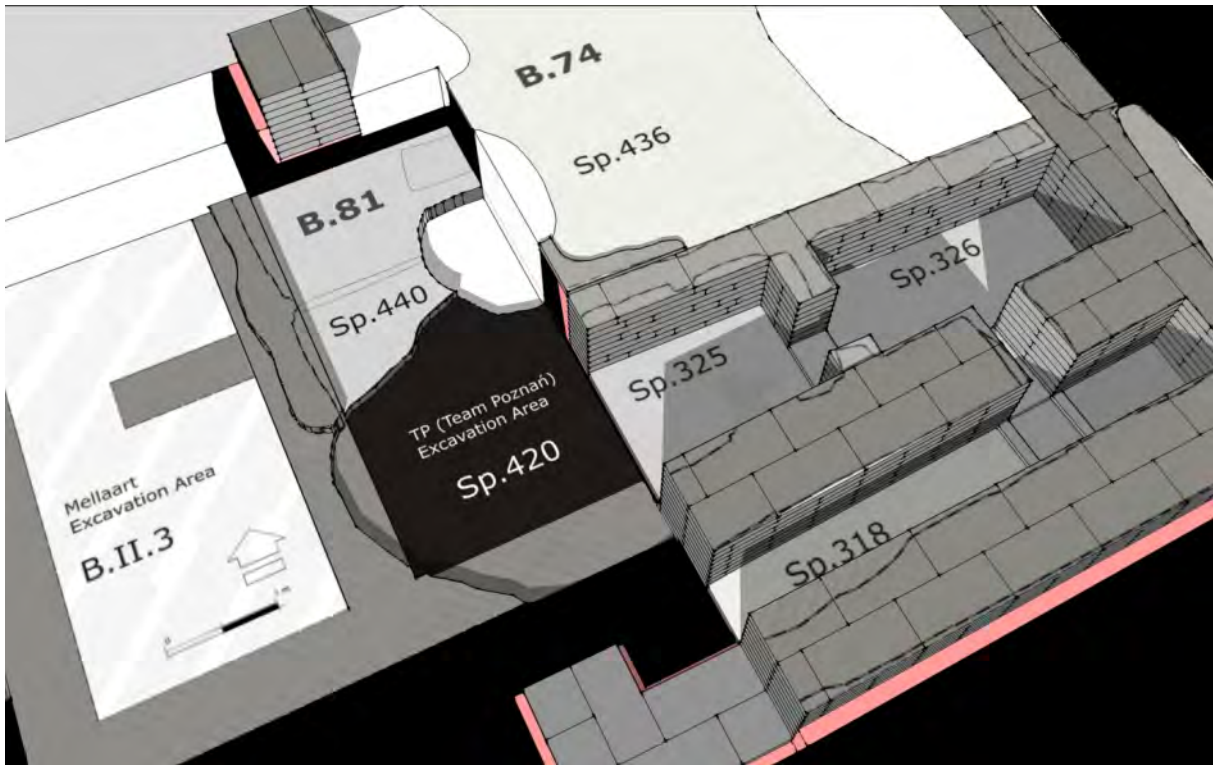
przypadkach nie objęto programem badań wszystkich powiązanych z nimi struktur. O wiele wyraźniejszym przykładem w odniesieniu do omawianej problematyki są wspomniane już wcześniej tzw. budynki bliźniacze E.VIB.14 i E.VIB.7, które posiadały jednocześnie osobny układ konstrukcyjny i wspólną przestrzeń magazynową (Farid 2007c; patrz także Düring i Marciniak 2006: 179) (Ryc. 108). Inną przesłanką do takich połączeń budynków może być rozkład „domów historii”, które wydają się być obiektami wspólnymi dla kilku gospodarstw domowych. W takim ujęciu organizacja ta wydaje się być charakterystyczna dla wczesnych poziomów osadniczych, o czym piszę w dalszej części pracy.



Rycina 108. Plan połączonych ze sobą funkcjonalnie budynków VIB.14 i VIB.7 (Ritchey 1996: Fig. 1.13).

Wydaje się - przynajmniej w odniesieniu do wykopu TP - że poszczególne budynki były coraz częściej posadowiane niezależnie od podziałów wyznaczanych przez dawną zabudowę. Nie oznacza to, że reliktury murów wcześniejszych domów nie były wykorzystywane jako fundamenty nowych, niemniej rozkład pomieszczeń w obrębie kolejnych budynków podlegał dużym zmianom. Brak wiernej kontynuacji układu przestrzennego szczególnie widoczny jest w przypadku sekwencji domów: B.81 i B.74-B.62/B.61 (Ryc. 109). Na przykład, budynek B.74-B.62/B.61 zorientowany był na osi północ-południe i składał się w pewnym momencie z czterech pomieszczeń. Poprzedzający go dom B.81 usytuowany był na linii wschód – zachód i najprawdopodobniej składał się początkowo z dwóch pomieszczeń: dużego głównego i zachodniego mniejszego (Barański *et al.* 2015b). Dwupomieszczeniowy układ, choć w tym przypadku na planie przypominającym literę L, miał budynek B.140. Także długie i wąskie pomieszczenie Sp.346 budynku B.103 z dużym prawdopodobieństwem stanowiło część większego i niepoddanego pracom eksploracyjnym domu. Stosunkowo niewiele wiadomo o układzie budynków B.33/B.34, B.95 i B.141, jako że zachowały się

po nich praktycznie wyłącznie i w dodatku tylko częściowo partie fundamentowe. Te budynki, wydają się jednak zajmować największą powierzchnię oraz składać z wielu połączonych ze sobą izb.

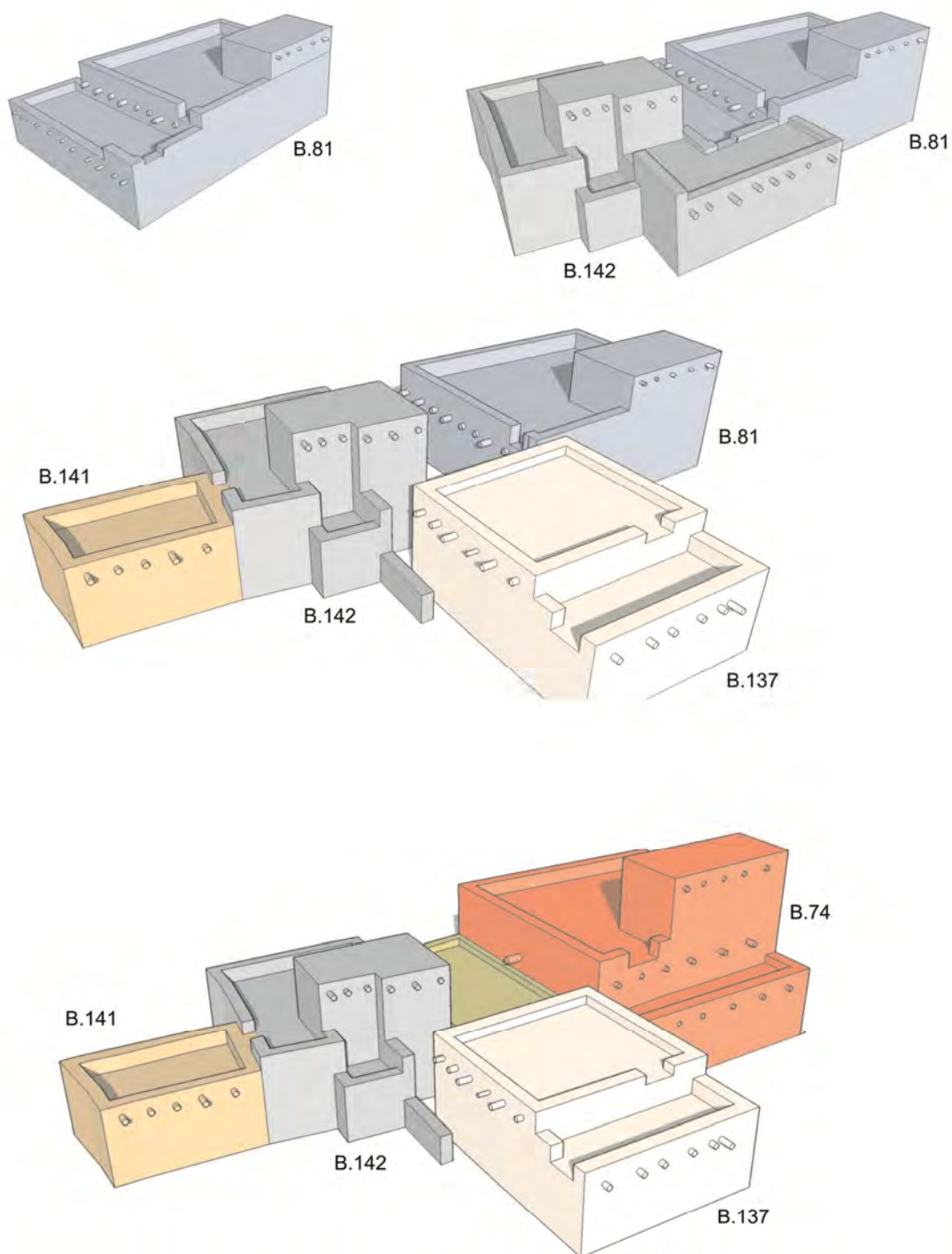


Rycina 109. Schematyczny model ilustrujący zmiany w układzie następujących po sobie budynków B.81 i B.74-B.62/B.61 (opracowanie własne).

Na podstawie powyższych przykładów ilustrujących znaczne zróżnicowanie rozplanowanie budynków późnoneolitycznych można argumentować, że poszczególne domy „rozrastały się” w różnych kierunkach w ramach większych sąsiedzkich zespołów zabudowy. Fakt ten stanowi znaczącą różnicę w stosunku do wcześniejszych faz osadniczych, w ramach których zaobserwowano generalnie bezpośrednie i programowe następstwo większości kolejnych domów oraz funkcjonowanie w znacznym stopniu niezależnych kolumn budynków (Farid 2014a). Proces odchodzenia od referencyjnego modelu domu, charakterystycznego dla klasycznego Çatalhöyük (patrz Hodder i Farid 2014; Hodder i Cessford 2005), należy najprawdopodobniej wiązać ze zmianami w obrębie grup sąsiedzkich i jednostek gospodarujących razem, które ulegały stopniowemu poszerzeniu, stawały się bardziej zintegrowane i niezależne gospodarczo oraz jednocześnie w mniejszym stopniu skoncentrowane na podtrzymywaniu dotychczasowych tradycji (patrz Düring i Marciniak 2006; także Kuijt *et al.* 2011). System ten wykorzystywał też nowe możliwości, które stwarzało zmniejszenie gęstości zabudowy sprzyjające nie tylko bardziej swobodnym rozbudowom domów, ale i izolacji skupisk budynków i zamieszkujących je grup (Ryc. 110).

Kolejną cechą charakterystyczną późnoneolitycznego Çatalhöyük jest istnienie przestrzeni otwartych, co związane było ze stopniowym zmniejszaniem się gęstości zabudowy (patrz Düring 2001; Marciniak *et al.* 2015b). Trend ten został zaobserwowany zresztą również w obrębie innych mega-osad neolitycznych Bliskiego Wschodu, jak na przykład: 'Ain Ghazal i Tell Sabi Abyad, a także stanowiska Sha'ar Hagolan (Akkermans 1996, 2013; Banning 2011; Garfinkel 2006; patrz także Kuijt

et al. 2011). W przypadku Çatalhöyük stosunkowo rozległe przestrzenie otwarte zadokumentowano już na poziomach South.P i 4040.G w obrębie odpowiednio *South Area* i *North Area* (Hodder i Farid



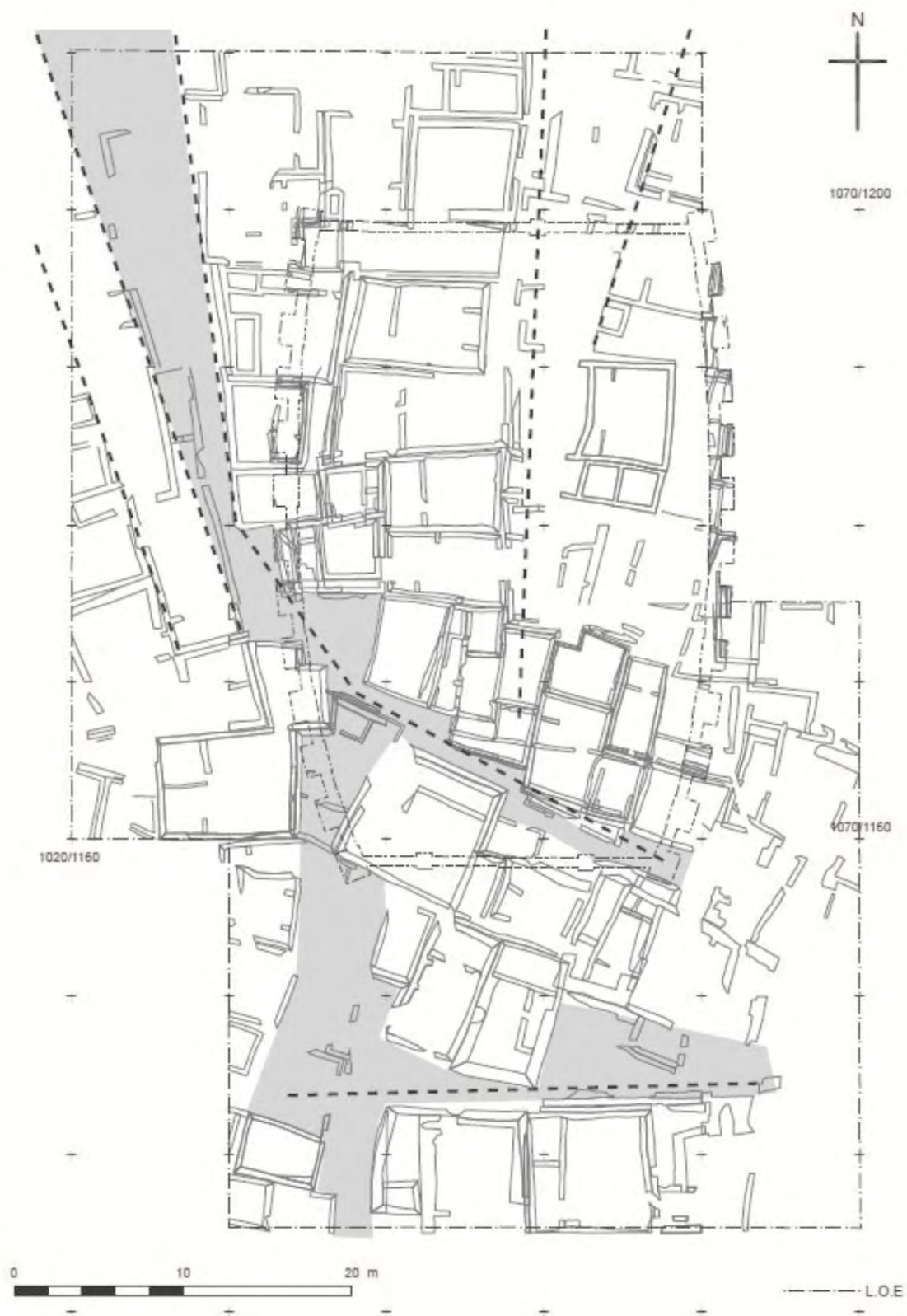
Rycina 110. Stopniowe zmiany w układzie zabudowy na przykładzie budynków: B.81, B.142, B.137, B.141 oraz B.74-B.62/B.61 (opracowanie własne).

2014; Farid 2014). Zaliczają się do nich przede wszystkim podwórza ze śladami obiektów i czynności służących przygotowywaniu pożywienia, produkcji zróżnicowanych materiałów i narzędzi oraz składowania materiałów budowlanych. Najlepiej rozpoznany przykładem tego typu przestrzeni są następujące po sobie obszary Sp.333 (South.P), Sp.299 (South.Q) i Sp.339 (South.R) (Regan 2014). Niemniej bardzo podobny charakter przestrzenno-funkcjonalny miała także sekwencja we wschodniej części wykopu TP, mianowicie Sp.431-Sp.414-Sp.412 (TP.P-TP.Q). Niewykluczone, że część z tych podwórz mogło być tymczasowo zasiedlonych w trakcie prac budowlanych realizowanych w bezpośrednim sąsiedztwie, co wydaje się sugerować istnienie m.in. dołka posłupowego w centralnej części tej otwartej przestrzeni (Regan 2014:187). Ponadto, niektóre z podwórz wydają się być stopniowo włączane do zespołów zabudowy, stając się w efekcie ich integralną i zamkniętą częścią. Procesowi temu mogło towarzyszyć wyprowadzanie części czynności domowych z wnętrza niektórych budynków, co zasugerowane zostało na przykład w odniesieniu do domu B.3 (4040.G), w obrębie którego nie stwierdzono – w kilku następujących po sobie fazach użytkowych – obecności wewnętrznych pieców i palenisk (Stevanović 2012a).

Niektóre z przestrzeni otwartych przybierały formę zaułków lub wąskich korytarzy, rozdzielających współcześnie skupiska budynków (Ryc. 111). Przykładami tego typu obszarów są: Sp.544 (TP.M) (Barański 2014, Barański *et al.* 2015) oraz Sp.60 (4040.G), Sp.226 (4040.I) (Sadarangani 2014b; Yeomans 2014c) i najprawdopodobniej Sp.319-Sp.130-Sp.129 (South.S) (Regan 2014). Na przestrzenie te składały się rozbudowane sekwencje warstw śmietniskowych z generalnym brakiem śladów po deptaniu, co świadczy o intensywnej i szybkiej akumulacji odpadów bytowych (García-Suárez 2015; Shillito i Ryan 2012). Co ciekawe, w materiale pozyskanym z tych kontekstów stwierdzono brak lub zastanawiająco małą ilość pozostałości odchodów ludzkich i zwierzęcych, co może świadczyć o większym poziomie mobilności (Shillito 2011a; patrz także Doherty i Tarkan Özbudak 2013; Pearson 2013; Spencer Larsen *et al.* 2013). Nie zmienia to faktu, że większość z tego typu obszarów funkcjonowała przez długi okres; zdecydowanie przekraczający czas życia wielu bezpośrednio sąsiadujących z nimi budynków (Hodder i Farid 2014: 30). Co więcej, przestrzenie te, jak zauważył Ian Hodder (2006: 93), wydają się być usytuowane na krawędzi stref głównej aktywności większych grup ludzkich. Podobnej organizacji społecznej, określonej przez relacje zespołów budynków do otwartych obszarów śmietniskowych, zresztą dopatrywać się także w obrębie stanowiska Aşiklı Höyük (Esin i Harmanakaya 1999; Özbaşaran 2011). W przypadku Çatalhöyük linię podziału pomiędzy skupiskami domów zamieszkałych przez grupy sąsiedzkiem można próbować wyznaczyć nie tylko w obrębie *North Area* (Hodder i Farid 2014: 27-29), ale również w zachodniej i południowej części wykopu GDN.

Należy wspomnieć, że tymczasowymi przestrzeniami śmietniskowymi stawały się również opuszczone wnętrza domów, które – w późnym neolicie - wydają się nie być celowo wypełniane czystym i zbitym materiałem wypełniskowym, a raczej stopniowo i w sposób naturalny wypełniane zróżnicowanymi depozytami. Taka sytuacja została zaobserwowana chociażby w przypadku budynków i przestrzeni: B.81 i Sp.420 (TP.N) (Marciniak *et al.* 2015b), B.132 i Sp.511 (4040.G?) (Tung i Klimowicz 2013), a także Sp.279 (4040.H) (Yeomans 2014d). W obrębie tych obszarów natrafiono na ślady ognisk oraz jam wyrobiskowych, służących najprawdopodobniej pozyskaniu lub przygotowaniu materiału budowlanego (Barański *et al.* 2015: 256; Marciniak i Czerniak 2008: 76; Yeomans 2014d: 528-530). Zapotrzebowanie na wolną powierzchnię podczas na przykład konstrukcji budynków jest zrozumiałe. O ile bowiem cegły mułowe formowano i suszono najprawdopodobniej poza osadą, o tyle ich przetransportowanie i składowanie wiązało się z koniecznością dostępu do stosu-

nkowo dużej przestrzeni otwartej. Również przygotowanie zapraw, podkładów i tynków wymagało odpowiedniego miejsca i warunków pracy. Kwestie te wiążą się bezpośrednio ze strategiami i technikami budowlanymi, które poruszam w kolejnym podrozdziale.



Rycina 111. Skupiska budynków wyznaczone przez otwarte przestrzenie śmietnikowe w obrębie wykopu North (Hodder i Farid 2014: Fig. 1.10).

2. Strategie i techniki budowlane

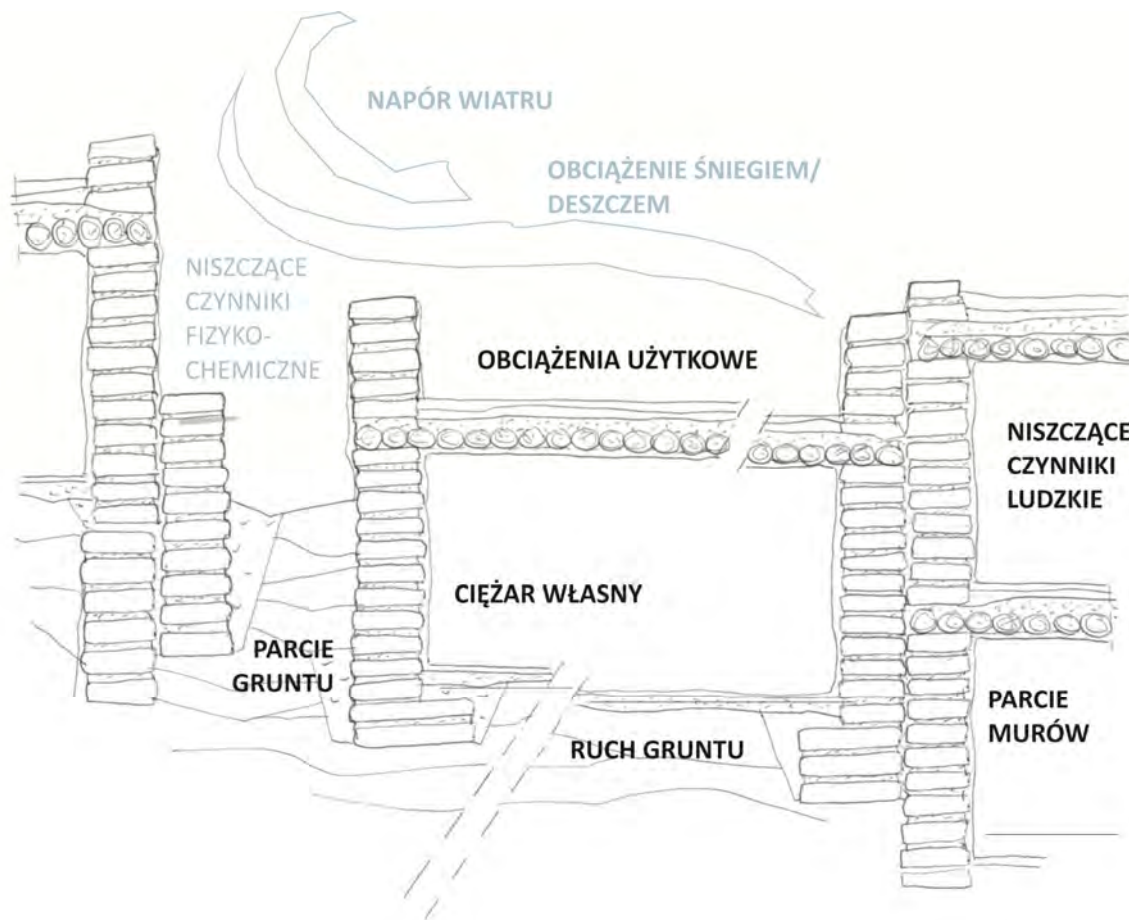
Nie ulega wątpliwości, że fakt zmniejszenia się gęstości zabudowy, przy obecności rozległych obszarów śmietniskowych, nie tylko zwiększyła możliwości wprowadzania zmian w istniejącym układzie zabudowy, ale także wymuszała upowszechnienie lub wprowadzenie nowych strategii i technik budowlanych. Nowa sytuacja przestrzenna wpłynęła bowiem zasadniczo na zmianę warunków gruntowych, które - nigdy nie będąc korzystnymi w obrębie tellu - w okresie późnego neolitu stały się wysoce problematyczne. Świadczą o tym liczne przykłady zniszczeń, deformacji i naprawy elementów konstrukcyjnych (Ryc. 112), co znajduje potwierdzenie również na innych bliskowschodnich stanowiskach tellowych.



Rycina 112. Przykłady zniszczeń i deformacji obiektów murowanych: a) zawalony fragment ściany budynku B.132 w *North Area* (fot. J. Quinlan), b) przechylenie się ściany budynku B.103 w *TP Area* (fot. A. Leszczewicz), c) zgniecenie narożnika budynku B.109 w *TPC Area* (fot. A. Mickel), d) pęknięcie podłużne fundamentu budynku B.95 w *TP Area* (fot. A. Leszczewicz), e) wygięcie muru budynku B.52 w *North Area* (fot. J. Quinlan), f) wygięcie i skręcenie mur budynku B.104 w *South Area* (fot. J. Quinlan).

Zmniejszenie się gęstości zabudowy, przy równoległym ogólnym zwiększeniu się kubatury poszczególnych budynków, wymagała wprowadzenia nowych strategii budowlanych, w tym planowania prac ziemnych w celu stworzenia bezpieczeństwa użytkowania budynków sytuowanych coraz częściej w obrębie niekontrolowanych nasypów śmietniskowych. Opierając się na badaniach geotechnicznych można stwierdzić, że grunty antropogeniczne tego typu, charakteryzując się niskimi parametrami wytrzymałościowymi i jednocześnie znaczną odkształcalnością, stanowiły słabą warstwę nośną (patrz Drągowski 2010). Ponadto, biorąc pod uwagę ukształtowanie tellu (patrz Pollard *et al.* 1996), tworzyły one często niestabilne skarpy i zbocza narażone na utratę stateczności w wyniku działania sił grawitacyjnych oraz hydrodynamicznych. Można zakładać, że warunki, w których te siły mogły działać, były w przypadku Çatalhöyük związane z: a) podmywaniem lub podkopywaniem

zbocza, b) obciążeniem zbocza lub terenu w jego bezpośrednim sąsiedztwie przez obiekty budowlane, c) nasiąknięciem i pęcznieniem gruntu, szczególnie w okresie ulewnych deszczy i odwilży, d) zwietrzeniem i rozluźnieniem gruntu oraz e) niekontrolowanym wzrostem nachylenia skarpy lub nasypu. Wszystkie te czynniki mogły zresztą występować zarówno osobno, jak i razem (patrz Glinicki 1990).



Rycina 113. Złożone obciążenia statyczne i dynamiczne działające na budynki usytuowane na tellu (opracowanie własne).

Zmiany w warunkach gruntowych, w połączeniu z niestarannym przewiązaniem narożników lub zbyt małą powierzchnią przewiązania murów⁷³, bezpośrednio wpływały na stateczność konstrukcji (Ryc. 113). Zniszczone lub zdeformowane elementy konstrukcyjne próbowano naprawiać lub wzmacniać, co potwierdzają badania prowadzone w odniesieniu do różnych faz osadniczych. W przypadku budynku B.50 (South.M) proces pochylania się wschodniego muru zatrzymano poprzez wprowadzenie systemu podpór (Farid 2014b). Z kolei do wybranych ścian obiektów: B.42 (South.R),

⁷³ Warto także zwrócić uwagę na fakt, że domy późnoneolityczne, nie tworząc już tak zwartych skupisk jak wcześniejsza zabudowa na tellu, były generalnie w znacznym stopniu wyeksponowane, w tym także mocniej narażone na destrukcyjne czynniki atmosferyczne i antropogeniczne. Elementy układu konstrukcyjnego budynków, znajdujące się w złożonej przestrzeni oddziaływań mechanicznych, chemiczno-biologicznych i fizycznych, ulegały nie tylko naturalnemu zużyciu materiału, ale i postępującym procesom niszczenia i degradacji technicznej. Jednym z głównych czynników destrukcji murów z cegły mułowej stanowiła w tym przypadku woda. Niszczenie, zarówno zewnętrznych, jak i wewnętrznych elementów, następowało niewątpliwie także wskutek oddziaływania zróżnicowanych organizmów: grzybów, roślin, owadów i innych zwierząt, a także w efekcie działalności człowieka. Odświeżanie ścian zewnętrznych i wewnętrznych oraz elementów wyposażenia poza charakterem rytualnym miały więc również uzasadnione znaczenie praktyczne.

B.52 (4040.G) i B.64 (4040.H) dostawiono konstrukcje oporowe, zabezpieczające je przed parciem warstw śmietniskowych i dalszym wygięciem (Farid 2014d; Sadarangani 2014a; Yeomans 2014b). Podobne rozwiązanie zastosowano w przypadku budynków: B.45 (4040.H), B.67(4040.H) (House 2014a; Yeomans 2014a), a także B.7 (South.L) i B.21 (South.L). Zaobserwowano także praktykę obmazywania ścian zewnętrznych tynkiem w celu ich ochrony przed działaniem związków chemicznych zawartych w pokładach śmietniskowych (Farid 2007, 2014e).

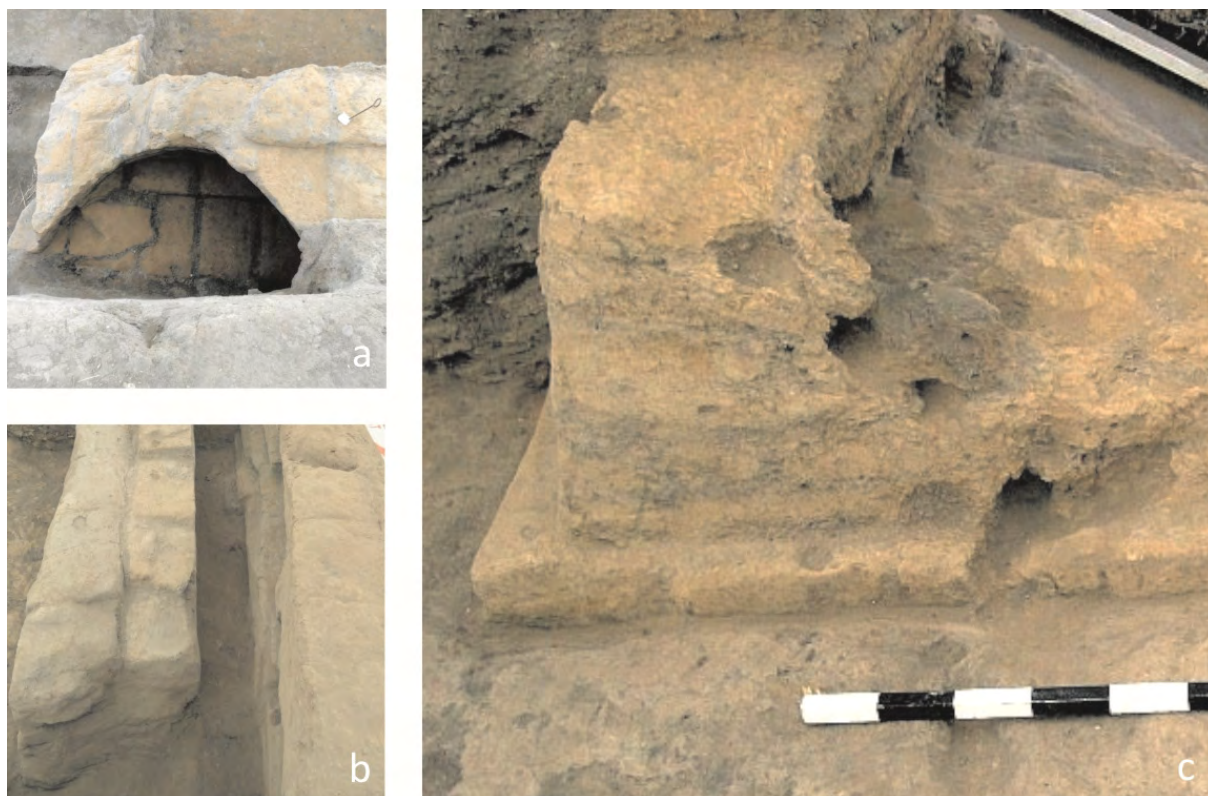
Ślady bardziej zaawansowanych działań zabezpieczających związane są z górnymi sekwencjami stratygraficznymi w obrębie *South Area*. Mianowicie zadokumentowano tam prace związane nie tylko z zapewnieniem stateczności zbocza i przygotowaniem (analogicznie, jak w sytuacji budynku B.33/B.34 (TP.R) z *TP Area*) podłoża pod budowę budynków: B.65, B.56, B.44 i B.10, ale także, w przypadku przestrzeni otwartych: Sp.329, Sp.333, Sp.367 i Sp.427, stabilizacji warstw śmietniskowych oraz zwiększenia powierzchni użytkowej poprzez budowę konstrukcji oporowych i stworzenie pól tarasowych (Regan 2014). Wydaje się, że podobne zabiegi miały także miejsce w odniesieniu do niektórych struktur i obszarów definiowanych w obrębie wykopów IST i North (Özbaşaran i Duru 2013; Sadarangani 2013b; Tung i Klimowicz 2013; Yeomans 2013c). Istnienie tarasów jest również charakterystyczne dla środowiska zbudowanego mega-osady 'Ain Ghazal (Banning i Byrd 1987: 312).

Problematyczne warunki gruntowe w sposób oczywisty wymusiły prace polegające na głębieniu wykopów fundamentowych, których ślady zaobserwowano w obrębie wszystkich głównych wykopów na tellu. Na przykład posadowione w wąskich wkopach były fundamenty większości budynków poddanych badaniom w obrębie górnych sekwencji *North Area* (House 2014; Sadarangani 2014a; Tung i Klimowicz 2013) i *South Area* (Regan 2014). Ślady stosownych praktyk pochodzą także z wykopów IST i TPC, chociaż zostały one słabo zadokumentowane. Ilość budynków, których dolne partie usytuowane były w obrębie wykopów fundamentowych, świadczy o popularności tego rozwiązania, chociaż należy jednocześnie podkreślić, że dotyczy ono przede wszystkim późnych obiektów posadowionych w całości lub w części na warstwach śmietniskowych. Fakt ten można próbować tłumaczyć tym, że w okresach poprzedzających nie istniała potrzeba głębienia wykopów ani zakładania fundamentów, gdyż funkcję tych ostatnich pełniły widoczne relikty murów wcześniejszych obiektów (Farid 2014). Ponadto, bezpośrednio sąsiedztwo budynków, którego efektem był zwarty układ zabudowy - znacznie zresztą ograniczający możliwości rozplanowania kolejnych obiektów (patrz Yeomans 2014b) – w sposób pożądaną zwiększało stabilność całego układu konstrukcyjnego.

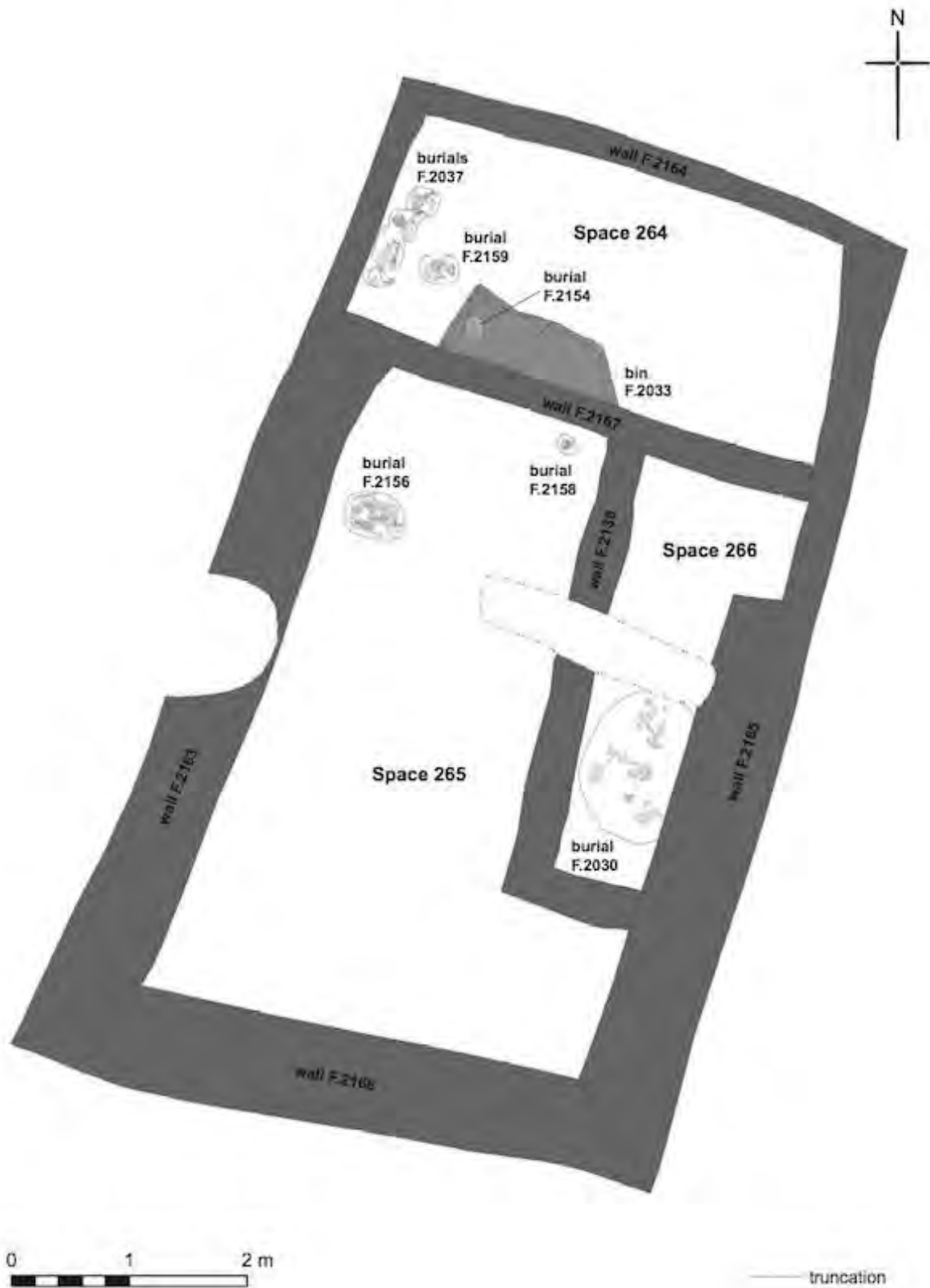
Powyższe zróżnicowane i jednocześnie praktyczne podejście do posadowiania budynków nie zmienia jednak ogólnego rytualnego charakteru procesu budowy domu w kolejnych fazach osadniczych, co potwierdzają liczne depozyty specjalne znajdujące pod lub w obrębie dolnych murowanych partii budynków. Ich liczba i charakter znacząco różnią się pomiędzy budynkami i może być tłumaczona poprzez zarówno zmiany w tradycjach budowlanych i skalę trudności w posadowieniu danej struktury, jak i zaangażowanie w proces budowlany kilku gospodarstw domowych (patrz Barański 2016; Barański *et al.* 2015a).

Procesowi mierzenia się z rosnącą kubaturą budynków, jak i niekorzystnymi warunkami geotechnicznymi towarzyszył wyraźny rozwój technik przewiązań murów oraz zmiana parametrów ścian nośnych. Mianowicie zauważalny jest stopniowy wzrost grubości fundamentów i ścian,

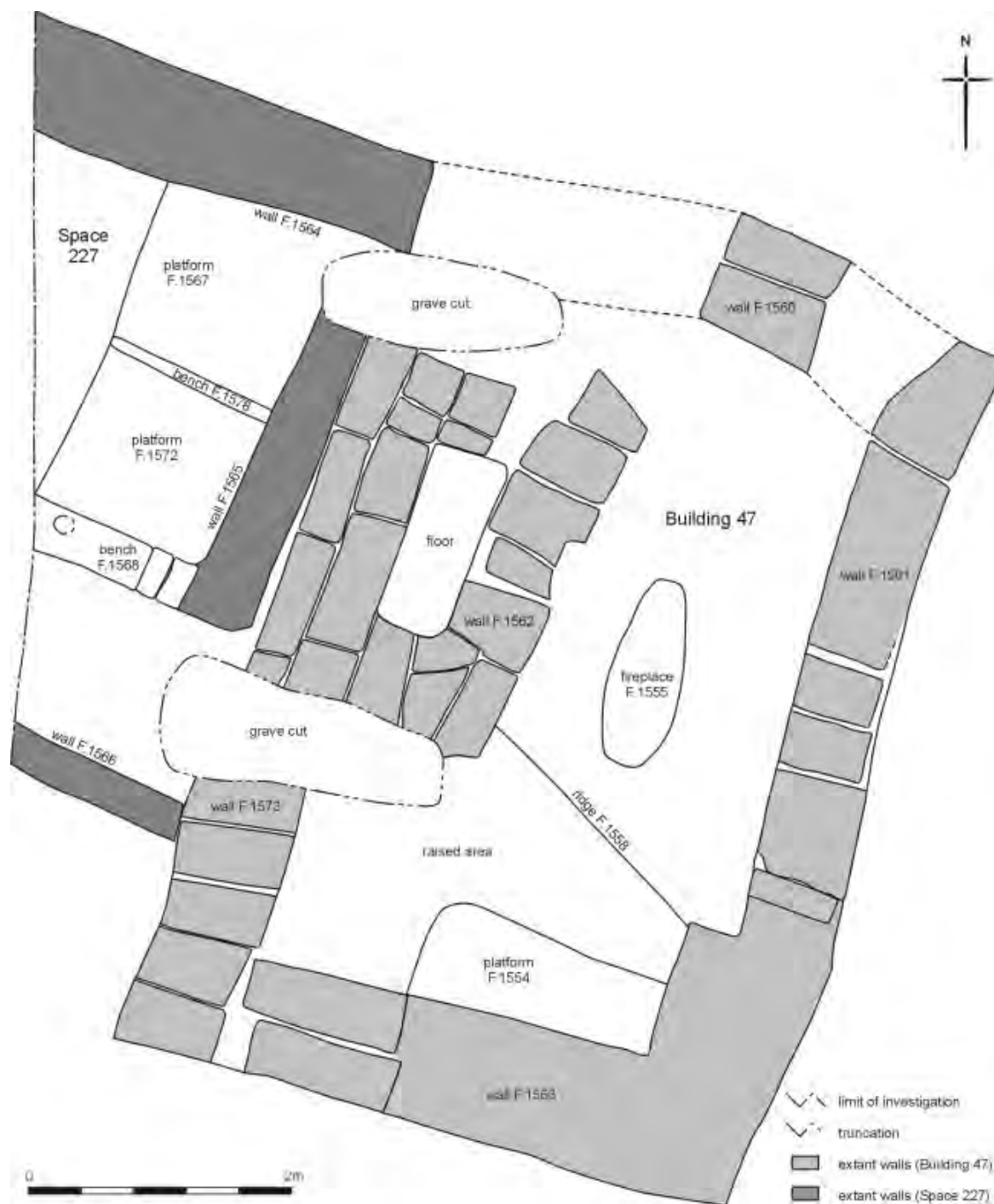
początkowo jedynie od strony obszarów śmietniskowych, poprzez stosowanie cegieł o większej szerokości lub bezpośrednio wzmocnienie właściwej konstrukcji budynków dodatkowym, równoległym usytuowanym murem. Przykłady tego typu rozwiązań zaobserwowano w odniesieniu do obiektów: B.45 (4040.H), B.52 (4040.G) i B.67 (4040.H) odsłoniętych w obrębie wykopu 4040 (Yeomans 2014a; Farid 2014d; House 2014a). Podobne świadectwa pochodzą na przykład z domu *House 4* na stanowisku 'Ain Ghazal (Banning i Byrd 1987: 315). Wydaje się, że opisywane praktyki – przynajmniej w odniesieniu do Çatalhöyük - poprzedzają wprowadzenie rozwiązań technicznych, polegających na naprzemiennym, wozókowo-głótkowym ułożeniu cegieł w kolejnych warstwach muru, tak jak chociażby w przypadku niektórych fundamentów budynków: B.47 (4040.J), B.54 (4040.I), B.141 (TP.N?) (Barański 2014b) lub kilku struktur zdefiniowanych na powierzchni w obrębie wykopu IST (Özbaşaran i Duru 2013). Proces poszukiwania rozwiązań najkorzystniejszych w kontekście sztywności i stabilności konstrukcji szczególnie widoczny jest w przypadku sekwencji domów: B.56 (south.R), B.44 (South.S) i B.10 (South.T), w obrębie *South Area* (Ryc. 114). Fundamenty konstrukcji prostej pierwszego z wymienionych budynków usytuowane były w obrębie wykopu na podsypce z gruzu budowlanego. w przypadku domu B.44 zastosowano już rozwiązanie przypominające ławę fundamentową wpuszczoną w grunt, na której oparto częściowo podziemną konstrukcję ściany nośnej o węższym niż ława obrysie zewnętrznym. Tak wykonany fundament zbudowano wykorzystując jako materiał budowlany cegły rozbiórkowe pochodzące najprawdopodobniej z budynku B.56. Zachowane dolne partie ostatniego z domów tworzących sekwencję, charakteryzowały się największą geometrią i wiązaniem, w którym warstwy wozótkowe przekryte były na przemian warstwami głótkowymi cegieł (Regan 2013).



Rycina 114. Zmiany w strategiach i technikach budowlanych: a) fundament złożony typu B budynku B.110 w TPC Area (fot. K. Pawłowska), b) mur podwójny w obrębie przestrzeni Sp.488 w North Area (fot. A. Klimowicz), c) mur nośny na szerszym fundamencie z dwóch warstw cegieł w obrębie przestrzeni Sp.130 w South Area (fot. J. E. Sadarangani).



Rycina 115. Plan budynków B.54 (4040.I) z charakterystycznymi fundamentami / ścianami fundamentowymi (źródło: archiwum Çatalhöyük Research Project).



Rycina 116. Plan budynku B.47 (4040.J) z charakterystycznymi masywnymi fundamentami / ścianami fundamentowymi (źródło: archiwum Çatalhöyük Research Project).

Przedstawiony powyżej ciąg rozwiązań konstrukcyjnych stanowi bezpośrednią przesłankę do uznania złożonych murów typu A i B zdefiniowanych w obrębie wykopów: TP i GDN za partie fundamentowe budynków. Taką interpretację relikwów architektury późnoneolitycznej apriorycznie przyjął również w latach 60. ubiegłego wieku James Mellart (1967: 31), uznając, że kilka pierwszych rzędów cegieł w murach budynków przypisanych poziomom 0-II stanowi ich fundamenty. Co

ciekawe, złożony układ konstrukcyjny posiadały również niektóre budynki odkrywane w obrębie innych przestrzeni badawczych, choć często, jak już wspomniałem w Rozdziale IV niniejszej pracy, sposób przewiązania murów był w tych przypadkach źle interpretowany. Masywne fundamenty od strony obszarów śmietniskowych posiadały budynki: B.141 (TP.N?) (Barański 2014), B.10 (South.T), B.44 (South.S) (Regan 2014), a także B.47 (4040.J) i B.54 (4040.I) (Bogdan 2005; House 2014a) odpowiednio w obrębie wykopów: GDN, South i 4040 (Ryc. 115-116). Złożony charakter miały także wybrane struktury zdefiniowane podczas badań IST (Özbaşaran i Duru 2014) oraz TPC (Filipowicz *et al.* 2014; Marciniak *et al.* 2012, 2013, 2015c, 2016). Wszystkie te obiekty z nie tylko złożonymi, ale i zagłębionymi częściowo lub całkowicie w gruncie fundamentami zadokumentowano w obrębie późnych faz neolitycznej osady. Świadczy to jednoznacznie o chronologii opisywanego rozwiązania, choć należy sądzić, że wprowadzane ono było stopniowo.

Z pojawieniem się złożonych przewiązanych fundamentów budynków należy wiązać pierwsze świadectwa procesu standaryzacji wyrobu cegieł mułowych, które w późnych fazach osadniczych mają zbliżone wymiary. Jednocześnie, przynajmniej w przypadku budynków B.74-B.62/B.61 (TP.O/TP.P) i B.95 (TP.Q), wydają się występować w ramach tej samej struktury dwie grupy cegieł: bardzo długich (około 82 x 41 x 9 cm i 89 x 43 x 9 cm) oraz długich (około 72 x 41 x 9 cm i 73 x 43 x 9 cm). Obserwacje te wydają się potwierdzać spostrzeżenia Jamesa Mellaarta, który w odniesieniu do poziomu II wspominał o cegłach standardowych (65-67 x 37 x 8 cm) oraz dużych (95 x 37 x 8 cm). Fundamenty budynku B.10 (South.T) zostały wymurowane z cegieł o wymiarach około 69 x 45 x 9 cm, a te domu B.54 (4040.I) – 69 x ? x 8 cm i 76 x ? x 7 cm. Z kolei układ konstrukcyjny budynku B.47 charakteryzował się cegłami o długości od 86 do 94 cm.

James Mellaart (1967: 55), dostrzegając podobieństwa pomiędzy budynkami, argumentował, że mieszkańcy Çatalhöyük używali systemu miar a poszczególne cegły były przygotowywane w prostopadłościennych formach. Powyżej przywołane dane pozwalają twierdzić, że nie ma na to przekonujących dowodów. Niemniej wydaje się wysoce prawdopodobne, że cegły formowano pomiędzy dwoma równoległymi usytuowanymi deskami tworzącymi swego rodzaju kanały. Dzięki takiej konstrukcji, jak już wspominałem, ograniczona była szerokość cegieł, ale nie ich długość, którą można było określać w sposób dowolny, choć niewątpliwie stosunkowo określony. Zmineralizowane pozostałości dwóch długich desek, będące być może pozostałością opisywanej konstrukcji, znaleziono w obrębie *TPC Area* (Ceran Kabukcu 2016: rozmowa prywatna).

Wydaje się, że coraz bardziej zestandaryzowany proces wyrobu i przewiązania cegieł mógł być powiązany z pojawieniem się wyspecjalizowanych grup, które używały tej samej techniki wytwarzania cegieł, co potwierdzałyby analizy geoarcheologiczne materiału budowlanego (Love 2013; patrz także Barański i Love w druku). Z drugiej strony można argumentować, że różne grupy współpracowały ze sobą i używały zróżnicowanych surowców, aby wznieść jeden budynek. Dobry przykład tego typu zachowania pochodzi z domów: B.81 (TP.M) (Barański *et al.* 2015b) i B.101 (4040.G) (Farid 2007), których fundamenty i ściany zostały skonstruowane przy użyciu materiału budowlanego o różnej charakterystyce kolorystycznej i teksturowej. Uwagę zwraca także przypadek budynku B.74 (TP.O) o układzie konstrukcyjnym z dwoma typowymi rozmiarami cegieł.

Z rosnącą powierzchnią zbudowy, pojawieniem się złożonych fundamentów i zmianą parametrów cegieł wiąże się pytanie o rzeczywistą kubaturę niektórych budynków późnoneolitycznych. W przypadku wielu mega-osad neolitycznych Bliskiego Wschodu stwierdzono istnienie

domów dwukondygnacyjnych (patrz np. Banning 1998: 219-220; Byrd 1994; Kinzel 2014; Kuijt *et al.* 2011). Obiekty te zdaniem Iana Kuijta (2000; patrz także Kuijt *et al.* 2011) miały pełnić funkcję fizycznej bariery pomiędzy przestrzeniami: publiczną a prywatną, wynikającą z chęci większej kontroli nad zróżnicowanymi zasobami, w tym produktami spożywczymi. Takie rozwiązanie zostało zasugerowane w odniesieniu do chalkolitycznego budynku B.105 (West.?), który poddano badaniom w obrębie jednego z wykopów na tellu *Çatalhöyük West*. Mianowicie dom ten charakteryzował się masywnym fundamentem i ścianą fundamentową oraz prostszą konstrukcją wyższego piętra (Biehl i Rogasch 2013).

Uważam, że istnienie obiektów dwukondygnacyjnych z dodatkową użytkową przestrzenią stropodachu jest wysoce prawdopodobne również w odniesieniu do późnoneolitycznego środowiska zbudowanego tellu *Çatalhöyük East*. Studia etnograficzne pozwalają twierdzić, że masywny układ konstrukcyjny większości domów późnoneolitycznych był w stanie przenieść obciążenia nie tylko z użytkowego stropodachu, ale i drugiej kondygnacji (Agarwal 1981). Hipoteza o istnieniu budynków dwukondygnacyjnych wydaje się tym bardziej prawdopodobna, że potwierdzone są przypadki domów budowanych na stoku, które są częściowo zagłębione w gruncie oraz posiadają fundamenty schodkowe i podłogi usytuowane na różnych wysokościach (por. Ryc. 117). Niewykluczone, że część pomieszczeń nisko posadowionych i ograniczonych przez masywne ściany fundamentowe pełniła w rzeczywistości funkcję piwnic. Takie rozwiązanie możliwe jest moim zdaniem w przypadku izb Sp.325 i Sp.326, będących częścią domu B.74-B.62/B.61 (TP.O/TP.P). Być może charakteryzuje także niektóre pomieszczenia w obrębie budynku B.33/B.34 (TP.R) i B.141 (TP.N?). W każdym razie wspomniany masywny i rozbudowany układ konstrukcyjny, zagłębienie w gruncie niektórych części budynków, a także liczne podziały wnętrza na małe izby sugerują pośrednio, że budynkami kilkupoziomowymi były na przykład domy B.95 (TP.Q) lub B.33/B.34 (TP.R).

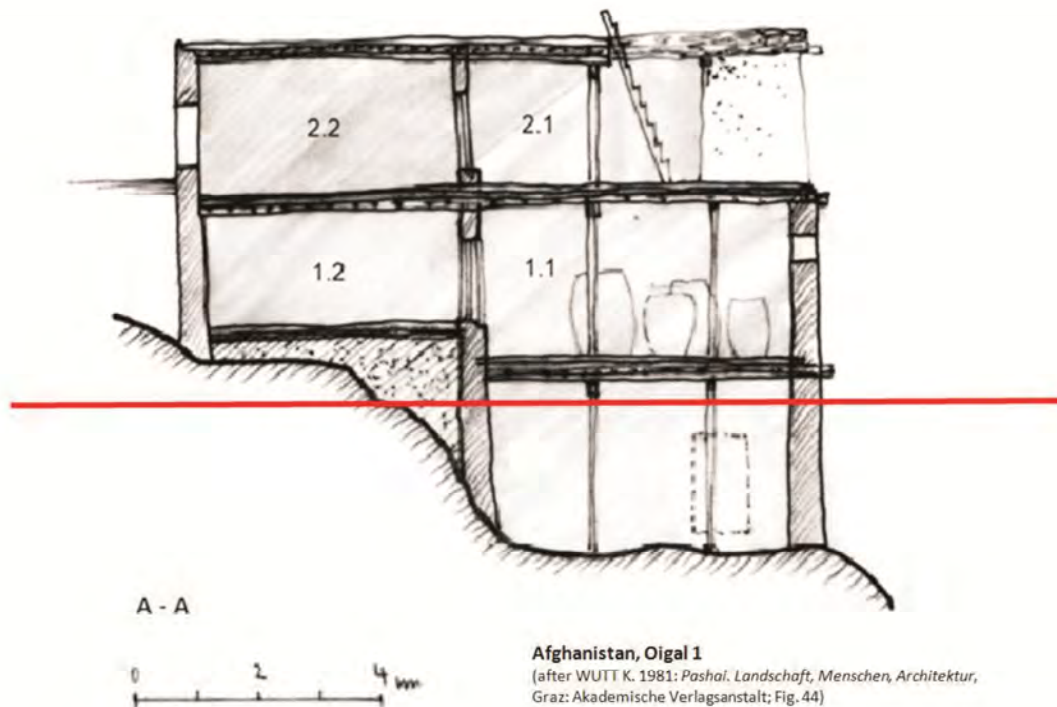
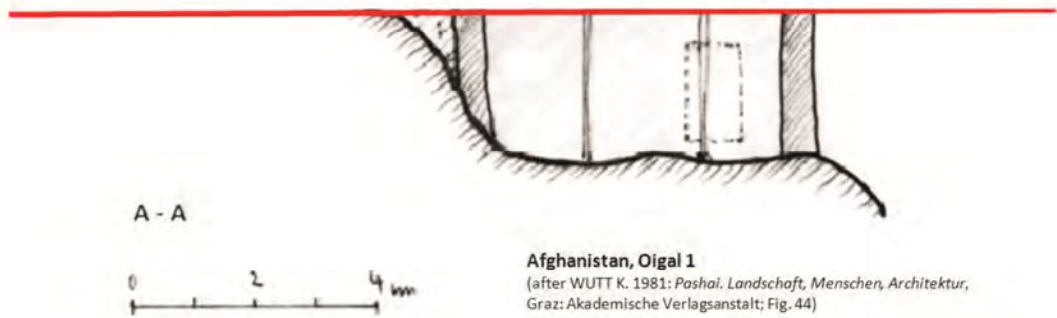
Pośrednim argumentem na istnienie budynków dwukondygnacyjnych może być brak śladów otynkowania lic ścian fundamentowych⁷⁴ oraz niewystępowanie, w obrębie większości problematycznych pomieszczeń, charakterystycznych elementów wykończenia i wyposażenia wnętrza⁷⁵. Co prawda istnieją przesłanki do tego, że część czynności domowych została przeniesiona na poziom stropodachów lub w obręb podwórzy (Hodder i Farid 2014), niemniej zwraca uwagę praktyka wydzielania z przestrzeni mieszkalnych niewielkich izb. Pomieszczenia te, tak jak w przywołanym przypadku budynku B.105 (West.?) (Biehl i Rogasch 2013), ale i m.in. stanowisk Beidha, Tell Sabi Abyad i 'Ain Ghazal (Akkermans 1992;2010; Banning i Byrd 1987, 1989; Flannery 2002; Kinzel 2014; Kuijt 2000; Rollefson *et al.* 1992) – będąc niewystarczające dla potrzeb spożywania posiłków i spania - mogły służyć w rzeczywistości potrzebom magazynowym. Warto w tym miejscu przypomnieć również

⁷⁴ Warto zwrócić uwagę, że w przypadku budynku B.5 (4040.I) w ramach procesu jego opuszczania zaobserwowano ślady całkowitego usunięcia warstw tynków naściennych w celu najprawdopodobniej wtórnego wykorzystania tego materiału. Podobna czynność mogła mieć miejsce w odniesieniu do domu B.74 (TP.O).

⁷⁵ Podstawowym problemem w odniesieniu do analiz i interpretacji architektury późnoneolitycznej Çatalhöyük jest jej znaczny stopień zniszczenia spowodowany zróżnicowanymi procesami podepozycyjnymi. W tym kontekście nie jest jasne czy generalny brak zadokumentowanych obiektów architektonicznych w obrębie poszczególnych wnętrz budynków wynika bardziej ze zmian społeczno-kulturowych czy może raczej wydarzeń i czynności o charakterze destrukcyjnym.



LINIA DESTRUKCJI



Rycina 117. Przekrój przez dom na stanowisku Oigal 1 w Afganistanie uświadamiający możliwe błędne interpretacje formy budynku w sytuacji jego znacznego zniszczenia (na podstawie rysunku M. Kinzla).

o wysoce prawdopodobnej możliwości istnienia masywnych centralnych podpór i podciągu stropodachu w odniesieniu do niektórych budynków TP. Takie rozwiązanie zaobserwowano również w przypadku domów: *House 4* i *House 11* na stanowisku 'Ain Ghazal (Banning i Byrd 1984). Być może, jak sugerowała Eleni Asouti (2005), rozmiary drewna użytego do budowy domów mogły wskazywać na zróżnicowanie w statusie budynków, co wynika z dużych nakładów pracy przy pozyskaniu stosownego materiału.

Rozważania o możliwym celowym doborze surowców i wyrobów budowlanych obejmują także charakterystyczne podłogi jastrychowe. Wydaje się, że taki rodzaj wykończenia wnętrza zadokumentowano także w odniesieniu do centralnej przestrzeni głównego pomieszczenia budynku B.146 (A.III.1) (Mellaart 1962: Fig.3 i Fi.g 11). Ślady fragmentarycznie zachowanych warstw ze żwiru rzeczno pochodzą także z *TPC Area* (Marciniak *et al.* 2012: 67, 2013: 81). Poza stanowiskiem Çatalhöyük podobny sposób konstrukcji i wykończenia podłóg charakterystyczny jest dla niektórych domów na stanowisku 'Ain Ghazal (Banning i Byrd 1987: 313). Tam podłogi dodatkowo pokrywane są często czerwoną ochrą, co stanowi ciekawą analogię dla budynku B.81 (TP.M).

Konstrukcja typowego, a więc dużego i złożonego domu późnoneolitycznego wymagała bezwzględnie współdziałania społecznego. Proces ten był niewątpliwie wymagający zarówno fizycznie, jak i logistycznie oraz mógł w efekcie zajmować około miesiąca zanim dany budynek został ukończony. Ta przybliżona kalkulacja oparta jest na analizie generalnej konstrukcji i rozplanowania budynków oraz studiach etnograficznych (patrz Facey 1997; Houben i Guilaud 1994; Hunter 1965; Keefe 2005). Warto jednak bliżej przyjrzeć się temu procesowi na przykładzie domu B.74-B.62/B.61. Jak już wspominałem standardowe wymiary cegieł użytych do budowy fundamentów i ścian tego budynku wynosiły 72 x 41 x 9 cm (± 2) oraz 82 x 41 x 9 cm (± 2). Zaletą używania tak dużych cegieł było niewątpliwie to, że potrzeba ich mniej do wymurowania ściany, jednakże blok, który ważył ponad 60 kg wymagał znaczącego wysiłku włożonego w jego przeniesienie i ułożenie. Ponadto, upuszczenie i uszkodzenie takiej cegły było większą stratą niż w przypadku zniszczenia mniejszej. Dlatego też, na potrzeby niniejszej kalkulacji liczby cegieł potrzebnych do wybudowania domu przyjmuję 10% - 20% współczynnik zniszczenia tego materiału.

Całkowita liczba niezbędnych cegieł, poza ich wymiarami, zależy również od powierzchni i grubości fundamentów oraz murów danego budynku. Około 1500 bloków wydaje się mi być minimalną ilością potrzebną do konstrukcji domu takiego jak B.74-B.62/B.61 z masywnymi fundamentami i nośnymi ścianami o wysokości do 2 m. Innymi słowy, jest prawdopodobne że tego typu układ konstrukcyjny wymagałby przynajmniej 57 m³ surowca wraz z dodatkową ilością wody, stabilizatorów roślinnych, zapraw oraz tynków i wypraw. Do tego dochodzi około 10 m³ na stropodach i podłogi oraz objętość drewna konstrukcyjnego i innych budowlanych materiałów organicznych (por. Matthews 2005b: 134; Stevanović 2013: 107). Te liczby byłyby zresztą zdecydowanie większe, gdyby wziąć pod uwagę istnienie wyższego piętra w badanym budynku. Przy okazji warto wspomnieć o problemie transportu wielkogabarytowych elementów budowlanych takich jak chociażby słupy o długości około 6 m i ciężarze 300 kg. Ilość i ciężar materiału potrzebnego do budowy domu jednoznacznie wskazuje na konieczność istnienia ciągów komunikacyjnych.

Jest kilka sposobów na obliczenie tego, ile cegieł może wyprodukować ekipa murarska w ciągu jednego dnia. Opierając się na studiach etnograficznych, mała grupa doświadczonych murarzy jest w stanie wyprodukować od 300 do 5000 cegieł na dobę (patrz Houben i Guilaud 1994: 194; Keefe

2005: 64). Układanie cegieł w murze jest z reguły dosyć proste, choć trzeba wziąć pod uwagę, że cegły użyte do budowy domu B.74-B.62/B.61 były większe i cięższe od tych stosowanych tradycyjnie. Wydaje się, że kilka osób jest w stanie położyć od 300 do 350 cegieł w ciągu dnia (Hunter 1965: 4). Na tej podstawie William Facey (1997: 9) opisał budowanie domu jako wysiłek komunalny, jako że „jeden człowiek nie jest w stanie wybudować domu, ale stu ludzi łatwo wybuduje sto domów⁷⁶”. Biorąc to wszystko pod uwagę cały budynek B.74-B.62/B.61 z 1500 przygotowanymi wcześniej i dostarczonymi cegłami oraz słupami i belkami konstrukcyjnymi mogłoby teoretycznie być wybudowany w ciągu od trzech do czterech tygodni przez grupę od trzech do pięciu ludzi. Do tego należy doliczyć czas potrzebny na wykończenie wnętrza, które mogło zająć do jednego do dwóch tygodni.

3. Organizacja społeczna

Badania późnoneolitycznych faz osadniczych mega-osad dostarczają wielu świadectw rosnącej konsolidacji gospodarstw domowych (Düring i Marciniak 2006; Marciniak *et al.* 2015a; Kuijt *et al.* 2011), co stanowi przesłankę do rozważań o kształtowaniu się zróżnicowania społecznego. To ponadregionalne zjawisko związane jest z pojawieniem się w omawianym okresie gospodarstw rozszerzonych, które wydają się być tworzone poprzez połączenie mniejszych grup w wyniku zawieranych małżeństw i przeprowadzanych adopcji. Członkowie tych grup najprawdopodobniej współpracowali ze sobą przy realizacji zróżnicowanych czynności, a także współzamieszkiwali przestrzeń złożoną z kilku struktur rezydencjonalnych, na co przykłady pochodzą także z Çatalhöyük. W tym kontekście warto zwrócić uwagę, że jednym z ważnych nowości w późnym neolicie było pojawienie się zespołów domów integralnie związanych z podwórzami (Banning i Byrd 1989: 322; Banning 2011). Ślady tego typu układu zabudowy zaobserwowano na przykład na stanowiskach: 'Ain Ghazal i Sha'ar Hagolan (Banning i Byrd 1989; Garfinkel 2006). Podwórza, będąc dostępne tylko dla danej rozszerzonej grupy, pozwalały nie tylko na zabezpieczenie własności, ale i budowę nowych więzi społecznych. W efekcie stanowiły nowe i niewątpliwie konkurencyjne w stosunku do przestrzeni mieszkalnych miejsca interakcji międzyludzkich a wprowadzane w ich obręb kolejne obiekty architektoniczne niewątpliwie pomagały w uporządkowaniu i wzmocnieniu tych relacji (Banning 2010: 79). Yosef Garfinkel (2006) w odniesieniu do osady Sha'ar Hagolan zauważył, że budynki przylegające do wspólnie użytkowanych podwórz posiadały mimo wszystko własne przestrzenie, w których przechowywano żywność oraz przygotowywano i spożywano posiłki. Relacja magazynów do domów – podkreślana w ramach archeologii procesualnej (Flannery 1972; Wilk i Rathje 1982) - wydaje się być wciąż ważną przesłanką w próbach rekonstrukcji ekonomicznej organizacji gospodarstw domowych (Byrd 1994; Garfinkel *et al.* 2009). Powszechnie uważa się bowiem, że poszerzenie skali i kontroli nad surowcami i zasobami oraz możliwościami ich magazynowania stało się elementem podkreślenia różnic pomiędzy gospodarstwami oraz zwiększenia poziomu współzawodnictwa (Kuijt 2000, 2008). Taki proces wydaje się być możliwy do prześledzenia w odniesieniu do późnoneolitycznego Çatalhöyük, chociaż nie zawsze jest to jasne, czy wszystkie aneksy pełniły funkcję magazynową. Co ciekawe, wobec ogólnego braku zachowanych reliktów pojemników na żywność przesłanką do wydzielenia stosownych pomieszczeń może być ogólny sposób wykończenia wnętrza. Na przykład na stanowisku Sha'ar Hagolan w obrębie wieloizbowych budynków zadokumentowano pojedyncze pomieszczenia, których podłogi wykonane były z mieszaniny węgla wapnia, małych kamyków i piasku (Garfinkel 2006:

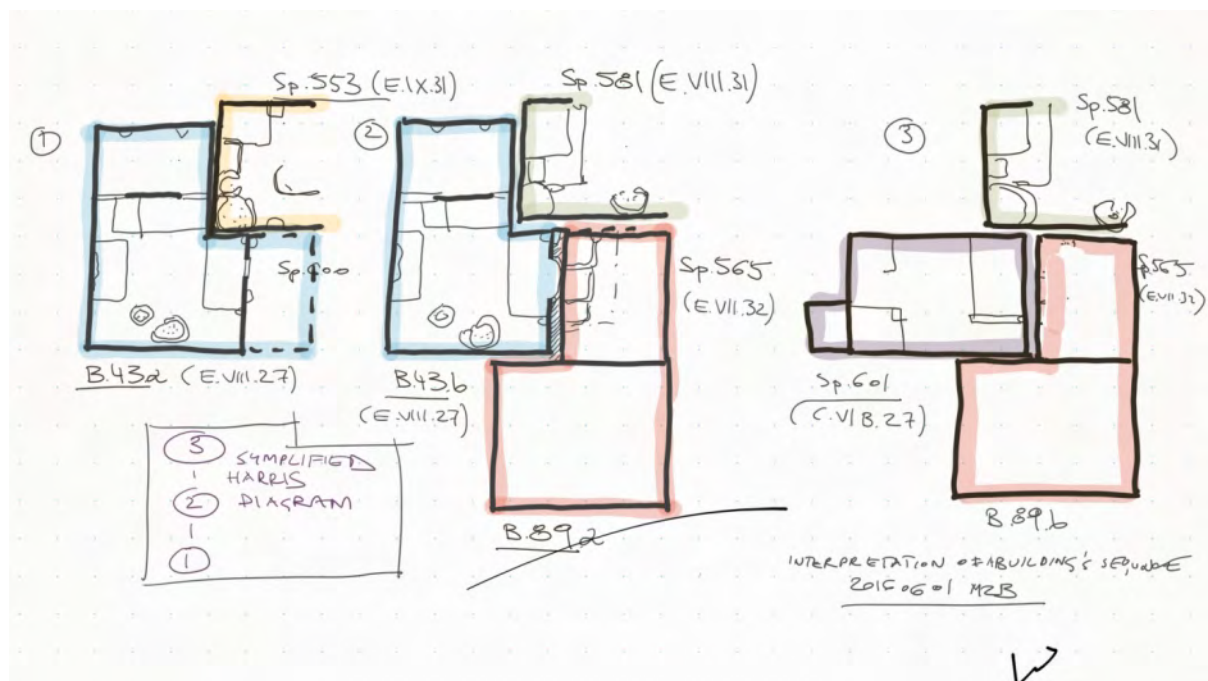
⁷⁶Tłumaczenie własne.

104, 106, 108). W tych przypadkach takie wykończenie powierzchni użytkowej jest przypisywane aneksom magazynowym, co stanowi ciekawą analogię dla izb Sp.325 i Sp.326 budynku B.74 (TP.O), gdzie zdefiniowano podłogi jastrychowe. Można się domyślać, że przedmiotowe wykończenie powierzchni stanowiło zabezpieczenie przed wilgocią gruntową oraz szkodnikami. Takie rozwiązanie materiałowe wydaje się być zresztą popularne w odniesieniu do wielu osad chalkolitycznych (Banning 2010: 75-77). Za niezwykle ciekawe w tym kontekście należy uznać wykonanie podłóg na podkładzie z drobnych kamieni rzecznych w odniesieniu do ostatnich faz życia budynków: B.81 i B.74-B.62/B.61. Moim zdaniem jedną z możliwych interpretacji w tym względzie jest celowy dobór surowca w połączeniu z bliżej nieokreśloną praktyką rytualną. Wydaje się bowiem, że te dwie czynności tworzyły i wzmacniały zróżnicowane relacje pomiędzy ludźmi.

Niezależnie od powyższych wątpliwości, wielkość domów, przestrzeni magazynowych oraz podwórzy może być kolejną przesłanką do zróżnicowania w statusie, stopniu niezależności oraz wielkości rozszerzonych gospodarstw domowych (Banning 2010). Z tym aspektem wiąże się także rosnące zróżnicowanie rozwiązań architektoniczno-konstrukcyjnych, a także rozwój praktyk sepulkralnych, w tym przede wszystkim fakt deponowania szczątków ludzkich w obrębie wydzielonych z przestrzeni grobowców. Można się zastanawiać czy pojawienie się zbiorowych podziemnych grobowców takich jak: Sp.327 (TP.P) i Sp.248 (TP.R) oraz ewentualnych przestrzeni piwnicznych było ze sobą powiązane i czy w dalszej konsekwencji wiązało się z rosnącym zróżnicowaniem funkcjonalnym poszczególnych kondygnacji. W każdym razie było to rozwiązanie, które w sposób zasadniczy odbiegało od utrwalonych przez stulecia praktyk związanych z grzebaniem zmarłych. Komory grobowe zarejestrowane w obrębie wykopu TP wydają się być dotąd jedynymi tego typu obiektami, chociaż nie można wykluczyć, że podobną funkcję mogło pełnić pomieszczenie Sp.266 budynku B.54 (4040.I) (Ryc. 115). Mianowicie w obrębie tego przynajmniej częściowo zagłębionego w gruncie obiektu odkryto szczątki ludzkie kilku osobników. Ich kontekst, ze względu na znaczny stopień zniszczenia budynku, nie jest jednak jasny (Bogdan 2005). Rozważając o nietypowych praktykach sepulkralnych, warto także wspomnieć o niewielkim pomieszczeniu Sp.87 budynku B.114, w którym zadokumentowano liczne pochówki ludzkie. W tym ostatnim przypadku szczątki te jednak ustygowane były w jamach bezpośrednio pod podłogami i platformami, a w samym pomieszczeniu znajdowały się typowe domowe instalacje ogniowe i magazynowe (Tung 2015: 25-27). Być może jest to ślad kierunku zmian w praktykach sepulkralnych polegający na przeniesieniu przedmiotowej funkcji z dużych pomieszczeń do mniejszych i specjalnie dedykowanych im izb tak, jak to było najprawdopodobniej w przypadku komory Sp.248.

Powyższe przykłady wskazują dobitnie na zmiany jakie zachodziły w organizacji społecznej późnoneolitycznego Çatalhöyük. W przypadku budowy komory grobowej Sp.327 wiązały się one dodatkowo ze znaczną przebudową domu B.74-B.62/B.61. Znaczące modyfikacje wewnątrz w ciągu życia budynków zaobserwowano także na stanowiskach 'Ain Ghazal a także Tell Sabi Abyad (Akkermans 1992: 8; Banning i Byrd 1989: 320-321). Niekiedy w wyniku przebudowy dochodziło do wyłączenia z użytkowania wybranych pomieszczeń (Banning i Byrd 1989: 315). Na przykład takie rozwiązanie charakteryzuje budynek B.81, którego zamknięcie następowało stopniowo wraz z symbolicznym zamknięciem kolejnych pomniejszych izb. Podobną sytuację zaobserwowano także w przypadku wcześniejszego budynku B.43 (South.L), którego wschodni aneks Sp.600 zniszczono w wyniku budowy domu B.89 (Ryc. 118) (Barański 2016: 65-67). Praktyki te świadczą o współpracy wewnątrz rozszerzonych gospodarstw domowych lub grup sąsiedzkich i wspólnym podejmowaniu decyzji o organizacji bezpośredniej przestrzeni życia. Współpraca ta, o czym wspominałem wcześniej,

nie jest ograniczona tylko do wyboru surowców i konstrukcji nowych struktur, ale także użytkowania i zamykania tych istniejących. Na przykład grupa zaangażowana w praco- i czasochłonną konstrukcję budynku użytkowała niewątpliwie w międzyczasie inne struktury mieszkalne. Trudno sobie także wyobrazić sytuację, w której zamknięcie domu równoznaczne jest ze śmiercią wszystkich jego mieszkańców.



Rycina 118. Zmiany w organizacji przestrzennej w odniesieniu do fragmentu sekwencji archeologicznej w obrębie wykopu South (opracowanie własne).

W powyższym kontekście niezwykle interesująco zapowiadają się badania Christiny Tsoraki-Chan poświęcone depozytom opuszczeniowym zadokumentowanym w obrębie budynku B.77 (4040.G). Archeolożka ta utrzymuje bowiem, że pozostawione na podłogach fragmenty narzędzi i urządzeń kamiennych nie składają się i mogą stanowić przesłankę do rekonstrukcji rozszerzonych gospodarstw, które wspólnie uczestniczyły w rytuale zamknięcia tego domu. W podobny sposób być może można próbować interpretować zróżnicowane skupiska specjalnych artefaktów zdeponowanych na podłodze pomieszczeń: Sp.325 i Sp.326 (Marciniak i Czerniak 2007: 116-117). W obrębie budynku B.74-B.62/B.61 w przeciwieństwie do budynku B.77 nie stwierdzono połączenia funkcjonalnego z inną strukturą, niemniej niewykluczone, że takie połączenie istniało na poziomie wyższej niezachowanej kondygnacji. Rozwiązania konstrukcyjne w postaci wejść do jednych budynków z poziomu stropodachów drugich wydaje się bardzo prawdopodobne na przykład w odniesieniu do zabudowy mega-osady 'Ain Ghazal (Banning i Byrd 1987).

Przywołane dotychczas przykłady zróżnicowanych praktyk i rytuałów dostarczają wielu przesłanek za współpracą członków rozszerzonych gospodarstw domowych. Obserwacja ta w szczególności dotyczy późnoneolitycznego Çatalhöyük kiedy grupy ludzi zajmowały od jednego do kilku połączonych ze sobą funkcjonalnie budynków. Jednocześnie gospodarstwa rozszerzone wciąż najprawdopodobniej skupiały się wokół domów o wyższym statusie oraz podwórzy, które były wspólnie użytkowane przez różne grupy oraz stopniowo odgrywały coraz ważniejszą rolę w strukturze przestrzenno-społecznej osady. Takimi budynkami – „domami historii” - mogły być nie



tylko B.81 i B.146, ale i B.74-B.62/B.61, które wydaje się, że skupiały i pomagały pielęgnować pamięć historyczną.

Trudno porównać powyższe budynki ze względu na różny stopień ich zachowania i zadokumentowania. Niemniej istnieją przesłanki sugerujące, że w miarę upływu czasu charakteryzowały się one coraz większą złożonością symboliczną. Ta wielowarstwowość szczególnie widoczna jest w przypadku domu B.146, w którym odkryto liczne narracyjne malowidła naścienne. Malowane – na biało i czerwono – były z pewnością ściany w obrębie głównego pomieszczenia budynku B.81, chociaż ich charakter nie jest możliwy do określenia. To, co bezwzględnie łączy wszystkie opisywane domy to wykorzystanie unikatowych materiałów budowlanych, w tym przede wszystkim kamieni rzecznych jako elementu podłóg związanych z ostatnimi fazami użytkowymi. Złożoność tych budynków – przynajmniej w przypadku B.146 i B.74-B.62/B.61 – wynika także z występowania licznych pochówków, w tym unikatowej komory grobowej. Ciała zmarłych deponowano zresztą najprawdopodobniej także w obrębie domu B.81, o czym świadczą luźne i fragmentarycznie zachowane szczątki ludzkie znalezione pod platformami, przeciętymi przez wkop pod komorę Sp.327.

Należy zwrócić uwagę, że opisywane domy były wielokrotnie i w sposób znaczący przebudowywane, zachowując jednak swój główny układ konstrukcyjny. To, co niewątpliwie łączy budynki B.81 i B.146 to fakt, iż z czasem doszło w ich przypadku do wyłączenia z użytkowania przestrzeni magazynowych, podczas gdy pomieszczenia główne dalej funkcjonowały. Niewykluczone, że podobny scenariusz miał miejsce w odniesieniu do domu B.74-B.62/B.61. W tym kontekście zwraca uwagę ilość specjalnych depozytów opuszczeniowych w obrębie aneksów budynków: B.81 i B.74-B.62/B.61. Depozyty te wydają się być reprezentatywne dla rozszerzonego gospodarstwa domowego, która wspólnie użytkowała budynki specjalne. Hipotezę tę potwierdza fakt funkcjonowania zespołów budynków, co szczególnie widoczne jest w przypadku domów: B.81 i B.142, ale jest i wysoce prawdopodobne w odniesieniu do budynku B.146. W takiej sytuacji „domy historii” mogły posiadać mniejszą przestrzeń produkcyjną i magazynową, jako że mieszkające w nich osoby mogły bowiem być wspomagane przez pozostałych członków grupy.

ZAKOŃCZENIE

Rzeczywistość, jak zauważył pisarz Yann Martel (2002), „jest taka, jak ją interpretujemy. Wyobraźnia i wola odgrywają tu znaczącą rolę, co oznacza, że każda rzeczywistość jest do pewnego stopnia fikcją”. Związek pomiędzy tymi elementami jest szczególnie widoczny w archeologii, która stanowi wciągającą łamigłówkę rozwiązywaną jednak za każdym razem od nowa w momencie pojawienia się nowych danych, modeli i teorii. W ten przewrotny proces interpretacji wpisują się również wyniki moich wieloletnich badań architektoniczno-stratygraficznych, których znacząca część została przedstawiona w niniejszej pracy. Rezultaty te uzupełniają dotychczasowe ustalenia dotyczące historii i charakteru późnoneolitycznej osady Çatalhöyük (patrz Marciniak i Czerniak 2007; Marciniak *et al.* 2015a; patrz także Marciniak i Düring 2006). Rzucają one jednocześnie nowe światło na ówczesną złożoną organizację społeczną, w ramach interpretacji której jedną z głównych trudności stanowi rozpoznanie granic przestrzennych gospodarstw domowych.

Wyjaśnienie mechanizmu zaobserwowanych przeze mnie zjawisk i procesów dotyczących ostatnich faz osadniczych w Çatalhöyük z pewnością nie jest jednoprzyczynowe i dotyczy wielu nakładających się na siebie i przenikających się sfer życia, na przykład: społecznej, kulturowej, ekonomicznej, środowiskowej lub architektonicznej. W niniejszej pracy, skupiając się na ostatnim z wymienionych obszarów, podjąłem próbę interpretacji układu przestrzennego późnoneolitycznej zabudowy tellu *Çatalhöyük East*. Praca ta pozwala w moim odczuciu na pozytywną weryfikację kilku postawionych na początku hipotez badawczych i prezentację następujących wniosków.

Po pierwsze, wzajemny układ i powiązania pomiędzy budynkami B.81 i B.142 pozwalają twierdzić, że przestrzenie aktywności podstawowych grup społecznych w późnym neolicie nie były ograniczone do wnętrza pojedynczych domów. Ponadto fakt długotrwałego funkcjonowania niezabudowanych wąskich przestrzeni śmietniskowych takich jak Sp.544, wydzielających skupiska budynków, zdaje się potwierdzać, że miejsca te stanowią przestrzenie graniczne w odniesieniu do gospodarstw rozszerzonych, użytkujących kilka budynków. Wydaje się, że grupy te – tak jak i we wcześniejszych fazach osadniczych – były skupione wokół „domów historii”, które charakteryzowały się wyższym poziomem złożoności symbolicznej. W przypadku TP domami takimi mogły być budynki: B.81 i B.74-B.62/B.61, choć rozstrzygnięcia w tej kwestii wymagają wzięcia pod uwagę danych archeologicznych, dotyczących innych – niż architektoniczne – elementów kultury materialnej.

Po drugie, zaobserwowane różnice nie tylko w posadowieniu poszczególnych partii fundamentowych tych samych budynków, ale i w rzędnych wysokościowych podłóg współcześnie użytkowanych pomieszczeń (co szczególnie widoczne jest w przypadku budynków B.74-B.62/B.61 i B.142) nakazują odrzucić model chronologiczny oparty na horyzontalnych poziomach osadniczych. Dopuszczenie możliwości bardziej złożonego niż wcześniej zakładano oraz różnopoziomowego układu zabudowy otwiera moim zdaniem nowe perspektywy interpretacji zarówno układów stratyfikacji, jak i układu przestrzenno-funkcjonalnego budynków, w których nie tylko podłogi, ale i dachy przypisane poszczególnym pomieszczeniom mogły znajdować się na różnych wysokościach. Identyfikacja wewnętrznych ciągów komunikacyjnych na poziomie dachów – na przykład nad pomieszczeniami magazynowymi, co sugeruje układ budynków: B.81 i B.142 – niewątpliwie przyczyniłaby się do lepszego zrozumienia organizacji osady.

Po trzecie, analizy układów konstrukcyjnych budynków nie pozostawiają wątpliwości, co do wprowadzenia nowych strategii i technik budowlanych. Innowacje te polegały na wykonywaniu

zagłębianych w grunice masywnych fundamentów, na których posadowiano mury nośne. Ta obserwacja stanowiła jedną z głównych przyczyn reinterpretacji stratygrafii TP i w konsekwencji uznania budynków: B.74, B.62 i B.61 za jeden obiekt budowlany, choć poddawany wielokrotnym i zróżnicowanym przebudowom. Jednocześnie wydzielono nowy dom B.95 i wykreślono problematyczne struktury takie jak budynki B.72 i B.73. Decyzje te doprowadziły do zmiany interpretacji komory grobowej Sp.327 i uznanie jej jako obiektu funkcjonującego wewnątrz domu.

Po czwarte, zauważono, że średnia powierzchnia zabudowy domów wynosząca ponad 80 m² jest zdecydowanie większa od tych, charakteryzujących wcześniejsze fazy osadnicze. W przypadku niektórych budynków w efekcie zaplanowania dużych rozmiarów pomieszczeń głównych konieczne staje się wprowadzenie centralnie usytywanego słupa podtrzymującego stropodach. Ewidentne przykłady tego rodzaju rozwiązania pochodzą z budynków: B.81 i B.74-B.62/B.61. Taki układ konstrukcyjny w połączeniu z masywnymi fundamentami pozwala sądzić, że przynajmniej niektóre z późnoneolitycznych domów mogły być obiektami dwukondygnacyjnymi z dodatkową przestrzenią użytkową stropodachu. Takie rozwiązanie jest bardzo prawdopodobne w odniesieniu do budynku B.95, który charakteryzuje się największą powierzchnią zabudowy oraz znaczną złożonością rozplanowania wnętrza. Co więcej, niewykluczone, że w przypadku tego budynku (i być może B.74-B.62/B.61) mamy do czynienia z relikami kondygnacji przynajmniej częściowo podziemnych. Świadczyć o tym wydaje się istnienie licznych i małych pomieszczeń. Hipoteza ta wymaga jednak dalszej weryfikacji.

Na koniec chciałbym podkreślić, że wszystkie zaobserwowane zmiany w technikach i strategiach budowlanych odbywały się stopniowo. Dziś niektóre z odkryć w odniesieniu do architektury TP nie są bowiem już tak unikatowe, jak się na początku wydawało. Dowodem na to są przykłady budynków o podobnej charakterystyce przestrzennej, konstrukcyjnej i funkcjonalnej, które pochodzą z wszystkich innych głównych wykopów na wschodnim tellu.

Powyższe obserwacje nie zmieniają faktu, że wiele aspektów dotyczących organizacji Çatalhöyük w późnych fazach osadniczych pozostaje wciąż niewyjaśnionych. Dlatego też wskazane jest podjęcie dalszych badań, które umożliwiłyby pozyskanie nowych i zróżnicowanych danych. Konieczne jest także moim zdaniem poddanie weryfikacji niektórych z postawionych w niniejszej pracy hipotez, przede wszystkim w ramach programu datowania radiowęglowego.

Równie koniecznym i jednocześnie planowanym działaniem jest zestawienie wyników badań stratygraficzno-architektonicznych z danymi o charakterze czysto archeologicznym, w tym w szczególności tych pochodzących z wykopów TP i GDN. Stosowne prace w tym względzie już trwają pod kierownictwem prof. Arkadiusza Marciniaka i prof. Lecha Czerniaka (Marciniak i Czerniak w przygotowaniu) oraz, choć w mniejszym wymiarze, przez autora niniejszej rozprawy (Barański *et al.* w przygotowaniu). Interesujące byłoby także włączenie w tego rodzaju kompleksowe analizy danych z innych przestrzeni badawczych, jak na przykład TPC oraz IST. Warto zwrócić jednak uwagę, że integracja informacji pozyskanych w ramach prac w różnych wykopach nie jest możliwa bez zmodyfikowania i ujednoczenia sposobu opisu elementów i zespołów konstrukcyjnych budynków. W tym kontekście za bezwzględnie konieczne uważam m.in. wprowadzenie kart opisu murów oraz stosownego rozszerzenia możliwości wprowadzania danych na poziomie cyfrowej bazy danych. Zabieg ten pozwoliłby na zastosowanie kwerend i poprowadzenie bardziej kompleksowych analiz, w tym krytyki ustaleń zawartych w niniejszej pracy, która mam nadzieję, że mimo wszystko posłuży za dobrą podstawę do dalszych badań oraz sprowokuje do zadania nowych pytań badawczych.

SPIS ILUSTRACJI

- Rycina 1. Zdjęcie satelitarne zachodniej i środkowej Turcji z lokalizacją stanowiska archeologicznego Çatalhöyük (archiwum Google Earth).
- Rycina 2. Zdjęcie satelitarne stanowiska Çatalhöyük z widocznymi bliźniaczymi tellami – Çatalhöyük East po prawej i Çatalhöyük West po lewej stronie ilustracji. Wzgórza te w neolicie rozdzielała rzeka Çarşamba (źródło: Google Earth).
- Rycina 3. Lokalizacja głównych późnoepipaleolitycznych i neolitycznych stanowisk archeologicznych na obszarze Bliskiego Wschodu (Zeder 2011): 1. Ohalo II, 2. Ein Gev IV, 3. Neve David, 4. Kharateh IV, 5. Beidha, 6. Hayonim, 7. Wadi al-Hammeh, 27, 8. 'Ain Mallaha, 9. Jericho, 10. Iraq ed Dubb, 11. Hatoula, 12. Dhra', 13. Netiv Hagdud, 14. Gugal I, 15. Aswad, 16. Ghorafe, 17. Wadi el-Jilat 7, 18. Yiftah'el, 19. 'Ain Ghazal, 20. Basta, 21. Ramad, 22. Khirbet Hammam, 23. Abu Hureyra, 24. Mureybit, 25. Dja'de, 26. Jerf el Ahmar, 27. Kosak Shamali, 28. Halula, 29. Tel Qaramel, 30. Tel el-Kerkh, 31. Ras Shamra, 32. Bouqras, 33. Hallan Çemi, 34. Demirköy, 35. Körtik, 36. Göbekli Tepe, 37. Nevalı Çori, 38. Çayönü, 39. Çafar Höyük, 40. Grittle, 41. Palegawra, 42. Shanidar, 43. Zawi Chemi Shanidar, 44. Qermez Dere, 45. Nemrik, 46. M'lefaat, 47. Asiab, 48. Ganj Dareh, 49. Ali Kosh, 50. Jarmo, 51. Guran, 52. Sarab, 53. Pınarbaşı A, 54. Aşıklı Höyük, 55. Suberde, 56. Can Hasan III, 57. Çatalhöyük, 58. Erbaba, 59. Aetokremnos, 60. Mylouthikia, 61. Shillourokambos, 62. Boncuklu Höyük.
- Rycina 4. Zestawienie linii czasu w odniesieniu do stanowisk Bliskiego Wschodu, chronologii Lewantu oraz warunków klimatycznych (źródło: Zeder 2011; patrz także: Aurenche *et al.* 2001; Bar-Yosef i Meadow 1995; Byrd 2005; Kuijt i Goring-Morris 2002; Nesbitt 2002; Willcox 2005).
- Rycina 5. Plan mega-osady Aşıklı Höyük ze wskazaniem lokalizacji wykopów archeologicznych (Özbaşaran 2011: Fig. 2).
- Rycina 6. Relikty zabudowy neolitycznej na stanowiskach: a) Shubayqa (EP/EPPNA) (Tobias Richter / archiwum Shubayqa Archaeological Project), b) Shkārāt Msaied (MPPNB) (Moritz Kinzel / archiwum Shkārāt Msaied Neolithic Project), c) Jerf el Ahmar (PPNA/PPNB) (Stordeur 1999), d) Çayönü Tepesi ([www.http://arkeolojihaber.net](http://arkeolojihaber.net)), e) Cafer Höyük (Aurenche 2007), f) 'Ain Ghazal (Banning 1998), g) Basta (Hans-Georg K. Gebel / archiwum Basta Joint Archaeological Project), h) Aşıklı Höyük (Mihriban Özbaşaran / archiwum Aşıklı Höyük).
- Rycina 7. Rekonstrukcje przykładowych budynków neolitycznych na stanowiskach: a) Ghwair (PPNB) (Kinzel 2014), b) Wadi Hammeh (EP) (Kinzel 2014), c) Cafer Höyük (PPNB/PN) (Cauvin *et al.* 1999), d) Shkārāt Msaied (MPPNB) (Kinzel 2014), e) Basta (LPPNB) (Kuijt 2000), f) Tell Abu Suwwam (MPPNB/LPPNB) (Kinzel 2014), g) Basta (LPPNB) (Kinzel 2014).
- Rycina 8. Megarony lub „budynki z gankiem” ze stanowisk neolitu preceramicznego B. Plany tego typu domów wydają się być jednolite w wyrazie architektonicznym. Mianowicie składają

się na nie ganki, które prowadzą do rozległych przestrzeni domowych z paleniskiem, chociaż w przypadku reliktów budynków na stanowisku Beidha (a i b) mamy do czynienia najprawdopodobniej z kondygnacjami piwnicznymi: a-b) Beidha, c) Beisamoun, d-e) 'Ain Ghazal, f-h) Jerycho, i) Yiftahel (Banning 1998; patrz także Kirkbride 1968; Lechevalier 1978; Banning i Byrd 1987; Garstang i Garstang 1948; Kenyon i Holland 1981).

- Rycina 9. Relikty neolitycznych budowli komunalnych i ślady praktyk rytualnych na stanowiskach: a) Wadi Faynan (PPNA) (Steven Mithen i Bill Finlayson / archiwum Wadi Faynan), b) Göbekli Tepe (PPNB) (Klaus Schmidt / archiwum Göbekli Tepe), c) Jerycho (PPNA) (Kenyon 1957), d) Çayönü Tepesi (PPNB) (Mehmet Özdoğan / archiwum Çayönü Tepesi), e) Nevalı Çori (PPNA) (Harald Hauptmann / archiwum Nevalı Çori), f) Göbekli Tepe (PPNB) (Klaus Schmidt / archiwum Göbekli Tepe), g) Jerf al Ahmar (PPNA/PPNB) (Stordeur 2000), h) Tell Aswad (PPNB) (Stordeur 2003).
- Rycina 10. Zestawienie panoram i impresji krajobrazowych, charakteryzujących bezpośrednio otoczenie stanowiska Çatalhöyük: a) widok na masyw wulkaniczny Hasan Dağ (fot. M.Z. Barański), b-c) szata roślinna w bezpośrednim sąsiedztwie tellu (fot. M.Z. Barański), d) widok od południa na współczesne zadaszanie nad wykopem North (fot. J. Quinlan), e) widok na pola uprawne w sąsiedztwie stanowiska (fot. J. Quinlan), f) ścieżka wokół tellu (fot.: A. Badtke).
- Rycina 11. Geomorfologiczna mapa środkowej Anatolii z zaznaczonymi najważniejszymi neolitycznymi stanowiskami archeologicznymi (Hodder 2005: Fig. 1.1; patrz także Kuzucuoğlu 2002).
- Rycina 12. Artystyczna rekonstrukcja osady Çatalhöyük i jej najbliższego otoczenia (rys.: J.G. Swogger).
- Rycina 13. Rekonstrukcja zespołu budynków z poziomu VI według Jamesa Mellaarta (Mellaart 1967: Fig. 13).
- Rycina 14. Plan wnętrza modelowego budynku w Çatalhöyük (fot.: J. Quinlan; opracowanie własne).
- Rycina 15. Rekonstrukcje tzw. świątyń z poziomów VI-VII według Jamesa Mellaarta (Mellaart 1967).
- Rycina 16. Plan stanowiska Çatalhöyük z zaznaczoną lokalizacją większości otwartych w jego obrębie wykopów archeologicznych (rys. C. Mazzucato; archiwum Çatalhöyük Research Project).
- Rycina 17. Widoki na różne wykopy na tellu Çatalhöyük East: a) TP Area (fot. A. Leszczewicz), b) TPC Area (fot.: J. Quinlan), c) NORTH Area (fot. J. Quinlan), d) NORTH Area (fot. J. Quinlan), e) wykop z lat 60. XX wieku (fot. D. Kirkbride; archiwum Københavns Universitet), f) SOUTH Area (fot. J. Quinlan), g) wykop z lat 60. XX wieku (archiwum Çatalhöyük Research Project), h) GDN Area (fot. M.Z. Barański).
- Rycina 18. Widok z lotu ptaka na przedrzymskie miasto-oazę Ghadamis (fot.: George Steinmetz; archiwum National Geographic).

- Rycina 19. Widok na charakterystyczną zabudowę pueblo w Taos w Nowym Meksyku w Stanach Zjednoczonych Ameryki (archiwum taospueblo.com).
- Rycina 20. Architektura pueblo: a) przekrój przez pueblo Wupakti (brouszura Parku Narodowego), b) schemat przestrzenny z charakterystycznymi elementami architektury Anasazi (Crouch i Johnson 2001: Fig. 9.10).
- Rycina 21. Schematyczny przekrój na linii wschód-zachód przez wykop z lat 60. ubiegłego wieku (Mellaart 1963: Fig. 3). Co znamienne, jest to jeden z zaledwie kilku planów pionowych opublikowanych przez Jamesa Mellaarta.
- Rycina 22. Przykładowy archiwalny plan poziomu stratygraficznego VIB (Mellaart 1963: 40; Fig. 2).
- Rycina 23. Rekonstrukcja układu konstrukcyjnego typowego budynku w Çatalhöyük składającego się generalnie z murów z cegieł mułowych oraz słupów przyściennych (w obrębie głównego pomieszczenia) wspólnie podtrzymujących płaski stropodach z otworem wejściowym (Mellaart 1963: 52; Fig. 10).
- Rycina 24. Zestawienie archiwalnych planów zbiorczych ilustrujących układ zabudowy przypisany przez Jamesa Mellaarta: a) poziomowi III (Ritchey 1996: Fig. 1.8 na podstawie Mellaart 1967), b) poziomowi II (Ritchey 1996: Fig. 1.9 na podstawie Mellaart 1967), c) poziomowi I (Ritchey 1996: Fig. 1.10 na podstawie Mellaart 1967), d) poziomom 0-III (Mellaart 1962: Fig. 3).
- Rycina 25. Rysunki perspektywiczne tzw. świątyni A.III.1 ze wskazaniem umiejscowienia narracyjnych malowideł naściennych (rys. Peter Winchester; Mellaart 1962: Fig. 11; Mellaart 1967: Fig 48).
- Rycina 26. Widoki na fragmentarycznie zachowane tynki naścienne: a) północna ściana (F.2870) budynku B.81 (fot. M. Saj), b) zachodnia ściana (F.7692) aneksu Sp.555 domu B.81 (fot. M. Saj), c) wschodnia ściana (F.7691) budynku B.142 (fot. M.Z. Barański), d) panel dekoracyjny w komorze Sp.327 (fot. A. Leszczewicz), e) zachodnia ściana (F.3116) komory Sp.248 (fot. A. Golański).
- Rycina 27. Fragmenty podkładów z kamieni rzecznych: a) platforma (F.3143) budynku B.81 (fot. A. Leszczewicz), b) podłoga (F.3133/F.3135) budynku B.62/B.61 widoczna w profilu (fot. A. Golański), c) fragment podłogi (F.2887) z pomieszczenia Sp.325 budynku B.74 (fot. A. Leszczewicz).
- Rycina 28. Zestawienie sposobów przewiązań fundamentów i ścian: a) mur prosty, b) dwa nieprzewiązane mury proste, tzw. „mury podwójne”, c) mur złożony o szerokości jednej cegły, d) mur złożony o szerokości półtorej cegły z wypełnieniem gruzem budowlanym, e) mur złożony o szerokości półtorej cegły z wypełnieniem pełnym (opracowanie własne).
- Rycina 29. Przykłady złożonych fundamentów: a-b) F.2882 w domu B.74-B.62/B.61 (fot. A. Leszczewicz), c) F.2281a/F.2284 w budynku B.74-B.62/B.61 (fot. A. Leszczewicz), d) F.2893 w domu B.95 (fot. A. Golański), e-f) F.7694a/F.8082a w budynku B.142 (fot. M.Z.

Barański), g) F.2284/F.3579 w domu B.74-B.62/B.61 (fot. M.Z. Barański) oraz h) F2878 budynku B.81 (fot. A. Leszczewicz).

- Rycina 30. Widoki na podkłady pod fundamenty składające się m.in. z fragmentów cegieł i platform: a) podkład (U.7650/U.7652) zachodniego fundamentu (F.3107) budynku B.33? (fot. A. Golański), b) podkład (U.17805) pod wschodni fundament (F.2873/F.F.3161) domu B.95 (fot. J. Quinlan), c) podkład (U.7645) pod wschodni fundament (F.3106/F.3111) budynku B.34 (fot. M.Z. Barański), d) podkład z gruzu pod fundament (F.2899) domu B.95 (fot. A. Golański).
- Rycina 31. Widok na: a – b) dwa występy (F.2872 i F.6025) we wschodnim fundamencie budynku B.95 (fot. A. Leszczewicz), c – d) występ (F.2895) w fundamencie budynku lub pomieszczenia znajdującego się poza południową granicą wykopu TP (fot. A. Golański).
- Rycina 32. Pęknięcie podłużne wschodniego fundamentu (F.2873/F.3161) budynku B.95 (fot. A. Leszczewicz).
- Rycina 33. Schemat posadowienia znacznej części budynków TP w Çatalhöyük (opracowanie własne).
- Rycina 34. Widoki na proste mury posadowione na złożonych fundamentach: a) i c) zachodni mur (F.2882-F.2860) budynku B.74-B.62/B.61 (fot. A. Golański), b) południowy mur (F.7694/F.8082) domu B.142 (fot. M.Z. Barański).
- Rycina 35. Mur z niszą (F.2891), który prawdopodobnie związany jest z budynkiem B.103.
- Rycina 36. Profil, na którym widoczne są elementy zawalonego stropodachu (U.17696, U.17887) w obrębie aneksu Sp.346 budynku B.103. Warstwy te są przecięte przez wkop (F.1941) pod fundament (F.2873/F.3161) domu B.95 (fot. A. Golański).
- Rycina 37. Próba rekonstrukcji stropodachu typowego budynków w Çatalhöyük (Stevanović 2013: Fig. 6.10 i F.6.12).
- Rycina 38. Widok na prawdopodobne jamy po odzyskaniu słupów, które podtrzymywały stropodach: a) jama F.3155w podłodze domu B.81 (fot. A. Leszczewicz), b) jama F.2888 w podłodze budynku B.74 (fot. A. Leszczewicz), c) jama F.3155 w podłodze domu B.81 (fot. A. Leszczewicz), d) jama F.1938 w podłodze budynku B.62/B.61 (fot. A. Golański), e) jama F.2888 w podłodze domu B.74 (fot. A. Leszczewicz).
- Rycina 39. Artystyczna rekonstrukcja typowego zespołu budynków w Çatalhöyük (rys.: J.G. Swogger / I. Kirkpatrick).
- Rycina 40. Widok na różne rodzaje podłóg późnoneolitycznych: a) margłowa podłoga w pomieszczeniu Sp.555 budynku B.81 (fot. M.Z. Barański), b) wapienna podłoga w pomieszczeniu Sp.540 domu B.140 (fot. M.Z. Barański), sekwencja podłóg widoczna w profilu w południowo-wschodnim narożniku izby Sp.537 budynku B.142 (fot. M.Z. Barański), e-f) podłoga na podkładzie ze żwiru w pomieszczeniu Sp.438 domu B.62/B.61 (fot. J. Quinlan), g) podłoga gliniana w izbie Sp.438 budynku B.62/B.61 (fot. J. Quinlan), podłoga na żwirze w pomieszczeniu Sp.325 budynku B.74 (fot. A. Leszczewicz).

- Rycina 41. Widok na relikty: a) murowanej platformy (F.3134) w północno-wschodniej części pomieszczenia Sp.438 budynku B.61/B.62 (fot. A. Golański), b) platformy na podkładzie z kamieni rzecznych (F.6006) w południowo-wschodniej części pomieszczenia Sp.440 budynku B.81 (fot. A. Leszczewicz), c) platformy z pionowym występem (F.8060) w południowej części pomieszczenia Sp.555 budynku B.81 (fot. M.Z. Barański), d) platformy uformowanej z ubitej ziemi (F.2892) w północno-wschodniej części pomieszczenia Sp.436 budynku B.74 (fot. M.Z. Barański), e) platformy (F.3119) w południowej części pomieszczenia Sp.346 budynku B.103 (fot. A. Leszczewicz).
- Rycina 42. Widok na relikty instalacji ogniowych: a) paleniska (F.1933) w centralnej części pomieszczenia Sp.429 budynku B.62/B.61 (fot. A. Golański), b) pieca (F.3181) wbudowanego w basen (F.3156) w południowej części pomieszczenia Sp.440 budynku B.81 (fot. A. Leszczewicz), c) zespołu pieca kopulastego (F.7651), basenu (F.7650) i paleniska (F.7652) w południowej części pomieszczenia Sp.540 budynku B.140 (fot. M.Z. Barański), d) pieca (F.1940) w centralnej części przestrzeni Sp.435 (fot. A. Leszczewicz), e) pieca (F.993) w południowo-zachodnim narożniku pomieszczenia Sp.433 budynku B.33 (fot. A. Golański).
- Rycina 43. Widok na: a) pojemnik (F.3100) przy wschodnim murze w północnej części pomieszczenia Sp.346 budynku B.103 (fot. A. Leszczewicz), b) zespół prawdopodobnych pojemników (F.3108) przy wschodnim murze w środkowej części pomieszczenia Sp.346 budynku B.103 (fot. A. Leszczewicz), c) zespół pojemników (F.8081) przy północnym murze pomieszczenia Sp.555 budynku B.81 (fot. M. Saj).
- Rycina 44. Widok na fragmenty komór grobowych, w tym: a) pochówek (F.3200) i bukranion przy ławie (F.3117) w komorze Sp.248 zniszczony przez późniejszą jamę (fot. A. Golański), b) pochówek (F.3200) w komorze Sp.248 zniszczony przez jamę grobową z okresu seldżuckiego (fot. A. Golański), c) fragment tynku z malowidłem (U.17645) znaleziony w obrębie komory Sp.327 (fot. A. Leszczewicz), d) fragment pasa dekoracyjnego (F.2898) w komorze Sp.327 (fot. A. Leszczewicz), e) przemieszane szczątki ludzkie (F.6000) w obrębie komory S.327 (fot. A. Leszczewicz).
- Rycina 45. Rysunek profilu północnego wykopu TP ilustrującego całą zdefiniowaną sekwencję stratygraficzną: a) przekrój A-A, b) przekrój B-B, c) przekrój C-C (opracowanie własne na podstawie fotografii J. Quinlana).
- Rycina 46. Widok od południa na relikty budynku B.81 (fot. J. Quinlan).
- Rycina 47. Plan budynku B.81 (przedstawione fazy użytkowe pomieszczeń Sp.440 i Sp.555 prawdopodobnie nie są sobie współczesne) (opracowanie własne).
- Rycina 48. Widok od strony południowej na pomieszczenie Sp.555 budynku B.81; na pierwszym planie znajduje się platforma z występem (F.8060), a w głębi pojemniki na żywność (F.8081) (fot. M.Z. Barański).
- Rycina 49. Zbliżenie na depozyty opuszczeniowe w obrębie pojemników na żywność (F.8081) oraz na podłodze (F.8065) pomieszczenia magazynowego Sp.555 budynku B.81: a) bydłęca

kość długa (fot. M.Z. Barański), b) żuchwa dzika (fot. M.Saj), c) bukranon blokujący przejście (fot. M.Z. Barański), d) (fotografia: Marek Z. Barański).

- Rycina 50. Widok od południa na pomieszczenie Sp.561 z widoczną platformą w obrębie wnęki ograniczonej ścianą z otworem (F.7694) łączącym aneks Sp.561 z pomieszczeniem głównym Sp.537 budynku B.142. W tym miejscu w pewnej odległości nad powierzchnią platformy znaleziono skupisko składające się m.in. z ponad 200 astragali – kości skokowych owiec i kóz (fot.: M. Saj).
- Rycina 51. Plan budynku B.142 wraz z komorą Sp.593 (opracowanie własne).
- Rycina 52. Schematyczny model przestrzenny ilustrujący połączenie pomiędzy budynkami: B.81 i B.142 (opracowanie własne).
- Rycina 53. Widok od północy na relikty pomieszczenia Sp.537 budynku B.142 (fot. M.Z. Barański).
- Rycina 54. Profil wschodni ilustrujący sekwencję podłóg / platform (F.8077-F.8076-F.8075-F.8074-F.8073) w południowo-wschodnim narożniku pomieszczenia Sp.537 budynku B.142 tuż przy ścianie z otworem (F.7694) łączącym tę przestrzeń z izbą Sp.561 (fot. M.Z. Barański).
- Rycina 55. Zbliżenie na skupisko kości ludzkich (F.7690, F.7699, f.8079 i F.8080), będące śladem pochówków powiązanych z częściowo zachowanymi platformami (F.8051, F.8052, F.8056 i F.8058) przy wschodniej ścianie (F.7691) głównego pomieszczenia Sp.537 budynku B.142 (fot. M.Z. Barański).
- Rycina 56. Widok od strony południowej na komorę Sp.593 i znajdujące się w jej obrębie depozyty (F.7695) (fot. A. Nowak).
- Rycina 57. Pieczęcie gliniane znalezione w śmietniku Sp.420 (fot. M.Z. Barański).
- Rycina 58. Plan aneksu Sp.346 budynku B.103 (opracowanie własne).
- Rycina 59. Budynek B.103: a) widok od południa na pomieszczenie Sp.346 (fot. A. Leszczewicz), b-c) zbliżenie na depozyty opuszczeniowe znalezione w południowym narożniku aneksu Sp.346 (fot. A. Leszczewicz).
- Rycina 60. Plan budynku B.140 (opracowanie własne).
- Rycina 61. Widok od wschodu na relikty pomieszczenia głównego Sp.540 budynku B.140: na pierwszym planie pozostałości pieca (F.7651) przy ścianie południowej (fot. M.Z. Barański).
- Rycina 62. Plan budynku B.141 (opracowanie własne).
- Rycina 63. Widok od strony południowo-wschodniej na główne pomieszczenie Sp.436 budynku B.74 (fot. A. Leszczewicz).
- Rycina 64. Widok od strony wschodniej na pomieszczenia Sp.325 i Sp.326 budynku B.74 (fot. A. Leszczewicz).

- Rycina 65. Widok od północy na mur (F.3577) wyznaczający północną granicę pomieszczenia głównego (Sp.436-Sp.429/Sp.438) budynku B.74-B.62/B.61, która została zdefiniowana w ramach badań GDN (fot.: M.Z. Barański).
- Rycina 66. Porównanie obecnej i nowej interpretacji reliktyw architektury (patrz także Rys. 46) (opracowanie własne).
- Rycina 67. Północno-zachodni narożnik budynku B.74-B.62/B.61: a) widok od strony zachodniej – widoczne posadowienie północnej ściany domu B.74-B.62/B.61 na reliktyw północnego muru budynku B.81 (fot.: M.Z. Barański), b-c) widok od strony południowej ilustrujący posadowienie prostego muru na fundamencie złożonym (fot. J. Quinlan).
- Rycina 68. Relacja podłogi na podkładzie ze żwiru rzecznoego (F.3133/F.3135) do murów nośnych budynku B.74-B.62/B.61: a) widok od północy na mur zachodni (F.2860) (fot. A. Golański), b) widok od południa na mur zachodni (F.2860) (fot. A. Golański), c) widok od południa na ścianę północną (F.3577) (fot: M.Z. Barański).
- Rycina 69. Fragment profilu północnego TP (przekrój B-B) z ilustracją relacji wysokościowej sekwencji podłóg w obrębie budynku B.74-B.62/B.61 do północnego muru (F.3577) tego domu (opracowanie własne).
- Rycina 70. Schematyczny przekrój E-E przez wykop TP na linii północ-południe wykonany na podstawie planów z rzędnymi wysokościowymi (opracowanie własne).
- Rycina 71. Szkicowa rekonstrukcja teoretycznie możliwych powiązań przestrzenno-funkcyjnych pomiędzy głównym pomieszczeniem B.74-B.62/B.61 a izbami: Sp.318 (ciągła linia) oraz Sp.325 i Sp.326 (przerwana linia) (opracowanie własne).
- Rycina 72. Plan budynku B.74 ilustrujący możliwą pierwszą fazę użytkowania tego domu (opracowanie własne).
- Rycina 73. Schematyczny model ilustrujący możliwy układ budynku B.74 w pierwszej fazie jego użytkowania (opracowanie własne).
- Rycina 74. Plan budynku B.74 ilustrujący możliwą drugą fazę użytkowania tego domu (opracowanie własne).
- Rycina 75. Widok od wschodu na pomieszczenie Sp.318 i próg poprzedzający wejście do izb Sp.325 i Sp.326 (fot. A. Leszczewicz).
- Rycina 76. Widok od wschodu na komorę grobową Sp.327 w trakcie eksploracji (fot. A. Leszczewicz).
- Rycina 77. Widok od wschodu na komorę Sp.327 i pochówek bez czaszki (U.17698) (fot. A. Leszczewicz).
- Rycina 78. Plan budynku B.74 w trakcie jego przebudowy związanej z konstrukcją komory grobowej Sp.327 (opracowanie własne).

- Rycina 79. Plan ilustrujący możliwą pierwszą fazę budynku B.B.62/B.61 z uwzględnieniem komory grobowej Sp.327 oraz pomieszczeń Sp.325 i Sp.326 (opracowanie własne).
- Rycina 80. Plan ilustrujący możliwą pierwszą fazę budynku B.B.62/B.61 z uwzględnieniem komory grobowej Sp.327 oraz pomieszczeń Sp.323 i Sp.324 (opracowanie własne).
- Rycina 81. Przekrój D-D przez sekwencję stratygraficzną wykopu TP wykonany na podstawie fotografii oraz planów z rzędnymi wysokościami (opracowanie własne).
- Rycina 82. Widok od północnego-zachodu na komorę Sp.327 i związany z jej budową wkop fundamentowy. Przy okazji widać, że mury łączone dotąd z grobowcem (6 dolnych rzędów cegieł) oraz pomieszczeniem Sp.320 (3 górne rzędy cegieł) stanowią najprawdopodobniej jedną integralną konstrukcję (fot. A. Leszczewicz).
- Rycina 83. Widok od strony południowej na profil, na którym widoczne są relikty murów związanych najprawdopodobniej z komorą Sp.327. Dolne szersze rzędy cegieł mogły służyć jako fundament dla górnych węższych rzędów cegieł (fot. A. Golański).
- Rycina 84. Schematyczny model ilustrujący możliwy układ budynku B.62/B.61 z komorą grobową Sp.327 dostępną od góry (opracowanie własne).
- Rycina 85. Depozyty opuszczeniowe znalezione na podłodach (F.3140/F.3149 i F.3150/F.3151) pomieszczeń Sp.325 i Sp.326: a) żuchwa bydlęca (fot. A. Leszczewicz), b) łopatka i długa kość bydlęca (fot. A. Leszczewicz), c) skupisko fragmentów narzędzi i urządzeń kamiennych (fot. A. Leszczewicz), d) łopatka bydlęca (fot. A. Leszczewicz), e) żuchwy bydlęce (fot. A. Leszczewicz).
- Rycina 85. Widok od północnego-zachodu na relikty architektury łączone z pomieszczeniami Sp.323 i Sp.324 oraz odkryte w obrębie wykopu Jamesa Mellaarta (fot. A. Golański).
- Rycina 87. Widok od południa na główne pomieszczenie Sp.429 budynku B.62/B.61 (fot. A. Golański).
- Rycina 88. Widok od strony południowej na fragment pomieszczenia Sp.436 budynku B.62/B.61 z podłogą (F.3133/F.3135) na podkładzie ze żwiru (fot. A. Golański).
- Rycina 89. Plan ilustrujący możliwą drugą fazę budynku B.B.62/B.61 z uwzględnieniem komory grobowej Sp.327 (opracowanie własne).
- Rycina 90. Plan ilustrujący możliwą trzecią fazę budynku B.B.62/B.61 z uwzględnieniem komory grobowej Sp.327 (opracowanie własne).
- Rycina 91. Plan ilustrujący możliwą czwartą fazę budynku B.B.62/B.61 z uwzględnieniem komory grobowej Sp.327 (opracowanie własne).
- Rycina 92. Plan reliktyw budynku B.95 (opracowanie własne).
- Rycina 93. Widok na cięcie (F.1941) komory grobowej Sp.327 spowodowane budową wschodniego fundamentu (F.2873/F.3161) budynku B.95.

- Rycina 94. Widok od południa na pomieszczenie Sp.320 ze śladami problematycznej podłogi (F.3138) oraz paleniska (F.2854), ograniczone od zachodu relikami murów komory Sp.327 a od wschodu fundamentem lub ścianą fundamentową (F.2873/F.3161) budynku B.95 (fot. A. Leszczewicz).
- Rycina 95. Plan budynku B.33/B.34 z uwzględnieniem komory grobowej Sp.248 (opracowanie własne).
- Rycina 96. Widok od strony południowo-wschodniej na pomieszczenie Sp.433 i przestrzeń Sp.434 (fot. A. Golański).
- Rycina 97. Widok od strony północnej na komorę grobową Sp.248 (fot. A. Golański).
- Rycina 98. Widok od strony północnej na bukranion (U.11562) przy ławie (F.3117) w komorze grobowej Sp.248 (fot. A. Golański).
- Rycina 99. Próba rekonstrukcji pomieszczenia Sp.248 po zaadoptowaniu go na funkcje sepulkralne (rys. J.P. Swogger).
- Rycina 100. Diagram Harrisa prezentujący obowiązującą i proponowaną interpretację stratygrafii TP (opracowanie własne).
- Rycina 101. Propozycja rekonstrukcji układu zabudowy na poziomie TP.M (B) (opracowanie własne).
- Rycina 102. Propozycja rekonstrukcji układu zabudowy na poziomie TP.M (A) (opracowanie własne).
- Rycina 103. Propozycja rekonstrukcji układu zabudowy na poziomie TP.N (opracowanie własne).
- Rycina 104. Propozycja rekonstrukcji układu zabudowy na poziomie TP.O (opracowanie własne).
- Rycina 105. Propozycja rekonstrukcji układu zabudowy na poziomie TP.P (opracowanie własne).
- Rycina 106. Propozycja rekonstrukcji układu zabudowy na poziomie TP.Q (opracowanie własne).
- Rycina 107. Propozycja rekonstrukcji układu zabudowy na poziomie TP.R (opracowanie własne).
- Rycina 108. Plan połączonych ze sobą funkcjonalnie budynków VIB.14 i VIB.7 (Ritchey 1996: Fig. 1.13).
- Rycina 109. Schematyczny model ilustrujący zmiany w układzie następujących po sobie budynków B.81 i B.74-B.62/B.61 (opracowanie własne).
- Rycina 110. Stopniowe zmiany w układzie zabudowy na przykładzie budynków: B.81, B.142, B.137, B.141 oraz B.74-B.62/B.61 (opracowanie własne).
- Rycina 111. Skupiska budynków wyznaczone przez otwarte przestrzenie śmietniskowe w obrębie wykopu North (Hodder i Farid 2014: Fig. 1.10).
- Rycina 112. Przykłady zniszczeń i deformacji obiektów murowanych: a) zawalony fragment ściany budynku B.132 w *North Area* (fot. J. Quinlan), b) przechylenie się ściany budynku B.103 w *TP Area* (fot. A. Leszczewicz), c) zgniecenie narożnika budynku B.109 w *TPC Area* (fot.

A. Mickel), d) pęknięcie podłużne fundamentu budynku B.95 w *TP Area* (fot. A. Leszczewicz), e) wygięcie muru budynku B.52 w *North Area* (fot. J. Quinlan), f) wygięcie i skrócenie muru budynku B.104 w *South Area* (fot. J. Quinlan).

Rycina 113. Złożone obciążenia statyczne i dynamiczne działające na budynki usytuowane na tellu (opracowanie własne).

Rycina 114. Zmiany w strategiach i technikach budowlanych: a) fundament złożony typu B budynku B.110 w *TPC Area* (fot. K. Pawłowska), b) mur podwójny w obrębie przestrzeni Sp.488 w *North Area* (fot. A. Klimowicz), c) mur nośny na szerszym fundamencie z dwóch warstw cegieł w obrębie przestrzeni Sp.130 w *South Area* (fot. J. E. Sadarangani).

Rycina 115. Plan budynków B.54 (4040.I) z charakterystycznymi fundamentami / ścianami fundamentowymi (źródło: archiwum Çatalhöyük Research Project).

Rycina 116. Plan budynku B.47 (4040.J) z charakterystycznymi masywnymi fundamentami / ścianami fundamentowymi (źródło: archiwum Çatalhöyük Research Project).

Rycina 117. Przekrój przez dom na stanowisku Olgal 1 w Afganistanie uświadamiający możliwe błędne interpretacje formy budynku w sytuacji jego znacznego zniszczenia (na podstawie rysunku M. Kinzla).

Rycina 118. Zmiany w organizacji przestrzennej w odniesieniu do fragmentu sekwencji archeologicznej w obrębie wykopu South (opracowanie własne).

SPIS TABEL

- Tabela 1. Zestawienie głównych kategorii obiektów budowlanych i przestrzeni otwartych (opracowanie własne).
- Tabela 2. Przybliżone lub minimalne wartości w odniesieniu do powierzchni przestrzeni otwartych oraz powierzchni zabudowy i powierzchni użytkowej domów i komór grobowych.
- Tabela 3. Zestawienie parametrów dotyczących wymiarów cegieł budynków B.74-B.62/B.61 i B.95 (opracowanie własne).
- Tablica 4. Zestawienie parametrów murowanych konstrukcji złożonych budynków zdefiniowanych w obrębie wykopów TP i GDN (opracowanie własne).
- Tablica 5. Zestawienie parametrów murowanych konstrukcji prostych (ścian nośnych i oporowych) budynków zdefiniowanych w obrębie wykopów TP i GDN (opracowanie własne).
- Tablica 6. Zestawienie parametrów murowanych konstrukcji prostych (ścian działowych i osłonowych) budynków zdefiniowanych w obrębie wykopów TP i GDN (opracowanie własne).

SPIS WYKRESÓW

- Wykres 1. Zestawienie szerokości cegieł pochodzących z budynków B.74-B.62/B.61 i B.95 (opracowanie własne).
- Wykres 2. Zestawienie wysokości cegieł pochodzących z budynków B.74-B.62/B.61 i B.95 (opracowanie własne).
- Wykres 3. Zestawienie szerokości cegieł pochodzących z budynków B.74-B.62/B.61 i B.95 (opracowanie własne).

BIBLIOGRAFIA

1. **Adams R.L.**, 2005. Ethnoarchaeology in Indonesia illuminating the Ancient Past at Çatalhöyük? *American Antiquity* 70 (1), 181-188.
2. **Agarwal A.**, 1981. *Mud: The Potential of Earth-Based Materials for Third World Housing*. London: International Institute for Environment and Development.
3. **Akkermans P.M.M.G.** (red.), 1996. *Tell Sabi Abyad The Late Neolithic Settlement, Report on the Excavations of the University of Amsterdam (1988) and the National Museum of Antiquities Leiden (1991-1993) in Syria, Vol. I – II*. Istanbul / Leiden: Nederlands Historisch-Archaeologisch Instituut.
4. **Akkermans P.M.M.G.**, 2013a. Northern Syria in the Late Neolithic, ca. 6800-5300 BC. [w:] *Archéologie et histoire de la Syrie*, vol. I: La Syrie de l'époque néolithique à l'âge du fer, red. W. Orthmann, P. Matthiae, iM. al-Maqdissi. Wiesbaden : Harrassowitz Verlag, 17-31.
5. **Akkermans P.M.M.G.**, 2013b. Living Space, Temporality and Community Segmentation – Interpreting Late Neolithic Settlement in Northern Syria, [w:] *Interpreting the Late Neolithic of Upper Mesopotamia*, red. O.P. Nieuwenhuijse, R. Bernbeck, P.M.M.G. Akkermans iJ. Rogash. Turnhout: Brepols Publishers, 63-75.
6. **Akkermans P.M.M.G., Cappers R., Cavallo C., Nieuwenhuys O., Nilhamn B. i Otte I.N.**, 2006. Investigating the Early Pottery Neolithic of Northern Syria: New Evidence from Tell Sabi Abyad. *American Journal of Archaeology* 110, 123-156.
7. **Alberti B. i Back Danielsson I.-M.**, 2014. Gender, Feminist, and Queer Archaeologies: USA Perspective, [w:] *Encyclopedia of Global Archaeology*, red. C. Smith. New York, NY: Springer, 2988-2997.
8. **Allison P.M.**, 1999a. Introduction, [w:] *The archaeology of household activities*, red. P.M. Allison. London: Routledge, 1-18.
9. **Allison P.M.** (red.), 1999b. *The archaeology of household activities*. London: Routledge.
10. **Anderson E., Almond M.J. i Matthews W.**, 2014. Analysis of wall plasters and natural sediments from the Neolithic town of Çatalhöyük (Turkey) by a range of analytical techniques. *Spectrochimica Acta Part A: Molecular and Biomolecular Spectroscopy* 133, 326-334.
11. **Asouti E.**, 2005. Woodland vegetation and the exploitation of fuel and timber at Neolithic Çatalhöyük: report on the wood-charcoal macro-remains. [w:] *Inhabiting Çatalhöyük: Reports from the 1995-99 seasons*. (Çatalhöyük Research Project Series 4; McDonald Institute Monographs / BIAA Monograph 38). Cambridge: McDonald Institute for Archaeological Research / London: British Institute of Archaeology at Ankara, 213-258.
12. **Asouti E.**, 2013. Woodland Vegetation, Firewood Management and Woodcrafts at Neolithic Çatalhöyük, [w:] *Humans and Landscapes of Çatalhöyük: Reports from the 2000-2008 Seasons*, red. I. Hodder. (Çatalhöyük Research Project Series 8; BIAA Monograph 47 / Monumenta Archaeologica 30). London: British Institute of Archaeology at Ankara / Los Angeles, CA: Cotsen Institute of Archaeology Press, 129-161.
13. **Asouti E. i Hather J.**, 2001. Charcoal analysis and the reconstruction of ancient woodland vegetation in the Konya Basin, south-central Anatolia, Turkey: results from the Neolithic site of Çatalhöyük East, *Vegetation History and Archaeobotany* 10, 23-32.
14. **Aurenche O.**, 1981. *La maison orientale. L'architecture de Proche-Orient ancien des origines au milieu du quatrième millénaire*. Paris : Maison de l'Orient.

15. **Aurenche O.**, 2007. Cafer Höyük, [w:] 2007. *Vor 12.000 Jahren in Anatolien. Die ältesten Monumente der Menschheit.*, red. C. Lichter. Stuttgart: Konrad TheissVerlag, 57.
16. **Aurenche O., Galet P., Régagnon-Caroline E. i Évin J.**, 2001. Proto-Neolithic and Neolithic Cultures in the Middle East – The Birth of Agriculture, Livestock Raising, and Ceramics: a Calibrated ¹⁴C Chronology 12,500-5500 cal BC. *Radiocarbon* 43 (3), 1191-1202.
17. **Bachelard G.**, 1964. *The poetics of space*. New York, NY: Orion Press [Bachelard G., 1958. *La poétique de l'espace*. Paris: Presses Universitaires de France].
18. **Bailey D.W.**, 1990. The living house: Signifying continuity. [w:] *The Social Archaeology of Houses*, red. R. Samson. Edinburgh: Edinburgh University Press, 19-48.
19. **Baird D.**, 2001. Settlement and landscape in the Konya Plain, south central Turkey: from the Epipalaeolithic to the Medieval period, [w:] H. Karpuz, A. Bas, R. Duran (red.), *Uluslararası Çatalhöyük'ten Günümüze Çumra Kongresi (pp. 269-276). Çumra: Çumra Belediye*.
20. **Baird D.**, 2002. Early Holocene settlement in central Anatolia: Problems and prospects seen from the Konya Plain, [w:] *Central Anatolian E-Workshop*, red. F. Gérard i L. Thissen. Istanbul: EgeYayınlari, 139-159.
21. **Barid D.**, 2005. The history of settlement and social landscapes in the Early Holocene in the Çatalhöyük area, [w:] *Çatalhöyük Perspectives: Themes from the 1995-99 Seasons*. (Çatalhöyük Research Project Series 6; McDonald Institute Monographs / BIAA Monograph 40). Cambridge: McDonald Institute for Archaeological Research / London: British Institute of Archaeology at Ankara, 55-74.
22. **Baird D.**, 2012. Pınarbaşı: From Epi-Paleolithic Camp-Site to Sedentarising Village in Central Anatolia, [w:] *The Neolithic in Turkey: Central Turkey*, red. M. Özdoğan, M.N. Başgelen i P.I. Kuniholm. Istanbul: ArkeolojiveSanatYayınlari, 181-218.
23. **Baird D., Fairbairn A., Martin L. i Middleton C.**, 2012. The Boncucklu Project: The Origins of Sedentism, Cultivation and Herding in Central Anatolia, [w:] *The Neolithic in Turkey: Central Turkey*, red. M. Özdoğan, M.N. Başgelen i P.I. Kuniholm. Istanbul: ArkeolojiveSanatYayınlari, 219-244.
24. **Baird D., Asouti E., Astruc L, Baysal A., Baysal E., Carruthers D., Fairbairn A., Kabukcu C., Jenkins E., Lorentz K., Middleton C., Pearson J., Pirie A.**, 2013. Juniper Smoke, Skulls and Wolves' Tails: The Epipalaeolithic of the Anatolian Plateau in its South-west Asian Context – Insights from Pınarbaşı, *Levant* 45 (2): 175-209.
25. **Balkan-Atli N., Binder D i Bernard G.**, 1999. Obsidian: Sources, Workshops and Trade in Central Anatolia, [w:] *Neolithic in Turkey*, red. M. Özdoğan. Istanbul: ArkeolojiveSanat Yayınlari, 133-145.
26. **Balter M.**, 2005. The seeds of civilization, *Smithsonian* 36, 68-74.
27. **Banning E.B.**, 1998. The Neolithic period: Triumphs of architecture, agriculture, and art. *Near Eastern Archaeology* 61 (4), 188-237.
28. **Banning E.B.**, 2003. Housing Neolithic Farmers. *Near Eastern Archaeology* 66 (1/2), 4-21.
29. **Banning E.B.**, 2010. Houses, households, and changing society in the late Neolithic and Chalcolithic of the Southern Levant. *Paléorient* 36 (1), 49-87.
30. **Banning E.B.**, 2011. So fair a house: Göbekli Tepe and the identification of temples in the Pre-pottery Neolithic of the Near East. *Current Anthropology* 52 (5), 619-660.
31. **Banning E.B. i Byrd, B.F.**, 1987. Houses and the Changing Residential Unit: Domestic Architecture at PPNB 'Ain Ghazal, Jordan. *Proceedings of the Prehistoric Society* 53, 309-325.

32. **Banning E.B. i Byrd B.F.**, 1989. Renovations and the changing residential unit at 'Ain Ghazal, Jordan, [w:] *Households and Communities: Proceedings of the Twenty First Annual Conference*, red. S. MacEachern, D. Archer i R.D. Garvin R.D. Calgary: University of Calgary, 525-533.
33. **Banning E.B., Rahimi D. i Siggers J.**, 1994. The Late Neolithic of the southern Levant: Hiatus, settlement shift or observer bias? The perspective from Wadi Ziqlab. *Paléorient* 20, 151-164.
34. **Bar-Yosef O.**, 1986. The Walls of Jericho: An Alternative Interpretation. *Current Anthropology* 27, 157-162.
35. **Bar-Yosef O.**, 1998. The Natufian culture in the Levant: Threshold to the origins of agriculture. *Evolutionary Anthropology* 6 (5), 159-177.
36. **Bar-Yosef O.**, 2001. From Sedentary Foragers to Village Hierarchies: The Emergence of Social Institutions, [w:] *The Origin of Human Social Institution*, red. G. Runciman G. Proceedings of the British Academy 110. Oxford: Oxford University Press, 1-38.
37. **Bar-Yosef O.**, 2002. The natufian culture and the Early Neolithic: Social and economic trends in southwestern Asia, [w:] *Examining the farming / language dispersal hypothesis*, red. P. Bellwood i C. Renfrew. Cambridge: McDonald Institute for Archaeological Research, 113-126.
38. **Bar-Yosef O., Belfer-Cohen, A.**, 1989. The Origins of Sedentism and Farming Communities in the Levant. *Journal of World Prehistory* 3 (4), 447-498.
39. **Bar-Yosef O. i Gopher A.** (red.), 1997. *An Early Neolithic Village in the Jordan Valley. Part I: The Archaeology of Netiv Hagdud*. Cambridge, MA: American School of Prehistoric Research / Peabody Museum.
40. **Bar-Yosef O. i Meadow R.H.**, 1995. The origins of agriculture in the Near East, [w:] *Last hunters, first farmers: new perspectives on the prehistoric transition to agriculture*, red. T.D. Price i A.B. Gebauer. Santa Fe, NM: School of American Research Press, 39-94.
41. **Bar-Yosef O. i Valla F.** (red.), 1991. The Natufian Culture in the Levant. Archaeological Series 1, International Monographs in Prehistory, Ann Arbor.
42. **Barański M.Z.**, 2009. *Stratygrafia wykopu TP na stanowisku Çatalhöyük (Turcja): Aspekty metodyczne*. (Nieopublikowana praca magisterska). Gdańsk: Uniwersytet Gdański.
43. **Barański M.Z.**, 2013a. Back To Mellaart a Area: Survey On Late Neolithic Architecture. *Çatalhöyük Research Project 2013 Archive Report*, http://www.catalhoyuk.com/downloads/Archive_Report_2013.pdf, 15.04.2017, 220-234.
44. **Barański M.Z.**, 2013b. Zastosowanie cyfrowych narzędzi analizy stratygraficznej na przykładzie stanowiska Çatalhöyük w Turcji, *Gdańskie Studia Archeologiczne* 3, 33-50.
45. **Barański M.Z.**, 2014. Late Neolithic Architecture. *Çatalhöyük Research Project 2014 Archive Report*, http://www.catalhoyuk.com/downloads/Archive_Report_2014.pdf, 15.04.2017, 194-202.
46. **Barański M.Z.**, 2016. Buildings 160, 161, 43, 89 and Spaces 553 and 581, *Çatalhöyük Research Project 2016 Archive Report*, http://www.catalhoyuk.com/downloads/Archive_Report_2016.pdf 10.01.2017, 57-69.
47. **Barański M.Z., García-Suárez A., Klimowicz A., Love S. i Pawłowska K.**, 2015a. Complexity in Apparent Simplicity: The Architecture of Neolithic Çatalhöyük as a Process, [w:] *Assembling Çatalhöyük*, red. I. Hodder i A. Marciniak. (EAA Themes in Contemporary Archaeology 1). Leeds: Maney Publishing, 111-126.
48. **Barański M.Z. i Love S.**, (w przygotowaniu). Late Neolithic Building Techniques and Strategies at Çatalhöyük: TP Area, [w:] *The TP (Team Poznan) Area*, red. A. Marciniak i L. Czerniak.

49. **Barański M.Z., Nowak A., Regulska K. i Saj M.**, 2015b. GDN Area: Research on Late Neolithic Architecture. *Çatalhöyük Research Project 2015 Archive Report*, http://www.catalhoyuk.com/downloads/Archive_Report_2015.pdf, 15.04.2017, 248-260.
50. **Barański M.Z. i Regulska K.**, 2016. GDN Research on the Late Neolithic Architecture, *Çatalhöyük Research Project 2016 Archive Report*, http://www.catalhoyuk.com/downloads/Archive_Report_2016.pdf, 15.04.2017, 269-278.
51. **Barker G.**, 2006. *The agricultural revolution in prehistory: why did foragers become farmers?* Oxford: Oxford University Press.
52. **Barnard A.**, 2006. *Antropologia: zarys teorii i historii*. Warszawa: Państwowy Instytut Wydawniczy. [Barnard A., 2000. *History and Theory in Anthropology*, Press Syncicate of the University of Cambridge].
53. **Bayliss A.**, 2009. Rolling out Revolution: Using radiocarbon dating in archaeology. *Radiocarbon* 51, 123-147.
54. **Bayliss A., Farid S. i Higham T.**, 2014. Time Will Tell: Practicing Bayesian Chronological Modeling on the East Mound, [w:] *Çatalhöyük Excavations: The 2000-2008 Seasons*, red. I. Hodder. (Çatalhöyük Research Project Series 7; BIAA Monograph 46 / Monumenta Archaeologica 29). London: British Institute of Archaeology at Ankara / Los Angeles, CA: Cotsen Institute of Archaeology Press, 53-89.
55. **Bayliss A. i Ramsey C.B.**, 2004. Pragmatic Bayesians: a Decade of Integrating Radiocarbon Dates into Chronological Models, [w:] *Tools for Constructing Chronologies: Crossing Disciplinary Boundaries*, red. C.E. Buck C.E. i A.R. Millard. (Lecture Notes in Statistics 177). London: Springer, 25-41.
56. **Beck R.A.** (red.), 2007. *The Durable House: House Society Models in Archaeology*. Center for Archaeological Investigations, Southern Illinois University Carbonadale, Occasional Paper No. 35.
57. **Bender D.**, 1967. a refinement of the concept of household: Families, co-residence, and domestic functions. *American Anthropologist* 69, 493-504.
58. **Bickle P., Chan B., Czerniak L., Pyzel J. i Tsoraki C.**, 2016. At Home in the Neolithic: Understanding Diversity in Neolithic Houses and Households, *Open Archaeology* 2016 (2): 410-416.
59. **Biçakçı E.**, 2003. Observations on the early pre-pottery Neolithic architecture in the Near East: New building material and construction techniques, [w:] *From villages to cities: early villages in the near east*, red. M. Özdoğan, H. Hauptmann i N. Basgelen. Istanbul: Archeoloji ve Sanat, 385-414.
60. **Biehl P.F., Franz I., Orton D., Ostaptchouk S., Rogasch J. i Rosenstock E.**, 2012. One Community and Two Tells: The Phenomenon of Relocating Tell Settlements at the Turn of the 7th and 6th Millennia in Central Anatolia, [w:] *Tells: environmental and social space*, red. R. Hofmann, F.K. Moetz i J. Müller. *Universitätsforschungen zur Prähistorischen Archäologie* 207, Bonn: Habelt, 53-65.
61. **Biehl P. i Rogasch J.**, 2013. Excavations in Trench 5, West Mound, *Çatalhöyük Research Project 2013 Archive Report*, http://www.catalhoyuk.com/downloads/Archive_Report_2013.pdf 18.09.2014, 94-110.
62. **Biehl P.F. i Rosenstock E.**, 2009. Von Çatalhöyük Ost nach Çatalhöyük West - Kulturelle Umbrüche an der Schwelle vom 7. zum 6. Jt. v. Chr. in Zentralanatolien, [w:] *Zurück zum Gegenstand. Festschrift für Andreas E. Furtwängler*, red. R. Einicke, S. Lehmann, H. Löhr, A.

- Mehnert, G. Mehnert i A. Slawisch. (Schriften des Zentrums für Archäologie und Kulturgeschichte des Schwarzmeerraumes 16.1 / 16.2). Langenweißbach, 471-482.
63. **Bienert H.D.**, 2001. The Pre-Pottery Neolithic B (PPNB) of Jordan: a First Step Towards Proto-Urbanism? [w:] *Studies in the History and Archaeology of Jordan VII*, red. G. Bisheh. Amman: Department of Antiquities, 107-119.
 64. **Bienert H.D., Gebel H.G.K. i Neef R.** (red.), 2004. *Central Settlements in Neolithic Jordan: Proceedings of a Symposium Held in Wadi Musa, Jordan, 21st-25th of July, 1997.* (Studies in Early Near Eastern Production, Subsistence, and Environment 5). Berlin: ex oriente.
 65. Binder, D., 2002. Stone making sense: What obsidian could tell about the origins of the Central Anatolian Neolithic, [w:] Gérard, F., Thissen, L. (red.), *The Neolithic of Central Anatolia: Internal Developments and External Relations during the 9th – 6th Millennia cal BC – Proceedings of the International CANew Table Ronde, Istanbul, 23-24 November 2001*, Istanbul: EgeYayinlari, 79-90.
 66. **Binford L.**, 1968. Post-Pleistocene Adaptations, [w:] *New Perspectives in Archaeology*, red. S. Binford i L. Binford. Aldine, 313-341.
 67. **Bischoff D.**, 2002. Symbolic worlds of Central and Southeast Anatolia in the Neolithic, [w:] *The Neolithic of Central Anatolia: Internal Developments and External Relations during the 9th – 6th Millennia cal BC*, red. F. Gérard i L. Thissen. (Proceedings of the International CANew Table Ronde, Istanbul, 23-24 November 2001). Istanbul: Ege Yayinlari, 237-251.
 68. **Blier S.**, 1987. *The Anatomy of Architecture: Ontology and metaphor in Batammaliba architectural expression*. Cambridge: Cambridge University Press.
 69. **Bogdan D.**, 2005. Building 54, *Çatalhöyük Research Project 2005 Archive Report*, http://www.catalhoyuk.com/sites/default/files/media/pdf/Archive_Report_2005.pdf, 11.02.2017, 26-29.
 70. **Bondgofsky M.**, 2005. A bioarchaeological Study of plastered skulls from Anatolia: New discoveries and Interpretations, *International Journal of Osteoarchaeology* 15, 124-135.
 71. **Bondgofsky M.**, 2006. Complexity in Context: Plain, Painted and Modeled Skulls from the Neolithic Middle East, [w:] *Skull collection, modification, and decoration*, red. M. Bondgofsky. Oxford: Archeopress, 15-28.
 72. **Borić D.**, 2007. The house between grand narrative and microhistory: a house society in the Balkans, [w:] *The Durable House: House society models in Archaeology*, red. R.A. Beck. Carbondale: Southern Illinois University, 97-129.
 73. **Borić D.**, 2008. First Households and 'House Societies' in European Prehistory. [w:] *Prehistoric Europe: Theory and Practice*, red. A. Jones A. (Blackwell Studies in Global Archaeology). Cambridge: Wiley-Blackwell, 109-142.
 74. **Boserup E.**, 1965. *The conditions of agricultural growth: the economics of agrarian change under population pressure*. London: George Allen & Unwin.
 75. **Bourdieu P.**, 1977. *Outline of a Theory of Practice*. Cambridge: Cambridge University Press. [Bourdieu P., 1972. *Esquisse d'une théorie de la pratique précédé de Trois études d'ethnologie kabyle*. Genève: Droz].
 76. **Bourdieu P.**, 1990. *The Logic of Practice*. Cambridge: Polity Press. [Bourdieu P., 1980. *Le Sens pratique*. Paris : Les Éditions de Minuit].
 77. **Boyd B.**, 2006. On 'sedentism' in the Later Epipalaeolithic (Natufian) Levant. *World Archaeology* 38 (2), 164-178.

78. **Boyer P., Roberts N. i Baird D.**, 2006. Holocene environment and settlement on the Çarşamba alluvial fan, South Central Turkey: Integrating Geoarchaeology and Archaeological Field Survey. *Geoarchaeology* 21 (7), 675-698.
79. **Braidwood R.J.**, 1948. *Prehistoric Man*. Chicago, IL: Chicago Natural History Museum Press.
80. Breasted J.H., 1916. *Ancient times: a history of the early world - An introduction to the study of ancient history and the career of early man*. Boston / New York / Chicago / London / Atlanta / Dallas / Columbus / San Francisco: Ginn & Company.
81. **Brusasco P.**, 2004. Theory and practice in the study of Mesopotamian domestic space. *Antiquity*, 142-157.
82. **Buck C.E.**, 2004. Bayesian Chronological Data Interpretation: Where Now? [w:] *Tools for Constructing Chronologies. Crossing Disciplinary Boundaries*, red. C.E. Buck i A.R. Millard A.R. (Lecture Notes in Statistics 177). London: Springer, 1-24.
83. **Burton M.L., Nero K.L. i Hess J.**, 2002. Who can belong to a Micronesian household: Representations of household composition across social contexts, *Field Methods* 14: 65-87.
84. **Byrd B.F.**, 1994. Public and private, domestic and corporate: The emergence of the Southwest Asian village. *American Antiquity* 59 (4), 639-666.
85. **Byrd B.F.**, 2005. *Early Village Life at Beidha, Jordan: Neolithic Spatial Organization and Vernacular Architecture - The Excavations of Mrs. Diana Kirkbride-Helbaek*. (British Academy Monographs in Archaeology 14). Oxford: Oxford University Press.
86. **Byrd B.F. i Banning E.B.**, 1988. Southern Levantine Pier Houses: Intersite Architectural Patterning during the Pre-Pottery Neolithic B. *Paléorient* 14/1, 65-72.
87. **Carlson A.E.**, 2013. The Younger Dryas Climate Event. *Encyclopedia of Quaternary Science* 3, 126-134.
88. **Carsten J.**, 1997. *The Heat of the Hearth: The Process of Kinship in a Malay Fishing Community*. Oxford: Clarendon Press.
89. **Carsten J.**, 2000. Introduction: Cultures of relatedness, [w:] *Cultures of Relatedness: New Approaches to the Study of Kinship*, red. J. Carsten. Cambridge: Cambridge University Press, 1-36.
90. **Carsten J. i Hugh-Jones S.** (red.), 1995. *About the House: Lévi-Strauss and Beyond*. Cambridge: Cambridge University Press, 1-46.
91. **Carter T., Dubernet S., King R., Le Bourdonnec F.X., Milić M., Poupeau G. i Shackley M.S.**, 2008. Eastern Anatolian obsidians at Çatalhöyük and the reconfiguration of regional interaction in the Early Ceramic Neolithic. *Antiquity* 82 (318), 900-909.
92. **Carter T., Haddow S., Russel N., Bogaard E., Tsoraki C.**, 2015. Laying the Foundations: Creating Households at Neolithic Çatalhöyük, [w:] *Assembling Çatalhöyük*, red. I. Hodder i A. Marciniak. (EAA Monograph Series: Themes in Contemporary Archaeology), 97-110.
93. **Carver M.**, 1999. Field Archaeology, [w:] *The Companion Encyclopedia of Archaeology*, vol. 1, red. G. Barker. London: Routledge.
94. **Cauvin J.**, 2000. *The birth of the gods and the origins of agriculture*. Cambridge: Cambridge University Press. [Cauvin J., 1994. *Naissance des divinités, naissance de l'agriculture: La révolution des symboles au Néolithique*. Paris :CNRS Éditions].
95. **Cauvin J., Aurenche O., Cauvin M.C. i Balkan-Altı N.** (red.), 1999. Cafer Höyük, [w:] *Neolithic in Turkey – The cradle of civilizations: New discoveries*, red. M. Özdoğan i N. Başgelen. İstanbul: Arkeoloji ve Sanat Yayınları, 87-103.
96. **Cessford C.**, 2001. A new dating sequence for Çatalhöyük, *Antiquity* 75 (290), 717-725.

97. **Cessford C.**, 2005a. Absolute Dating at Çatalhöyük, [w:] *Changing Materialities at Çatalhöyük: Reports from the 1995-99 Season*, red. I. Hodder. (Çatalhöyük Research Project Series 5; McDonald Institute Monographs / BIAA Monograph 39). Cambridge: McDonald Institute for Archaeological Research / London: British Institute of Archaeology at Ankara, 65-99.
98. **Cessford C.**, 2005b. Estimating the Neolithic population at Çatalhöyük, [w:] *Inhabiting Çatalhöyük: Reports from the 1995-99 Seasons*, red. I. Hodder. (Çatalhöyük Research Project Series 5; McDonald Institute Monographs / BIAA Monograph 38.). Cambridge: McDonald Institute for Archaeological Research / London: British Institute at Ankara, 323-326.
99. **Cessford C. i Near J.**, 2005. Fire, burning and pyrotechnology at Çatalhöyük, [w:] *Çatalhöyük Perspectives: Themes from the 1993-99 Seasons*, red. I. Hodder. (Çatalhöyük Research Project Series 6; McDonald Institute Monographs / BIAA Monograph 40). Cambridge: McDonald Institute for Archaeological Research / London: British Institute of Archaeology at Ankara., 171-182.
100. **Chapman J.**, 1989. The early Balkan village, [w:] *Neolithic of Southeastern Europe and Its Near Eastern Connections*, red. S. Bökönyi. Budapest: Varia ARchaeologica Hungarica II, 33-53.
101. **Chapman J.**, 1990. Social inequality on Bulgarian tells and the Varna problem, [w:] *The Social Archaeology of Houses*, red. R. Samson. Edinburgh: Edinburgh University Press, 49-92.
102. **Chapman J.**, 2000. *Fragmentation in Archaeology: People, Places and Broken Objects in the Prehistory of South Easter Europe*. London: Routledge.
103. **Chapman J. i Gaydarska B.**, 2007. *Parts and Wholes: Fragmentation in Prehistoric Context*. Oxford: Oxbow Books.
104. **Childe V.G.**, 1925. *The Dawn of European Civilization*. London: Gilbert & Rivington.
105. **Childe V.G.**, 1936. *Man makes himself*. London: Watts.
106. **Cipolla C.N.**, 2014. Practice Theory in Archaeology, [w:] *Encyclopeida of Global Archaeology*, red. C. Smith. New York, NY: Springer, 6109-6116.
107. **Clarke J.**, 2012. Decorating the Neolithic: An Evaluation of the Use of Plaster in the Enhancement of Daily Life in the Middle Pre-pottery Neolithic B of Southern Levant. *Cambridge Archaeological Journal* 22 (2), ?-?.
108. **Cohen M.N.**, 1979. *The food crisis in prehistory: overpopulation and the origins of agriculture*. New Haven / London: Yale University Press.
109. Colledge, S., Conolly, J., Shennan, S., 2004. *Archaeobotanical evidence for the spread of farming in the Eastern Mediterranean*. *Current Anthropology* 45 (Supplement): 35-58.
110. **Crouch D.P. i Johnson J.G.**, 2001. *Traditions in Architecture: Africa, America, Asia, and Oceania*. New York, NY / Oxford: Oxford University Press.
111. **Cutting M.**, 2005. The architecture of Çatalhöyük: Continuity, households and the lost upper levels. [w:] *Çatalhöyük Perspectives: Themes from the 1995-99 Seasons*, red. I. Hodder. (Çatalhöyük Research Project Series 6; McDonald Institute Monographs / BIAA Monograph 40). Cambridge: McDonald Institute for Archaeological Research / London: British Institute of Archaeology at Ankara, 151-170.
112. **Cutting M.**, 2006. Traditional architecture and social organisation: the agglomerated buildings of Aşıklı Höyük and Çatalhöyük in Neolithic Central Anatolia, [w:] *Domesticating Space: Construction, Community, and Cosmology in the Late Prehistoric Near East*, red. E.B. Banning i M. Chazan. (Studies in Early Near Eastern Production, Subsistence, and Environment 12). Berlin: ex oriente, 91-101

113. **Czerniak L., Kwiatkowska M., Marciniak A. i Pyzel J.**, 2001. The excavations of the TP (Team Poznań) Area in the 2001 season. *Çatalhöyük Research Project 2001 Archive Report*, http://www.catalhoyuk.com:8080/archive_reports/2001/index.html, 15.04.2017.
114. **Czerniak L. i Marciniak A.**, 2003. The Excavations of the TP (Team Poznan) Area in the 2003 Season. *Çatalhöyük Research Project 2003 Archive Report*, http://www.catalhoyuk.com:8080/archive_reports/2003/index.html, 15.04.2017.
115. **Czerniak L. i Marciniak A.**, 2004. Excavations of the TP Area. *Çatalhöyük Research Project 2004 Archive Report*, http://www.catalhoyuk.com:8080/archive_reports/2004/index.html, 15.04.2017.
116. **Czerniak L. i Marciniak A.**, 2005. TP Area. *Çatalhöyük Research Project 2005 Archive Report*, http://www.catalhoyuk.com:8080/archive_reports/2005/index_backup.html, 15.04.2017.
117. **Czerniak L. i Marciniak A.**, 2006. TP Area. *Çatalhöyük Research Project 2006 Archive Report*, http://www.catalhoyuk.com/downloads/Archive_Report_2006.pdf, 15.04.2017, 104-115.
118. **Czerniak L., Marciniak A. i Pyzel J.**, 2002. The excavations of the TP (Team Poznań) Area in the 2002 season. *Çatalhöyük Research Project 2002 Archive Report*, http://www.catalhoyuk.com:8080/archive_reports/2002/index.html, 15.04.2017.
119. **De Meester T.**, 1970. *Soils of the Great Konya Basin, Turkey*. Wageningen: Center for Agricultural Publishing and Documentation.
120. **Delage C.**, 2004. *The Last Hunter-Gatherers in the Near East*. (International Series 1320, British Archaeological Reports, Oxford).
121. **Doherty C.**, 2007. Clay sourcing: matching the materials and the landscape, *Çatalhöyük Research Project 2007 Archive Report*, http://www.catalhoyuk.com/downloads/Archive_Report_2007.pdf, 368-382.
122. **Doherty C.**, 2013. Sourcing Çatalhöyük's Clay, [w:] *Substantive technologies at Çatalhöyük: Reports from the 2000-2008 Seasons*. (Çatalhöyük Research Project Series 9; BIAA Monograph 48 / Monumenta Archaeologica 31). London: British Institute of Archaeology at Ankara / Los Angeles, CA: Cotsen Institute of Archaeology Press, 51-66.
123. **Dommasnes L.H.**, 2014. Gender, Feminist, and Queer Archaeologies: European Perspective, [w:] *Encyclopedia of Global Archaeology*, red. C. Smith. New York, NY: Springer, 2968-2980.
124. **Drągowski A.**, 2010. Charakterystyka i klasyfikacja gruntów antropogenicznych, *Przegląd Geologiczny* 58 (9/2), 868-872.
125. **Düring B.S.**, 2001. Social dimensions in the architecture of Neolithic Çatalhöyük. *Anatolian Studies* 51, 1-18.
126. **Düring B.S.**, 2003. Burials in Context: The 1960s Inhumations of Çatalhöyük East. *Anatolian Studies* 53, 1-15.
127. **Düring B.S.**, 2005. Building Continuity in the Central Anatolian Neolithic: Exploring the Meaning of Buildings at Aşıki Höyük and Çatalhöyük. *Journal of Mediterranean Archaeology* 18 (1), 3-29.
128. **Düring B.S.**, 2006. *Constructing Communities: Clustered Neighbourhood Settlements of the Central Anatolian Neolithic ca. 8500-5500 cal. BC*. (Rozprawa doktorska). Leiden: Nederlands Instituut voor het Nabije Oosten.
129. **Düring B.S.**, 2007. The Articulation of Houses at Neolithic Çatalhöyük, Turkey, [w:] *The Durable House: House Society Models in Archaeology*, red. R.A. Beck Jr. Center for Archaeological Investigations, Southern Illinois University Carbondale Occasional Papers 35. Carbondale, IL: Southern Illinois University Press, 130-135.

130. **Düring B.S.**, 2010. *The prehistory of Asia Minor: from complex hunter-gatherers to early urban societies*. Cambridge: Cambridge University Press.
131. **Düring B.S.**, 2011. Fortifications and Fabrications: Reassessing the Emergence of Fortifications in Prehistoric Asia Minor, [w:] *Correlates of Complexity. Essays in Archaeology and Assyriology Dedicated to Diederik J.W. Meijer in Honour of his 65th Birthday*, red. B.S. Düring, A. Wossink i P.M.M.G. Akkermans. Leiden: Nino Publications, 69-85.
132. **Düring B.S. i Marciniak A.**, 2006. Households and communities in the central Anatolian Neolithic. *Archaeological Dialogues* 12 (2), 165-187.
133. **Duru G.**, 2002. Some architectural indications for the origins of the Central Anatolian Neolithic, [w:] *The Neolithic of Central Anatolia: Internal Developments and External Relations during the 9th – 6th Millennia cal BC*, red. F.Gérard i L. Thissen, L. (Proceedings of the International CANew Table Ronde, Istanbul, 23-24 November 2001). Istanbul: EgeYayinlari, 171-180.
134. **Eastwood W.J., Roberts N. i Boyer P.**, 2007. Pollen analysis at Çatalhöyük. [w:] *Excavating Çatalhöyük: South, North and KOPAL Area reports from the 1995-99 seasons*, red. I. Hodder. (Çatalhöyük Research Project Series 3; McDonald Institute Monographs / BIAA Monograph 37). Cambridge: McDonald Institute for Archaeological Research / London: British Institute of Archaeology at Ankara, 573-580.
135. **Eddisford D.**, 2009. Building 79. *Çatalhöyük Research Project 2009 Archive Report*, http://www.catalhoyuk.com/downloads/Archive_Report_2009.pdf 18.09.2014, 19-24.
136. **Erdoğu B.**, 2009. West Trench 8, *Çatalhöyük Research Project 2009 Archive Report*, http://www.catalhoyuk.com/sites/default/files/media/pdf/Archive_Report_2009.pdf, 15.04.2017.
137. **Esin U. i Harmankaya S.**, 2007. Aşıklı Höyük, [w:] *Türkiye'de Neolitik Dönem*, red. M. Özdoğan i N. Başgelen. Istanbul: Arkeoloji ve Sanat, 255-272.
138. **Eteljorg H.** (red.), 2008. *Archaeological Computing*, Bryn Mawr.
139. **Facey W.**, 1997. *Back to earth: adobe building in Saudi Arabia*. Riyadh / London: Al-Turath / London Centre of Arab Studies.
140. **Farid S.**, 2000a. The excavation process at Çatalhöyük, [w:] *Towards Reflexive Method in Archaeology: The Example at Çatalhöyük*, red. I. Hodder. (Çatalhöyük Research Project Series 2; McDonald Institute Monographs / BIAA Monograph 28). Cambridge: McDonald Institute for Archaeological Research / London: British Institute of Archaeology at Ankara, 19-35.
141. **Farid S.**, 2007a. Introduction to the South Area Excavations, [w:] *Excavating Çatalhöyük: South, North and KOPAL Area reports from the 1995-99 seasons*, red. I. Hodder. (Çatalhöyük Research Project Series 3; McDonald Institute Monographs / BIAA Monograph 37). Cambridge: McDonald Institute for Archaeological Research / London: British Institute of Archaeology at Ankara., 41-58.
142. **Farid S.**, 2007b. Level X Relative Heights, buildings 23 & 18 and Building 9, [w:] *Excavating Çatalhöyük: South, North and KOPAL Area reports from the 1995-99 seasons*, red. I. Hodder. (Çatalhöyük Research Project Series 3; McDonald Institute Monographs / BIAA Monograph 37). Cambridge: McDonald Institute for Archaeological Research / London: British Institute of Archaeology at Ankara, 103-137.
143. **Farid S.**, 2007c. Level IX Relative Heights, Building 2, Buildings 22 & 16 and Building 17, [w:] *Excavating Çatalhöyük: South, North and KOPAL Area Reports from the 1995-99 Seasons*, red. I. Hodder. (Çatalhöyük Research Project Series 3; McDonald Institute Monographs / BIAA

- Monograph 37).Cambridge: McDonald Institute for Archaeological Research / London: British Institute of Archaeology at Ankara, 139-226.
144. **Farid S.**, 2007d. Level VI.B Space 160 and concluding remarks on the South Area Excavations. [w:] Hodder I. (red.) *ExcavatingÇatalhöyük: South, North and KOPAL Area Reports from the 1995-99 Seasons*, Çatalhöyük Research Project Series ?.MCDonald Institute Monograph ?, Cambridge: McDonald Institute of Archaeological Research / London: British Institute of Archaeology at Ankara, 339-344.
145. **Farid S.**, 2014a. Timelines: Phasing Neolithic Çatalhöyük, [w:] *Çatalhöyük Excavations: The 2000-2008 Seasons*, red. I. Hodder. (Çatalhöyük Research Project Series 7; BIAA Monograph 46 / Monumenta Archaeologica 29). London: British Institute of Archaeology at Ankara / Los Angeles, CA: Cotsen Institute of Archaeology Press, 91-130.
146. **Farid S.**, 2014b. Building 50, Spaces 112 and 231. [w:]Hodder I. (red.) *Çatalhöyük Excavations: the 2000-2008 Season*, Çatalhöyük Research Project Series 7. BIAA Monograph 46, London: British Institute at Ankara / Monumenta Archaeologica 29, Los Angeles, CA: Cotsen Institute of Archaeology Press: 229-244.
147. **Farid S.**, 2014c. The South Shelter Foundation Trenches, [w:] *Çatalhöyük Excavations: the 2000-2008 Seasons*, red. I. Hodder. (Çatalhöyük Research Project Series 7; BIAA Monograph 46 / Monumenta Archaeologica 29). London: British Institute of Archaeology at Ankara / Los Angeles, CA: Cotsen Institute of Archaeology Press, 247-281.
148. **Farid S.**, 2014d. Buildings 52/51, [w:] *Çatalhöyük Excavations: the 2000-2008 Seasons*, red. I. Hodder. (Çatalhöyük Research Project Series 7; BIAA Monograph 46 / Monumenta Archaeologica 29). London: British Institute of Archaeology at Ankara / Los Angeles, CA: Cotsen Institute of Archaeology Press, 359-398
149. **Farid S.**, 2014e. The North Shelter Foundation Trenches, [w:] *Çatalhöyük Excavations: the 2000-2008 Seasons*, red. I. Hodder. (Çatalhöyük Research Project Series 7; BIAA Monograph 46 / Monumenta Archaeologica 29). London: British Institute of Archaeology at Ankara / Los Angeles, CA: Cotsen Institute of Archaeology Press, 557-595.
150. **Farid S. i Hodder I.**, 2014. Excavation, Recording and Sampling Methodologies, [w:] I. Hodder (red.), *Çatalhöyük Excavations: The 2000-2008 Seasons*, British Institute at Ankara Monograph 46, Monumenta Archaeologica 29, Cotsen Institute of Archaeology Press, 35-51.
151. **Filipowicz P., Harabasz K. i Hordecki J.**, 2014. Excavations in the TPC Area. *Çatalhöyük Research Project 2014 Archive Report*.
http://www.catalhoyuk.com/downloads/Archive_Report_2014.pdf, 6.04.2015, 72-79.
152. **Finlayson B., Mithen S.J., Najjar M., Smith S., Maričević D., Pankhurst N. i Yeomans L.**, 2011. Architecture, sedentism, and social complexity at Pre-Pottery Neolithic a WF16, Southern Jordan.*Proceedings of the National Academy of Science of th United States of America* 108 (20): 8183-8188
153. **Flannery K.V.**, 1969. Origins and ecological effects of early domestication in Iran and the Near East, [w:] *The domestication and exploitation of plants and animals*, red. P.J. Ucko i G.W. Dimbleby.Chicago, IL: Aldine Publishing, 73-100.
154. **Flannery K.V.**, 1972. The origins of the village as a settlement type in Mesoamerica and the Near East: a comparative study, [w:] *Man, settlement and urbanism*, red. R. Tringham, P.J. Ucko i G.W. Dimbleby. London: Duckworth, 23-53.
155. **Flannery K.V.**, 2002. The origins of the village revisited: From nuclear to extended households, *American Antiquity* 67 (2), 417-433.

156. **Flannery K.V. i Winter M.C.**, 1976. Analyzing Household Activities, [w:] *The Early Mesoamerican Village*, red. K.V. Flannery. New York, NY: Academic Press, 34-49.
157. **Forte M., Dell'Unto N., Haddow S., Lercari N. i Mazzucato C.**, 2015. Interpretation Process at Çatalhöyük Using 3D, [w:] *Assembling Çatalhöyük*, red. I. Hodder i A. Marciniak. EAA Monograph Series: Themes in Contemporary Archaeology, 43-58.
158. **Frazik J.T.**, 1969. Analiza materiału, techniki i stratygrafii murów jako metoda badawcza dzieł architektury zabytkowej, *Biuletyn Historii Sztuki* 31, 121-123.
159. **French D.**, 1998. Canhasan Sites: Stratigraphy and structures. (BIAA Monograph 23). London: British Institute of Archaeology at Ankara.
160. **Ganis M.**, 2011. The Intuitive Builders of Çatalhöyük, *Çatalhöyük Research Project 2011 Archive Report*, http://www.catalhoyuk.com/sites/default/files/media/pdf/Archive_Report_2011.pdf, 11.02.2017, 127-138.
161. **García-Suárez A.**, 2015. *Report on the microstratigraphy of Sp.544, GDN Area, Çatalhöyük*. Nieopublikowany raport archiwalny.
162. **Garfinkel Y.**, 2006. The Social Organization at Neolithic Sha'ar Hagolan: The Nuclear Family, the Extended Family and the Community, [w:] *Domesticating Space; Construction, Community, and Cosmology in the Late Prehistoric Near East*, trf. E.B. Banning, M. Chazan. Senepse 12, Berlin: ex oriente, 103-111.
163. **Garfinkel Y. i Miller M.A.**, 2002. *Sha'ar Hagolan 1: Neolithic Art in Context*. Oxford: Oxbow Books
164. **Garstang J. i Garstang J.B.E.**, 1948. *The Story of Jericho*. London: Marshal, Morgan & Scott.
165. **Gebel H.G.K.**, 1997. Central to what? Remarks on the settlement patterns of the LPPNB mega-sites in Jordan, [w:] *Central Settlements in Neolithic Jordan*, red. H.D. Bienert, H.G.K. Gebel i R. Neef. (Studies in Early Near Eastern Production, Subsistence, and Environment 5). Berlin: ex oriente.
166. **Gebel H.G.K.**, 2004. There was no center: The polycentric evolution of the Near Eastern Neolithic. *Neo-Lithics* 1 (4), 28-32.
167. **Gebel H.G.K., Nissen H.J. i Zaid Z.** (red.), 2006. *Basta II: The Architecture and Stratigraphy*, Berlin: ex oriente.
168. **Gérard F.**, 2002. Transformations and Societies in the Neolithic of Central Anatolia, [w:] Gérard, F., Thissen, L. (red.), *The Neolithic of Central Anatolia: Internal Developments and External Relations during the 9th – 6th Millennia cal BC – Proceedings of the International CANew Table Ronde, Istanbul, 23-24 November 2001*, Istanbul: EgeYayinlari, 105-117.
169. **Gérard F. i Thissen L.** (red.), 2002. *The Neolithic of Central Anatolia: Internal Developments and External Relations during the 9th – 6th Millennia cal BC*. (Proceedings of the International CANew Table Ronde: Istanbul, 23-24 November 2001). Istanbul: Ege Yayinlari.
170. **Gibson C., Hamilton N. i Last J.**, 2000. Excavations at Çatalhöyük West, *Çatalhöyük Research Project 2000 Archive Report*, http://www.catalhoyuk.com:8080/archive_reports/2000/ar00_05.html
171. **Gibson C. i Last J.**, 2001. West Mound Excavations 2001, *Çatalhöyük Research Project 2000 Archive Report*, http://www.catalhoyuk.com:8080/archive_reports/2001/ar01_05.html
172. **Giddens A.**, 1984. *The Constitution of Society: Outline of the Theory of Structuration*. Cambridge: Polity Press.
173. **Gilchrist R.**, 2000. Archaeological biographies: realizing human lifecycles, courses and histories. *World Archaeology: Human Lifecycles* 32 (3), 326-327.

174. **Gillespie S.D.**, 2007. When is a House? [w:] *The Durable House: house society models in Archaeology*, red. R.A. Beck. Carbondale: Southern Illinois University, 25-50.
175. **Glinicki S.P.**, 1990. *Geotechnika budowlana*, cz. I. Białystok: Wydawnictwa Politechniki Białostockiej.
176. **Gnivecki P.**, 1987. On the quantitative derivation of household spatial organisation from archaeological residues in Ancient Mesopotamia, [w:] *Method and Theory for Activity Area Research: An Ethnoarchaeological Approach*, red. S. Kent. New York, NY: Columbia University Press, 176-235.
177. **Goldberg P. i Macphail R. I.**, 2006. *Practical and Theoretical Geoarchaeology*. Cambridge: Wiley-Blackwell Publishing.
178. **Gopher A. i Gophna R.**, 1993. Cultures of the eighth and seventh millennia B.P. in the southern Levant: a Review for the 1990's. *Journal of World Prehistory* 7 (3), 297-353.
179. **Goring-Morris N., Belfer-Cohen A.**, 1998. The articulation of cultural processes and late quaternary environmental changes in Cisjordan. *Paléorient* 23 (2): 71-93.
180. **Goring-Morris N. i Belfer-Cohen A.**, 2012. Houses and Households: a Near Eastern Perspective, [w:] *Tracking the Neolithic House in Europe: Sedentism, Architecture and Practice*, red. D. Hoffman i J. Smyth. New York, NY: Springer Science and Business Media, 19-44.
181. **Gormley M.**, 2005. Use of B.C and A.D. faces changing times: Some teachers and historians are using alternatives to Christian-based designations. *Associated Press* 24.24.2005, <http://www.chron.com/news/nation-world/article/Use-of-B-C-and-A-D-faces-changing-times-1643198.php>, 15.04.2017.
182. **Gosden C. i Marshall Y.**, 1999. The Cultural Biography of Objects, *World Archaeology* 31 (2): 169-178.
183. **Harris E.C.**, 1989. *Zasady stratygrafii archeologicznej*. Seria Biblioteka Muzealnictwa i Ochrony Zabytków, Warszawa: Ministerstwo Kultury i Sztuki / Generalny Konserwator Zabytków [Harris E.C., 1979. *Principles of Archaeological Stratigraphy*. Series: Studies in archaeological science, London: Academic Press.]
184. **Harrison K., Martin V., Webster B.**, 2013. Structural Fires at Çatalhöyük, [w:] *Substantive Technologies at Çatalhöyük: Reports from the 2000-2008 Seasons*, red. I. Hodder. (Çatalhöyük Research Project Series 9; BIAA Monograph 48 / Monumenta Archaeologica 31). London: British Institute of Archaeology at Ankara / Los Angeles, CA: Cotsen Institute of Archaeology Press, 137-146.
185. **Hauptmann H.**, 1993. Ein Kultgebäude aus Nevalı Çori, [w:] Between the rivers and over the mountains, red. M. Frangipane, H. Hauptmann, M. Liverani, P. Matthiae i M. Mellink. Festschrift für Alba Palmieri, 37-69.
186. **Hauptmann H.**, 1999. Frühneolithische Steingebäude in Südwestasien, [w:] *Studien zu Megalithik. Forschungsstand und ethnoarchäologische Perspektiven*, red. K.W. Beinhauer, G. Cooney, C.E. Guksch i S. Kus. (Beiträge zur Ur- Und Frühgeschichte Mitteleuropas 21), 227-238.
187. Hauptmann, H., Schmidt, K., 2000. Frühe Tempel – frühe Götter? [w:] Hauptmann, H., K. Schmidt (red.), *Archäologische Entdeckungen. Die Forschungen des Deutschen Archäologischen Instituts im 20. Jahrhundert*, 258-266.
188. **Hayden B.**, 1990. Nimrods, Piscators, Pluckers, and planters: The emergence of food production. *Journal of Anthropological Archaeology* 9 (1), 31-69.
189. **Heinrich E. i Seidl U.**, 1969. Zur Siedlungsform von Çatal Hüyük, *Archaeologischer Anzeiger* 84 (2), 113-119.

190. **Hendon J.A.**, 1996. Archaeological approaches to the organization of domestic labour: Household practice and domestic relations, *Annual Review of Anthropology* 25, 45-61.
191. **Hendon J.A.**, 2000. Having and holding: Storage, memory, knowledge, and social relations. *American Anthropologist* 102, 42-43.
192. **Hendon J.A. i Joyce R.A.** (red.), 2004. *Mesoamerican Archaeology: Theory and Practice*. Oxford: Blackwell.
193. **Hillier B. i Hanson J.**, 1984. *The Social Logic of Space*. Cambridge: Cambridge University Press.
194. **Hillson S.W., Spencer Larsen C., Boz B., Pilloud M.A., Sadvari J.W., Agarwal S.C., Glencross B., Beauchesne P., Pearson J.A., Ruff C.B., Garofalo E.M., Hager LD. i Haddow S.D.**, 2013. The Human Remains I: Interpreting Community Structure, Health and Diet in Neolithic Çatalhöyük, [w:] *Humans and Landscapes of Çatalhöyük: Reports from the 2000-2008 Seasons*, red. I. Hodder. (Çatalhöyük Research Project Series 8; BIAA Monograph 47 / Monumenta Archaeologica 30). London: British Institute of Archaeology at Ankara / Los Angeles, CA: Cotsen Institute of Archaeology Press, 339-396.
195. **Hodder I.**, 1982. *Symbols in Action*, Cambridge: Cambridge University Press.
196. **Hodder I.**, 1986. *Reading the past*, Cambridge: Cambridge University Press.
197. **Hodder I.**, 1990. *The domestication of Europe: structure and contingency in Neolithic societies*. Cambridge: Wiley-Blackwell.
198. **Hodder I.**, 1994. Architecture and meaning: The example of Neolithic houses and tombs. [w:] Parker Pearson M., Richards C. (red.), *Architecture and Order: Approaches to Social Space*. London: Routledge, 73-86.
199. **Hodder I.**, 1996a. Re-opening Çatalhöyük, [w:] *On the Surface: Çatalhöyük 1993-95*, red. I. Hodder. (Çatalhöyük Research Project Series 1; McDonald Institute Monographs / BIAA Monograph 22). Cambridge: McDonald Institute for Archaeological Research / London: British Institute of Archaeology at Ankara: 1-18.
200. **Hodder I.**, 1998. The domus. Some problems reconsidered, [w:] *Understanding the Neolithic of North-Western Europe*, red. M. Edmonds M. i C. Richards. Glasgow: Cruithne Press, 84-100.
201. **Hodder I.**, 1999. *The Archaeological Process: An Introduction*, Cambridge: Wiley-Blackwell.
202. **Hodder I.**, 2000a. Developing a Reflexive Method in Archaeology, [w:] *Towards Reflexive Method in Archaeology: The Example at Çatalhöyük*, red. I. Hodder. (Çatalhöyük Research Project Series 2; McDonald Institute Monographs / BIAA Monograph 28). Cambridge: McDonald Institute for Archaeological Research / London: British Institute of Archaeology at Ankara, 3-14.
203. **Hodder I.**, 2006. *The Leopard's Tale: Revealing the Mysteries of Çatalhöyük*. London: Thames & Hudson.
204. **Hodder I.**, 2007a. Çatalhöyük in the Context of the Middle Eastern Neolithic. *Annual Review of Anthropology* 36, 105-120.
205. **Hodder I.**, 2009. Upper stories at Çatalhöyük. (BIAA Research Reports 2009). *Anatolian Archaeology* 15, 19-20.
206. **Hodder I.**, 2012a. *Entangled: An Archaeology of the Relationships between Humans and Things*, Cambridge: Wiley-Blackwell.
207. **Hodder I.**, 2012b. 2012 Season Review: Çatalhöyük is added to UNESCO World Heritage List. *Çatalhöyük Research Project 2012 Archive Report*, http://www.catalhoyuk.com/downloads/Archive_Report_2012.pdf, 15.04.2017, 1-6.

208. **Hodder I.**, 2016a. More on history houses at Çatalhöyük: a response to Carleton et al., *Journal of Archaeological Science* 67: 1-6.
209. **Hodder I.**, 2016b. Ups and Downs at Çatalhöyük 2016, *Çatalhöyük Research Project 2016 Archive Report*, http://www.catalhoyuk.com/downloads/Archive_Report_2016.pdf, 6.02.2017, 7-11.
210. **Hodder I.** (red.), 1996b. *On the Surface: Çatalhöyük 1993-95*. (Çatalhöyük Research Project Series 1; McDonald Institute Monographs / BIAA Monograph 22). Cambridge: McDonald Institute for Archaeological Research / London: British Institute of Archaeology at Ankara.
211. **Hodder I.** (red.), 2000b. *Towards Reflexive Method in Archaeology: The Example at Çatalhöyük*. (Çatalhöyük Research Project Series 2; McDonald Institute Monographs / BIAA Monograph 28). Cambridge: McDonald Institute for Archaeological Research / London: British Institute of Archaeology at Ankara.
212. **Hodder I.** (red.), 2005a. *Inhabiting Çatalhöyük: Reports from the 1995-99 seasons*. (Çatalhöyük Research Project Series 4; McDonald Institute Monographs / BIAA Monograph 38). Cambridge: McDonald Institute for Archaeological Research / London: British Institute of Archaeology at Ankara.
213. **Hodder I.** (red.), 2005b. *Changing Materialities at Çatalhöyük: Reports from the 1995-99 Seasons*. (Çatalhöyük Research Project Series 5; McDonald Institute Monographs / BIAA Monograph 39). Cambridge: McDonald Institute for Archaeological Research / London: British Institute of Archaeology at Ankara.
214. **Hodder I.** (red.), 2005c. *Çatalhöyük Perspectives: Themes from the 1995-99 Seasons*. (Çatalhöyük Research Project Series 6; McDonald Institute Monographs / BIAA Monograph 40). Cambridge: McDonald Institute for Archaeological Research / London: British Institute of Archaeology at Ankara.
215. **Hodder I.** (red.), 2007b. *Excavating Çatalhöyük: South, North and KOPAL Area reports from the 1995-99 seasons*. (Çatalhöyük Research Project Series 3; McDonald Institute Monographs / BIAA Monograph 37). Cambridge: McDonald Institute for Archaeological Research / London: British Institute of Archaeology at Ankara.
216. **Hodder I.** (red.), 2010. *Religion in the Emergence of Civilization: Çatalhöyük as a Case Study*. Cambridge: Cambridge University Press.
217. **Hodder I.** (red.), 2013a. *Humans and Landscapes of Çatalhöyük: Reports from the 2000-2008 Seasons*. (Çatalhöyük Research Project Series 8; BIAA Monograph 47 / Monumenta Archaeologica 30). London: British Institute of Archaeology at Ankara / Los Angeles, CA: Cotsen Institute of Archaeology Press.
218. **Hodder I.** (red.), 2013b. *Substantive technologies at Çatalhöyük: Reports from the 2000-2008 Seasons*. (Çatalhöyük Research Project Series 9; BIAA Monograph 48 / Monumenta Archaeologica 31). London: British Institute of Archaeology at Ankara / Los Angeles, CA: Cotsen Institute of Archaeology Press.
219. **Hodder I.** (red.), 2014. *Çatalhöyük Excavations: The 2000-2008 Seasons*. (Çatalhöyük Research Project Series 7; BIAA Monograph 46 / Monumenta Archaeologica 29). London: British Institute of Archaeology at Ankara / Los Angeles, CA: Cotsen Institute of Archaeology Press.
220. **Hodder I. i Cessford C.**, 2004. Daily Practice and Social Memory at Çatalhöyük. *American Antiquity* 69 (1), 17-40.
221. **Hodder I. i Farid S.**, 2014. Questions, History of Work and Summary of Results, [w:] *Çatalhöyük Excavations: The 2000-2008 Seasons*, red. I. Hodder. (Çatalhöyük Research Project Series 7;

- BIAA Monograph 46 / Monumenta Archaeologica 29). London: British Institute of Archaeology at Ankara / Los Angeles, CA: Cotsen Institute of Archaeology Press, 1-34.
222. **Hodder I. i Meskell L.**, 2011. a “curious and sometimes a trifle macabre artistry”: Some aspects of symbolism in Neolithic Turkey. *Current Anthropology* 52 (2), 235-263.
223. **Hodder I. i Pels P.**, 2010. History houses: a new interpretation of architectural elaboration at Çatalhöyük, [w:] *Religion in the Emergence of Civilization: Çatalhöyük as a Case Study*, red. I. Hodder. Cambridge: Cambridge University Press, 163-183.
224. **Hofmann D. i Smyth, J.**, 2013. *Tracking the Neolithic House in Europe: Sedentism, Architecture and Practice*, Seria: One World Archaeology, New York, NY: Springer-Verlag.
225. **Hole F.**, 1984. a reassessment of the Neolithic Revolution. *Paléorient* 10: 49-60.
226. **Hole F.**, 2000. Is size important? Function and hierarchy in Neolithic settlements. [w:] I. Kuijt (red.), *Life in Neolithic Farming Communities: Social Organisation, Identity and Differentiation*. New York, NY: Kluwer Academic / Plenum, 191-210.
227. **Hole F.**, 2000. Is size important? Function and hierarchy in Neolithic settlements, [w:] *Life in Neolithic farming communities: social organisation, identity and differentiation*, red. I. Kuijt.?: Kluwer Academic / Plenum, 191-210.
228. **Hoskins J.**, 2006. Agency, Biography and Objects, [w:] *Sage Handbook of Material Culture*, red. C. Tilley, W. Keane, S. Kuechler, M. Rowlands i P. Spyer. London: Routledge, 74-84.
229. **Houben H. i Guillaud H.**, 1994. *Earth Construction: a Comprehensive Guide, Earth Construction Series*. London: Intermediate Technology Publication.
230. **Hours F.**, 1994. *Atlas des sites du proche orient (14000 – 5700 BP)*. Lyon: Maison de l’Orient méditerranéen.
231. **Hours, F., Aurenche, O., Cauvin, J., Cauvin, M.C., Copeland, L., Sanlaville, P.**, 1994. *Atlas des Sites du Proche Orient (14000-5700 BP)*. Paris-Lyon: Maison de l’Orient et Diffusion de Bocard.
232. **House M.**, 2014a. The Sequence of Buildings 67 and 47, [w:] *Çatalhöyük Excavations: the 2000-2008 Seasons* red. I. Hodder. (Çatalhöyük Research Project Series 7; BIAA Monograph 46 / Monumenta Archaeologica 29). London: British Institute of Archaeology at Ankara / Los Angeles, CA: Cotsen Institute of Archaeology Press, 303-312.
233. **House M.**, 2014b. Building 77, [w:] *Çatalhöyük Excavations: The 2000-2008 Seasons*, red. I. Hodder. (Çatalhöyük Research Project Series 7; BIAA Monograph 46 / Monumenta Archaeologica 29). London: British Institute of Archaeology at Ankara / Los Angeles, CA: Cotsen Institute of Archaeology Press,
234. **Hutchinson S.E.**, 2000. Identity and substance: The broadening bases of relatedness among the Nuer of southern Sudan, [w:] *Cultures of Relatedness: New Approaches to the Study of Kinship*, red. J. Carsten. Cambridge: Cambridge University Press, 55-72.
235. **Iamoni M.** (red.), 2016. Trajectories of complexity: Socio-economic dynamics in Upper Mesopotamia in the Neolithic and Chalcolithic periods. *Studia Chaburensia* 6.
236. **Jenkins E.**, 2005. Çatalhöyük Microfauna: Preliminary Results and Interpretations, [w:] *Inhabiting Çatalhöyük: Reports from the 1995-99 seasons*, red. I. Hodder. (Çatalhöyük Research Project Series 4; McDonald Institute Monographs / BIAA Monograph 38). Cambridge: McDonald Institute for Archaeological Research / London: British Institute of Archaeology at Ankara, 111-116.
237. **Jones A.**, 2005. Lives in fragments? Personhood and the European Neolithic, *Journal of Social Archaeology* 5: 193-224.

238. **Joyce R.A.**, 2000. Heirlooms and Houses: Materiality and Social Memory, [w:] *Beyond Kinship: Social and Material Reproduction in House Societies*, red. R.A. Joyce i S.D. Gillespie S.D. Philadelphia, PA: University of Pennsylvania Press, 189-212.
239. **Joyce R.A. i Gillespie S.D.** (red.), 2000. *Beyond Kinship: Social and Material Reproduction in House Societies*. Philadelphia, PA: University of Pennsylvania Press.
240. **Kaufman D.**, 1989. Observation on the Geometric Kebaran: a view from Neve David. [w:] *Investigations in South Levantine Prehistory*, red. O. Bar-Yosef i B. Vandermeersch. Oxford: BAR International Series 497, 275-285.
241. **Keefe L.**, 2005. *Earth Building: Methods and materials, repair and conservation*. New York, NY: Routledge.
242. **Kent S.**, 1990. Activity areas and architecture: An interdisciplinary view of the relationship between use of space and domestic built environments. [w:] *Domestic Architecture and the Use of Space: An Interdisciplinary Cross-Cultural Study*, red. S. Kent. Cambridge: Cambridge University Press, 1-8.
243. **Kenyon K.M.**, 1957. *Digging Up Jericho*, London: Benn.
244. **Kenyon K.M. i Holland T.**, 1981. *Excavations at Jericho: The architecture and stratigraphy of the Tell*. London: British School of Archaeology in Jerusalem.
245. **Kinzel M.**, 2014. *Am Beginn des Hausbaus: Studien zur PPNB-Architektur von Shkārāt Msaied und Ba'ja in der Petra-Region, SüdJordanien*. (Studies in early Near Eastern production, subsistence, and environment 17). Berlin: ex oriente.
246. **Kinzel M. i Barański M.Z.**, 2015. Misunderstood buildings? Or What Neolithic Architecture can actually tell us about the Neolithic, Referat wygłoszony podczas konferencji *From Caucasus to the Arabian Peninsula: studying domestic spaces in the Neolithic*, Paryż, 16.10.2015.
247. **Kirkbride D.**, 1966. Five Seasons at the Pre-pottery Neolithic Village of Beidha in Jordan. *Palestine Exploration Quarterly*, 8-72.
248. **Kirkbride D.**, 1968. Beidha: Early Neolithic Village Life South of the Dead Sea. *Antiquity* 42: 263-274.
249. **Koutsadelis C.**, 2007. Mortuary Practices in the Process of Levantine Neolithisation, BAR International, British Archaeological Reports / Hadrian.
250. **Köhler-Rollefson I. i Rollefson G.O.**, 1990. The Impact of Neolithic Subsistence Strategies on the Environment: The Case of 'Ain Ghazal, Jordan, [w:] *Man's Role in the Shaping of the Eastern Mediterranean Landscape*, red. S. Bottema S., G. Entjes-Nieborg i W. Van Zeist. Rotterdam: Balkema, 3-14.
251. **Kuijt I.**, 2000. People and Space in Early Agricultural Villages: Exploring Daily Lives, Community Size, and Architecture in the Late Pre-Pottery Neolithic. *Journal of Anthropological Archaeology* 19, 75-102.
252. **Kuijt I.**, 2001. Place, death, and the transmission of social memory in early agricultural communities of the Near Eastern Pre-Pottery Neolithic, [w:] *Social memory, identity, and death: intradisciplinary perspectives on mortuary rituals*, red. M.S. Chesson M.S. (American Anthropological Association Archaeology Division 10). Washington D.C.: 80-99.
253. **Kuijt I.**, 2008. The Regeneration of Life: Neolithic Structures of Symbolic Remembering and Forgetting. *Current Anthropology* 49 (2), 171-197.
254. **Kuijt I.**, 2009. What do we really know about food storage, surplus, and feasting in preagricultural communities? *Current Anthropology* 50 (5), 641-644.

255. **Kuijt I. i Finlayson B.**, 2009. Evidence for food storage and predomestication granaries 11,000 years ago in the Jordan Valley. *Proceedings of the National Academy of Science* 106 (27), 10966-10970.
256. **Kuijt I. i Goring-Morris N.**, 2002. Foraging, Farming, and Social Complexity in the Pre-Pottery Neolithic of the Southern Levant: a Review and Synthesis. *Journal of World Prehistory* 16 (4), 361-440.
257. **Kuijt, I.**, 2009. Neolithic Skull Removal: Enemies, Ancestors, and Memory. *Paléorient* 35 (1): 117-120.
258. **Kuijt I., Guerrero E., Molist M. i Anfruns J.**, 2011. The changing Neolithic household: Household autonomy and social segmentation - Tell Halula, Syria. *Journal of Anthropological Archaeology* 30 (4), 502-522.
259. **Kunstadter P.**, 1984. Cultural ideals, socioeconomic change and household composition: Karen, Lua' Hmong, and Thai in northwestern Thailand. [w:] Netting R. McC, Wilk R.R., Arnould E.J. (red.), *Households: Comparative and Historical Studies of the Domestic Group*. Berkeley, CA: University of California Press, 299-329.
260. **Kuzucuoğlu C.**, 2002. The environmental frame in central Anatolia from the 9th to the 6th millennia cal BC, [w:] *The Neolithic of Central Anatolia: Internal Developments and External Relations during the 9th-6th Millennia cal BC*, red. F. Gérard i L. Thissen. Istanbul: EgeYayınları, 33-58.
261. **Kwiatkowska M.**, 2009. Byzantine and Muslim Cemeteries at Çatalhöyük: An outline, [w:] *Archaeology of the countryside in Medieval Anatolia*, red. T. Vorderstrasse i J. Roodenberg. (Pihans 113.) Leiden: Netherlands Institute for the Near East, 129-138.
262. **LaMotta V.M. i Schiffer M.B.**, 1999. Formation processes in house floor assemblages, [w:] *The Archaeology of Household Activities*, red. P.M. Allison P.M. London: Routledge, 19-29.
263. **Lambert H.**, 2000. Sentiment and substance in North Indian forms of relatedness, [w:] *Cultures of Relatedness: New Approaches to the Study of Kinship*, red. J. Carsten. Cambridge: Cambridge University Press, 73-89.
264. **Last J.**, 1998. A Design for Life: Interpreting the Art of Çatalhöyük, *Journal of Material Culture* 3 (3), 355-378.
265. **Last J.**, 2005. Art, [w:] *Çatalhöyük Perspectives: Themes from the 1995-99 Seasons*, red. I. Hodder. *Çatalhöyük Perspectives: Themes from the 1995-99 Seasons*. (Çatalhöyük Research Project Series 6; McDonald Institute Monographs / BIAA Monograph 40). Cambridge: McDonald Institute for Archaeological Research / London: British Institute of Archaeology at Ankara., 197-208.
266. **Lechevalier M.**, 1978. *Abou Gosh et Beisamoun, Deux Gisements du VII^e Millénaire avant l'ère Chrétienne en Israël*. (Mémoires et Travaux du Centre de Recherches Préhistoriques Français de Jérusalem 2). Paris: Association Paléorient.
267. **Lévi-Strauss C.**, 1969. *Myśl nieoswojona*, seria Biblioteka socjologiczna, Warszawa: PWN [Lévi-Strauss C., 1962. *La pensée sauvage*
268. **Lévi-Strauss C.**, 1978. *Myth and Meaning*, Routledge & Kegan Paul, U.K, Taylor & Francis Group.
269. **Lévi-Strauss C.**, 1985. *Drogi masek*. Łódź: Wydawnictwo Łódzkie. [Lévi-Strauss C., 1975. *Le voie des masques*. Genève : A. Skira].
270. **Lévi-Strauss C.**, 1987. *Anthropology and Myth: Lectures 1951-1982*. Oxford: Blackwell.
271. **Lichter C.** (red.), 2007. *Vor 12.000 Jahren in Anatolien. Die ältesten Monumente der Menschheit*. Stuttgart: Konrad TheissVerlag.

272. **Lloyd S. i Müller H.W.**, 2004. *History of World Architecture: Ancient Architecture*. Milano: ElectaArchitecture. [Lloyd S., Müller H.W. i Martin, R., 1972. *Architettura mediterranea preromana*. Milano: Electa].
273. **Love S.**, 2012. The Geoarchaeology of Mudbricks in Architecture: a Methodological Study from Çatalhöyük, Turkey, *Geoarchaeology: An International Journal* 27, 140-156.
274. **Love S.**, 2013. An Archaeology of Mudbrick Houses from Çatalhöyük, [w:] *Substantive Technologies at Çatalhöyük: Reports from the 2000-2008 Seasons*, red. I. Hodder. (Çatalhöyük Research Project Series 9; BIAA Monograph 48 / Monumenta Archaeologica 31). London: British Institute of Archaeology at Ankara / Los Angeles, CA: Cotsen Institute of Archaeology Press, 81-96.
275. **Lubbock J.**, 1865. *Pre-historic times, as illustrated by ancient remains, and the manners and customs of modern savages*. London: Williams & Norgate.
276. **Ławecka D.**, 2003. *Wstęp do archeologii*. Warszawa / Kraków: PWN.
277. **Mahasneh H.**, 1995. Es-Sifiyia, a Pre-Pottery Neolithic Site in Wadi Mujib, Jordan. Referat wygłoszony na: 6th International Conference on the History and Archaeology of Jordan, Turyn, 5-10.06.1995.
278. **Makać W. i Urbaniak-Krzysztofiak D.**, 2004. *Metody opisu statystycznego*. Gdańsk: Wydawnictwo Uniwersytetu Gdańskiego.
279. **Marciniak A.**, 2008. Communities, households and animals. Convergent developments in Central Anatolian and Central European Neolithic, *Documenta Praehistorica* XXXV: 93-109.
280. **Marciniak A., Asouti E., Doherty C. i Henton E.**, 2015a. The Nature of Household in the Upper Levels at Çatalhöyük: Smaller, More Dispersed, and More Independent Acquisition, Production, and Consumption Unit, [w:] *Assembling Çatalhöyük*, red. I. Hodder i A. Marciniak. (EAA Themes in Contemporary Archaeology 1.). Leeds: Maney Publishing, 151-165.
281. **Marciniak A., Barański M.Z., Bayliss A., Czerniak L., Goslar T., Southon J. i Taylor R.E.**, 2015b. Fragmenting times: Interpreting a Bayesian chronology for the Late Neolithic occupation of Çatalhöyük East, Turkey. *Antiquity* 89, 154-176.
282. **Marciniak A. i Czerniak L.**, 2007a. Social transformation in the Late Neolithic and the Early Chalcolithic periods in central Anatolia. *Anatolian Studies* 57, 115-130.
283. **Marciniak A. i Czerniak L.**, 2007b. TP Area. *Çatalhöyük Research Project 2007 Archive Report*, http://www.catalhoyuk.com/downloads/Archive_Report_2007.pdf, 15.04.2017, 113-123.
284. **Marciniak A. i Czerniak L.**, 2008. TP Area. *Çatalhöyük Research Project 2008 Archive Report*, http://www.catalhoyuk.com/downloads/Archive_Report_2008.pdf, 15.04.2017, 73-82.
285. **Marciniak A. i Czerniak L.**, 2012. Çatalhöyük unknown: The late sequence on the East Mound, [w:] *Proceedings of the 7th International Congress on the Archaeology of the Ancient Near East. Volume I: Mega-cities and mega-sites*, red. R. Matthews i J. Curtis. (The archaeology of consumption and disposal, landscape, transport and communication). Wiesbaden: Harrassowitz, 3-16.
286. **Marciniak A. i Czerniak L.** (w przygotowaniu). *The TP (Team Poznan) Area*.
287. **Marciniak A., Dembowski M., Hordecki J. i Stosik W.**, 2016. Excavations in the TPC Area. *Çatalhöyük Research Project 2016 Archive Report*, http://www.catalhoyuk.com/downloads/Archive_Report_2016.pdf 18.09.2016, 73-84.
288. **Marciniak A., Filipowicz P. i Mickel A.J.**, 2012. The excavations of the TPC Area in the 2012 season, *Çatalhöyük Research Project 2012 Archive Report*, http://www.catalhoyuk.com/downloads/Archive_Report_2012.pdf 18.09.2014, 61-75.

289. **Marciniak A., Filipowicz P., Johansson E. i Mickel A.J.**, 2013. The excavations of the TPC Area in the 2013 season. *Çatalhöyük Research Project 2013 Archive Report*, http://www.catalhoyuk.com/downloads/Archive_Report_2013.pdf 18.09.2014, 74-93.
290. **Marciniak A., Filipowicz P., Hordecki J. i Pettersson P.E.**, 2015c. Excavations in the TPC Area. *Çatalhöyük Research Project 205 Archive Report*, http://www.catalhoyuk.com/downloads/Archive_Report_2015.pdf 18.09.2014, 72-83.
291. **Massalski R.**, 1982a. Graficzna metoda badania zabytkowych murów, *Zeszyty Naukowe Politechniki Gdańskiej* 347, Architektura XXII, 101-114.
292. **Massalski R.**, 1982b. Problemy metodologiczne badań architektoniczno-archeologicznych, *Zeszyty Naukowe Politechniki Gdańskiej* 347, Architektura XXII, 115-157.
293. **Matheson C.D i Loy T.H.**, 2001. Identification of 9 400-year-old Human Skull Samples from Cayönü Tepesi, Turkey. *Journal of Archaeological Science* 28, 569-575.
294. **Matthews R.**, 1996. Surface Scraping and Planning, [w:] *On the Surface: Çatalhöyük 1993-95*, red. I. Hodder. (Çatalhöyük Research Project Series 1; McDonald Institute Monographs / BIAA Monograph 22). Cambridge: McDonald Institute for Archaeological Research / London: British Institute of Archaeology at Ankara, 79-99.
295. **Matthews W.**, 2005a. Micromorphological and Microstratigraphic Traces of Uses and Concepts of Space, [w:] *Inhabiting Çatalhöyük: Reports from the 1995-99 seasons*, red. I. Hodder. (Çatalhöyük Research Project Series 4; McDonald Institute Monographs / BIAA Monograph 38). Cambridge: McDonald Institute for Archaeological Research / London: British Institute of Archaeology at Ankara, 355-398.
296. **Matthews W.** 2005b. Life-cycles and life-courses of buildings, [w:] *Çatalhöyük Perspectives: Themes from the 1995-99 Season*, red. I. Hodder. (Çatalhöyük Research Project Series 6; McDonald Institute Monographs / BIAA Monograph 40). Cambridge: McDonald Institute for Archaeological Research / London: British Institute for Archaeology at Ankara, 125-150.
297. **Matthews W.**, 2012. Household Life-histories and Boundaries: microstratigraphy and micromorphology of architectural surfaces in Building 3 (BACH). [w:] *House Lives: Building, Inhabiting, Excavating a House at Çatalhöyük, Turkey. Reports from the BACH Area, Çatalhöyük, 1997-2003*, red. R. Tringham i M. Stevanović. Los Angeles, CA: Cotsen Institute of Archaeology Press, 7/35.
298. **Matthews W., Almond M.J., Anderson E., Wiles J., Williams H. i Rowe J.**, 2013. Biographies of Architectural Materials and Buildings: Integrating High-resolution Micro-analysis and Geochemistry, [w:] *Substantive Technologies at Çatalhöyük: Reports from the 2000-2008 Seasons*, red. I. Hodder. (Çatalhöyük Research Project 9; BIAA Monograph 48 / Monumenta Archaeologica 31). London: British Institute for Archaeology at Ankara / Los Angeles, CA: Cotsen Institute of Archaeology Press, 115-136.
299. **Matthews W. i Farid S.**, 1996. Exploring the 1960's surface: the Stratigraphy of Çatalhöyük, [w:] *On the surface: Çatalhöyük 1993-95*, red. I. Hodder. (Çatalhöyük Research Project Series 1; McDonald Institute Monographs / BIAA Monograph 22). Cambridge: McDonald Institute for Archaeological Research / London: British Institute of Archaeology at Ankara., 271-300.
300. **Matthews W., French C., Lawrence T. i Cutler D.**, 1996. Multiple Surfaces: the Micromorphology, [w:] *On the Surface: Çatalhöyük 1993-95*, red. I. Hodder. (Çatalhöyük Research Project Series 1; McDonald Institute Monographs / BIAA Monograph 22). Cambridge: McDonald Institute for Archaeological Research / London: British Institute of Archaeology at Ankara, 301-342.

301. **Mazurowski R.F.**, 2014. Tell Qaramel excavations 2003. *Polish Archaeology in the Mediterranean* 15, 355-370.
302. **Mazurowski R.F. i Kajnou Y.** (red.), 2012. *Tell Qaramel 1999-2007: Protoneolithic and Early Pre-pottery Neolithic Settlement in Northern Syria*. Warszawa: PCMA.
303. **McAnany i Hodder I.**, 2009. Social stratigraphy
304. **McHenry G.P.J.**, 1984. *Adobe and Rammed Earth Buildings: Design and Construction*. New York, NY: Wiley.
305. **Mellaart J.**, 1954. Preliminary Report on a Survey of Pre-Classical Remains in Southern Turkey. *Anatolian Studies* 4, 175-240.
306. **Mellaart J.**, 1962. Excavations at Çatal Höyük. First Preliminary Report, 1961, *Anatolian Studies* 12, 41-65.
307. **Mellaart J.**, 1963. Excavations at Çatal Höyük. Second Preliminary Report, 1962, *Anatolian Studies* 13, 43-103.
308. **Mellaart J.**, 1964. Excavations at Çatal Höyük. Third Preliminary Report, 1963. *Anatolian Studies* 14, 39-119.
309. **Mellaart J.**, 1965. Çatal Höyük West. *Anatolian Studies* 15, 135-156.
310. **Mellaart J.** 1966. *Excavations at Çatal Höyük. Fourth Preliminary Report, 1965. Anatolian Studies* 16, 165-191.
311. **Mellaart J.**, 1967. *Çatal Hüyük: a Neolithic Town in Anatolia*. London: Thames & Hudson.
312. **Mellaart J.**, 1975. *The Neolithic of the Near East*. London: Thames & Hudson.
313. **Mellaart J.**, 1978. *The archaeology of ancient Turkey*. London: Rowman & Littlefield Publishers.
314. **Middleton G.A.T.** (red.), 1921. *Modern Buildings, Their Planning, Construction and Equipment*, Vol. 1. London: The Caxton Publishing Company.
315. **Mithen S.J.**, 2004. From Ohalo to Çatalhöyük: The development of religiosity during the early prehistory of Western Asia, 20,000-7000 BC, [w:] *Theorizing Religions Past*, red. H. Whitehouse i L.H. Martin. Walnut Creek, CA: AltaMira Press, 17-43.
316. **Mithen S.J., Finlayson B. i Shaffrey R.**, 2005. Sexual symbolism in the Early Neolithic of southern Levant: pestles and mortars from WF16, *Documenta Praehistorica* XXXII: 103-110.
317. **Mithen S.J., Finlayson B., Smith S., Jenkins E., Najjar M. i Maričević D.**, 2011. An 11 600 year-old communal structure from the Neolithic of southern Jordan. *Antiquity* 85, 350-364.
318. **Moore H.L.**, 1988. *Feminism and Anthropology*. Minneapolis, MN: University of Minnesota Press.
319. **Moore A.M.T., Hillman G.C. i Legge A.J.**, 2000. *Villages on the Euphrates: The Excavation of Abu Hureyra*. London: Oxford University Press.
320. **Moore S. i Jackson, M.**, 2014. Late Burials from the 4040 Area of the East Mound, [w:] I. Hodder (red.), *Çatalhöyük Excavations: The 2000-2008 Seasons*. Çatalhöyük Research Project Series 7, BIAA Monograph 46, London: British Institute of Archaeology at Ankara / Monumenta Archaeologica 29, Los Angeles, CA: Cotsen Institute of Archaeology Press, 603-620.
321. **Mumford L.**, 1961. *The City in History: Its Origins, Its Transformations, and its Prospects*. New York, NY: Harcourt, Brace & World.
322. **Nabokov P.**, 1981. *Adobe: Pueblo and Hispanic Folk Traditions of the Southwest*. Washington, D.C.: Office of Folklore Programs, Smithsonian Institution.
323. **Nadel D.**, 2003. *The Ohalo II Brush Huts and the Dwelling Structures of the Natufian and PPNA Sites in the Jordan Valley.* ?

324. **Naveh D.**, 2003. PPNA Jericho: a socio-political perspective. *Cambridge Archaeological Journal* 13, 83-96.
325. **Nesbitt M.**, 2002. When and where did domesticated cereals first occur in southwest Asia? [w:] *The dawn of farming in the Near East*, red. R.T.J. Cappers i S. Bottema. Berlin: ex oriente, 113-132.
326. **Nissen H.J., Muheisen M. i Gebel H.G.K.** (red.), 2004. *Basta I: The Human Ecology*. Berlin: ex oriente.
327. **Nuttall M.**, 2000. Choosing kin: Sharing and subsistence in a Greenlandic hunting community. [w:] *Dividends of Kinship: Meanings and Use of Social Relatedness*, red. P.P. Schweitzer. London: Routledge, 33-60.
328. **Özbaşaran M.**, 2000. The Neolithic Site of Musular, Central Anatolia. *Anatolica* 26, 129-151.
329. **Özbaşaran M.**, 2011. Re-starting at Aşıklı. *Anatolia Antiqua* XIX, 27-37.
330. **Özbaşaran M.**, 2012. Aşıklı, [w:] *The Neolithic in Turkey: Central Turkey*, red. M. Özdoğan, M.N. Başgelen i P.I. Kuniholm, P.I. Istanbul: ArkeolojiveSanatYayınları, 135-158.
331. **Özbaşaran M. i H. Buitenhuis**, 2002. Proposal for a regional terminology for Central Anatolia, [w:] *The Neolithic of Central Anatolia: Internal developments and external relations during the ninth-sixth millennia cal BC. Proceedings of international CANeWround table, Istanbul 23-24 November 2001*, red. F. Gérard i L. Thissen. Istanbul: EgeYayınları, 67-77.
332. **Özbaşaran M. i Cutting M.**, 2007. Das Neolithikum in Zentralanatolien: Entstehung und Entwicklung, [w:] *Vor 12.000 Jahren in Anatolien. Die ältesten Monumente der Menschheit*, red. C. Lichter. Stuttgart: Konrad TheissVerlag, 112-135.
333. **Özbaşaran M. i Duru G.**, 2014. Istanbul (IST) Area of the East Mound, [w:] *Çatalhöyük Excavations: The 2000-2008 Seasons*, red. I. Hodder. (Çatalhöyük Research Project Series 7; BIAA Monograph 46 / Monumenta Archaeologica 29). London: British Institute of Archaeology at Ankara / Los Angeles, CA: Cotsen Institute of Archaeology Press, 621-658.
334. **Özdoğan A.**, 1999a. Çayönü, [w:] *Neolithic in Turkey: The cradle of civilization - New discoveries*, red. M. Özdoğan M. i N. Başgelen. Istanbul: ArkeolojiveSanatYayınlar, 225-236.
335. **Özdoğan M.**, 1999b. Concluding remarks, [w:] *Neolithic in Turkey: The cradle of civilization - New discoveries*, red. M. Özdoğan M. i N. Başgelen. Istanbul: ArkeolojiveSanatYayınlar, 225-236.
336. **Özdoğan M.**, 2001. The Neolithic deity: Male or female, [w:] *Lux Orientis - Festschrift für Harald Hauptmann*, red. R.M. Boehmer i J. Maran. Rahden: Marei Leidorf, 313-318.
337. **Özdoğan M.**, 2002. Defining the Neolithic of Central Anatolia, [w:] *The Neolithic of Central Anatolia: International Developments and External Relations during the 9th-6th Millennia cal. BC*, red. F. Gérard i L. Thissen. (Proceedings of the International CANeW Table Ronde: Istanbul, 23-24 November 2001). Istanbul: Ege Yayınları, 253-262.
338. **Özdoğan M.**, 2010. Westward Expansion of the Neolithic Way of Life: Sorting the Neolithic Package into Distinct Packages, [w:] *Proceedings of the 6th International Congress on the Archaeology of the Ancient Near East, Rome, May, 5th-10th 2008*, red. P. Matthiae, F. Pinnock, L. Nigro i N. Marchetti. Wiesbaden: Harrassowitz Verlag.
339. **Özdoğan M., Başgelen M.N. i Kuniholm P.I.**, 2012. *The Neolithic in Turkey: Central Turkey*. Istanbul: ArkeolojiveSanatYayınları.
340. **Özdoğan M., Başgelen M.N. i Kuniholm P.I.**, 2015. *The Neolithic in Turkey 10 500 – 5 200 BC: Environment, settlement, flora, fauna, dating, symbols of belief, with views from North, South, East and West*. Istanbul: ArkeolojiveSanatYayınları.

341. **Parker B.J i Foster C.P.** (red.), 2012. *New Perspectives on Household Archaeology*. Winona Lake, IN: Eisenbrauns.
342. **Pareker Pearson M. i Richards C.** (red.), 1994. *Architecture and order: approaches to social space*. London: Routledge.
343. **Pawłowska K.**, 2014. The smells of Neolithic Çatalhöyük, Turkey: Time and space of human activity, *Journal of Anthropological Archaeology* 36, 1-11.
344. **Pilloud M.A., Haddow S.D., Knüssel C.J. i Larsen C.S.**, 2016. A bioarchaeological and forensic re-assessment of vulture defleshing and mortuary practices at Neolithic Çatalhöyük, *Journal of Archaeological Science: Reports* 10: 735-743.
345. **Pollard T., Shell C.A. i Twigg D.R.**, 1996. Topographic Survey of the Çatalhöyük Mounds, [w:] *On the Surface: Çatalhöyük 1993-95*, red. I. Hodder.(Çatalhöyük Research Project Series 1; McDonald Institute Monographs / BIAA Monograph 22). Cambridge: McDonald Institute for Archaeological Research / London: British Institute of Archaeology at Ankara, 59-72.
346. **Price T.D. i Bar-Yosef O.**, 2010. Traces of inequality at the origins of agriculture in the Ancient Near East, [w:] *Pathways to Power*, red. T.D. Price i G.M. Feinman. New York, NY: Springer, 147-168.
347. **Rappoport A.**, 1969. *House Form and Culture*, Englewood Cliffs, NJ: Prentice-Hall Inc.
348. **Rappoport A.**, 1982. The meaning of the built environment: a nonverbal communication approach. Sage Publications.
349. **Regan R.**, 2014. The Sequence of Buildings 75, 65, 56, 69, 44 and 10 and External Spaces 119, 129, 130, 144, 299, 314, 319, 329, 333, 339, 367, 371 and 427, [w:] *Çatalhöyük Excavations: the 2000-2008 Seasons*, red. I. Hodder. (Çatalhöyük Research Project Series 7; BIAA Monograph 46 / Monumenta Archaeologica 29). London: British Institute of Archaeology at Ankara / Los Angeles, CA: Cotsen Institute of Archaeology Press, 131-189.
350. **Renfrew C. i Zubrow E.** (red.), 1993. *Ancient Mind*. Cambridge: Cambridge University Press.
351. **Richards M.P. i Pearson J.A.**, 2005. Stable-isotope Evidence of Diet at Çatalhöyük, [w:] *Inhabiting Çatalhöyük: Reports from the 1995-99 seasons*, red. I. Hodder.(Çatalhöyük Research Project Series 4; McDonald Institute Monographs / BIAA Monograph 38). Cambridge: McDonald Institute for Archaeological Research / London: British Institute of Archaeology at Ankara, 313-322.
352. **Rindos D.**, 1984. *The origins of agriculture: an evolutionary perspective*. New York, NY: Academic Press.
353. **Ritchey T.**, 1996. Note: building complexity, [w:] *On the Surface: Çatalhöyük 1993-95*, red. I. Hodder. (Çatalhöyük Research Project Series 1; McDonald Institute Monographs / BIAA Monograph 22). Cambridge: McDonald Institute for Archaeological Research / London: British Institute of Archaeology at Ankara, 7-18.
354. **Roberts N., Boyer P. i Parish R.**, 1996. Preliminary results of geoarchaeological investigations at Çatalhöyük, [w:] *On the Surface: Çatalhöyük 1993-95*.(Çatalhöyük Research Project Series 1; McDonald Institute Monographs / BIAA Monograph 22). Cambridge: McDonald Institute for Archaeological Research / London: British Institute of Archaeology at Ankara, 19-40.
355. **Roberts N., Reed J., Leng M.J., Kuzucuoğlu C., Fontugne M., Bertaux J., Woldring H., Bottema S., Black S., Hunt E. i Karabiyiçoğlu M.**, 2001. The tempo of Holocene climatic change in the eastern Mediterranean region: New high-resolution crater-lake sediment data from central Turkey. *The Holocene* 11, 719-734.

356. **Rollefson G.O.**, 1987. Local and Regional Relations in the Levantine PPN Period: Ain Ghazal as a Regional Center, [w:] *Studies in the History and Archaeology of Jordan III*, red. A. Hadidi, Amman: Department of Antiquities of Jordan, 2-32.
357. **Rollefson G.O.**, 1992. Neolithic Settlement Patterns in Northern Jordan and Palestine, [w:] *Studies in the History and Archaeology of Jordan IV*, Amman: Department of Antiquities, 123-127.
358. **Rollefson G.O.**, 1996. The Neolithic Devolution: Ecological Impact and Cultural Compensation at 'Ain Ghazal, Jordan, [w:] *Retrieving the Past: Essays on Archaeological Research and Methodology in Honor of Gus W. Van Beek*, red. J.S. Seger. Eisenbrauns: Winona Lake, 219-229.
359. **Rollefson G.O.**, 1997. Changes in architecture and social organization at Neolithic 'Ain Ghazal, [w:] *The Prehistory of Jordan II: Perspectives from 1997*, red. H.G.K. Gebel, Z. Kafafi i G.O. Rollefson. Berlin: ex oriente, 287-308.
360. **Rollefson G.O.**, 2001a. The Neolithic period, [w:] *The Archaeology of Jordan*, red. B. MacDonald, R. Adams R. i Bieńkowski. Sheffield: Sheffield Academic Press, 67-105.
361. **Rollefson G.O.**, 2001b. Jordan in the Seventh and Sixth Millennia BC, [w:] *Studies in the History and Archaeology of Jordan VII*, red. G. Bisheh. Amman: Department of Antiquities, 95-100.
362. **Rollefson G.O. i Köhler-Rollefson I.**, 1989. The Collapse of Early Neolithic Settlements in the Southern Levant. *Biblical Archaeology Review* 508, 73-89.
363. **Rollefson G.O. i Köhler-Rollefson I.**, 1992. Early Neolithic Exploitation Patterns in the Levant: Cultural Impact on the Environment. *Population and Environment* 13: 243-254.
364. **Rollefson G., Rowan Y. i Wasse A.**, 2014. The Late Neolithic colonization of the Eastern Badia of Jordan, *Levant* 46 (2): 1-17.
365. **Ronen A. i Adler D.**, 2001. The Walls of Jericho were magical. *Archaeology, Ethnology & Anthropology of Eurasia* 2 (6), 97-103.
366. **Rosenberg M. i Redding R.W.**, 2000. Hallan Çemi and Early Village Organization in Eastern Anatolia, [w:] *Life in Neolithic Farming Communities: Social Organization, Identity, and Differentiation*, red. I. Kuijt I. (Fundamental Issues in Archaeology). New York, NY: Kluwer Academic Publishers, 36-61.
367. **Rudebeck E.**, 2000. Tiling nature, harvesting culture. *Acta Archaeologica Lundensia* 32. Stockholm: Almqvist&Wiksell.
368. **Russel N. i Martin L.**, 2005. Çatalhöyük Mammal Remains, [w:] *Inhabiting Çatalhöyük: Reports from the 1995-99 seasons*, red. I. Hodder. (Çatalhöyük Research Project Series 4; McDonald Institute Monographs / BIAA Monograph 38). Cambridge: McDonald Institute for Archaeological Research / London: British Institute of Archaeology at Ankara, 33-98.
369. **Russel N., Martin L. i Twiss K.C.**, 2009. Building Memories: Commemorative Deposits at Çatalhöyük, *Anthropozoologica* 44 (1): 103-125.
370. **Russel N. i McGowan K.**, 2005. Çatalhöyük Bird Bones, [w:] *Inhabiting Çatalhöyük: Reports from the 1995-99 seasons*, red. I. Hodder. (Çatalhöyük Research Project Series 4; McDonald Institute Monographs / BIAA Monograph 38). Cambridge: McDonald Institute for Archaeological Research / London: British Institute of Archaeology at Ankara, 99-110.
371. **Russel N., Twiss K.C., Orton D.C. i Demirergi G.A.**, 2013. More on the Çatalhöyük Mammal Remains, [w:] *Humans and Landscapes of Çatalhöyük: Reports from the 2000-2008 Seasons*, red. I. Hodder. (Çatalhöyük Research Project Series 8; BIAA Monograph 47 / Monumenta Archaeologica 30). London: British Institute of Archaeology at Ankara / Los Angeles, CA: Cotsen Institute of Archaeology Press, 213-258.

372. **Sadarangani F.**, 2014a. The Sequence of Buildings 53 and 42 and External Spaces 259, 260 and 261, [w:] *Çatalhöyük Excavations: the 2000-2008 Seasons*, red. I. Hodder. (Çatalhöyük Research Project Series 7; BIAA Monograph 46 / Monumenta Archaeologica 29). London: British Institute of Archaeology at Ankara / Los Angeles, CA: Cotsen Institute of Archaeology Press, 191-219.
373. **Sadarangani F.**, 2014b. External Space 226, [w:] *Çatalhöyük Excavations: the 2000-2008 Seasons*, red. I. Hodder. (Çatalhöyük Research Project Series 7; BIAA Monograph 46 / Monumenta Archaeologica 29). London: British Institute of Archaeology at Ankara / Los Angeles, CA: Cotsen Institute of Archaeology Press, 541-545.
374. **Samson R.**, 1990. *The Social Archaeology of Houses*. Edinburgh: Edinburgh University Press, 19-48.
375. **Samuel R.**, 1994. *Theatres of memory: Past and Present in Contemporary Culture*. London: Verso Books.
376. **Sauer C.O.**, 1952. *Agricultural Origins and Sispersals*. New York, NY: American Geographical Society.
377. **Schilito L.M. i Matthews W.**, 2013. Investigations of Midden-Formation Processes in the Early to Late Ceramic Neolithic Levels at Çatalhöyük, Turkey ca. 8550-8370 cal BP, *Geoarchaeology: An International Journal* 28 (2013), 25-49.
378. **Schillito L.M., Matthews W., Almond M.J. i Bull I.D.**, 2011. The microstratigraphy of middens: capturing daily routine in rubbish at Neolithic Çatalhöyük, Turkey, *Antiquity* 85, 1024-1038.
379. **Schilito L.M. i Ryan P.**, 2013. Surfaces and streets: phytoliths, micromorphology and changing use of space at Neolithic Çatalhöyük (Turkey), *Antiquity* 87 (337): 684-700.
380. **Schirmer W.**, 1990. Some aspects of building at the "aceramic-neolithic" settlement of Çayönü Tepesi. *World Archaeology* 21/3: 363-387.
381. **Schmandt-Besserat D.**, 1977. The Beginnings of the Use of Clay in Turkey. *Anatolian Studies* 27, 133-199.
382. **Schmidt K.**, 2006. *Sie bauten den ersten Tempel. Das rätselhafte Heiligtum der Steinzeitjäger*. Munich: C.H. Beck.
383. **Schmidt K.**, 2010. Göbekli Tepe – the Stone Age Sanctuaries: New results of ongoing excavations with a special focus on sculptures and high reliefs. *Documenta Praehistorica* XXXVII, 239-256.
384. **Schmidt K.**, 2012. Göbekli Tepe: a Stone Age Ritual Center in Southeastern Turkey. *Actual Archaeology* 2, 32-51.
385. **Schmitt A.K., Danišić M., Aydar E., Şen E., Ulusoy İ. i Lovera O.M.**, 2014. *Identifying the Volcanic Eruption Depicted in a Neolithic Painting at Çatalhöyük, Central Anatolia, Turkey*. PLoS ONE 9 (1), e84711. doi:10.1371/journal.pone.0084711, 15.04.2017.
386. **Sikorski D.A.**, 2011. Powstanie państwa Piastów w świetle najnowszych badań archeologii średniowiecznej, *Roczniki Historyczne, Artykuły i Recenzje, Rocznik LXXVII* (2011): 205-228.
387. **Simmons A.H.**, 1995. Town planning in the Neolithic: Is 'Ain Ghazal "normal?" [w:] *Studies in the history and archaeology of Jordan, V: Art and technology throughout the ages*, red. K. 'Amr, F. Zayadine i M. Zaghoul. Amman: Department of Antiquities, 119-122.
388. **Simmons A.H.**, 2000. Villages on the Edge: Regional Settlement Change and the End of the Levantine Pre-Pottery Neolithic, [w:] *Life in Neolithic Farming Communities: Social Organisation, Identity and Differentiation*, red. I. Kuijt. New York, NY: Kluwer Academic / Plenum, 211-230.

389. **Simmons A.H.**, 2007. *The Neolithic Revolution in the Near East: Transforming the human landscape*. Tucson: University of Arizona Press.
390. **Simmons A.H., Rollefson G.O., Kafafi Z., Mandel R.D., al-Nahar M., Cooper J., Köhler-Rollefson I. i Roler Durand K.**, 2001. WadiShu'eib, a Large Neolithic Community in Central Jordan: Final Report of Test Investigations. *Bulletin of the American Schools of Oriental Research* 321, 1-39.
391. Simmons A.H., Köhler-Rollefson I., Rollefson G., Kafafi Z., 2014. 'Ain Ghazal: a Major Neolithic Settlement in Central Jordan, American Association for the Advancement of Science.
392. **Souvatzis S.G.**, 2008. *A Social Archaeology of Households in Neolithic Greece: An Anthropological Approach*. Cambridge: Cambridge University Press.
393. **Steadman S.R.**, 2000. Spatial Patterning and Social Complexity on Prehistoric Anatolian Tell Sites: Models for Mounds, *Journal of Anthropological Archaeology* 19: 164-199.
394. **Stevanović M.**, 1997. The Age of Clay: The Social Dynamics of House Destruction, *Journal of Anthropological Archaeology* 16, 334-395.
395. **Stevanović M.**, 2012. Summary of Results from the Excavation of the BACH Area (Building 3 and Spaces 87, 88, 89), [w:] *House Lives: Building, Inhabiting, Excavating a House at Çatalhöyük, Turkey. Reports from the BACH Area, Çatalhöyük, 1997-2003*, red. R.E. Tringham i M. Stevanović. Los Angeles, CA: Cotsen Institute of Archaeology Press, 2/48.
396. **Stevanović M.**, 2013. New discoveries in House Construction at Çatalhöyük, [w:] *Substantive Technologies at Çatalhöyük: Reports from the 2000-2008 Seasons*, red. I. Hodder. (Çatalhöyük Research Project Series 9; BIAA Monograph 48 / Monumenta Archaeologica 31). London: British Institute of Archaeology at Ankara / Los Angeles, CA: Cotsen Institute of Archaeology Press, 97-114.
397. **Stone L.**, 2004. Introduction to kinship s culture, process and agency, [w:] *Kinship and Family: An Anthropological Reade*, red. R. Parkin i L. Stone. Oxford: Blackwell, 241-256.
398. **Stordeur D.**, 1999. Organisation de l'espace constuit et organisation sociale dans le Néolithique de Jerf el Ahmar (Syrie, Xe-IXe millénaire av. J.-C.), [w :] *Habitat et Société*, red. F. Braemer, S. Cleuziou i A. Courdart. (XIXe Rencontres internationales d'archéologie et d'Histoire d'Antibes). Antibes : APDCA, 131-149.
399. **Stordeur D.**, 2000. New discoveries in architecture and symbolism at Jerf el Ahmar (Syria), 1997-1999. *Neo-Lithics* 1, 1-4.
400. **Stordeur D.**, 2003. Des crânes surmodelés à Tell Aswad de Damascène (PPNB - Syrie). *Paléorient* 29/2, 109-116.
401. **Strouhal E.**, 1973. Five Plastered Skulls from Pre-Pottery Neolithic B Jericho: Anthropological Study, *Paléorient* 1 (2): 231-247.
402. **Szyjewski A.**, 2001. *Etnologia religii*. Kraków: Zakład Wydawniczy NOMOS.
403. Tajchman J., 1989. Stropy drewniane w Polsce: propozycja systematyki, Biblioteka Muzealnictwa i Ochrony Zabytków, Studia i Materiały, Tom IV, Warszawa: Ośrodek Dokumentacji Zabytków.
404. **Talalay L.E.**, 2004, Heady Business: Skulls, Heads, and Decapitation in Neolithic Anatolia and Greece, *Journal of Mediterranean Archaeology* 17.2 (2004): 139-163.
405. **Taylor T.**, 2008. Prehistory vs. Archaeology: Terms of Engagement. *Journal of World Prehistory* 21, 1 – 18.
406. **Thissen L.**, 2002. Time Trajectories for the Neolithic of Central Anatolia, [w:] Gérard, F., Thissen, L. (red.), *The Neolithic of Central Anatolia: Internal Developments and External*

- Relations during the 9th – 6th Millennia cal BC – Proceedings of the International CANeW Table Ronde, Istanbul, 23-24 November 2001*, Istanbul: EgeYayinlari, 13-26.
407. **Thissen L.**, 2004. CANeW 14C charts: Anatolia 10,000-5,000 cal. BC.
408. **Todd I.A.**, 1966. Aşıklı Höyük: a Prothoneolithic Site in Central Anatolia. *Anatolian Studies* 16, 139-163.
409. **Todd I.A.**, 1976. *Çatal Hüyük in Perspective*. Menlo Park, CA: Cummings Publishing Company.
410. **Tringham R.**, 1991. Households with faces: The challenge of gender in prehistoric architectural remains, [w:] *Engendering Archaeology: Women and Prehistory*, red. J.M. Gero i M.W. Conkey. Oxford: Basil Blackwell, 91-131.
411. **Tringham R.**, 2000. The continuous house: a view from the deep past, [w:] *Beyond Kinship: Social and Material Reproduction in House Societies*, red. R.A. Joyce R.A. i S.D. Gillespie. Philadelphia, PA: University of Pennsylvania Press, 115-134.
412. **Tringham R.**, 2001. Household Archaeology, [w:] *International Encyclopedia of the Social & Behavioral Sciences*, red. N.I. Smelser i P.B. Baltes P.B. Oxford: Pergamon Press, 6925-6929.
413. **Tringham R.**, 2005. Weaving house life and death into places: a blueprint for a hypermedia narrative, [w:] *(Un)settling the Neolithic*, red. D.W. Bailey D.W., A. Whittle A. i V. Cummings V. Oxford: Oxbow Books, 98-111.
414. **Tringham R. i Stevanović M.** (red.), 2012. *Last House on the Hill: BACH Area Reports from Çatalhöyük, 1997-2003*. (Çatalhöyük Research Project Series 11; Monumenta Archaeologica 27). Los Angeles, CA: Cotsen Institute of Archaeology Press.
415. **Tung B.**, 2008. Making Place, Doing Tradition: Exploring Intimate Knowledge at Neolithic Çatalhöyük. Nieopublikowana rozprawa doktorska, Berkeley, CA: University of California.
416. **Tung B.**, 2013. Building with Mud: An Analysis of Architectural Materials at Çatalhöyük, [w:] *Substantive Technologies at Çatalhöyük: Reports from the 2000-2008 Seasons*, red. I. Hodder. (Çatalhöyük Research Project Series 9; BIAA Monograph 48 / Monumenta Archaeologica 31). London: British Institute of Archaeology at Ankara / Los Angeles, CA: Cotsen Institute of Archaeology Press, 67-80.
417. **Tung B. i Klimowicz A.**, 2013. Space 511, Space 518, Space 488, Space 489, Space 490 and Space 84 (B.108). *Çatalhöyük Research Project 2013 Archive Report*, http://www.catalhoyuk.com/downloads/Archive_Report_2013.pdf 18.09.2014, 35-41.
418. **Twiss K.C., Bogaard A., Charles M., Henecke J., Russell N., Martin L. i Jones G.**, 2009. Plants and Animals Together: Interpreting Organic Remains from Building 52 at Çatalhöyük, *Current Anthropology* 50 (6), 885-895.
419. **Valla F.**, 1998. The First Settled Societies – Natufian (12,500-10,200 BP), [w:] *The Archaeology of the Holy Land*, red. T. Levy. London / Washington: Leicester University Press, 169-187.
420. **Verhoeven M.**, 2002. Ritual and ideology in the Pre-Pottery Neolithic B of the Levant and southeast Anatolia. *Cambridge Archaeological Journal* 12, 233-258.
421. **Verhoeven M.**, 2006. Megasites in the Jordanian Pre-pottery Neolithic B: Evidence for 'proto-urbanism'?, [w:] *Domesticating Space: Construction, Community, and Cosmology in the Late Prehistoric Near East*, red. E.B. Banning i M. Chazan. (Studies in Early Near Eastern Production, Subsistence, and Environment 12). Berlin: ex oriente, 75-79.
422. **Verhoeven M.**, 2010. Social complexity and archaeology: a contextual approach, [w:] E.B. Banning, M. Chazan (red.), *Megasites in the Jordanian Pre-Pottery Neolithic B: evidence for 'proto-urbanism'?*, Berlin: ex Oriente, 75-80.

423. **Waheeb M. i Fino N.**, 1997. 'Ain el-Jammam: a Neolithic Site Near Rasen-Naqb, Southern Jordan, [w:] *The Prehistory of Jordan II. Perspectives from 1997*, red. H. Gebel, Z. Kafafi i G. Rollefson. Berlin: ex oriente, 215-219.
424. **Waterson R.**, 1990. *The living house: An anthropology of architecture in south-east Asia*. Oxford: Oxford University Press.
425. **Waterson R.**, 2000. House, place, and memory in Tana Toraja (Indonesia), [w:] *Beyond Kinship: Social and Material Reproduction in House Societies*. Philadelphia, red. R.A. Joyce R.A. i S.D. Gillespie S.D. Philadelphia, PA: University of Pennsylvania Press, 177-188.
426. **Watkins T.**, 1990. The Origins of House and Home? *World Archaeology* 21 (3), 336-347.
427. **Watkins T.**, 1992. The Beginning of the Neolithic: Searching for Meaning in Material Culture Change, *Paléorient* 18/1, 63-75.
428. **Watkins T.**, 2005. Architecture and "theatres of memory" in the Neolithic of southwest Asia, [w:] *Rethinking materiality: the engagement of mind with the material world*, red. E. DeMarras, C. Gosden i C. Renfrew. Cambridge: McDonald Institute for Archaeological Research, 97-106.
429. **Watkins T.**, 2006. Architecture and the symbolic construction of new worlds, [w:] *Domesticating space: construction, community, and cosmology in the late prehistoric Near East*, red. E.J. Banning i M. Chazan. (Studies in Early Near Eastern Production, Subsistence and Environment 6). Berlin: ex oriente, 15-24.
430. **Watkins T.**, 2008. Supra-Regional Networks in the Neolithic of Southwest Asia, *Journal of World Prehistory* 21, 139-171.
431. **Webster H.**, 2011. Bourdieu for Architects. Seria: *Thinkers for Architects 05*. London / New York, NY: Routledge.
432. **Westman A.**, 1980. *Archaeological Site Manual*. London: Museum of London.
433. **Whittle A.**, 1996. *Europe in the Neolithic: The creation of new worlds*. Cambridge: Cambridge University Press.
434. **Wilk R.R. i Rathje W.L.**, 1982. Household Archaeology, *American Behavioral Scientist* 25 (6), 617-640.
435. **Wilk R.R. i Ashmore W.** (red.), 1988. *Household and Community in the Mesoamerican Past*. Albuquerque, NM: University of New Mexico Press.
436. **Willcox G.**, 2002. Geographical variation in major cereal components and evidence for independent domestication events in Western Asia, [w:] *The dawn of farming in the Near East*, red. R.T.J. Cappers i S. Bottema. Berlin: ex oriente, 133-140.
437. **Wilson P.J.**, 1988. *The domestication of the human species*. New Haven: Yale University Press.
438. **Wright, F.L.** 1939. *An Organic Architecture: The Architecture of Democracy*. London: Lund Humphries & Co. LTD.
439. **Yakar, J.**, 1991. *Prehistoric Anatolia: The Neolithic Transformation and the early Chalcolithic Period*. Monograph Series of the Institute of Archaeology Tel Aviv University.
440. **Yanagisako S.J.**, 1979. Family and Household: The Analysis of Domestic Groups, *Annual Review of Anthropology* 8, 161-205.
441. **Yartah T.**, 2004. Tell 'Abr 3, un village du Néolithique précéramique (PPNA) sur le Moyen-Euphrate. Première approche. *Paléorient* 30 (2), 141-158.
442. **Yartah T.**, 2010. Tell 'Abr 3, nouvelles données sur le plan symbolique des premiers agriculteurs. *Adiyat Halab* 3/4, 26-42.

-
443. **Yeomans L.**, 2014a. Building 45, [w:] *Çatalhöyük Excavations: the 2000-2008 Seasons*, red. I. Hodder. (Çatalhöyük Research Project Series 7; BIAA Monograph 46 / Monumenta Archaeologica 29). London: British Institute of Archaeology at Ankara / Los Angeles, CA: Cotsen Institute of Archaeology Press, 283-297.
444. **Yeomans L.**, 2014b. Building 64, [w:] *Çatalhöyük Excavations: the 2000-2008 Seasons*, red. I. Hodder. (Çatalhöyük Research Project Series 7; BIAA Monograph 46 / Monumenta Archaeologica 29). London: British Institute of Archaeology at Ankara / Los Angeles, CA: Cotsen Institute of Archaeology Press, 475-480.
445. **Yeomans L.**, 2014c. External Spaces 60, 133, 145, 240, 241, 242, 291, 426 and Building 13, [w:] *Çatalhöyük Excavations: the 2000-2008 Seasons*, red. I. Hodder. (Çatalhöyük Research Project Series 7; BIAA Monograph 46 / Monumenta Archaeologica 29). London: British Institute of Archaeology at Ankara / Los Angeles, CA: Cotsen Institute of Archaeology Press, 515-525.
446. **Yeomans L.**, 2014d. External Space 279 and Buildings 70 and 71, [w:] *Çatalhöyük Excavations: the 2000-2008 Seasons*, red. I. Hodder. (Çatalhöyük Research Project Series 7; BIAA Monograph 46 / Monumenta Archaeologica 29). London: British Institute of Archaeology at Ankara / Los Angeles, CA: Cotsen Institute of Archaeology Press, 527-539.
447. **Zeder M.A.**, 2011. The origins of agriculture in the Near East. *Current Anthropology* 52 (S4), S221-S235.
448. **Zielhofer C., Clare L., Rollefson G., Wächer S., Hoffmeister D., Bareth G., Roetting C., Bullmann H., Schneider B., Berke H. i Weninger B.**, 2012. The decline of the early Neolithic population center of 'Ain Ghazal and corresponding earth-surface processes, Jordan Rift Valley, *Quaternary Research* 78, 427-441.